



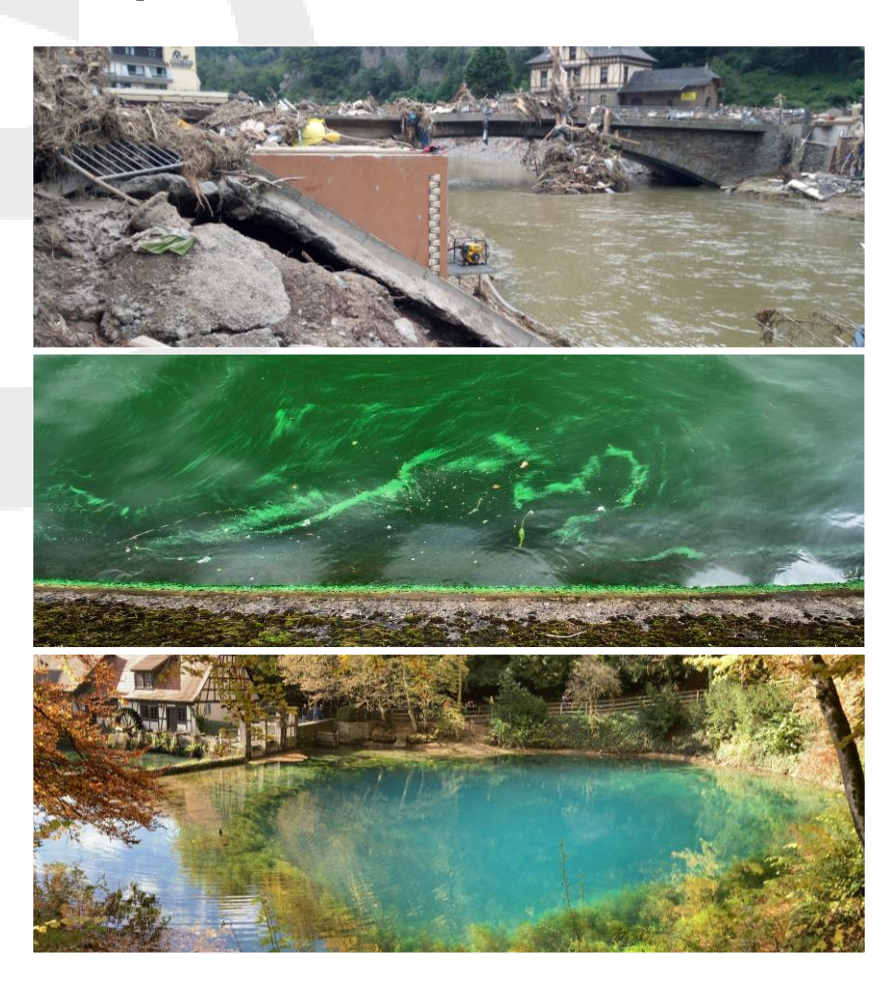




Klimawandel in Süddeutschland

Veränderungen von meteorologischen und hydrologischen Kenngrößen

Klimamonitoring im Rahmen der Kooperation KLIWA



Monitoringbericht 2021

Hochwasserabflüsse Zusätzliche Auswertungen für das KLIWA-Untersuchungsgebiet





Inhaltsverzeichnis

1	TT* . 4		Seite
1		nd	
2		zu den KLIWA-Pegel	
2.1		rttembergische Monitoring-Pegel	
		ad Rotenfels, Murg	
		erghausen, Pfinz	
	_	erbertshaus, Schussen	
	_	essen, Argen	
	_	interlehengericht, Schiltach	
	_	berlauchringen, Wutachegel, Leopoldskanal	
		chenkenzell, Kinzig	
		chwaibach, Kinzig	
	_	ell, Wiese	
	0	perzbach, Jagst	
	_	opfau, Glatt	
	_	orb, Neckar	
	0	gstzell, Jagst	
	_	ocherstetten, Kocher	
	_	osbach, Elz	
	•	eustadt, Rems	
	•	berndorf, Neckar	
	_	Forzheim, Enz.	
	_	ochingen, Neckar	
	_	ennfeld, Seckach	
	_	ein, Kocher	
		ntergriesheim, Jagst	
	_	erg, Donau	
	•	euron, Donau	
	_	ammereisenbach, Breg	
	_	undersingen, Donau	
	_	irchen-Hausen, Donau	
	_	engen-Add, Ablach	
	_	ad Mergentheim, Tauber	
2.2	_	Monitoring-Pegel	
		chleiten, Donau	
	_	öhmischbruck, Pfreimd	
	_	eitzenhofen, Naab	
	U	of, Iller	
	•	ofkirchen, Donau	
	•	alteneck, Ilz	
		arienthal, Regen	
		eisnach, Schwarzer-Regen	
	•	essenhofen, Wertach	
	_	onauwörth, Donau	
	•	empten, Iller	
	_	andsberg, Lech	
	_	eu-Ulm-Bad-Held, Donau	
	_	affenhofen, Zusam	
	J		



2.3

	Pegel Pfroten-Ried, Vils	. 54
	Pegel Sonthofen, Iller	. 55
	Pegel Wiblingen, Iller mit Kanal	. 56
	Pegel Altenmarkt, Alz	. 57
	Pegel Bad-Aibling, Glonn	. 58
	Pegel Bad-Aibling, Mangfall	. 59
	Pegel Birnbach, Rott	. 60
	Pegel Burghausen, Salzach	. 61
	Pegel Eschelbach, Inn	. 62
	Pegel Fürstenfeldbruck, Amper	. 63
	Pegel Garmisch udP, Loisach	
	Pegel Ilsank, Ramsauer-Ache	
	Pegel Inkofen, Amper	
	Pegel Leutstetten, Würm	
	Pegel Mittenwald, Isar	
	Pegel Oberammergau, Ammer	
	Pegel Oberaudorf, Inn	
	Pegel Passau Ingling, Inn	
	Pegel Plattling, Isar mit Mühlbächen	
	Pegel Schlehdorf, Loisach	
	Pegel Siegsdorf, Weiße Traun.	
	Pegel Staudach, Tiroler Achen	
	Pegel Stein, Traun	
	Pegel Unterjettenberg, Saalach	
	Pegel Weilheim, Ammer	
	Pegel Wernleiten, Rote Traun	
	Pegel Ingolstadt, Donau	
	Pegel Kehlheim, Donau	
	Pegel Manching-Bahnbrücke, Paar	
	Pegel Mettendorf, Schwarzbach	
	Pegel Pfelling, Donau	
	Pegel Schwabelweis, Donau	
	Pegel Bad Berneck, Weißer Main	
	Pegel Bayreuth, Roter Main	
	Pegel Hohenstadt, Pegnitz	
	Pegel Kemmern, Mai	
	Pegel Laufermühle, Aisch	
	Pegel Leucherhof, Kinzig	
	Pegel Neumühle, Rednitz	
	Pegel Nürnberg, Pegnitz.	
	Pegel Pettstadt, Regnitz.	
	Pegel Rasch, Schwarzbach	
	Pegel Unterlangenstadt, Rodach	
	Pegel Bad Kissingen, Fränkische Saale	
	Pegel Schweinfurt, Main	
	Pegel Wolfsmünster, Fränkische Saale	
	Pegel Würzburg, Main	
D	heinland-Pfälzische Monitoring-Pegel	
1/	Pegel Weinähr, Gelbach	
	Pegel Westerburg, Schafbach	
	1 eget 11 controlle, behatraell	102



3	Literaturverzeichnis	145
	Pegel Siebeldingen, Queich	
	Pegel Odenbach, Glan	
	Pegel Oberingelheim, Selz	
	Pegel Neustadt an der Weinstraße, Speyerbach	
	Pegel Martinstein 2, Nahe	
	Pegel Kellenbach 2, Simmerbach	
	Pegel Gensingen, Wiesbach	
	Pegel Flomersheim, Isenach	
	Pegel Contwig, Schwarzbach	
	Pegel Boos, Nahe	
	Pegel Bobenthal, Weislauter	
	Pegel Albisheim, Pfrimm	
	Pegel Saarburg 2, Leuk	
	Pegel Platten 2, Lieser	120
	Pegel Papiermühle, Dhron	118
	Pegel Nettegut, Nette	116
	Pegel Kloster Engelport, Flaumbach	114
	Pegel Hentern, Ruwer	113
	Pegel Friedrichsthal, Wied	111
	Pegel Bollendorf 2, Sauer	109
	Pegel Betzdorf, Sieg	107
	Pegel Altenahr, Ahr	105
	Pegel Alsdorf-Oberecken, Nims	103



Impressum

Bearbeitung: Kooperation KLIWA – <u>www.kliwa.de</u>

Redaktion:

Landesamt für Umwelt Rheinland-Pfalz

Kaiser-Friedrich-Str. 7 55116 Mainz

Bayerisches Landesamt für Umwelt

Bürgermeister-Ulrich-Straße 160 86179 Augsburg

LUBW Landesanstalt für Umwelt Baden-Württemberg

Griesbachstraße 1 76185 Karlsruhe

Deutscher Wetterdienst

Frankfurter Straße 135 63067 Offenbach am Main

Hessisches Landesamt für Naturschutz, Umwelt und Geologie

Rheingaustraße 186 65203 Wiesbaden

Ministerium für Umwelt und Verbraucherschutz des Saarlandes

Kepplerstr. 18 66117 Saarbrücken

Bilder Frontseite:

Oben: Der Pegel Altenahr an der Ahr nach dem Hochwasser 2021

Struktur- und Genehmigungsdirektion Nord

Mitte: Algenblüte der Cyanobakterien (Blaualgen) an der Mosel

LfU RP, Dr. Jochen Fischer

Unten: Blautopf in Blaubeuren

Foto: Christian Iber

Nachdruck – auch auszugsweise – nur mit Zustimmung der Herausgeber unter Quellenangabe und Überlassung von Belegexemplaren gestattet.



1 Hintergrund

Das Monitoring zum Klimawandel in Süddeutschland ist ein wichtiger Projektbereich des Vorhabens KLIWA mit dem die Thematik "Klimawandel und Konsequenzen für die Wasserwirtschaft" bearbeitet wird. Damit ist ein langfristig angelegtes, einheitliches Vorgehen beabsichtigt, durch das verschiedene relevante meteorologische und hydrologische Kenngrößen in ihrer zeitlichen Entwicklung erfasst und in regelmäßigen Abständen zeitnah ausgewertet werden sollen, um die Auswirkungen des Klimawandels zu verfolgen.

Grundlage des Monitorings in KLIWA ist eine regelmäßige Fortschreibung der Zeitreihenanalysen ausgewählter Kenngrößen mit hoher Datenqualität. Die Auswertungen sollen zeitnah zeigen, wie sich die Trends in den Messzeitreihen als mögliche Klimaänderungssignale entwickelt haben. Damit liegt gleichzeitig auch eine bestmögliche Datenbasis vor, um die Ergebnisse von Klimaszenarienrechnungen im Vergleich mit den gemessenen Klimagrößen besser beurteilen zu können. Dies stellt eine wichtige Entscheidungsgrundlage für die Erarbeitung von wasserwirtschaftlichen Handlungsempfehlungen dar.

Es liegen in KLIWA umfangreiche Untersuchungsergebnisse zum Langzeitverhalten für die nachstehenden, den Wasserhaushalt und die Gewässerökologie beeinflussenden, Kenngrößen vor:

Für die Meteorologie: Gebietsniederschlag – Starkniederschlag – Lufttemperatur – Verdunstung – Globalstrahlung – Schneedecke

Für die Hydrologie: Mittlere Abflüsse – Hochwasserabflüsse – Niedrigwasserabflüsse – Grundwasserstände/Quellschüttungen

Für die Gewässerökologie: Chemische/physikalische Langzeitdaten des Bodensees

Die Untersuchungsergebnisse sind ausführlich in einer Reihe von KLIWA-Heften veröffentlicht und bilden für die Kenngrößen Gebietsniederschlag, Starkniederschlag, Lufttemperatur, Mittlere Abflüsse, Hochwasserabflüsse, Niedrigwasserabflüsse, Grundwasserstände/Quellschüttungen sowie chemische/physikalische Langzeitdaten des Bodensees die Basis der Monitoringberichte. Der erste Monitoringbericht [KLIWA 2011], für den Zeitraum 1931 bis 2005, wurde im Jahr 2011 für den Zeitraum 1931 bis 2015 fortgeschrieben [KLIWA 2011, KLIWA 2016]. Im Rahmen des vorliegenden vierten Monitoringberichts [KLIWA 2021], sind die Ergebnisse der fortgeschriebenen Zeitreihenauswertung der Kenngrößen bis 2020 dargestellt.

Da sich dieser Bericht als Fortführung des Klimamonitorings versteht, wurde auf eine konsistente Auswertung und Darstellung gegenüber den ersten Monitoringberichten geachtet.

Die ausgewählten Kenngrößen stehen als Jahresserien zur Verfügung. Alle berücksichtigten meteorologischen Datenserien haben eine Zeitreihenlänge von 1931 bis 2020; für die hydrologischen Winterhalbjahre wurde deshalb die Periode 1932 bis 2020, für die hydrologischen Sommerhalbjahre die Periode 1931 bis 2020 ausgewertet. Die betrachteten Zeiträume für die hydrologischen Kenngrößen und deren Verfügbarkeit sind in den jeweiligen Abschnitten beschrieben.

Für die Untersuchungen wurden die bisherigen Methoden der Zeitreihenanalyse, d. h. die lineare Trendanalyse und die Bestimmung der Trendsignifikanz mit dem Testverfahren nach Mann-Kendall angewandt. Dabei ist zu beachten, dass der ermittelte lineare Trend stark durch die hydrometeorologische Ausprägung des gewählten Anfangs- bzw. Endzeitraums der Analyse beeinflusst wird. Die statistische Signifikanz ermöglicht Aussagen, wie zuverlässig oder unsicher ein ermittelter Trend ist. Also ob eine Änderung überwiegend zufällig durch die natürliche Variabilität der Werte hervorgerufen wird, oder ob auch eine tatsächliche Veränderung (Trend)



der jeweiligen Messgröße vorliegt, sozusagen signifikant ist. Für diese Veränderungen wird wegen der großen natürlichen Schwankungsbreite der Kennwerte jeweils der lineare Trend in der Zeitreihe herausgestellt. Zusätzlich ist teilweise das gleitende Mittel über 10 Jahre dargestellt, um kurzfristige Schwankungen der Zeitreihe zu unterdrücken. Dabei ist zu beachten, dass der Filter für das gleitende Mittel am Anfang und Ende der Zeitreihe vorzeitig ausläuft. Die Trendgröße selbst ist – abhängig von der jeweiligen betrachteten Kenngröße – entweder als absoluter oder als relativer Wert angegeben.



2 Ergebnisse zu den KLIWA-Pegel

Im Monitoringbericht 2021 wurden bereits die folgenden Kernaussagen zur Entwicklung in Süddeutschland für den Hochwasserabfluss getroffen:

- Für den Zeitraum 1932 bis 2020 ergeben sich im KLIWA-Untersuchungsgebiet bei 55 % der Pegel Trends zu steigenden Hochwasserabflüssen im Gesamtjahr. Dies gilt in gleicher Weise für das hydrologische Winterhalbjahr (58 % der Pegel) und in abgeschwächter Form im Sommerhalbjahr (45 % der Pegel). Von den ermittelten Zunahmen ist etwa die Hälfte der Trends signifikant.
- Der Vergleich unterschiedlich langer Zeiträume zeigt für das hydrologische Winterhalbjahr eine Zunahme an positiven Trends bis 2005. Danach kommt es zu einer Abnahme an positiven Trends.
- Die Betrachtung des Jahresgangs der monatlichen Abflusshöchstwerte zeigt analog zu den vorausgehenden Klimamonitoringberichten, dass die Erhöhung im hydrologischen Winterhalbjahr weiterhin ausgeprägter ist; dies ist für einen Großteil der Gebiete Süddeutschlands auch die Jahreszeit mit der größten Hochwassergefährdung.

Für die Erstellung des Berichts von 2021 wurden umfangreiche Auswertungen für die Hochwasserabflüsse für die betrachteten Pegel (vgl. Abb. 1) durchgeführt, die im Monitoringbericht selbst nicht oder nur in stark zusammengefasster Form dargestellt werden konnten. Diese sollen hier in Ergänzung zu dem Monitoringbericht 2021 verfügbar gemacht werden. Auf eine weitere Diskussion der Untersuchungsergebnisse wird allerdings verzichtet.

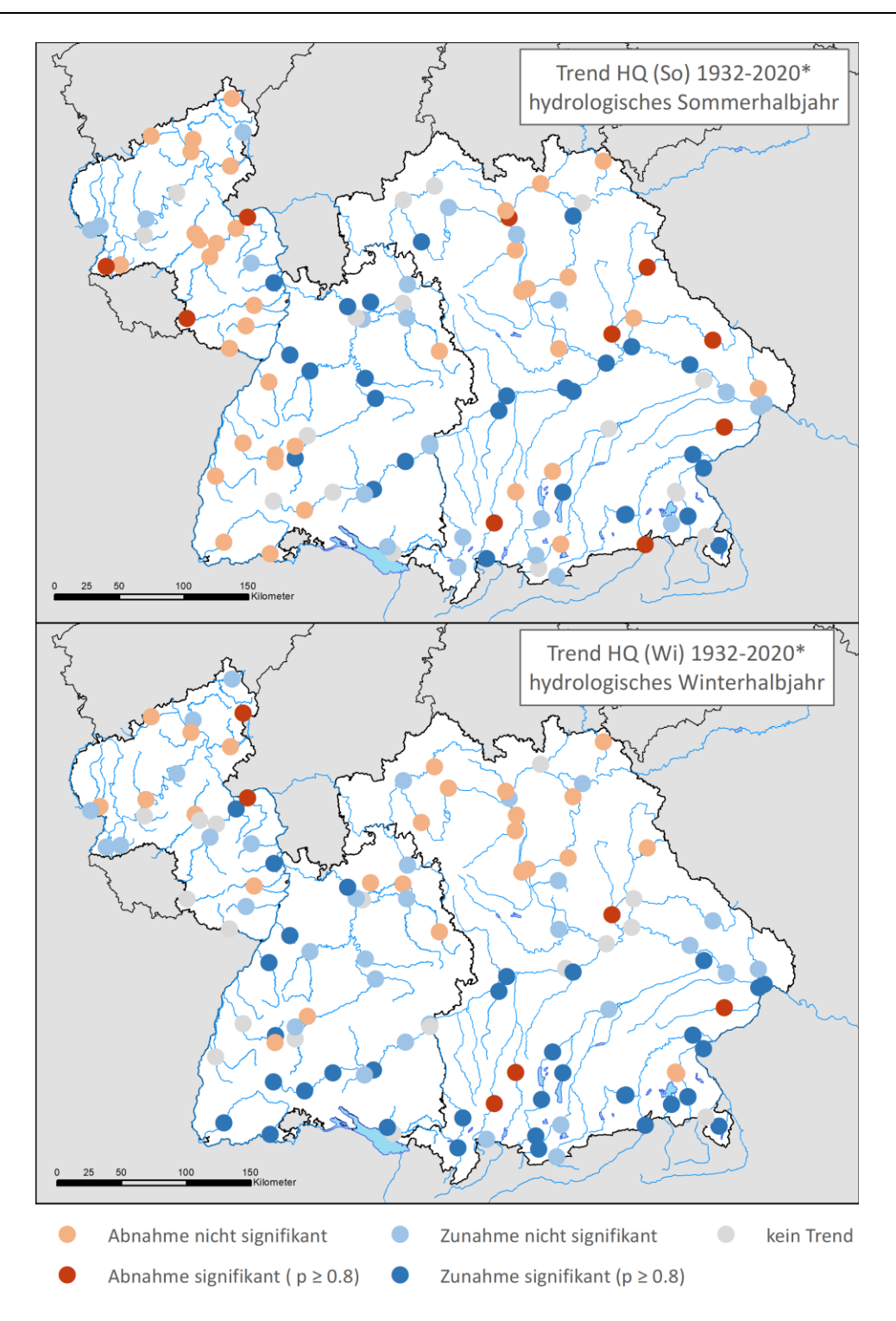
Als repräsentative Datengrundlage für das Trendverhalten dienen 116 ausgewählte Pegel in Baden-Württemberg, Bayern und Rheinland-Pfalz (vgl. Abb. 1). Es handelt sich um die gleichen Pegel wie bei den Untersuchungen des mittleren Abflusses. Die Aufzeichnungen der Pegel in Baden-Württemberg und Bayern beginnen 1932, mit Ausnahme von zwei bayerischen Pegeln (Pegel Neu Ulm, Bad Held (Datenbeginn 1954) und Pegel Würzburg (Datenbeginn 1989)). Die 25 betrachteten Pegel aus Rheinland-Pfalz weisen alle einen späteren Datenbeginn auf (1937-1973). Dargestellt werden die 25 rheinland-pfälzischen Pegel ab 1971 sowie bei früherer Datenverfügbarkeit zusätzlich ab Zeitpunkt des Datenbeginns des jeweiligen Pegels.

Für die statistische Betrachtung des Langzeitverhaltens der jährlichen und halbjährlichen Abflusshöchstwerte (HQ(J) bzw. HQ(Wi)/HQ(So)) eines Pegels wurden die vorhandenen monatlichen Abflüsse zu Jahresserien für das hydrologische Jahr (November bis Oktober), das Sommerund Winterhalbjahr zusammengefasst. Die Hochwasserabflüsse des Winterhalbjahres beziehen sich somit auf die Monate November bis April und die Hochwasserabflüsse des Sommerhalbjahres auf die Monate Mai bis Oktober. Für diese Serien wurde anschließend jeweils die langjährige Veränderung in Form von linearen Trends und deren statistische Signifikanzen ermittelt.

Zusätzlich wurde der mittlere Jahresgang der Abflusshöchstwerte MonMHQ(m) betrachtet. Um eventuelle Veränderungen in den Monatswerten zu erkennen, wurde die verfügbare Zeitreihe im Jahre 1974 geteilt und für das hydrologische Jahr und die Halbjahre getrennt ausgewertet. Bei zwei Pegeln in Bayern war aufgrund des späteren Zeitreihenbeginns keine Auswertung der Teilzeiträume möglich. In Rheinland-Pfalz trifft dies auf 20 Pegel zu.

Analog zu den Hochwasserabflüss enwerden auch zusätzliche Auswertungen weiterer Kenngrößen bereitgestellt. Die KLIWA-Berichte, die Monitoringberichte sowie dazu ergänzende zusätzliche Auswertungen sind auf der KLIWA-Internetseite www.kliwa.de verfügbar.





*Pegel in Rheinland-Pfalz zeigen den Trend von 1971-2020

Abb. 1: Lage der betrachteten 116 Pegel für die Untersuchungen zum Trendverhalten der Hochwasserabflüsse in Bayern (61), Baden-Württemberg (30) und Rheinland-Pfalz (25) sowie die räumliche Verteilung der Trends.



2.1 Baden-Württembergische Monitoring-Pegel

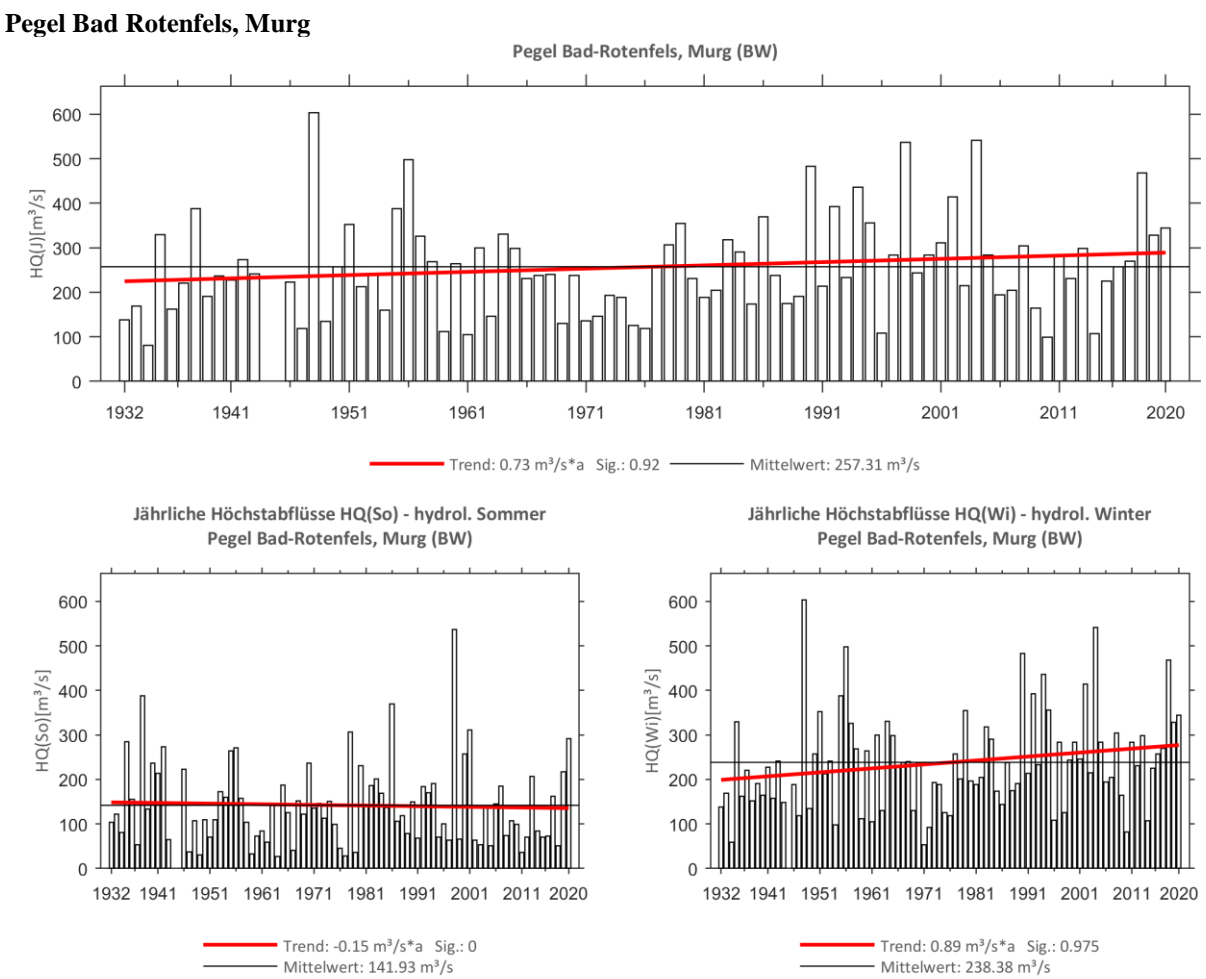


Abb. 2: Trenduntersuchungen von jährlichen Höchstabflüssen für den Zeitraum 1932 bis 2020.

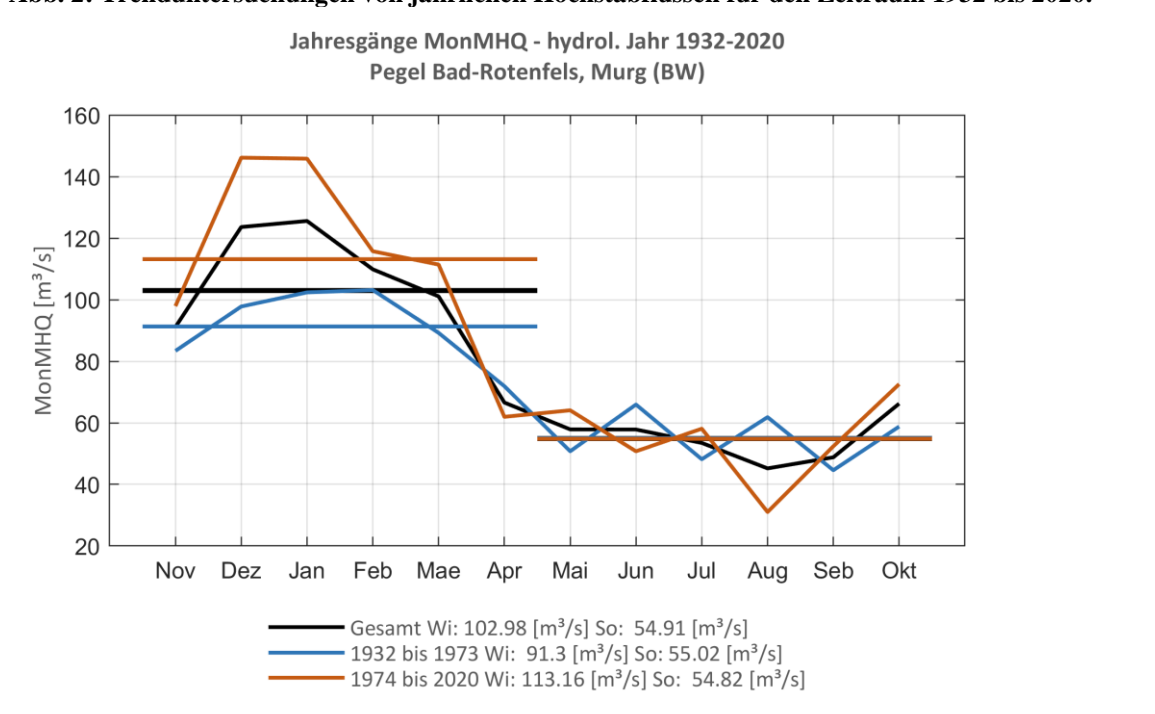


Abb. 3: Jahresgang des MonMHQ und Halbjahresmittel für 1932-2020 sowie 1932-1973 und 1974-2020.



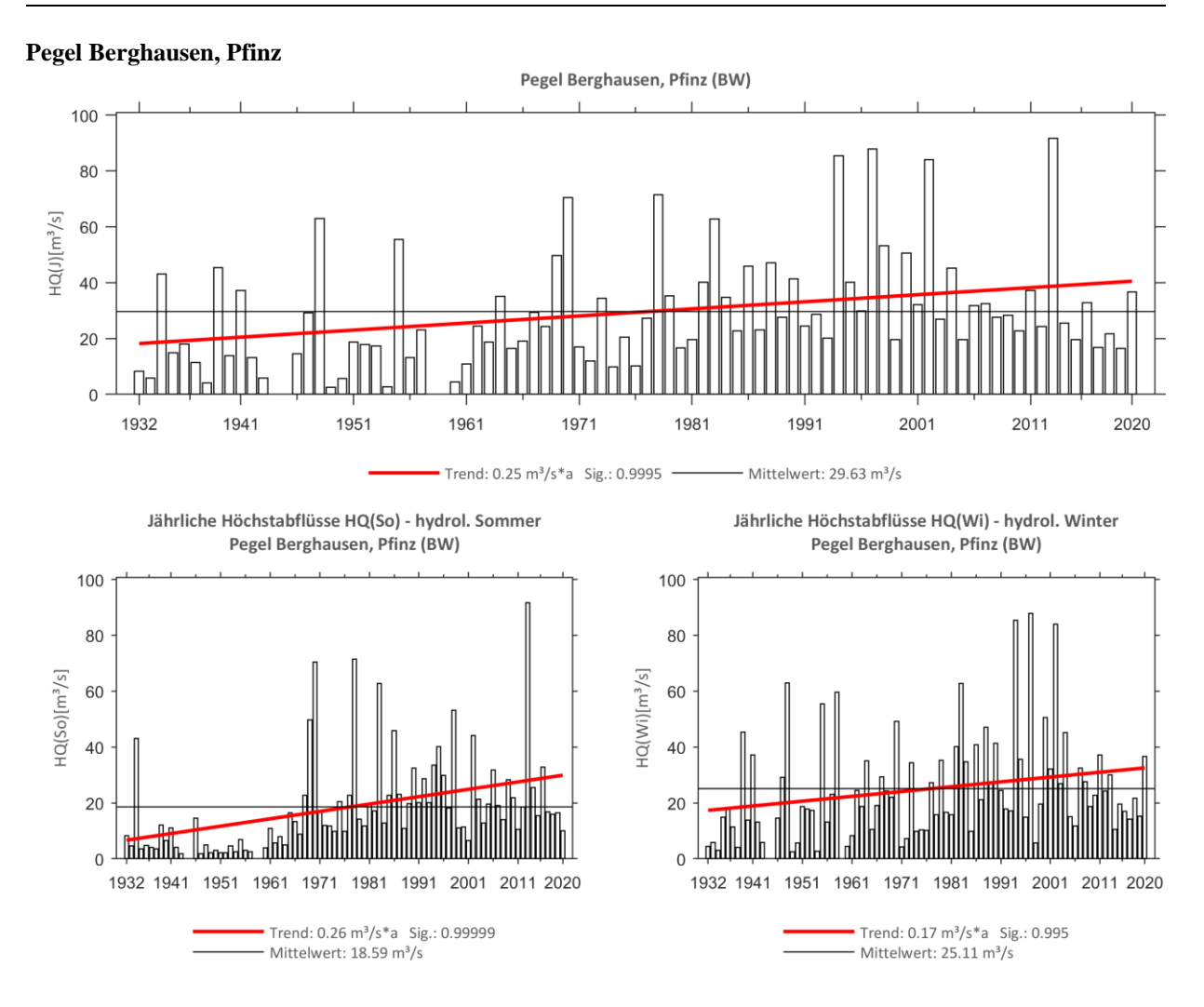


Abb. 4: Trenduntersuchungen von jährlichen Höchstabflüssen für den Zeitraum 1932 bis 2020.

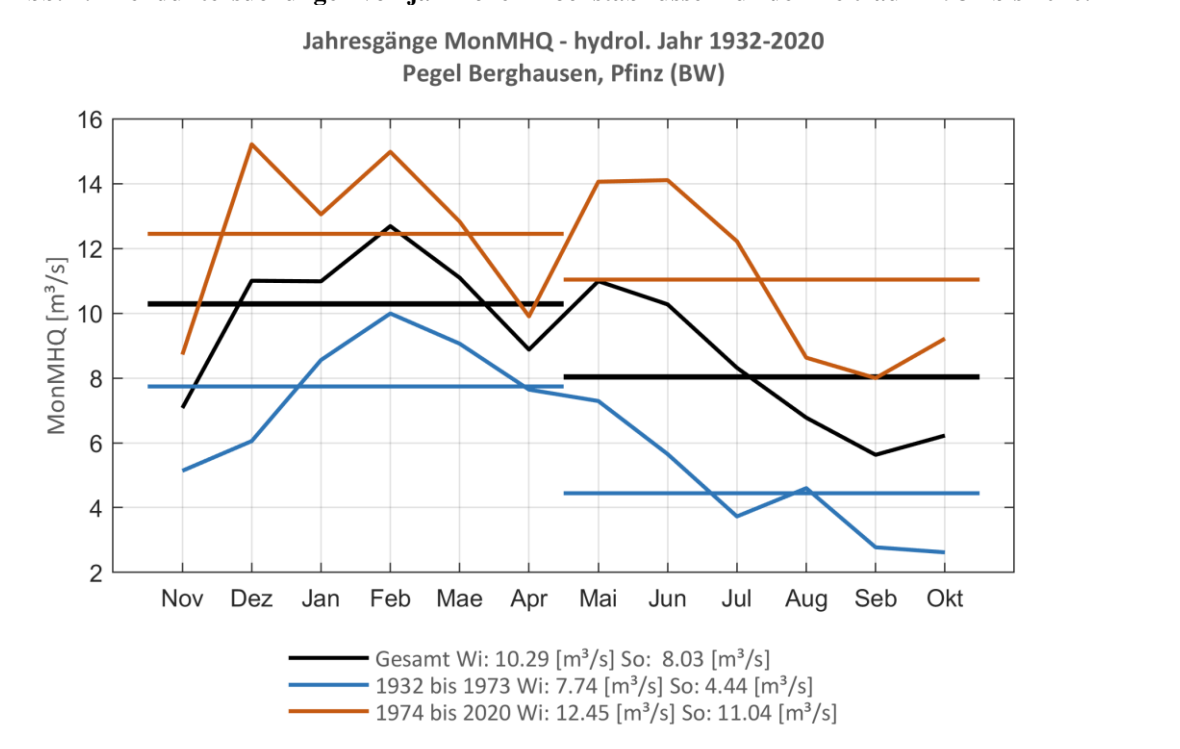


Abb. 5: Jahresgang des MonMHQ und Halbjahresmittel für 1932-2020 sowie 1932-1973 und 1974-2020.



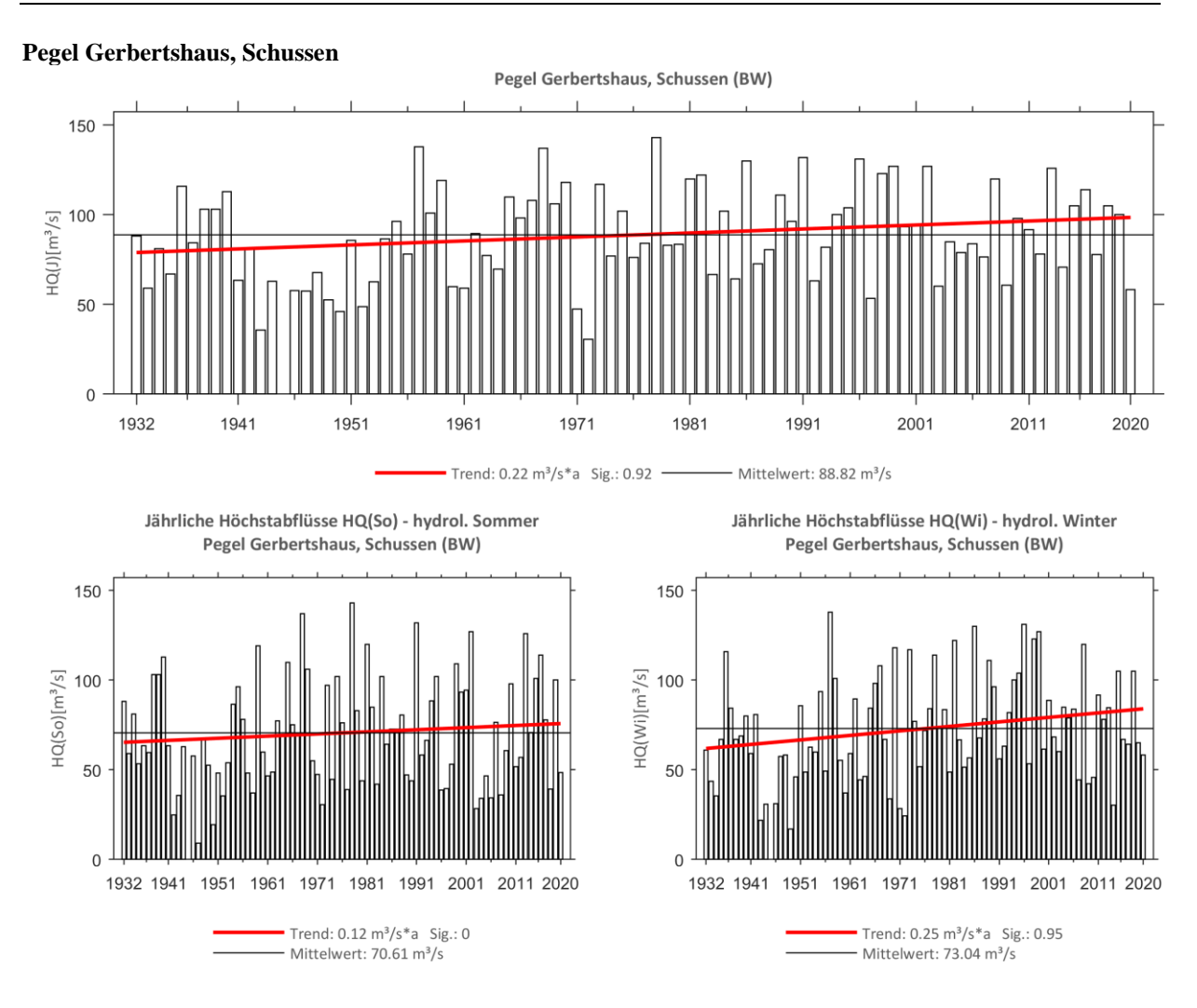


Abb. 6: Trenduntersuchungen von jährlichen Höchstabflüssen für den Zeitraum 1932 bis 2020.

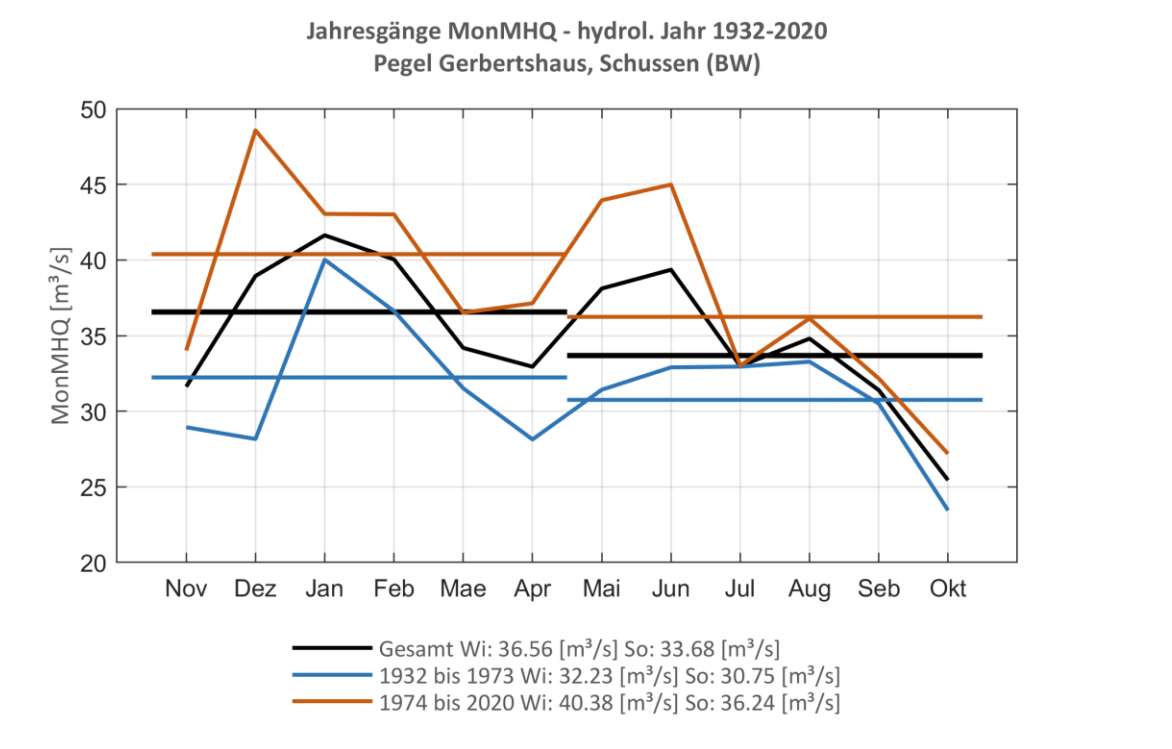


Abb. 7: Jahresgang des MonMHQ und Halbjahresmittel für 1932-2020 sowie 1932-1973 und 1974-2020.



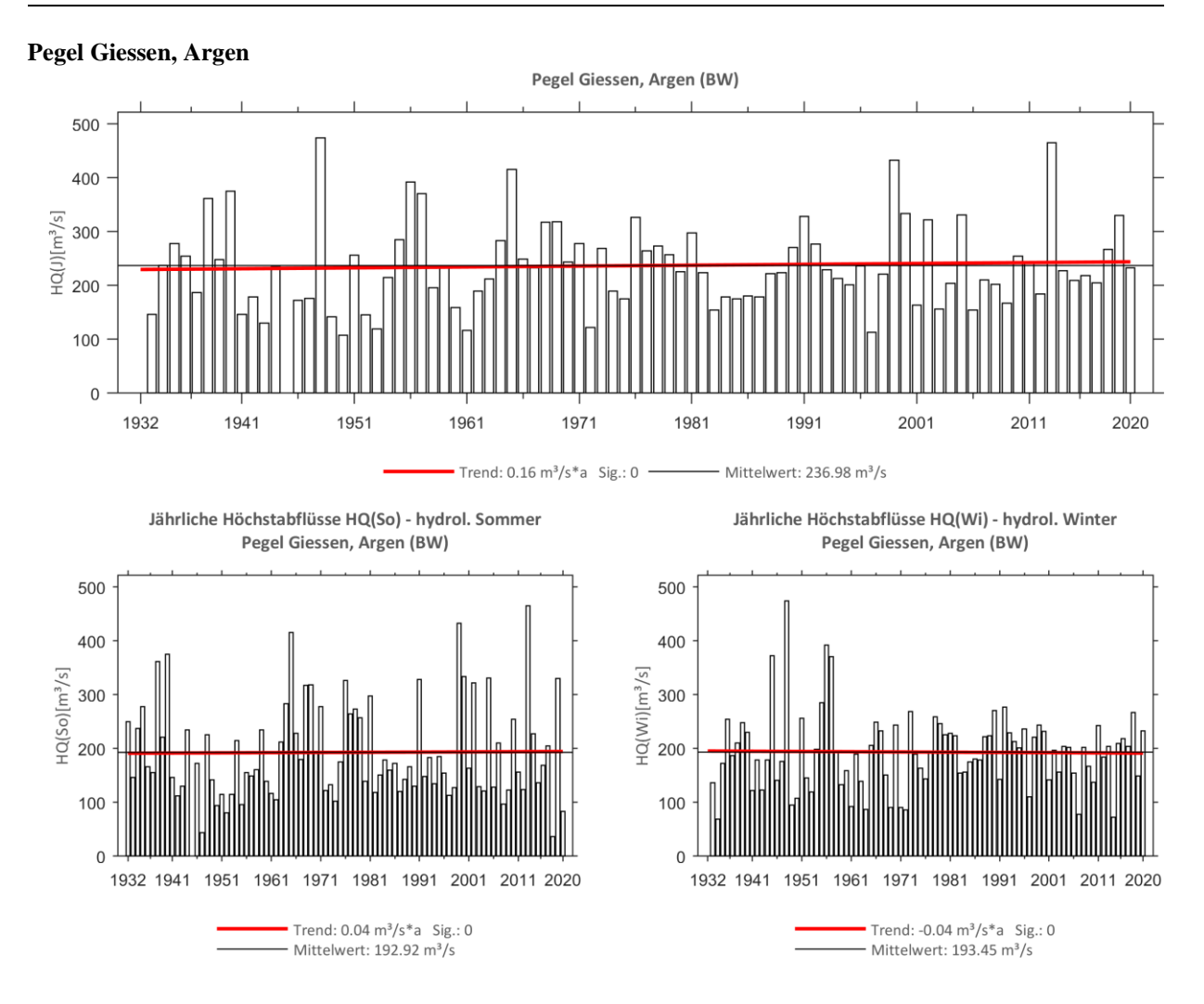


Abb. 8: Trenduntersuchungen von jährlichen Höchstabflüssen für den Zeitraum 1933 bis 2020.

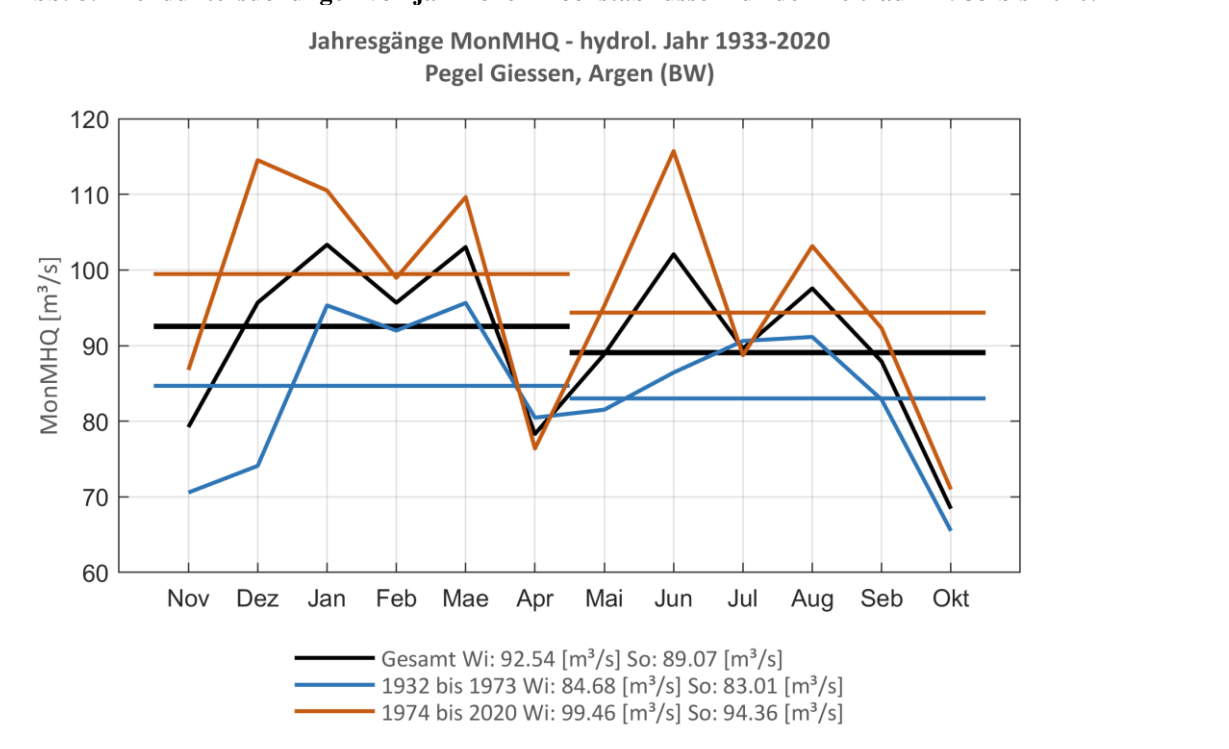


Abb. 9: Jahresgang des MonMHQ und Halbjahresmittel für 1933-2020 sowie 1933-1973 und 1974-2020.



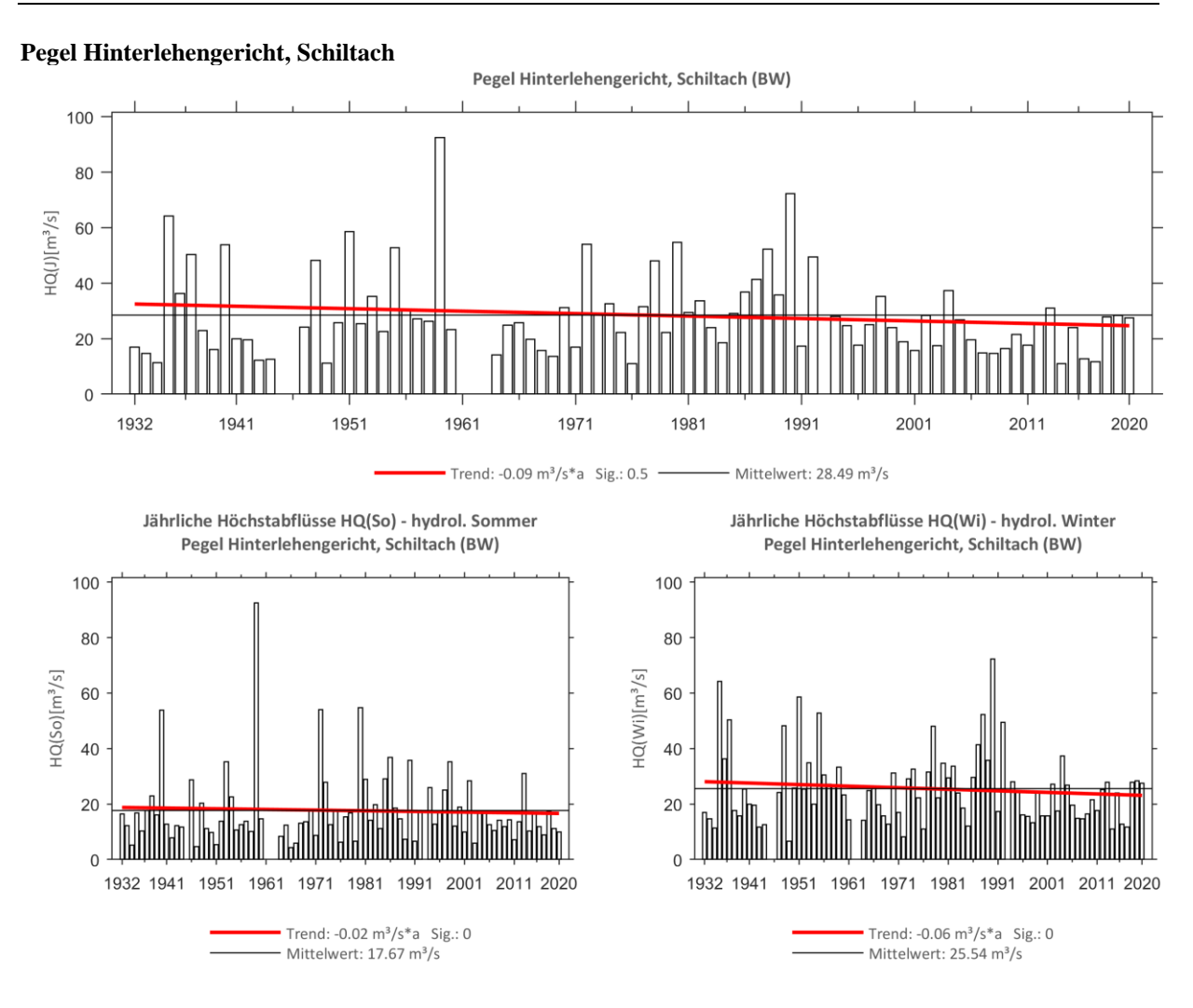


Abb. 10: Trenduntersuchungen von jährlichen Höchstabflüssen für den Zeitraum 1932 bis 2020.

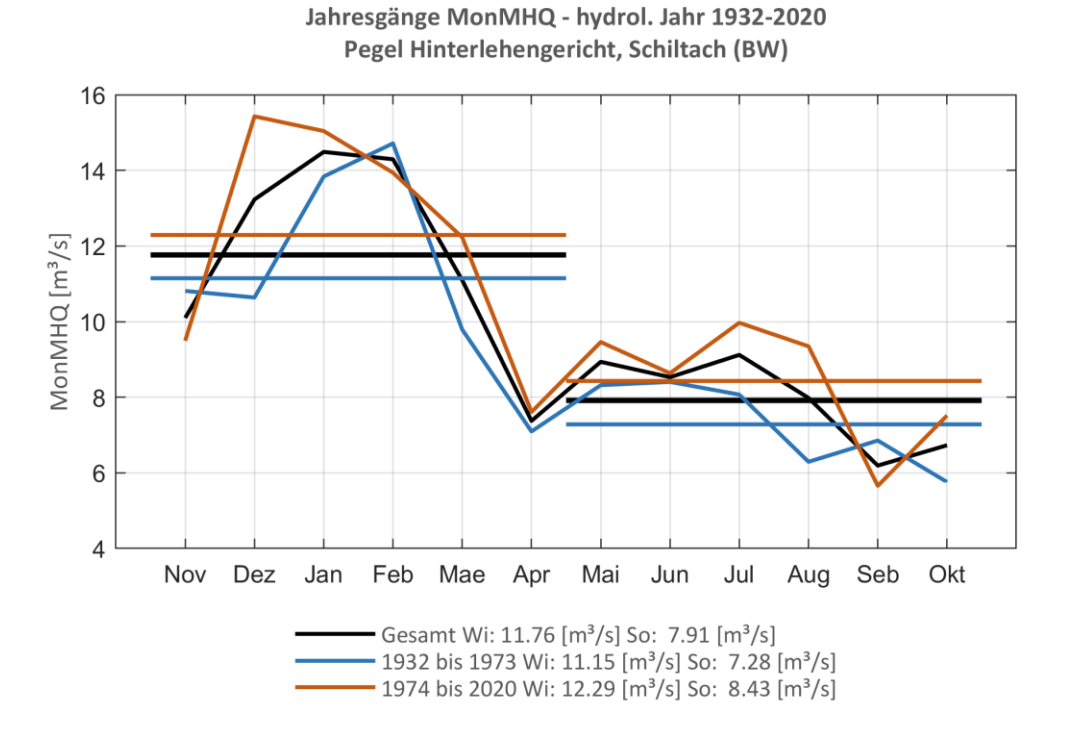


Abb. 11: Jahresgang des MonMHQ und Halbjahresmittel für 1932-2020 sowie 1932-1973 und 1974-2020.



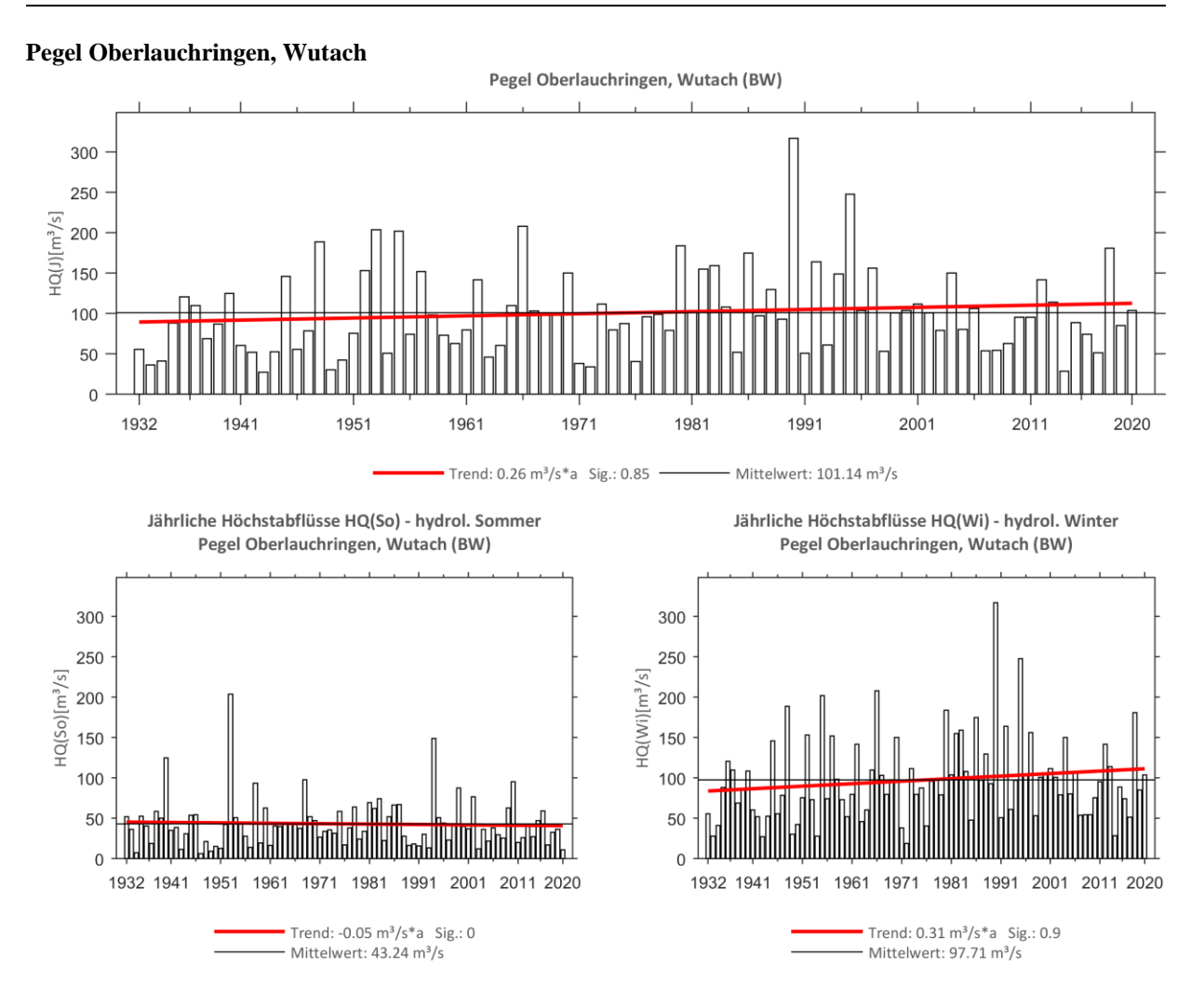


Abb. 12: Trenduntersuchungen von jährlichen Höchstabflüssen für den Zeitraum 1932 bis 2020.

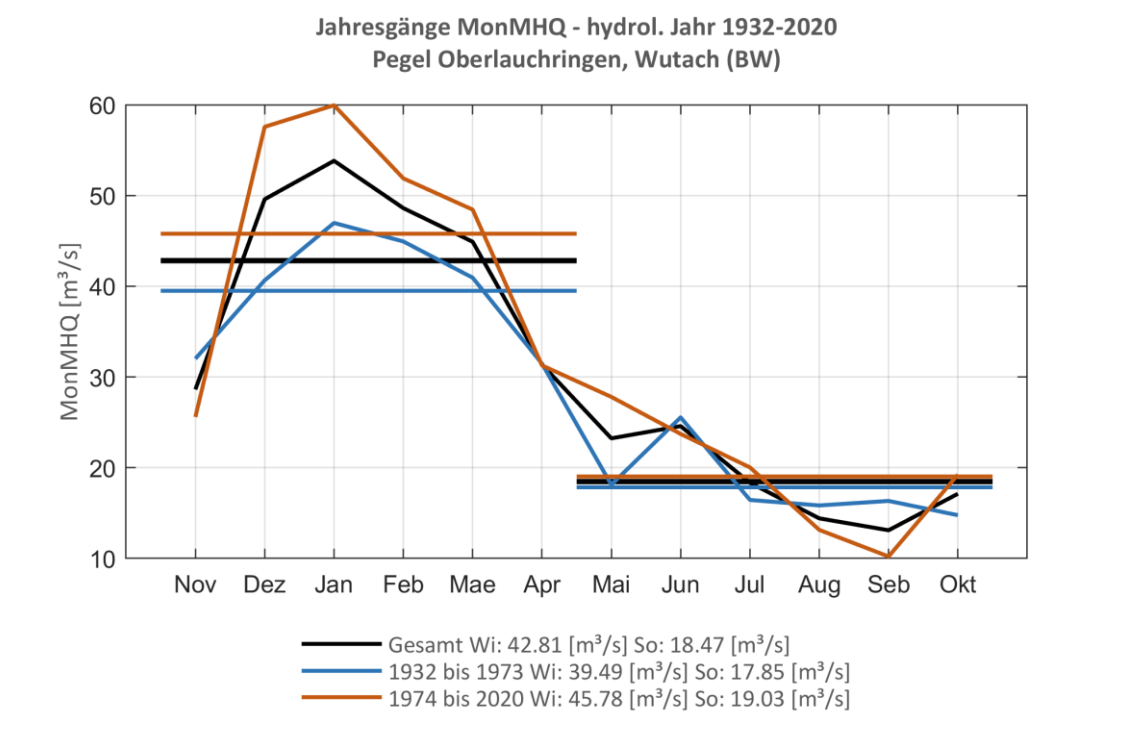


Abb. 13: Jahresgang des MonMHQ und Halbjahresmittel für 1932-2020 sowie 1932-1973 und 1974-2020.



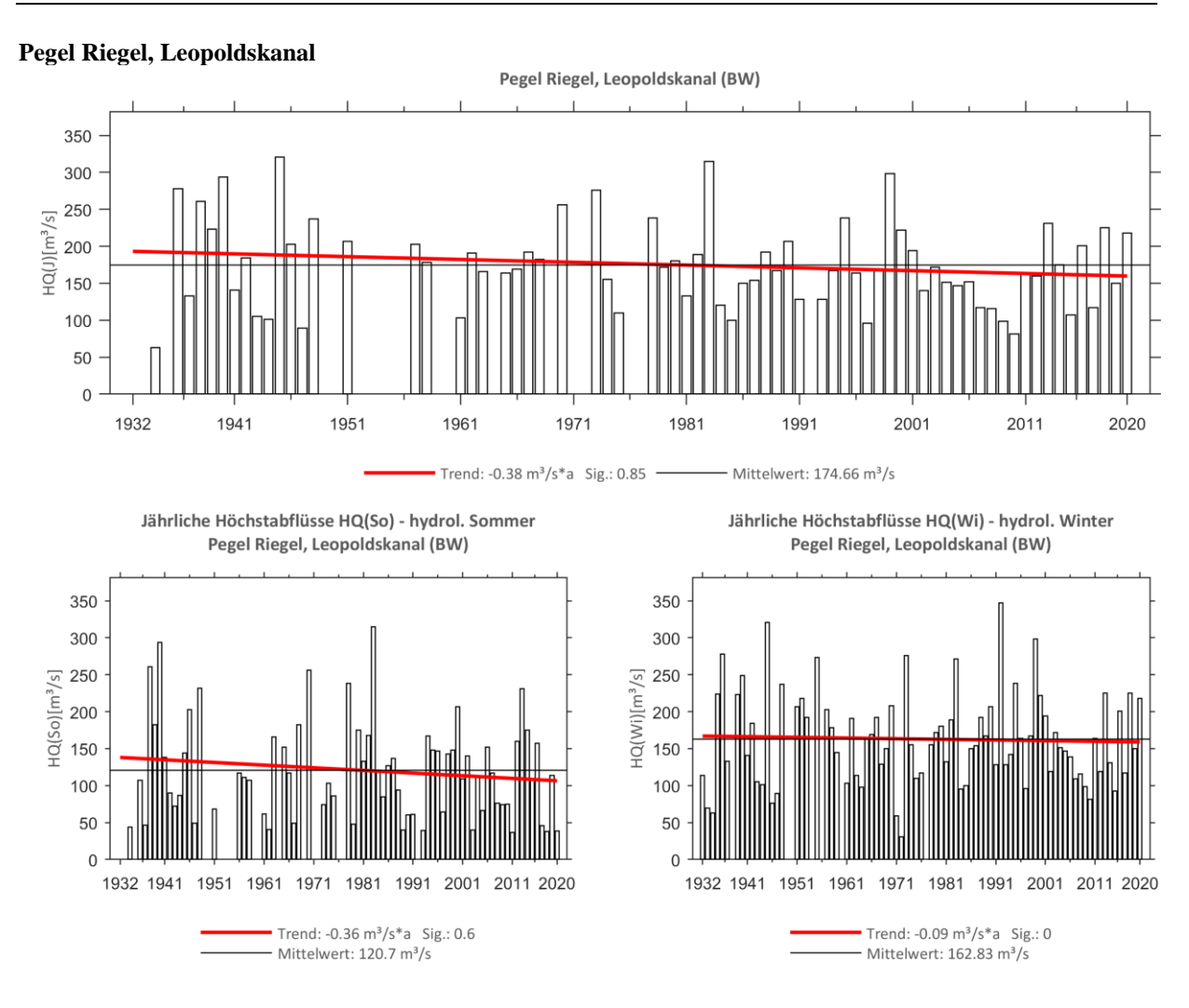


Abb. 14: Trenduntersuchungen von jährlichen Höchstabflüssen für den Zeitraum 1932 bis 2020.

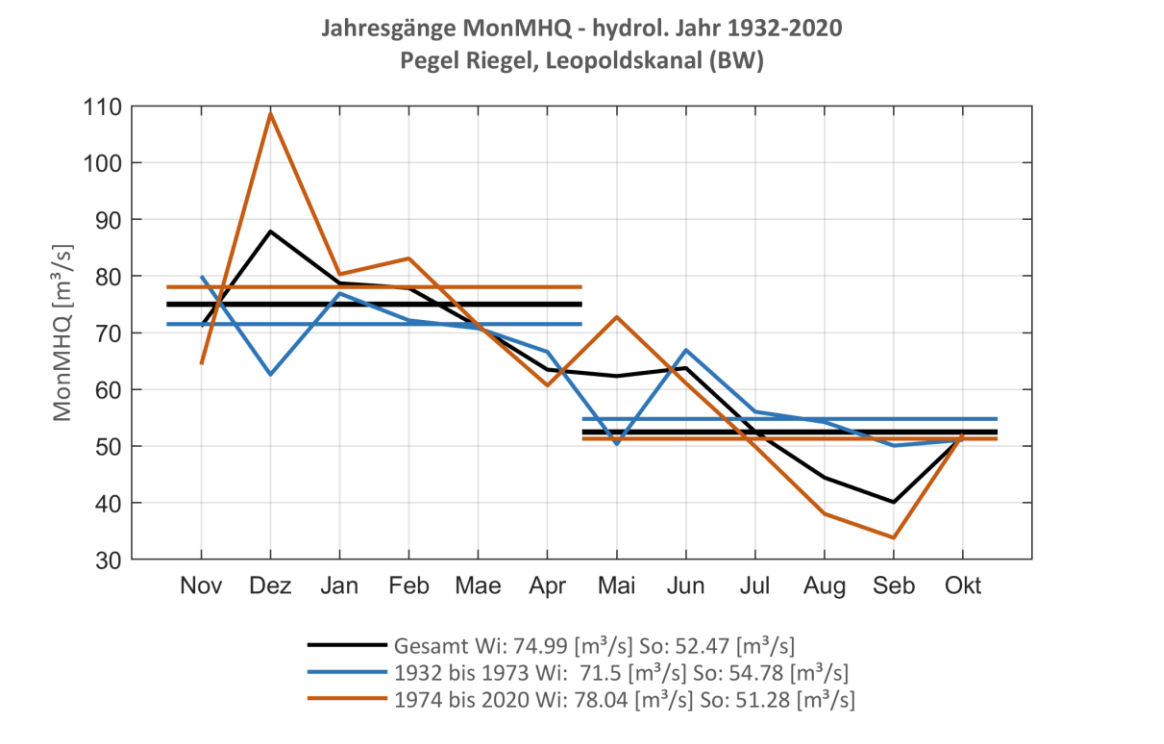


Abb. 15: Jahresgang des MonMHQ und Halbjahresmittel für 1932-2020 sowie 1932-1973 und 1974-2020.



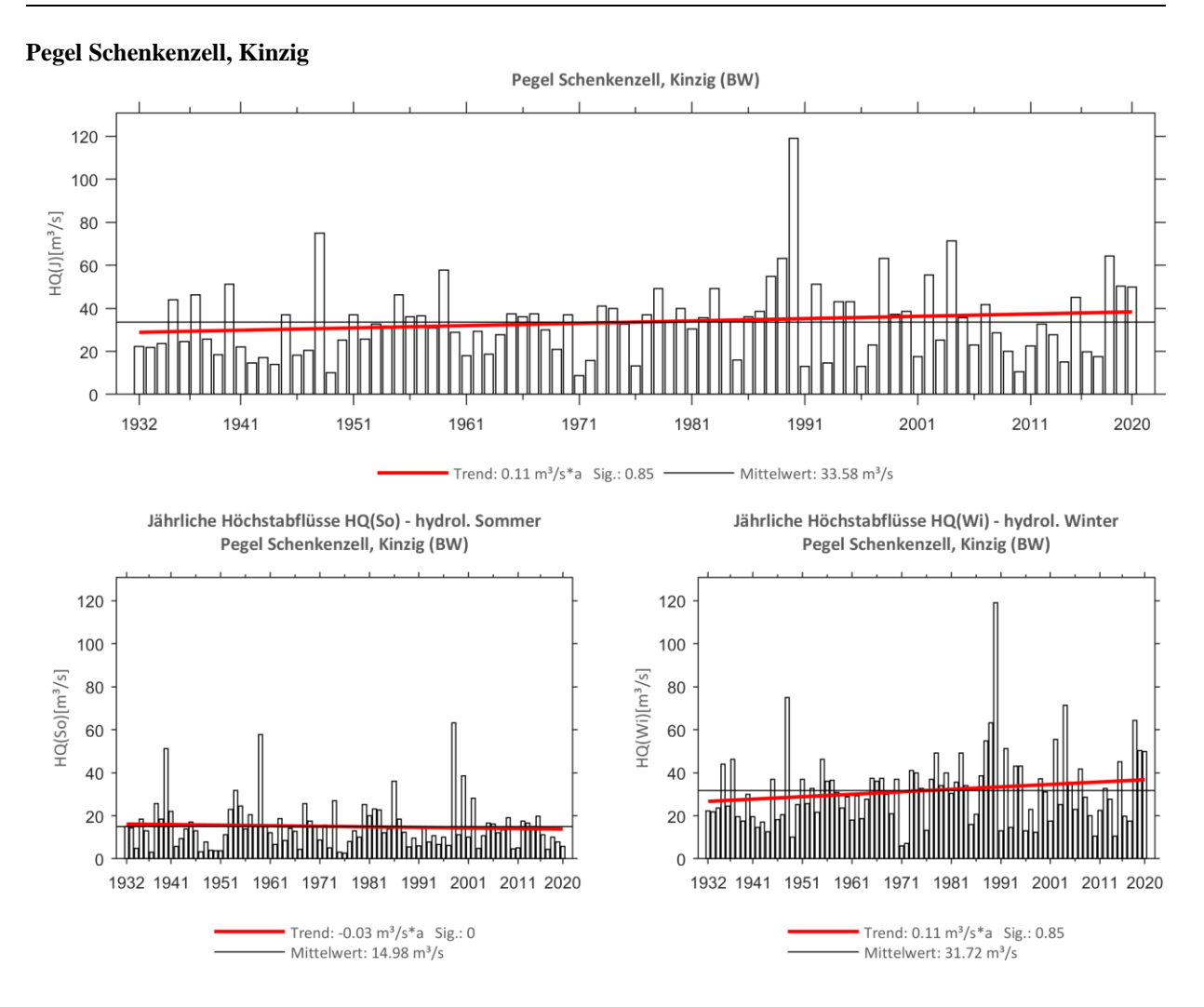


Abb. 16: Trenduntersuchungen von jährlichen Höchstabflüssen für den Zeitraum 1932 bis 2020.

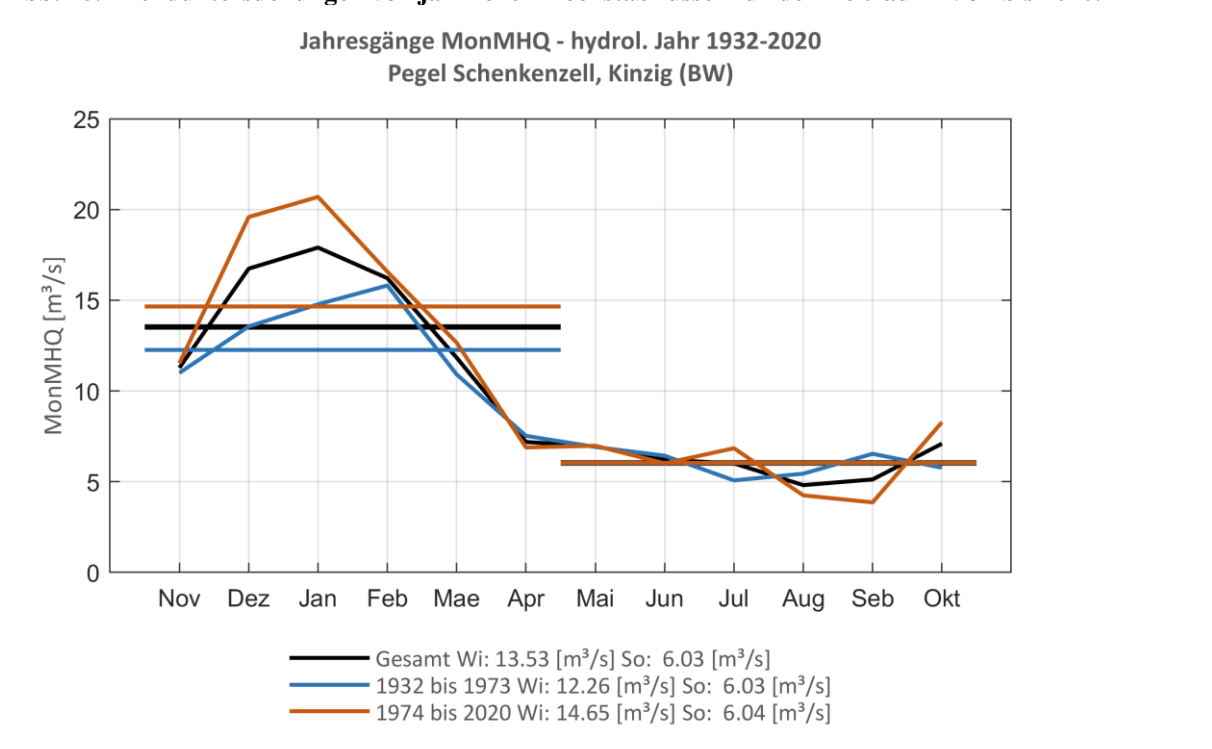


Abb. 17: Jahresgang des MonMHQ und Halbjahresmittel für 1932-2020 sowie 1932-1973 und 1974-2020.



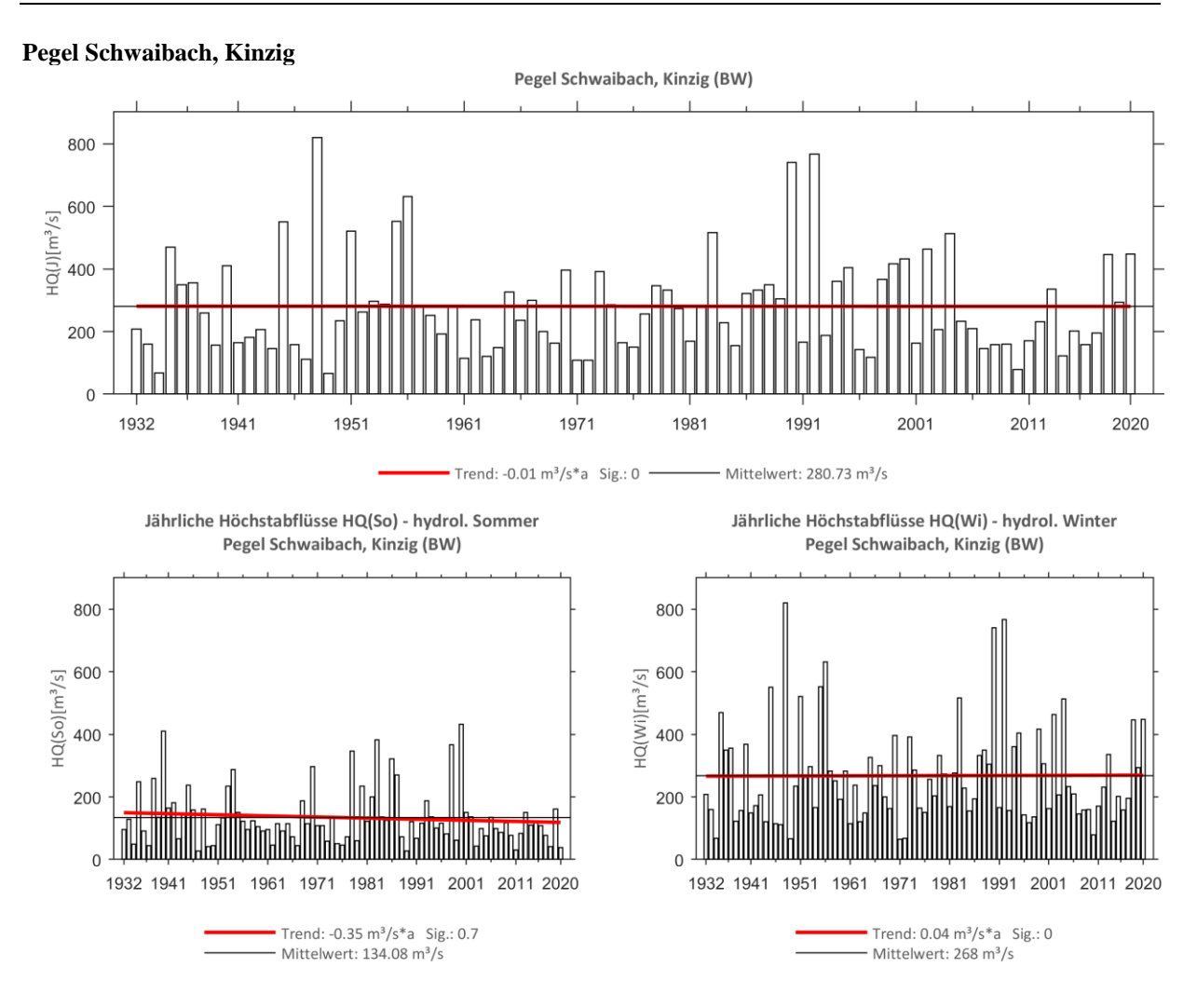


Abb. 18: Trenduntersuchungen von jährlichen Höchstabflüssen für den Zeitraum 1932 bis 2020.

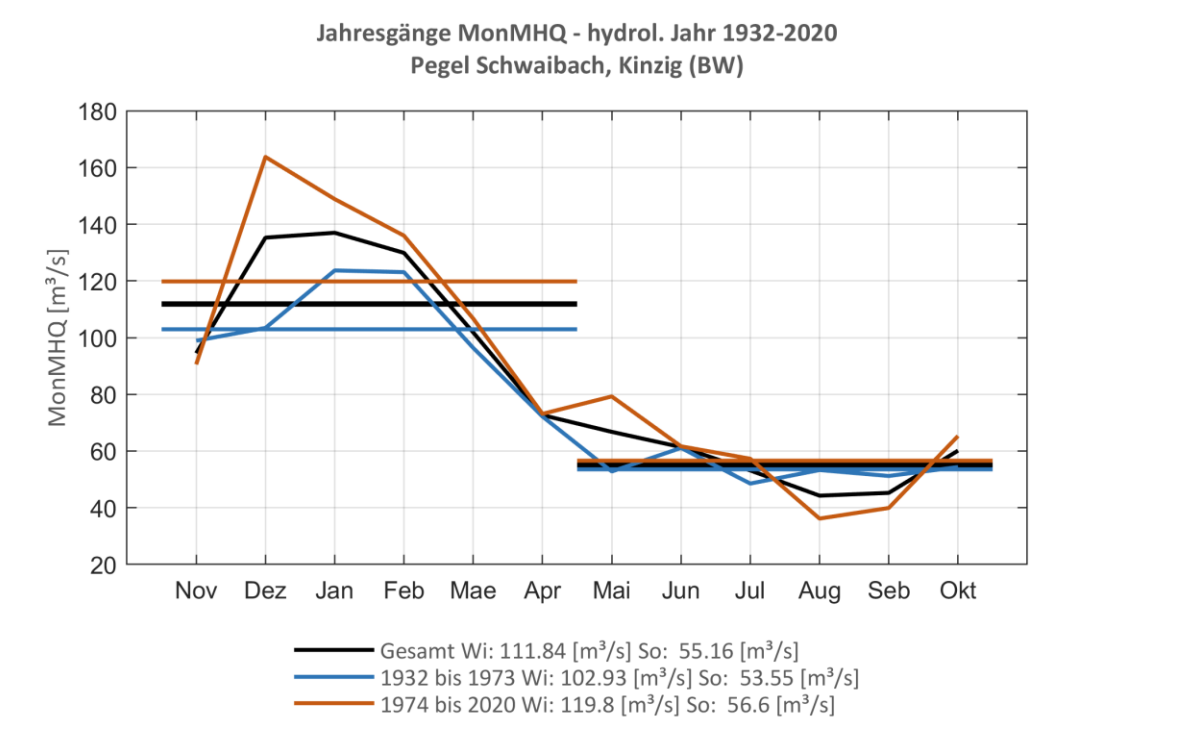


Abb. 19: Jahresgang des MonMHQ und Halbjahresmittel für 1932-2020 sowie 1932-1973 und 1974-2020.



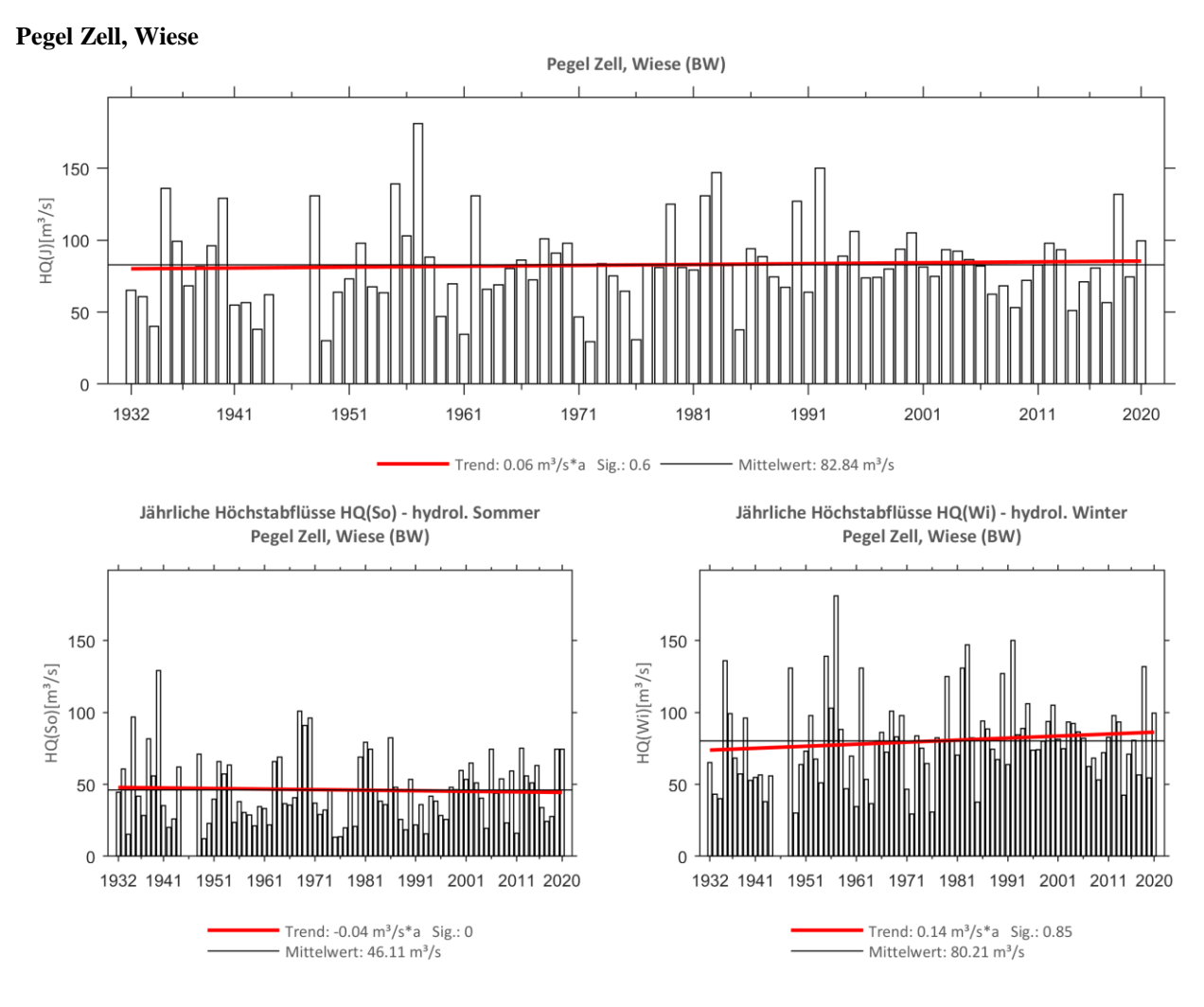


Abb. 20: Trenduntersuchungen von jährlichen Höchstabflüssen für den Zeitraum 1932 bis 2020.

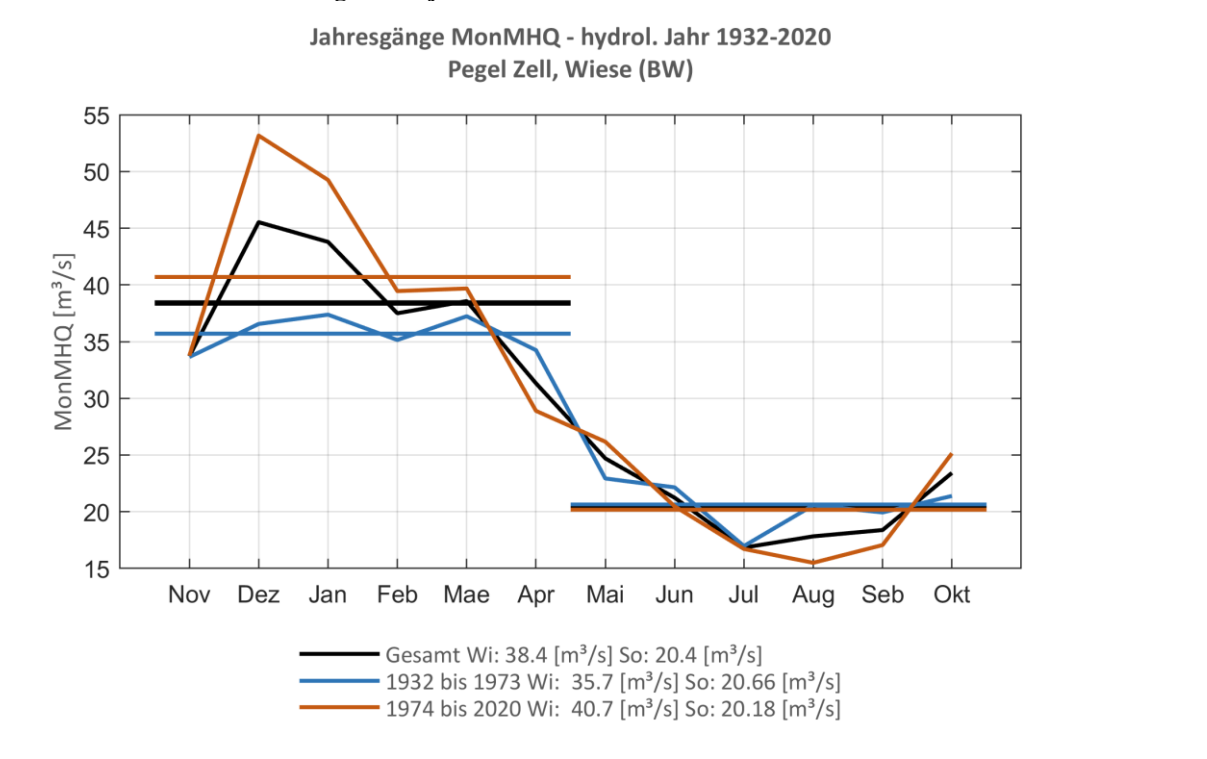


Abb. 21: Jahresgang des MonMHQ und Halbjahresmittel für 1932-2020 sowie 1932-1973 und 1974-2020.



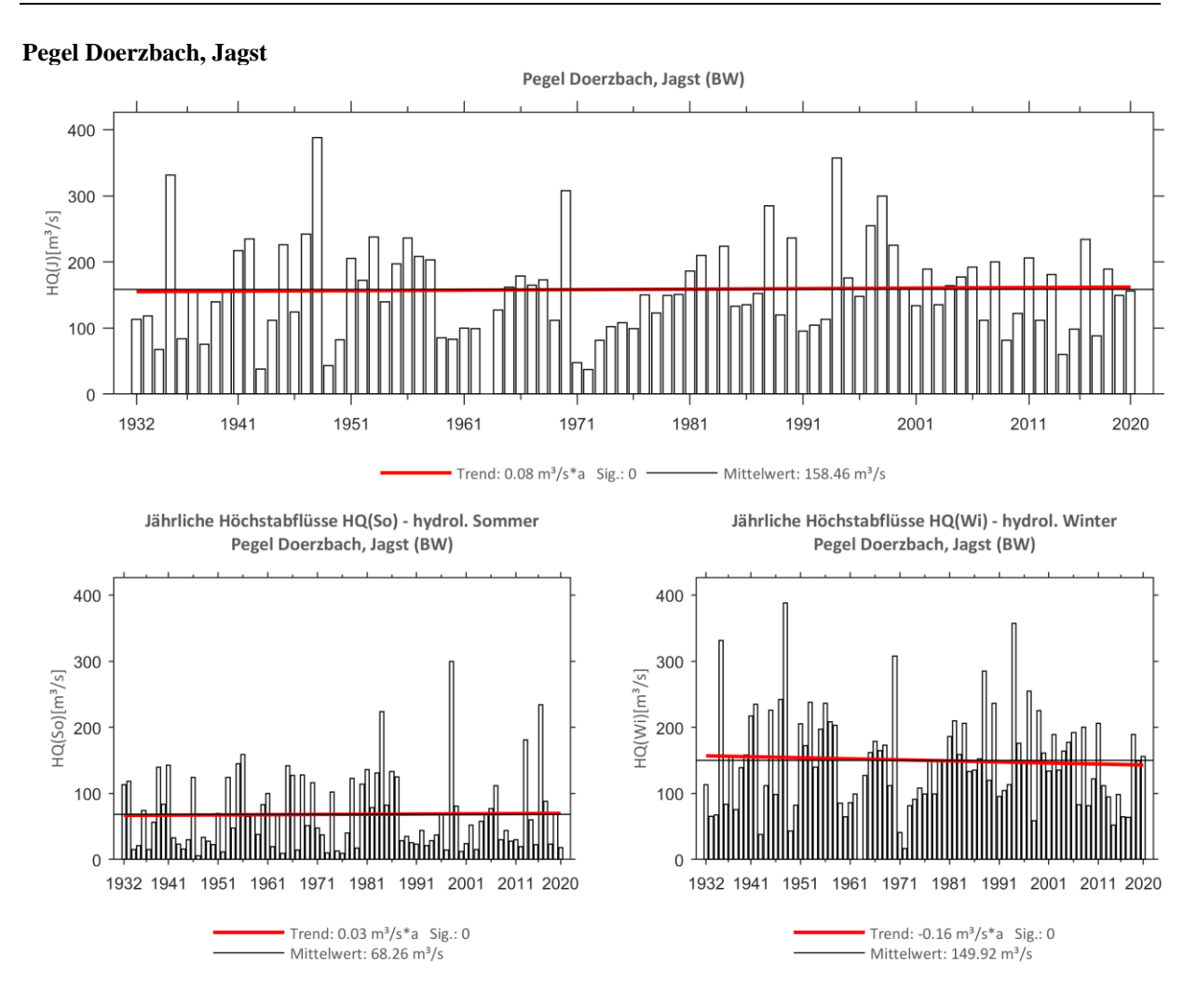


Abb. 22: Trenduntersuchungen von jährlichen Höchstabflüssen für den Zeitraum 1932 bis 2020.

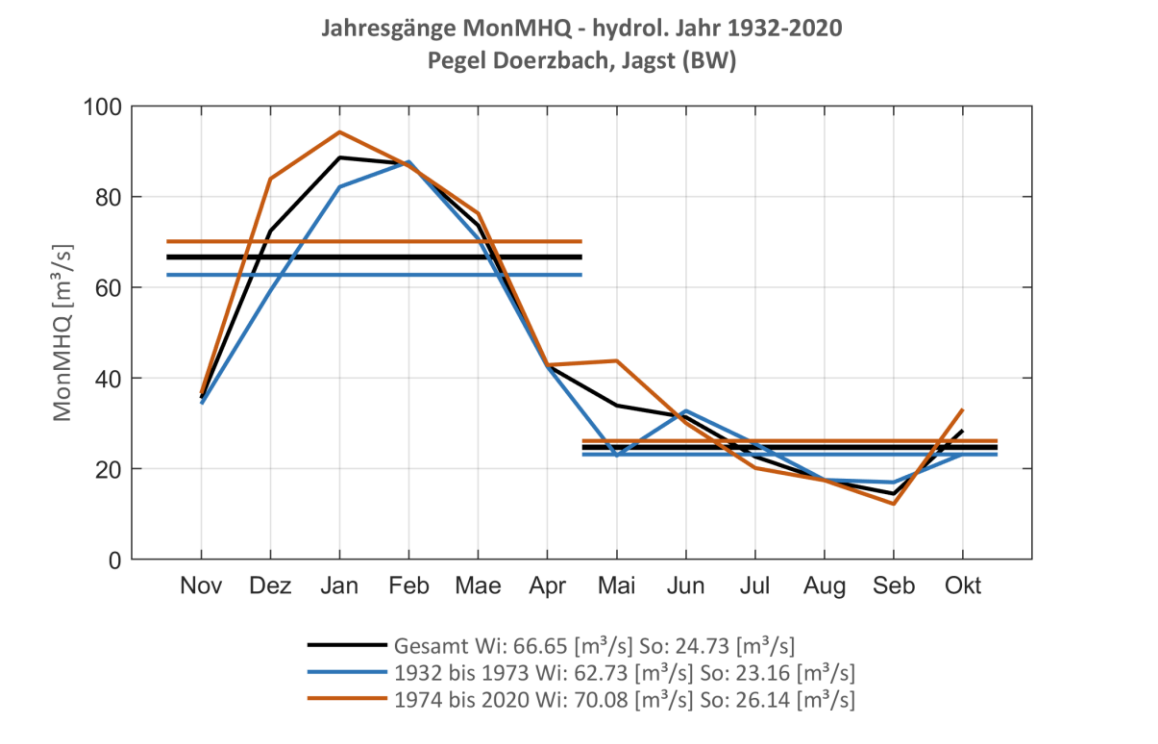


Abb. 23: Jahresgang des MonMHQ und Halbjahresmittel für 1932-2020 sowie 1932-1973 und 1974-2020.



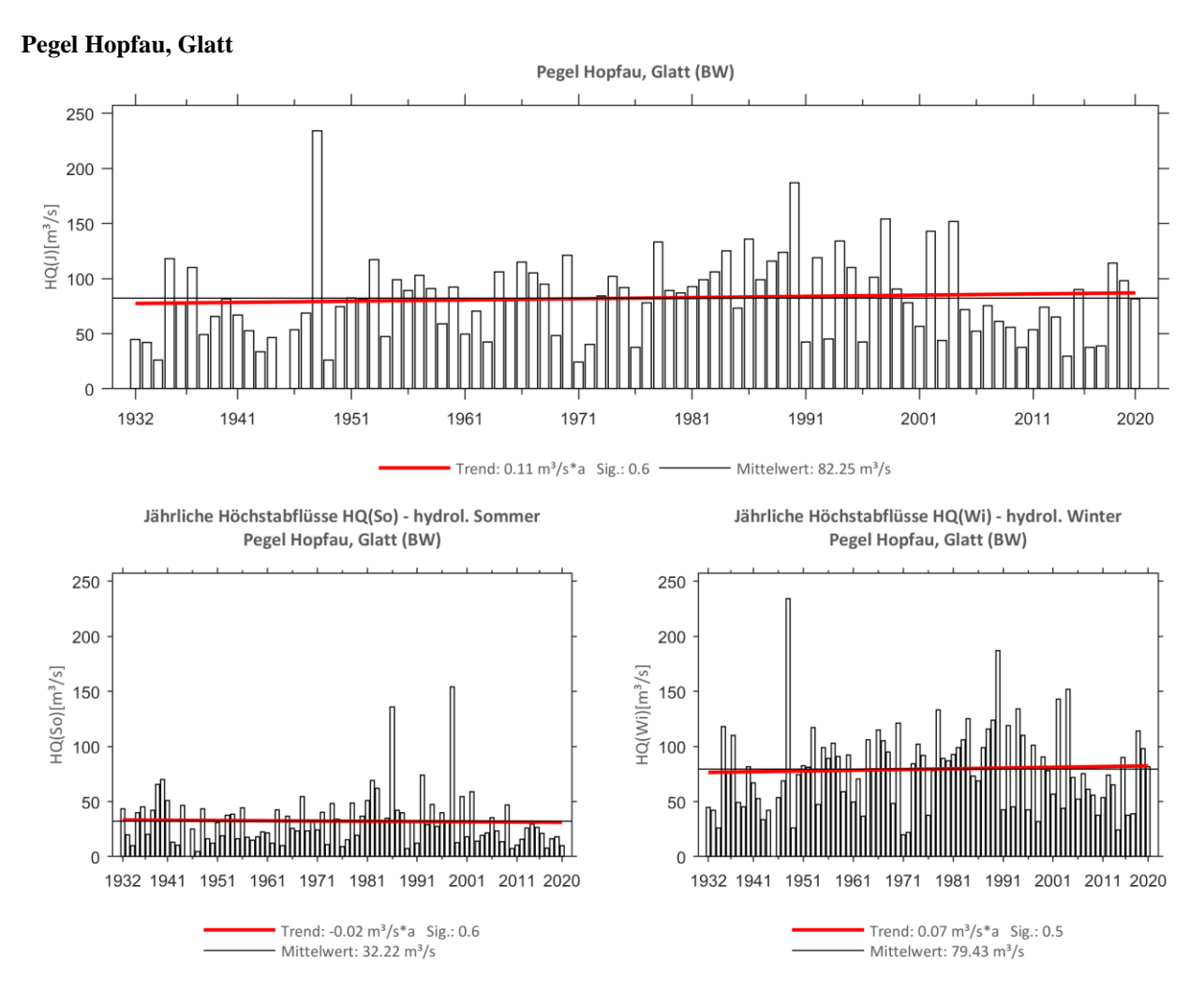


Abb. 24: Trenduntersuchungen von jährlichen Höchstabflüssen für den Zeitraum 1932 bis 2020.

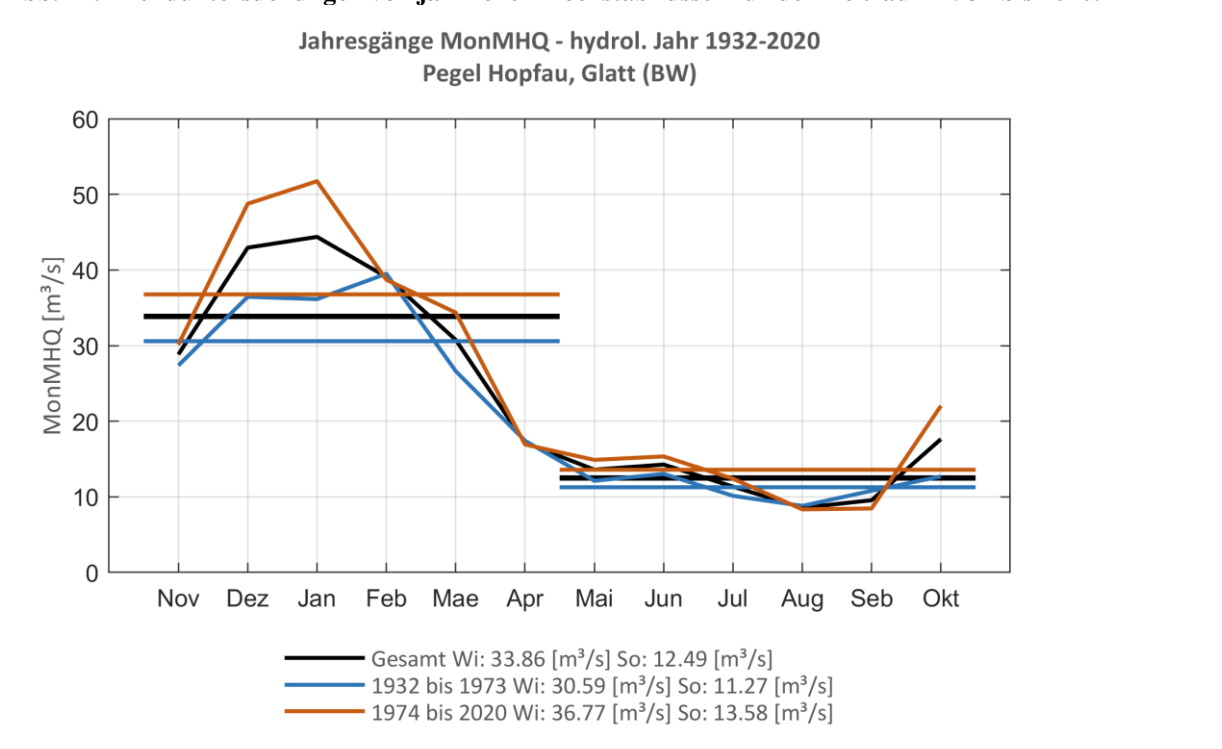


Abb. 25: Jahresgang des MonMHQ und Halbjahresmittel für 1932-2020 sowie 1932-1973 und 1974-2020.



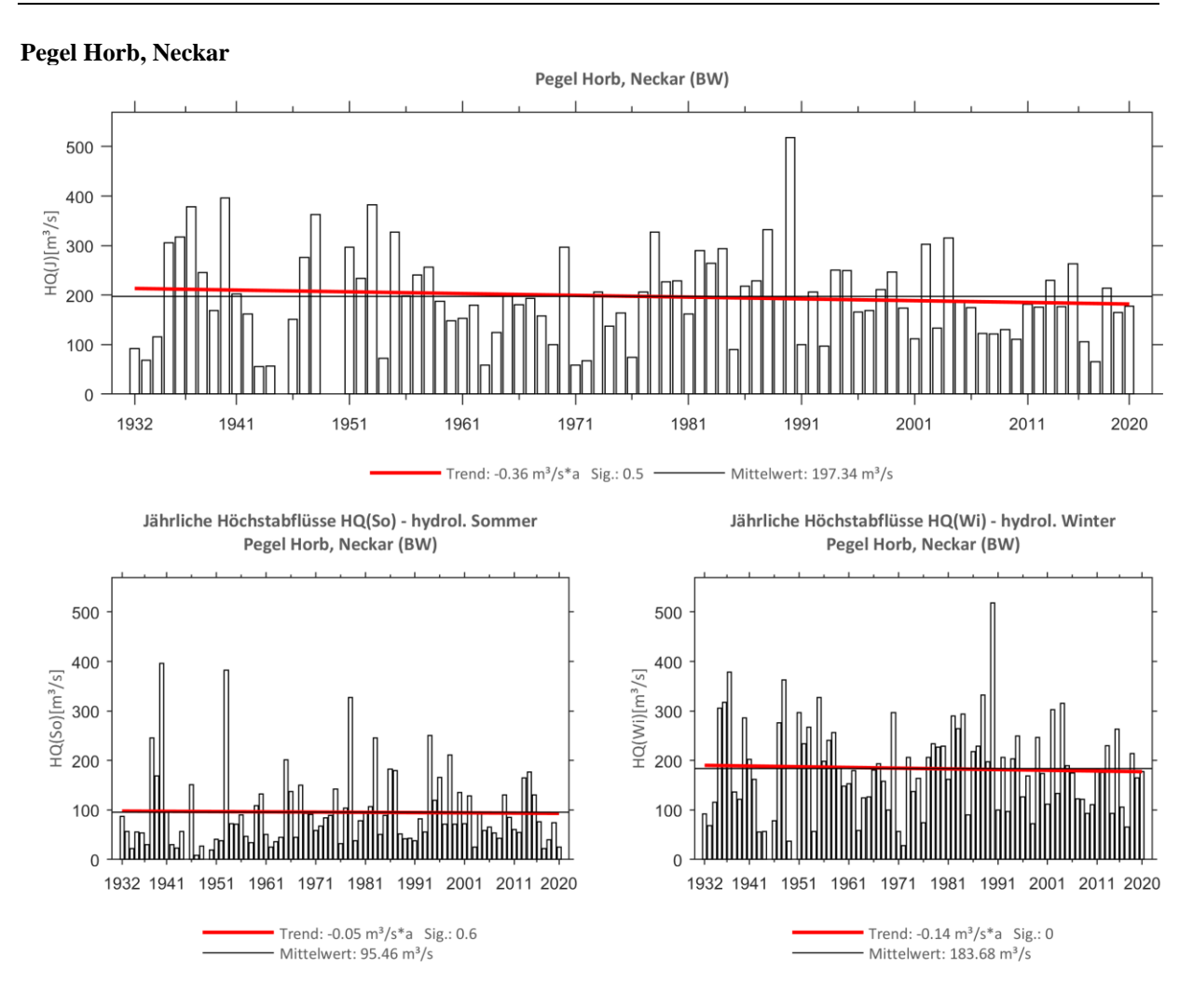


Abb. 26: Trenduntersuchungen von jährlichen Höchstabflüssen für den Zeitraum 1932 bis 2020.

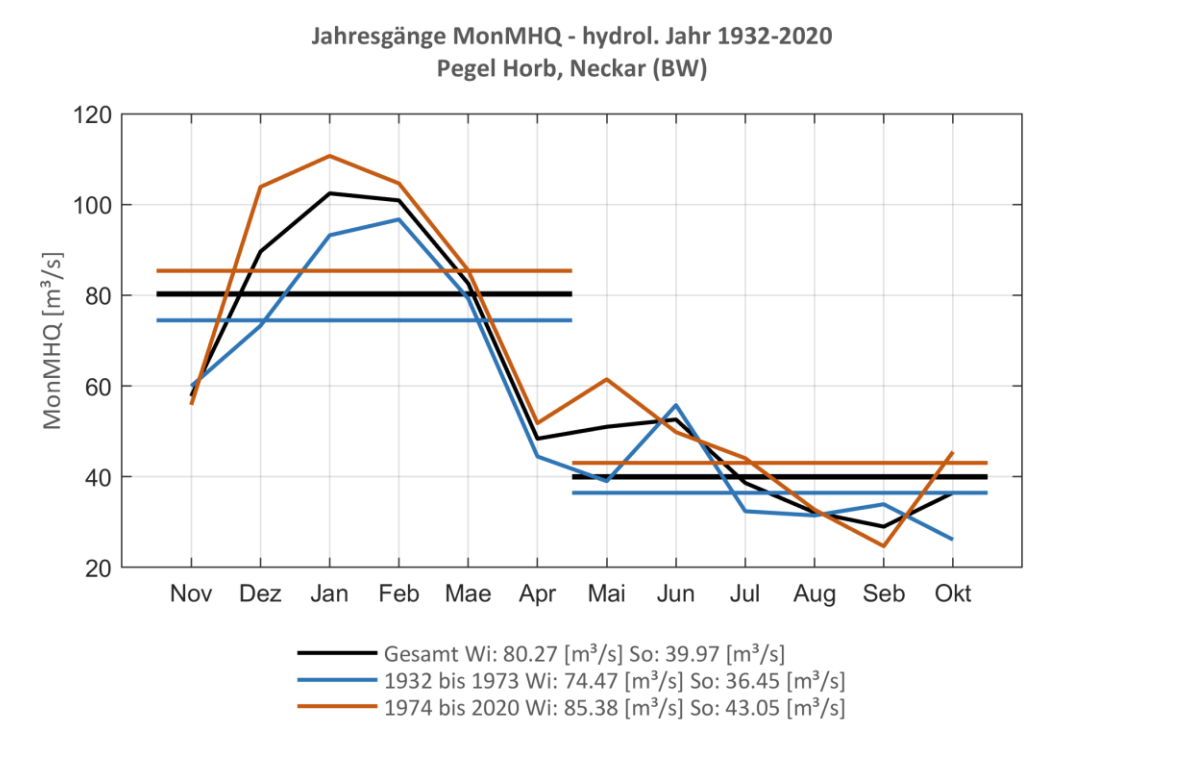


Abb. 27: Jahresgang des MonMHQ und Halbjahresmittel für 1932-2020 sowie 1932-1973 und 1974-2020.



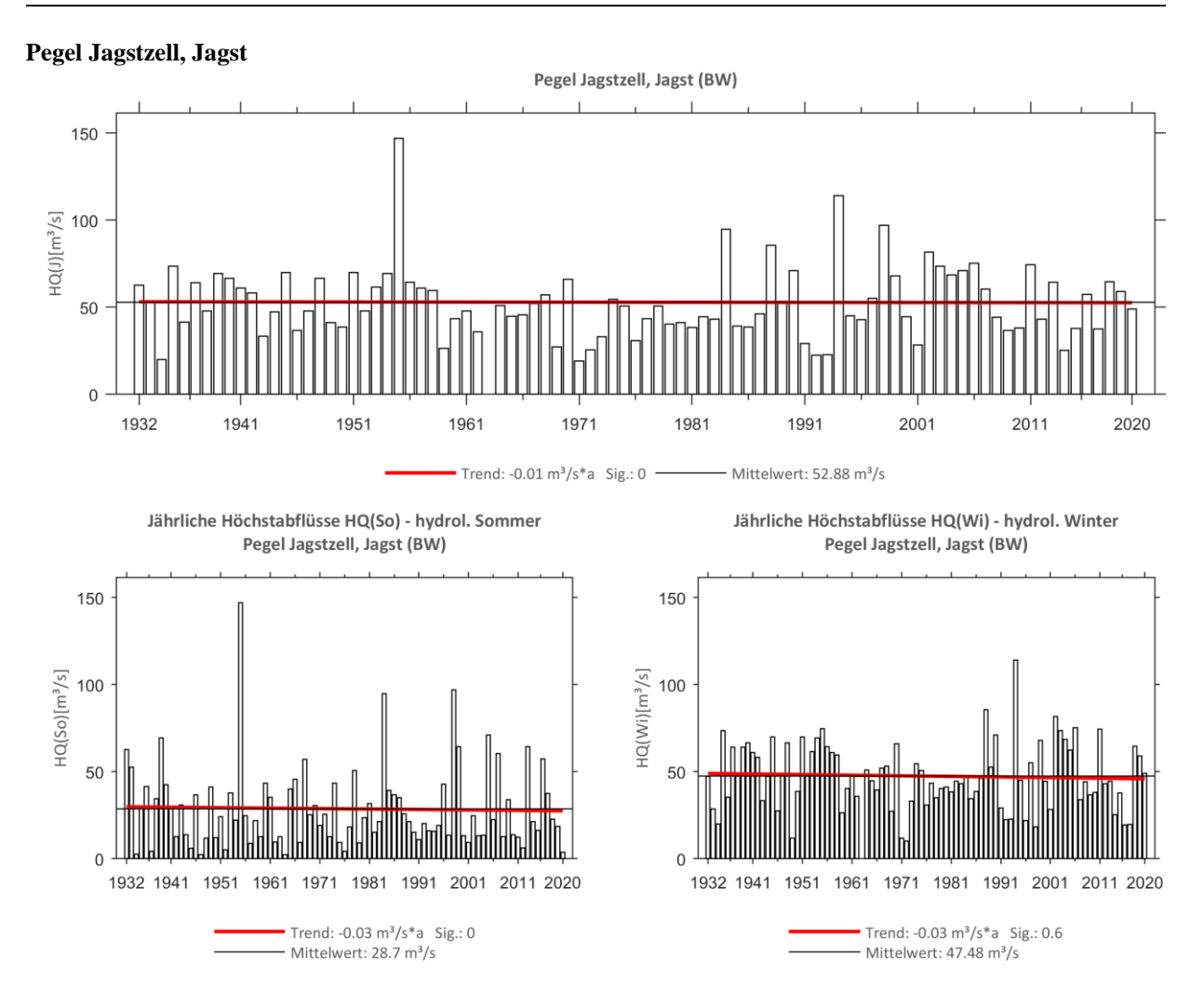


Abb. 28: Trenduntersuchungen von jährlichen Höchstabflüssen für den Zeitraum 1932 bis 2020.

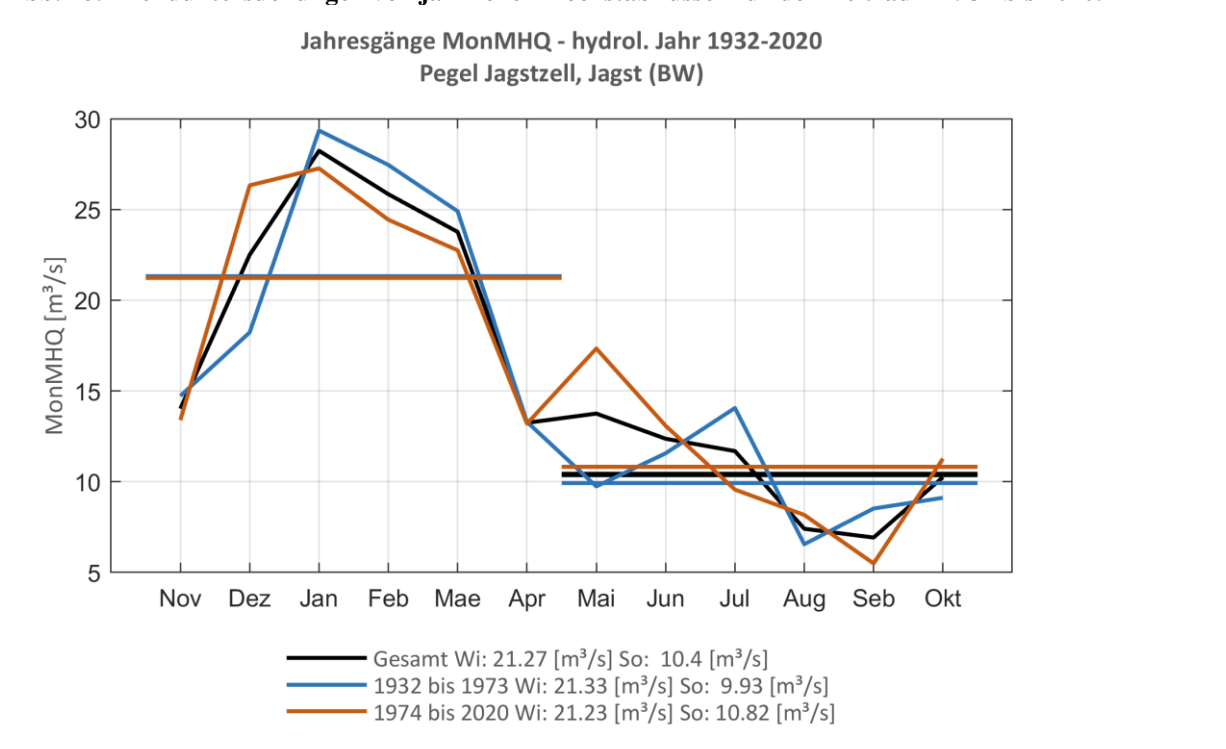


Abb. 29: Jahresgang des MonMHQ und Halbjahresmittel für 1932-2020 sowie 1932-1973 und 1974-2020.



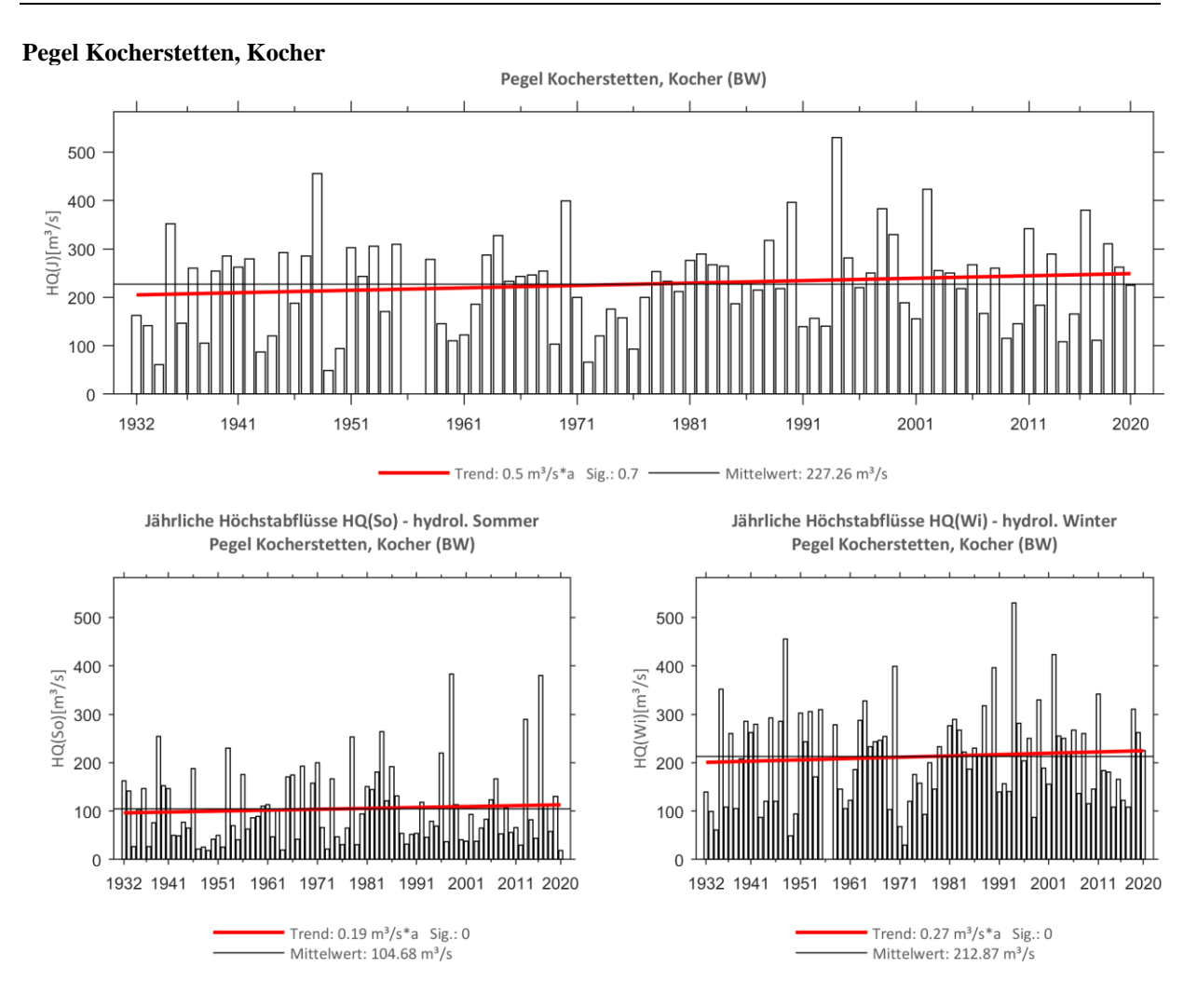


Abb. 30: Trenduntersuchungen von jährlichen Höchstabflüssen für den Zeitraum 1932 bis 2020.

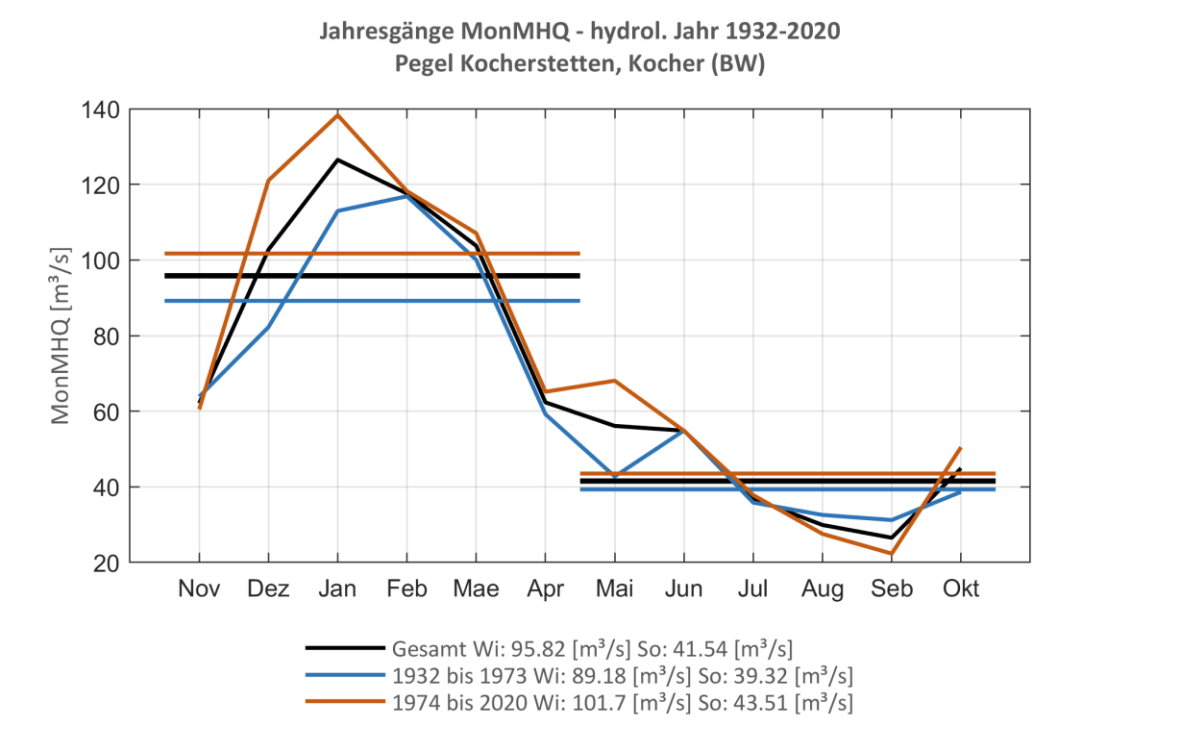


Abb. 31: Jahresgang des MonMHQ und Halbjahresmittel für 1932-2020 sowie 1932-1973 und 1974-2020.



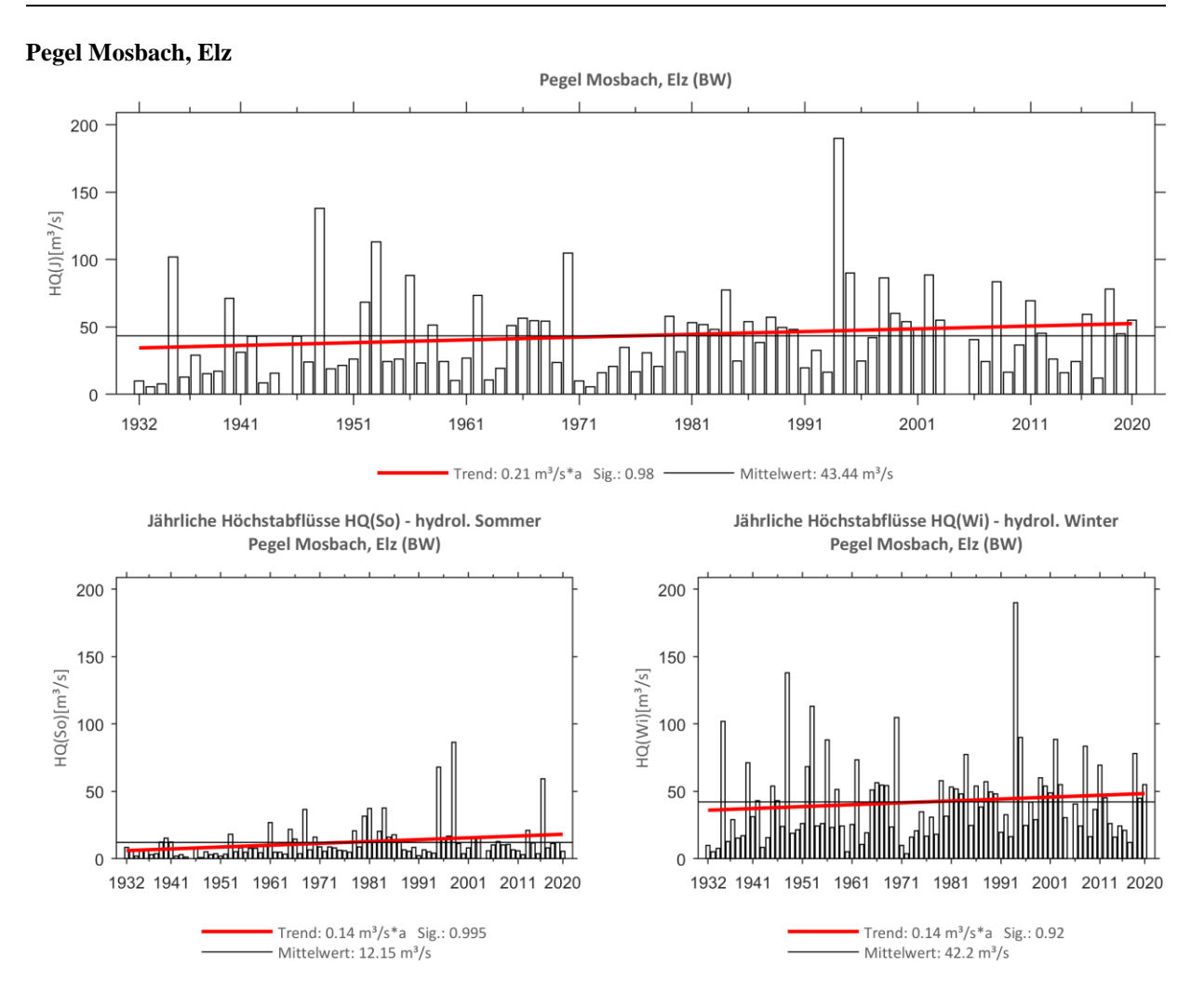


Abb. 32: Trenduntersuchungen von jährlichen Höchstabflüssen für den Zeitraum 1932 bis 2020.

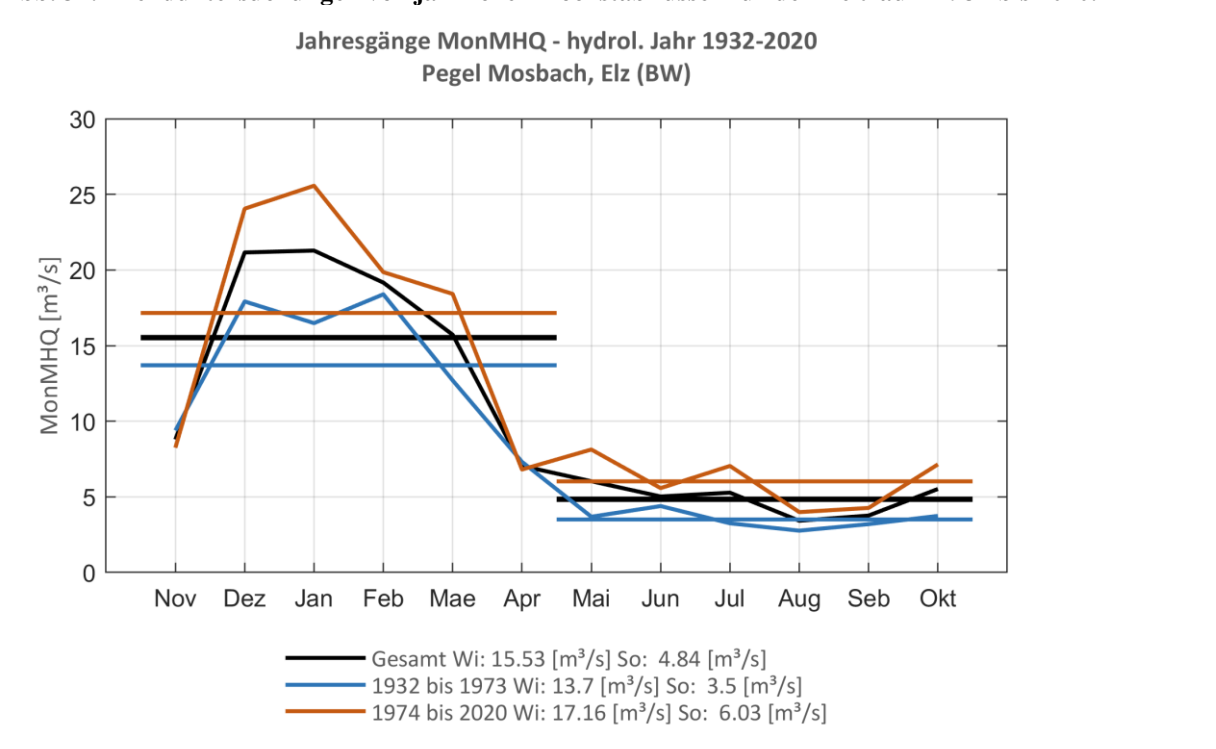


Abb. 33: Jahresgang des MonMHQ und Halbjahresmittel für 1932-2020 sowie 1932-1973 und 1974-2020.



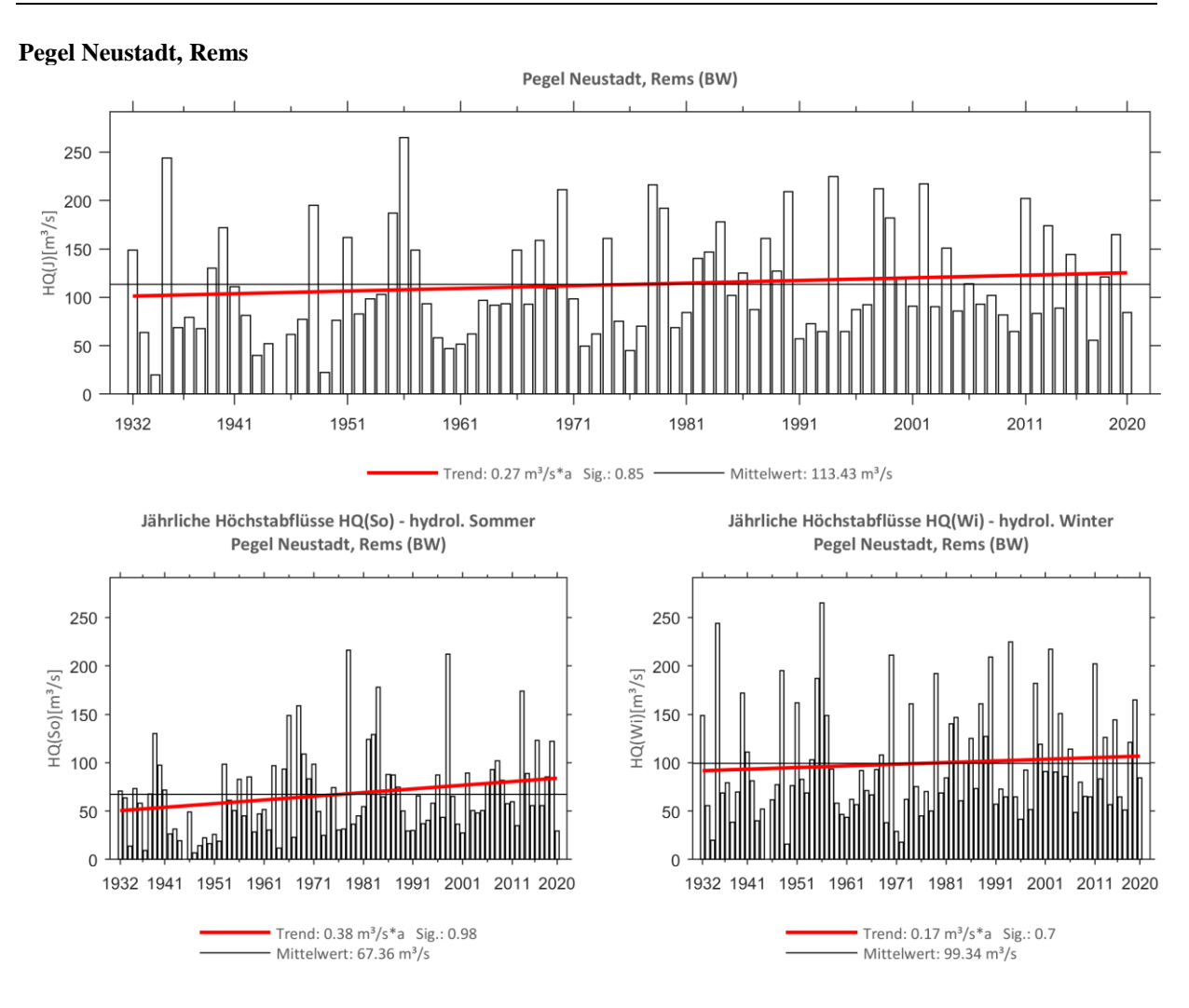


Abb. 34: Trenduntersuchungen von jährlichen Höchstabflüssen für den Zeitraum 1932 bis 2020.

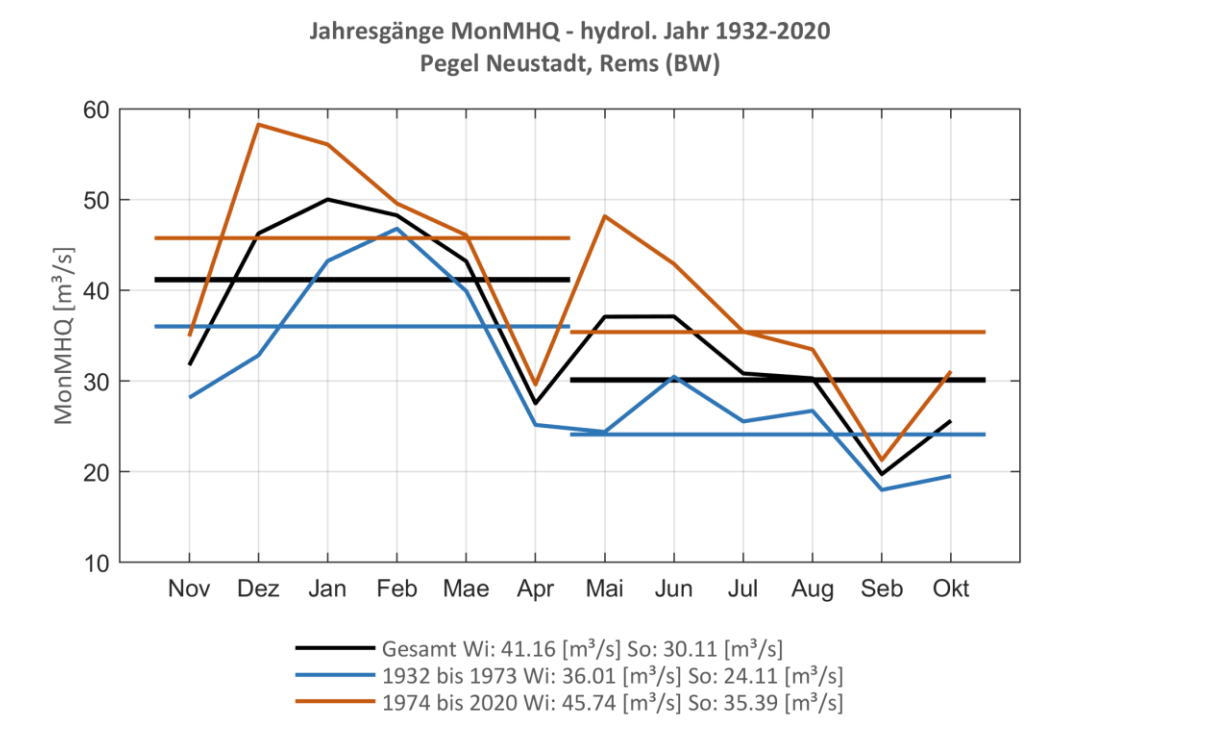


Abb. 35: Jahresgang des MonMHQ und Halbjahresmittel für 1932-2020 sowie 1932-1973 und 1974-2020.



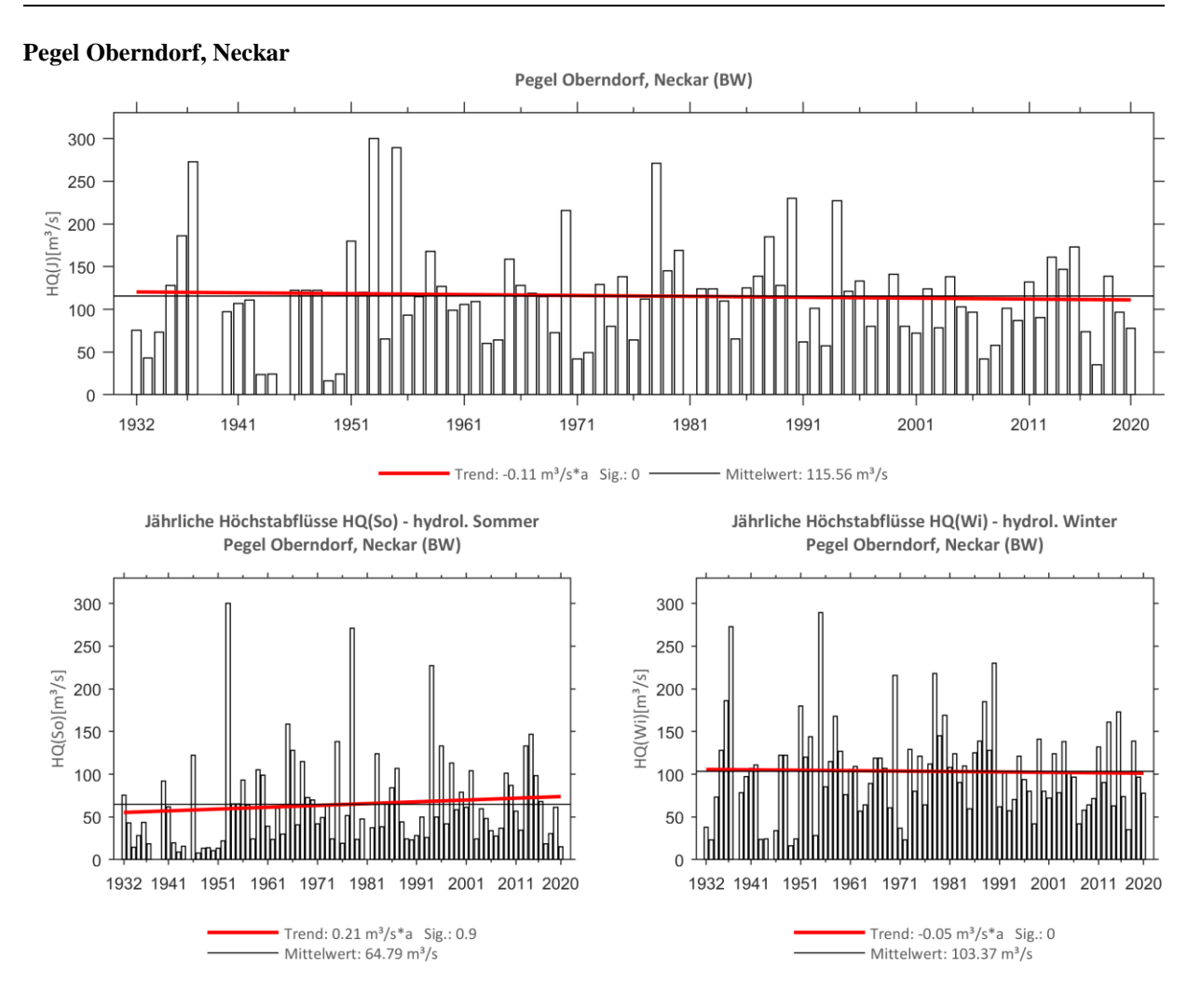


Abb. 36: Trenduntersuchungen von jährlichen Höchstabflüssen für den Zeitraum 1932 bis 2020.

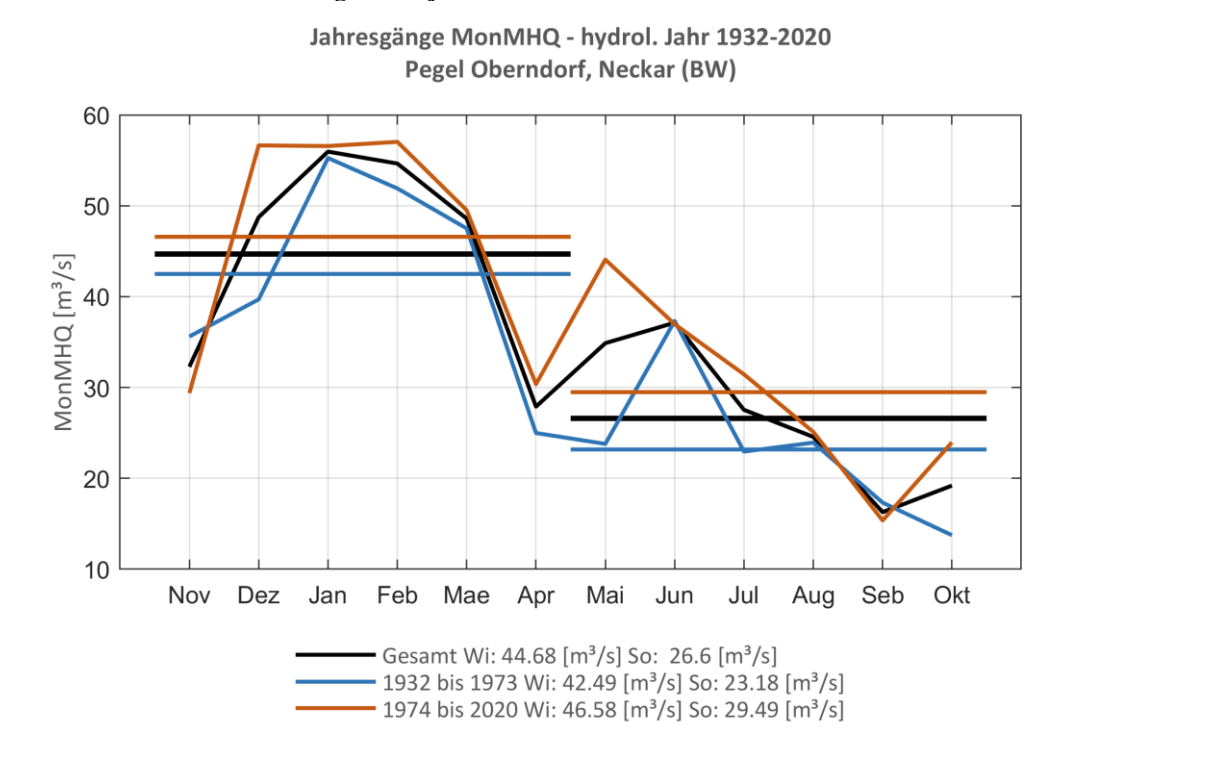


Abb. 37: Jahresgang des MonMHQ und Halbjahresmittel für 1932-2020 sowie 1932-1973 und 1974-2020.



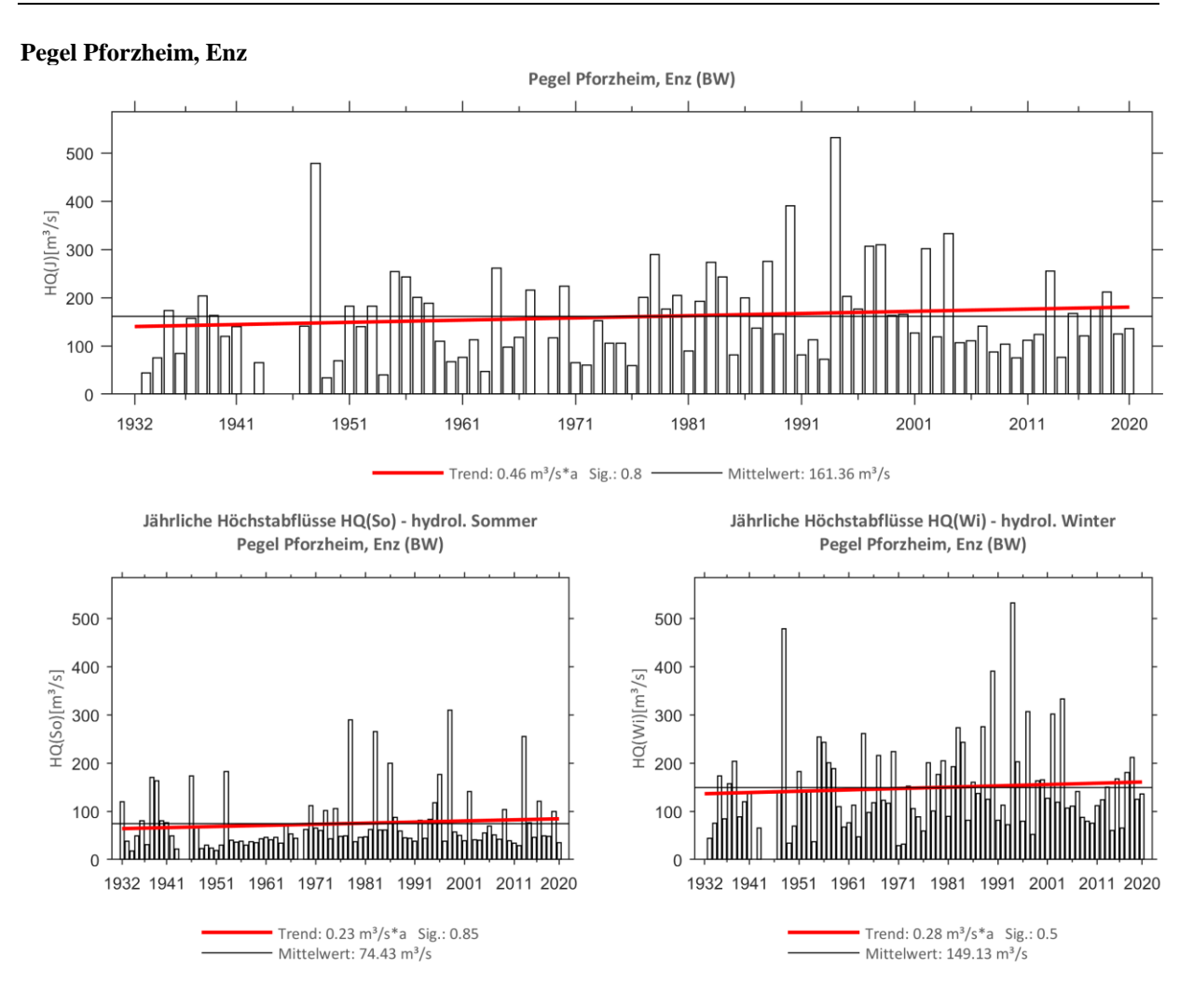


Abb. 38: Trenduntersuchungen von jährlichen Höchstabflüssen für den Zeitraum 1933 bis 2020.

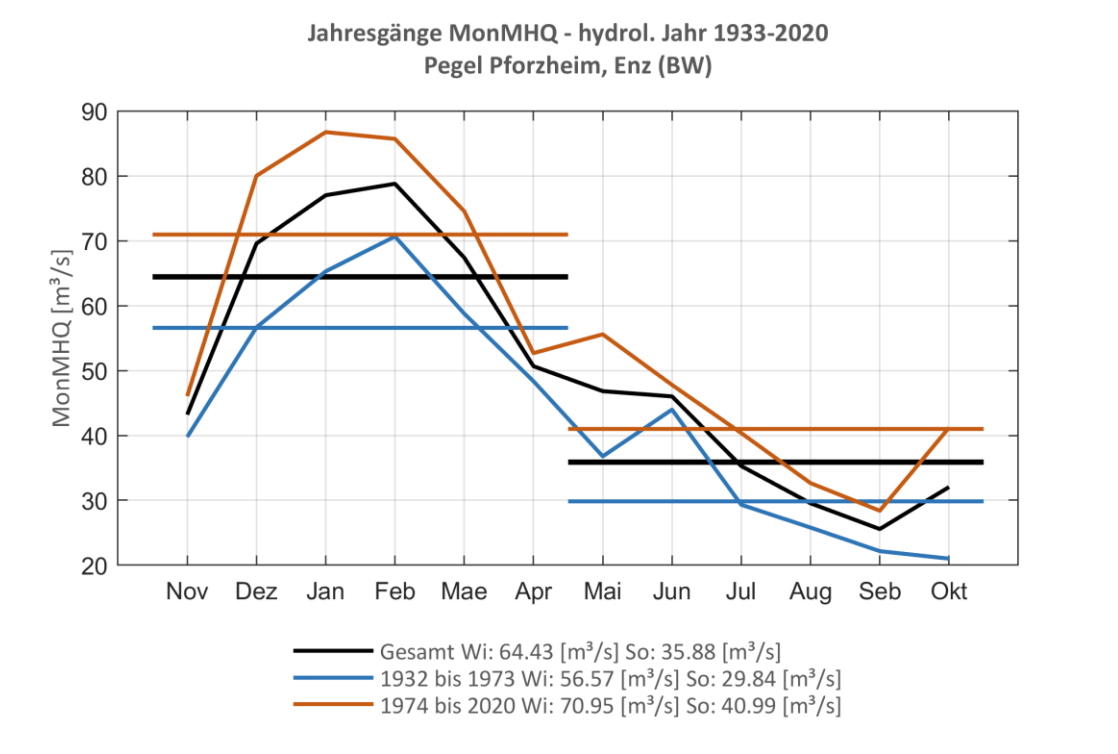


Abb. 39: Jahresgang des MonMHQ und Halbjahresmittel für 1933-2020 sowie 1933-1973 und 1974-2020.



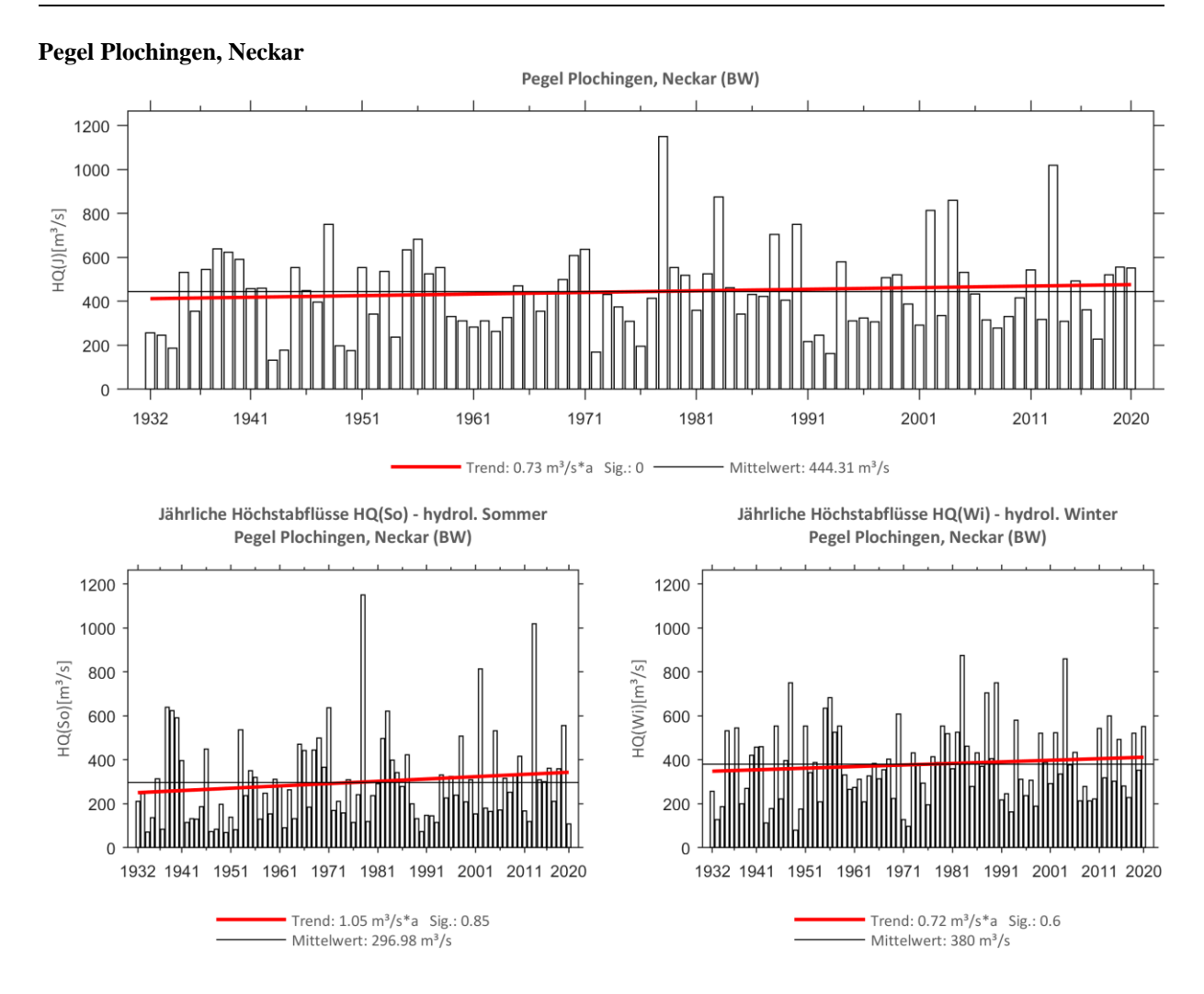


Abb. 40: Trenduntersuchungen von jährlichen Höchstabflüssen für den Zeitraum 1932 bis 2020.

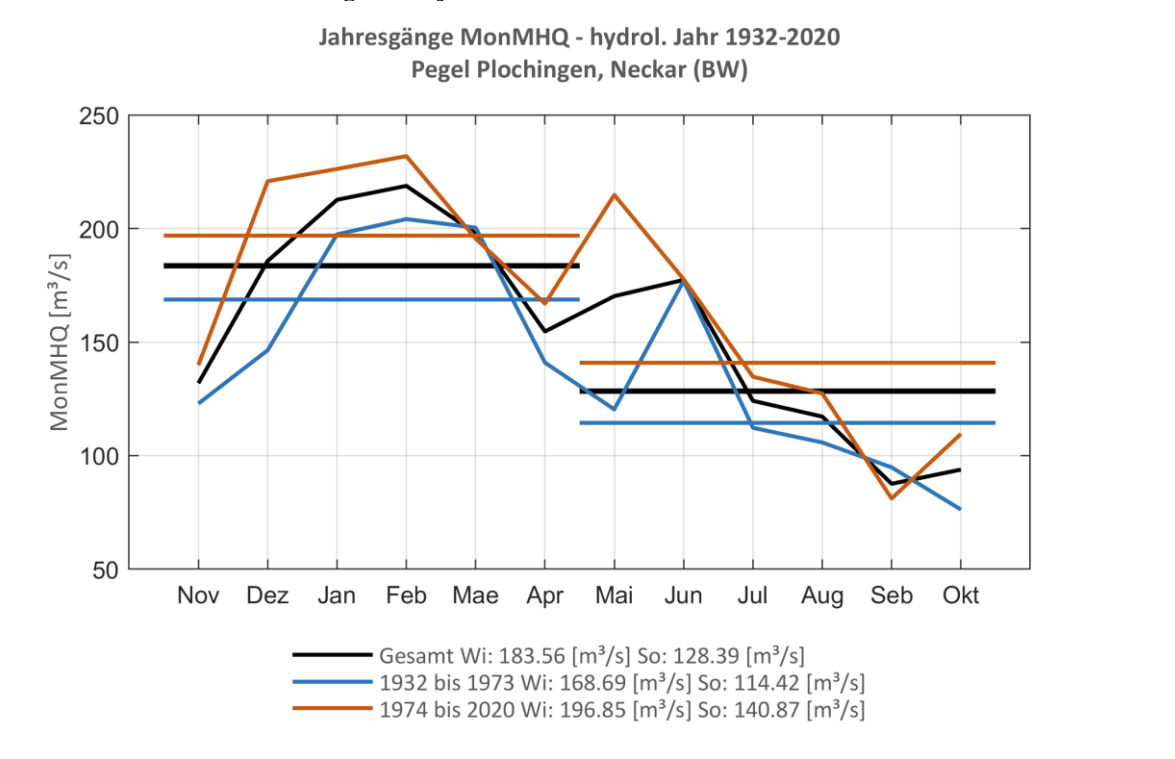


Abb. 41: Jahresgang des MonMHQ und Halbjahresmittel für 1932-2020 sowie 1932-1973 und 1974-2020.



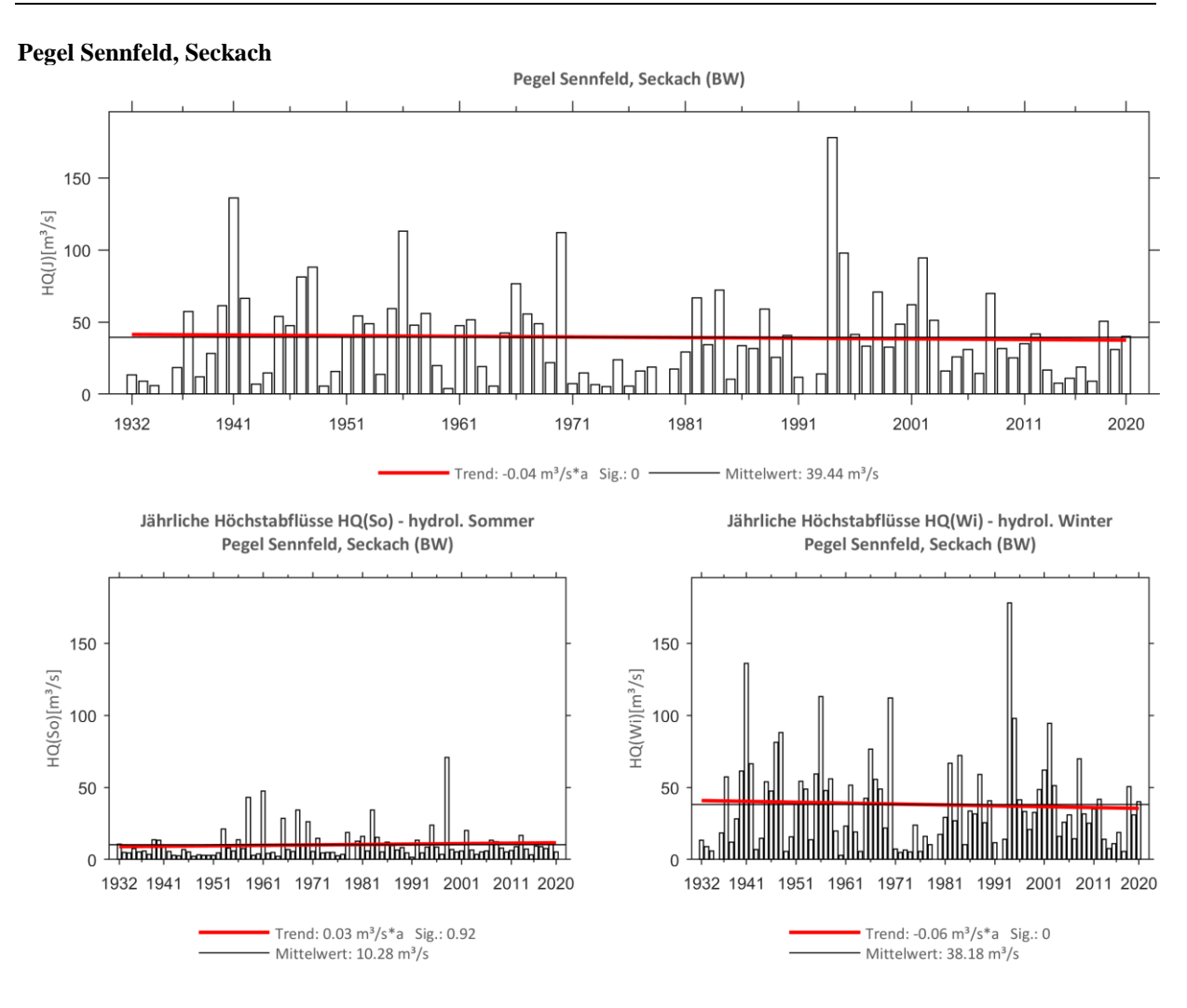


Abb. 42: Trenduntersuchungen von jährlichen Höchstabflüssen für den Zeitraum 1932 bis 2020.

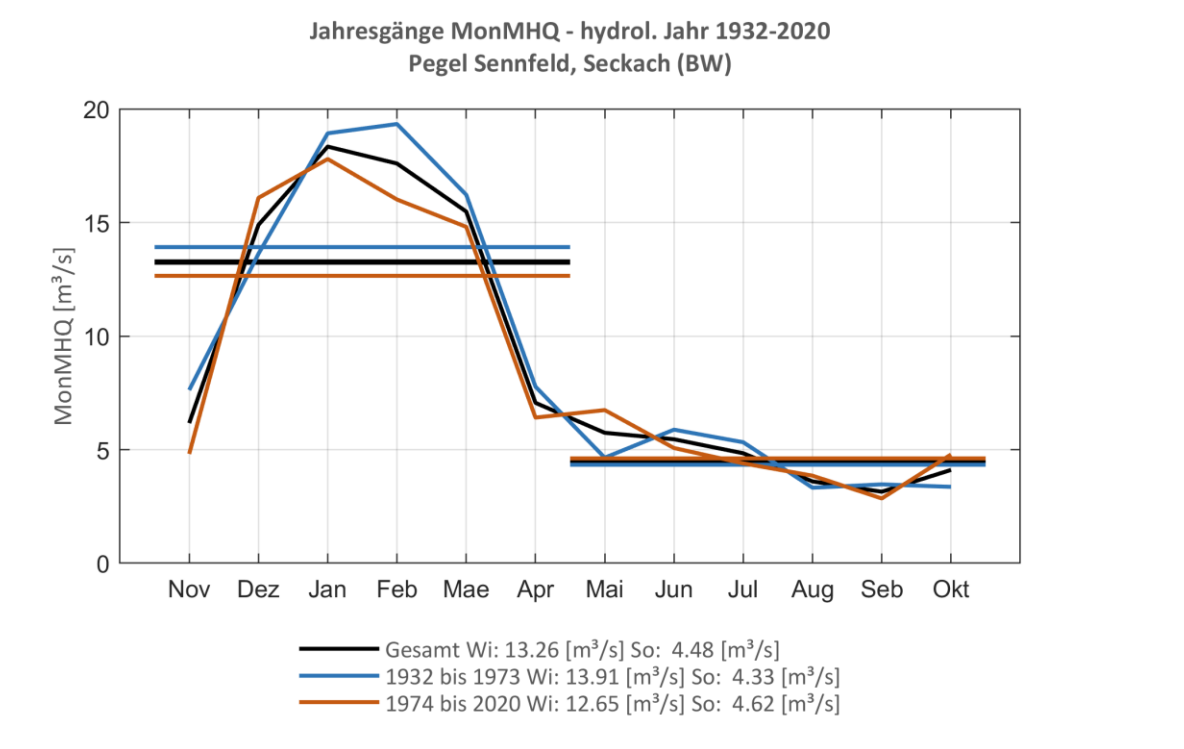


Abb. 43: Jahresgang des MonMHQ und Halbjahresmittel für 1932-2020 sowie 1932-1973 und 1974-2020.



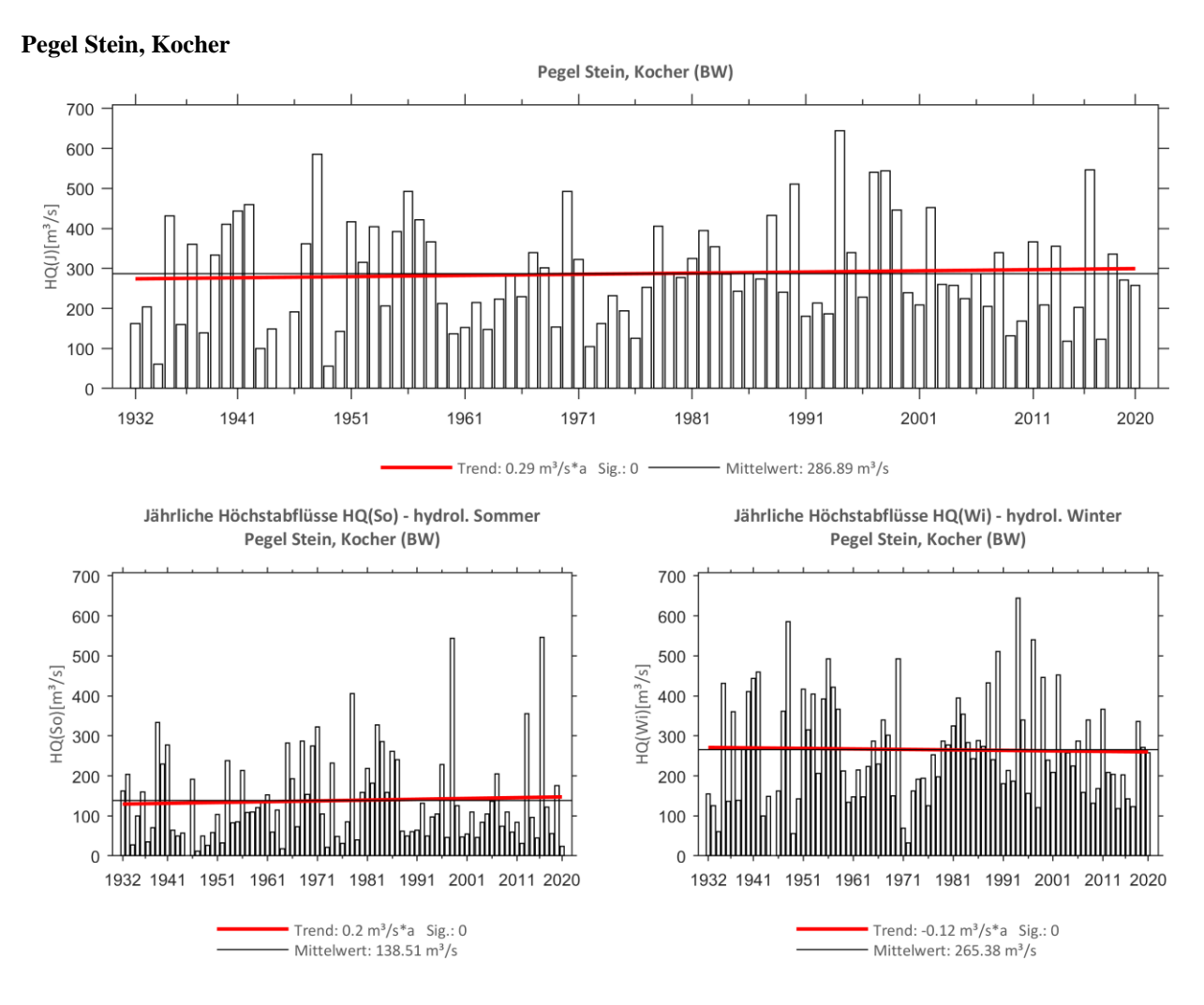


Abb. 44: Trenduntersuchungen von jährlichen Höchstabflüssen für den Zeitraum 1932 bis 2020.

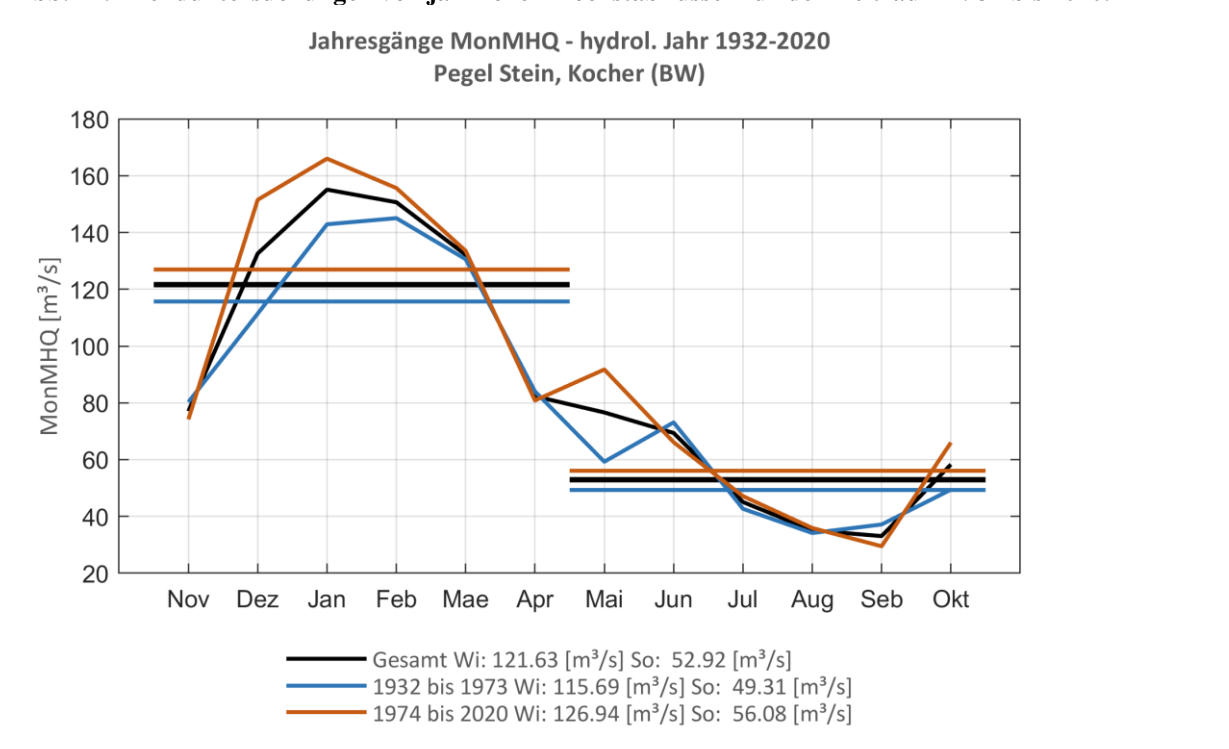


Abb. 45: Jahresgang des MonMHQ und Halbjahresmittel für 1932-2020 sowie 1932-1973 und 1974-2020.



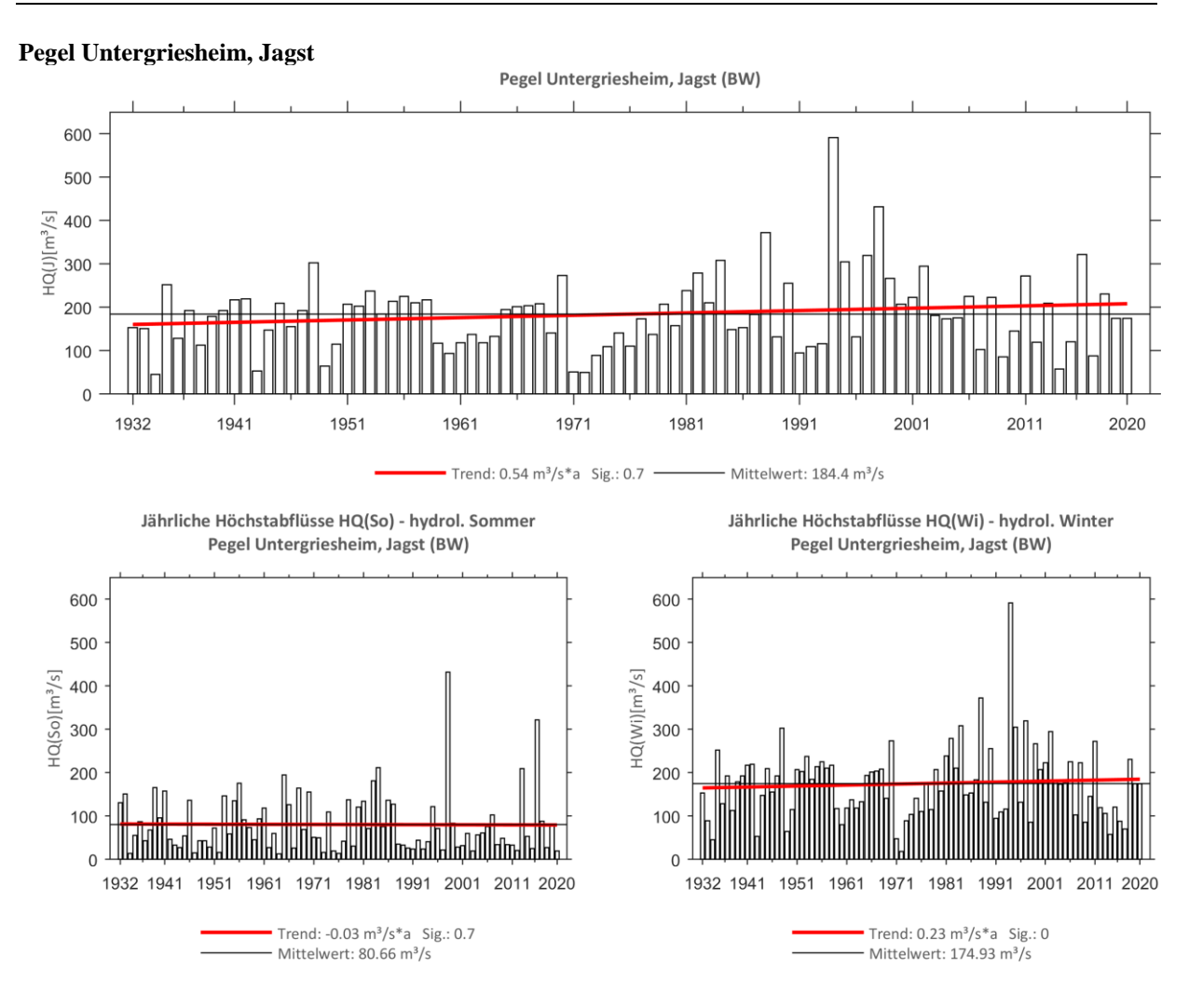


Abb. 46: Trenduntersuchungen von jährlichen Höchstabflüssen für den Zeitraum 1932 bis 2020.

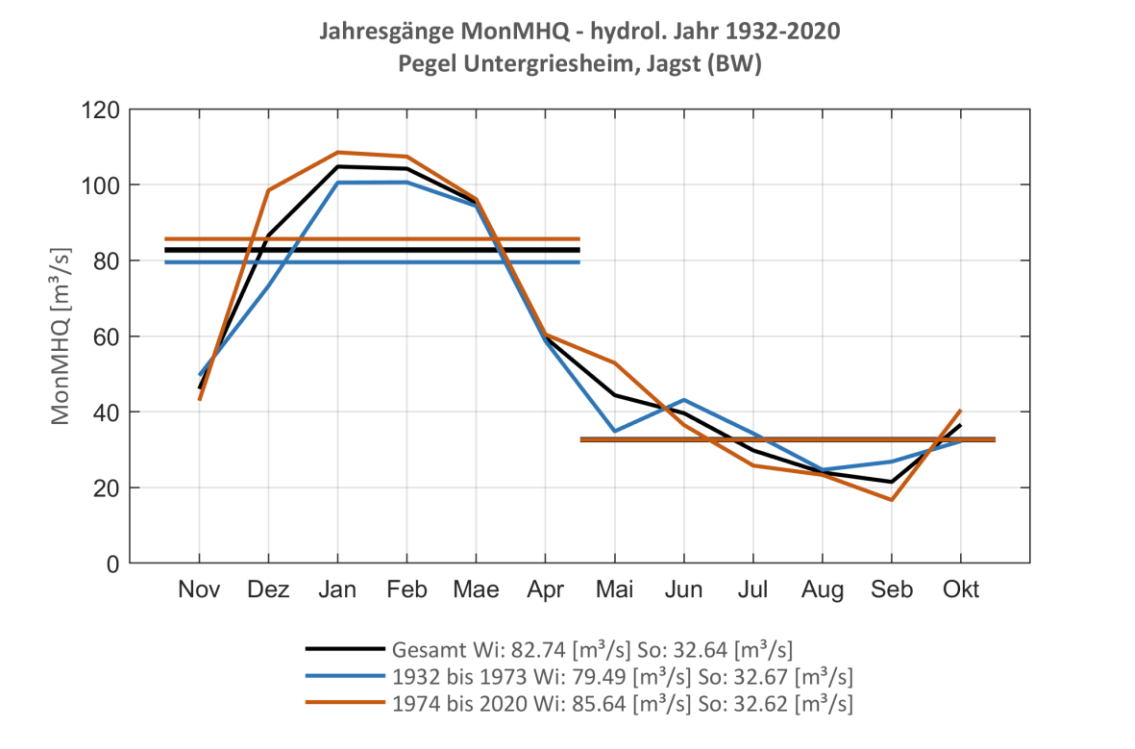


Abb. 47: Jahresgang des MonMHQ und Halbjahresmittel für 1932-2020 sowie 1932-1973 und 1974-2020.



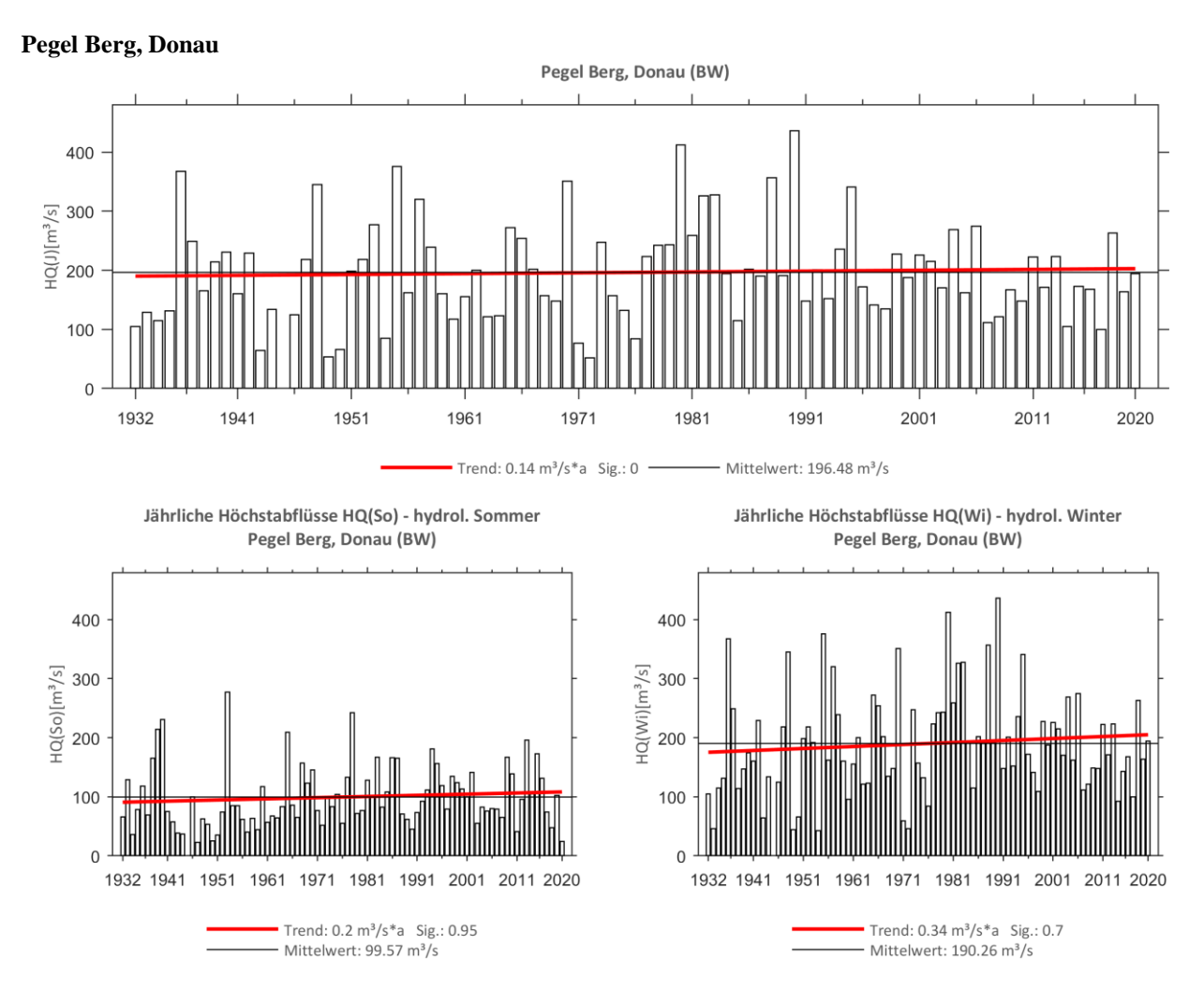


Abb. 48: Trenduntersuchungen von jährlichen Höchstabflüssen für den Zeitraum 1932 bis 2020.

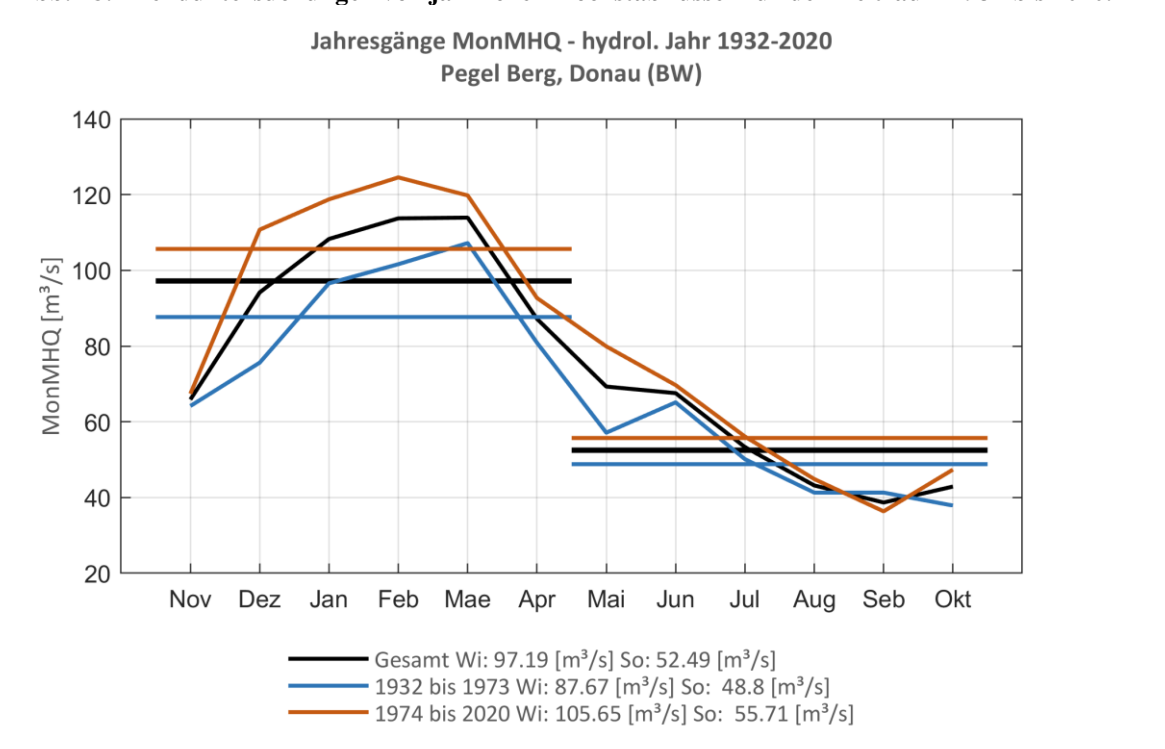


Abb. 49: Jahresgang des MonMHQ und Halbjahresmittel für 1932-2020 sowie 1932-1973 und 1974-2020.



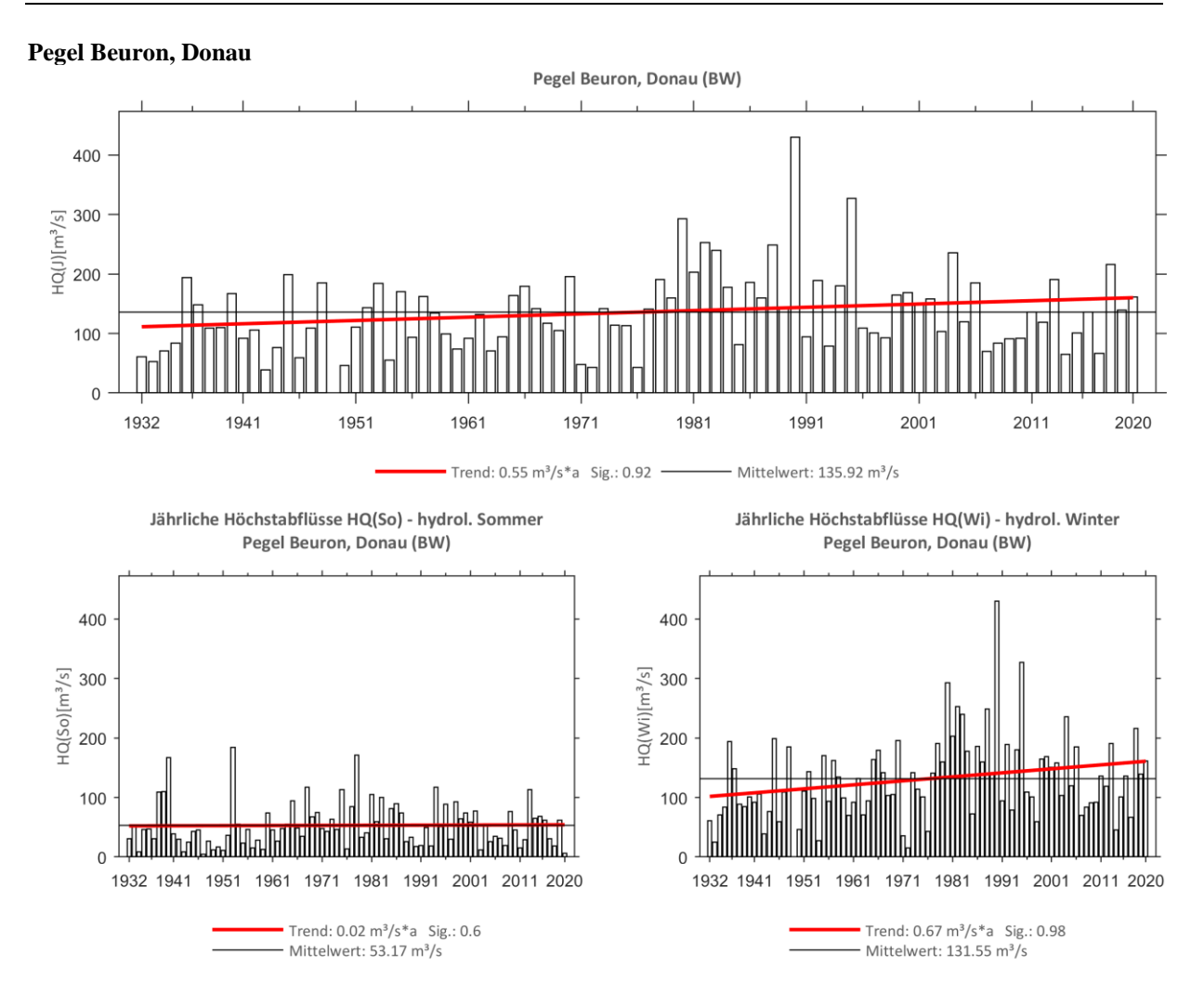


Abb. 50: Trenduntersuchungen von jährlichen Höchstabflüssen für den Zeitraum 1932 bis 2020.

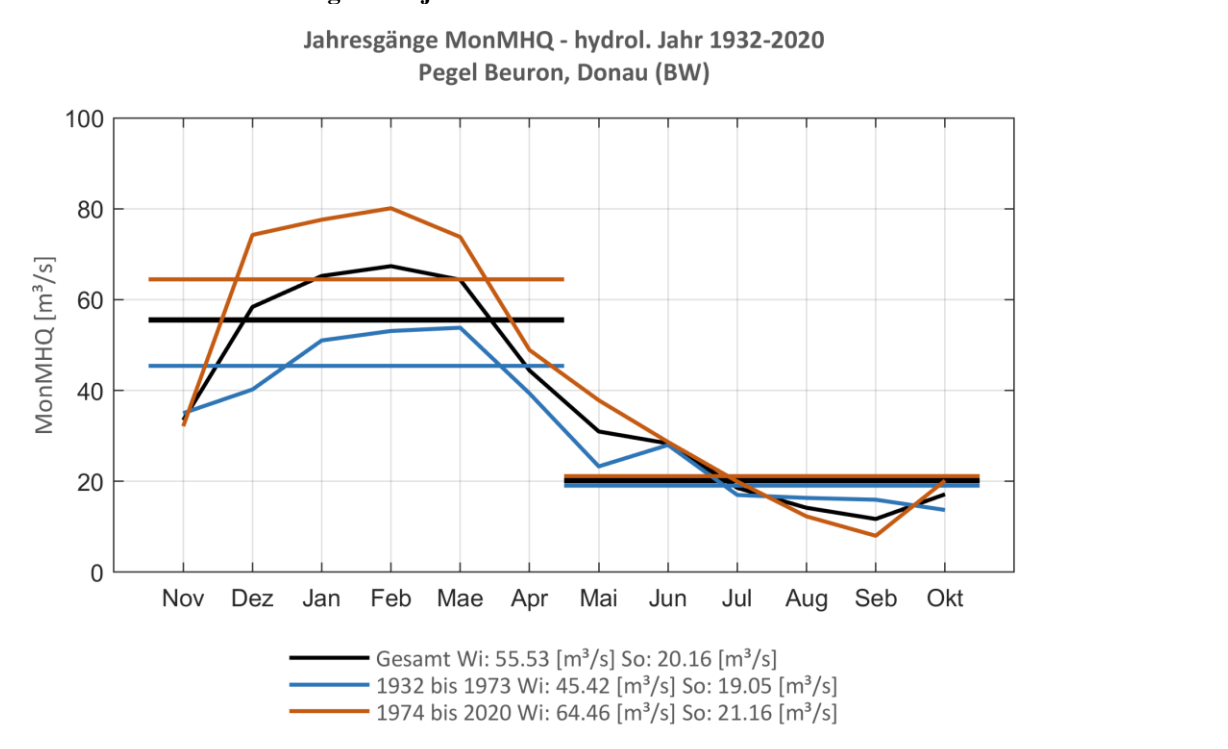


Abb. 51: Jahresgang des MonMHQ und Halbjahresmittel für 1932-2020 sowie 1932-1973 und 1974-2020.



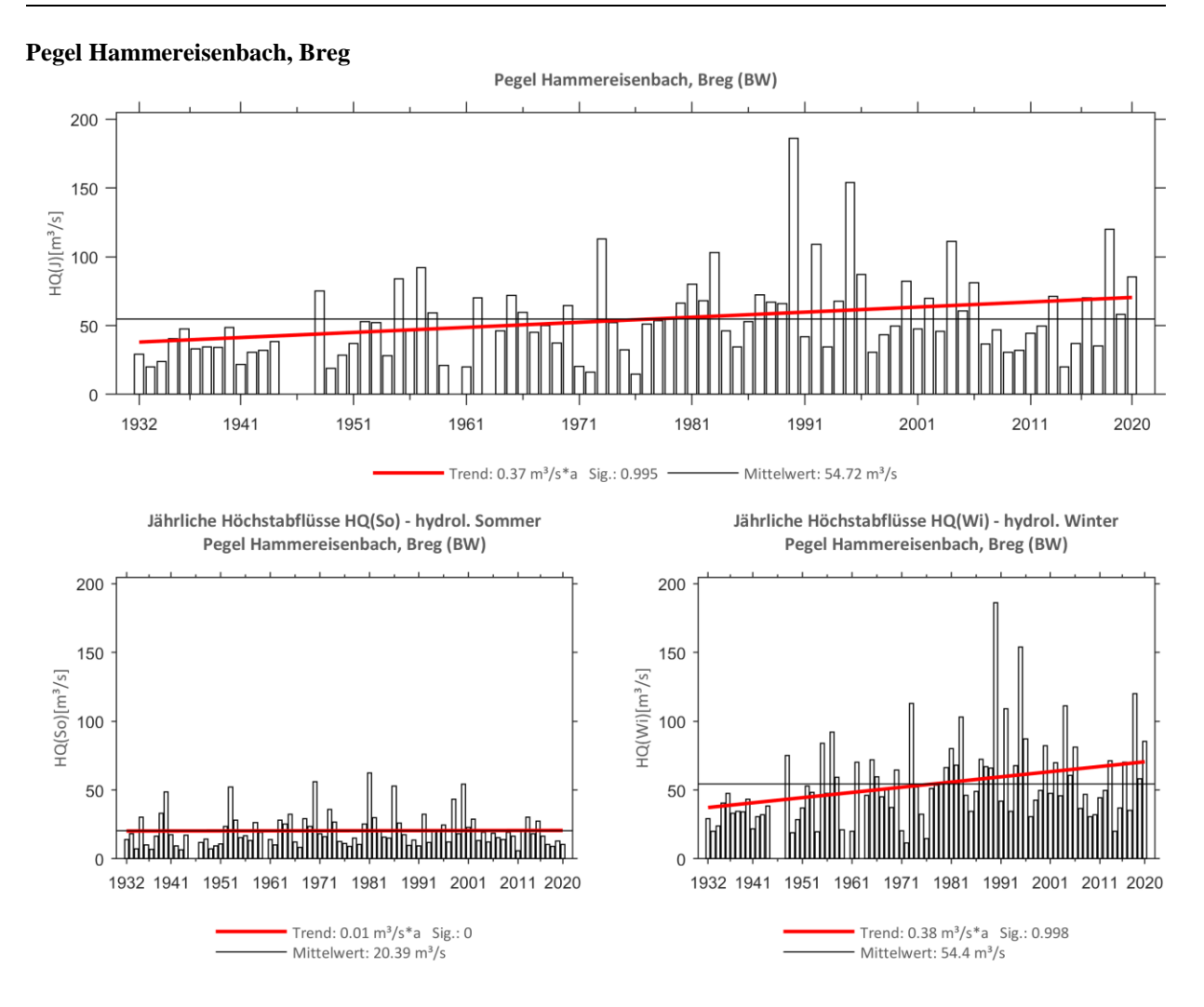


Abb. 52: Trenduntersuchungen von jährlichen Höchstabflüssen für den Zeitraum 1932 bis 2020.

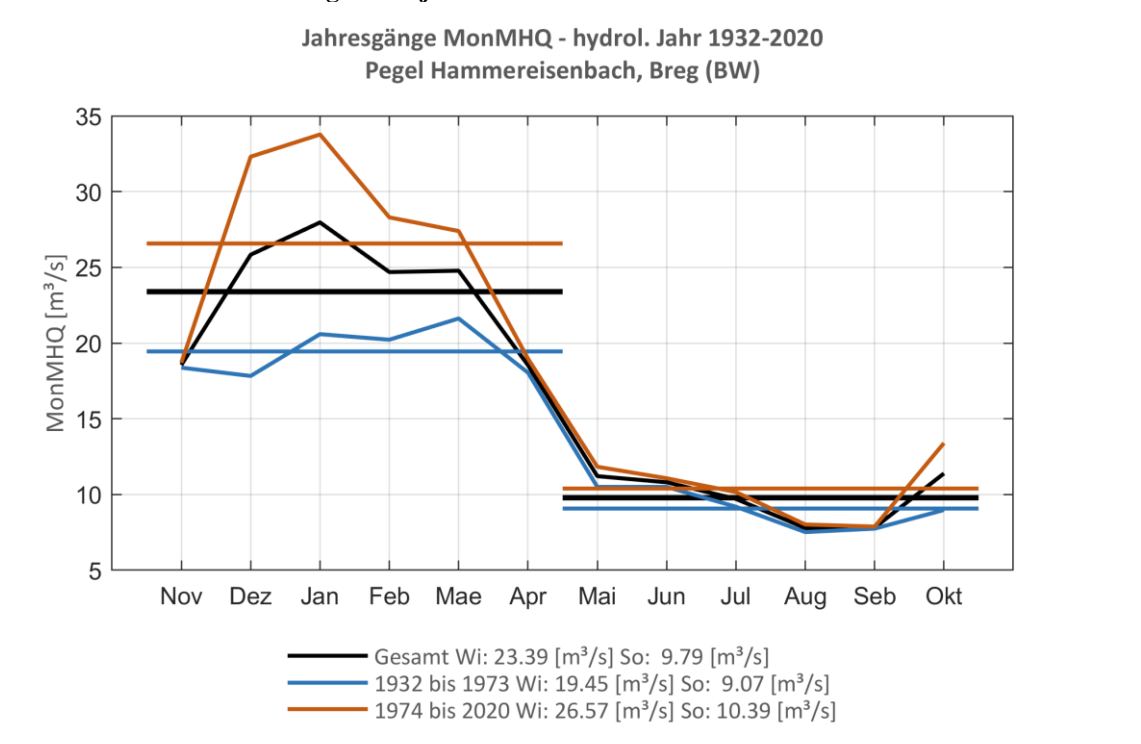


Abb. 53: Jahresgang des MonMHQ und Halbjahresmittel für 1932-2020 sowie 1932-1973 und 1974-2020.



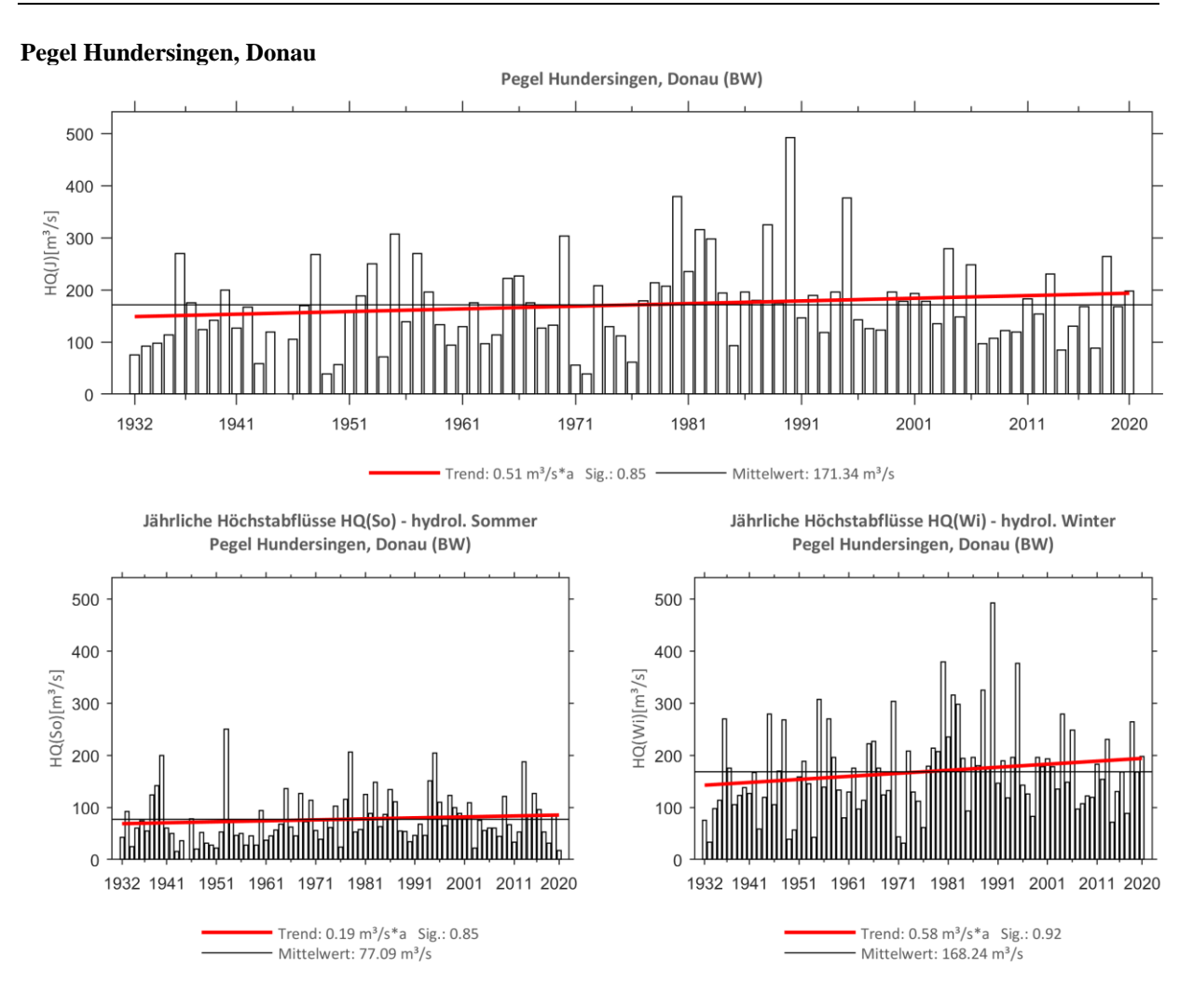


Abb. 54: Trenduntersuchungen von jährlichen Höchstabflüssen für den Zeitraum 1932 bis 2020.

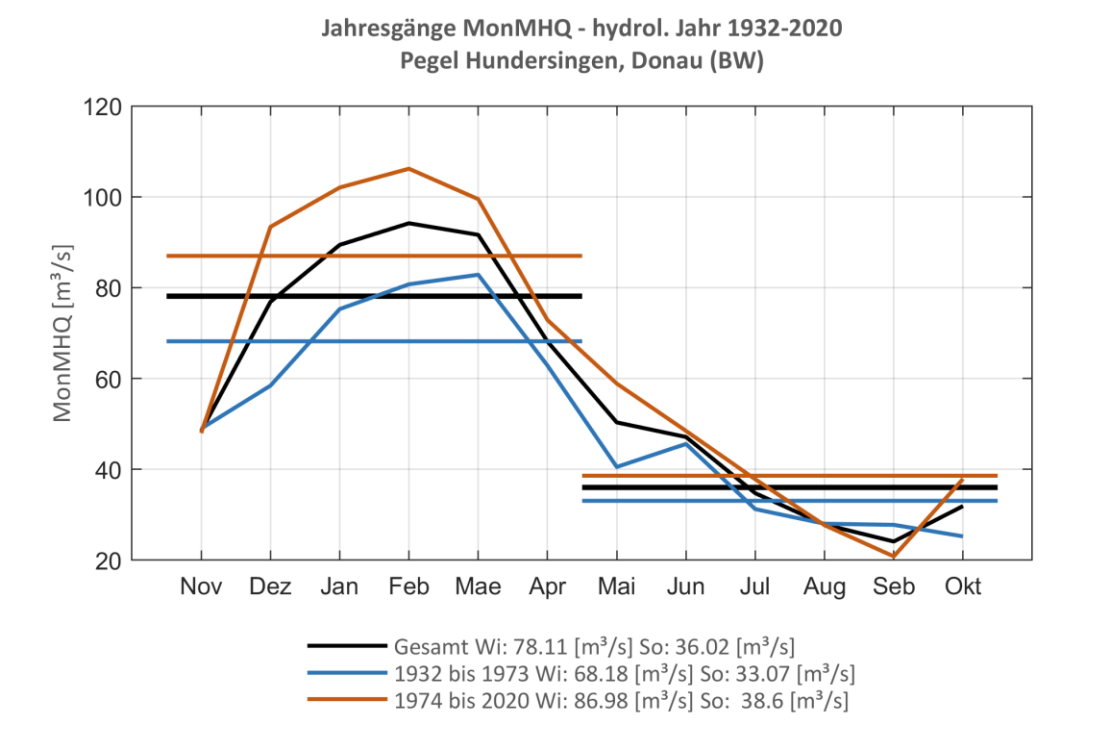


Abb. 55: Jahresgang des MonMHQ und Halbjahresmittel für 1932-2020 sowie 1932-1973 und 1974-2020.



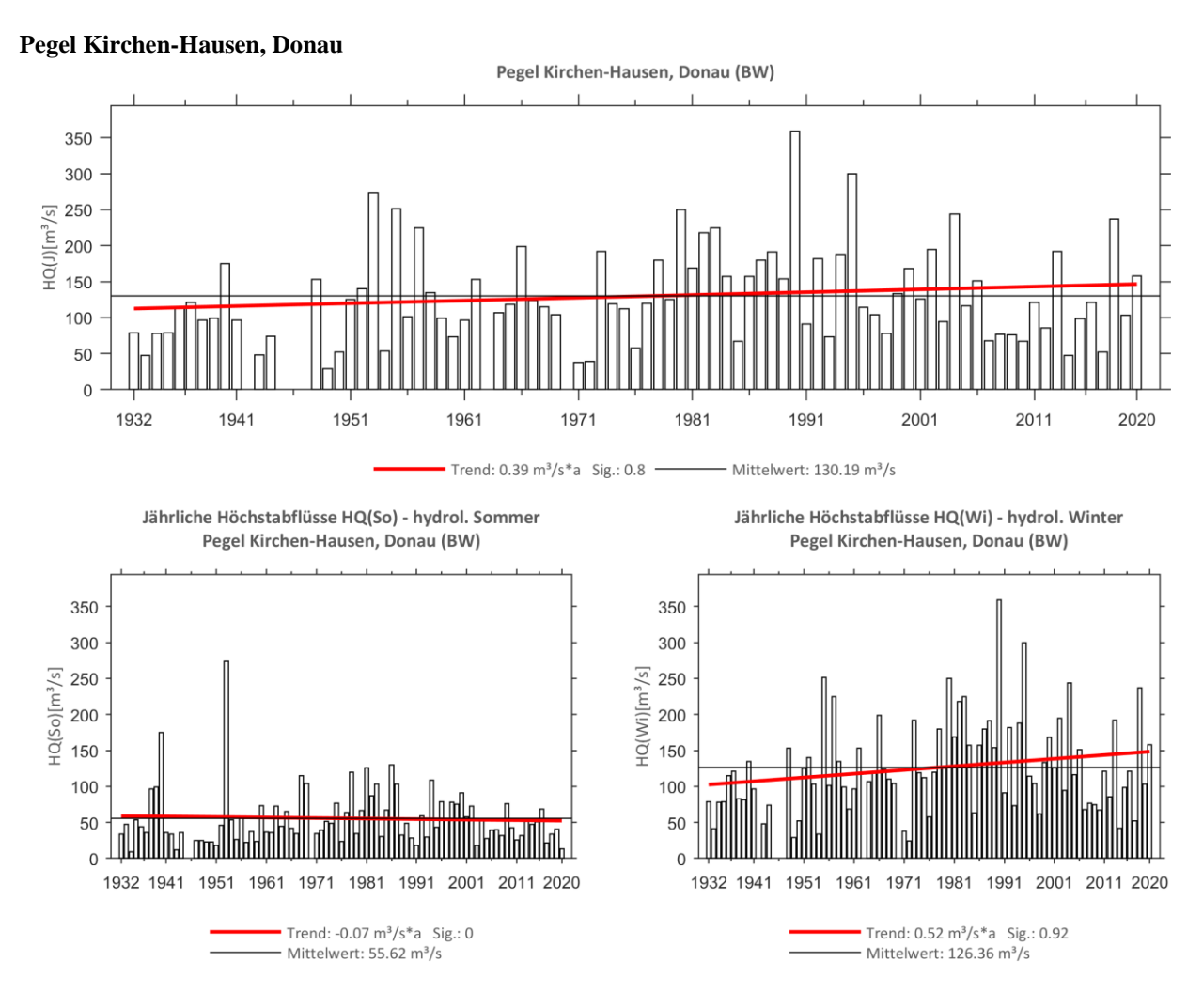


Abb. 56: Trenduntersuchungen von jährlichen Höchstabflüssen für den Zeitraum 1932 bis 2020.

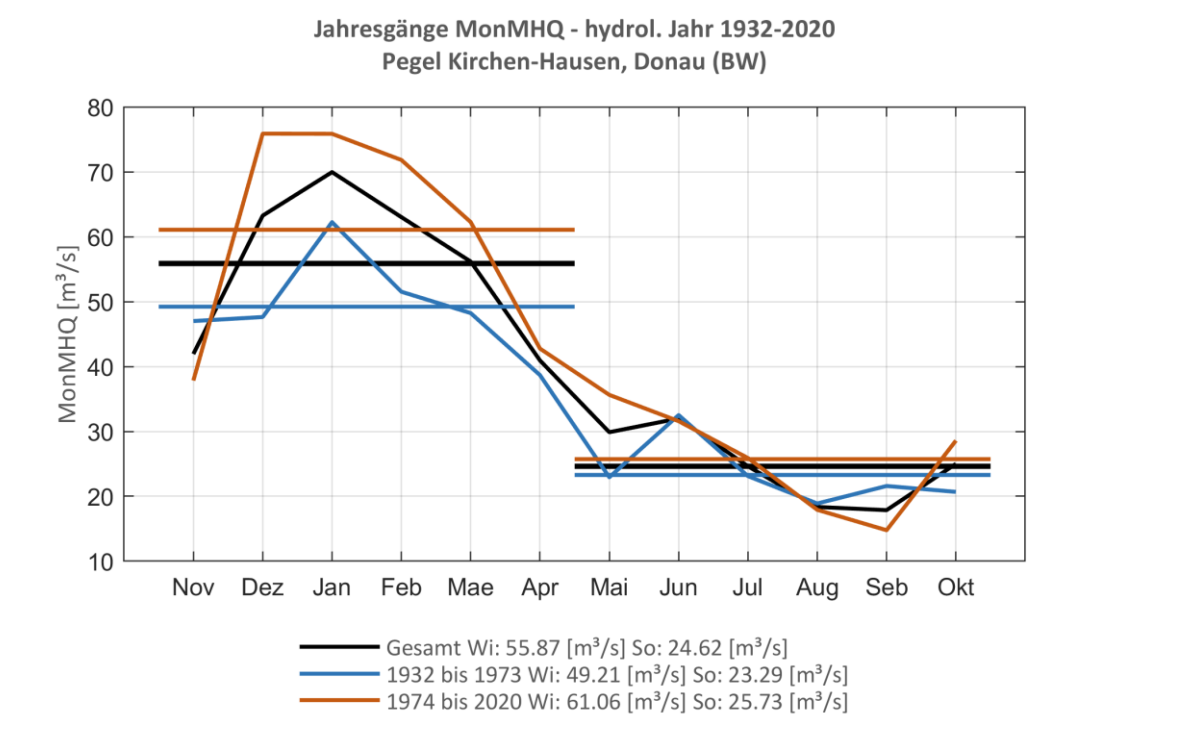


Abb. 57: Jahresgang des MonMHQ und Halbjahresmittel für 1932-2020 sowie 1932-1973 und 1974-2020.



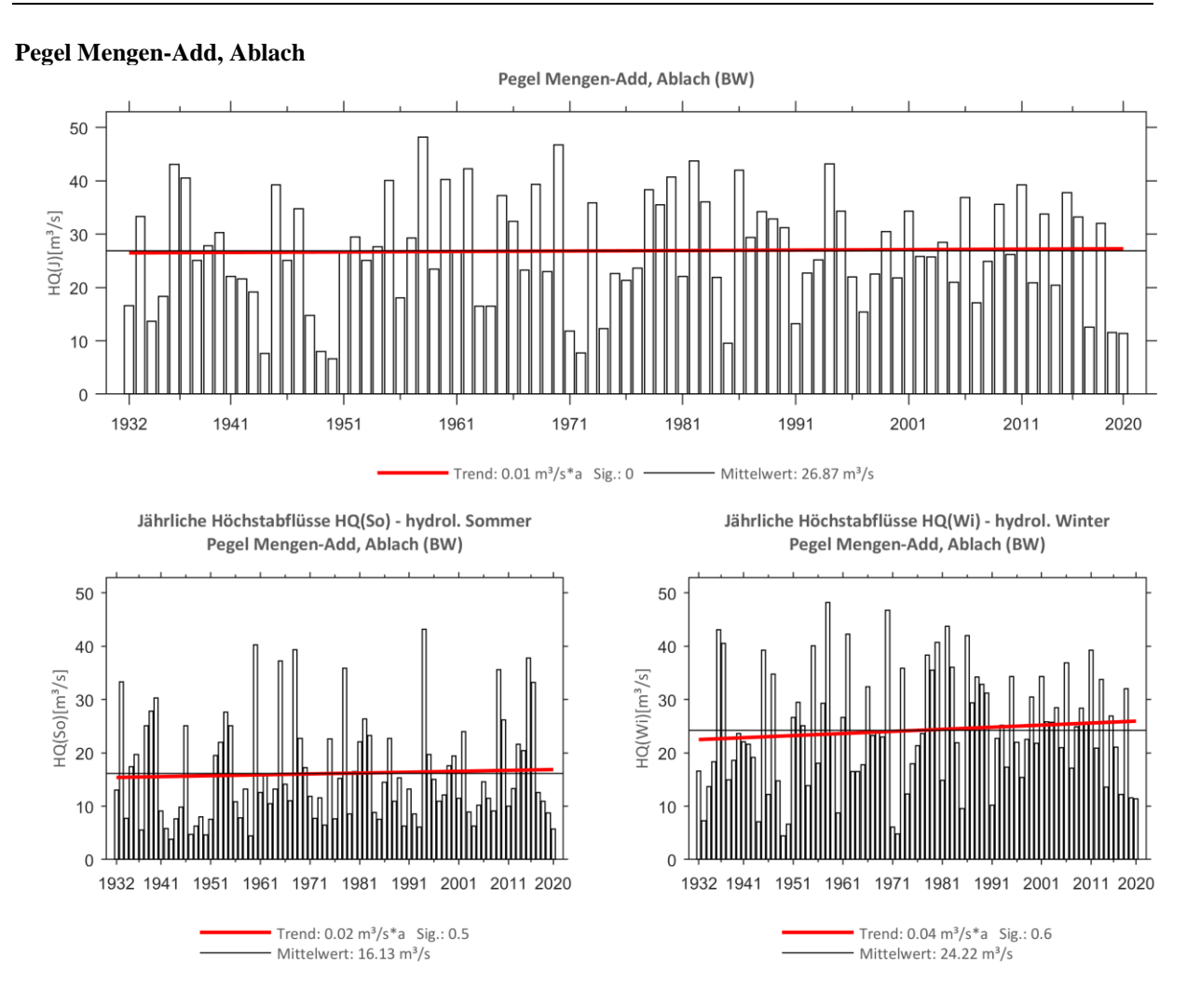


Abb. 58: Trenduntersuchungen von jährlichen Höchstabflüssen für den Zeitraum 1932 bis 2020.

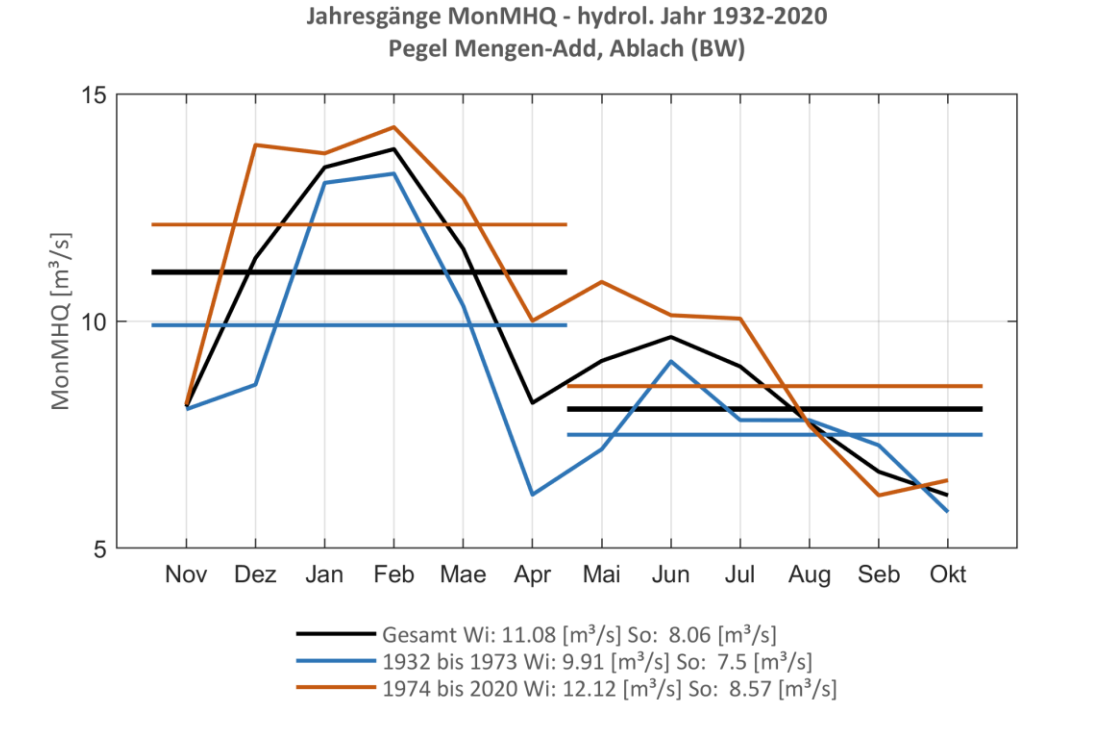


Abb. 59: Jahresgang des MonMHQ und Halbjahresmittel für 1932-2020 sowie 1932-1973 und 1974-2020.



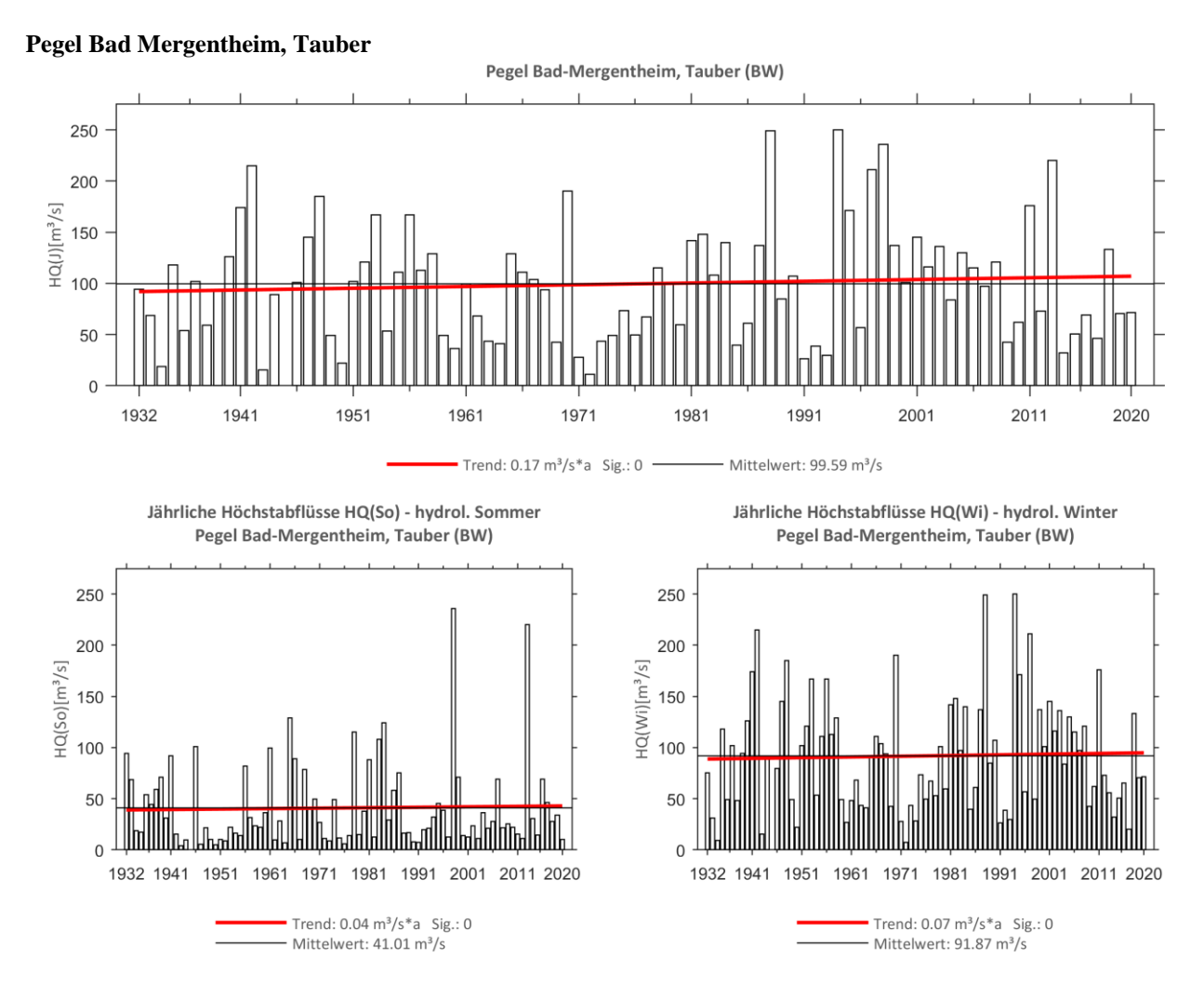


Abb. 60: Trenduntersuchungen von jährlichen Höchstabflüssen für den Zeitraum 1932 bis 2020.

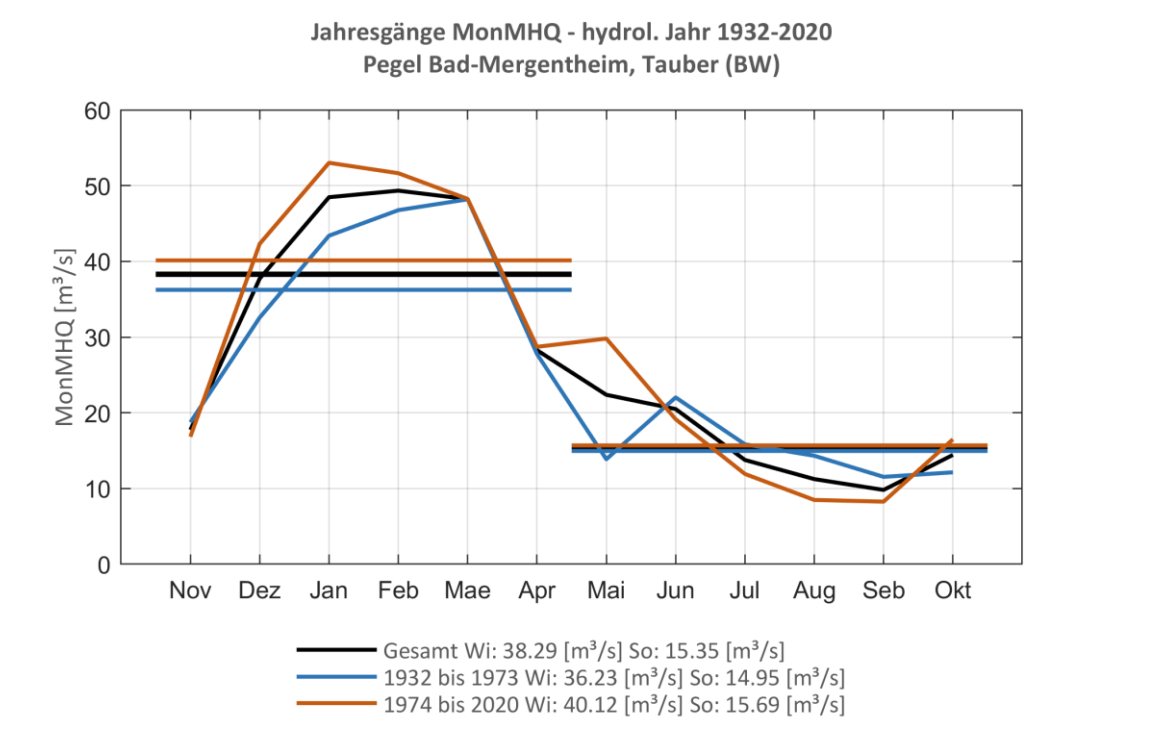


Abb. 61: Jahresgang des MonMHQ und Halbjahresmittel für 1932-2020 sowie 1932-1973 und 1974-2020.



2.2 Bayerische Monitoring-Pegel

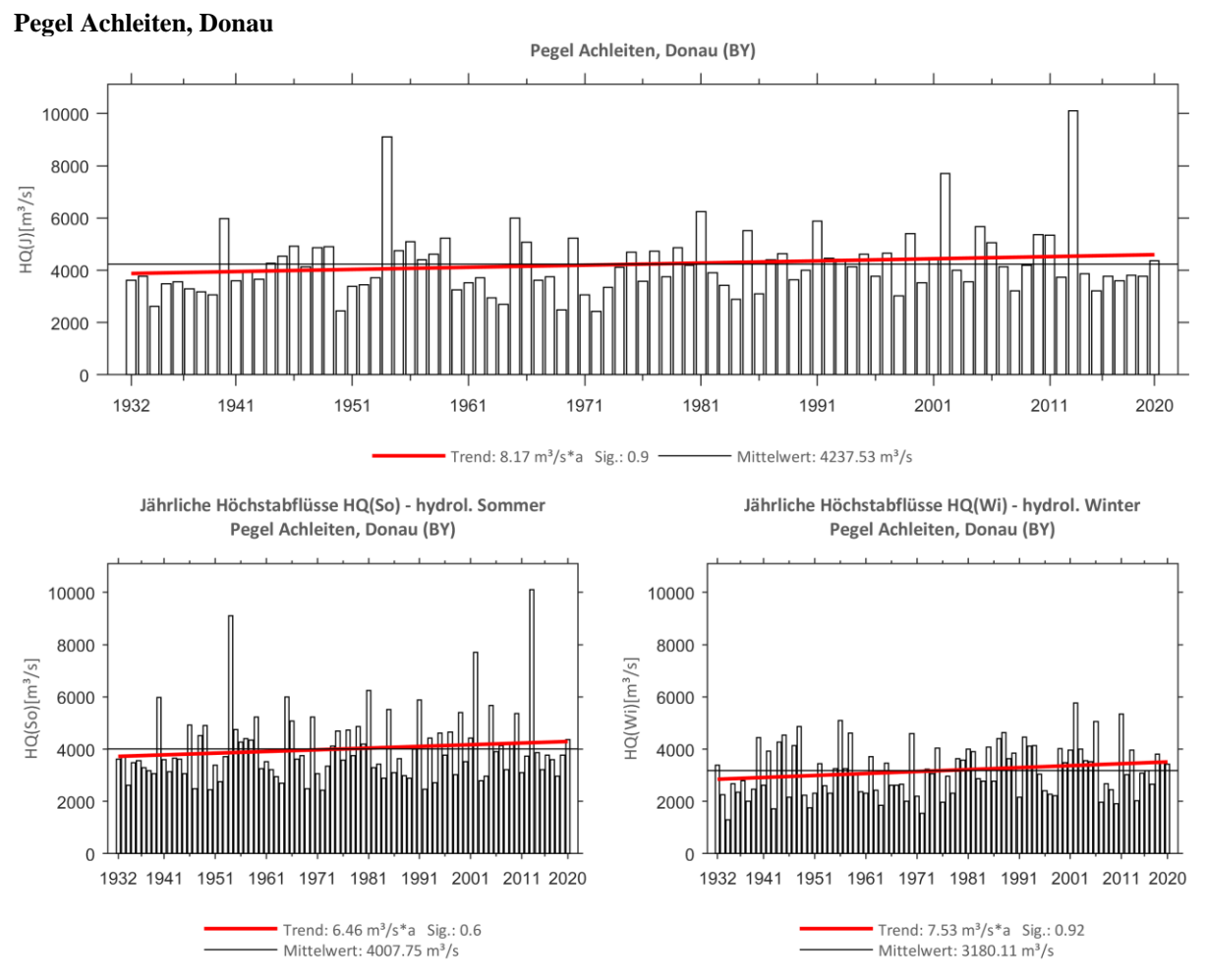


Abb. 62: Trenduntersuchungen von jährlichen Höchstabflüssen für den Zeitraum 1932 bis 2020.

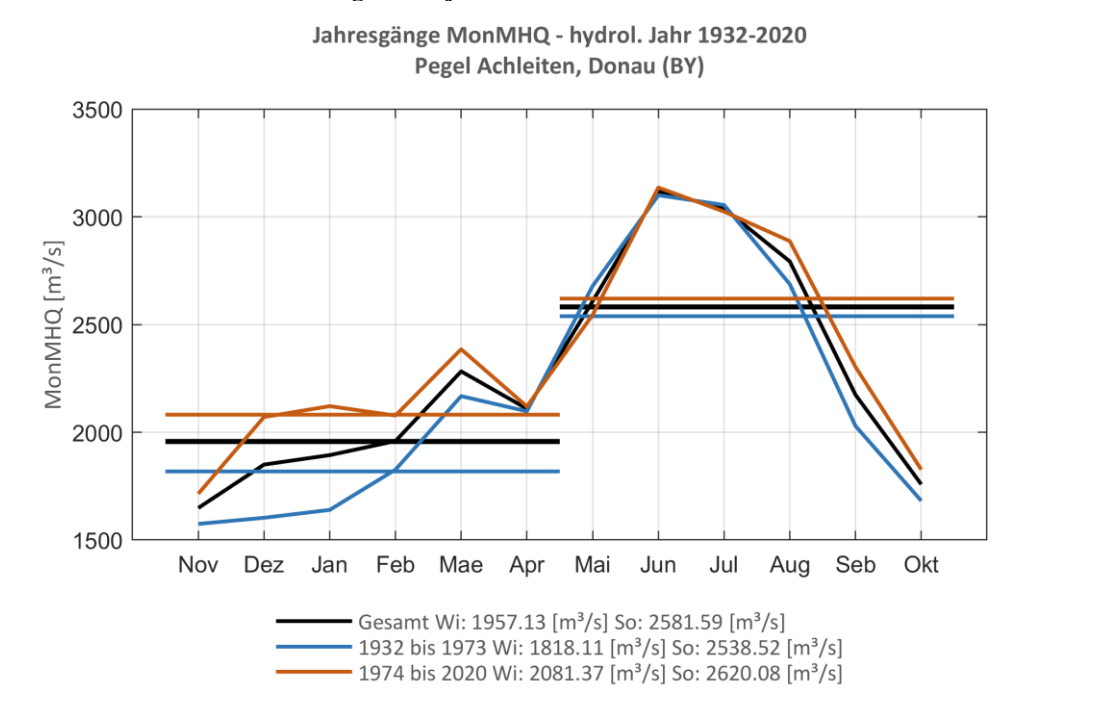


Abb. 63: Jahresgang des MonMHQ und Halbjahresmittel für 1932-2020 sowie 1932-1973 und 1974-2020



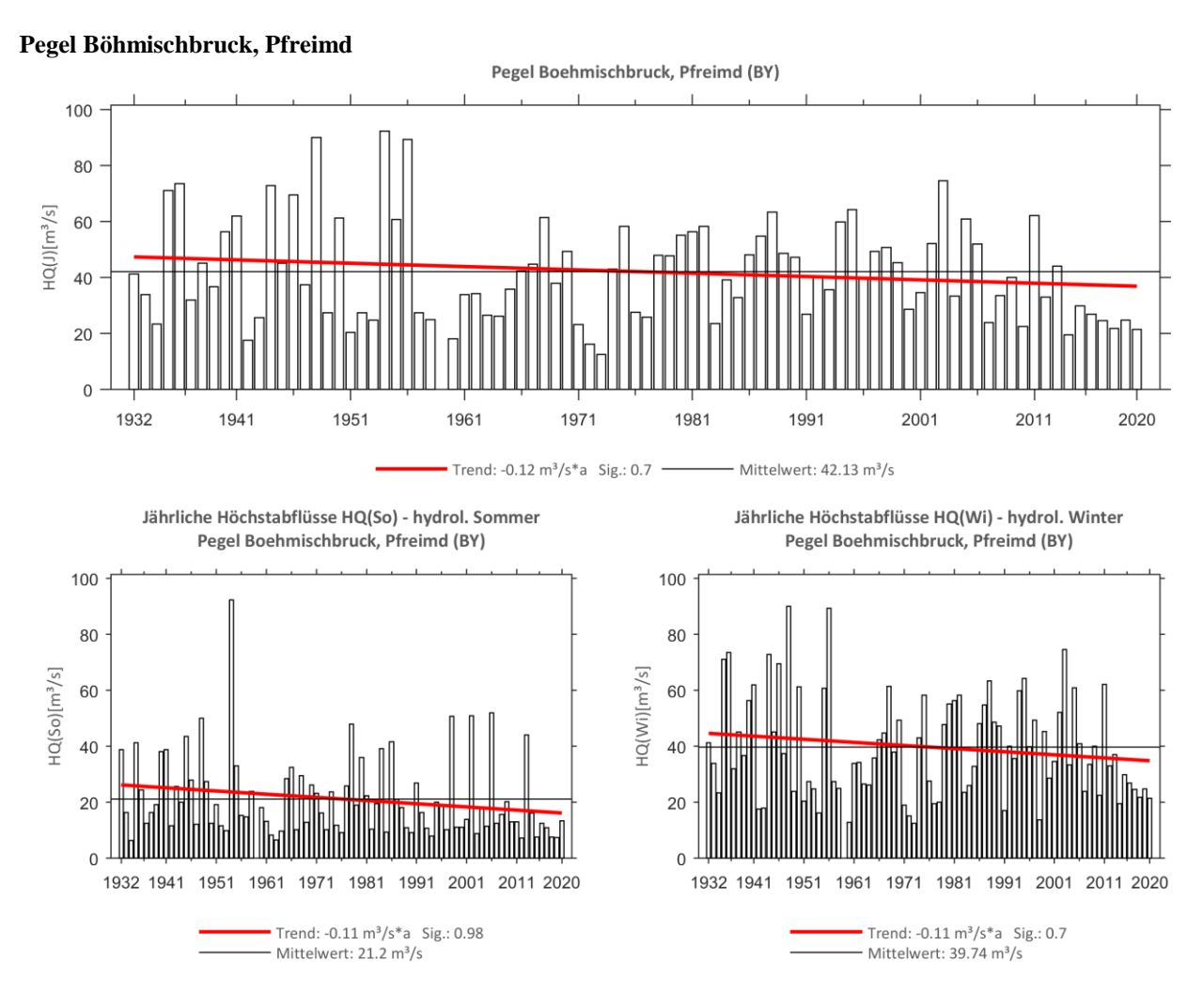


Abb. 64: Trenduntersuchungen von jährlichen Höchstabflüssen für den Zeitraum 1932 bis 2020.

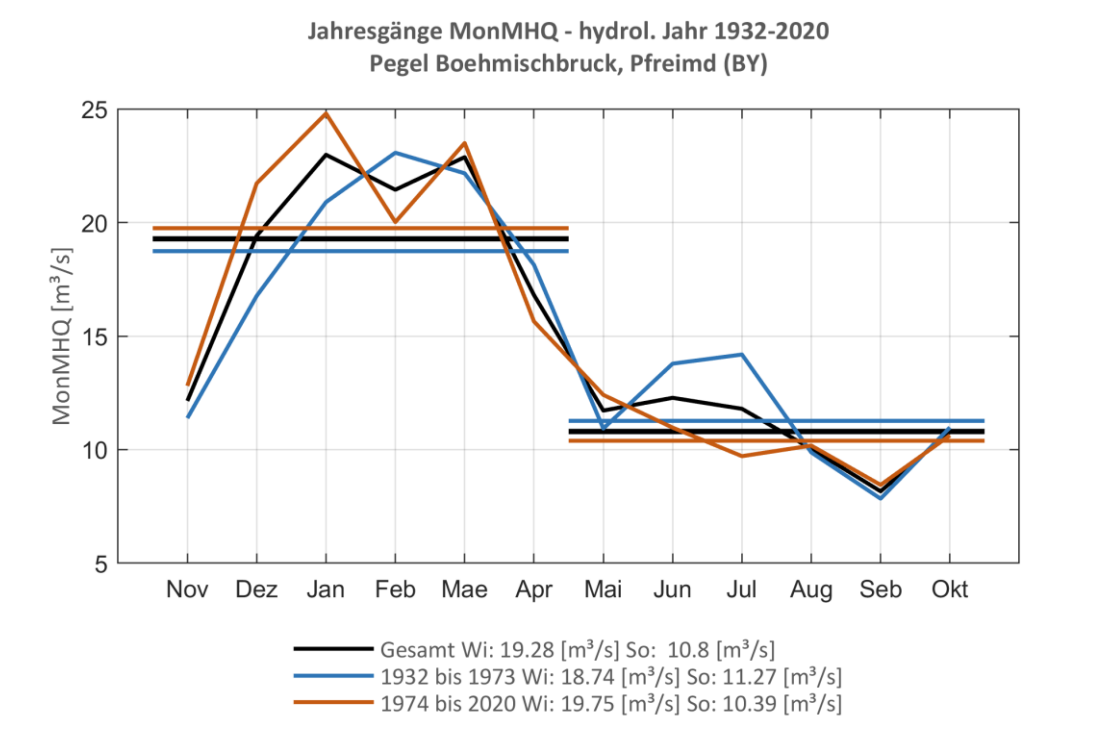


Abb. 65: Jahresgang des MonMHQ und Halbjahresmittel für 1932-2020 sowie 1932-1973 und 1974-2020



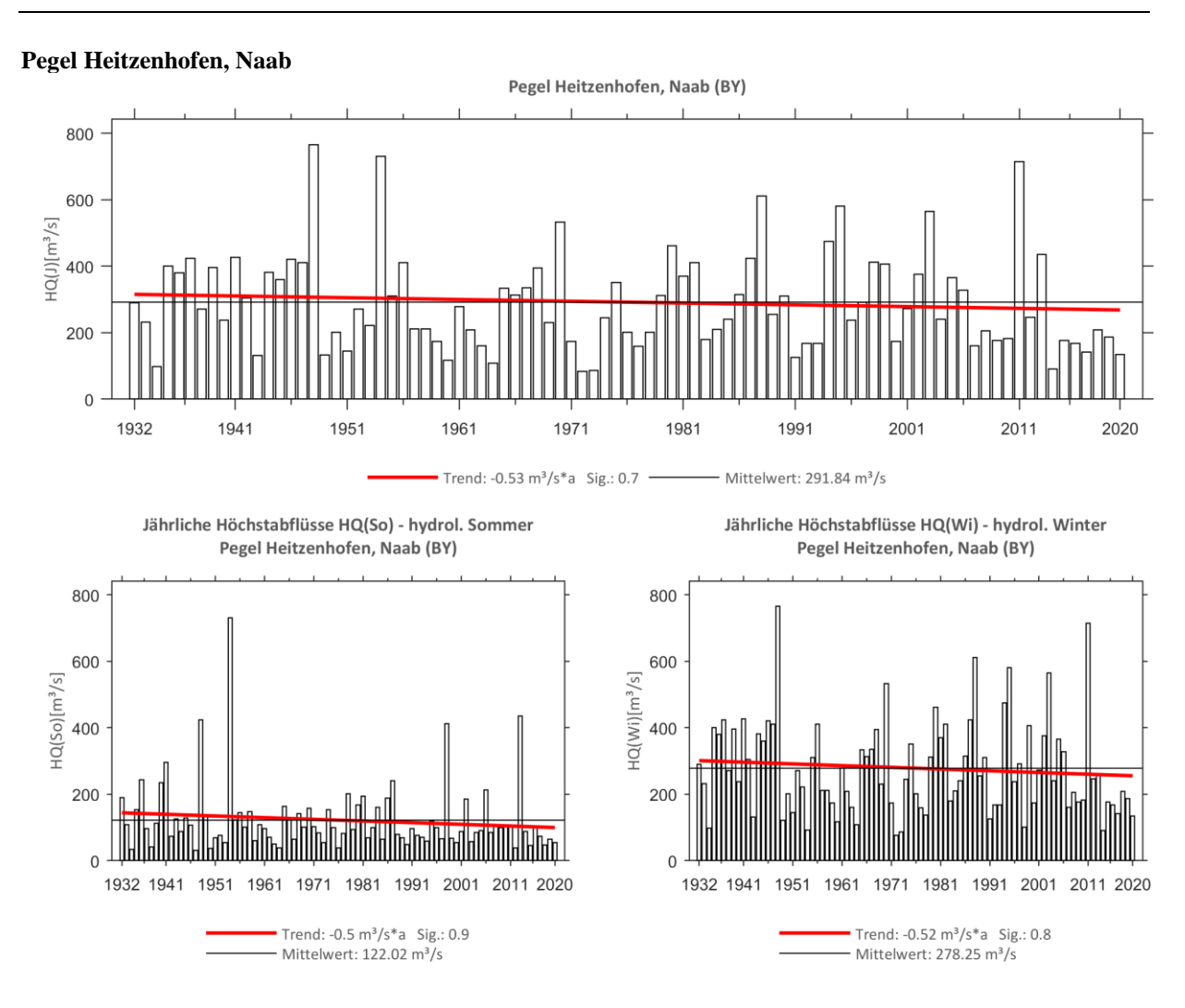


Abb. 66: Trenduntersuchungen von jährlichen Höchstabflüssen für den Zeitraum 1932 bis 2020.

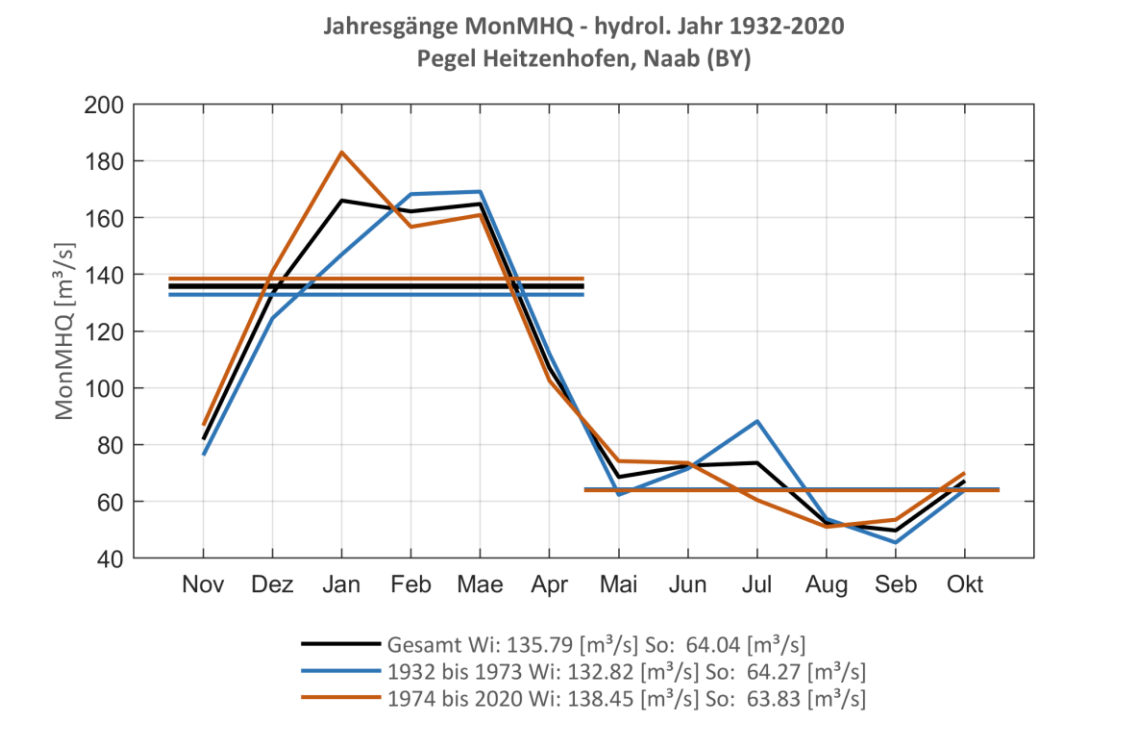


Abb. 67: Jahresgang des MonMHQ und Halbjahresmittel für 1932-2020 sowie 1932-1973 und 1974-2020.



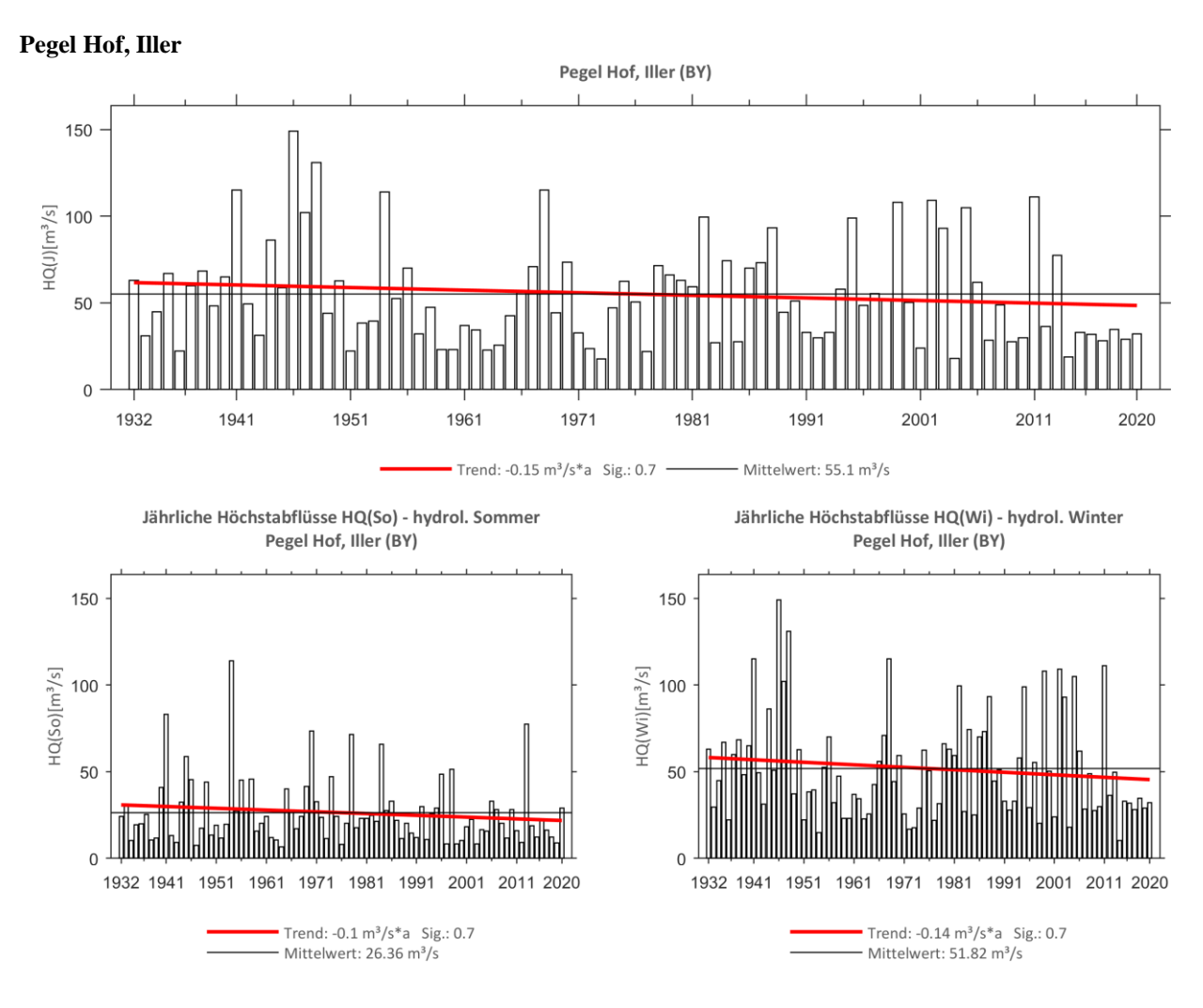


Abb. 68: Trenduntersuchungen von jährlichen Höchstabflüssen für den Zeitraum 1932 bis 2020.

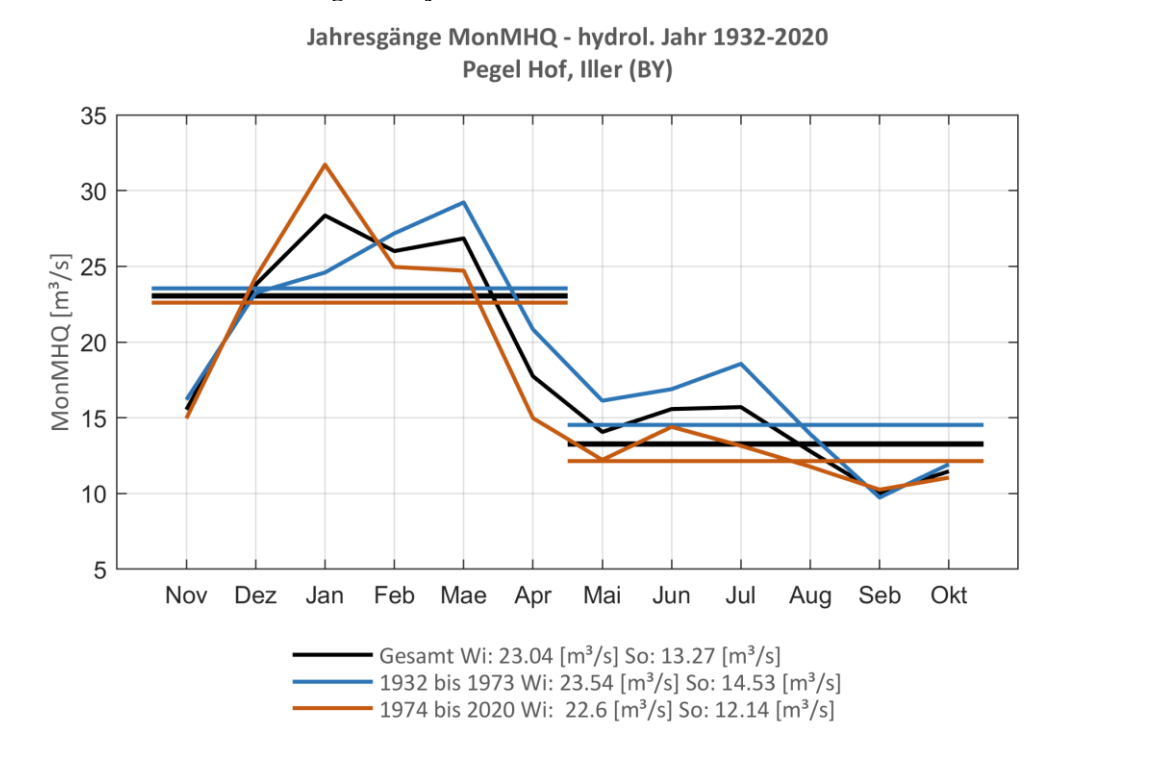


Abb. 69: Jahresgang des MonMHQ und Halbjahresmittel für 1932-2020 sowie 1932-1973 und 1974-2020



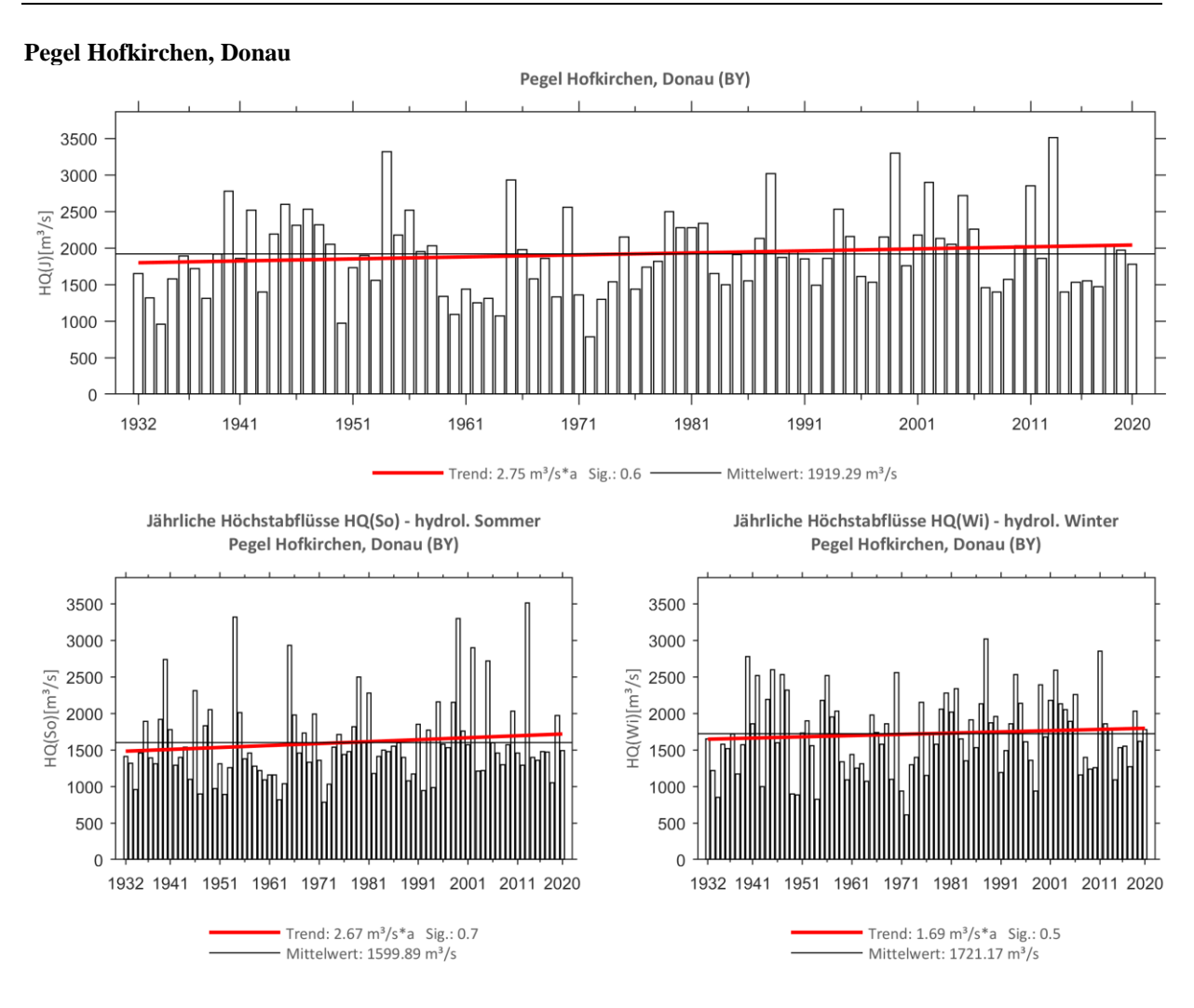


Abb. 70: Trenduntersuchungen von jährlichen Höchstabflüssen für den Zeitraum 1932 bis 2020.

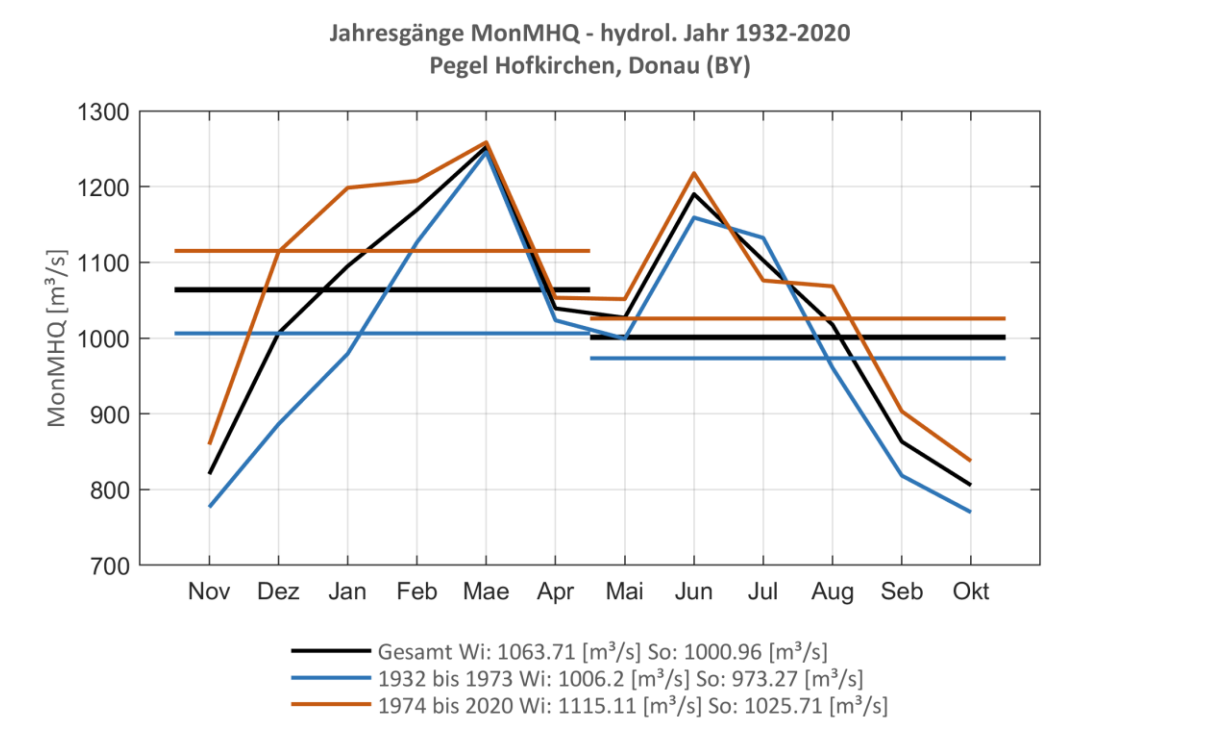


Abb. 71: Jahresgang des MonMHQ und Halbjahresmittel für 1932-2020 sowie 1932-1973 und 1974-2020.



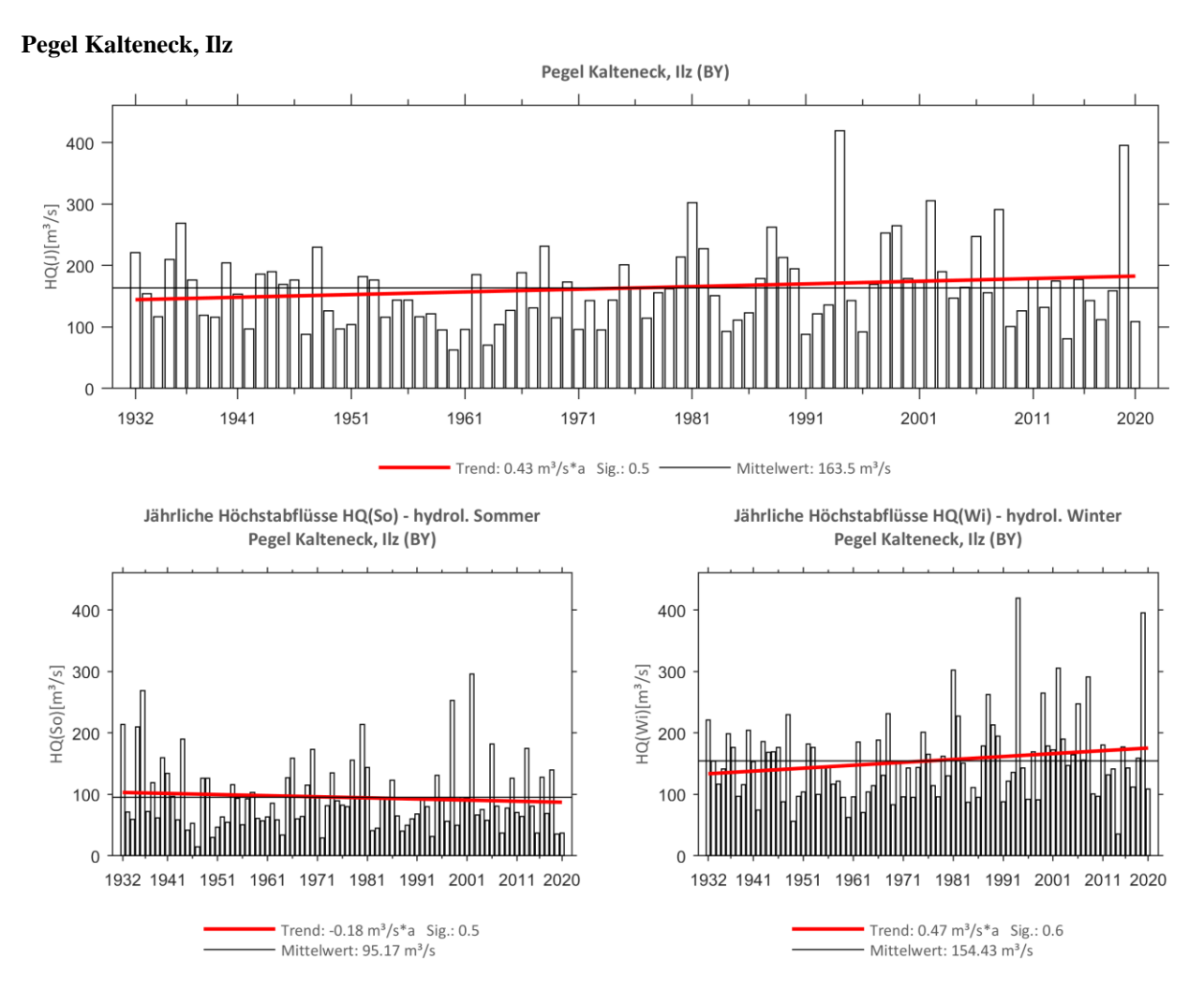


Abb. 72: Trenduntersuchungen von jährlichen Höchstabflüssen für den Zeitraum 1932 bis 2020.

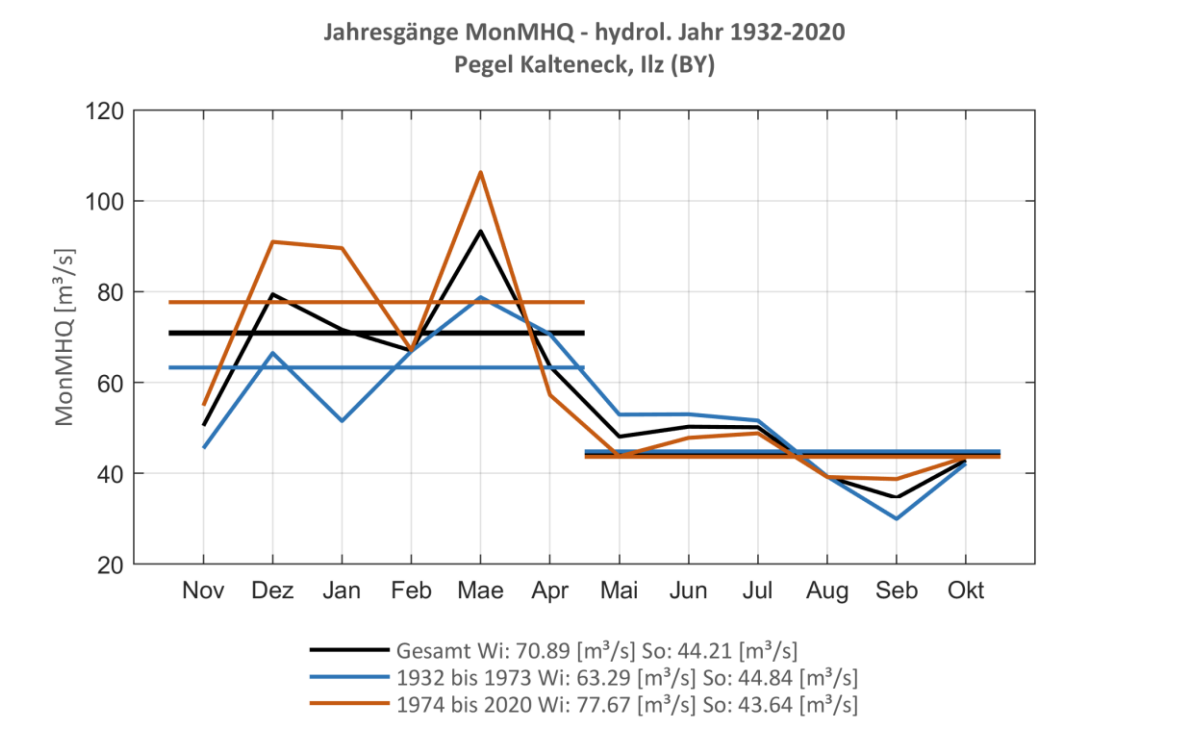


Abb. 73: Jahresgang des MonMHQ und Halbjahresmittel für 1932-2020 sowie 1932-1973 und 1974-2020



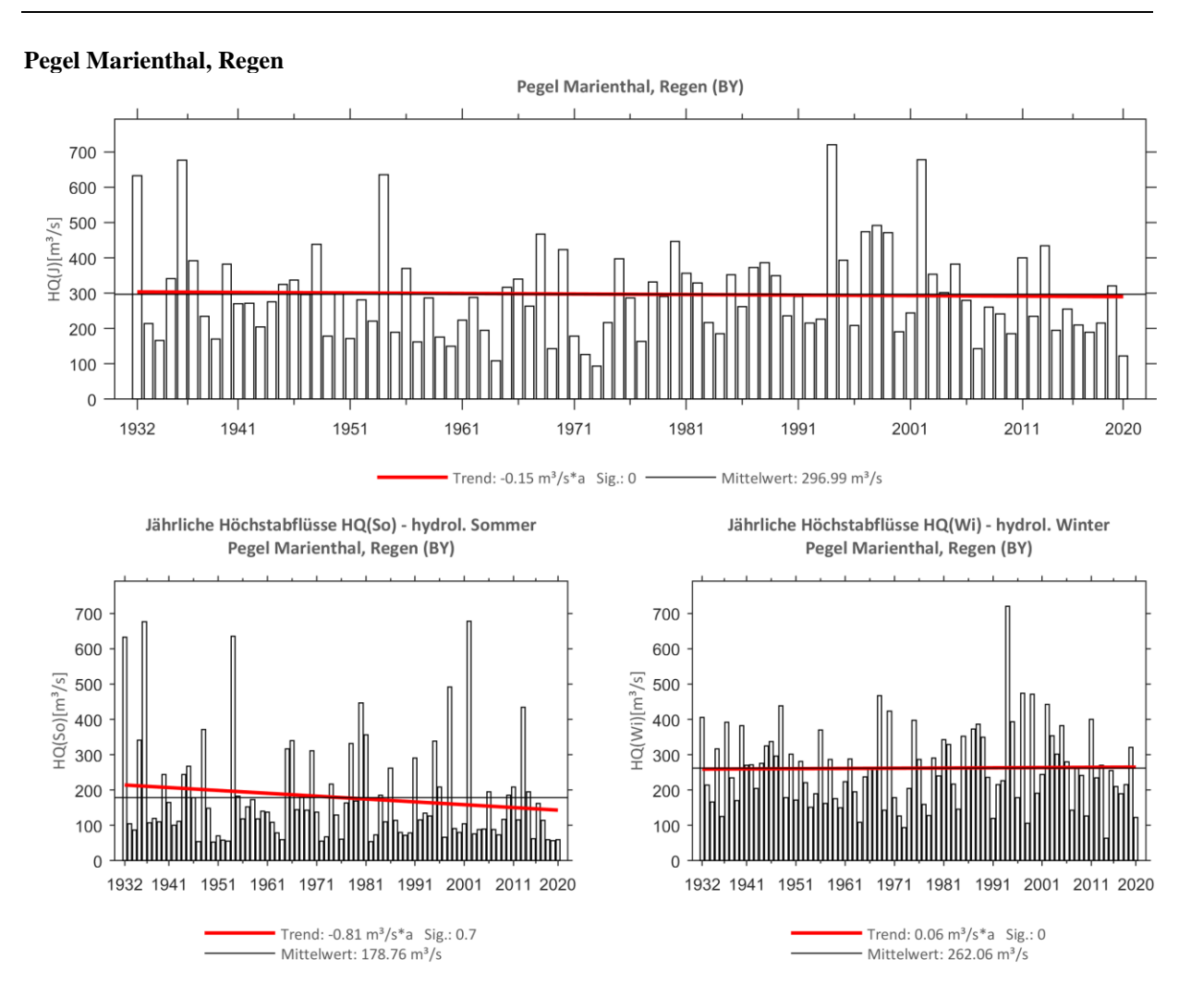


Abb. 74: Trenduntersuchungen von jährlichen Höchstabflüssen für den Zeitraum 1932 bis 2020.

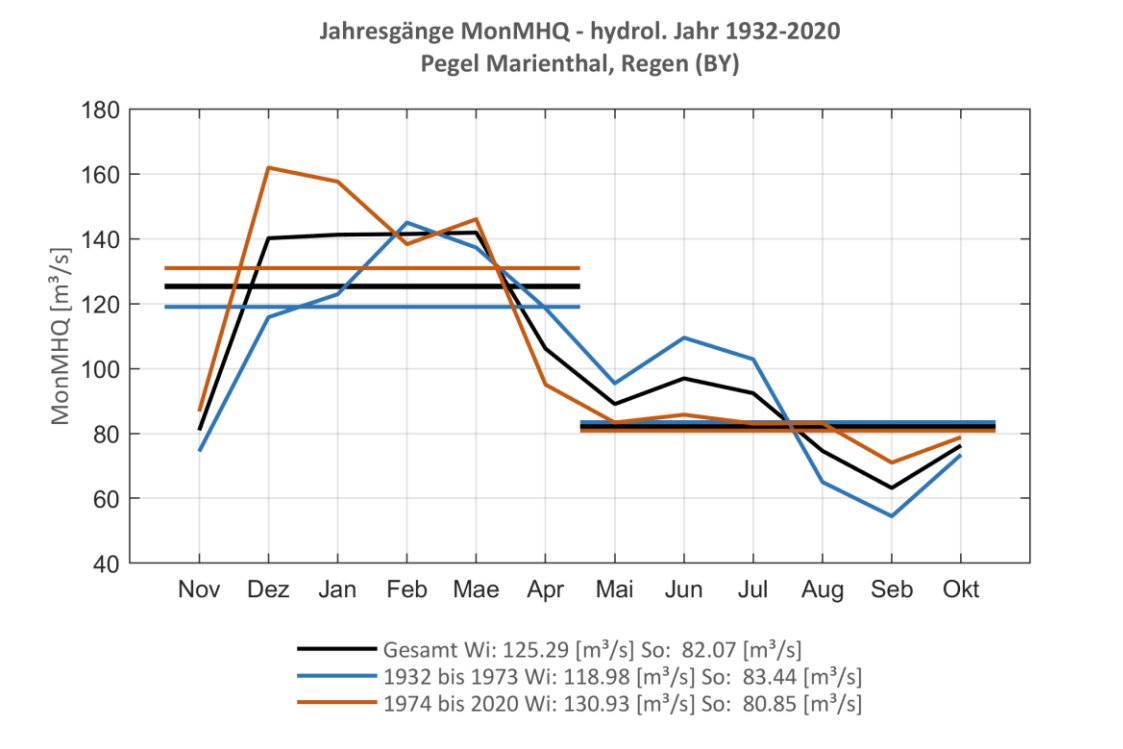


Abb. 75: Jahresgang des MonMHQ und Halbjahresmittel für 1932-2020 sowie 1932-1973 und 1974-2020



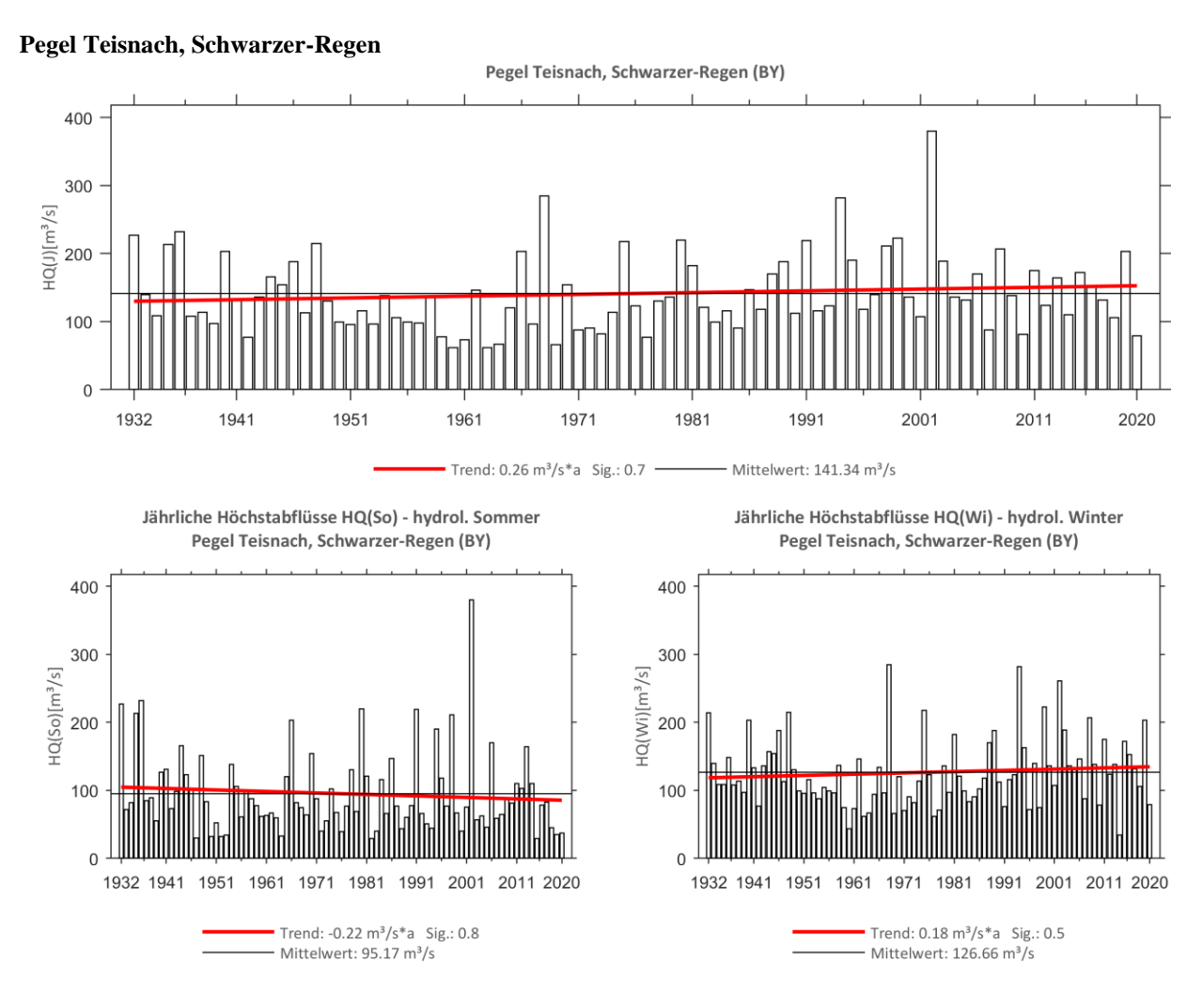


Abb. 76: Trenduntersuchungen von jährlichen Höchstabflüssen für den Zeitraum 1932 bis 2020.

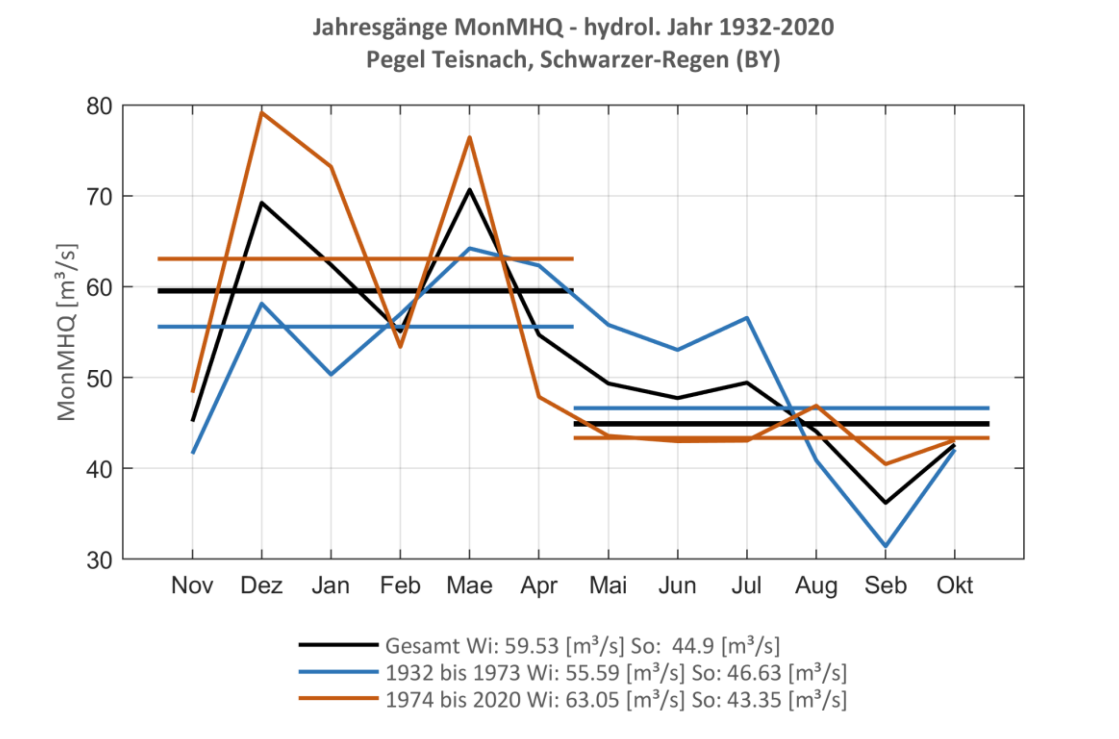


Abb. 77: Jahresgang des MonMHQ und Halbjahresmittel für 1932-2020 sowie 1932-1973 und 1974-2020



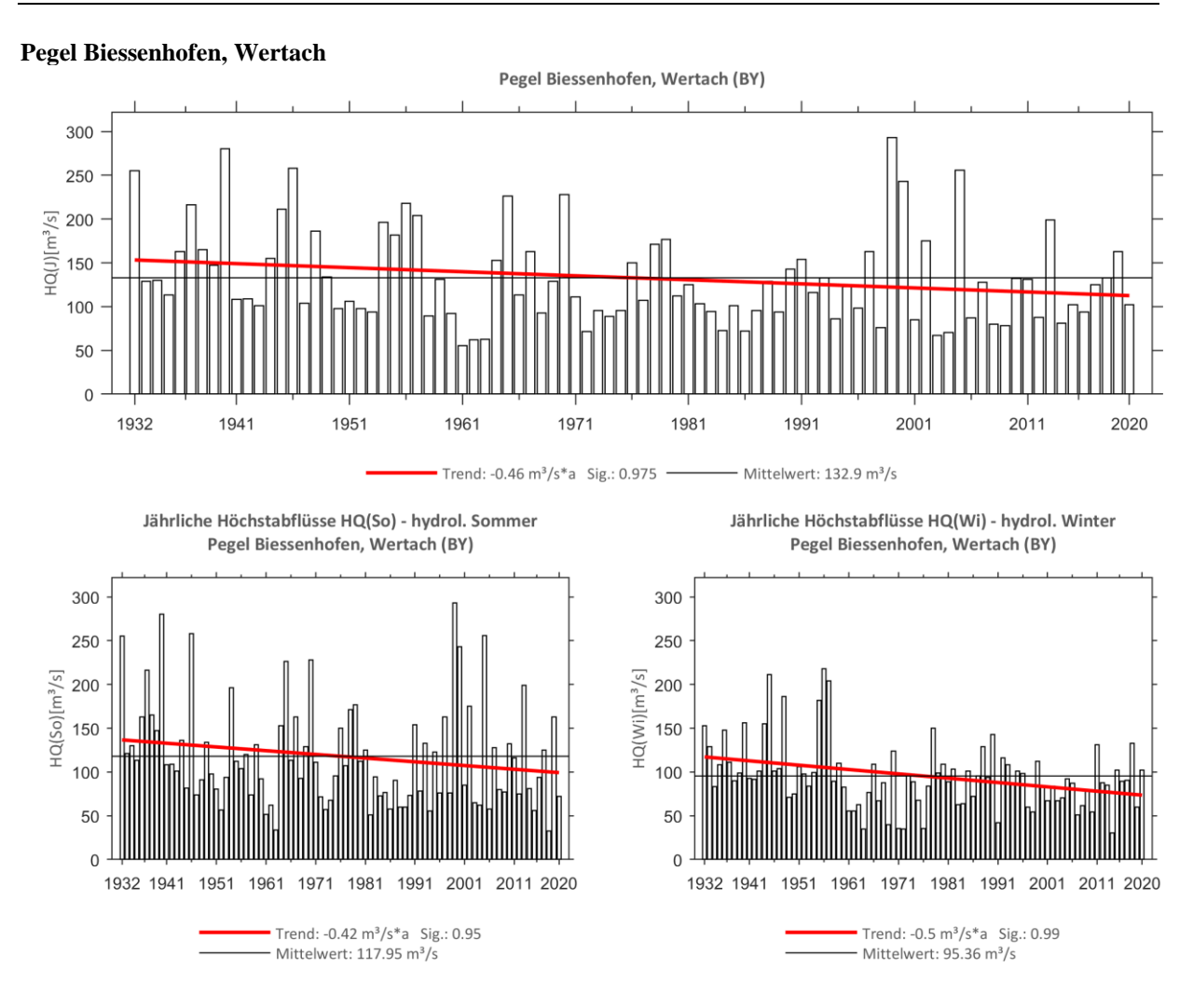


Abb. 78: Trenduntersuchungen von jährlichen Höchstabflüssen für den Zeitraum 1932 bis 2020.

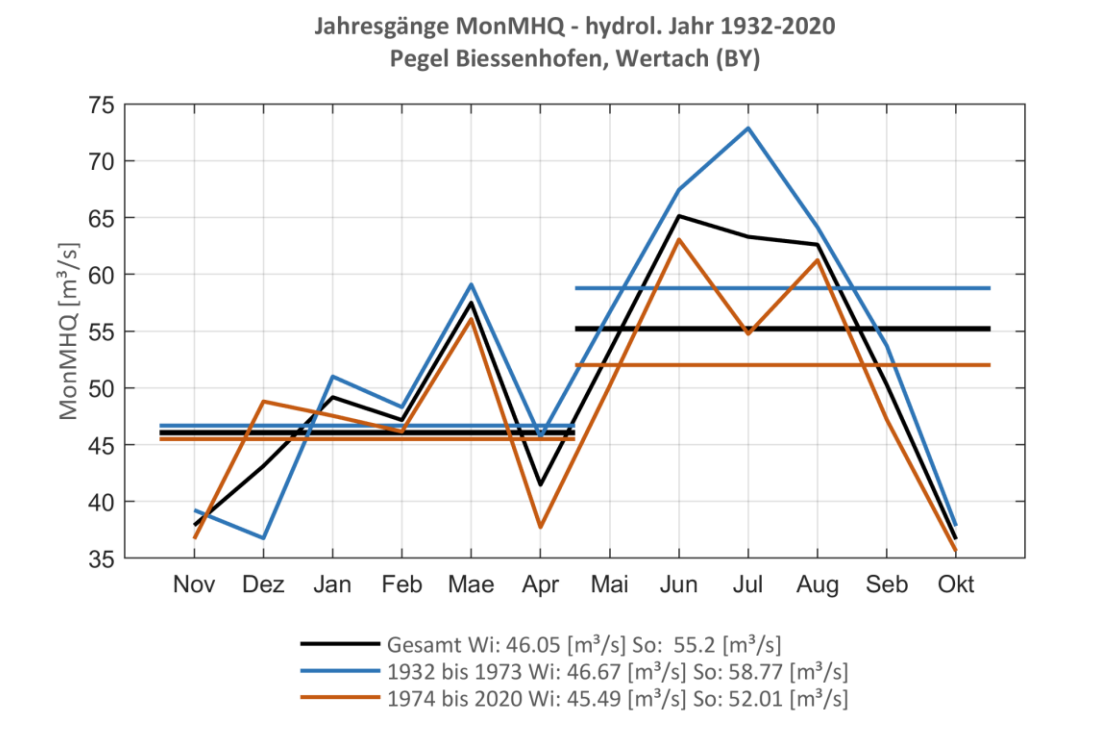


Abb. 79: Jahresgang des MonMHQ und Halbjahresmittel für 1932-2020 sowie 1932-1973 und 1974-2020



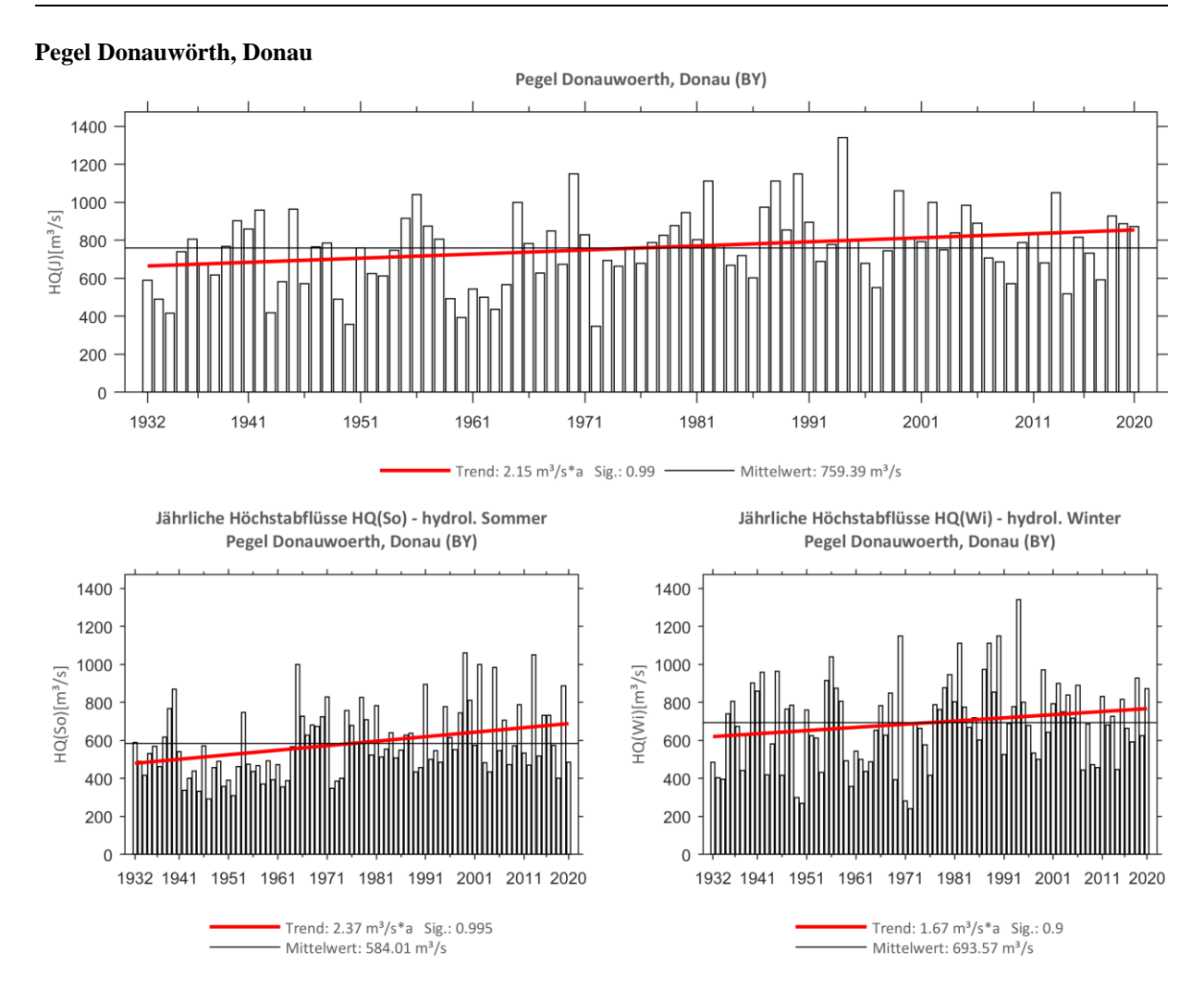


Abb. 80: Trenduntersuchungen von jährlichen Höchstabflüssen für den Zeitraum 1932 bis 2020.

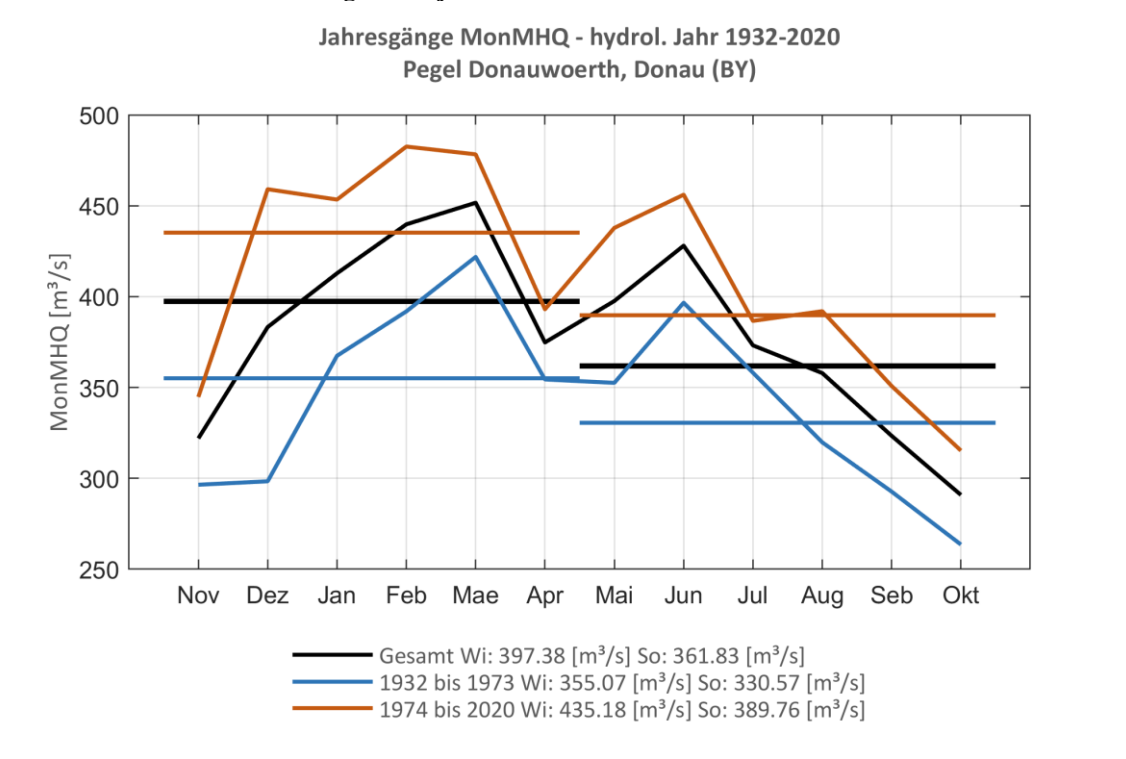


Abb. 81: Jahresgang des MonMHQ und Halbjahresmittel für 1932-2020 sowie 1932-1973 und 1974-2020



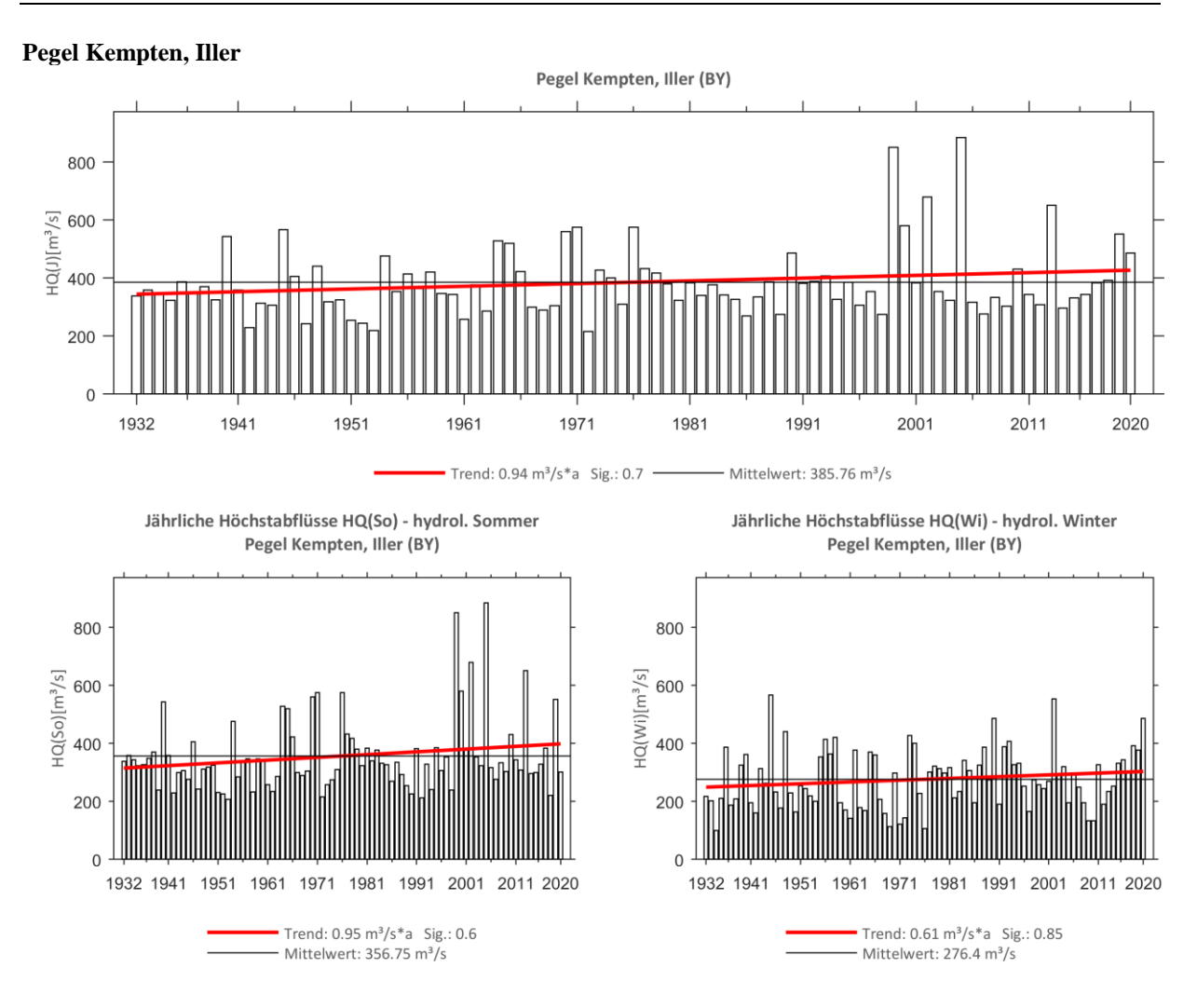


Abb. 82: Trenduntersuchungen von jährlichen Höchstabflüssen für den Zeitraum 1932 bis 2020.

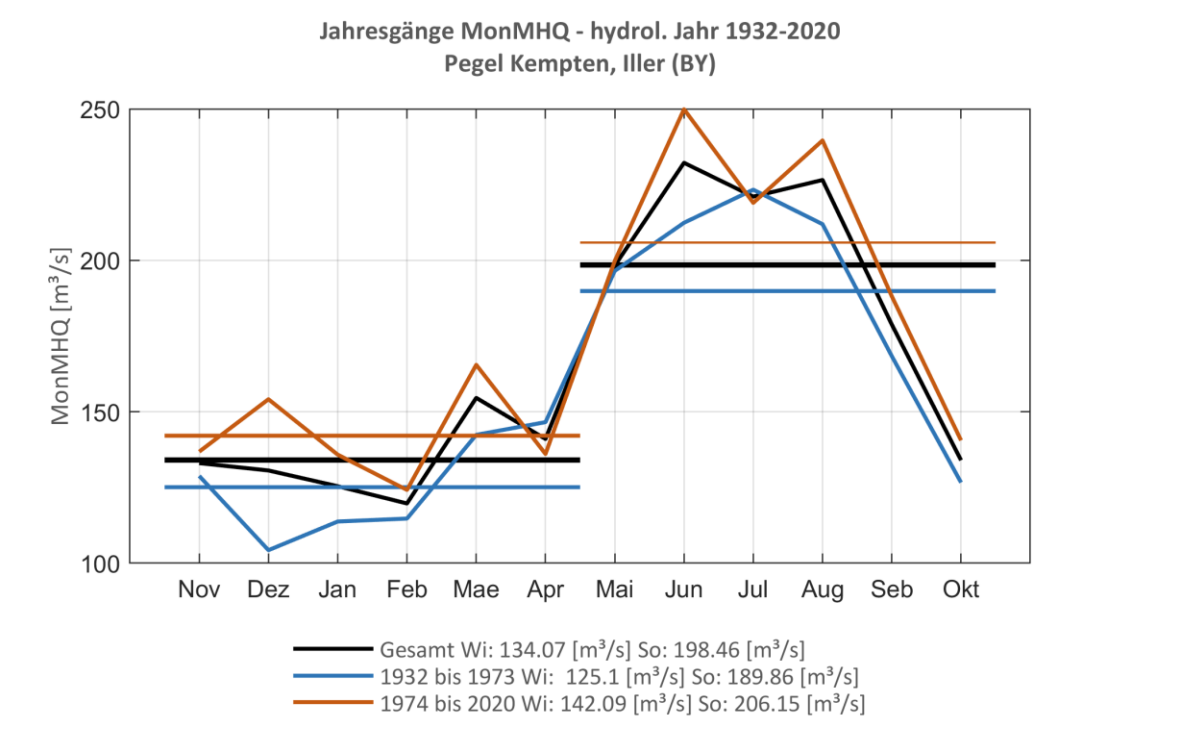


Abb. 83: Jahresgang des MonMHQ und Halbjahresmittel für 1932-2020 sowie 1932-1973 und 1974-2020



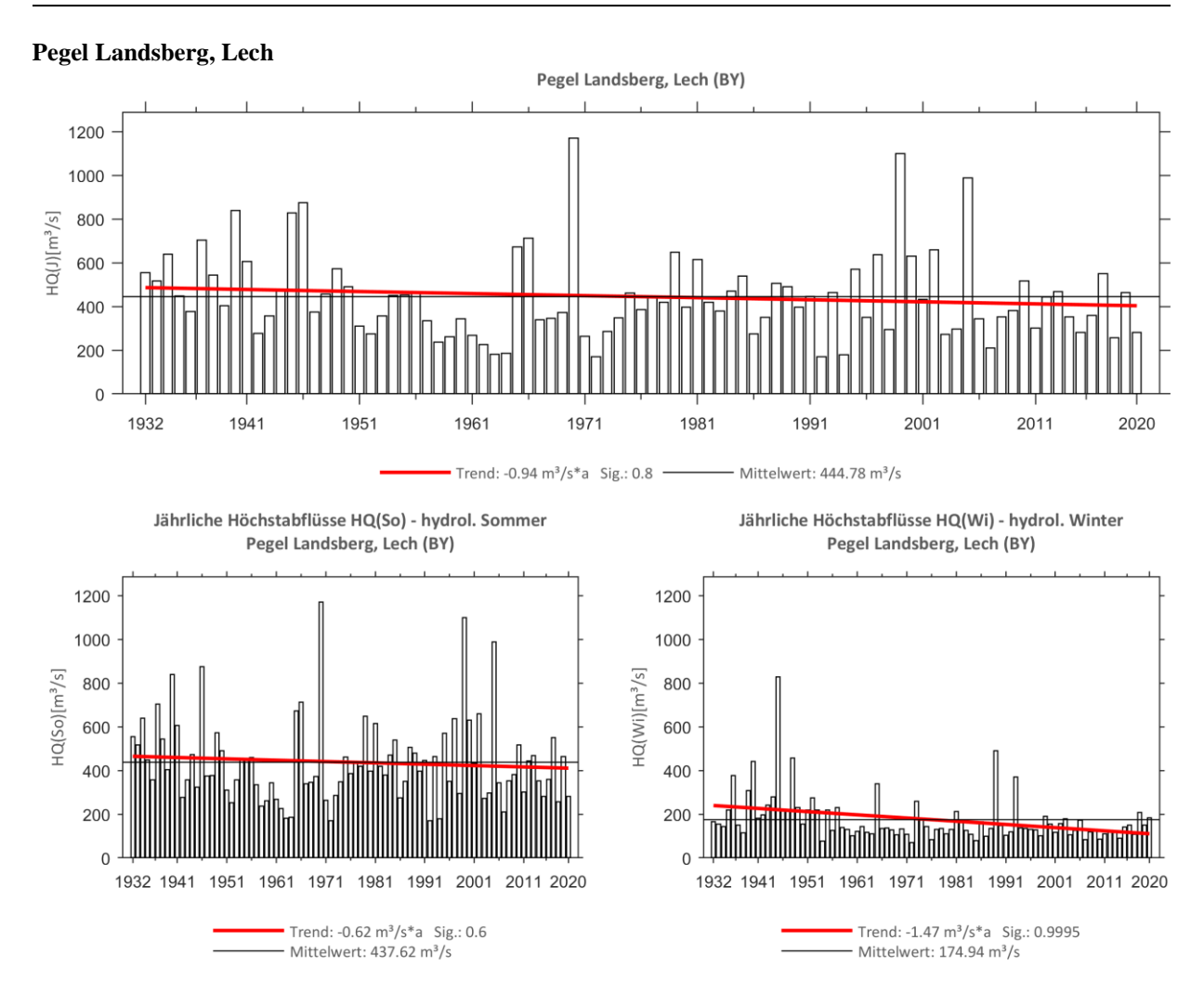


Abb. 84: Trenduntersuchungen von jährlichen Höchstabflüssen für den Zeitraum 1932 bis 2020.

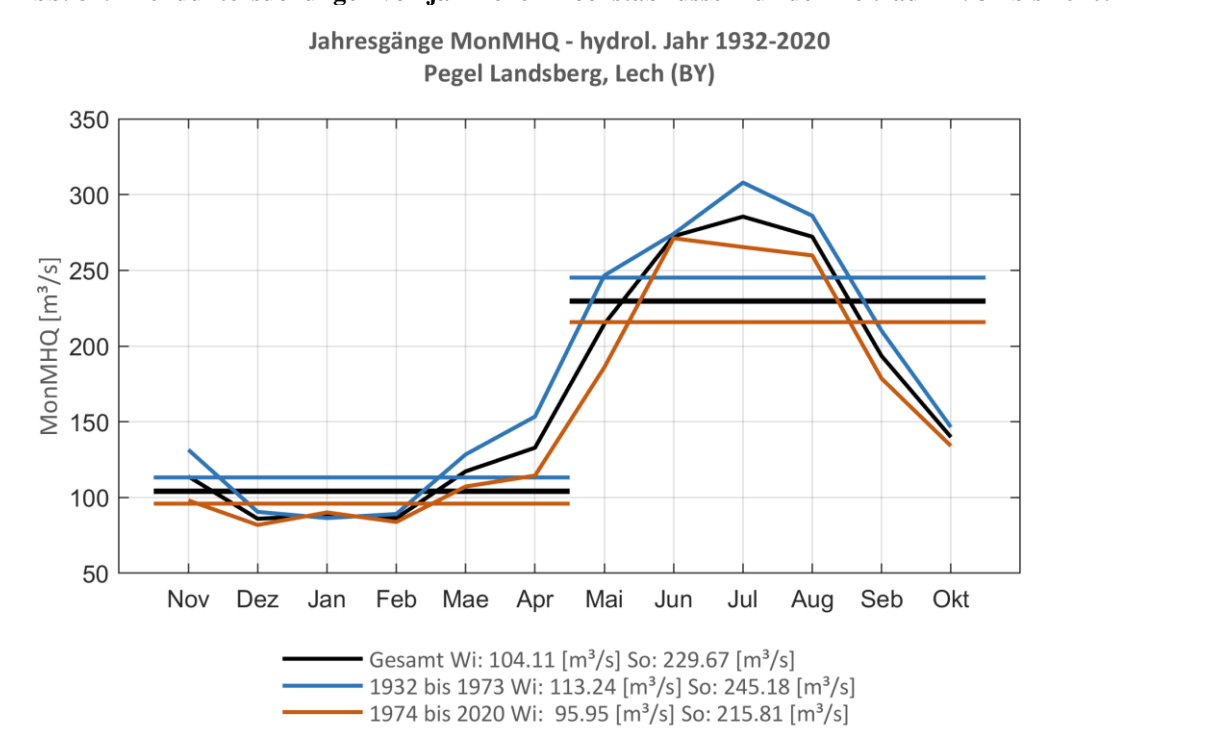


Abb. 85: Jahresgang des MonMHQ und Halbjahresmittel für 1932-2020 sowie 1932-1973 und 1974-2020



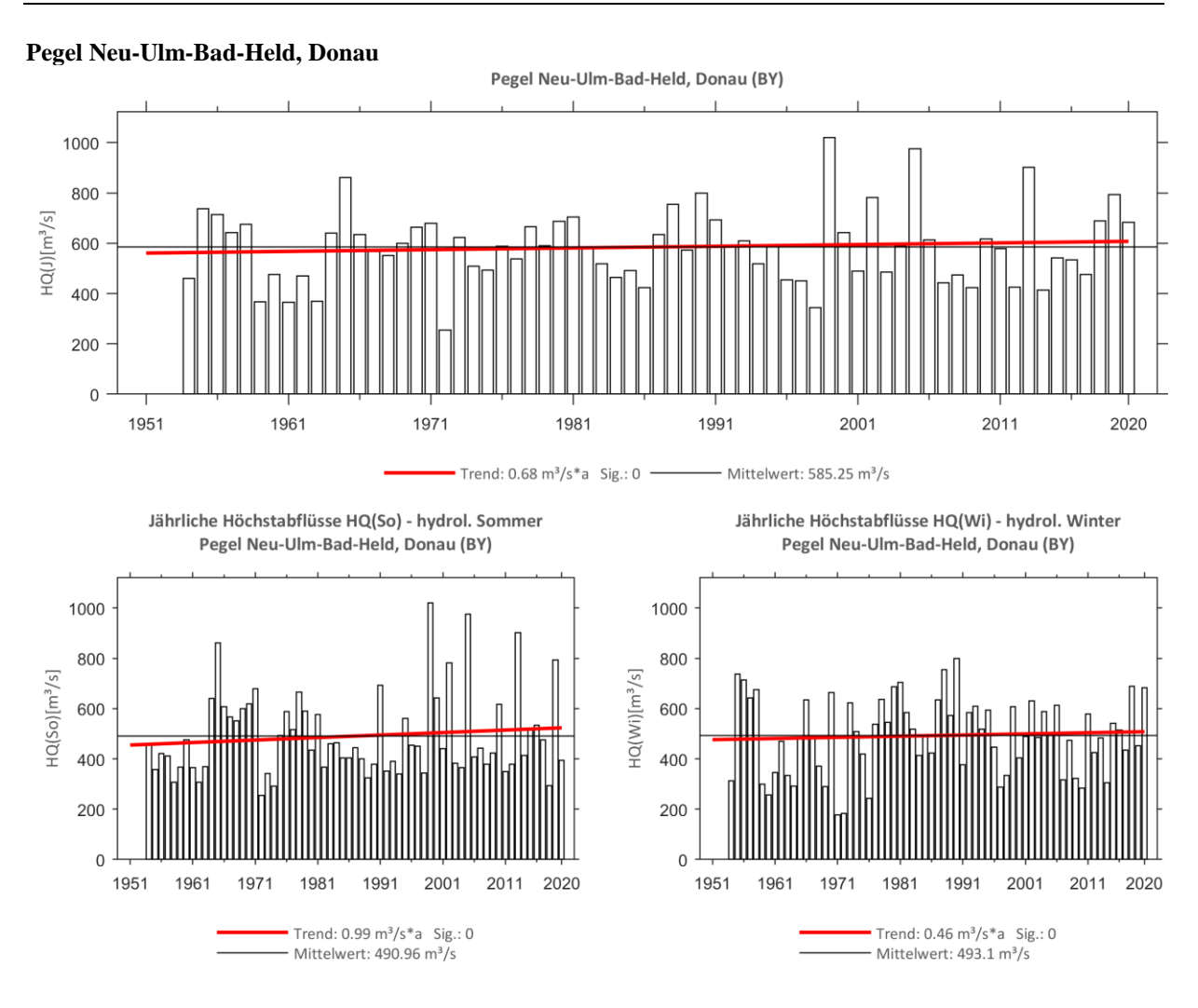


Abb. 86: Trenduntersuchungen von jährlichen Höchstabflüssen für den Zeitraum 1954 bis 2020.

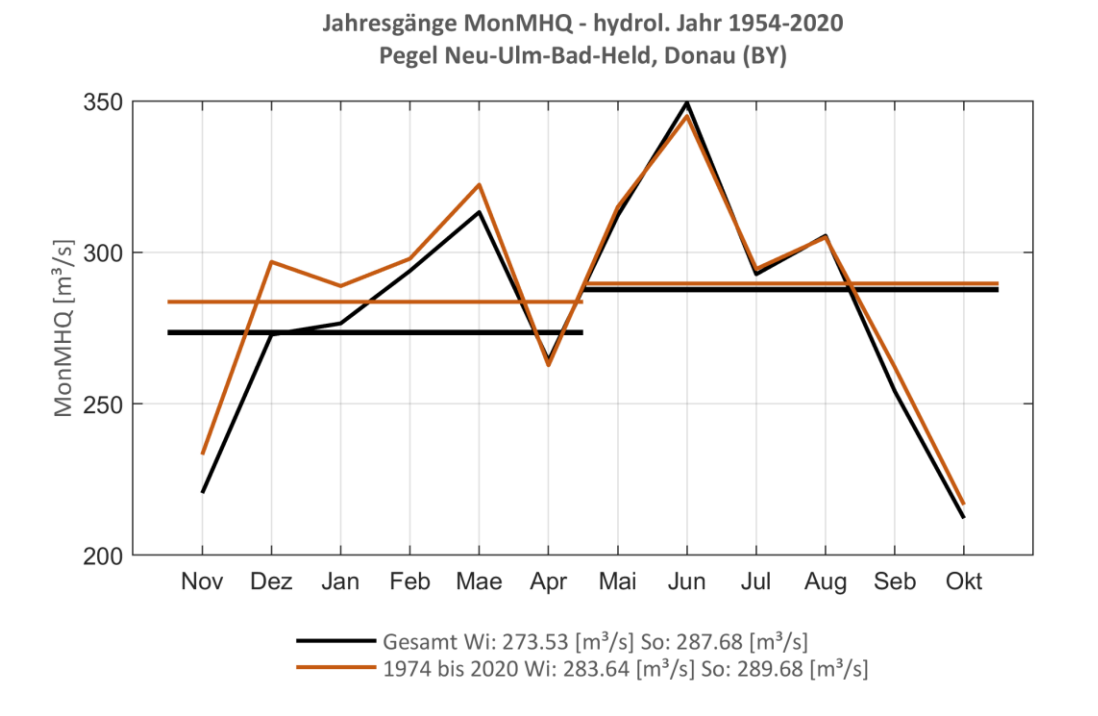


Abb. 87: Jahresgang des MonMHQ und Halbjahresmittel für 1954-2020 sowie 1974-2020



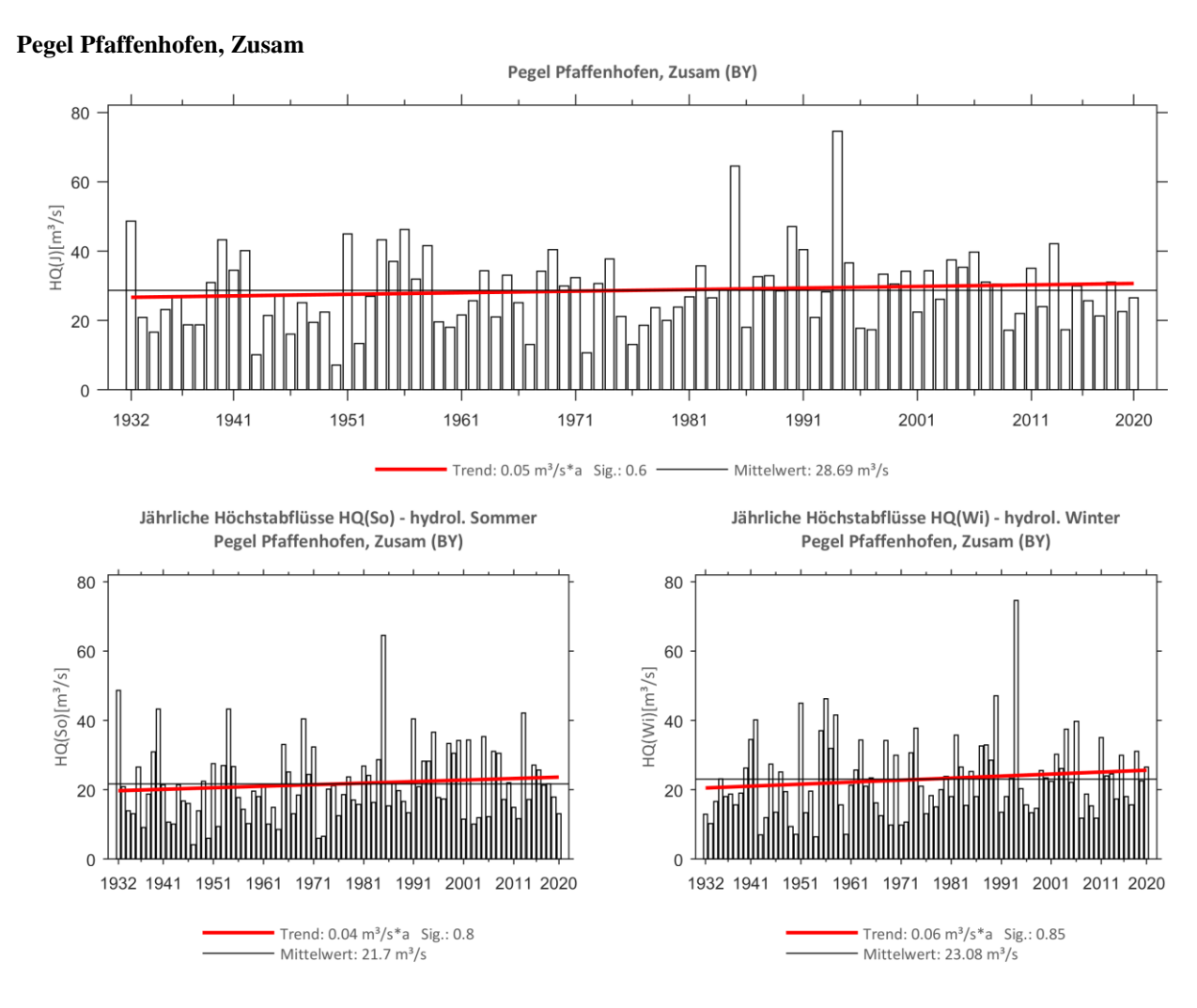


Abb. 88: Trenduntersuchungen von jährlichen Höchstabflüssen für den Zeitraum 1932 bis 2020.

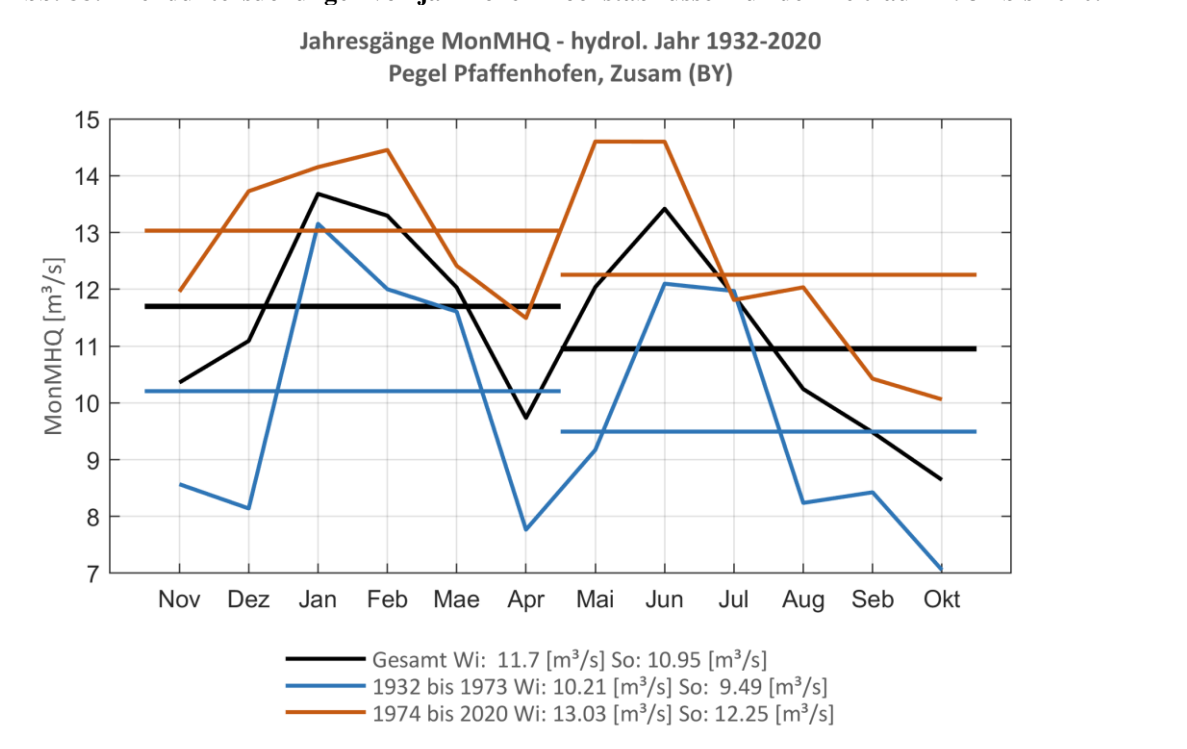


Abb. 89: Jahresgang des MonMHQ und Halbjahresmittel für 1932-2020 sowie 1932-1973 und 1974-2020



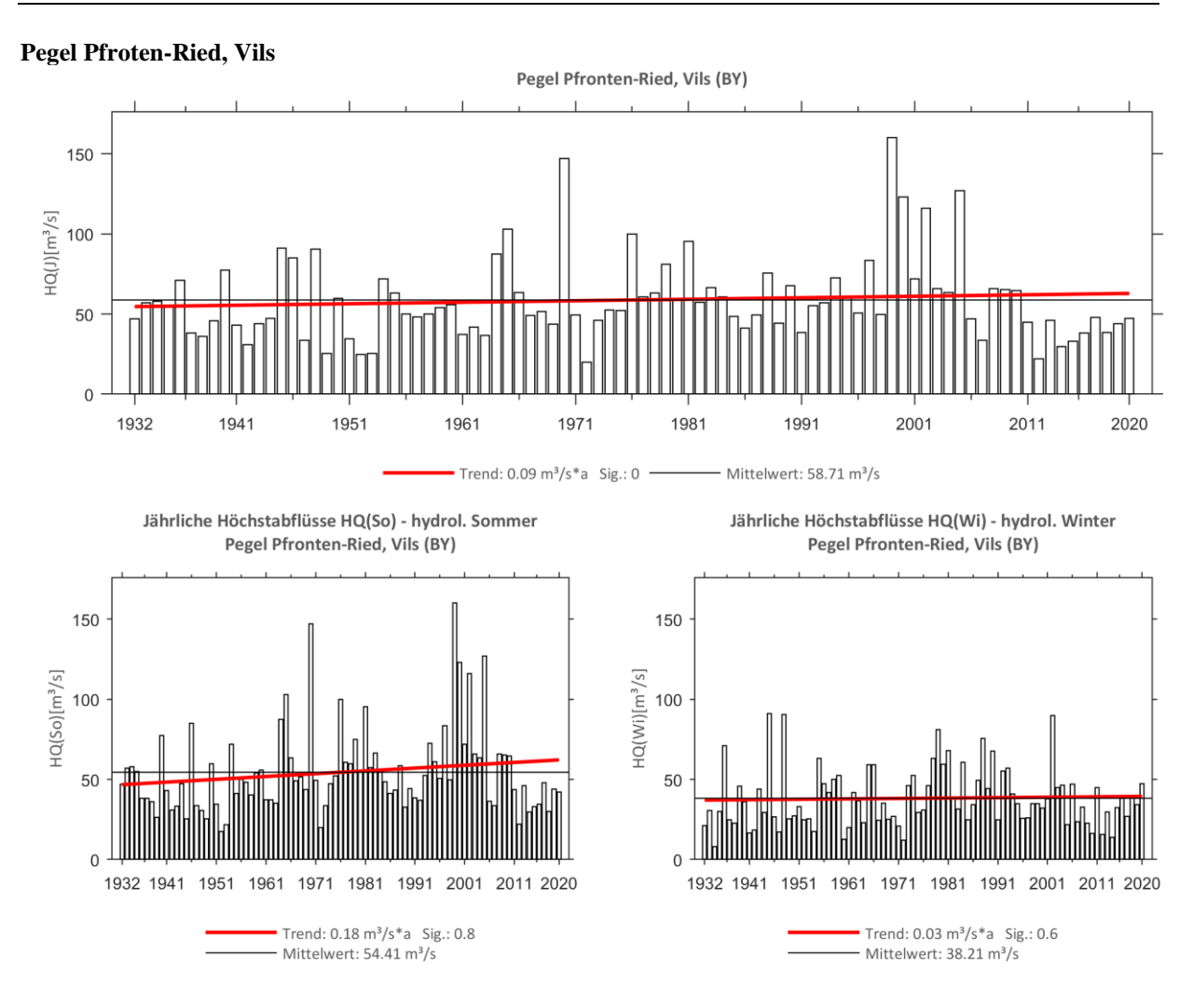


Abb. 90: Trenduntersuchungen von jährlichen Höchstabflüssen für den Zeitraum 1932 bis 2020.

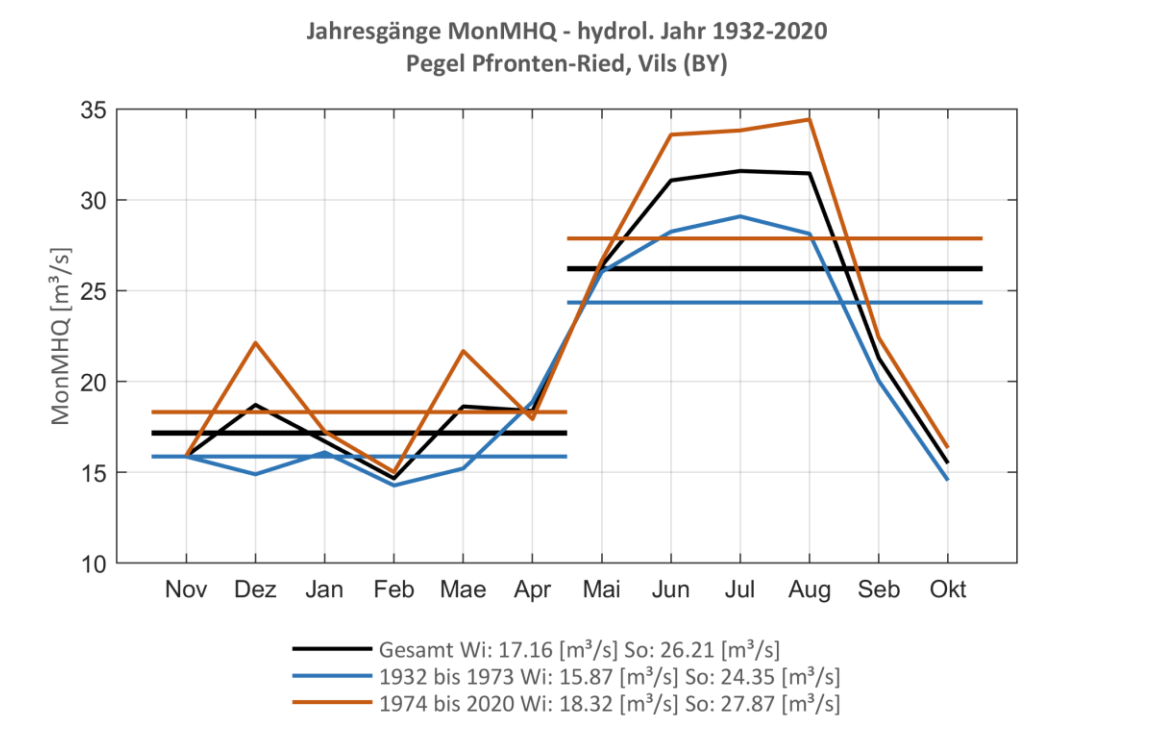


Abb. 91: Jahresgang des MonMHQ und Halbjahresmittel für 1932-2020 sowie 1932-1973 und 1974-2020



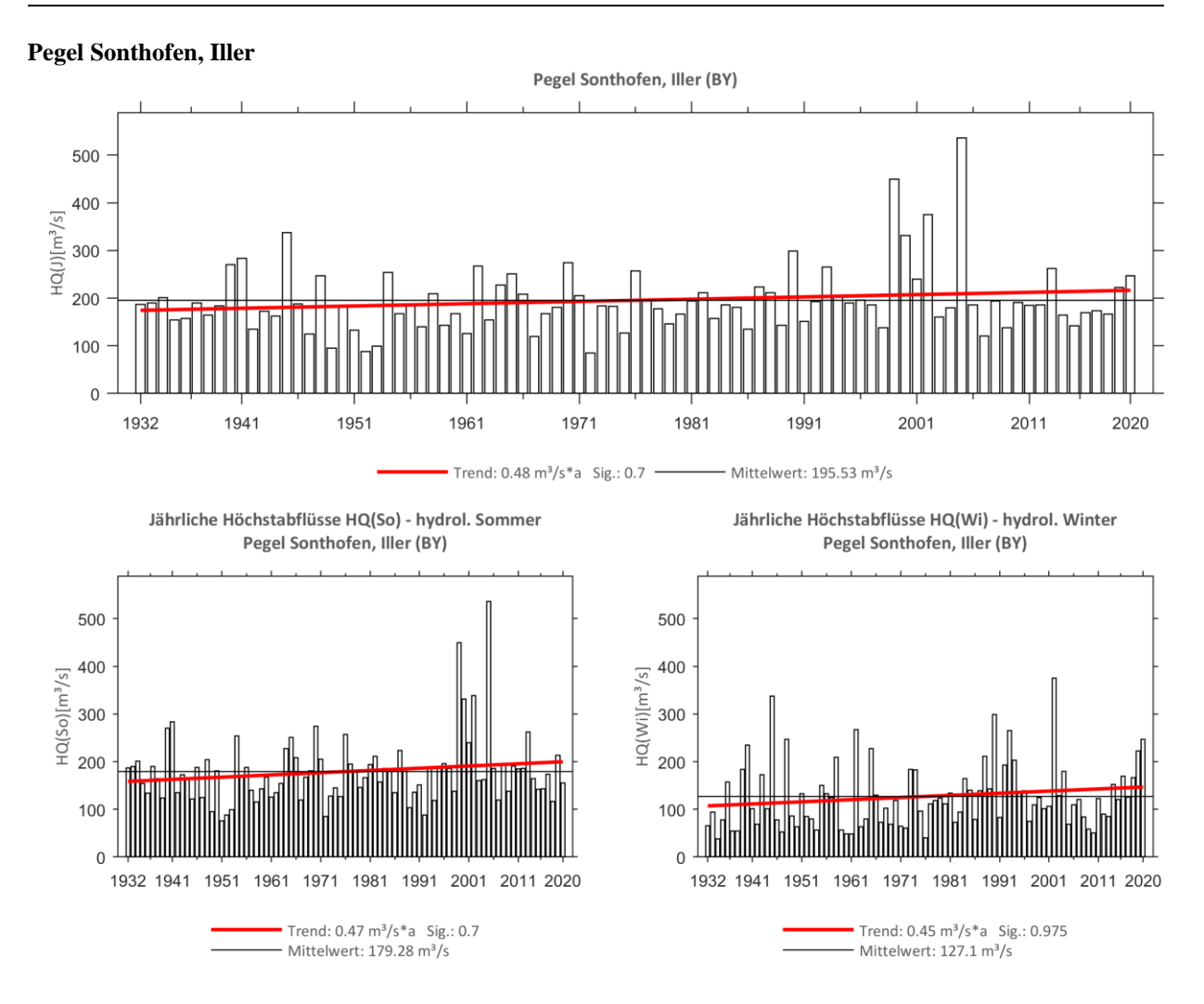


Abb. 92: Trenduntersuchungen von jährlichen Höchstabflüssen für den Zeitraum 1932 bis 2020.

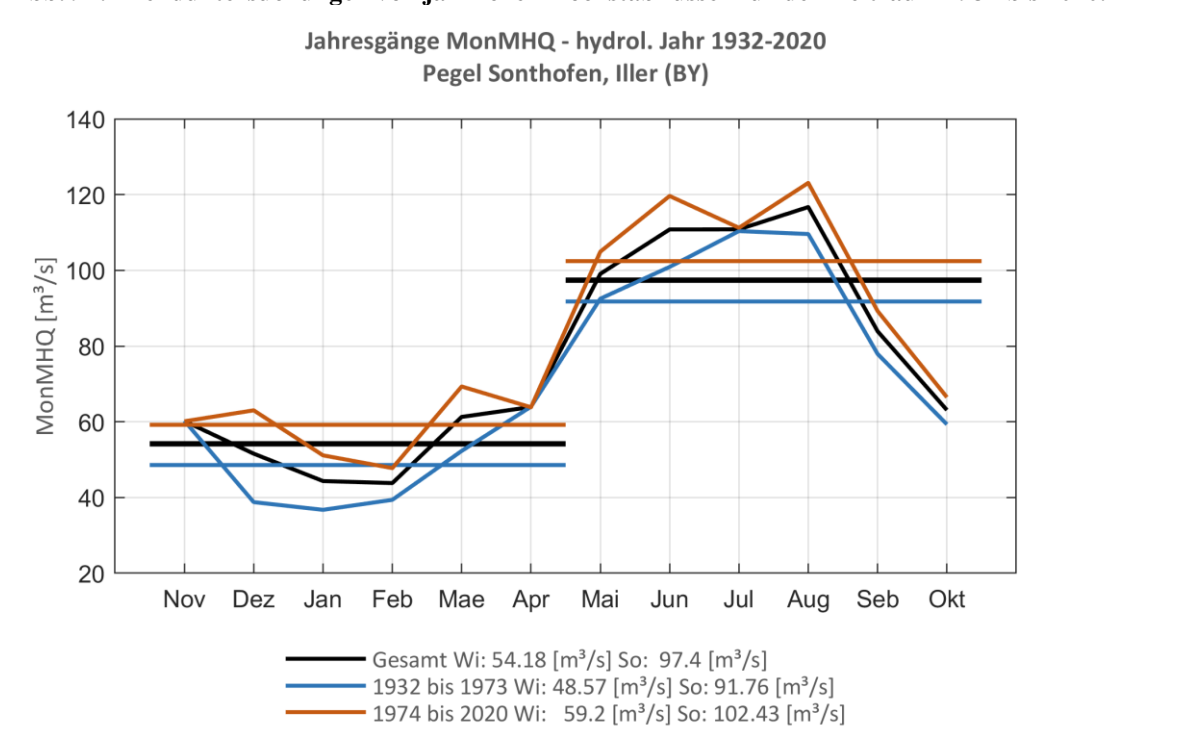


Abb. 93: Jahresgang des MonMHQ und Halbjahresmittel für 1932-2020 sowie 1932-1973 und 1974-2020



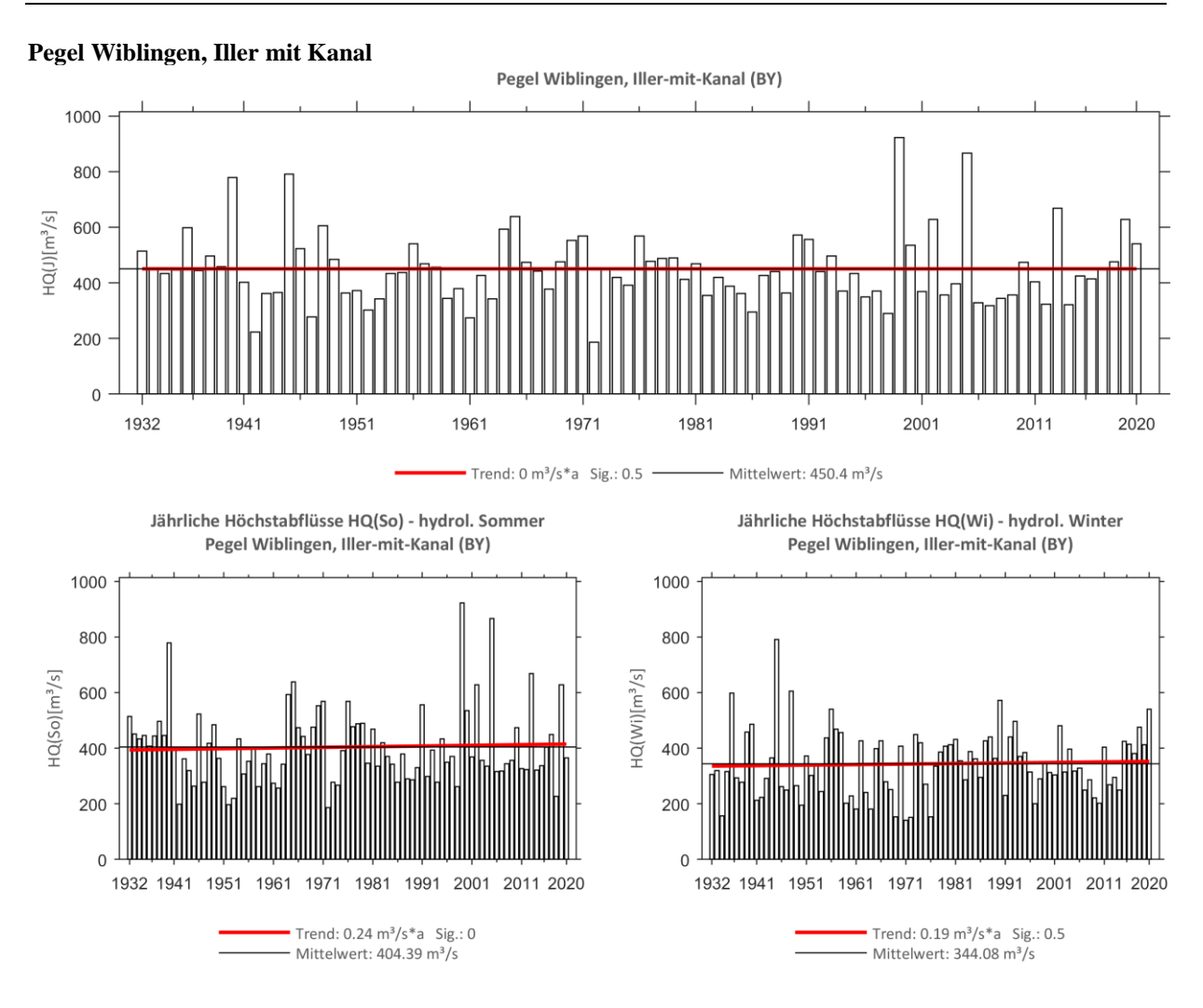


Abb. 94: Trenduntersuchungen von jährlichen Höchstabflüssen für den Zeitraum 1932 bis 2020.

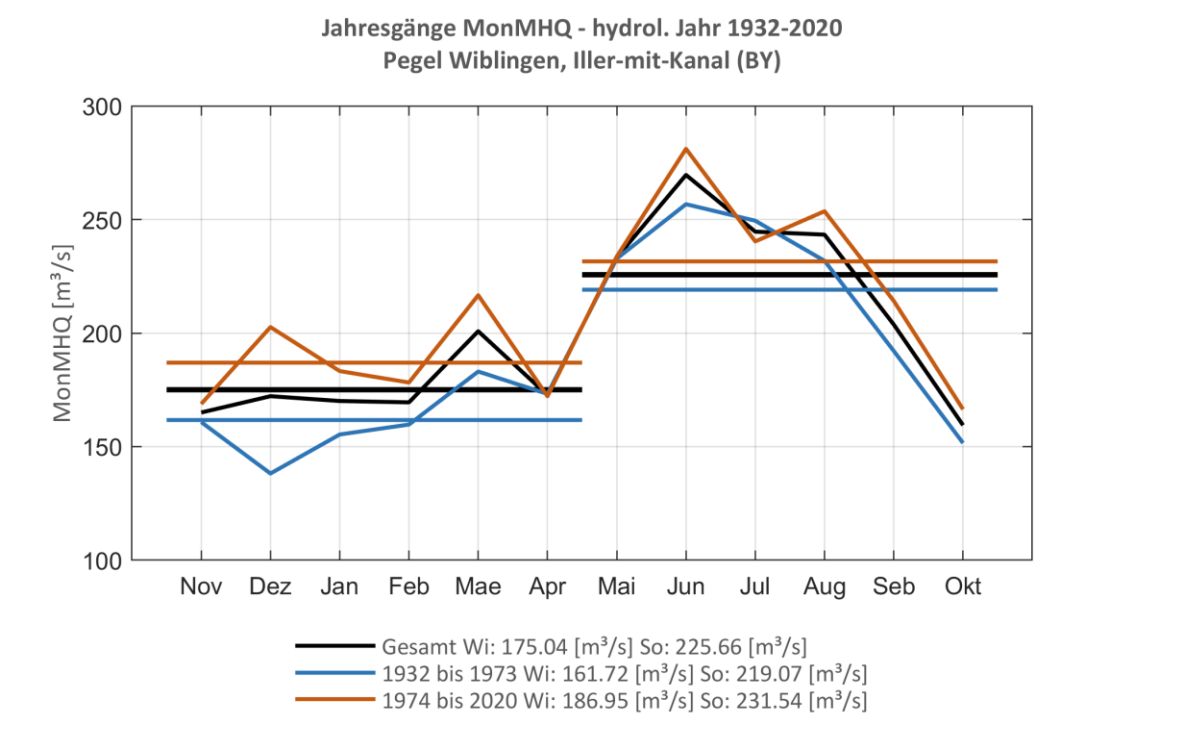


Abb. 95: Jahresgang des MonMHQ und Halbjahresmittel für 1932-2020 sowie 1932-1973 und 1974-2020



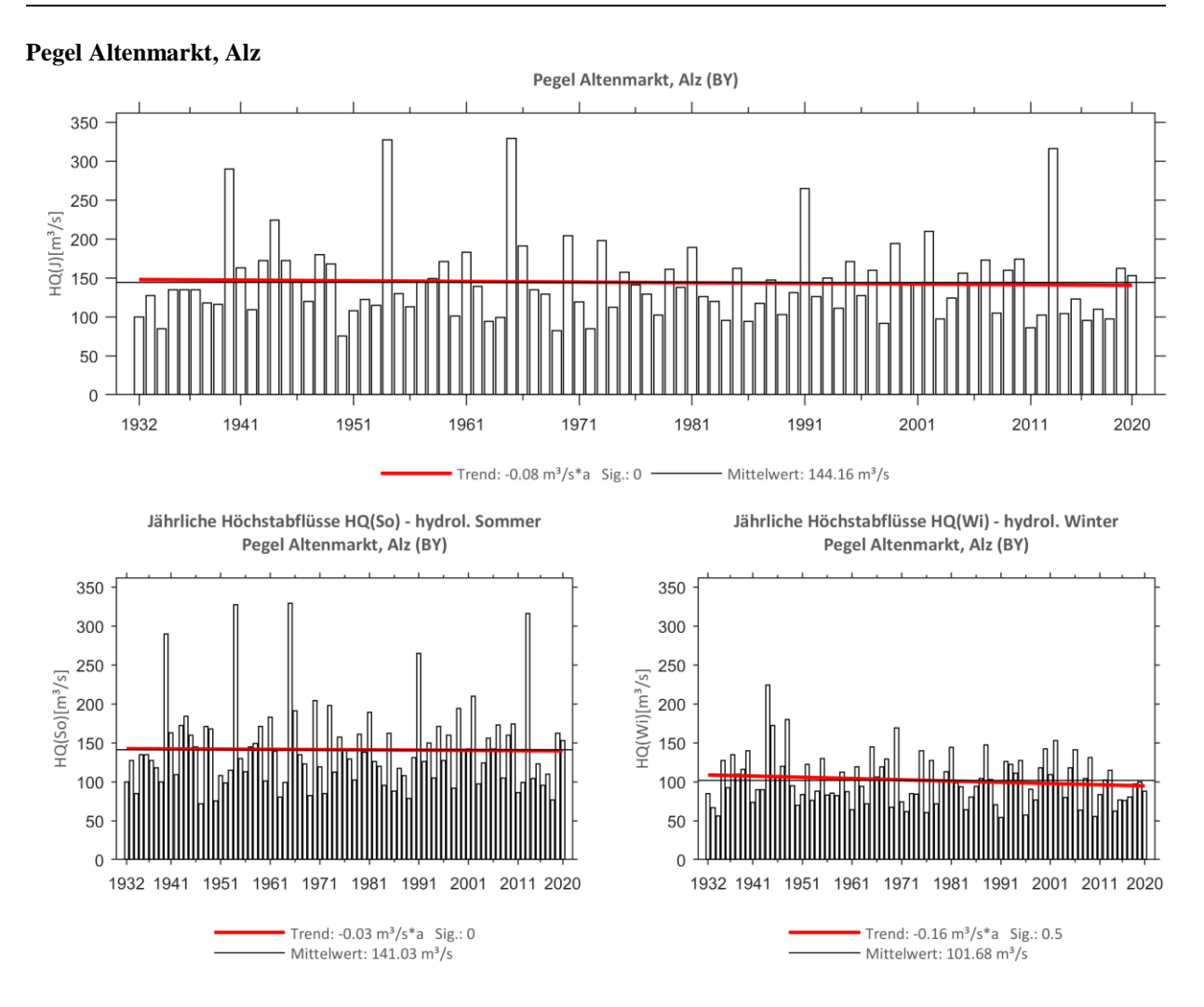


Abb. 96: Trenduntersuchungen von jährlichen Höchstabflüssen für den Zeitraum 1932 bis 2020.

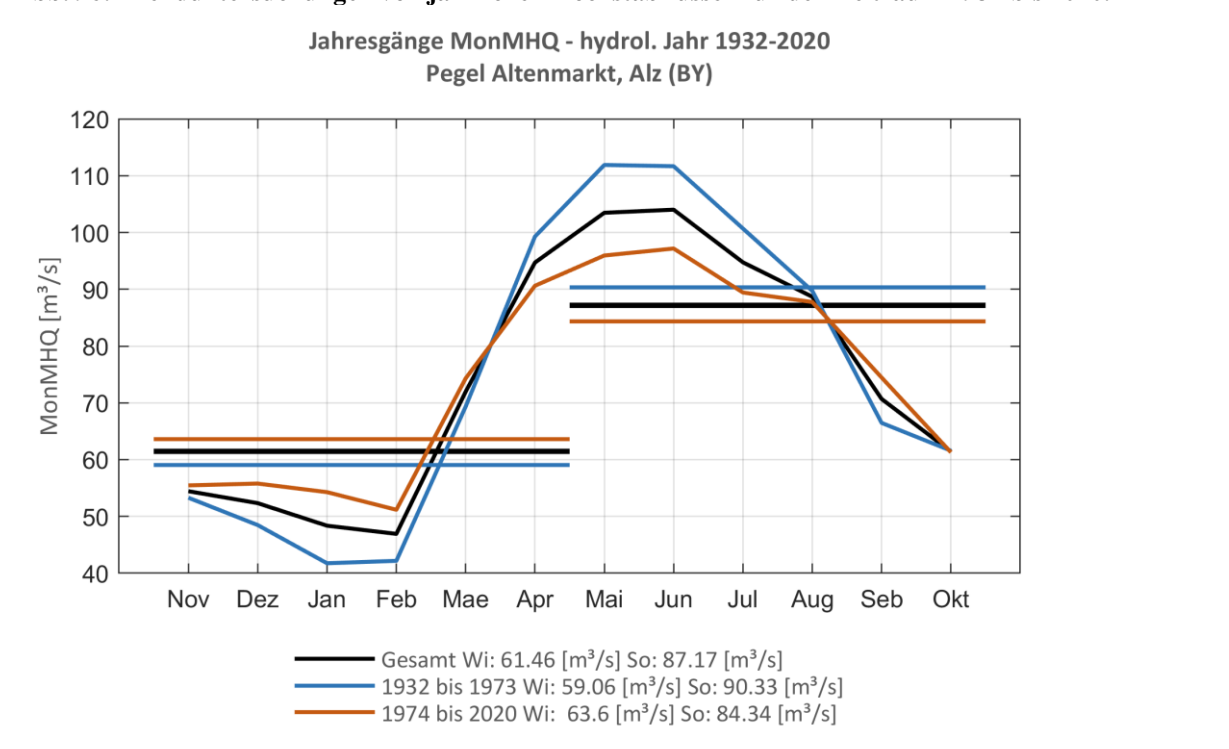


Abb. 97: Jahresgang des MonMHQ und Halbjahresmittel für 1932-2020 sowie 1932-1973 und 1974-2020



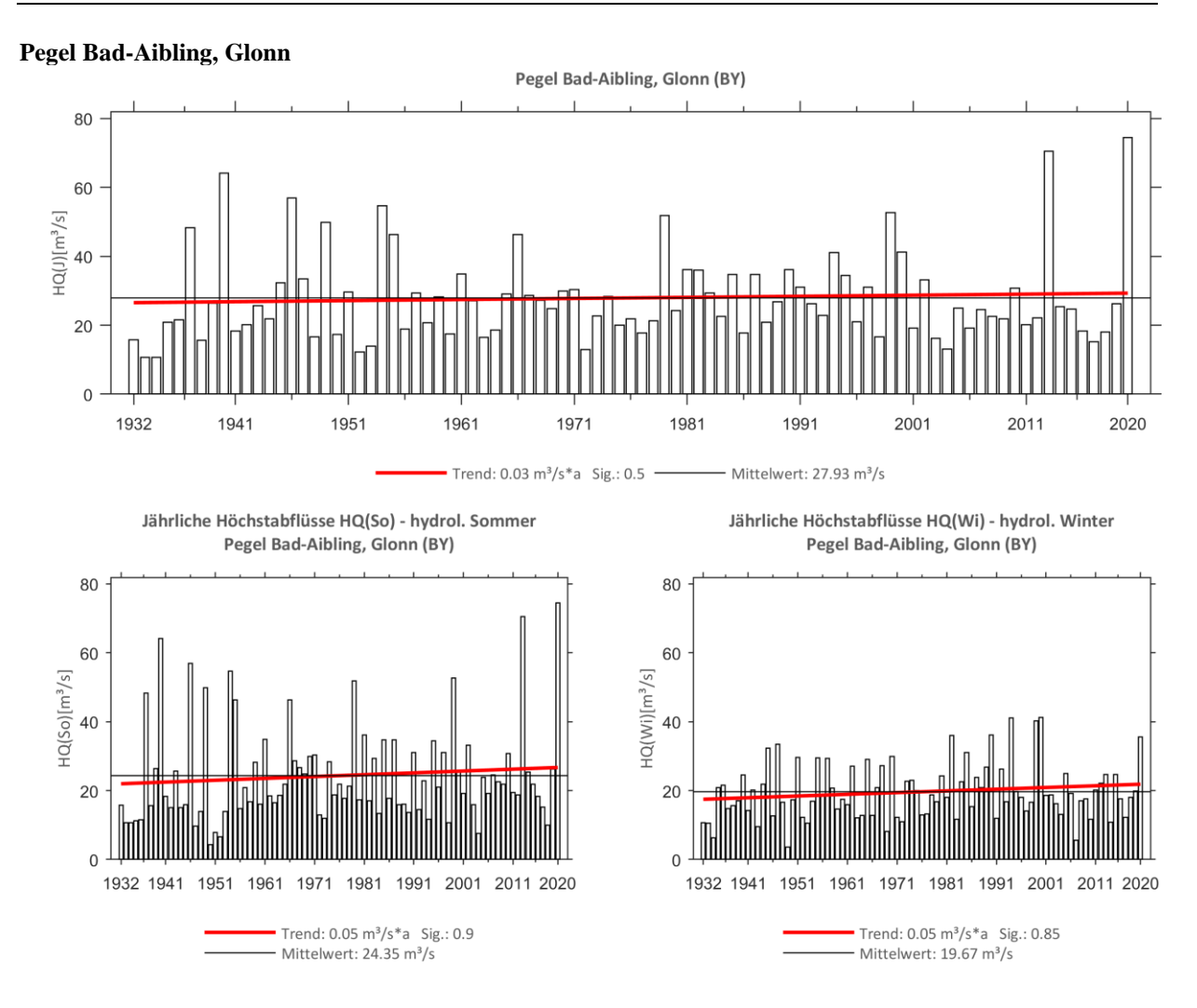


Abb. 98: Trenduntersuchungen von jährlichen Höchstabflüssen für den Zeitraum 1932 bis 2020.

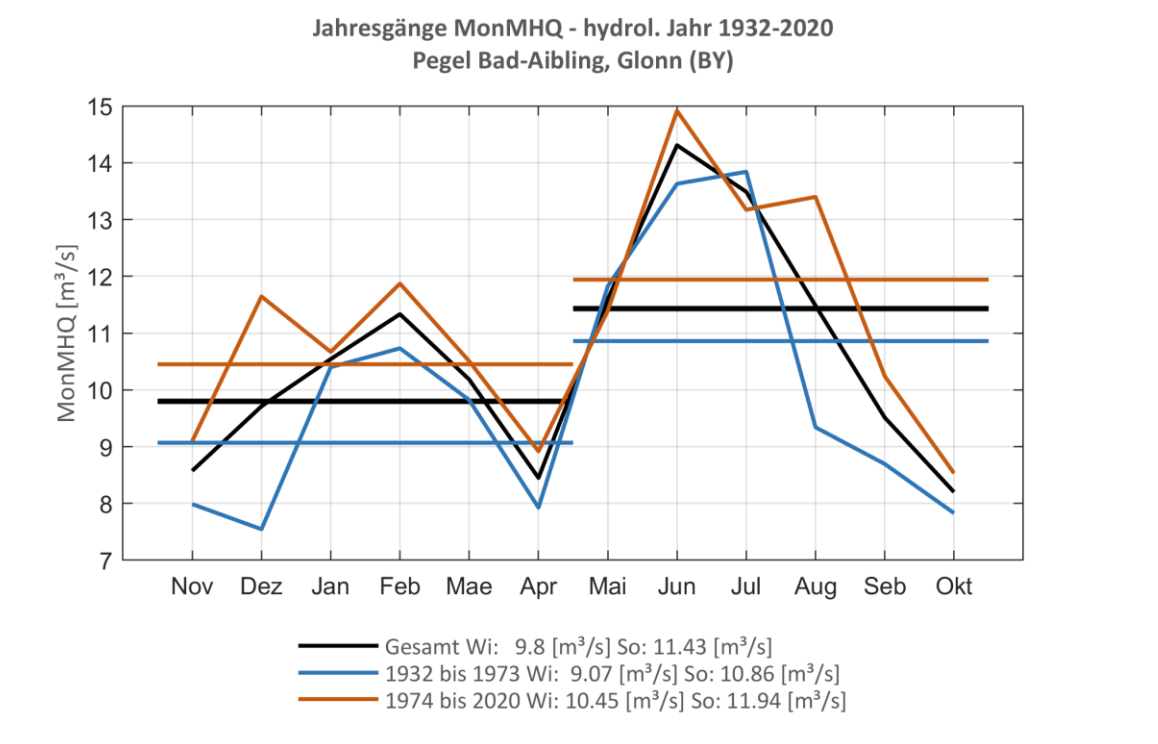


Abb. 99: Jahresgang des MonMHQ und Halbjahresmittel für 1932-2020 sowie 1932-1973 und 1974-2020



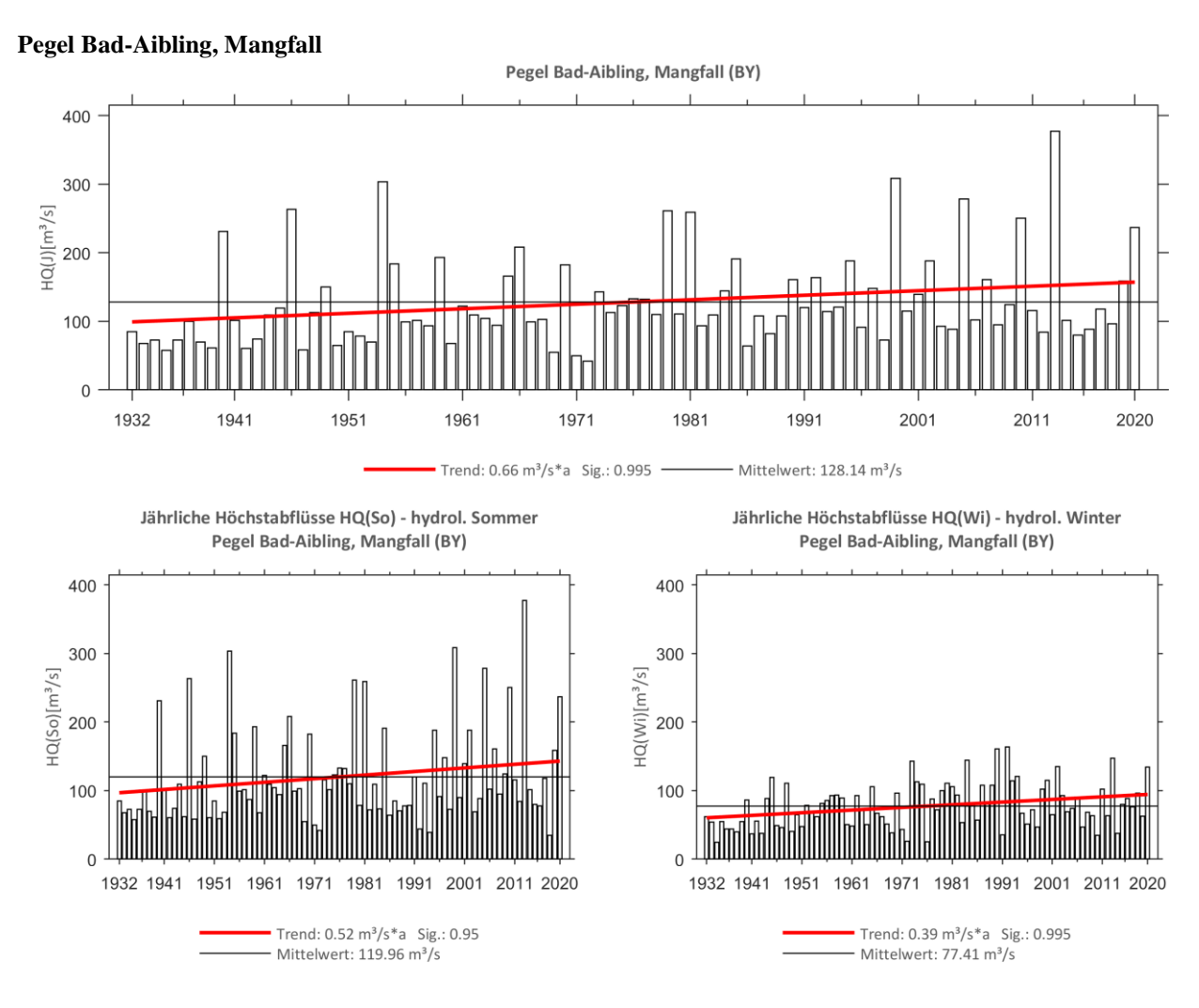


Abb. 100: Trenduntersuchungen von jährlichen Höchstabflüssen für den Zeitraum 1932 bis 2020.

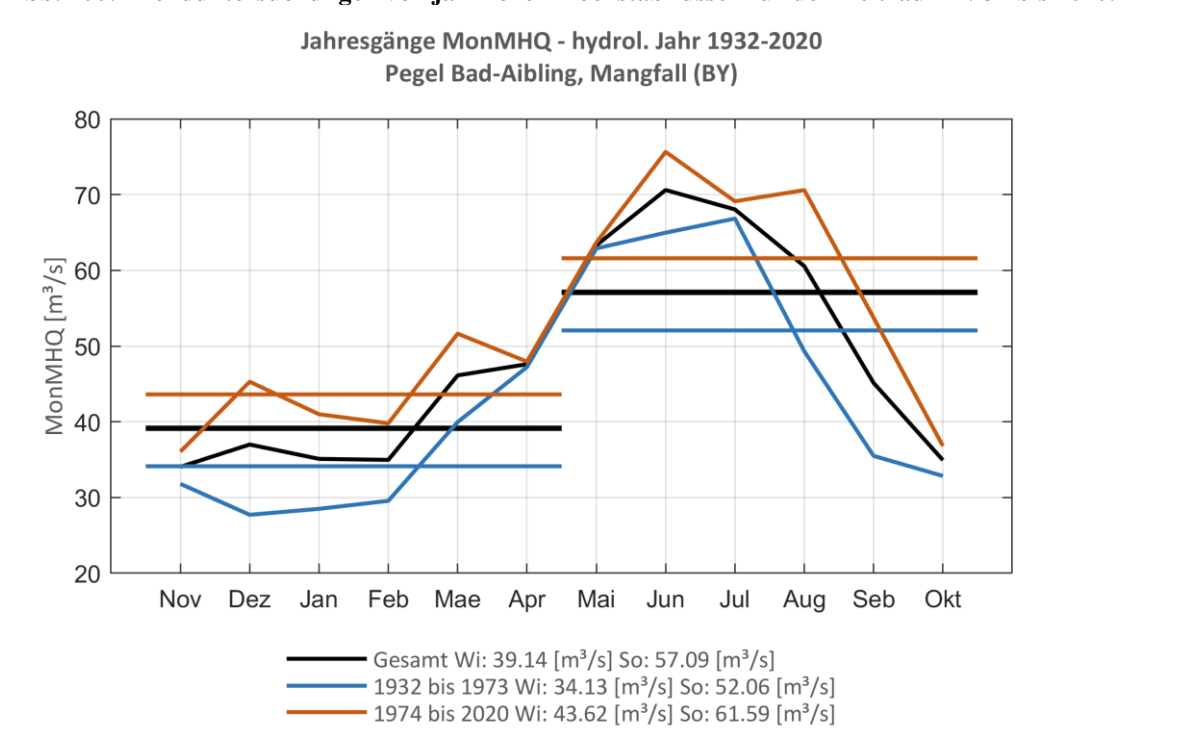


Abb. 101: Jahresgang des MonMHQ und Halbjahresmittel für 1932-2020 sowie 1932-1973 und 1974-2020



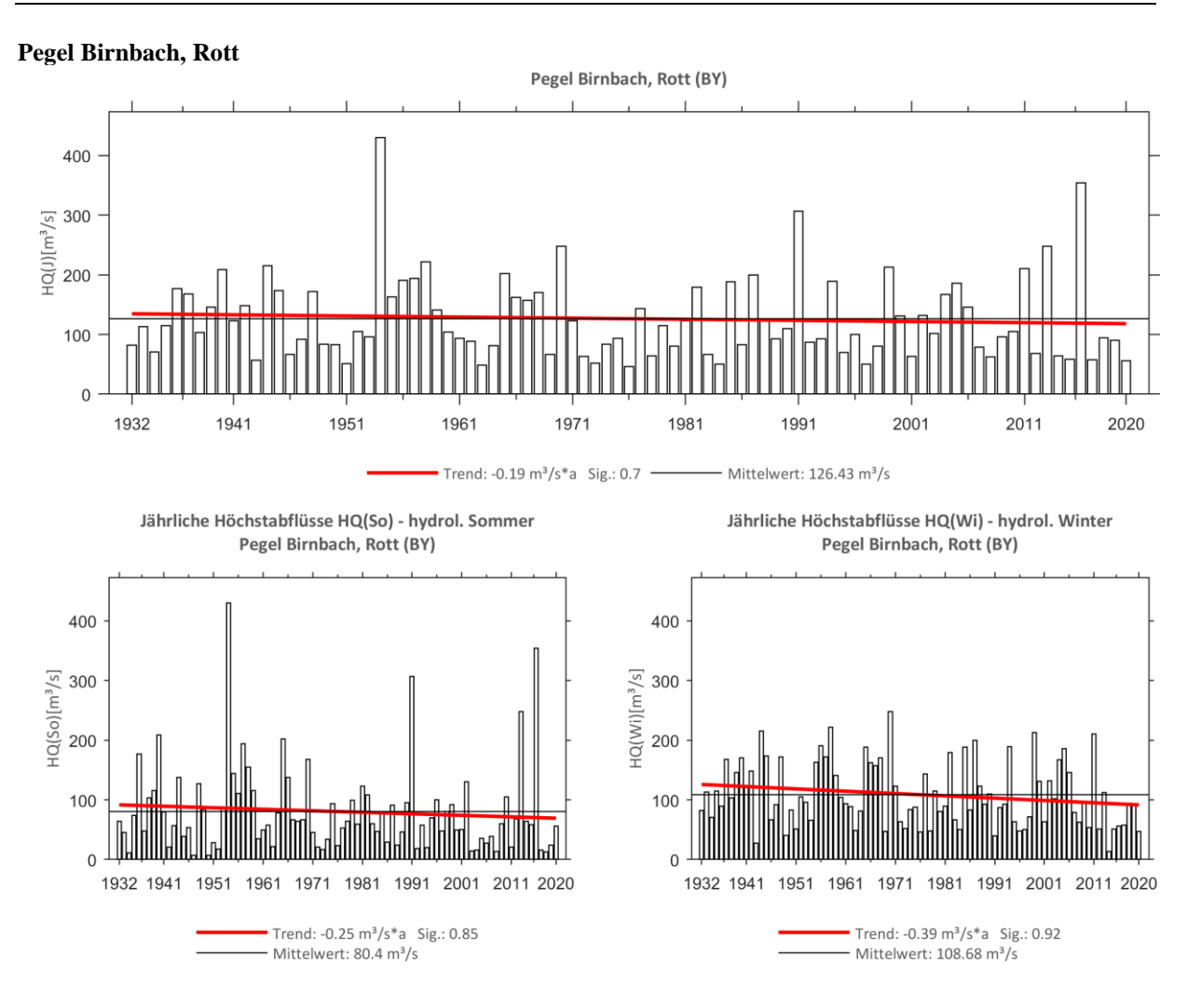


Abb. 102: Trenduntersuchungen von jährlichen Höchstabflüssen für den Zeitraum 1932 bis 2020.

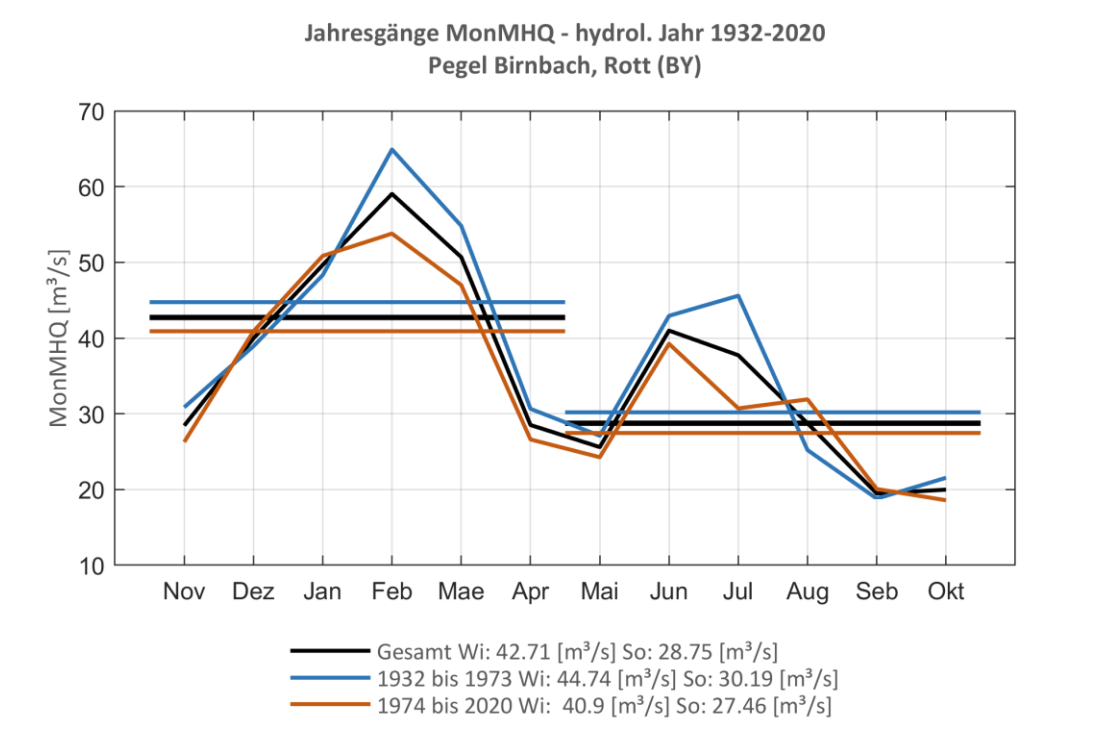


Abb. 103: Jahresgang des MonMHQ und Halbjahresmittel für 1932-2020 sowie 1932-1973 und 1974-2020



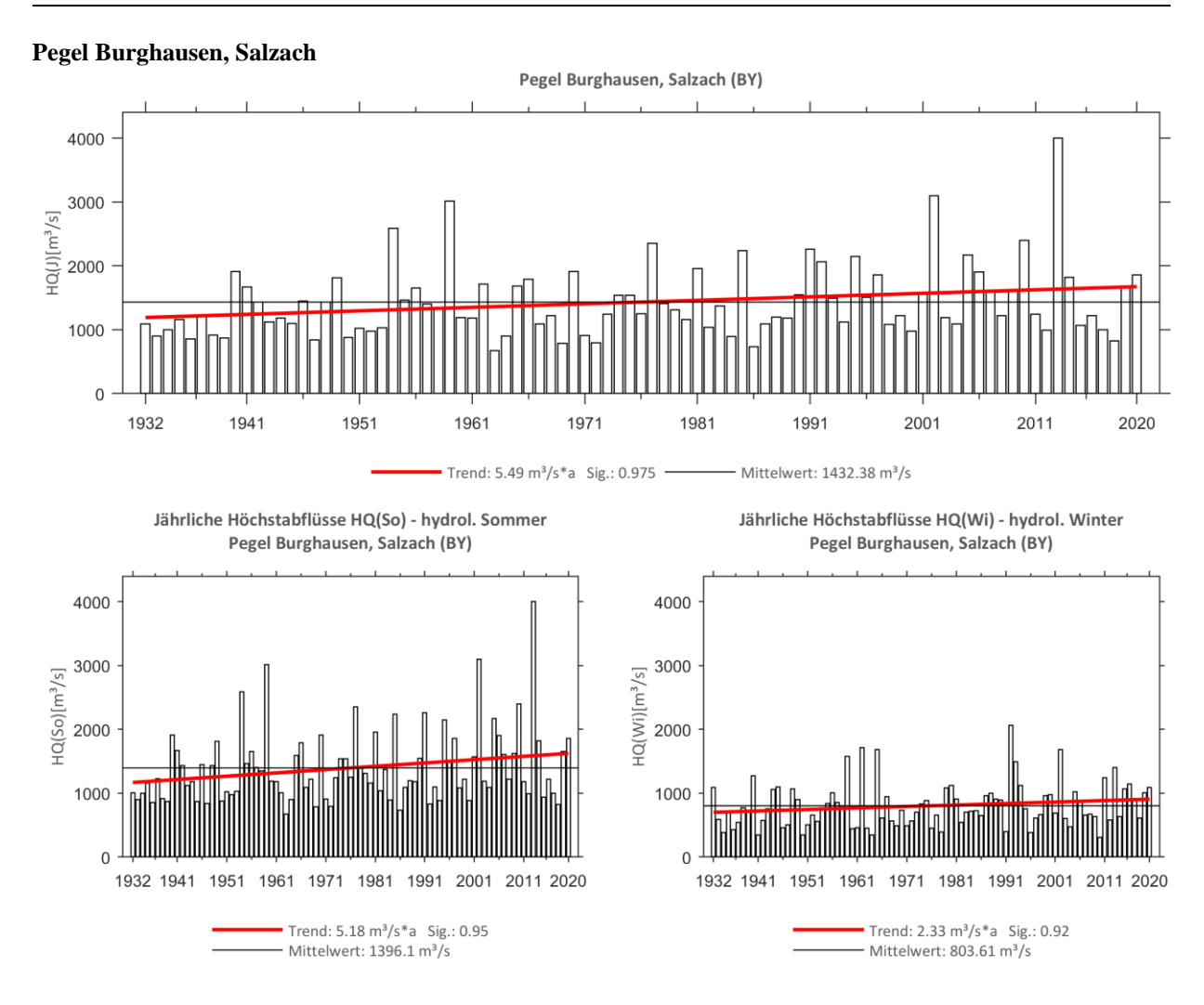


Abb. 104: Trenduntersuchungen von jährlichen Höchstabflüssen für den Zeitraum 1932 bis 2020.

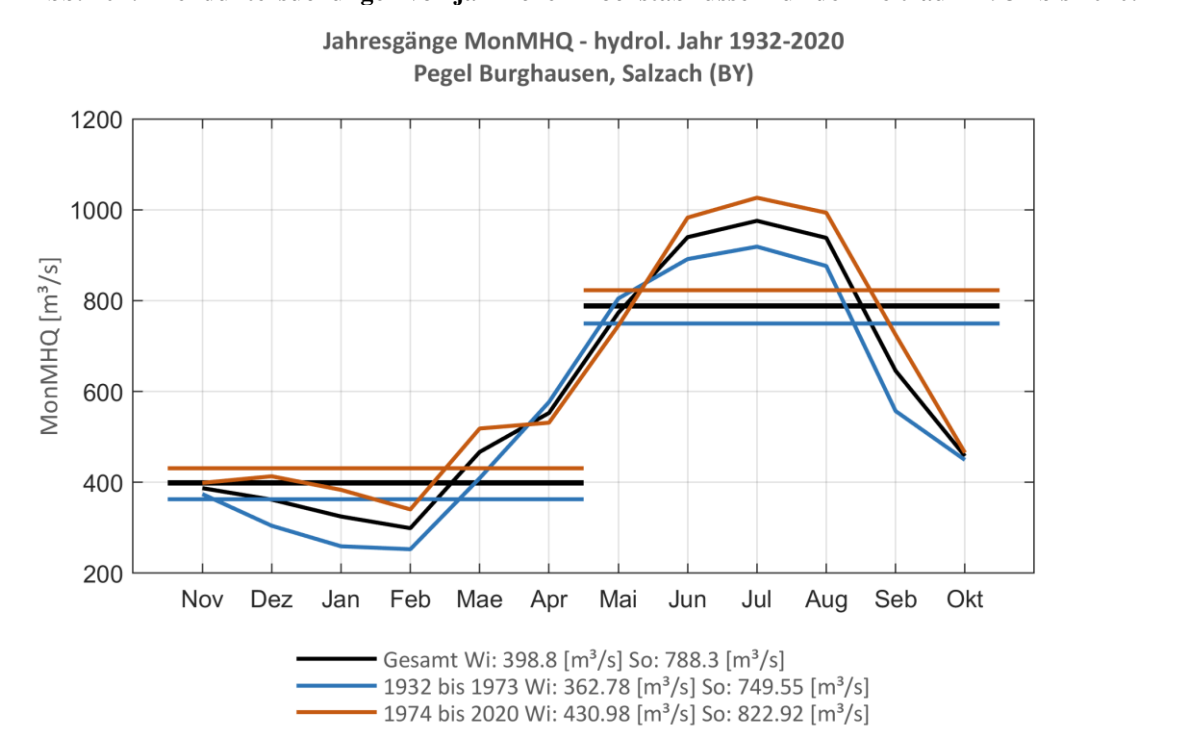


Abb. 105: Jahresgang des MonMHQ und Halbjahresmittel für 1932-2020 sowie 1932-1973 und 1974-2020



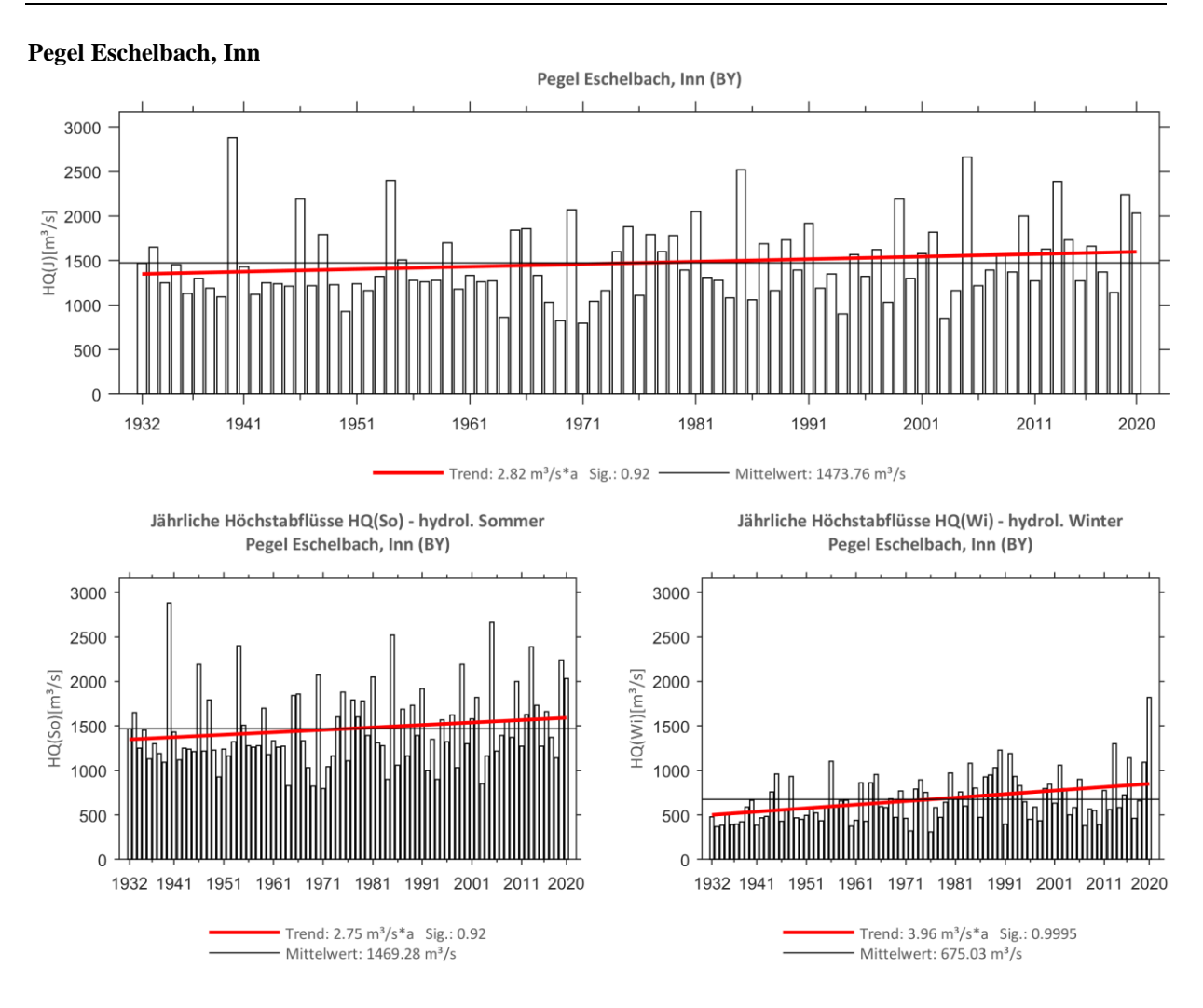


Abb. 106: Trenduntersuchungen von jährlichen Höchstabflüssen für den Zeitraum 1932 bis 2020.

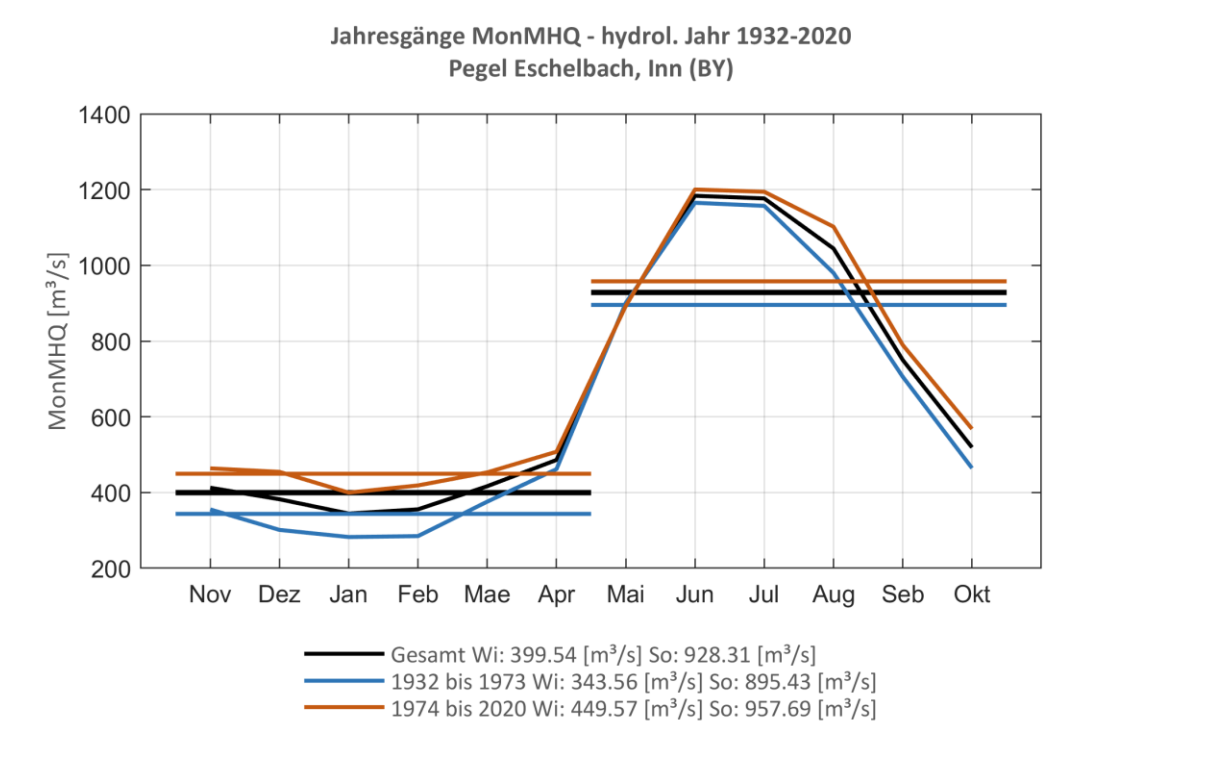


Abb. 107: Jahresgang des MonMHQ und Halbjahresmittel für 1932-2020 sowie 1932-1973 und 1974-2020



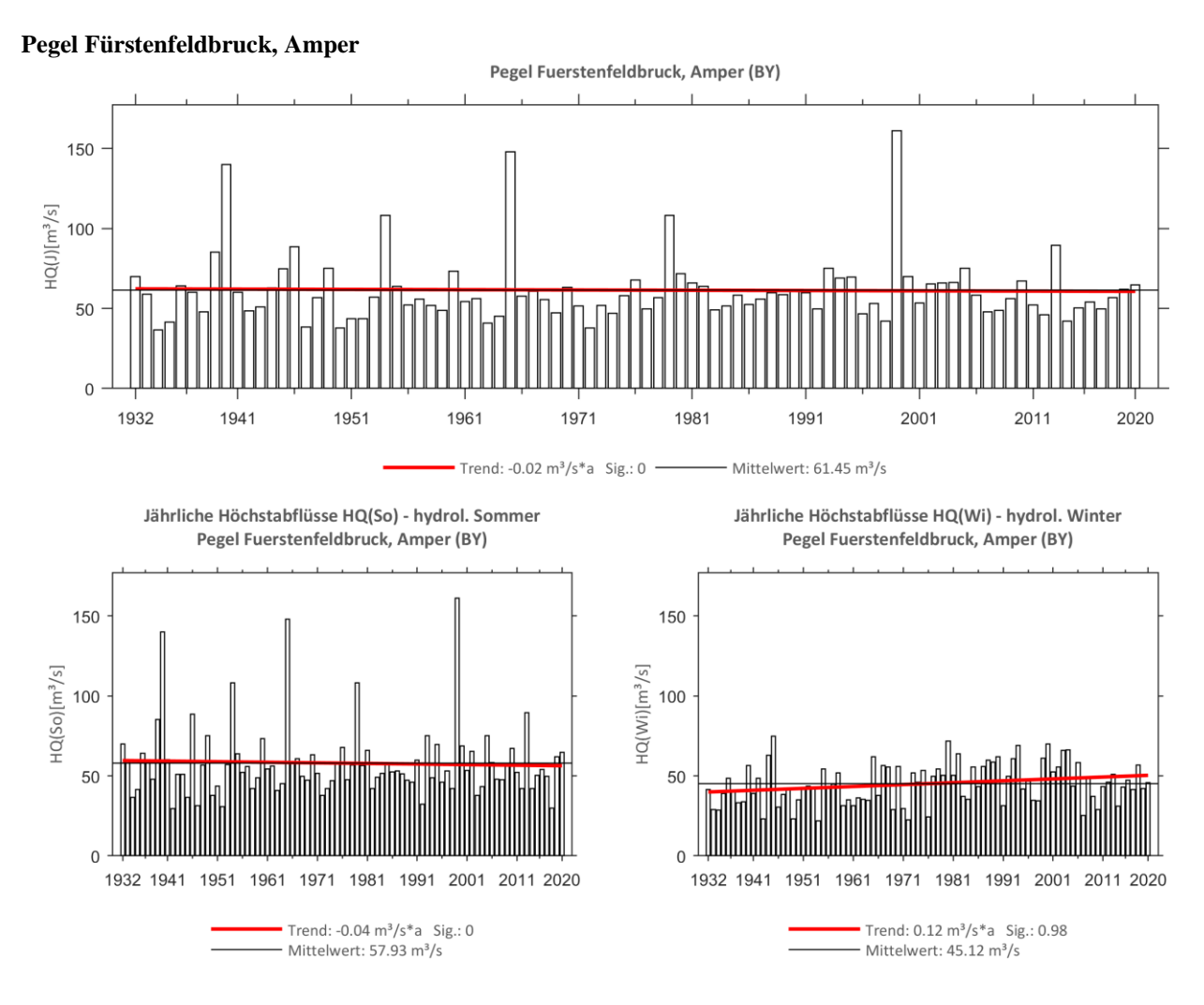


Abb. 108: Trenduntersuchungen von jährlichen Höchstabflüssen für den Zeitraum 1932 bis 2020.

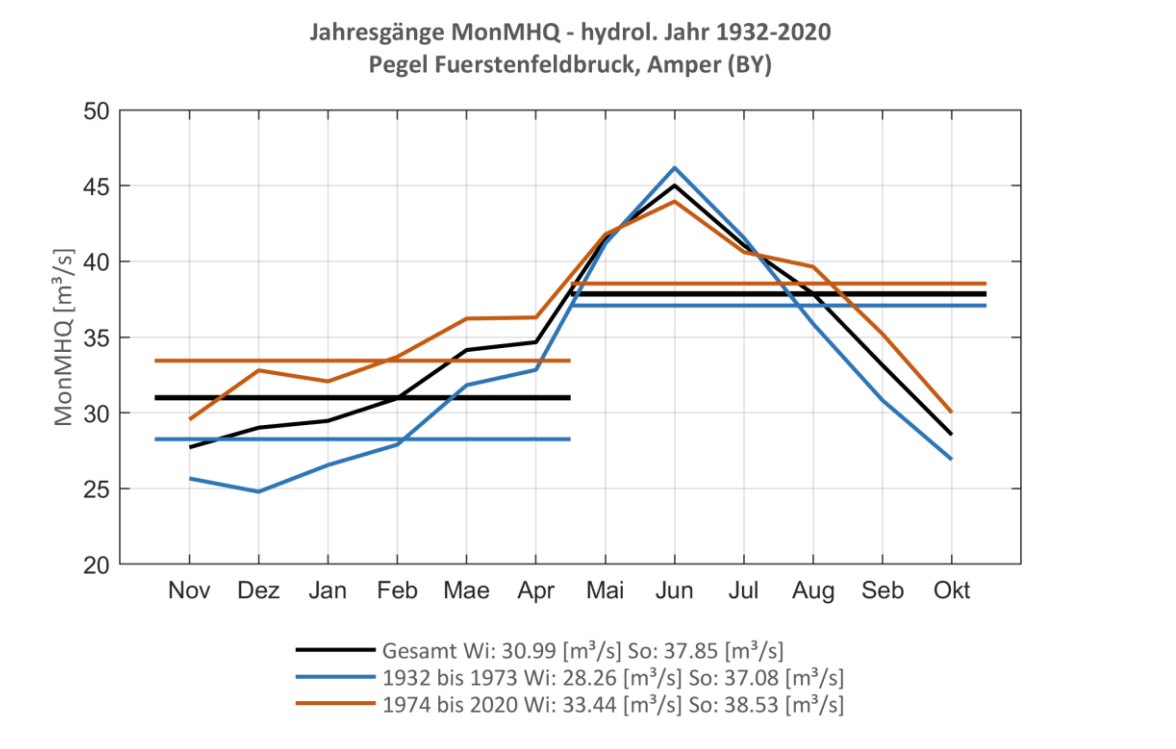


Abb. 109: Jahresgang des MonMHQ und Halbjahresmittel für 1932-2020 sowie 1932-1973 und 1974-2020



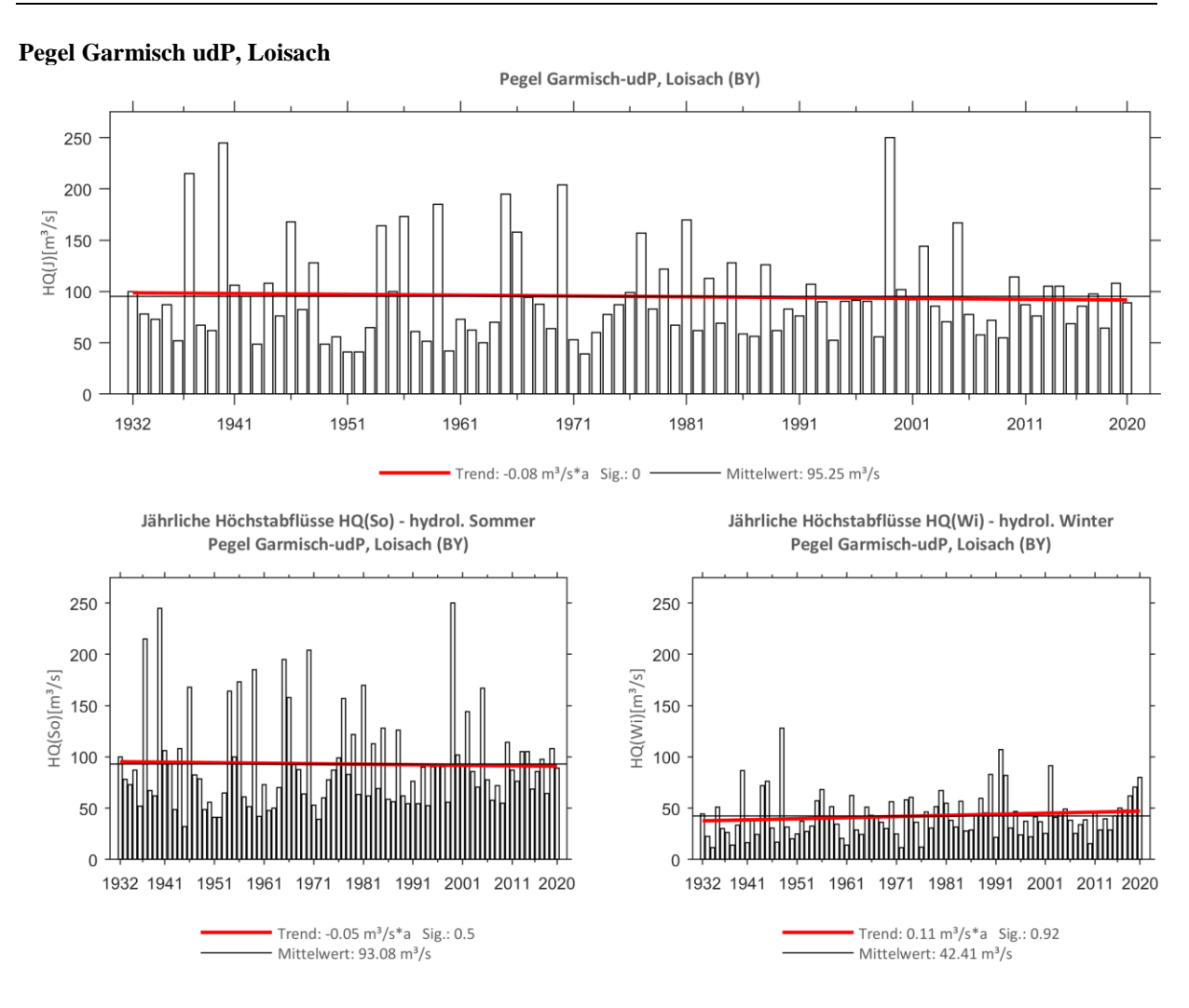


Abb. 110: Trenduntersuchungen von jährlichen Höchstabflüssen für den Zeitraum 1932 bis 2020.

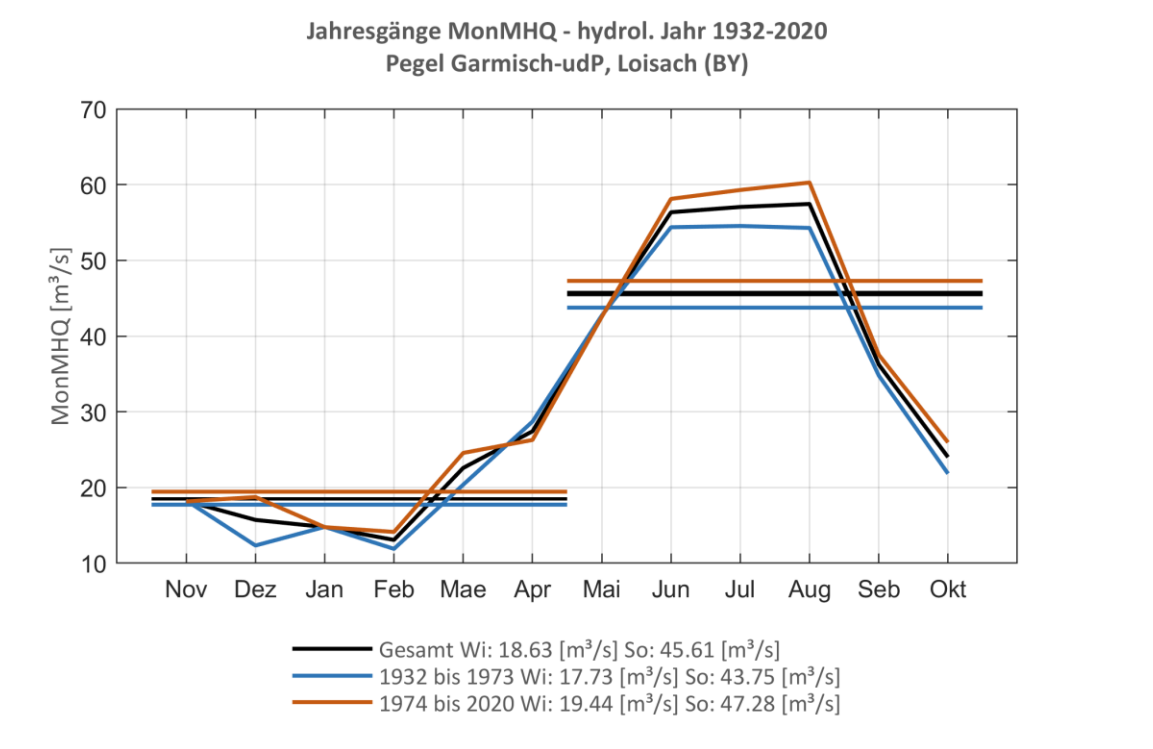


Abb. 111: Jahresgang des MonMHQ und Halbjahresmittel für 1932-2020 sowie 1932-1973 und 1974-2020



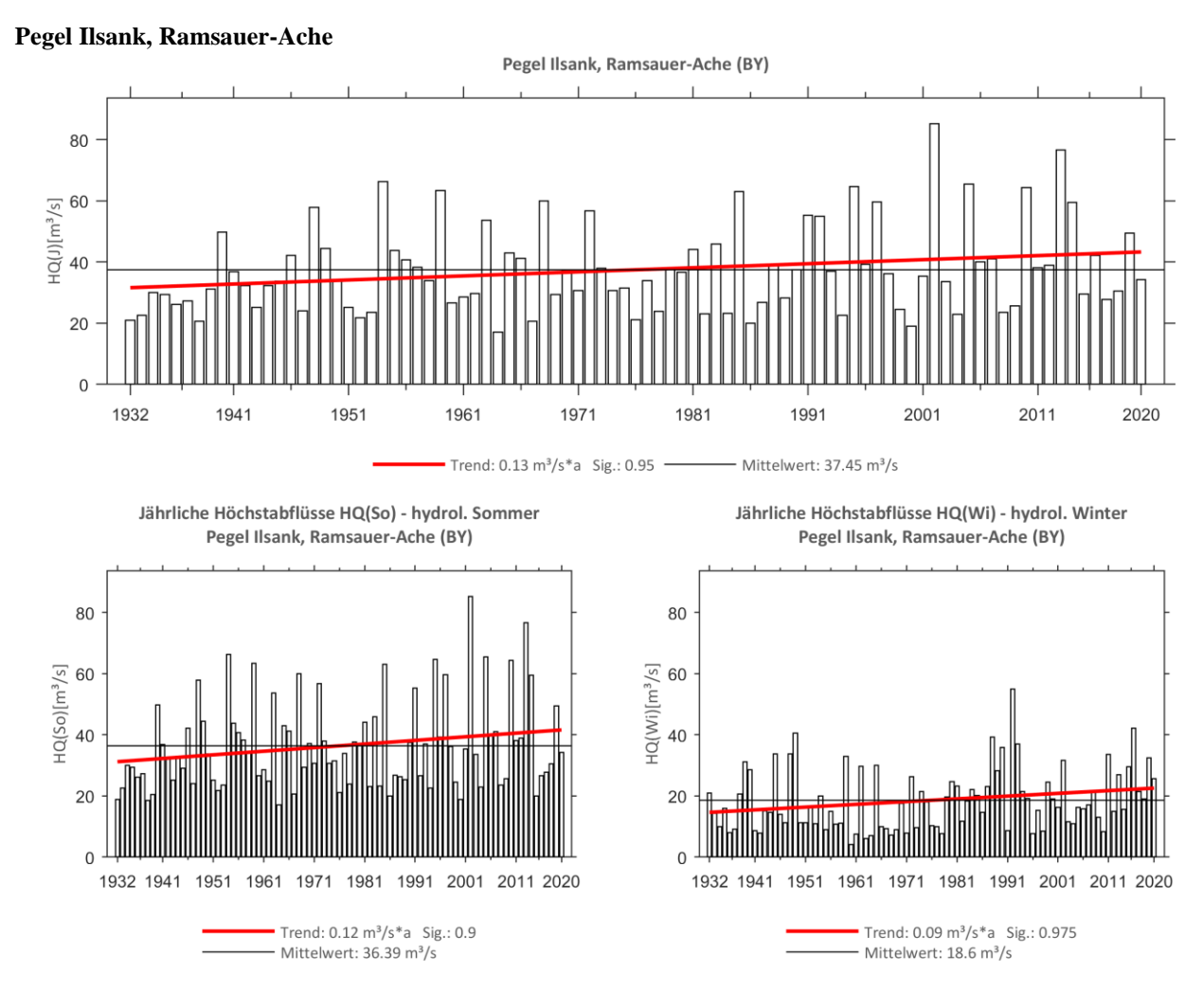


Abb. 112: Trenduntersuchungen von jährlichen Höchstabflüssen für den Zeitraum 1932 bis 2020.

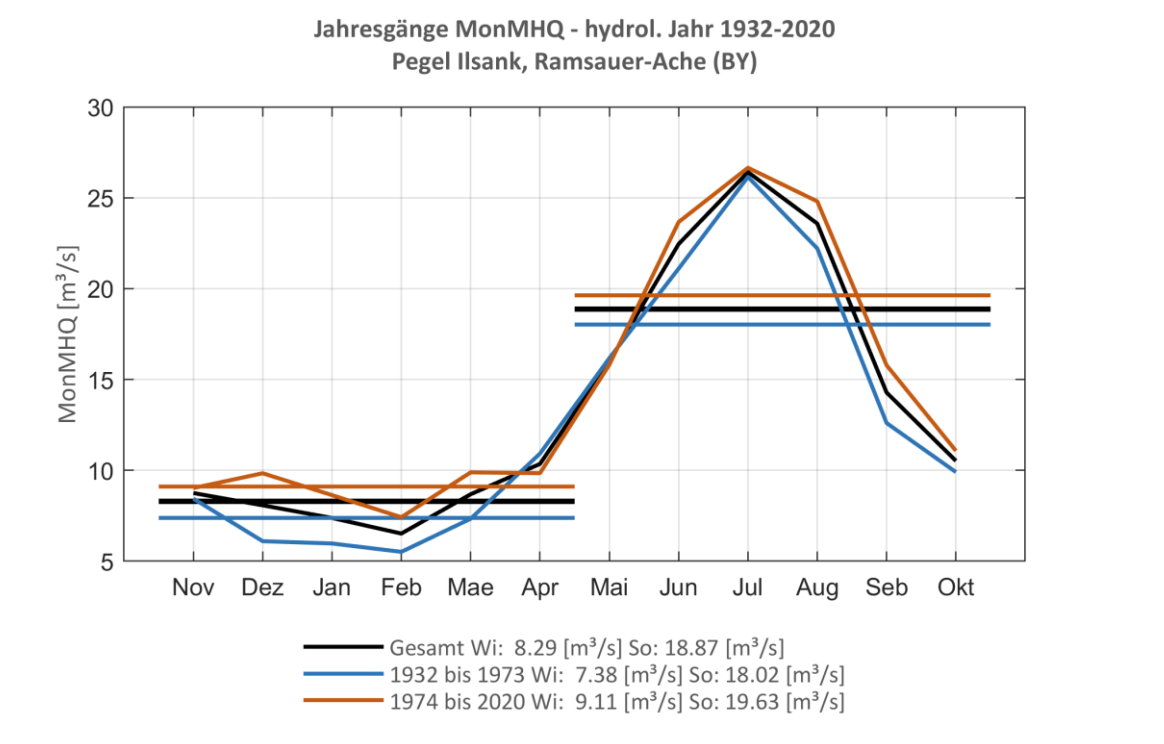


Abb. 113: Jahresgang des MonMHQ und Halbjahresmittel für 1932-2020 sowie 1932-1973 und 1974-2020



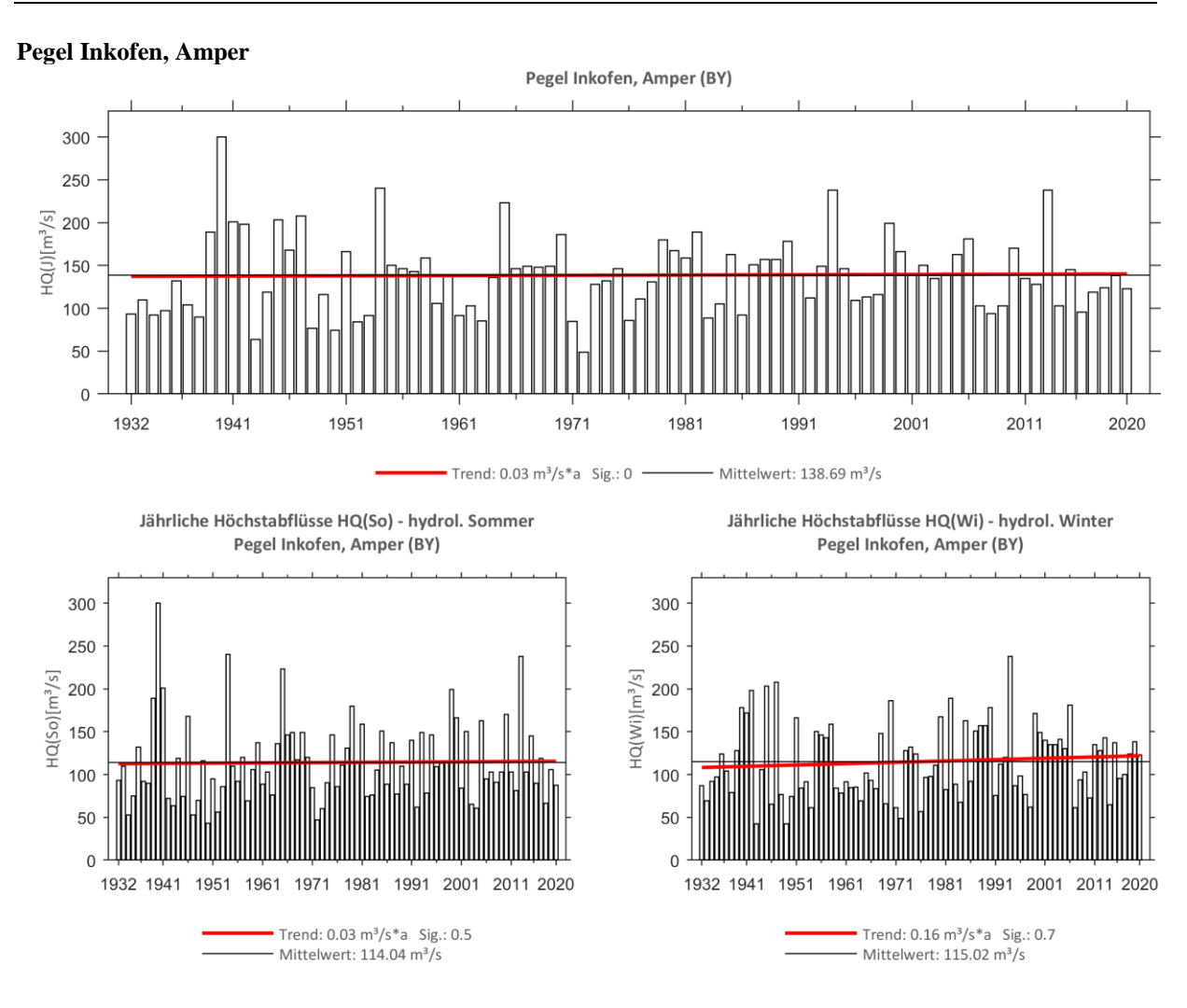


Abb. 114: Trenduntersuchungen von jährlichen Höchstabflüssen für den Zeitraum 1932 bis 2020.

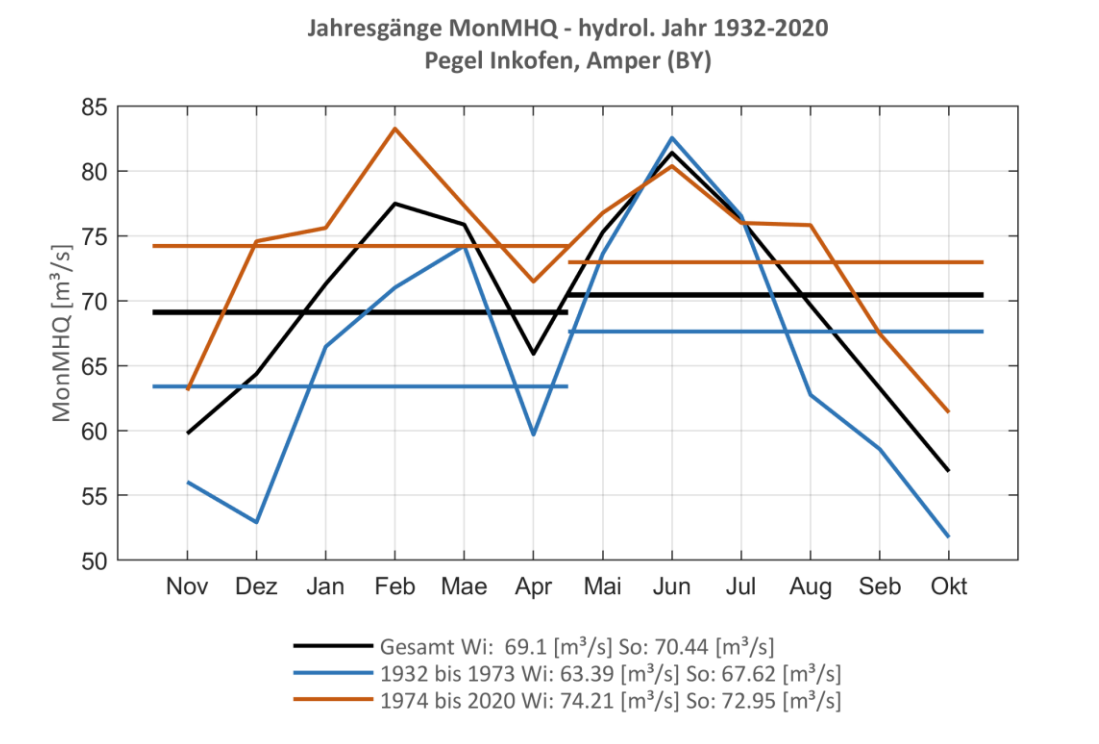


Abb. 115: Jahresgang des MonMHQ und Halbjahresmittel für 1932-2020 sowie 1932-1973 und 1974-2020



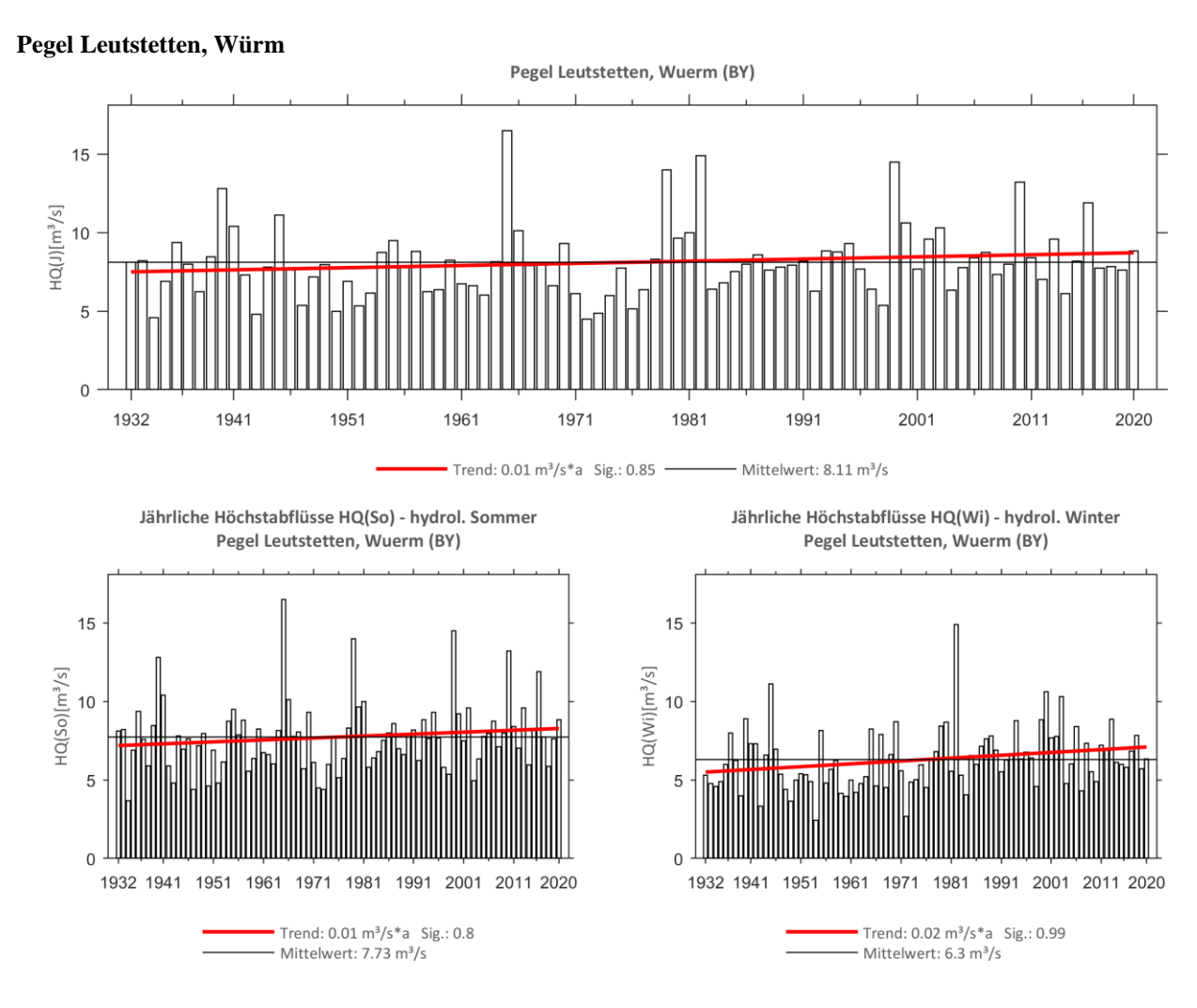


Abb. 116: Trenduntersuchungen von jährlichen Höchstabflüssen für den Zeitraum 1932 bis 2020.

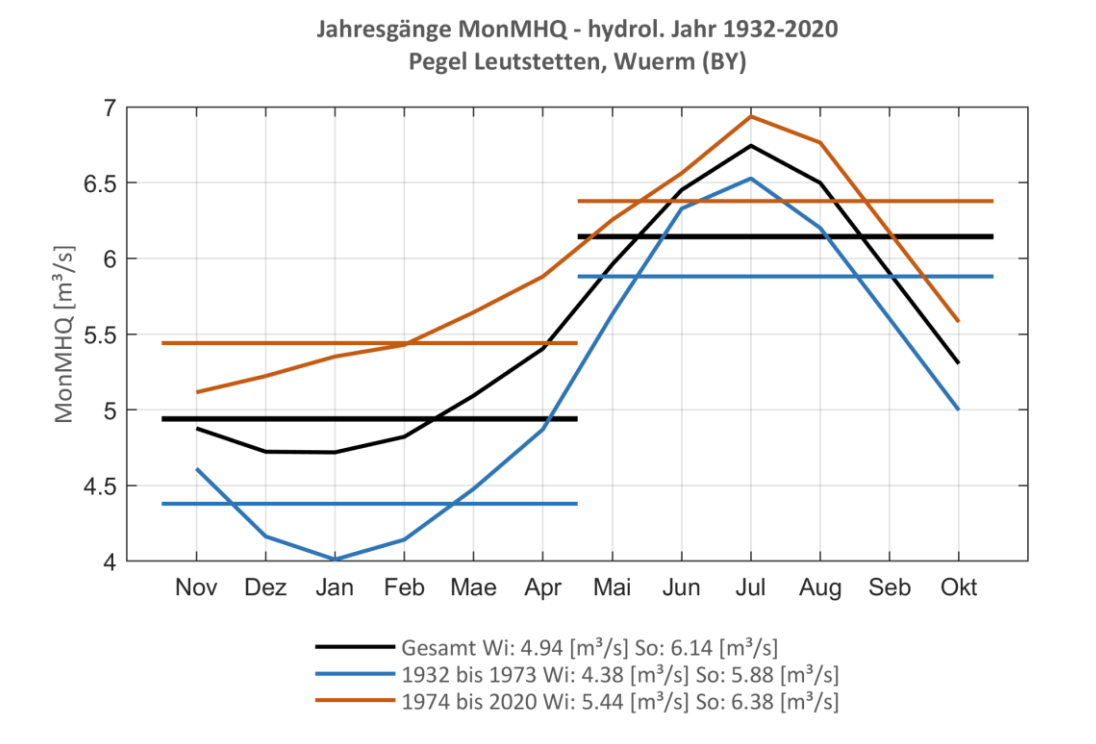


Abb. 117: Jahresgang des MonMHQ und Halbjahresmittel für 1932-2020 sowie 1932-1973 und 1974-2020



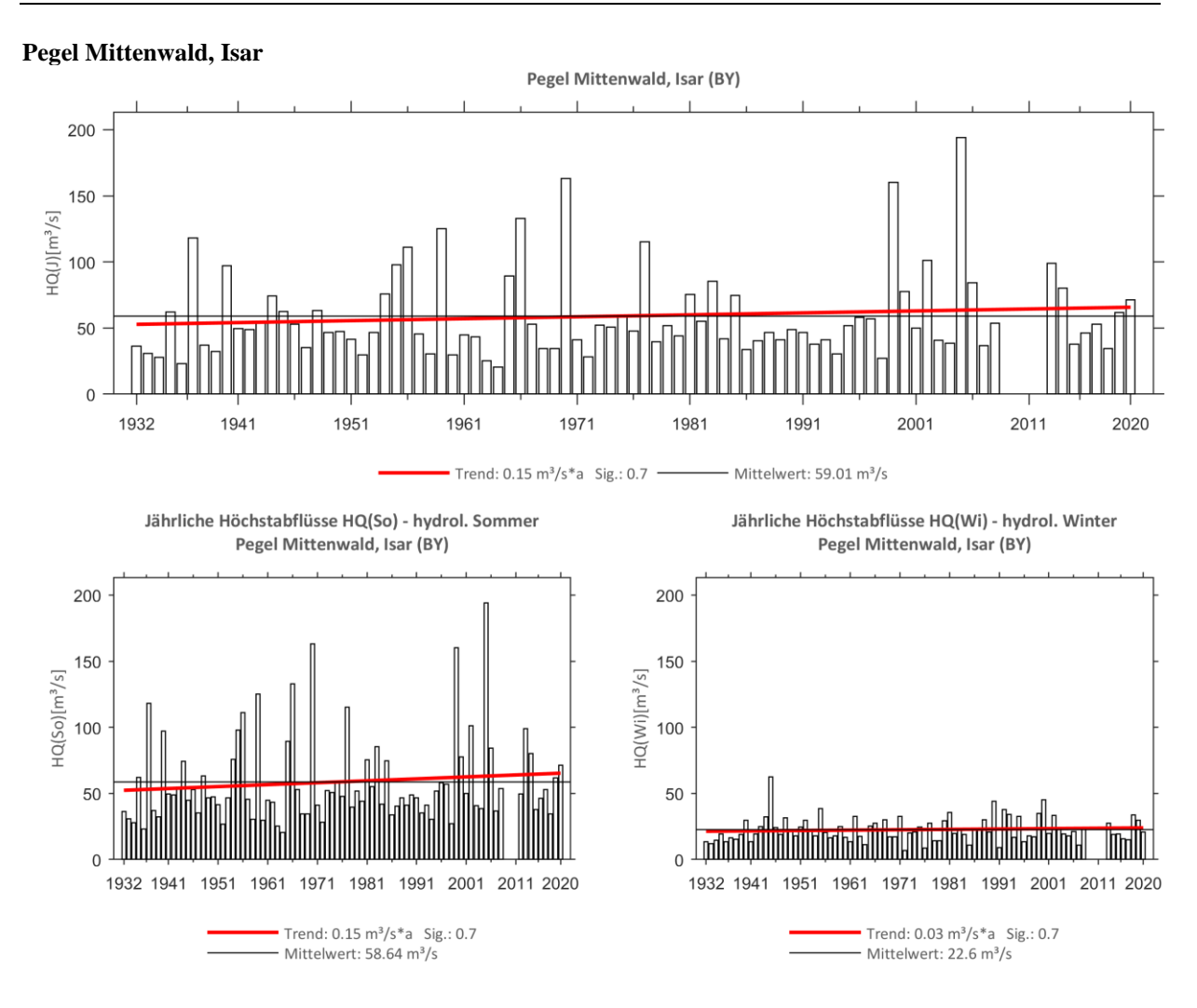


Abb. 118: Trenduntersuchungen von jährlichen Höchstabflüssen für den Zeitraum 1932 bis 2020.

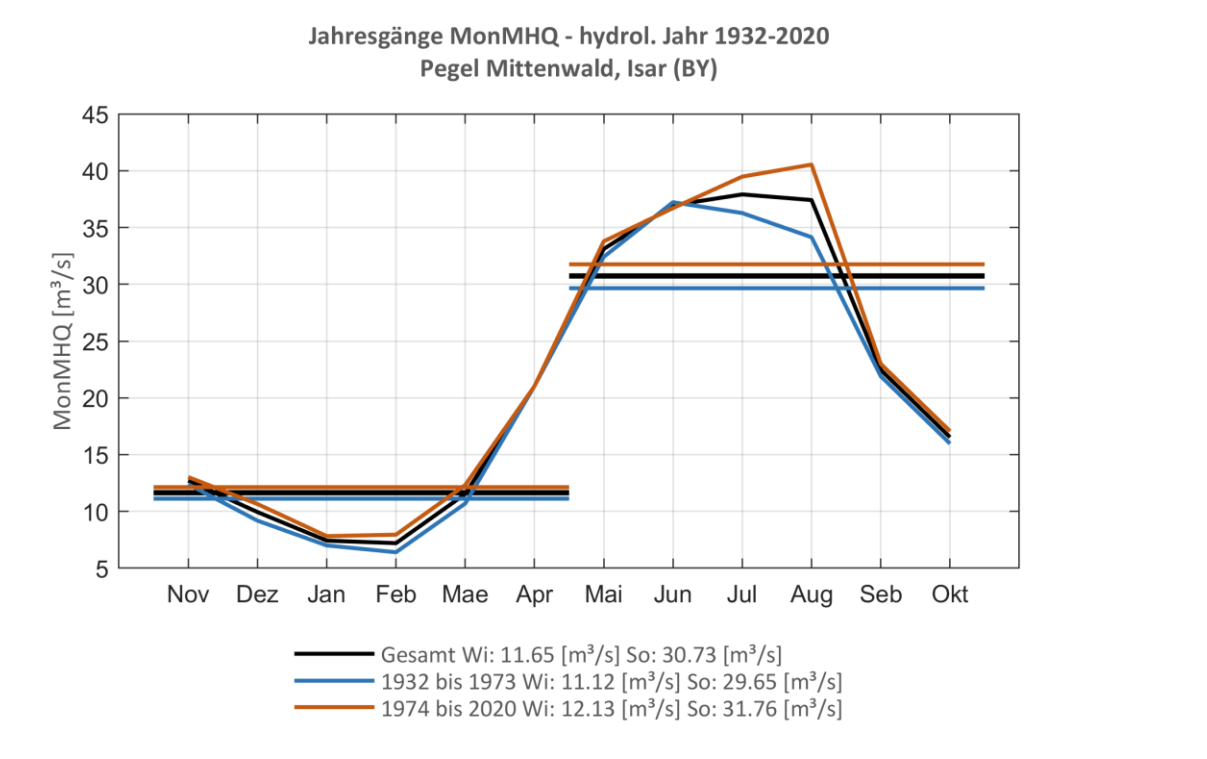


Abb. 119: Jahresgang des MonMHQ und Halbjahresmittel für 1932-2020 sowie 1932-1973 und 1974-2020



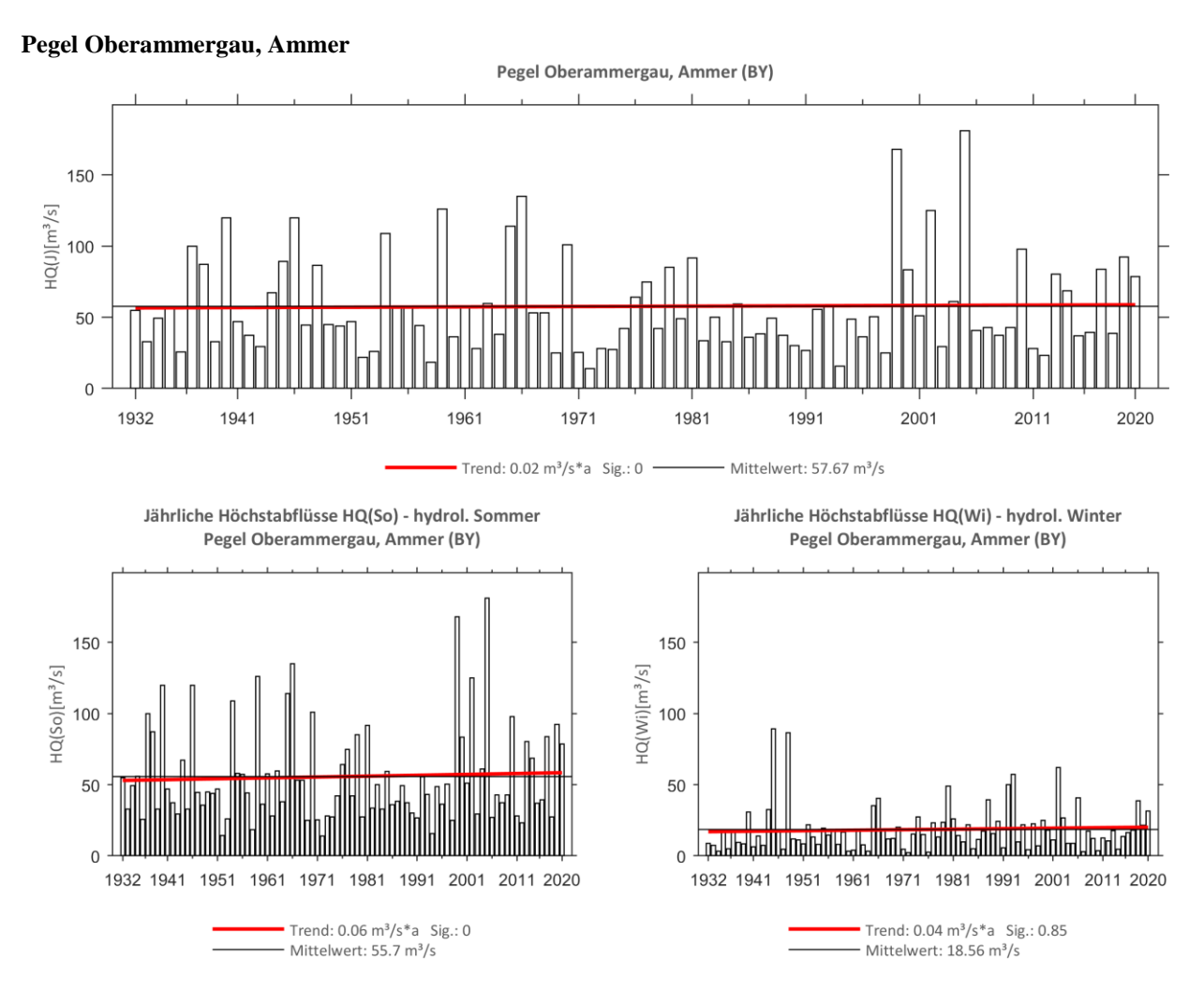


Abb. 120: Trenduntersuchungen von jährlichen Höchstabflüssen für den Zeitraum 1932 bis 2020.

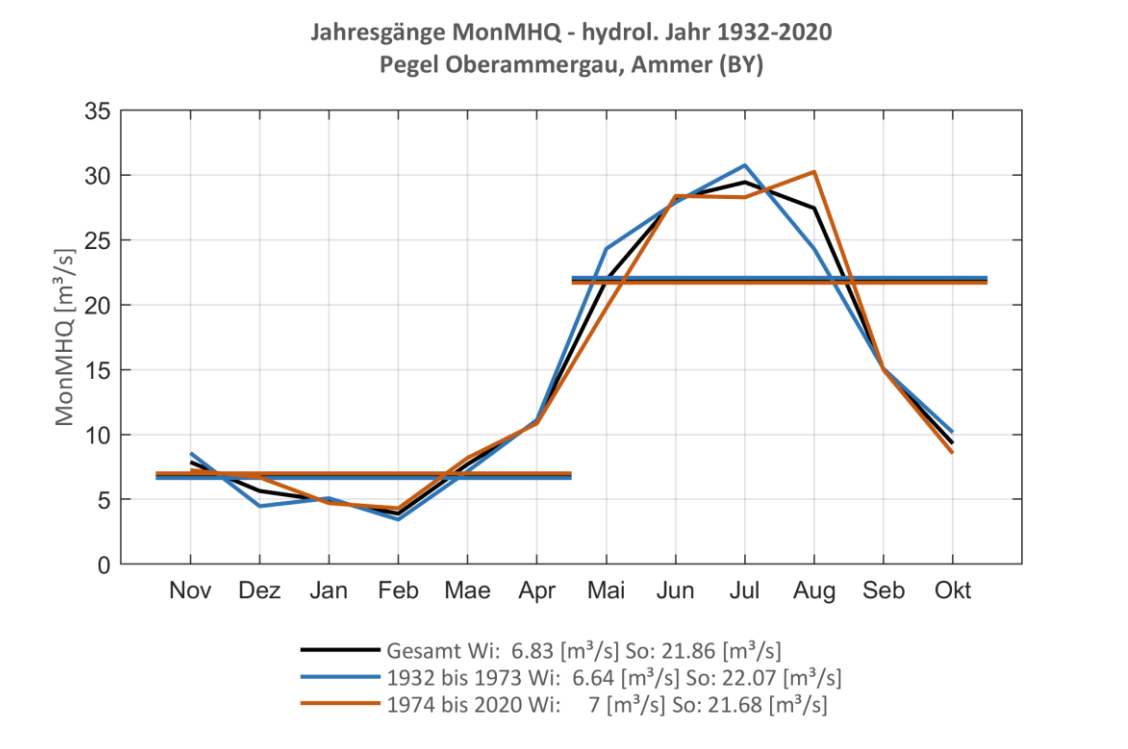


Abb. 121: Jahresgang des MonMHQ und Halbjahresmittel für 1932-2020 sowie 1932-1973 und 1974-2020



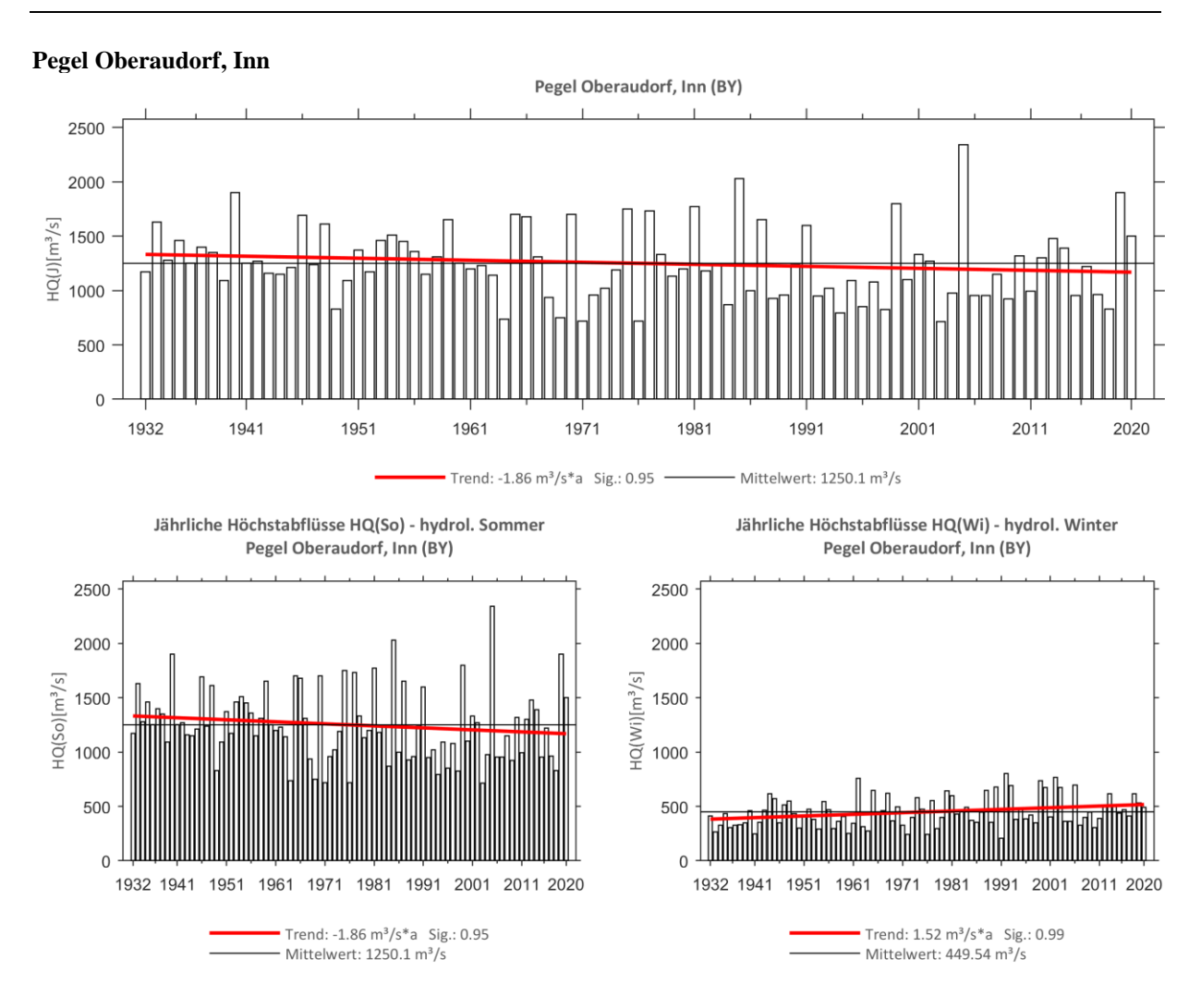


Abb. 122: Trenduntersuchungen von jährlichen Höchstabflüssen für den Zeitraum 1932 bis 2020.

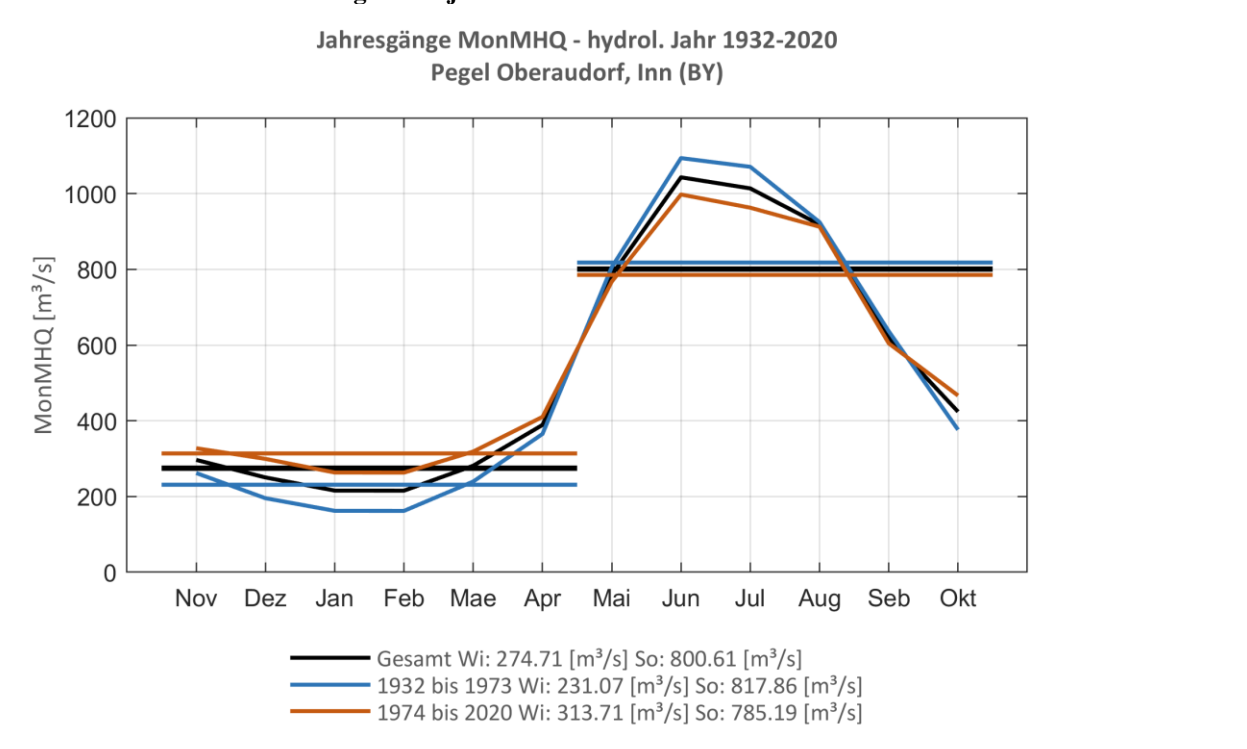


Abb. 123: Jahresgang des MonMHQ und Halbjahresmittel für 1932-2020 sowie 1932-1973 und 1974-2020



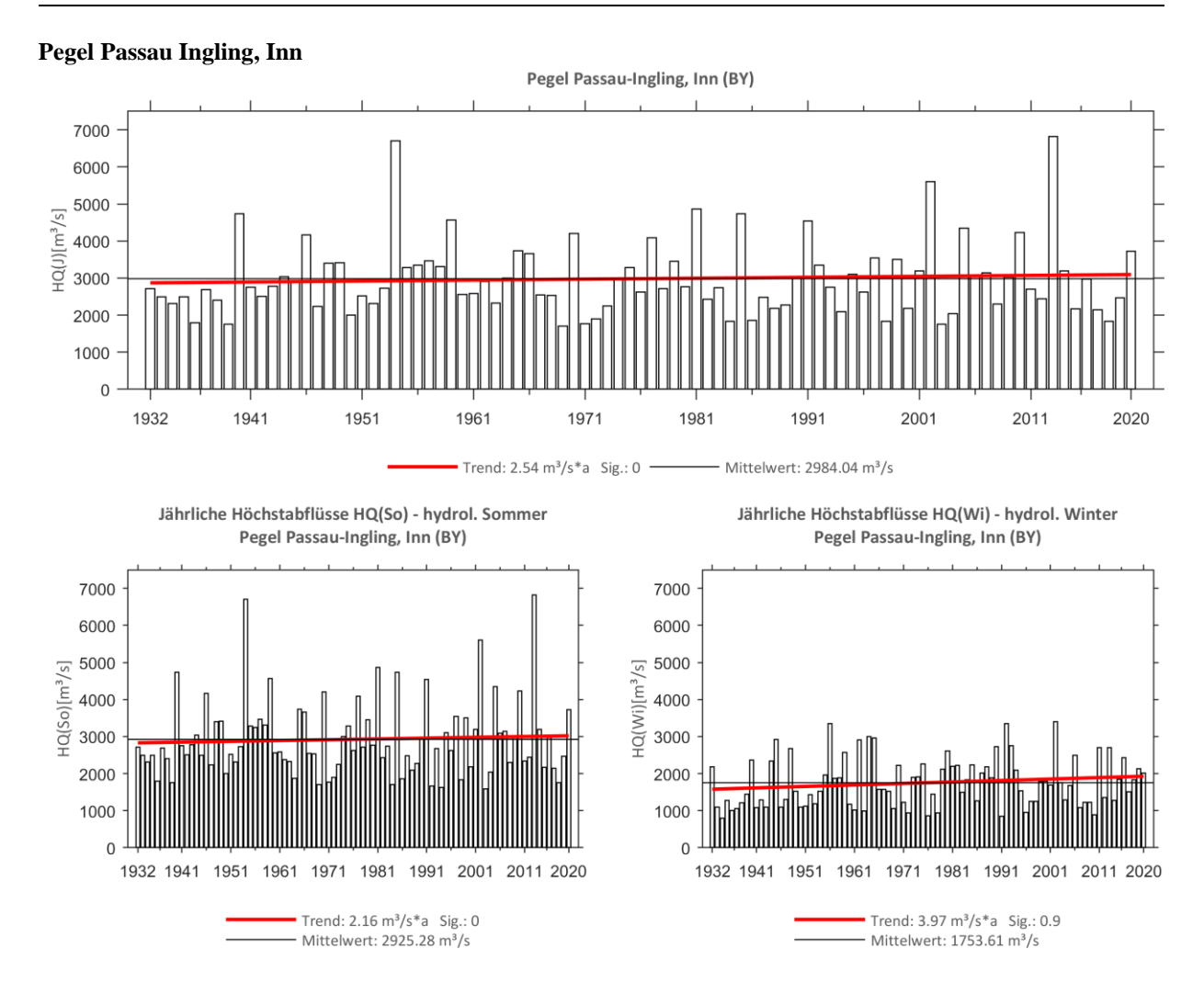


Abb. 124: Trenduntersuchungen von jährlichen Höchstabflüssen für den Zeitraum 1932 bis 2020.

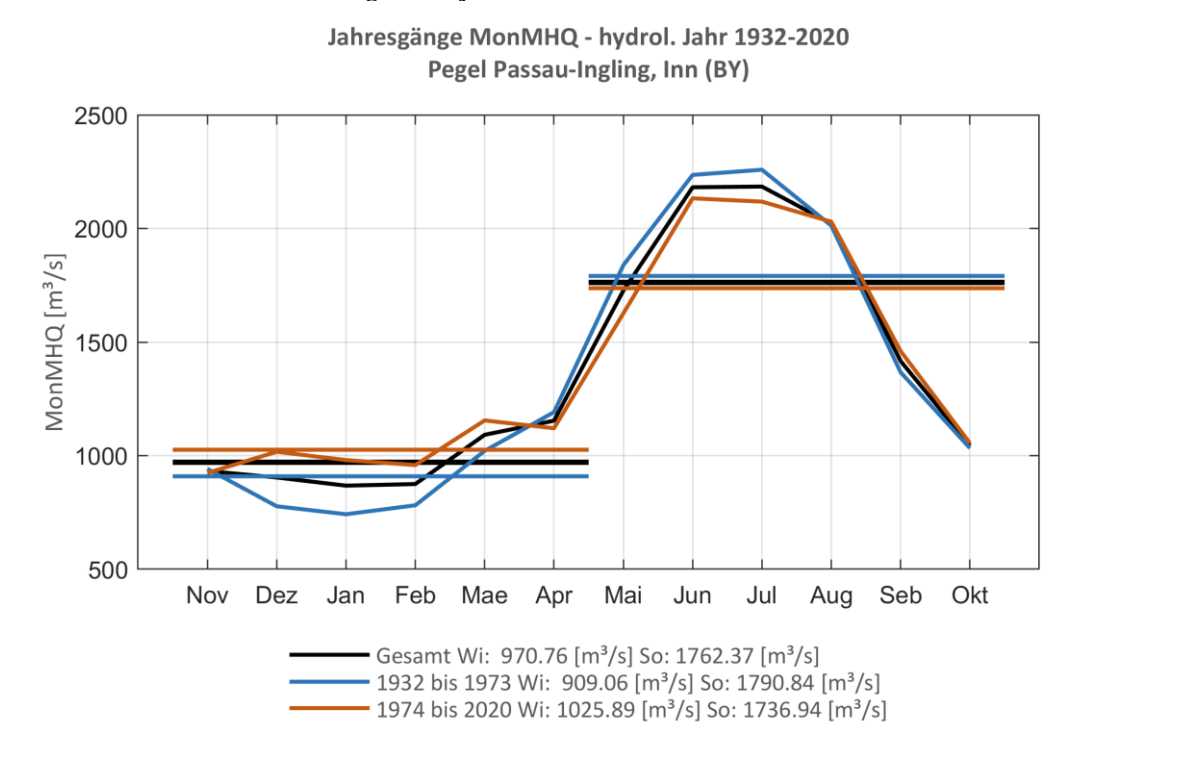


Abb. 125: Jahresgang des MonMHQ und Halbjahresmittel für 1932-2020 sowie 1932-1973 und 1974-2020



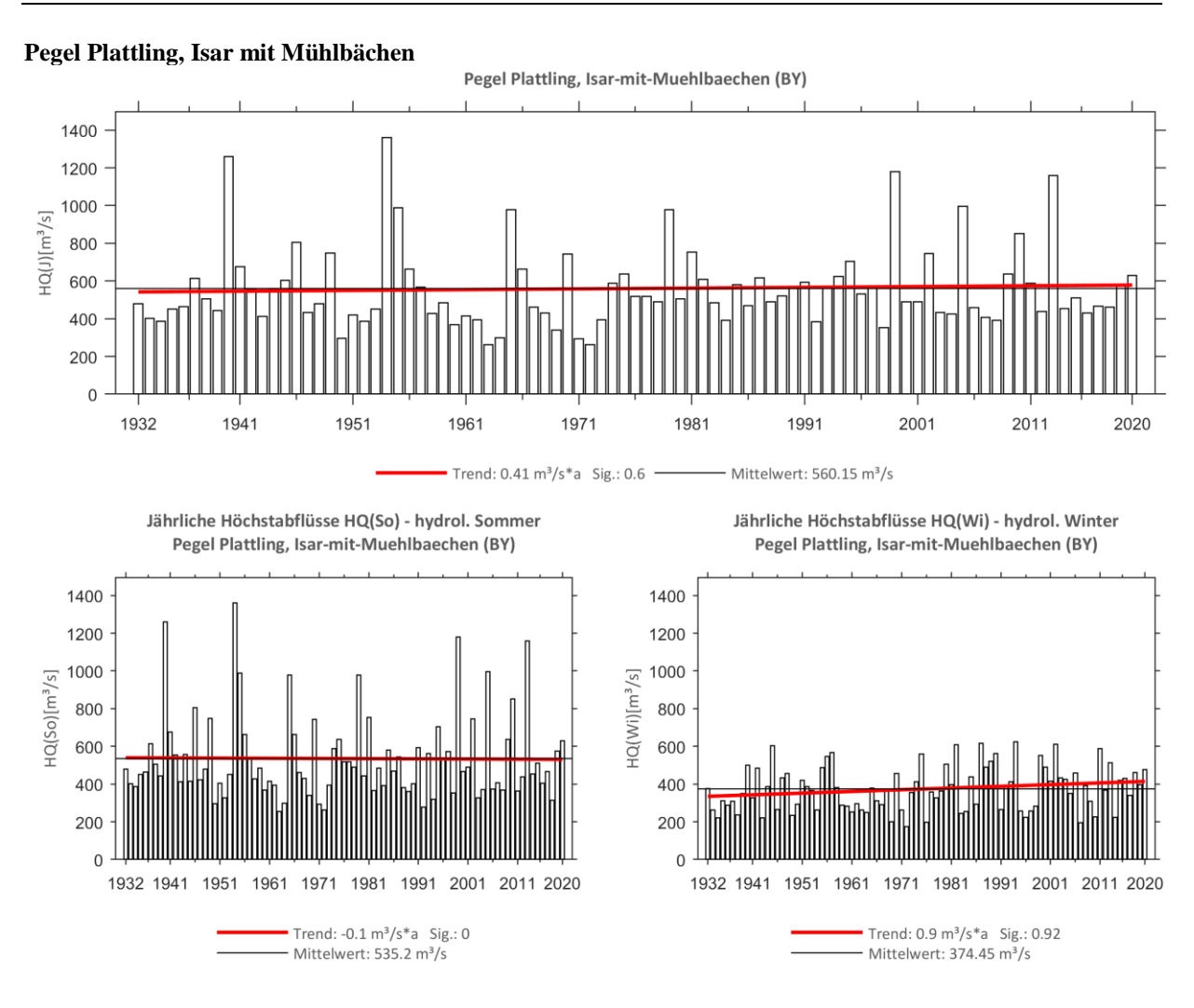


Abb. 126: Trenduntersuchungen von jährlichen Höchstabflüssen für den Zeitraum 1932 bis 2020.

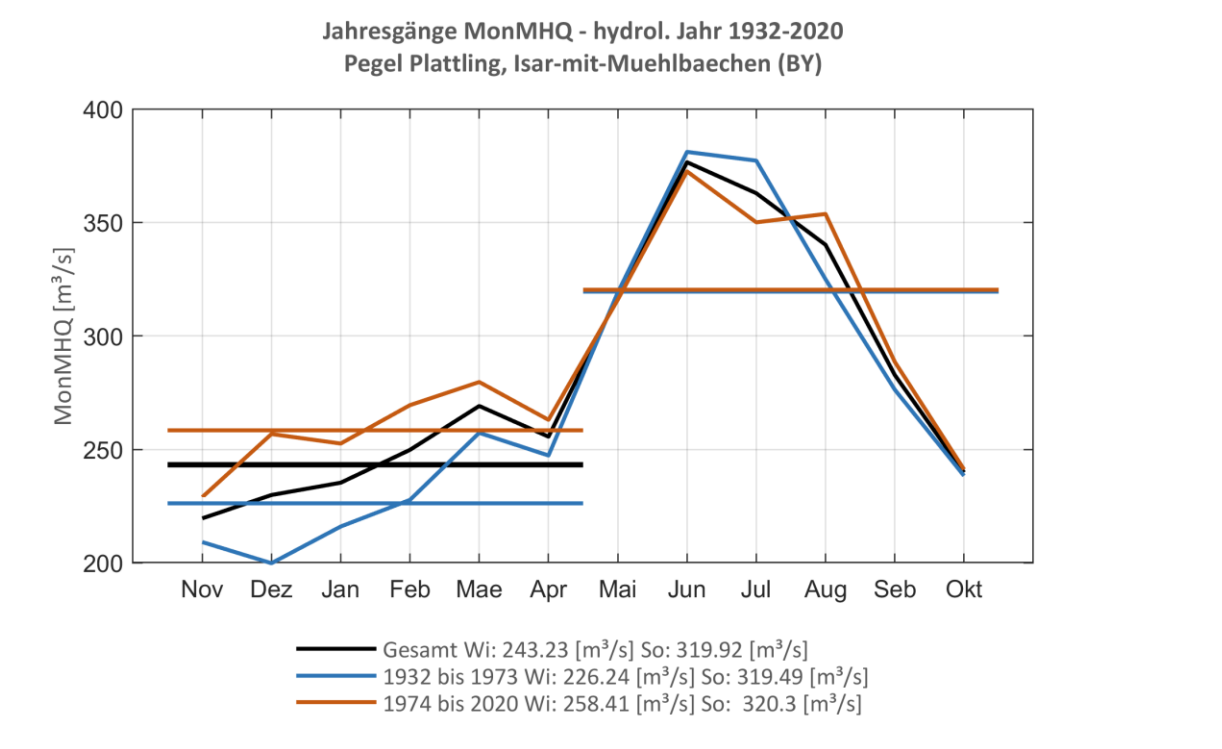


Abb. 127: Jahresgang des MonMHQ und Halbjahresmittel für 1932-2020 sowie 1932-1973 und 1974-2020



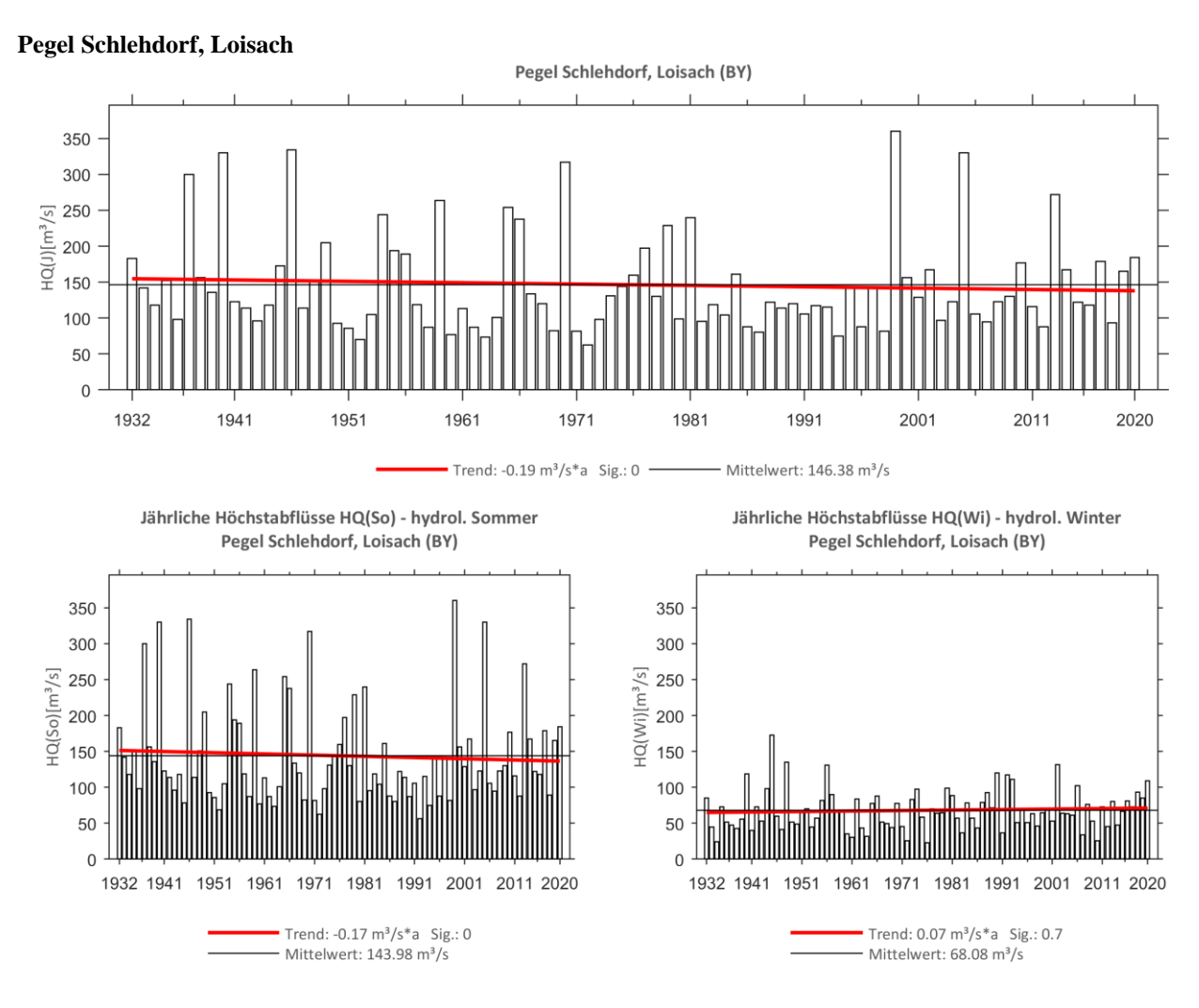


Abb. 128: Trenduntersuchungen von jährlichen Höchstabflüssen für den Zeitraum 1932 bis 2020.

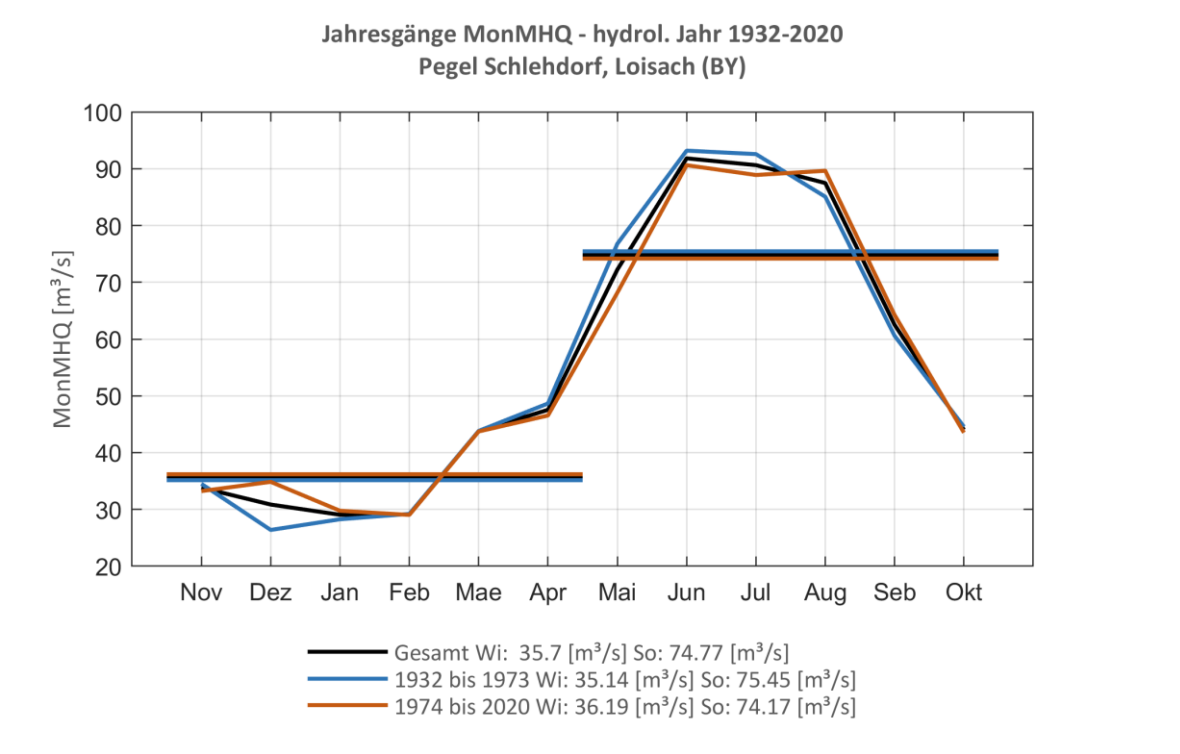


Abb. 129: Jahresgang des MonMHQ und Halbjahresmittel für 1932-2020 sowie 1932-1973 und 1974-2020



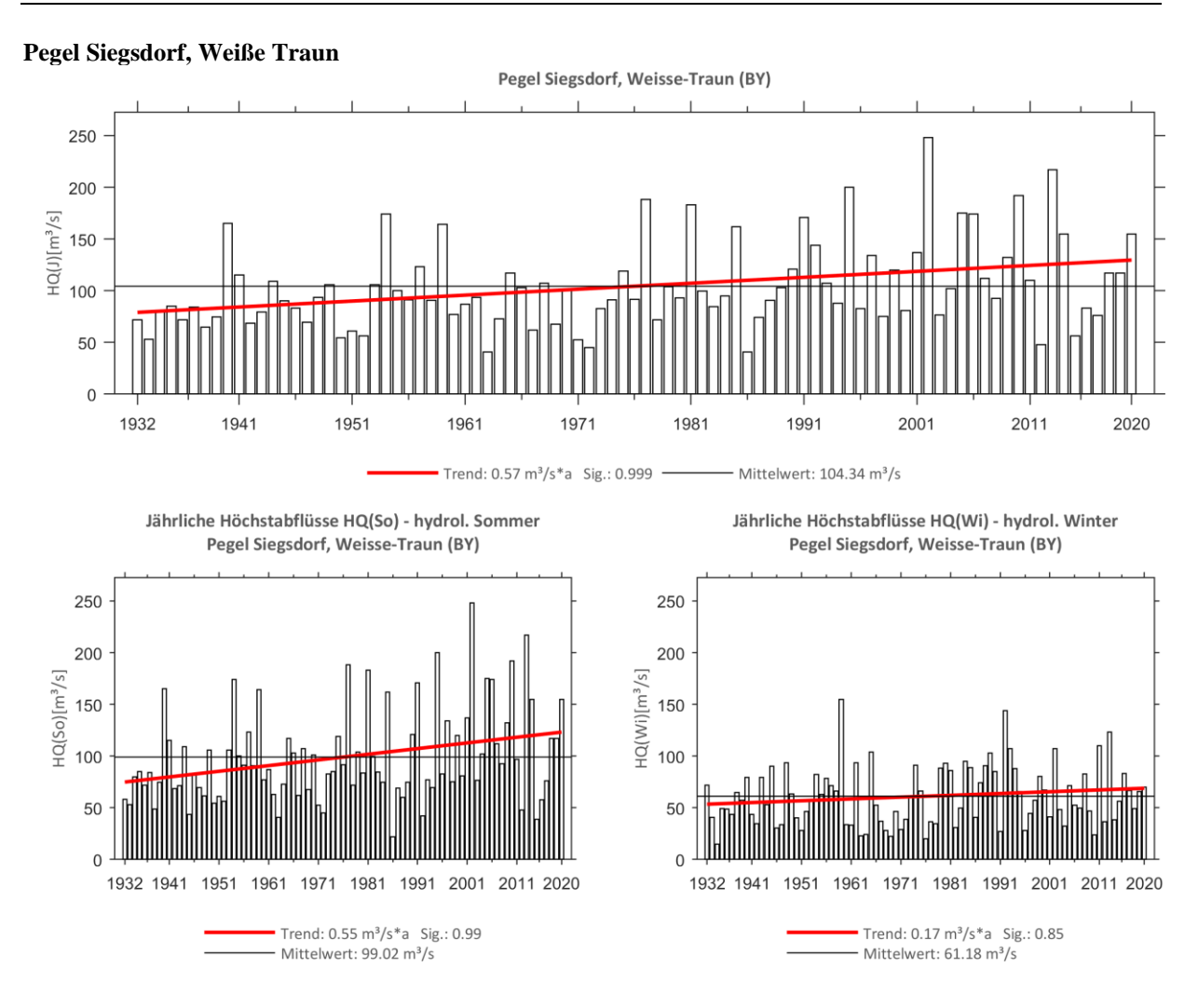


Abb. 130: Trenduntersuchungen von jährlichen Höchstabflüssen für den Zeitraum 1932 bis 2020.

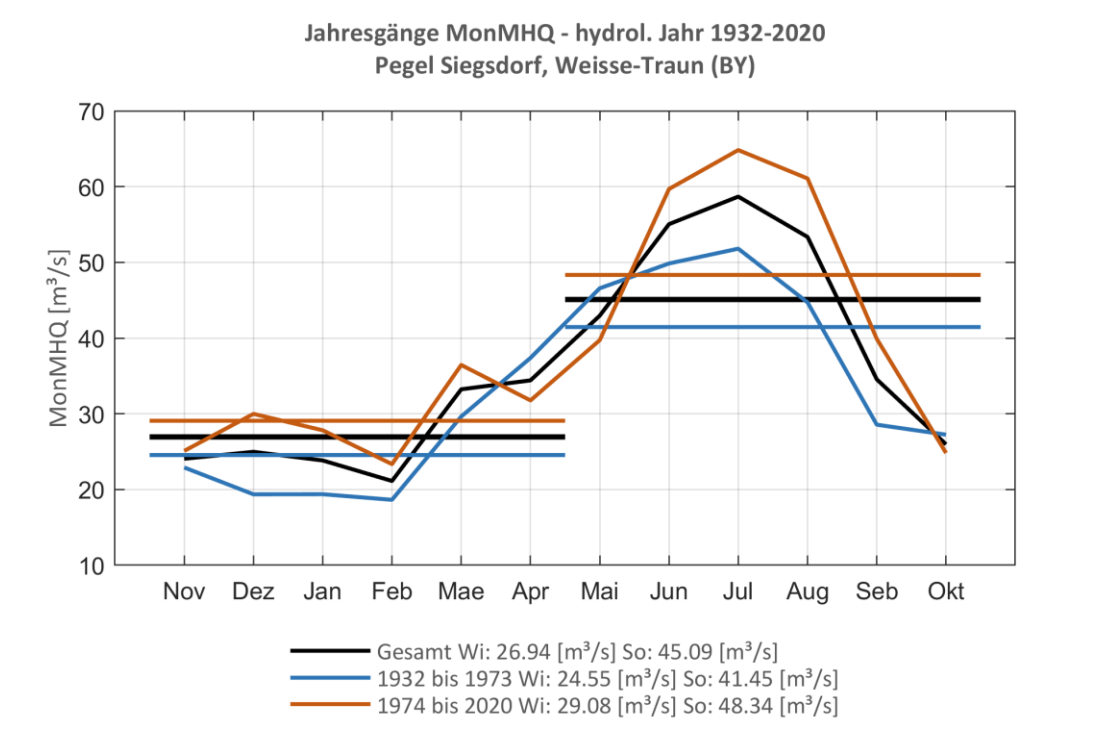


Abb. 131: Jahresgang des MonMHQ und Halbjahresmittel für 1932-2020 sowie 1932-1973 und 1974-2020



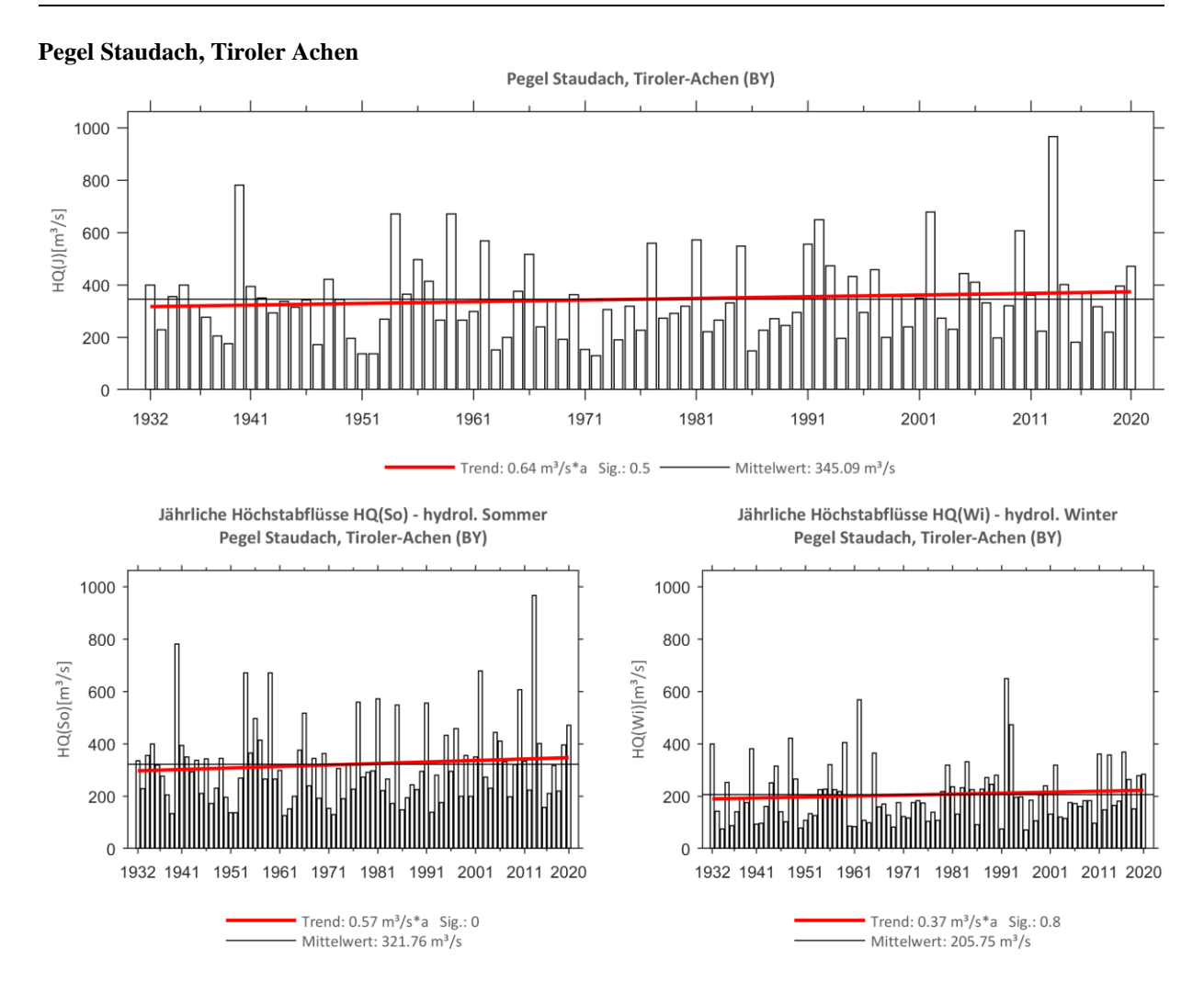


Abb. 132: Trenduntersuchungen von jährlichen Höchstabflüssen für den Zeitraum 1932 bis 2020.

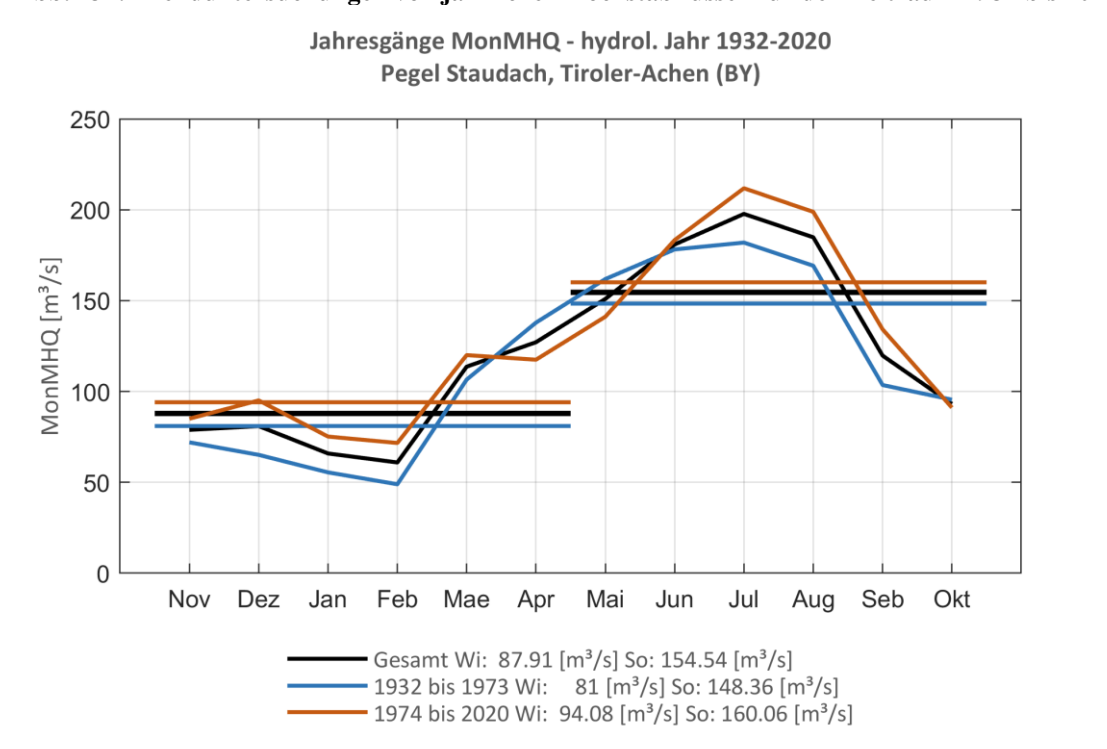


Abb. 133: Jahresgang des MonMHQ und Halbjahresmittel für 1932-2020 sowie 1932-1973 und 1974-2020



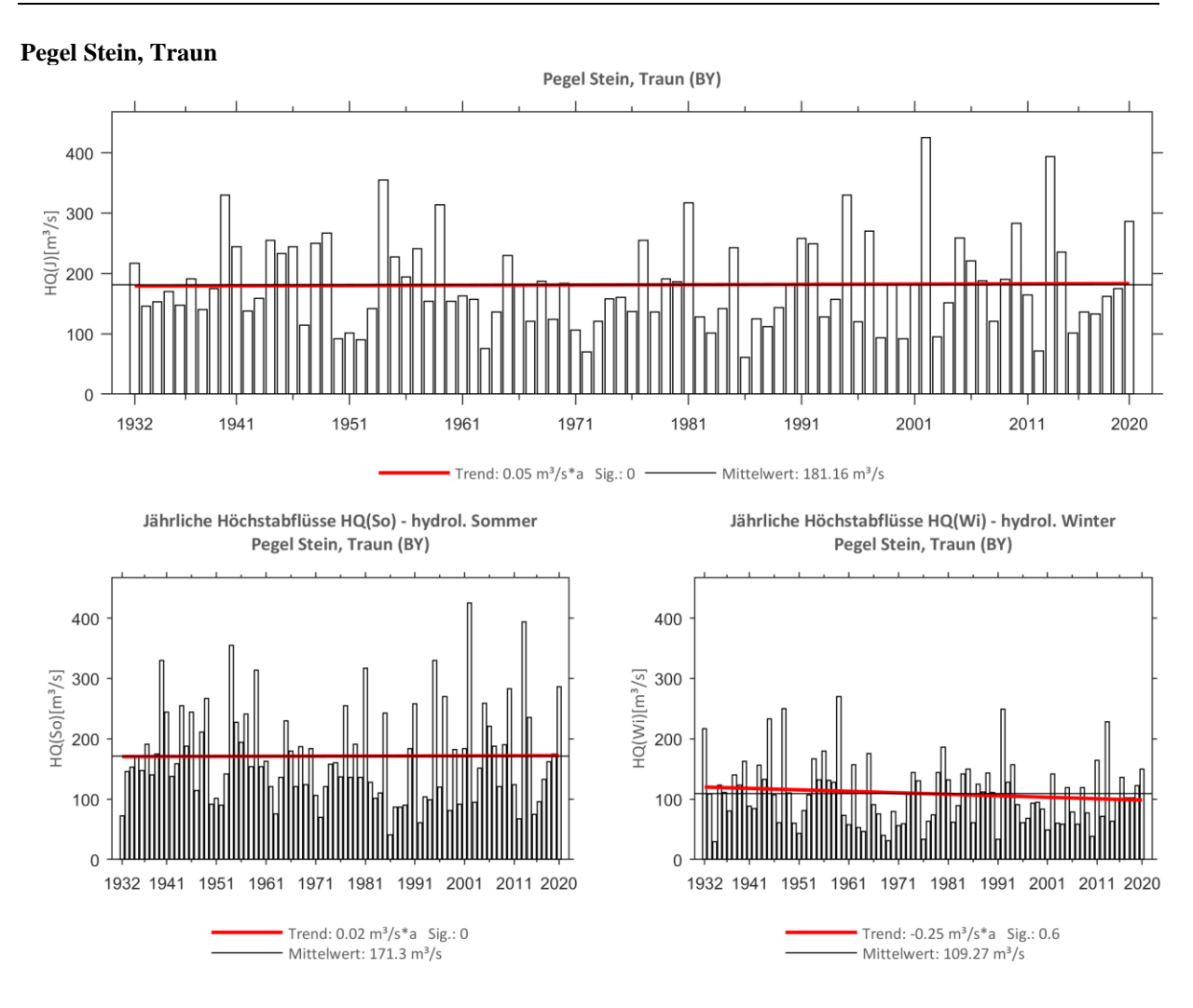


Abb. 134: Trenduntersuchungen von jährlichen Höchstabflüssen für den Zeitraum 1932 bis 2020.

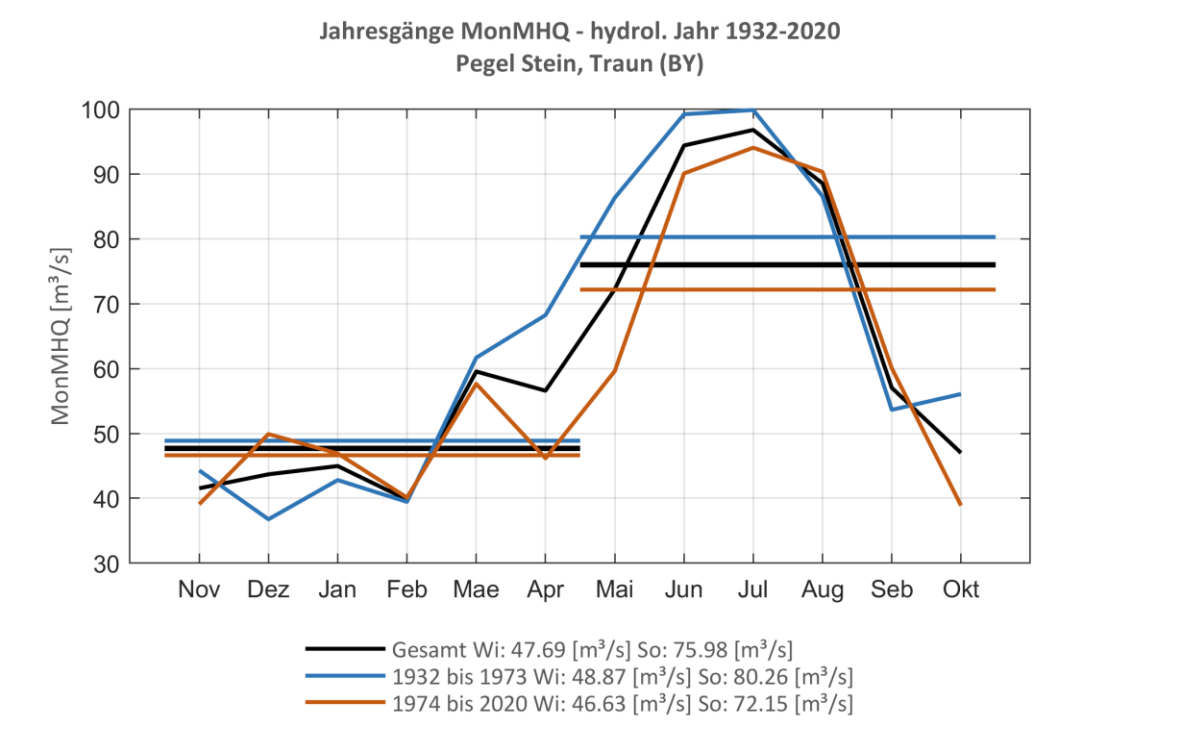


Abb. 135: Jahresgang des MonMHQ und Halbjahresmittel für 1932-2020 sowie 1932-1973 und 1974-2020



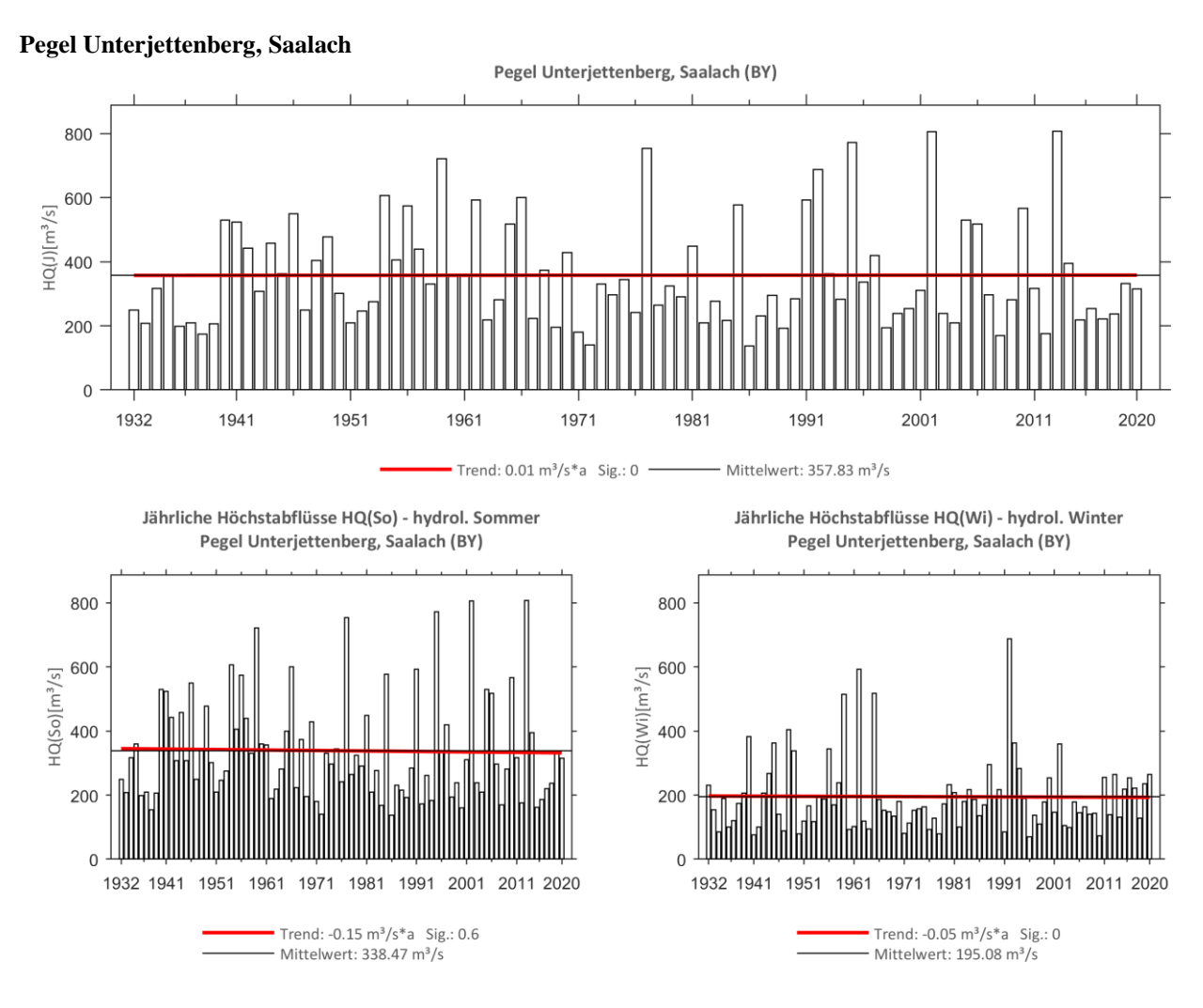


Abb. 136: Trenduntersuchungen von jährlichen Höchstabflüssen für den Zeitraum 1932 bis 2020.

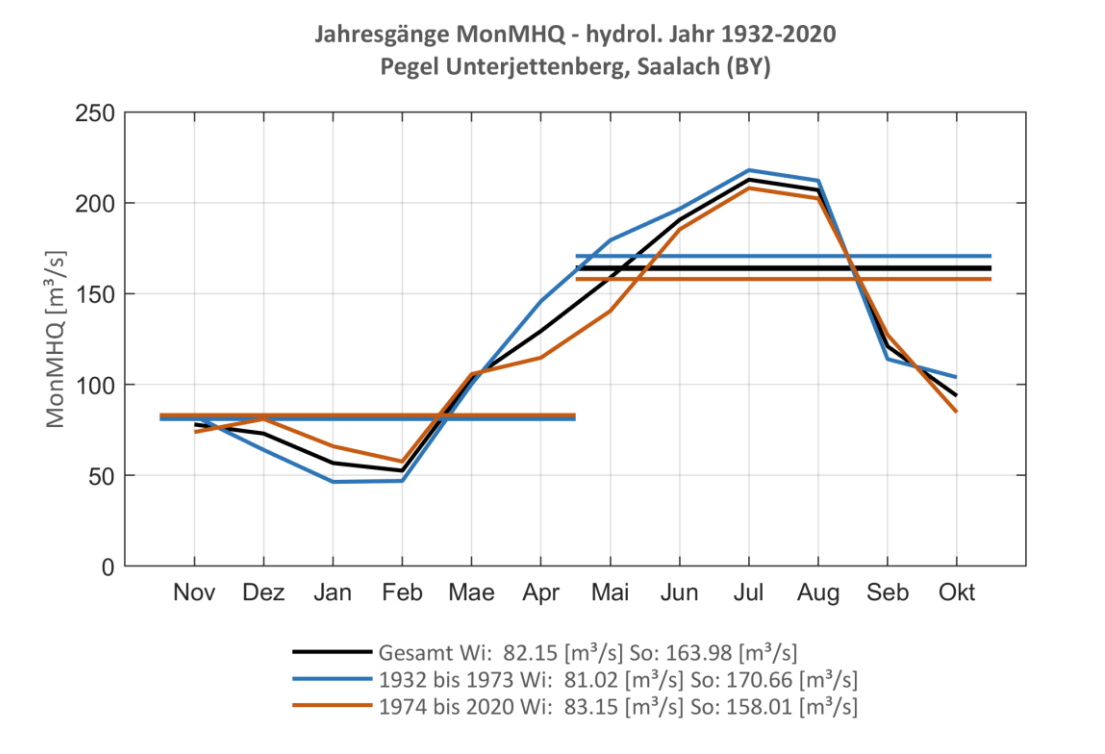


Abb. 137: Jahresgang des MonMHQ und Halbjahresmittel für 1932-2020 sowie 1932-1973 und 1974-2020



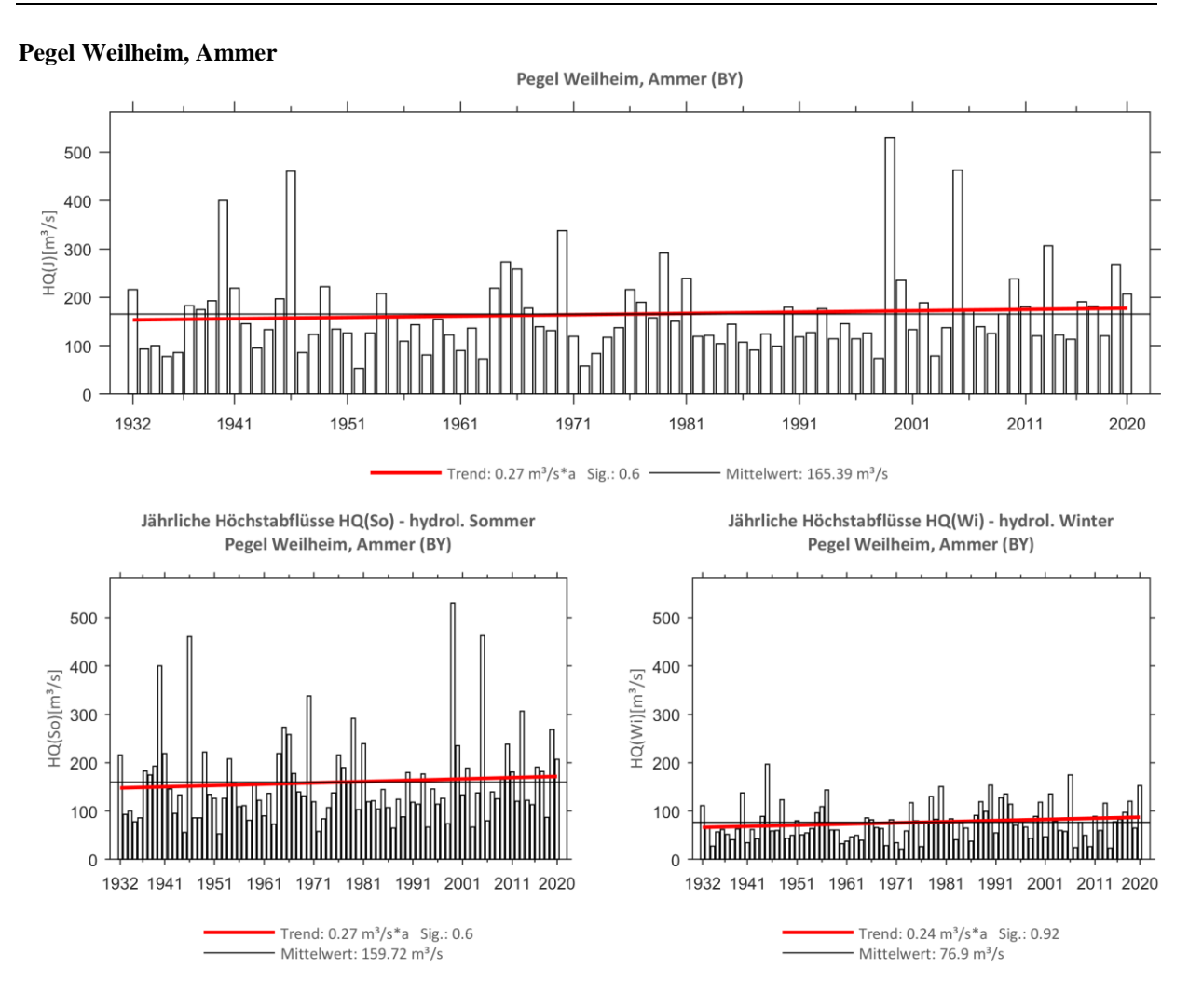


Abb. 138: Trenduntersuchungen von jährlichen Höchstabflüssen für den Zeitraum 1932 bis 2020.

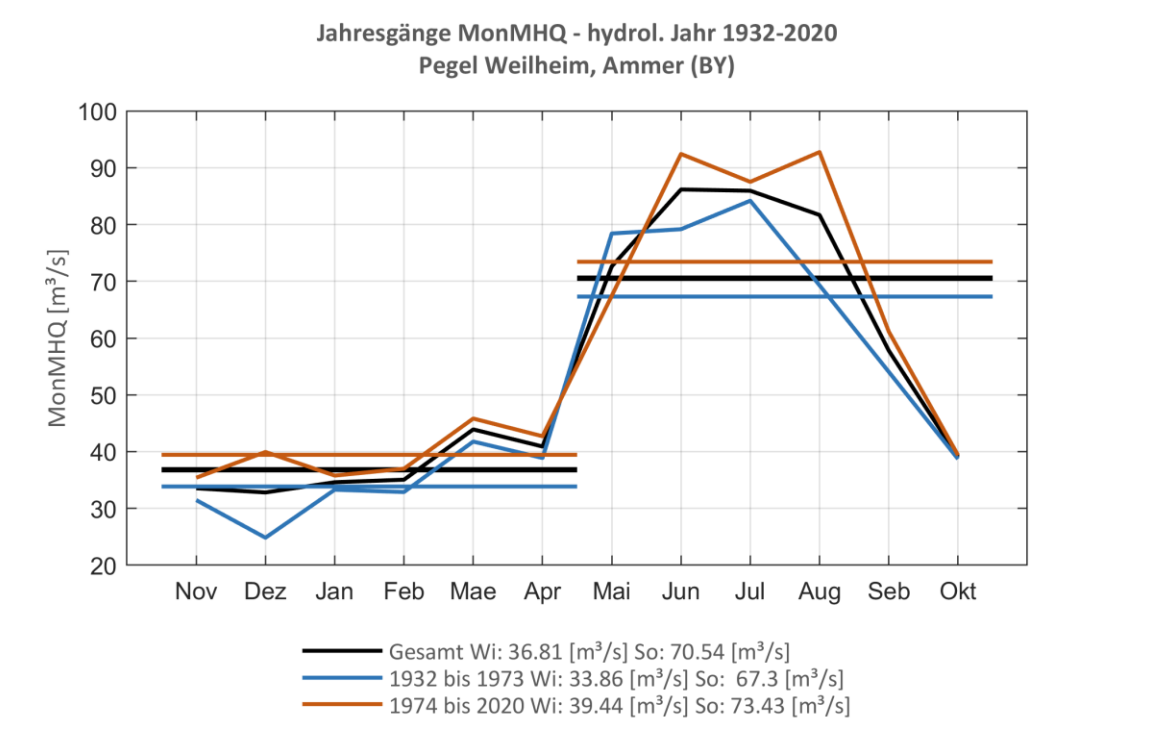


Abb. 139: Jahresgang des MonMHQ und Halbjahresmittel für 1932-2020 sowie 1932-1973 und 1974-2020



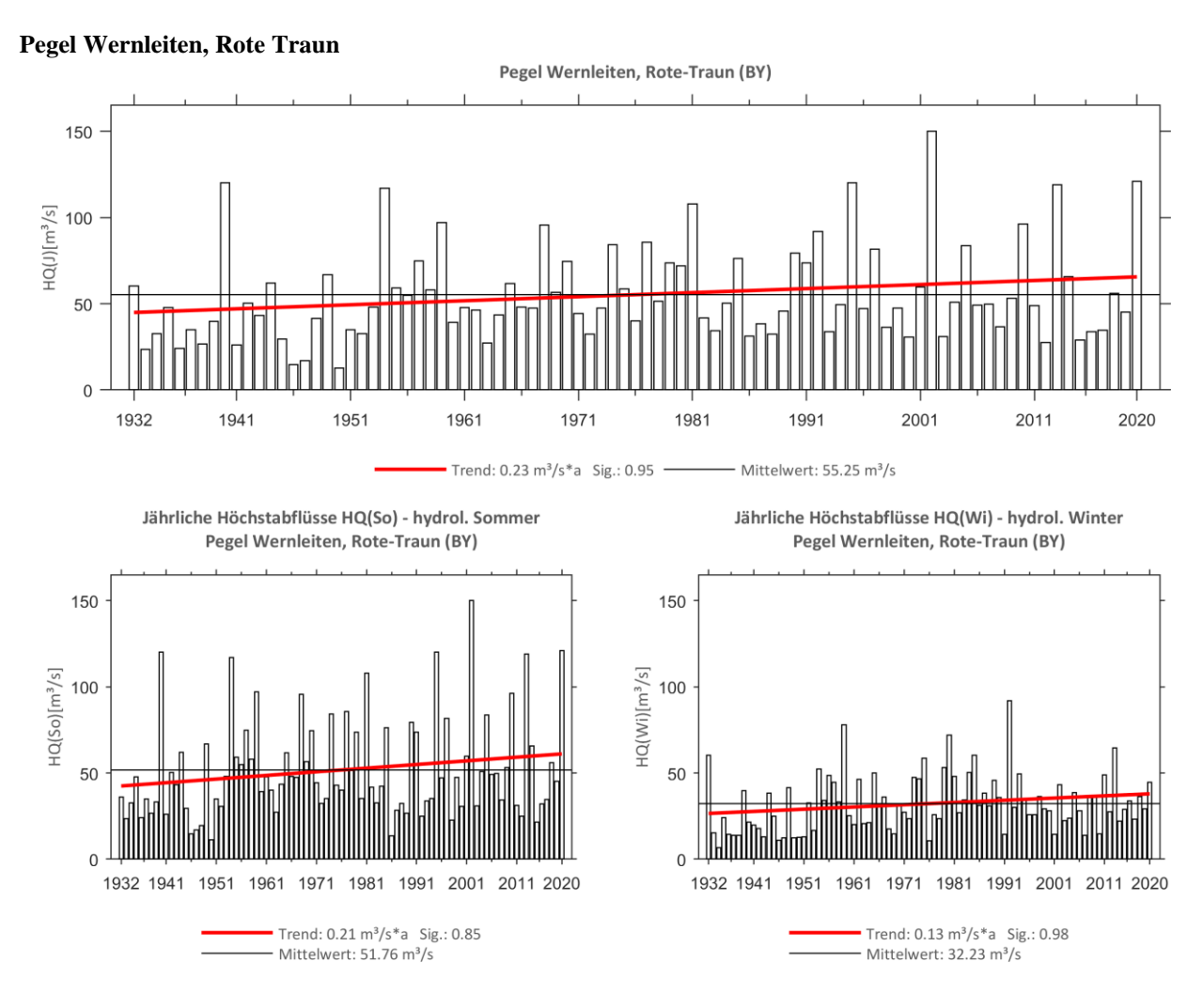


Abb. 140: Trenduntersuchungen von jährlichen Höchstabflüssen für den Zeitraum 1932 bis 2020.

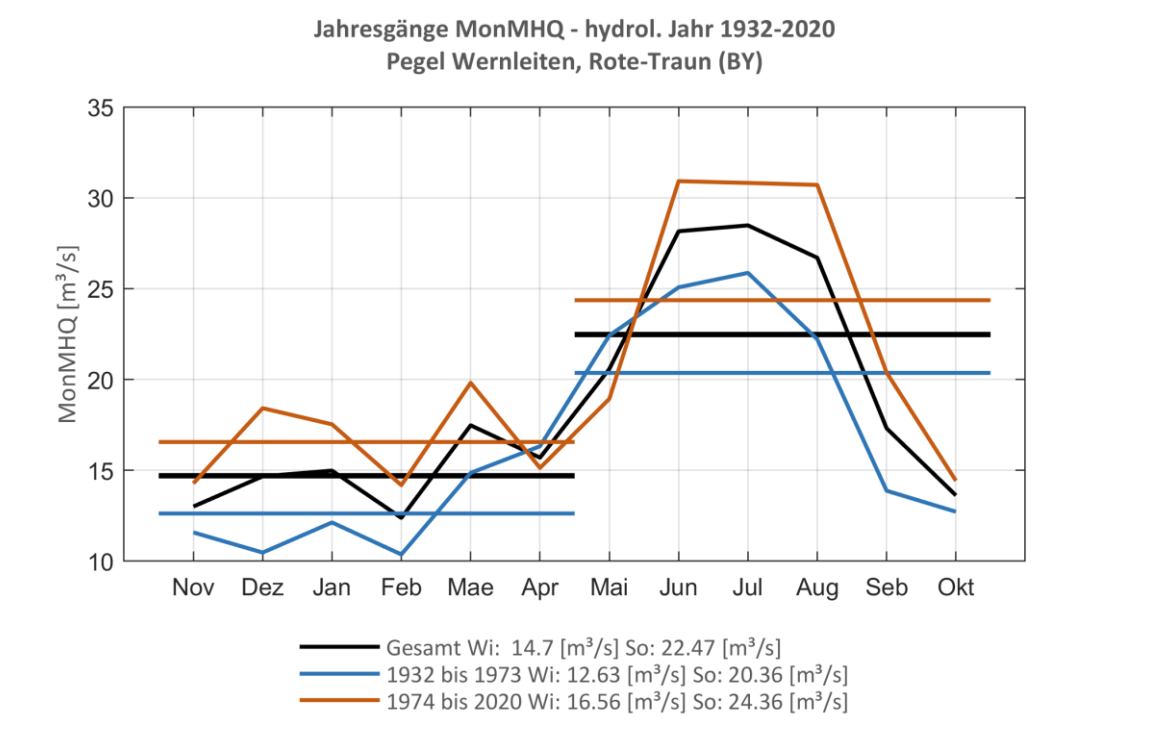


Abb. 141: Jahresgang des MonMHQ und Halbjahresmittel für 1932-2020 sowie 1932-1973 und 1974-2020



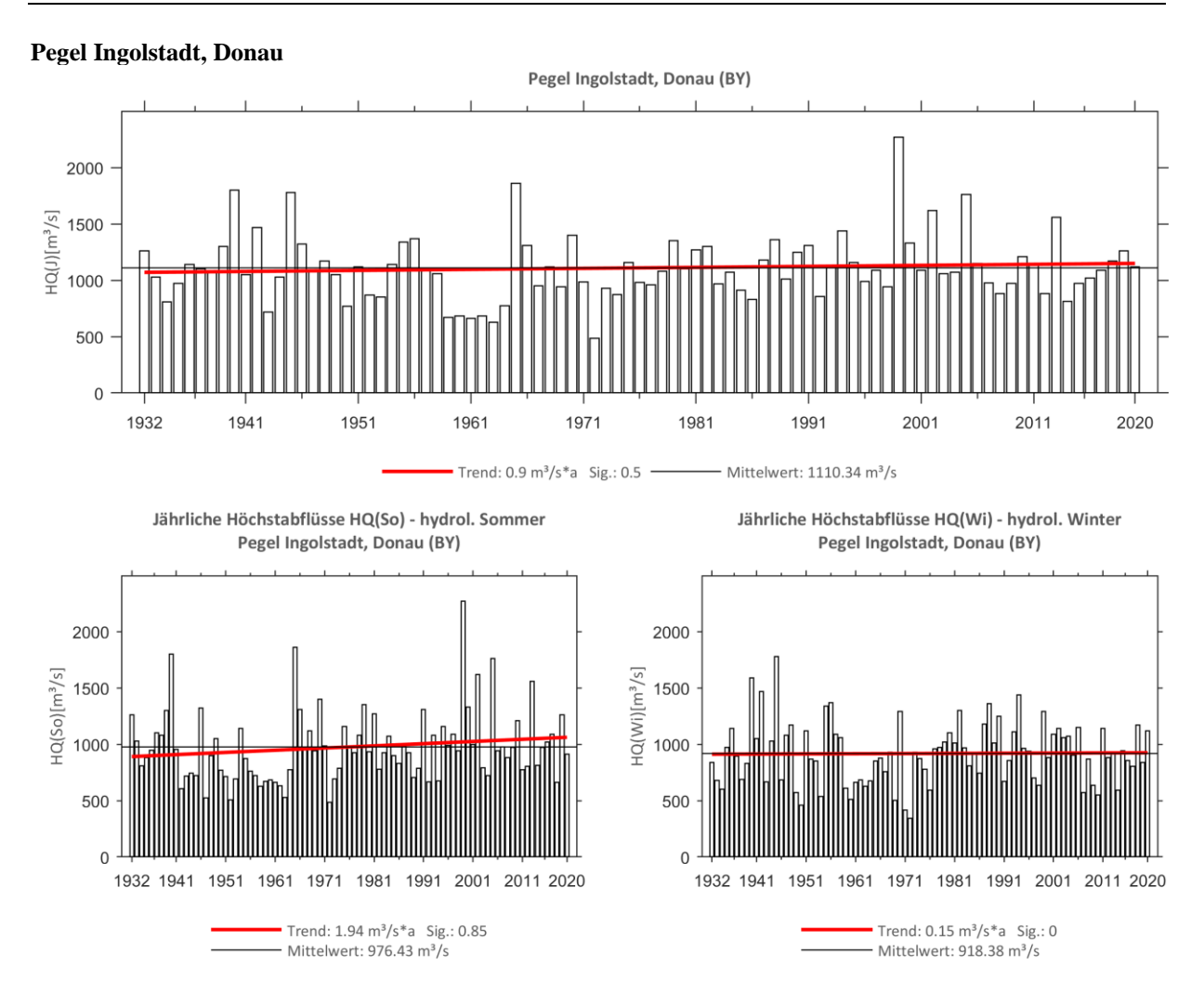


Abb. 142: Trenduntersuchungen von jährlichen Höchstabflüssen für den Zeitraum 1932 bis 2020.

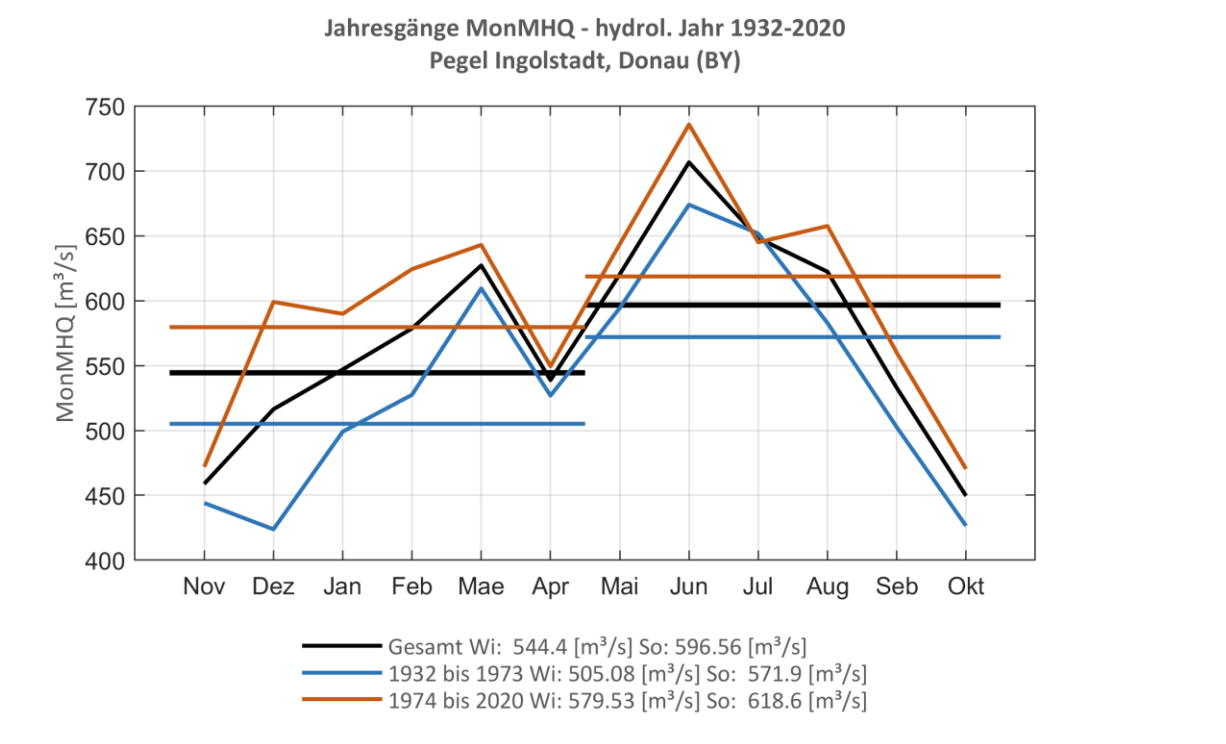


Abb. 143: Jahresgang des MonMHQ und Halbjahresmittel für 1932-2020 sowie 1932-1973 und 1974-2020



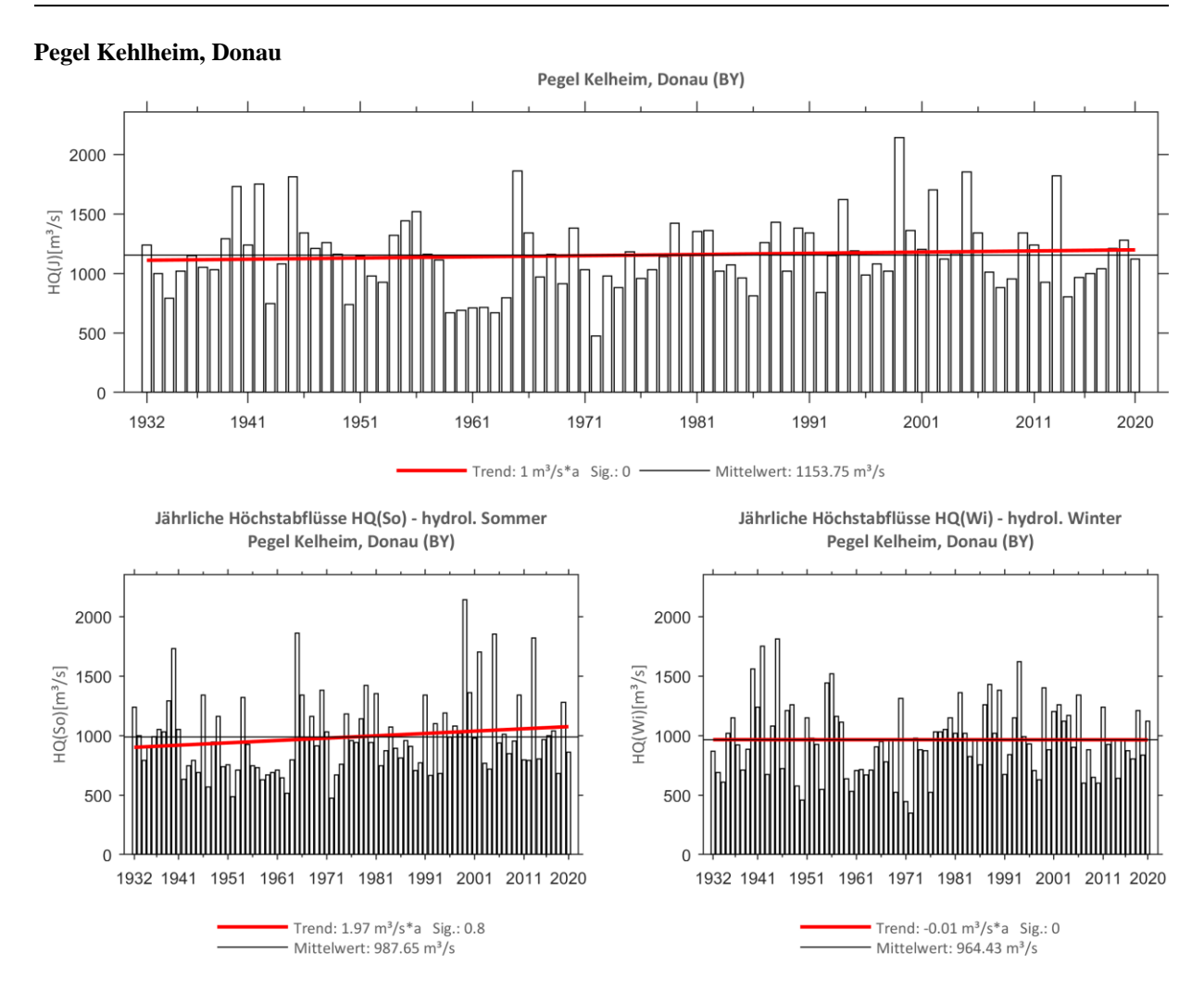


Abb. 144: Trenduntersuchungen von jährlichen Höchstabflüssen für den Zeitraum 1932 bis 2020.

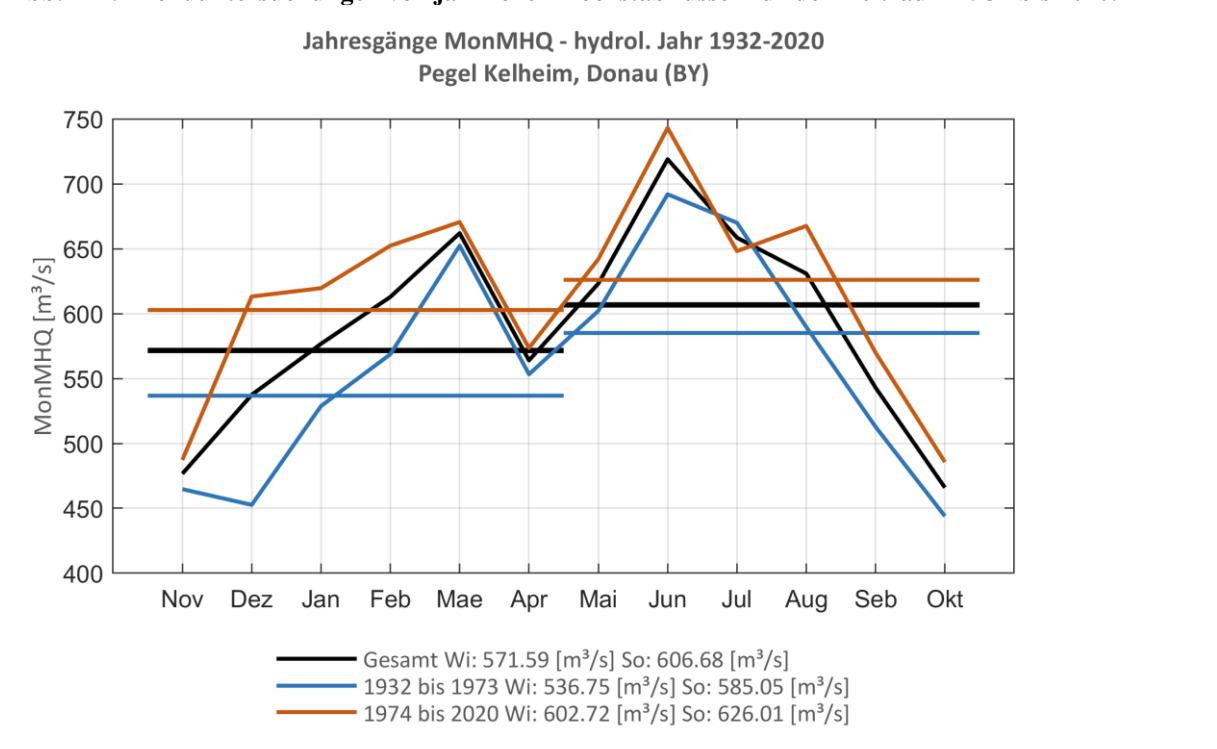


Abb. 145: Jahresgang des MonMHQ und Halbjahresmittel für 1932-2020 sowie 1932-1973 und 1974-2020



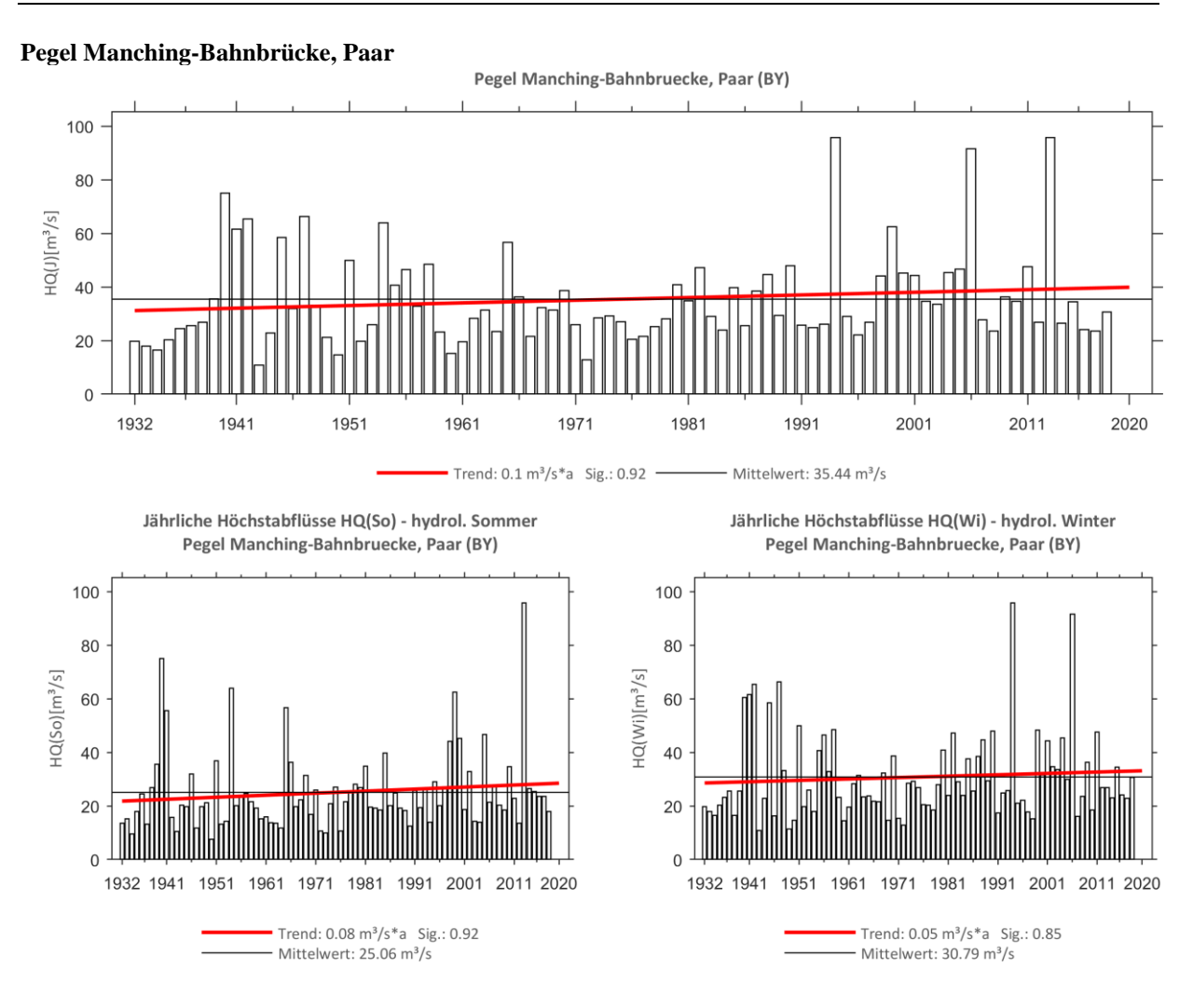


Abb. 146: Trenduntersuchungen von jährlichen Höchstabflüssen für den Zeitraum 1932 bis 2020.

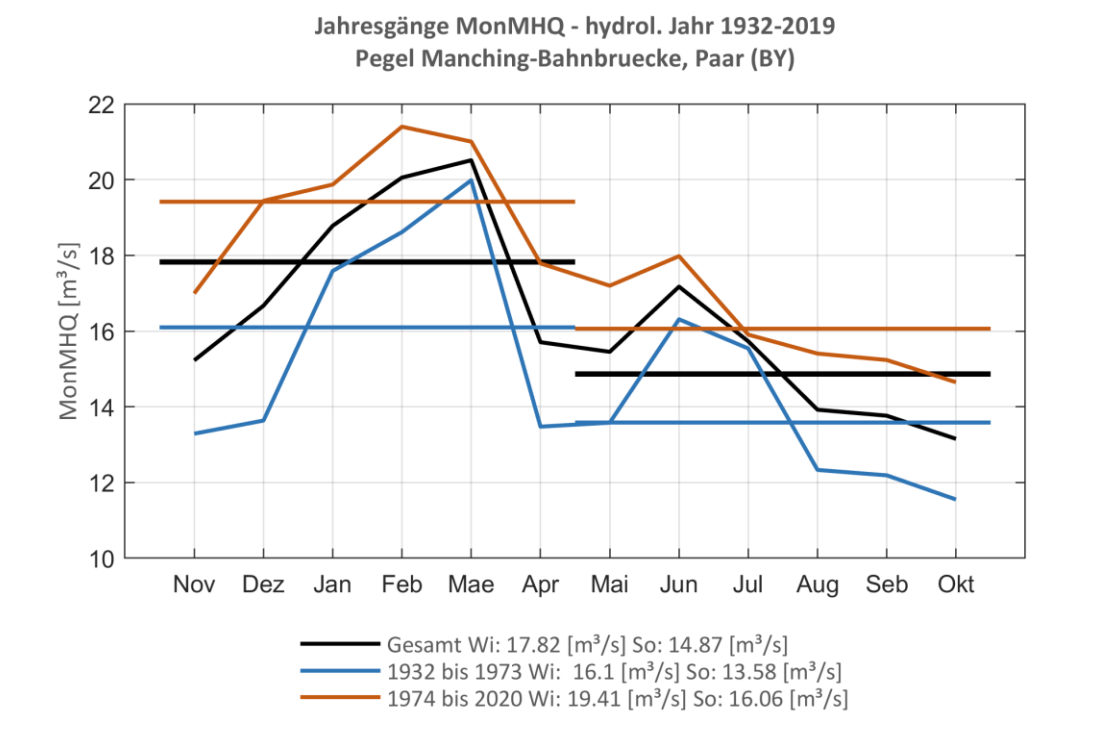


Abb. 147: Jahresgang des MonMHQ und Halbjahresmittel für 1932-2020 sowie 1932-1973 und 1974-2020



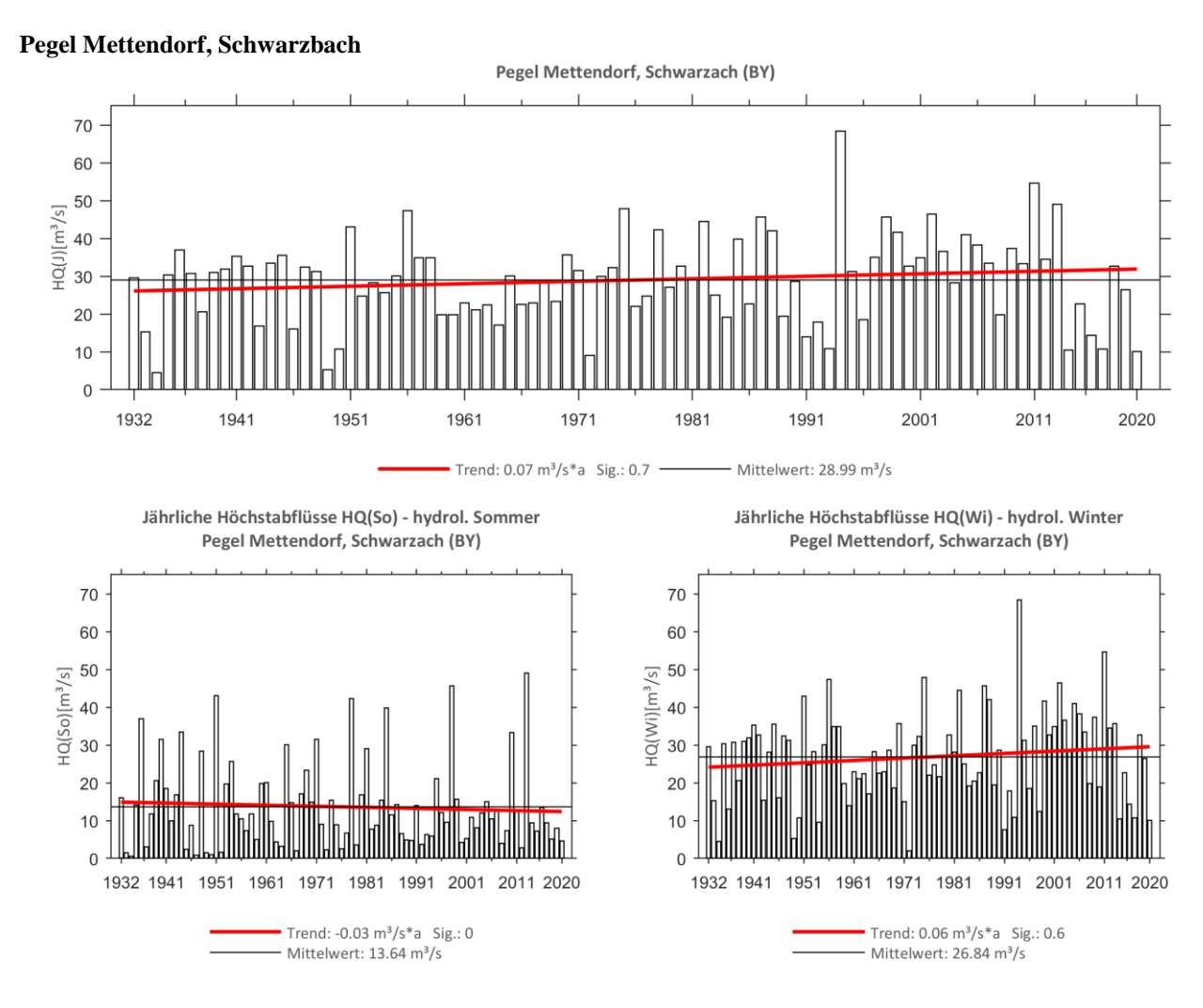


Abb. 148: Trenduntersuchungen von jährlichen Höchstabflüssen für den Zeitraum 1932 bis 2020.

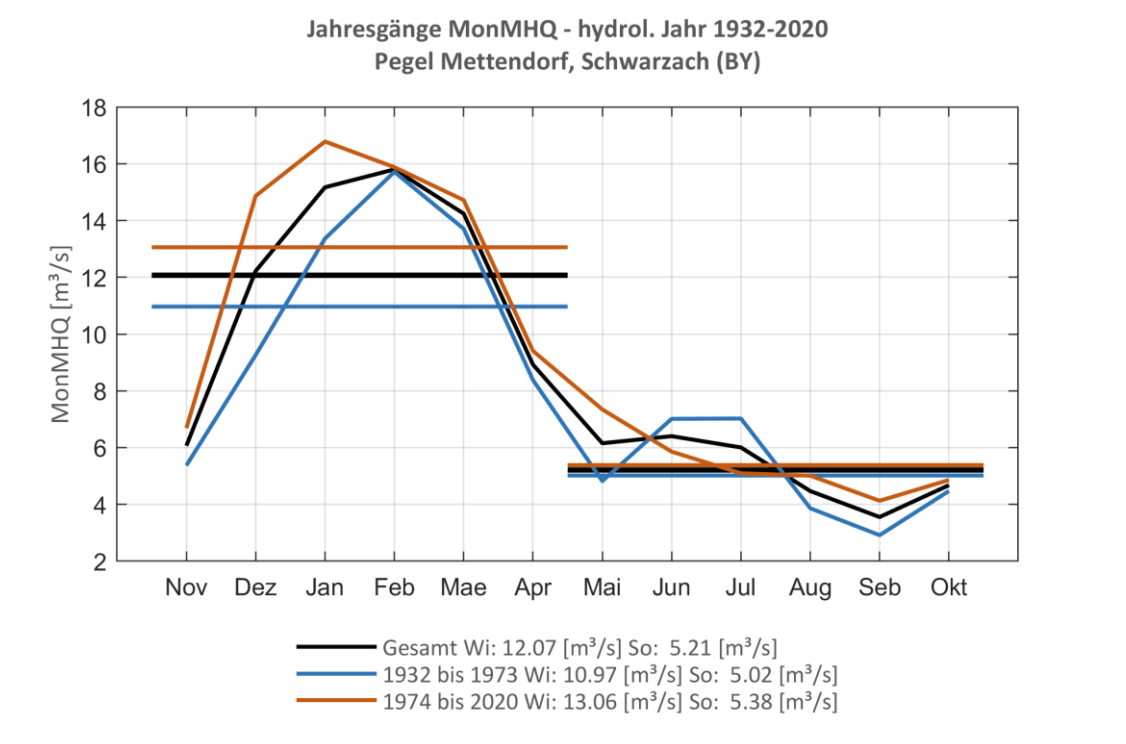


Abb. 149: Jahresgang des MonMHQ und Halbjahresmittel für 1932-2020 sowie 1932-1973 und 1974-2020



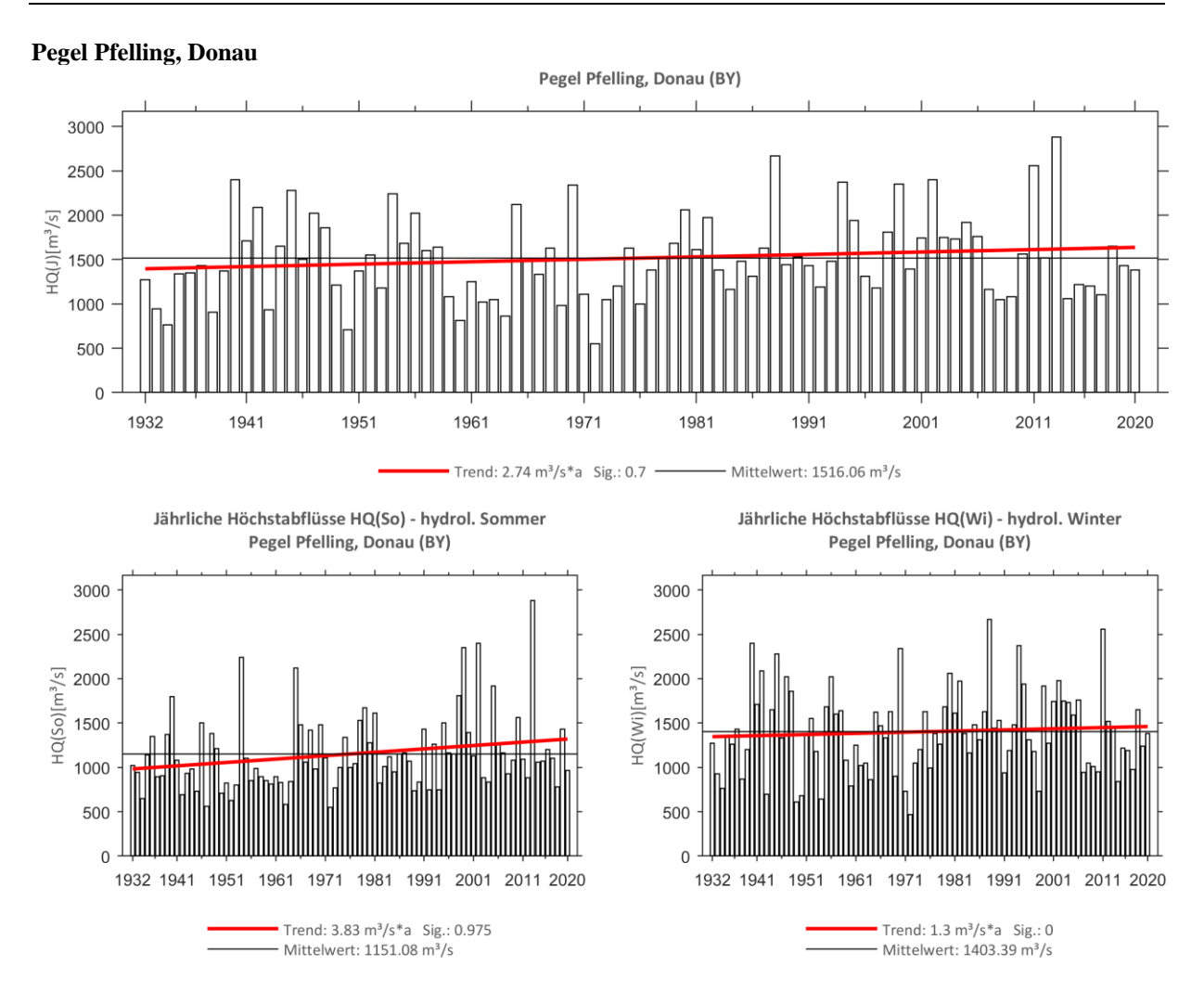


Abb. 150: Trenduntersuchungen von jährlichen Höchstabflüssen für den Zeitraum 1932 bis 2020.

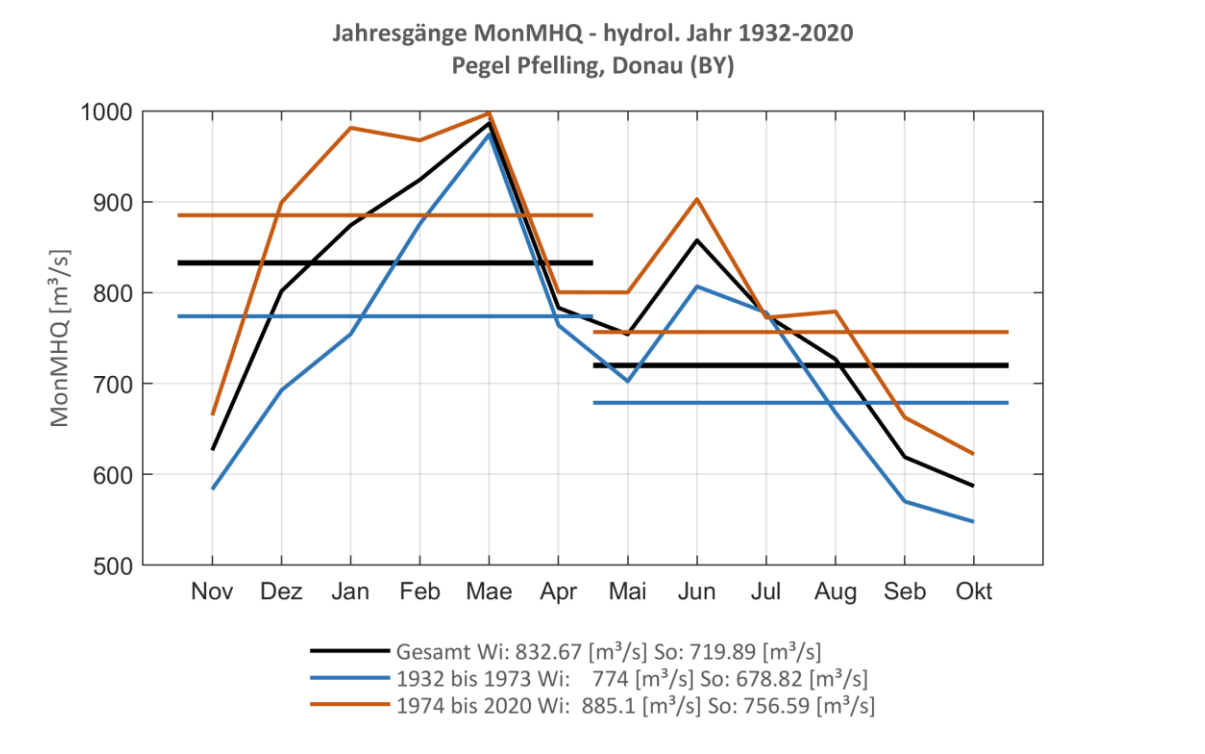


Abb. 151: Jahresgang des MonMHQ und Halbjahresmittel für 1932-2020 sowie 1932-1973 und 1974-2020



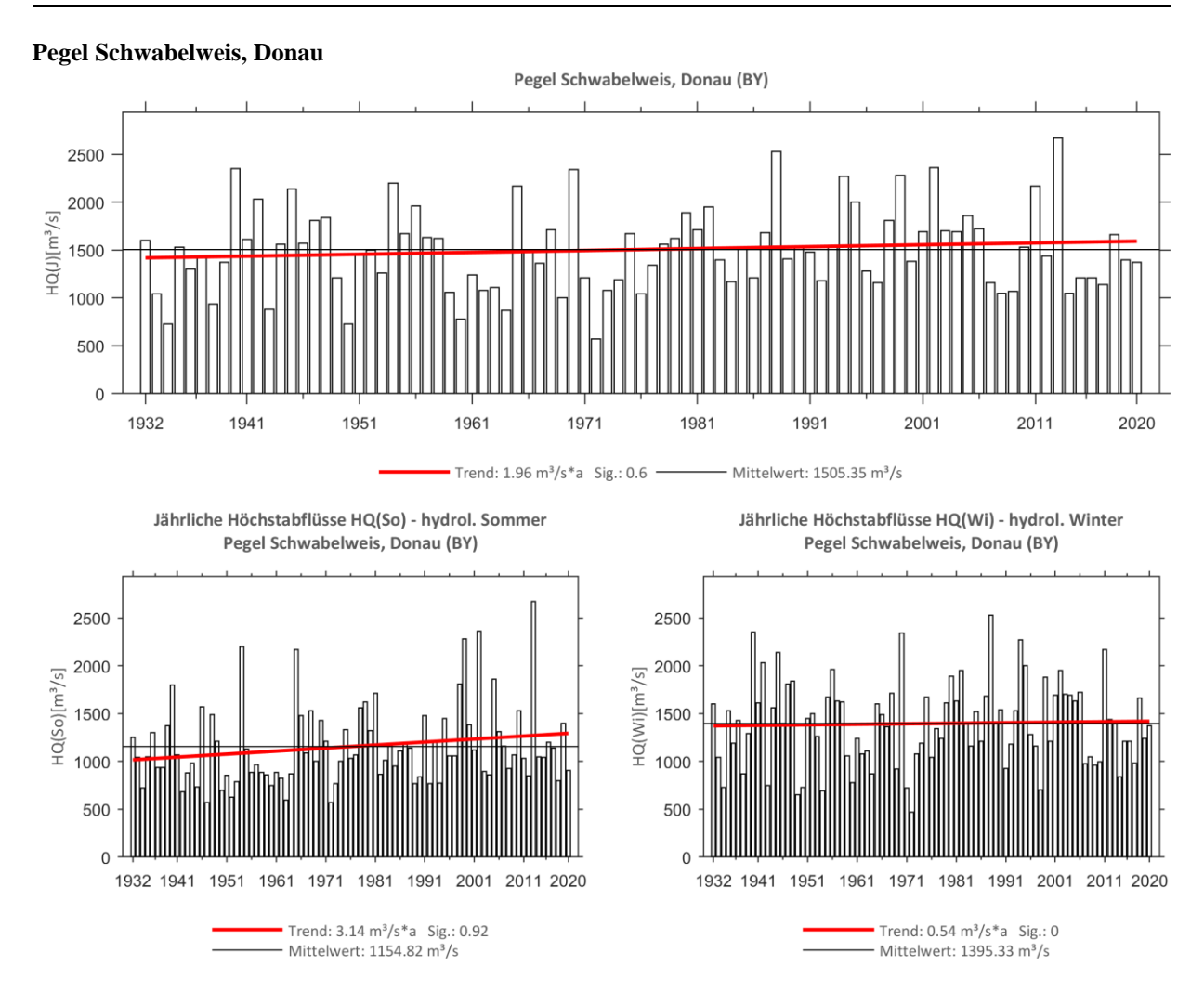


Abb. 152: Trenduntersuchungen von jährlichen Höchstabflüssen für den Zeitraum 1932 bis 2020.

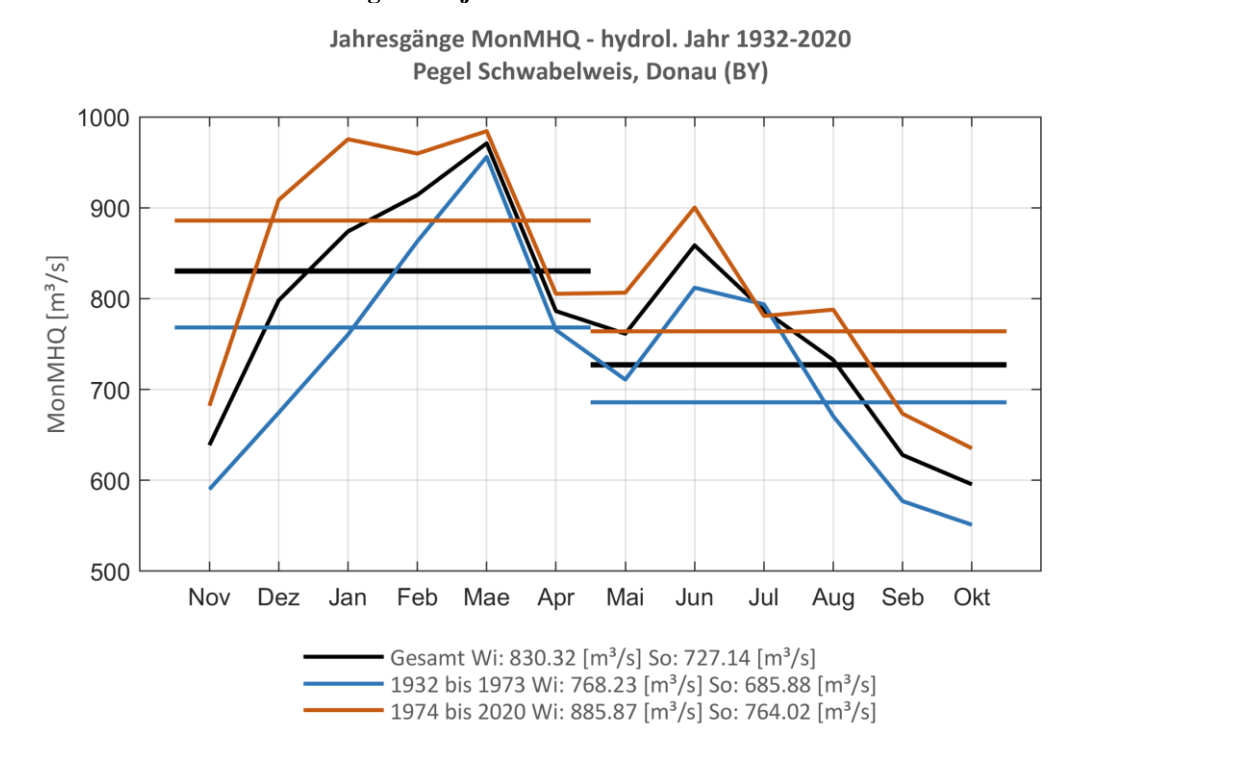


Abb. 153: Jahresgang des MonMHQ und Halbjahresmittel für 1932-2020 sowie 1932-1973 und 1974-2020



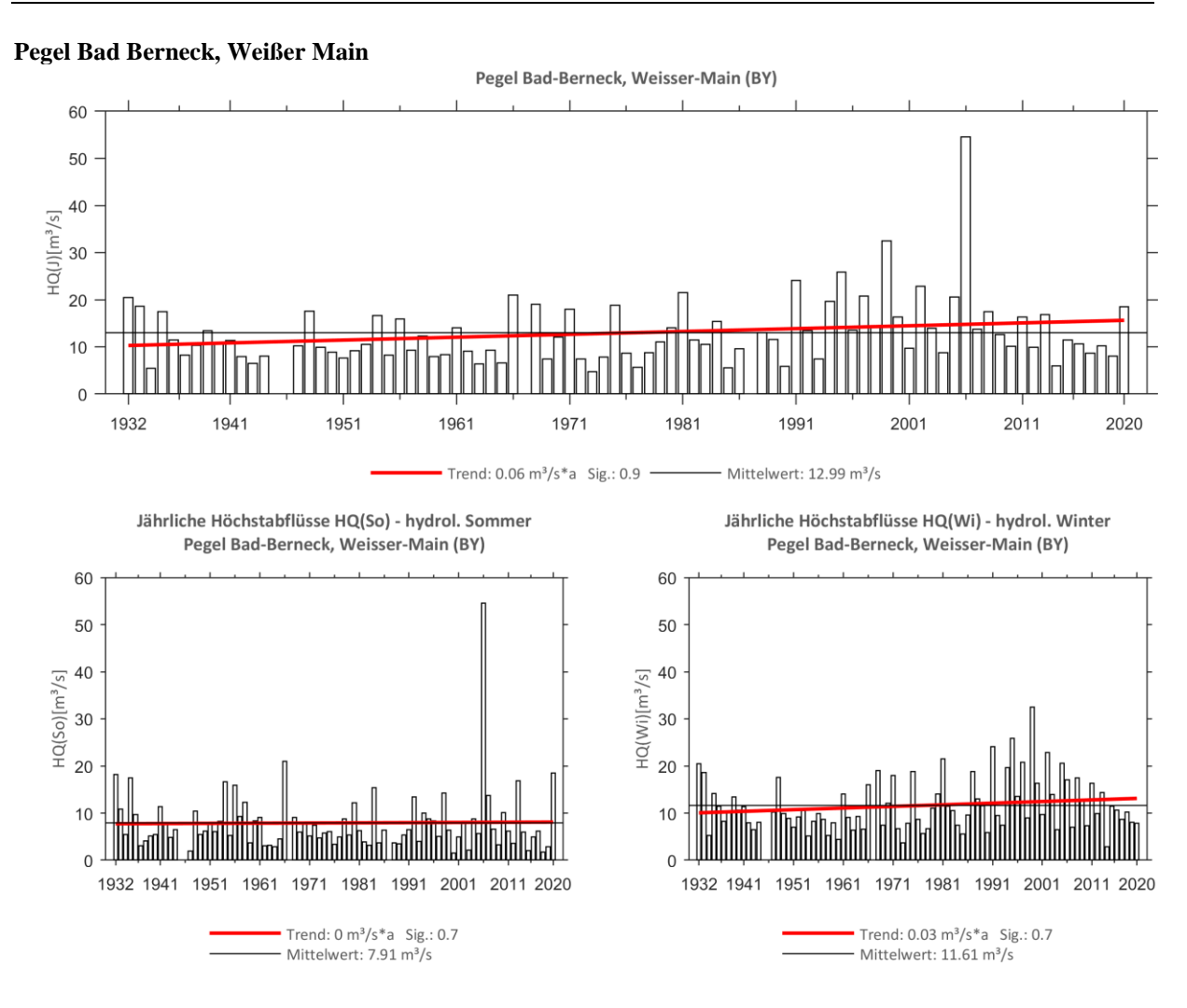


Abb. 154: Trenduntersuchungen von jährlichen Höchstabflüssen für den Zeitraum 1932 bis 2020.

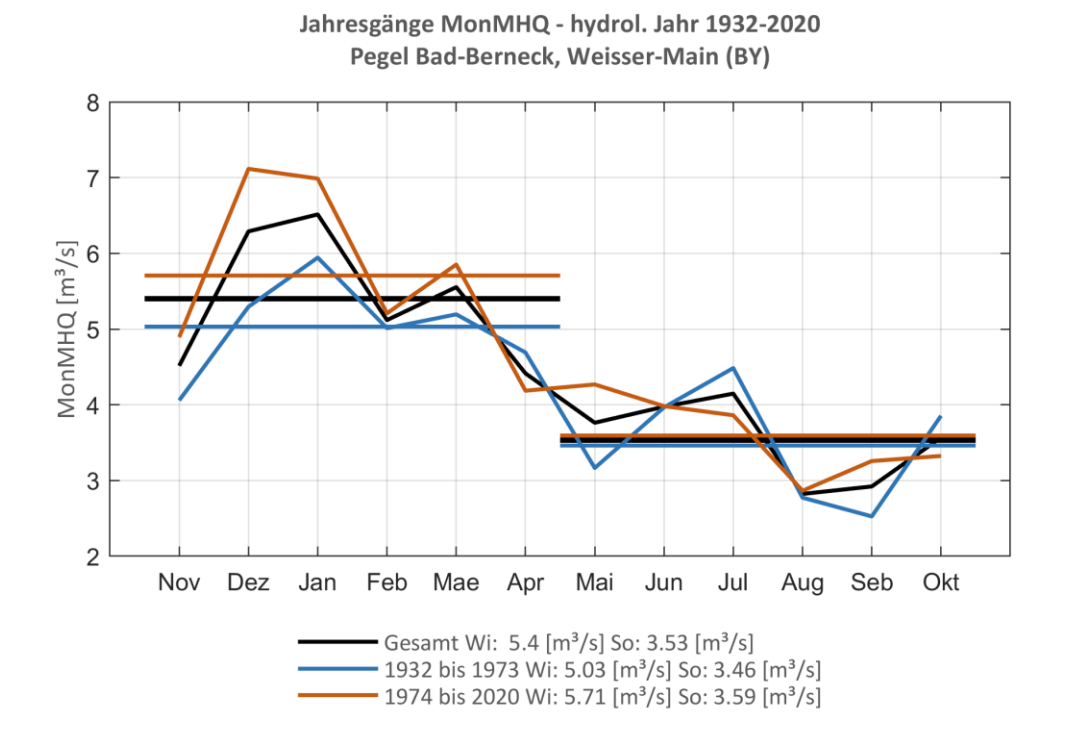


Abb. 155: Jahresgang des MonMHQ und Halbjahresmittel für 1932-2020 sowie 1932-1973 und 1974-2020



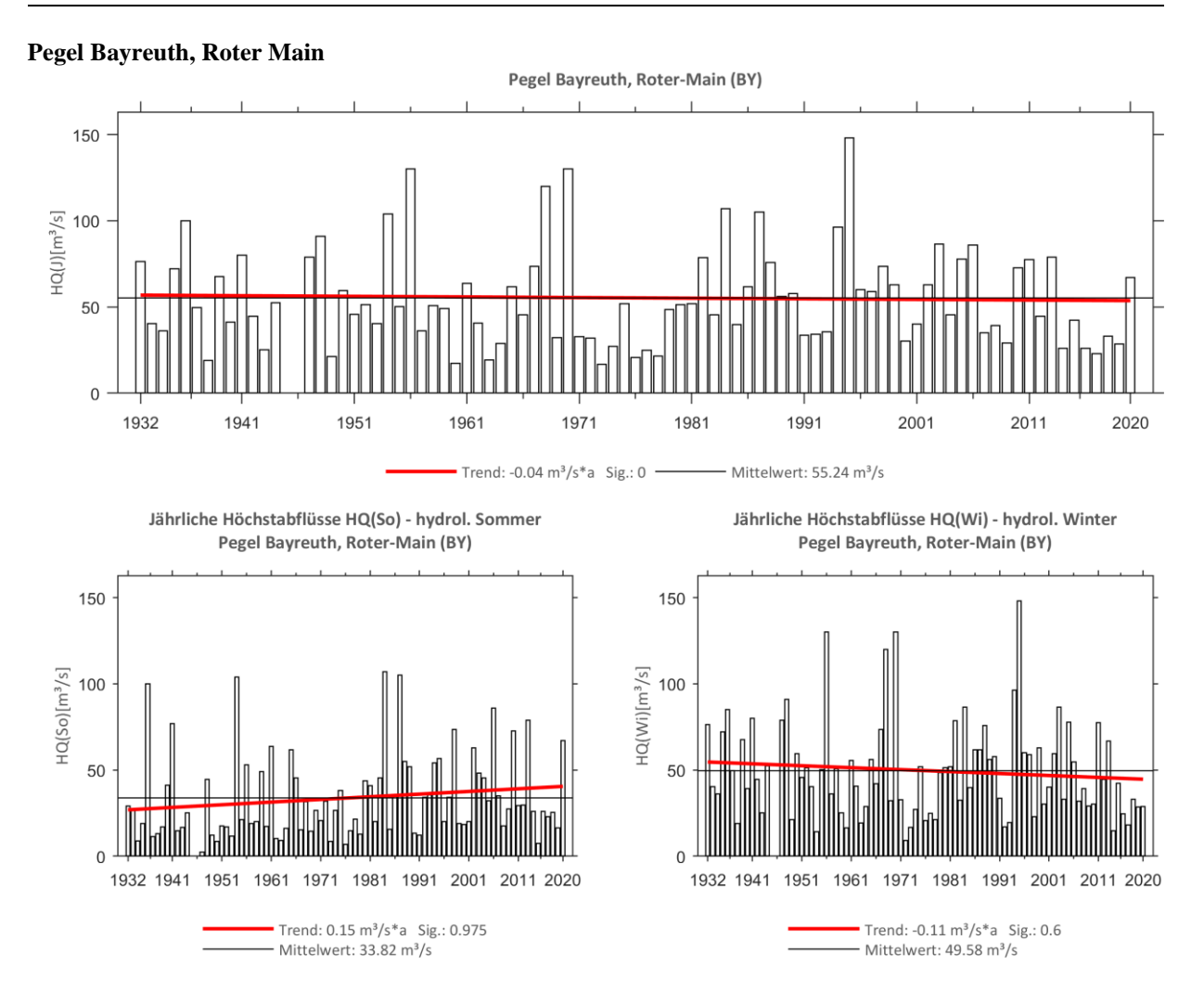


Abb. 156: Trenduntersuchungen von jährlichen Höchstabflüssen für den Zeitraum 1932 bis 2020.

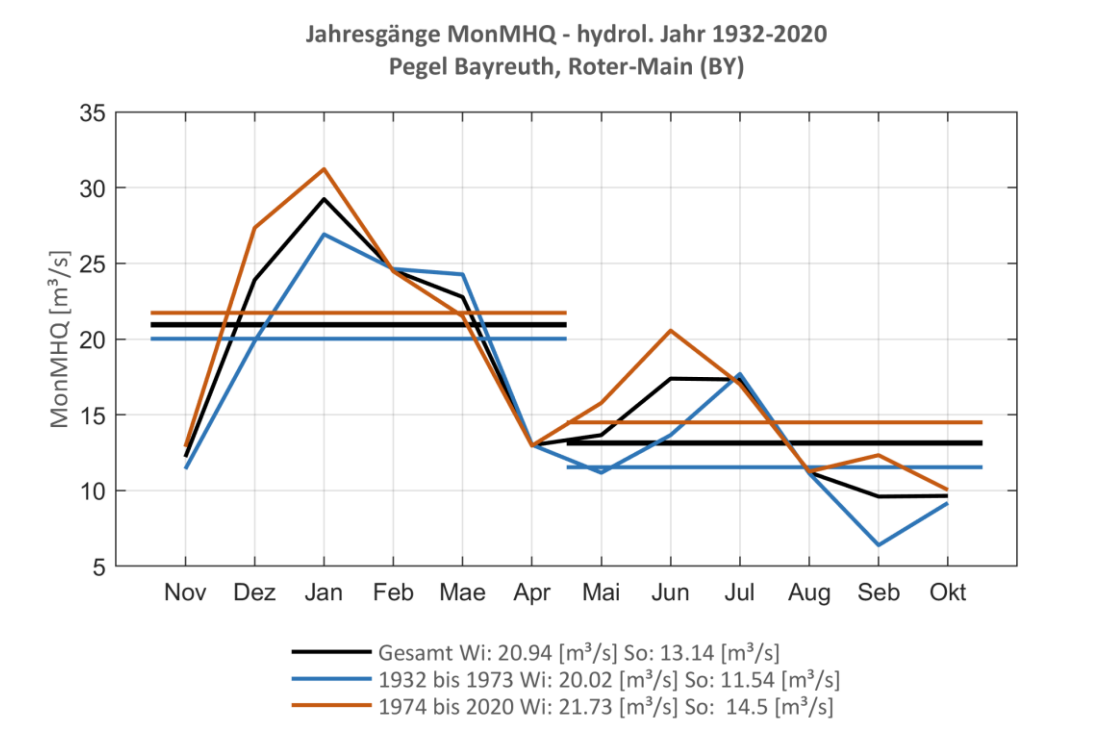


Abb. 157: Jahresgang des MonMHQ und Halbjahresmittel für 1932-2020 sowie 1932-1973 und 1974-2020



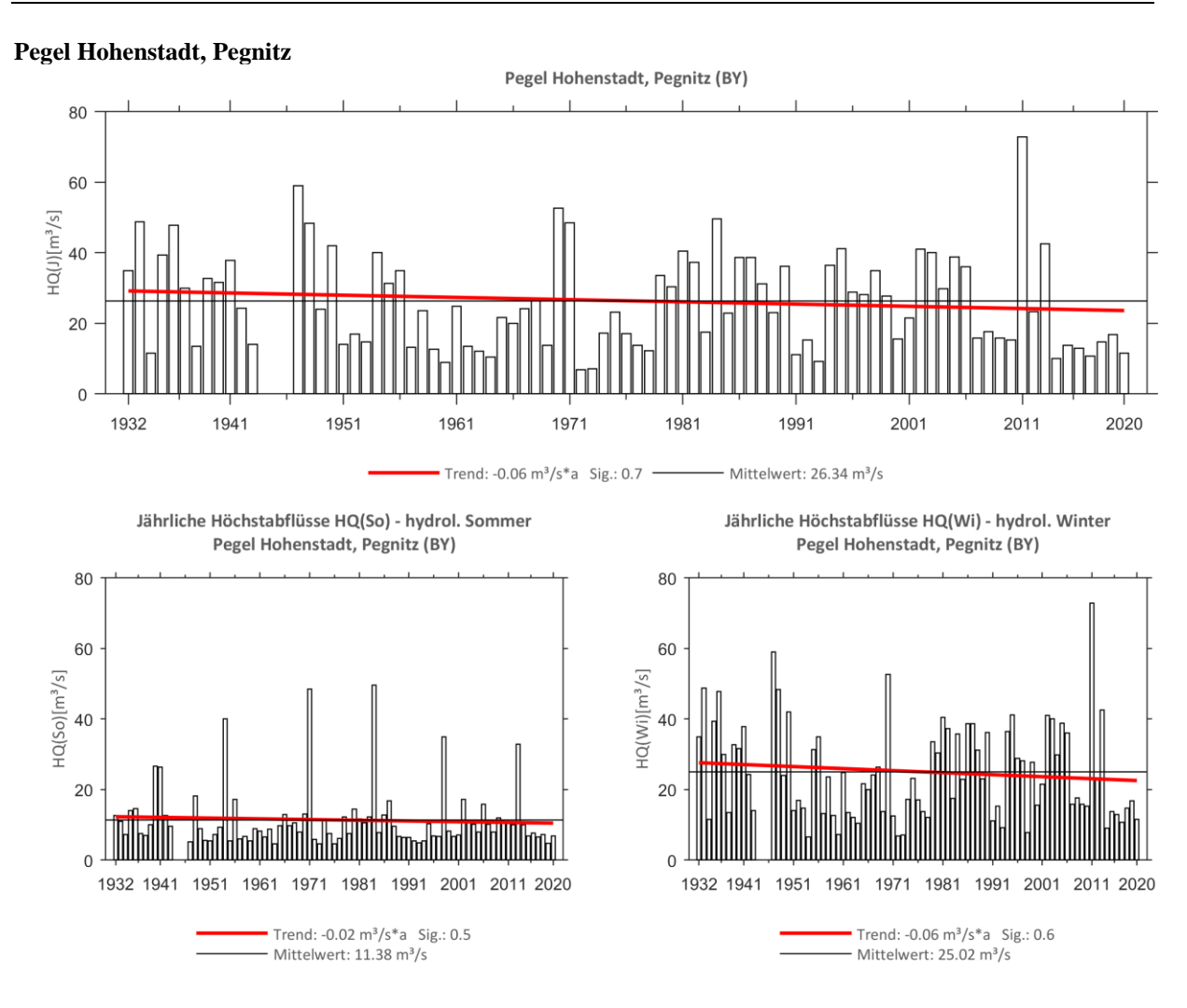


Abb. 158: Trenduntersuchungen von jährlichen Höchstabflüssen für den Zeitraum 1932 bis 2020.

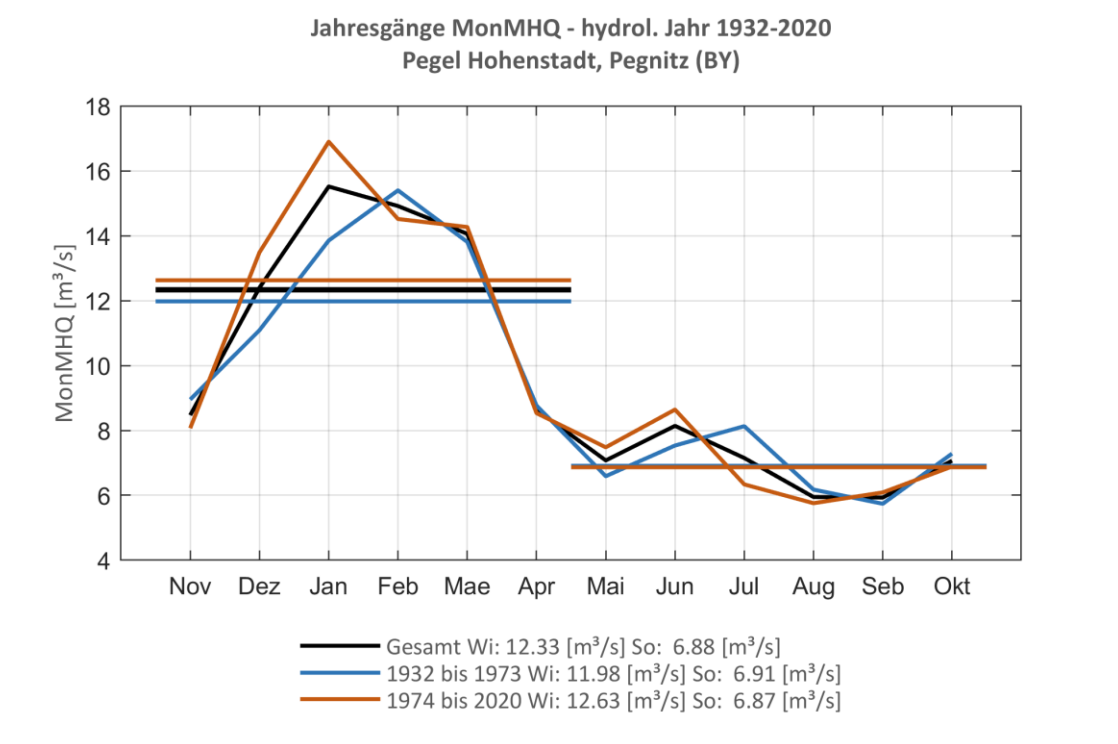


Abb. 159: Jahresgang des MonMHQ und Halbjahresmittel für 1932-2020 sowie 1932-1973 und 1974-2020



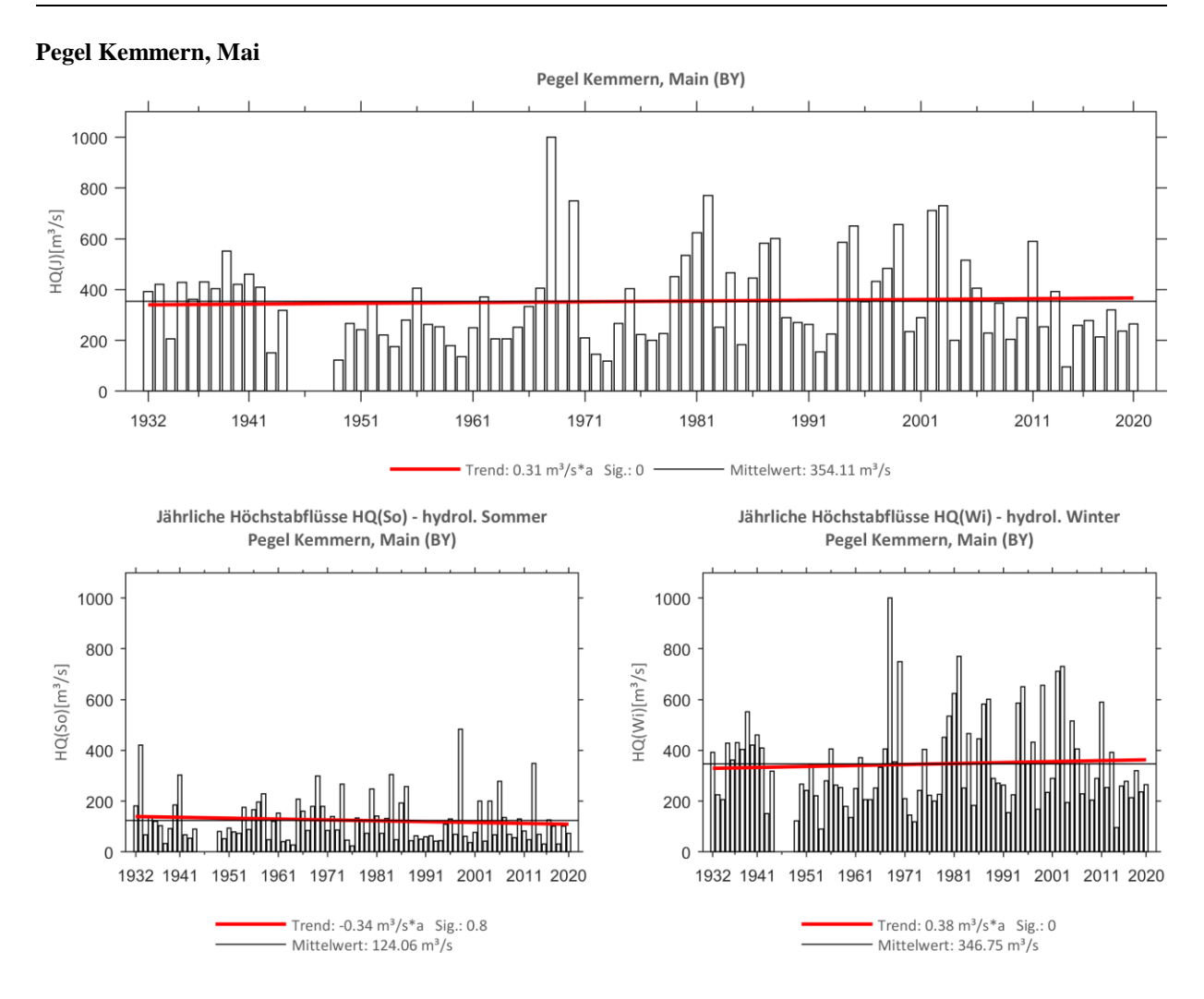


Abb. 160: Trenduntersuchungen von jährlichen Höchstabflüssen für den Zeitraum 1932 bis 2020.

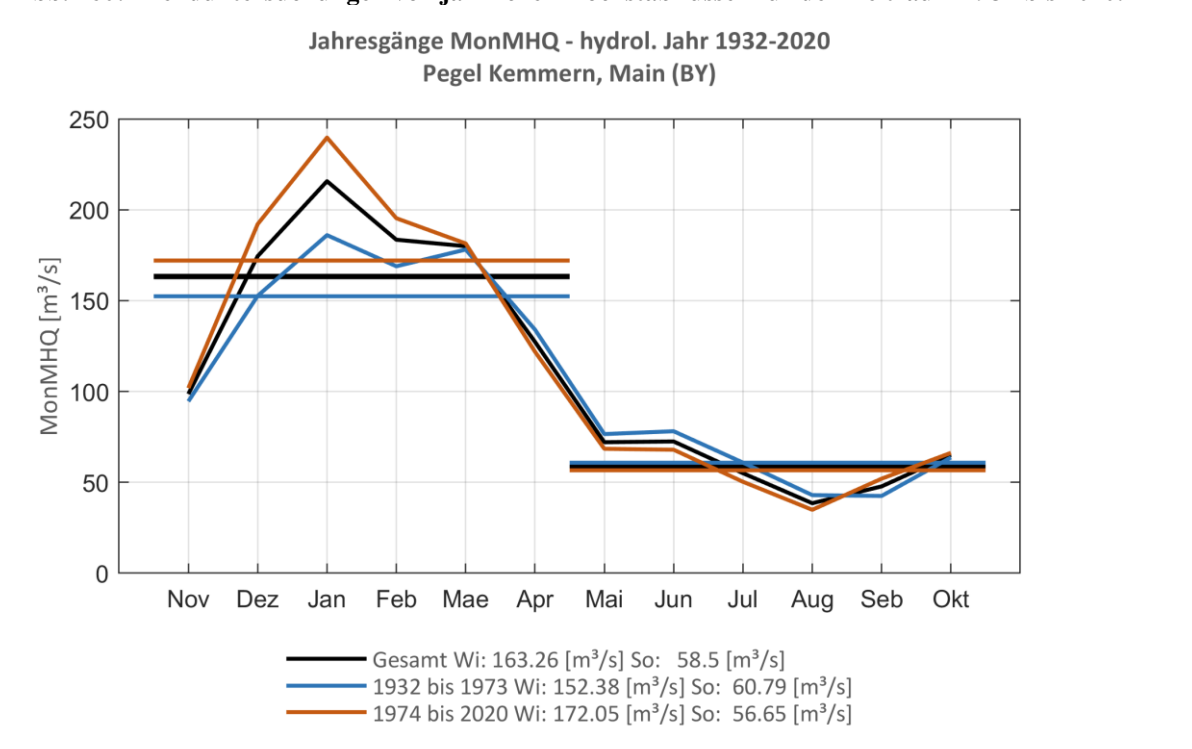


Abb. 161: Jahresgang des MonMHQ und Halbjahresmittel für 1932-2020 sowie 1932-1973 und 1974-2020



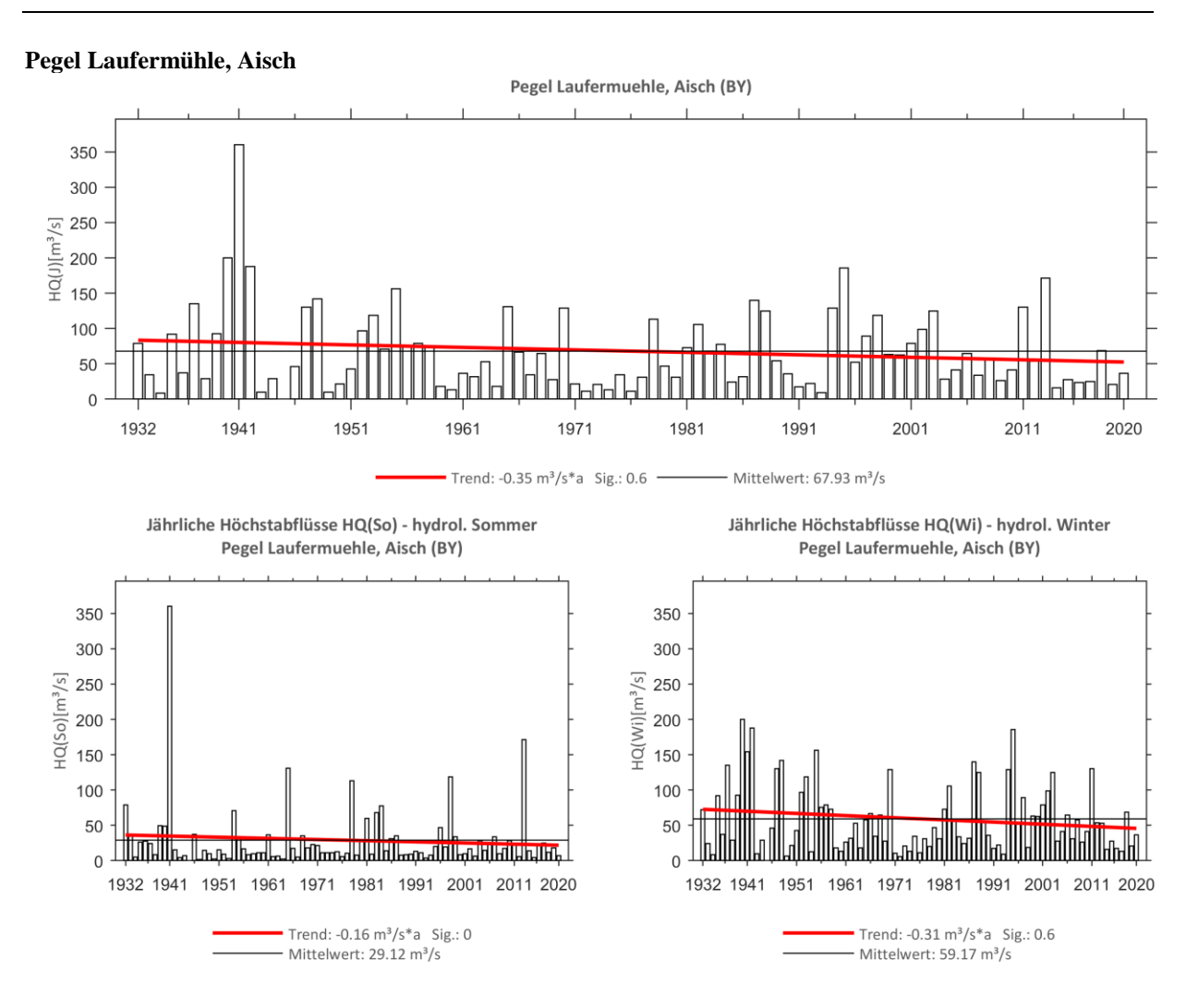


Abb. 162: Trenduntersuchungen von jährlichen Höchstabflüssen für den Zeitraum 1932 bis 2020.

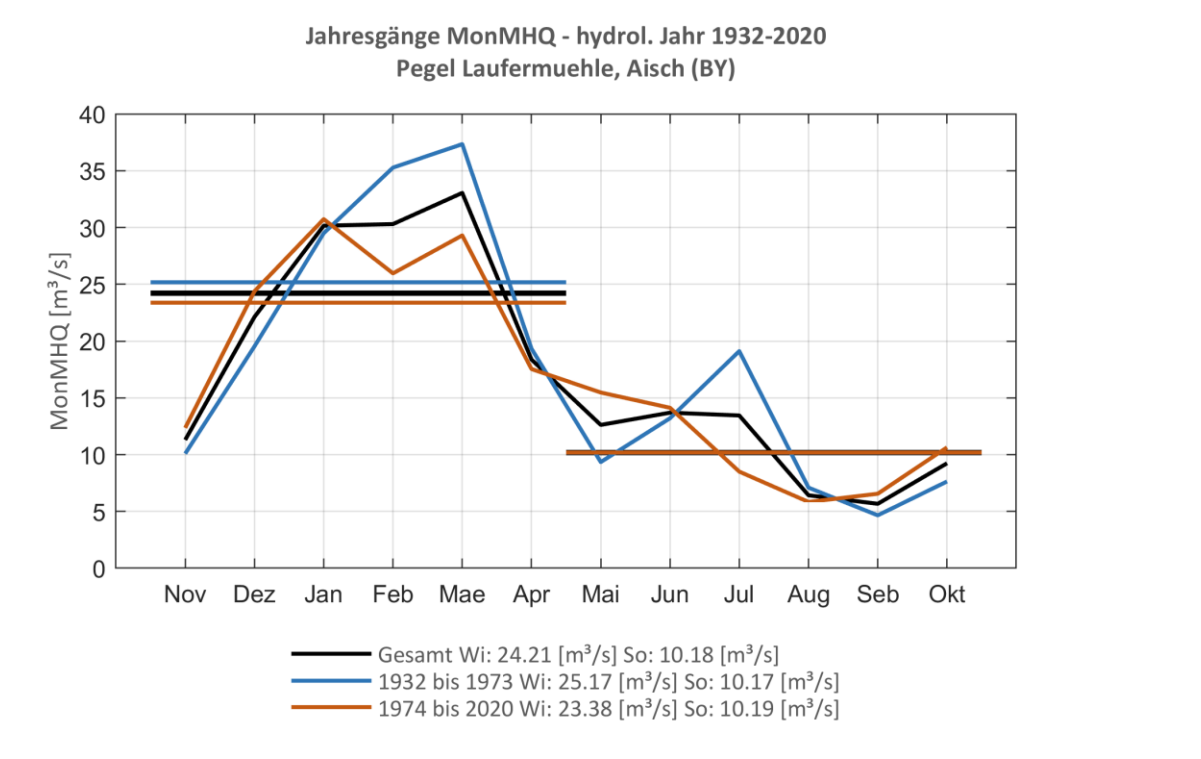


Abb. 163: Jahresgang des MonMHQ und Halbjahresmittel für 1932-2020 sowie 1932-1973 und 1974-2020



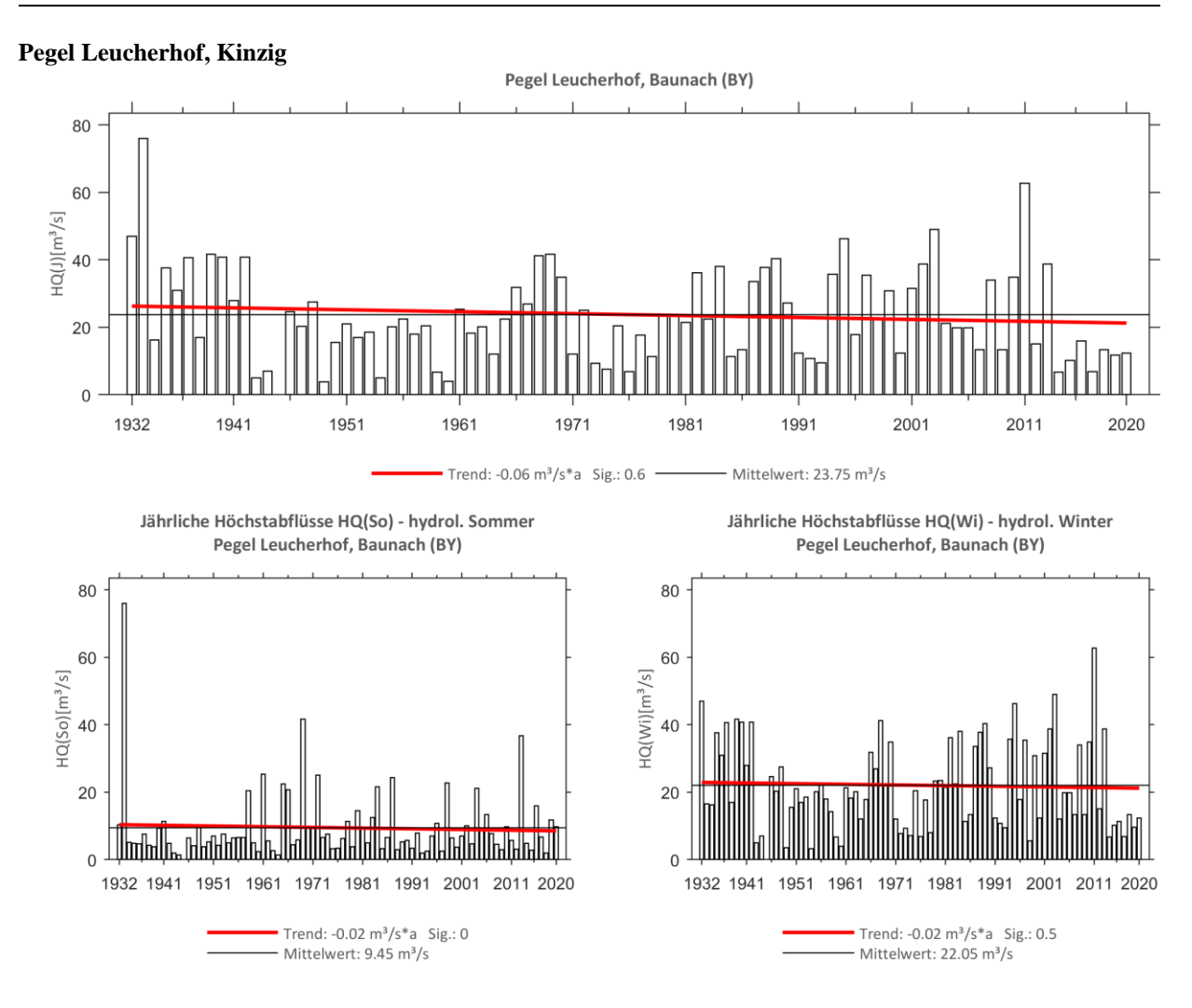


Abb. 164: Trenduntersuchungen von jährlichen Höchstabflüssen für den Zeitraum 1932 bis 2020.

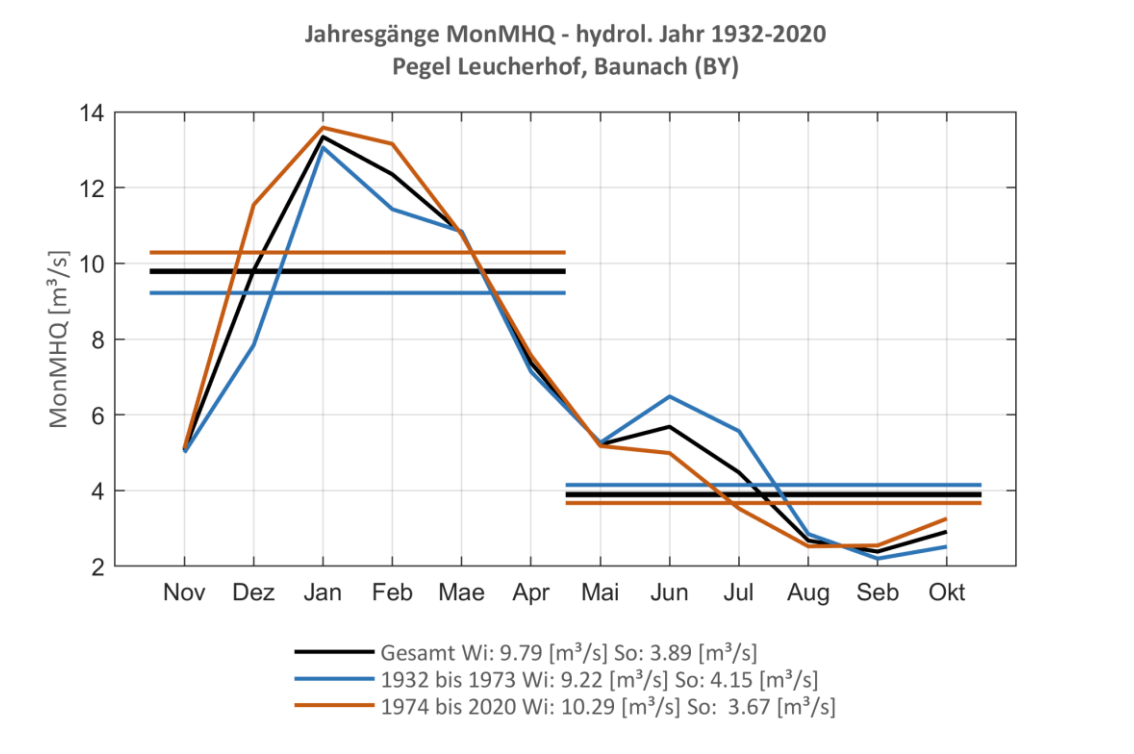


Abb. 165: Jahresgang des MonMHQ und Halbjahresmittel für 1932-2020 sowie 1932-1973 und 1974-2020



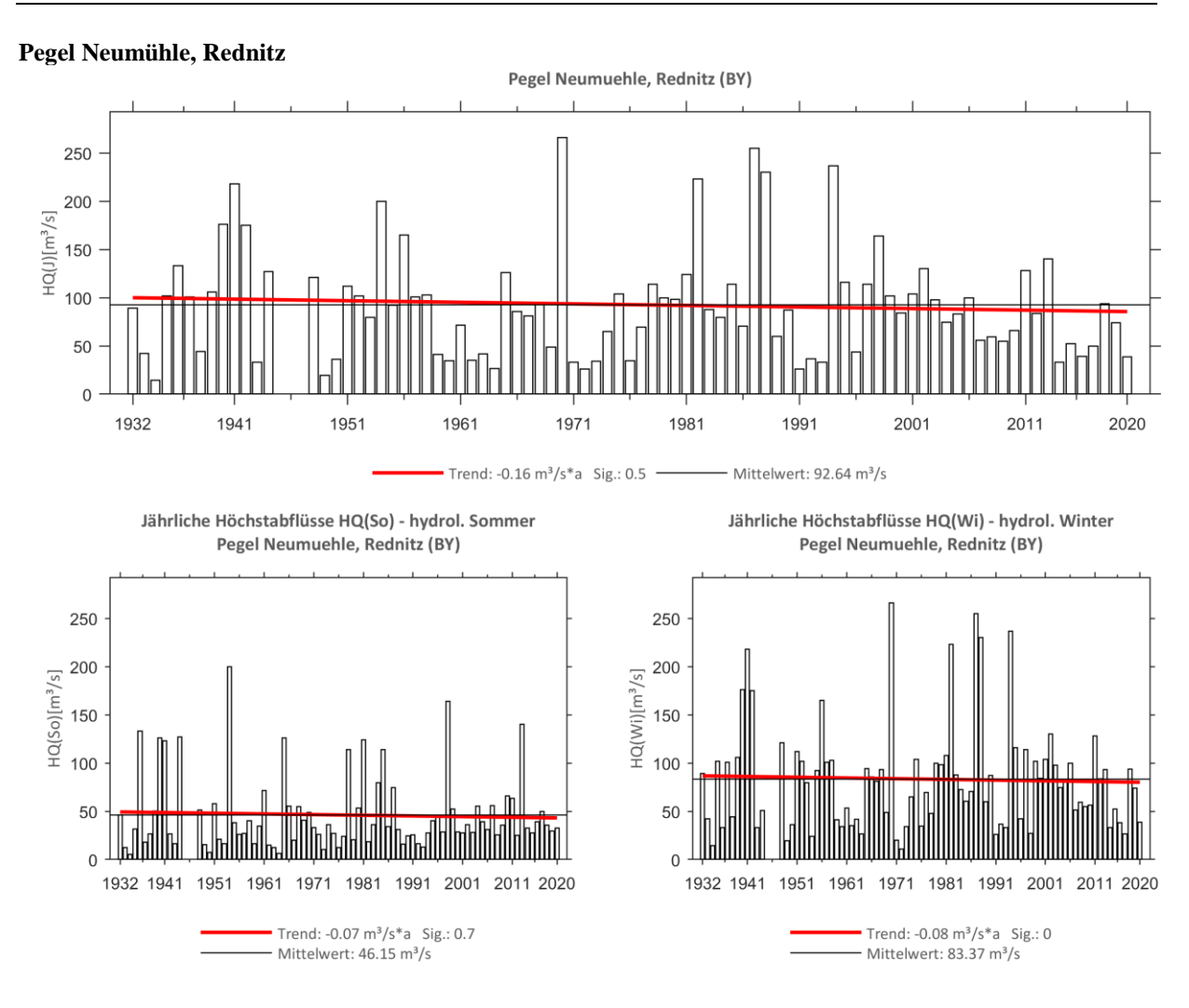


Abb. 166: Trenduntersuchungen von jährlichen Höchstabflüssen für den Zeitraum 1932 bis 2020.

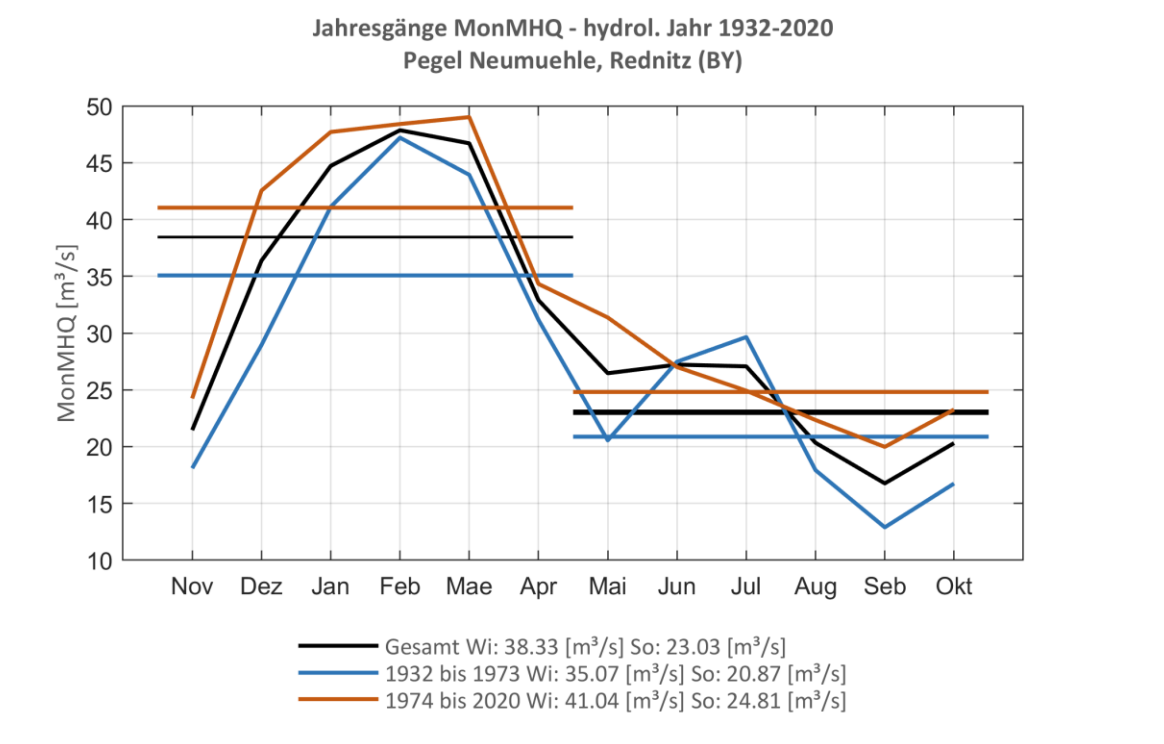


Abb. 167: Jahresgang des MonMHQ und Halbjahresmittel für 1932-2020 sowie 1932-1973 und 1974-2020



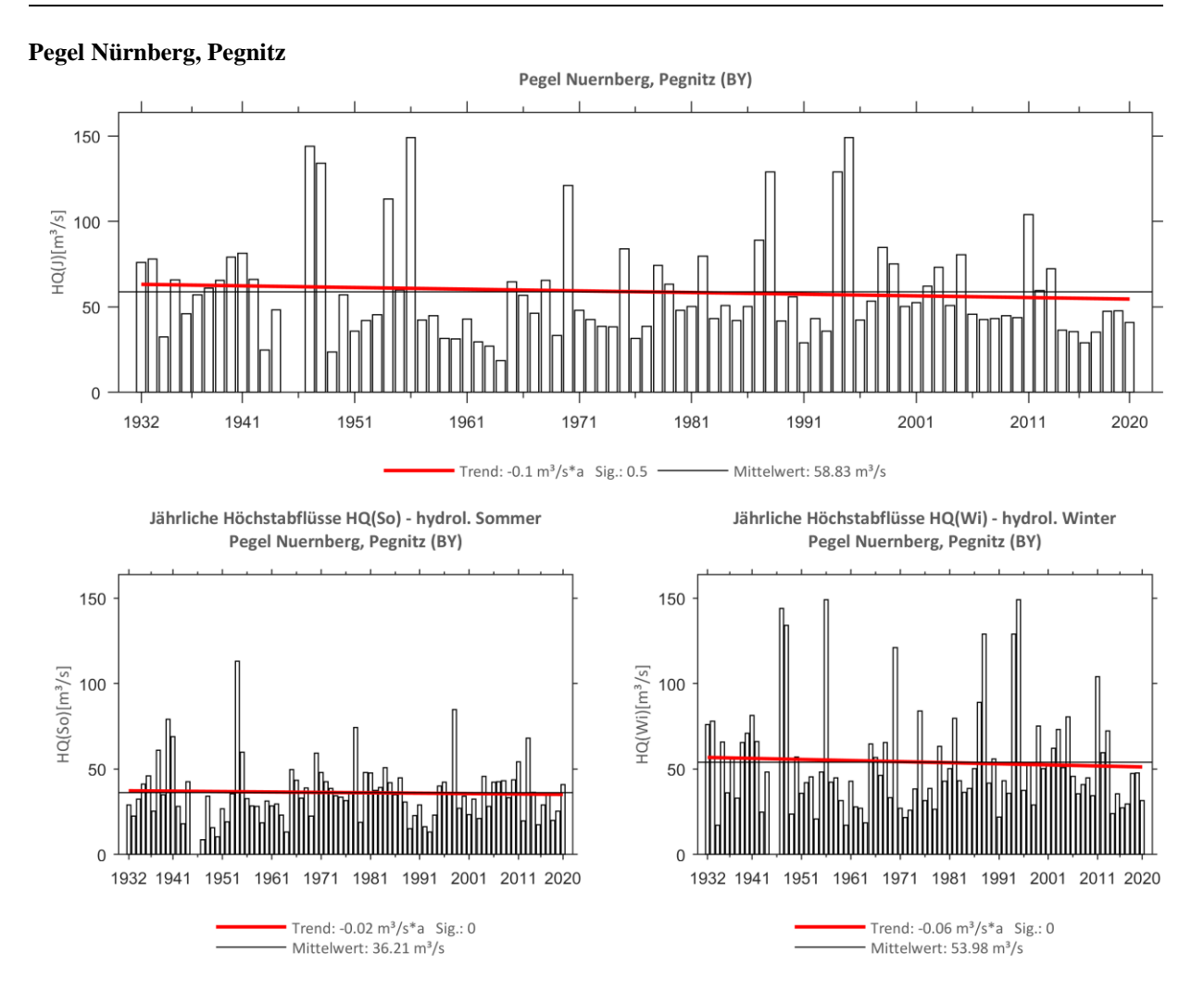


Abb. 168: Trenduntersuchungen von jährlichen Höchstabflüssen für den Zeitraum 1932 bis 2020.

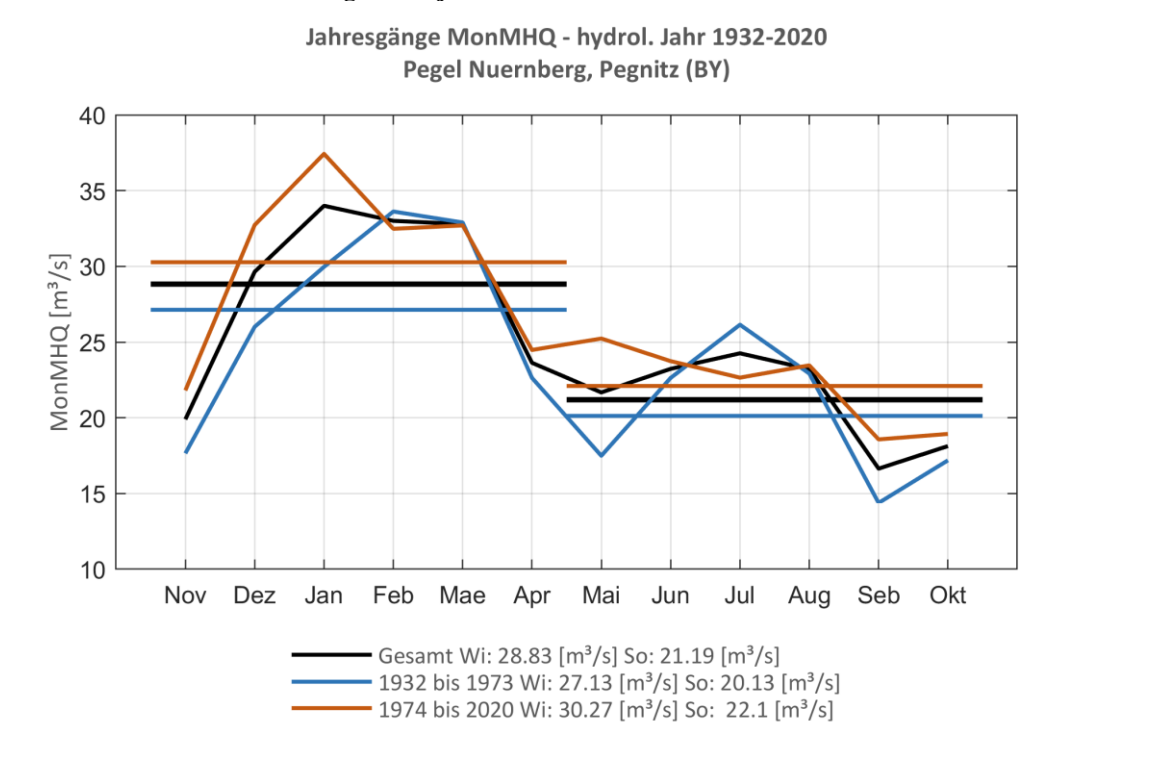


Abb. 169: Jahresgang des MonMHQ und Halbjahresmittel für 1932-2020 sowie 1932-1973 und 1974-2020



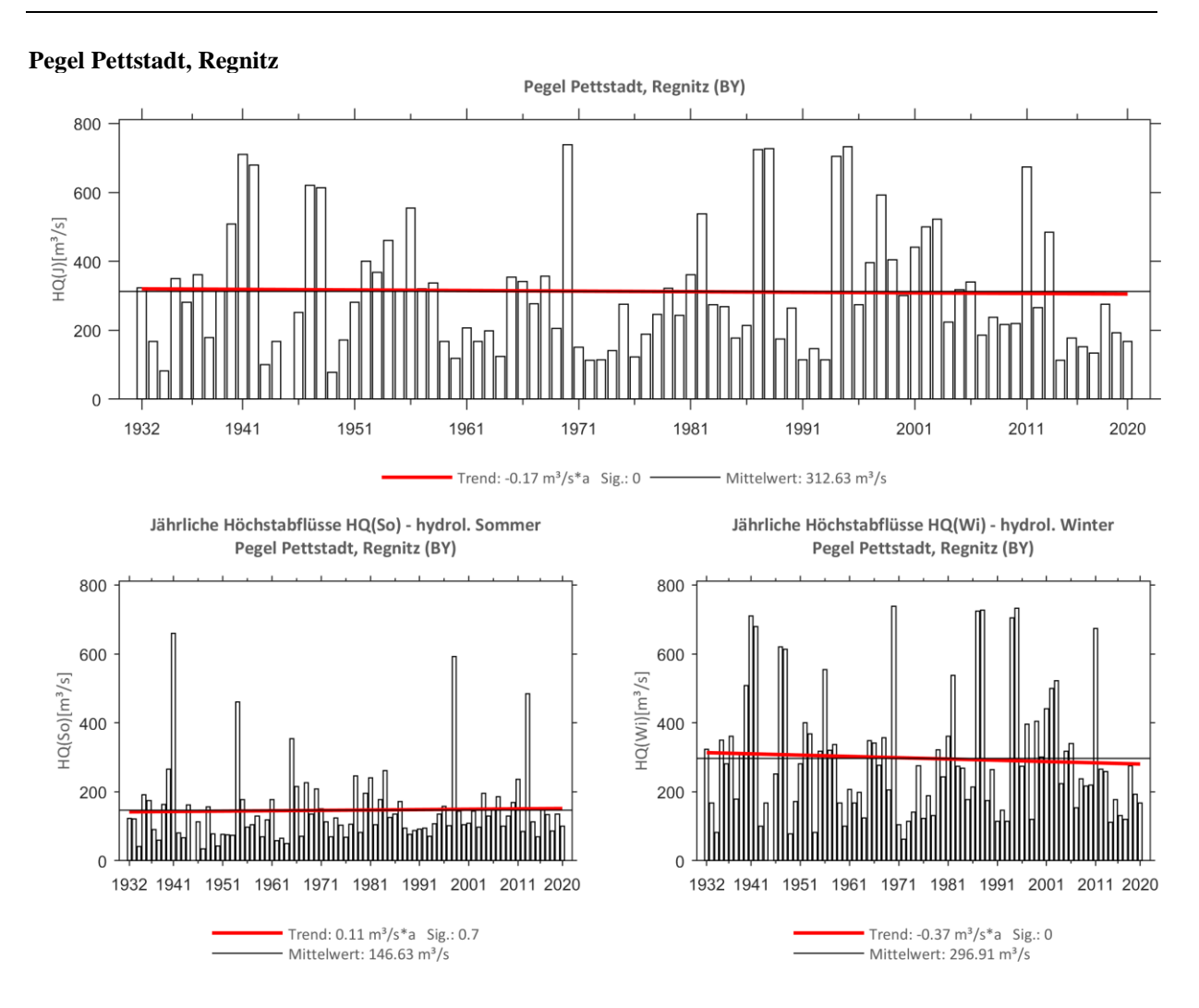


Abb. 170: Trenduntersuchungen von jährlichen Höchstabflüssen für den Zeitraum 1932 bis 2020.

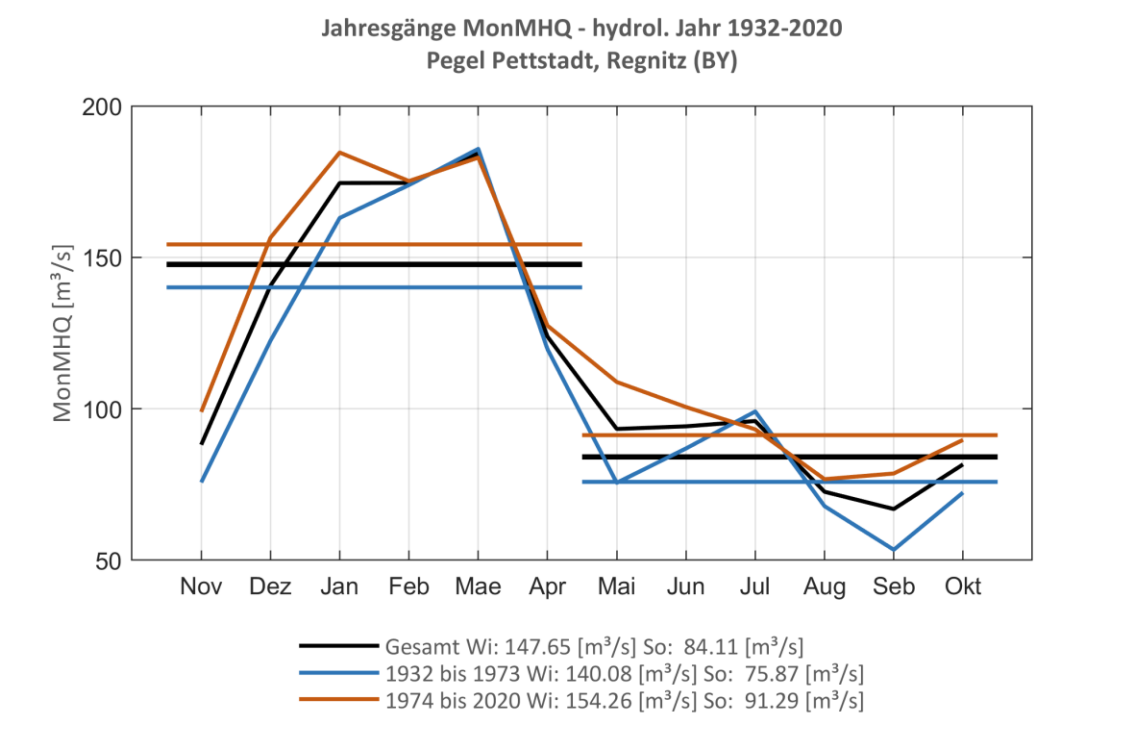


Abb. 171: Jahresgang des MonMHQ und Halbjahresmittel für 1932-2020 sowie 1932-1973 und 1974-2020



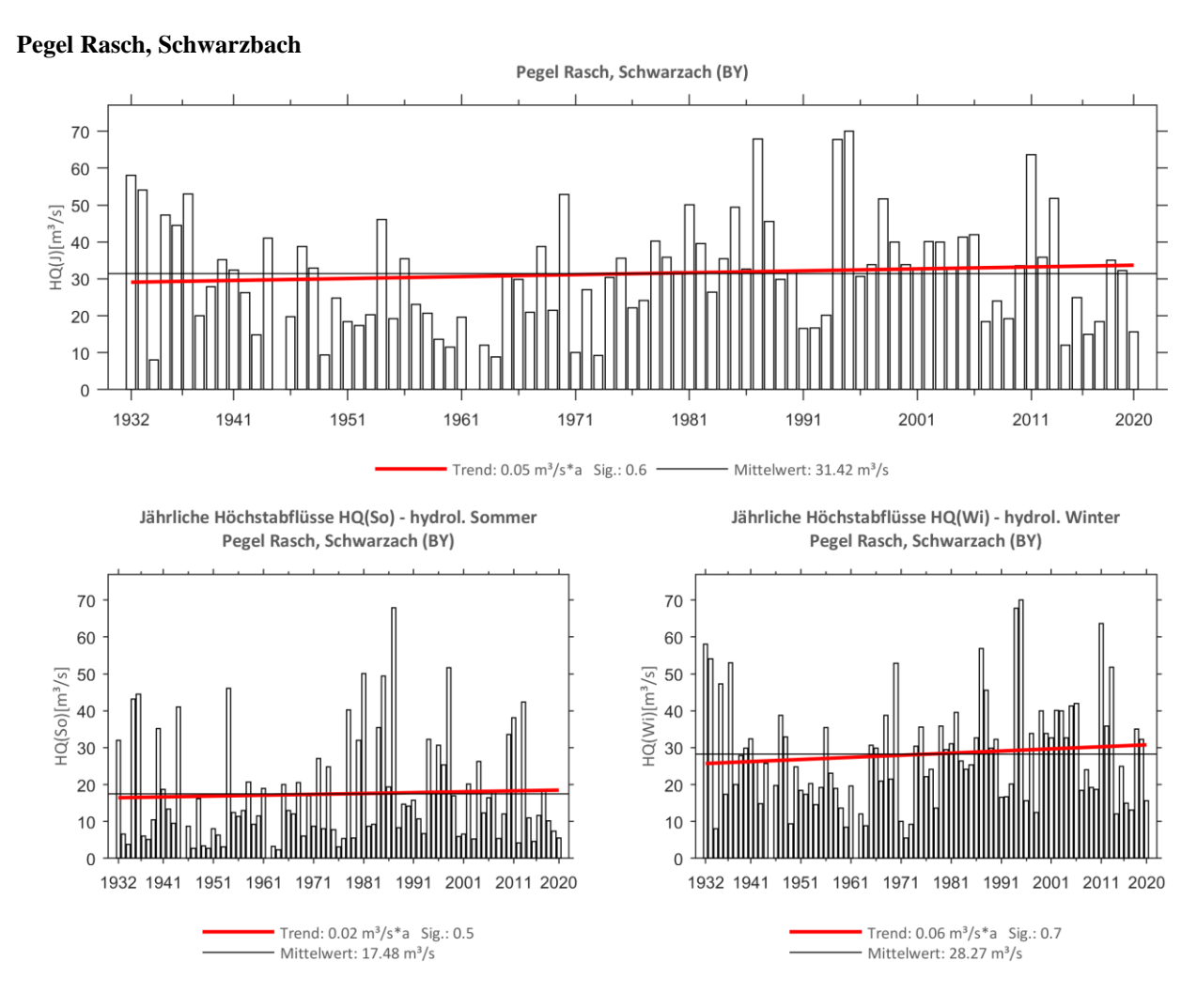


Abb. 172: Trenduntersuchungen von jährlichen Höchstabflüssen für den Zeitraum 1932 bis 2020.

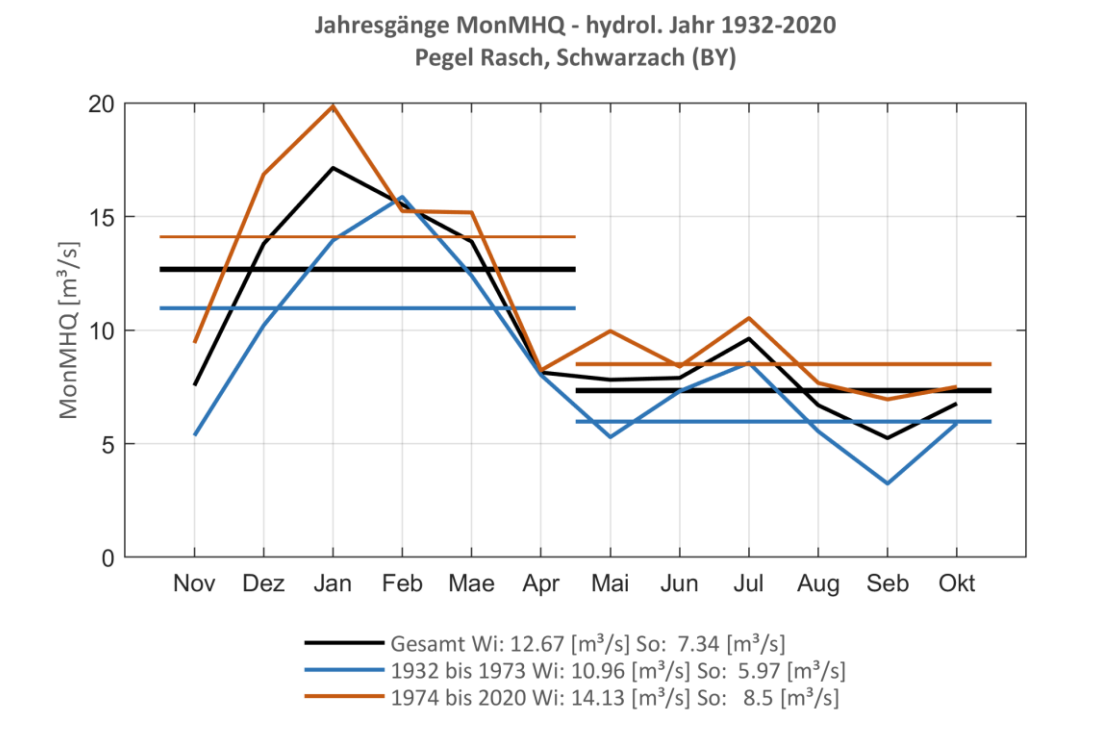


Abb. 173: Jahresgang des MonMHQ und Halbjahresmittel für 1932-2020 sowie 1932-1973 und 1974-2020



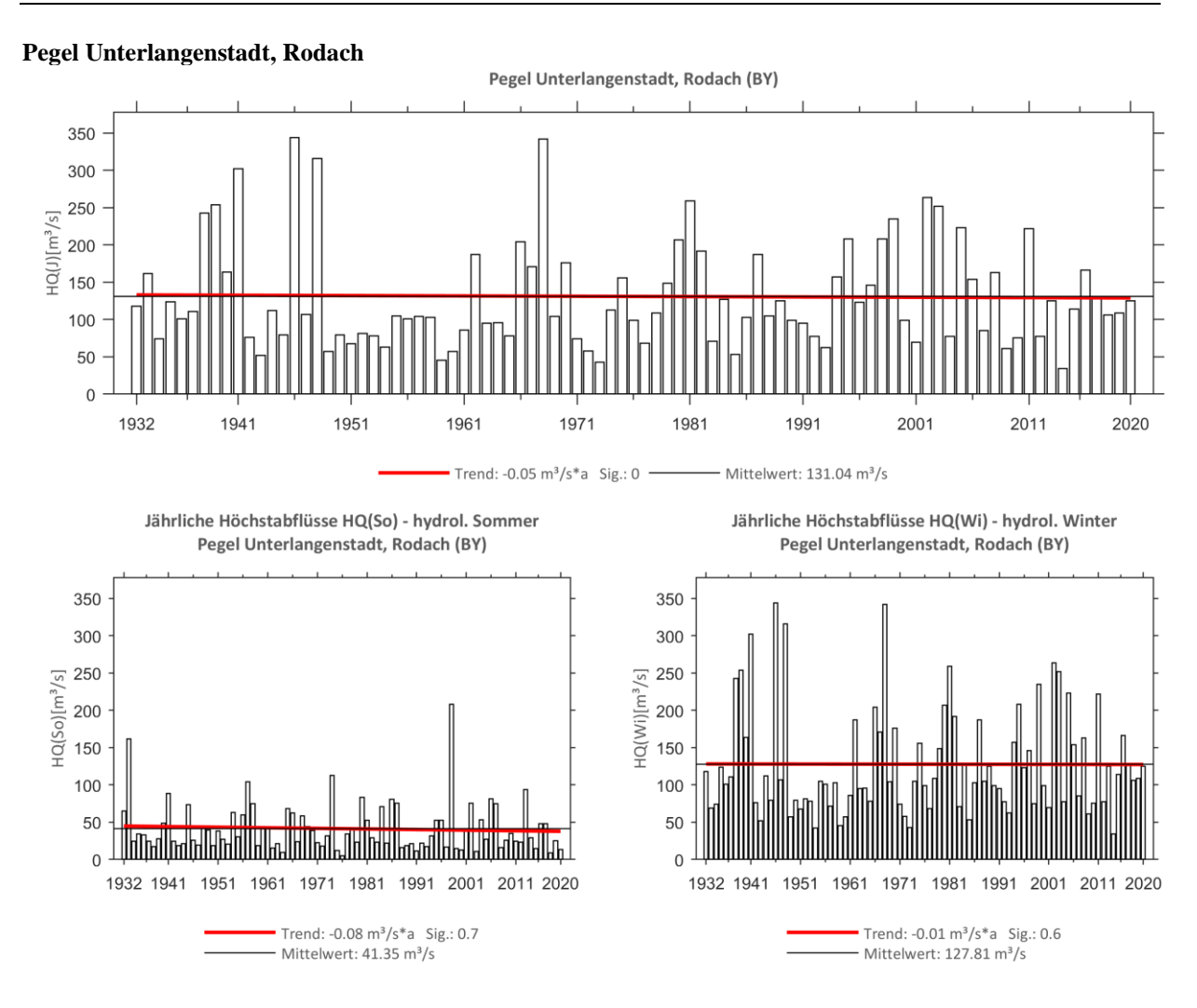


Abb. 174: Trenduntersuchungen von jährlichen Höchstabflüssen für den Zeitraum 1932 bis 2020.

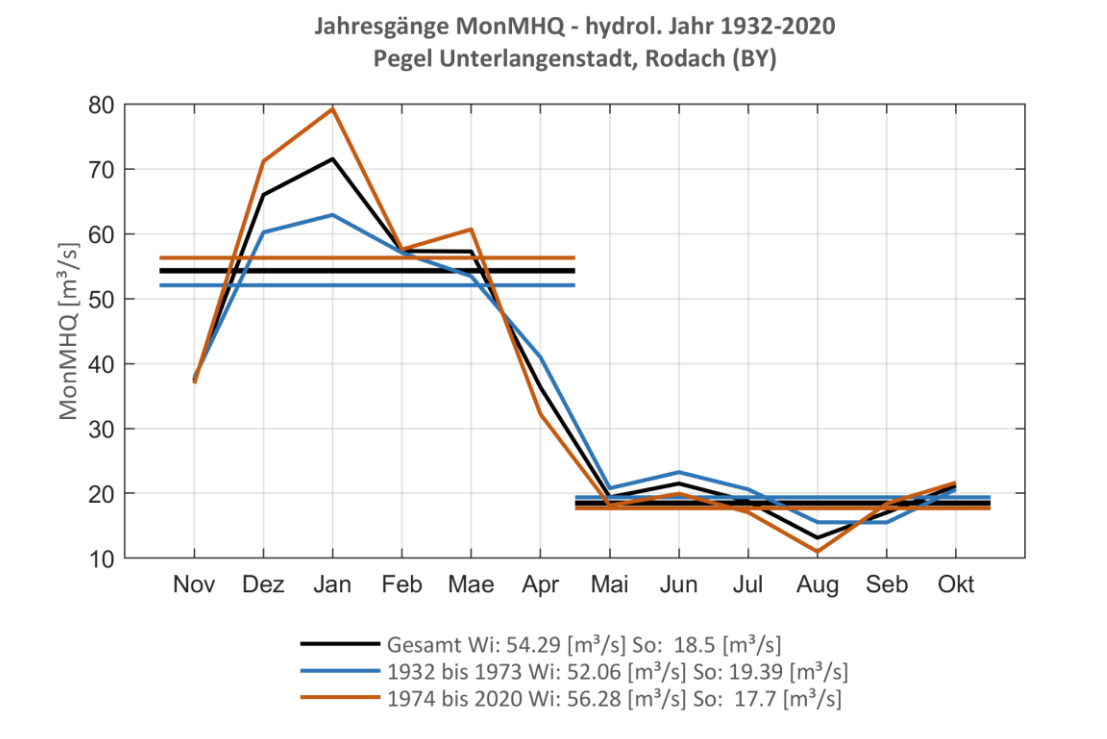


Abb. 175: Jahresgang des MonMHQ und Halbjahresmittel für 1932-2020 sowie 1932-1973 und 1974-2020



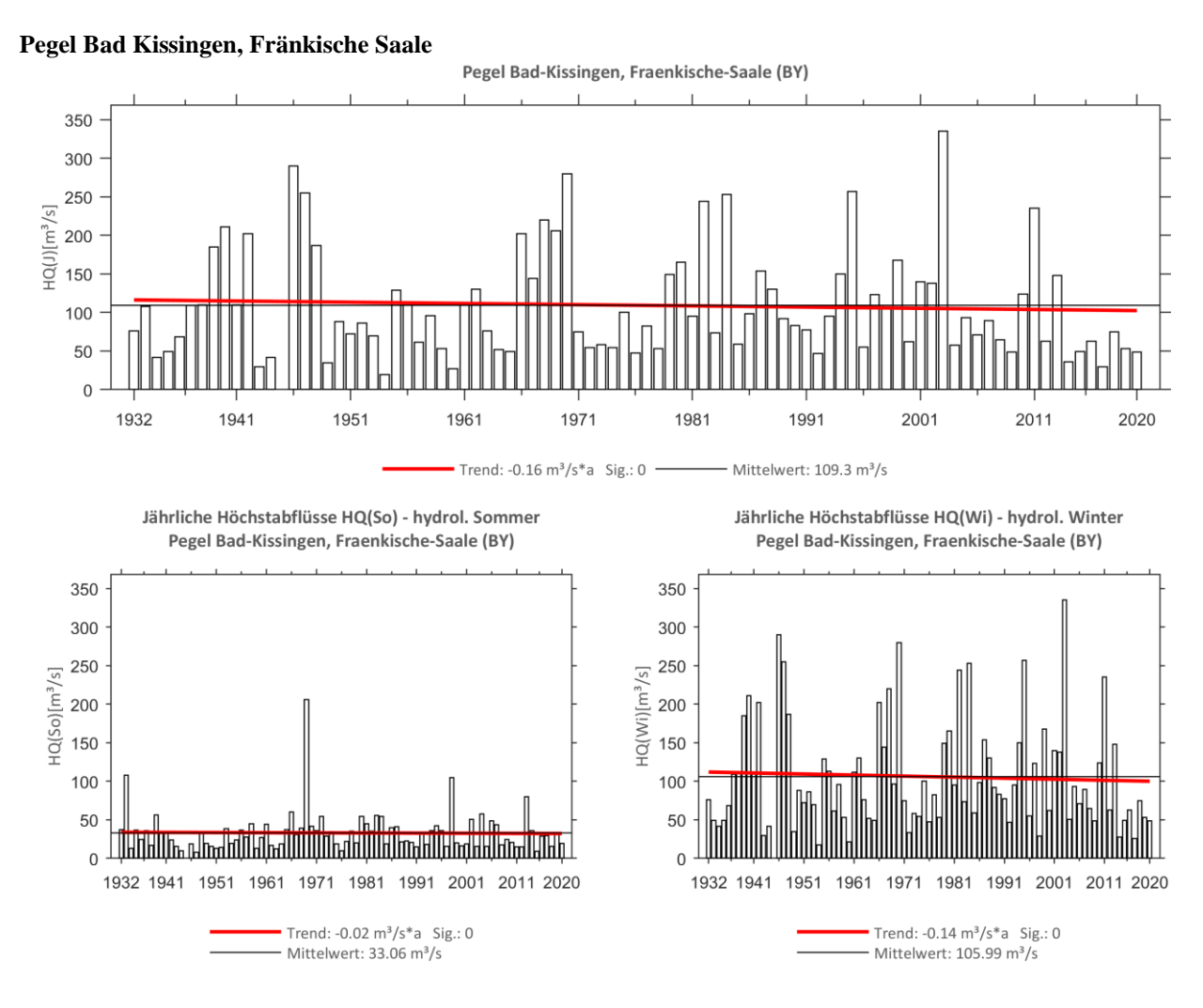


Abb. 176: Trenduntersuchungen von jährlichen Höchstabflüssen für den Zeitraum 1932 bis 2020.

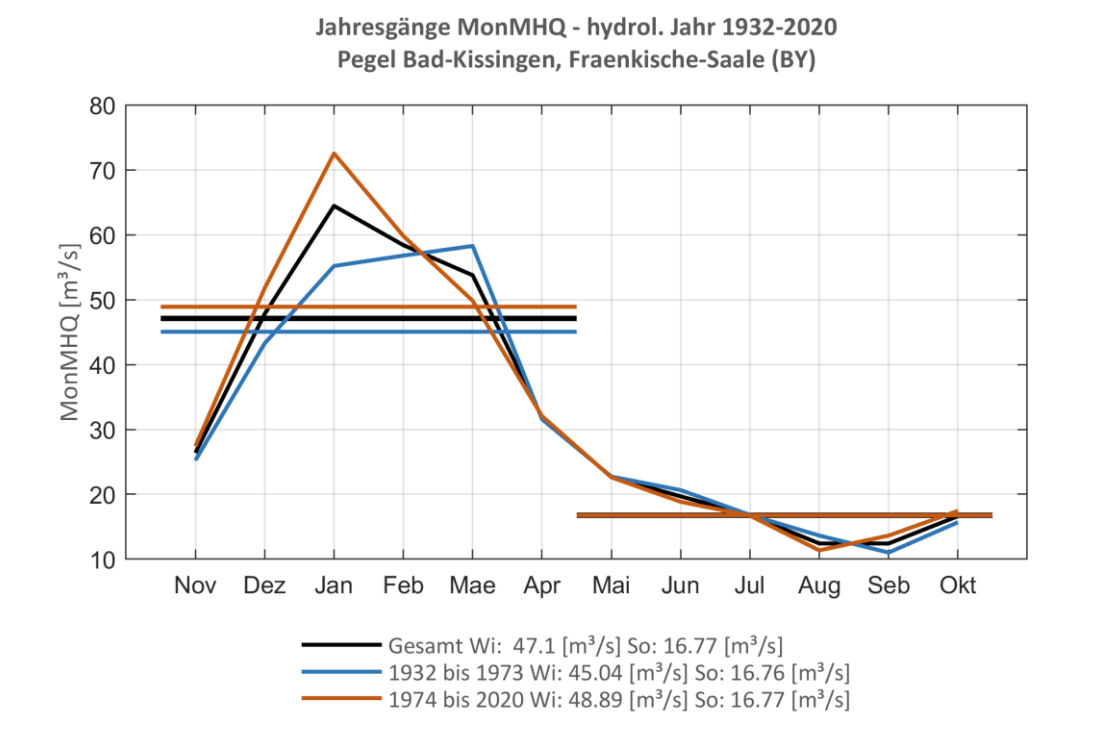


Abb. 177: Jahresgang des MonMHQ und Halbjahresmittel für 1932-2020 sowie 1932-1973 und 1974-2020



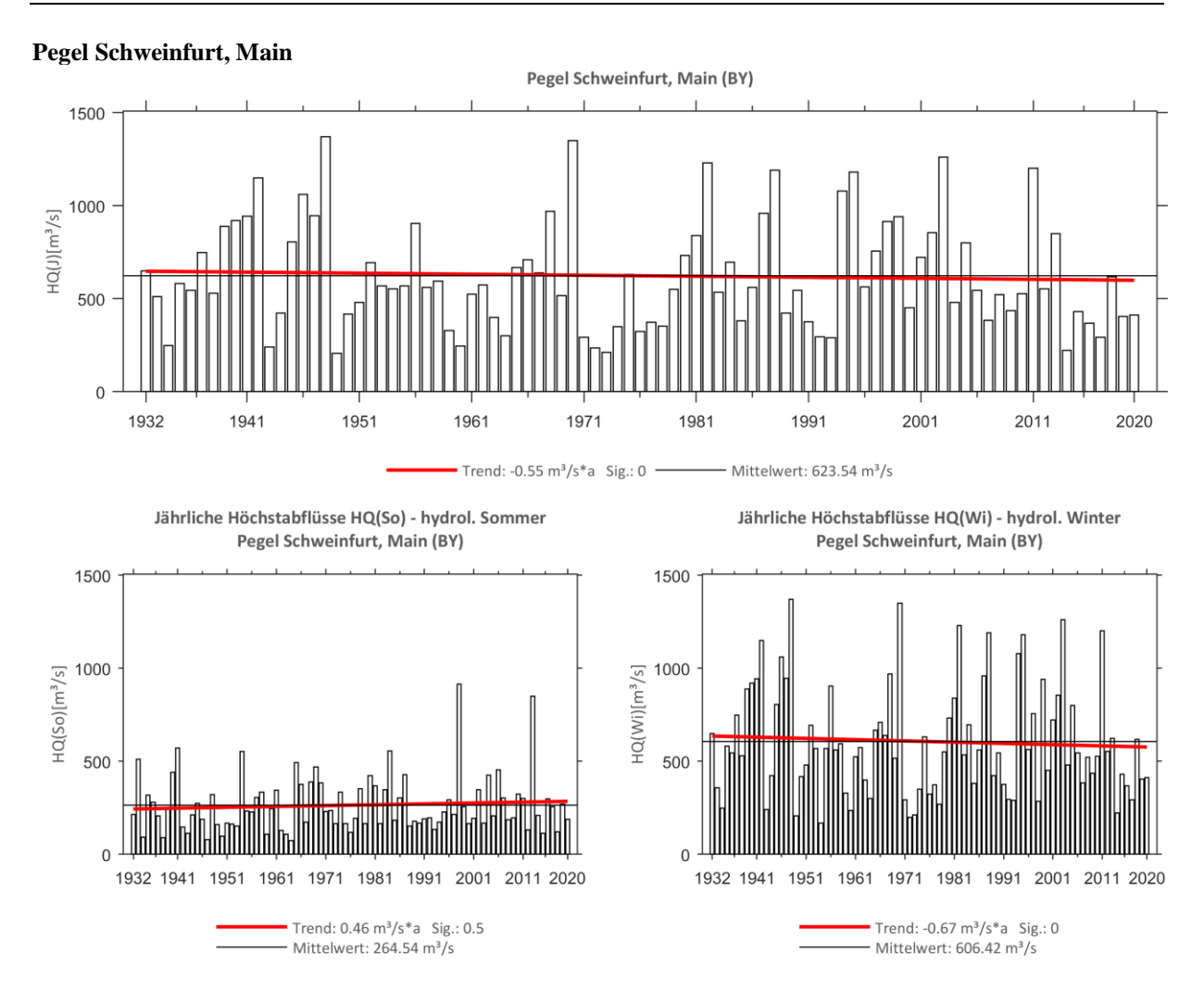


Abb. 178: Trenduntersuchungen von jährlichen Höchstabflüssen für den Zeitraum 1932 bis 2020.

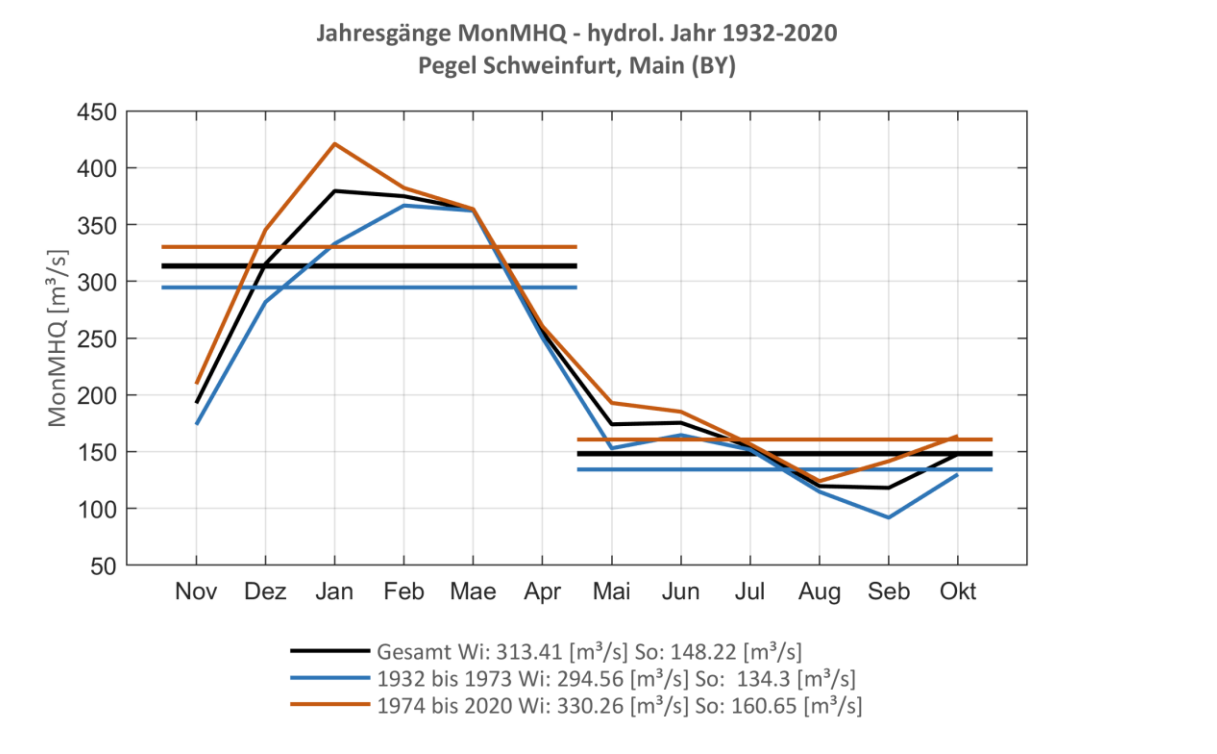


Abb. 179: Jahresgang des MonMHQ und Halbjahresmittel für 1932-2020 sowie 1932-1973 und 1974-2020



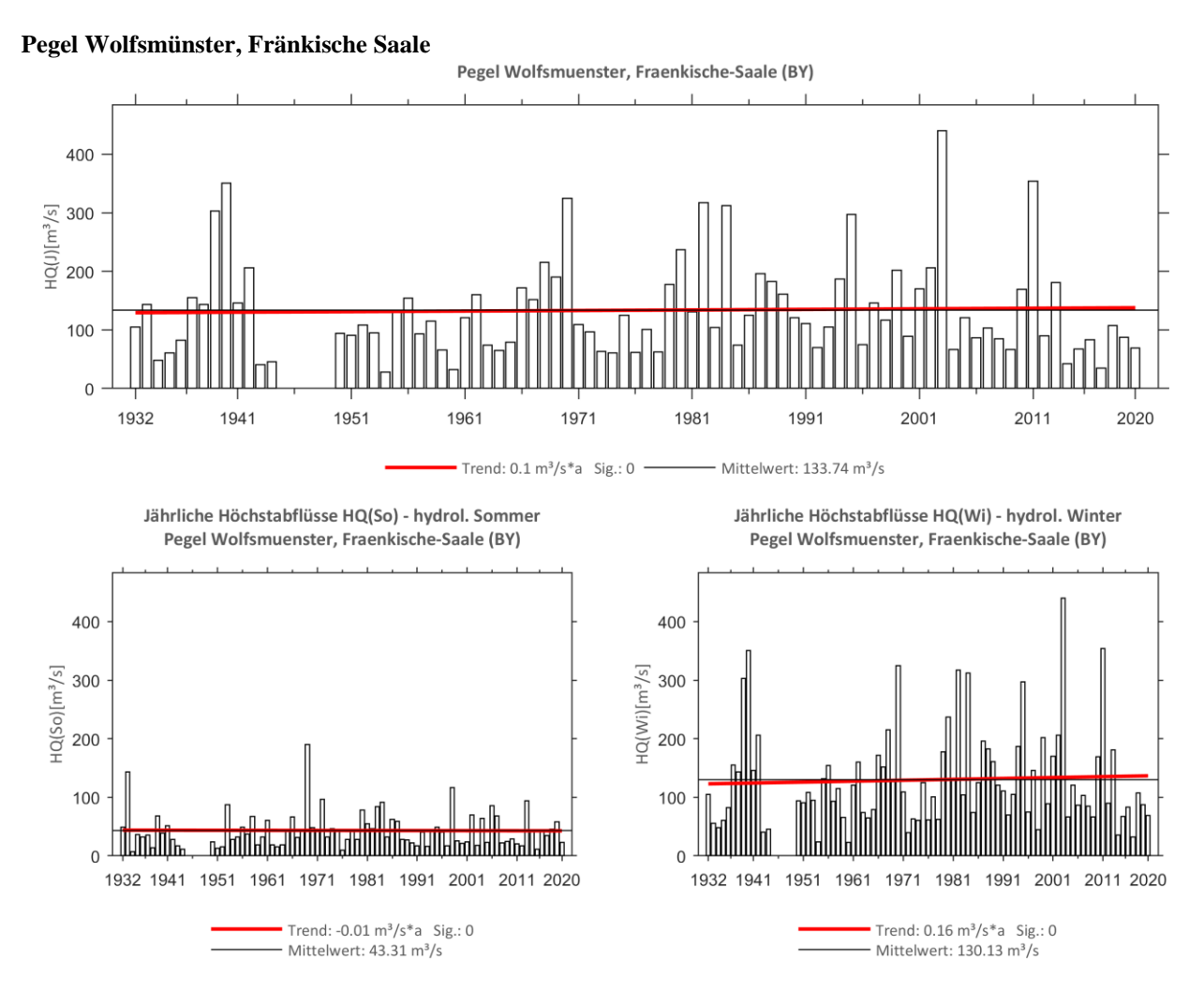


Abb. 180: Trenduntersuchungen von jährlichen Höchstabflüssen für den Zeitraum 1932 bis 2020.

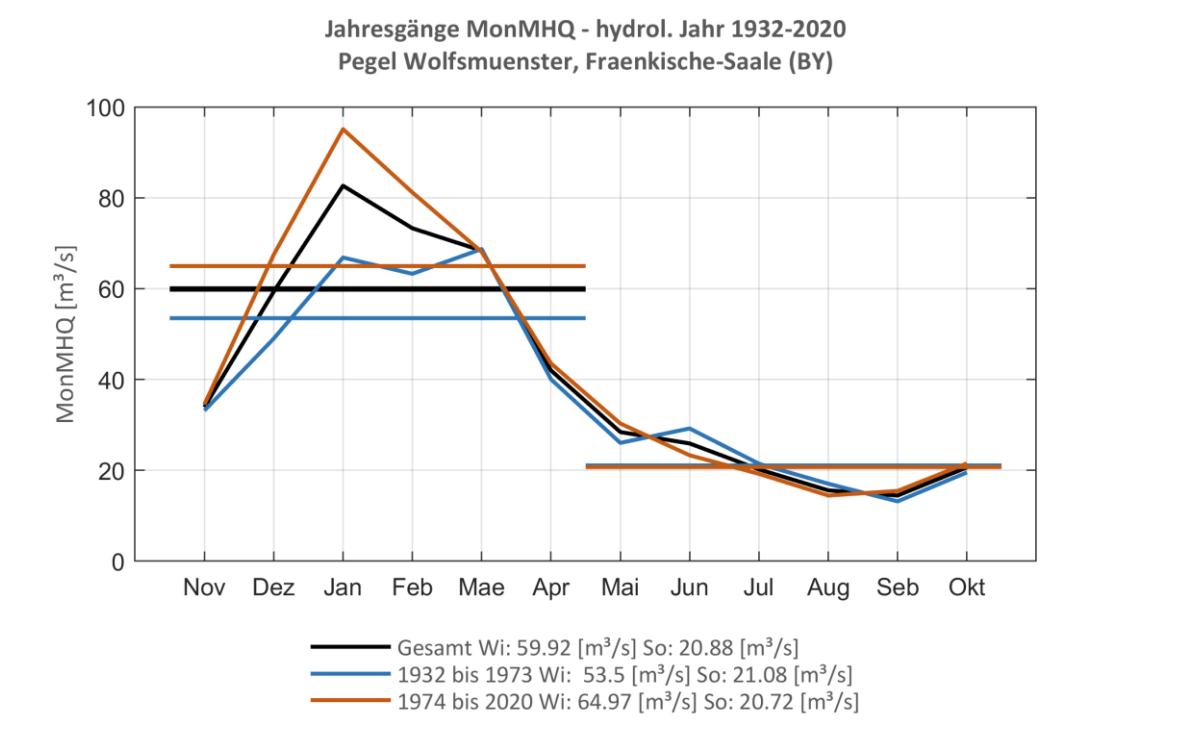


Abb. 181: Jahresgang des MonMHQ und Halbjahresmittel für 1932-2020 sowie 1932-1973 und 1974-2020



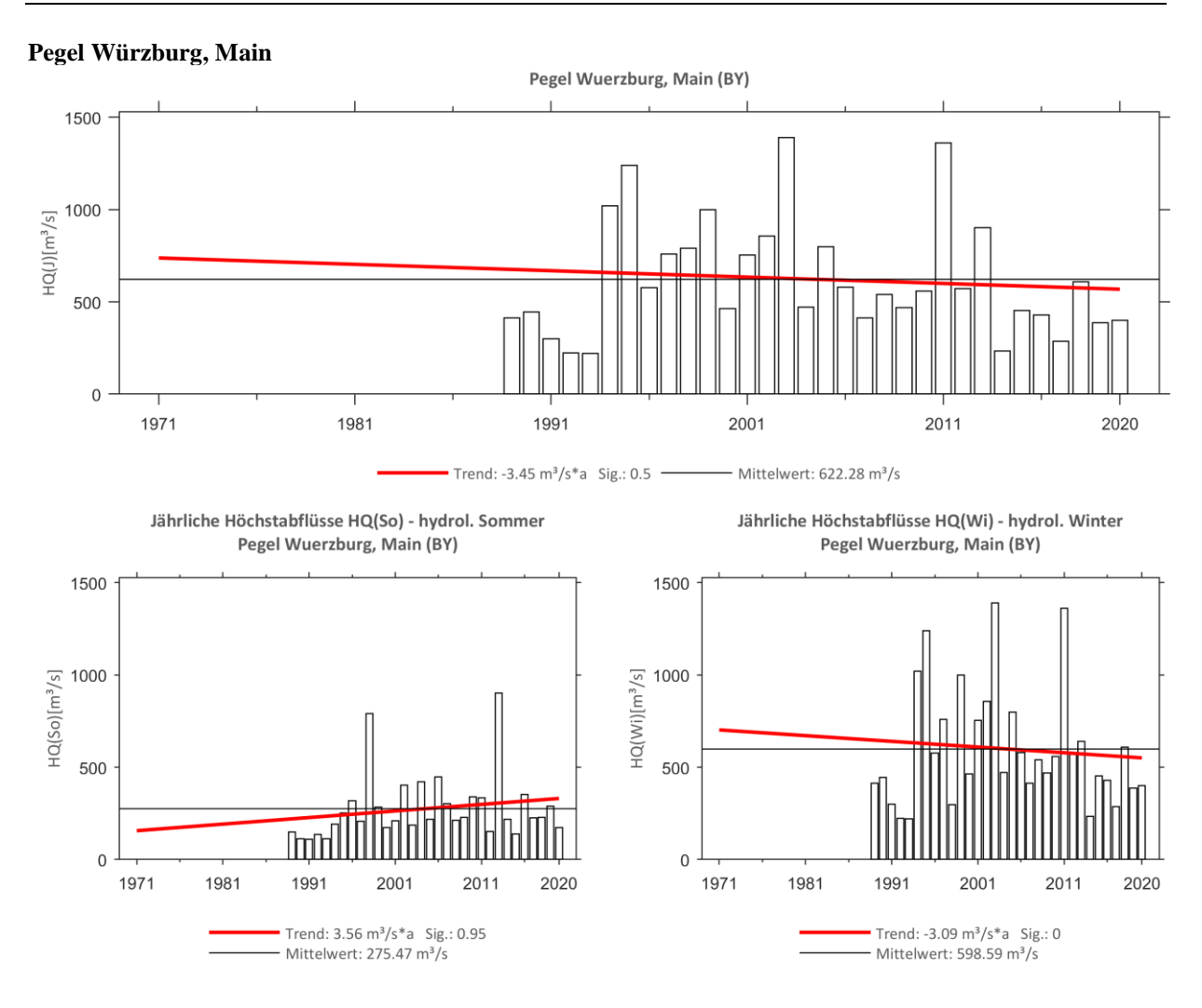


Abb. 182: Trenduntersuchungen von jährlichen Höchstabflüssen für den Zeitraum 1989 bis 2020.

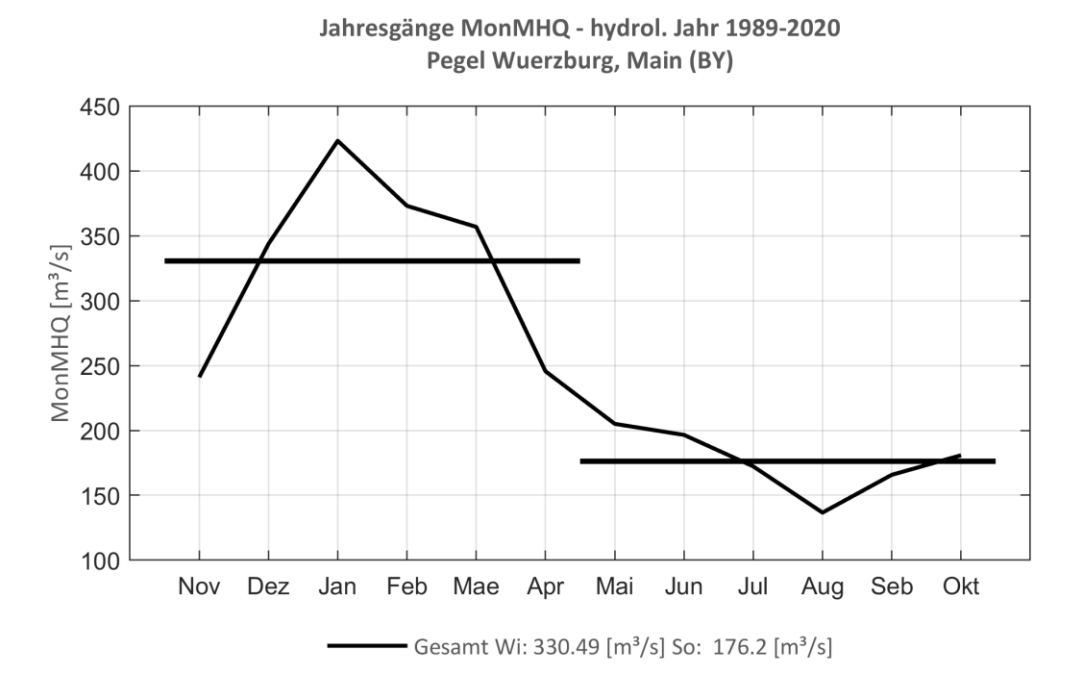
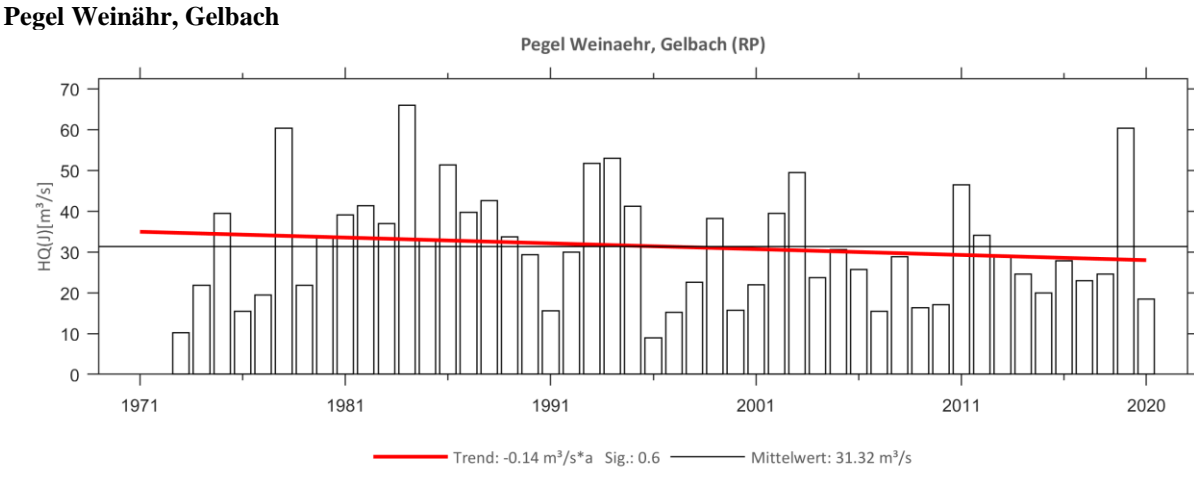
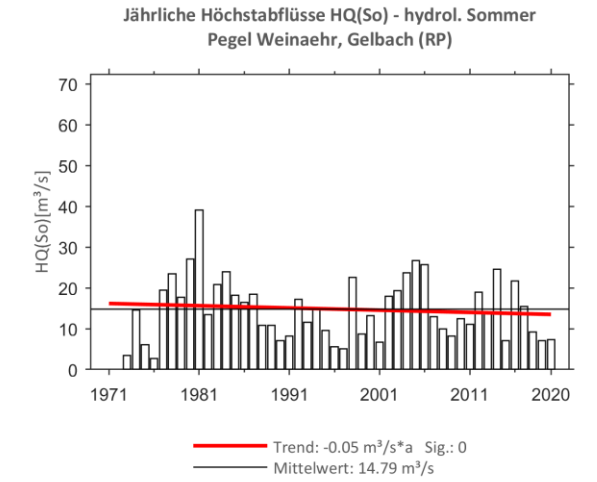


Abb. 183: Jahresgang des MonMHQ und Halbjahresmittel für 1989-2020



2.3 Rheinland-Pfälzische Monitoring-Pegel





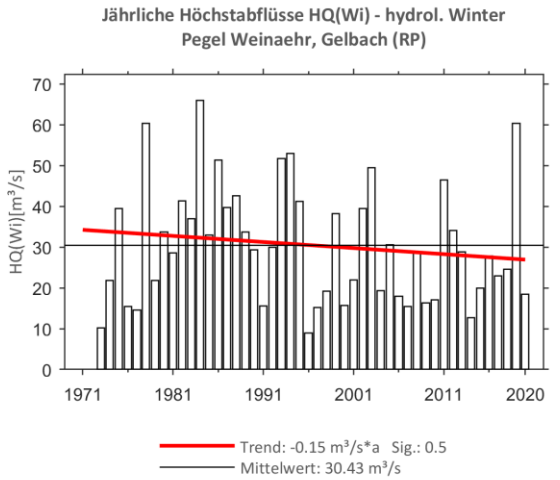


Abb. 184: Trenduntersuchungen von jährlichen Höchstabflüssen für den Zeitraum 1973 bis 2020.

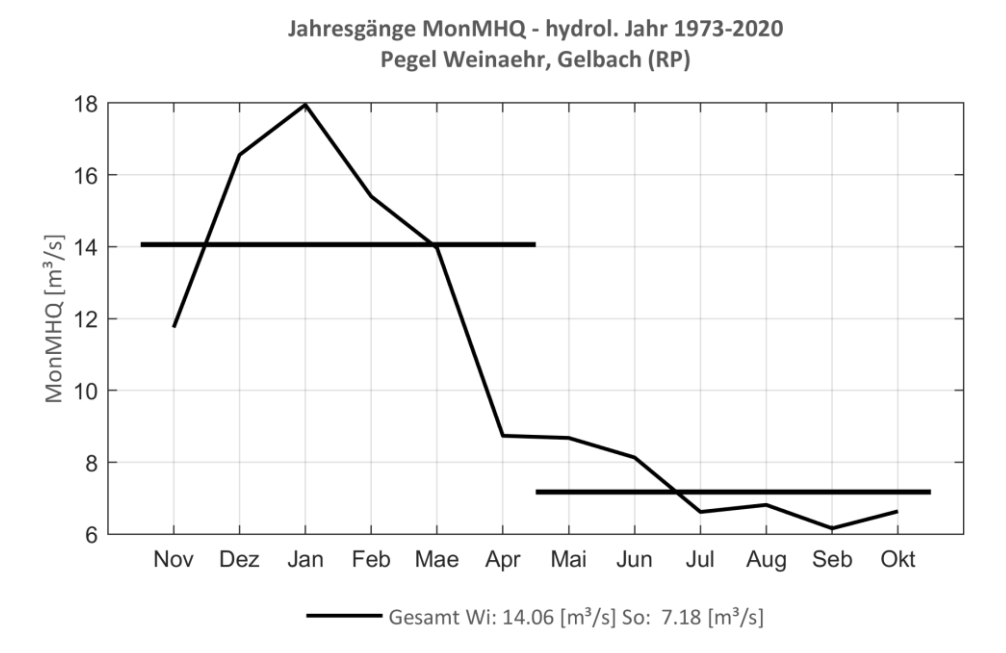


Abb. 185: Jahresgang des MonMHQ und Halbjahresmittel für 1973-2020.



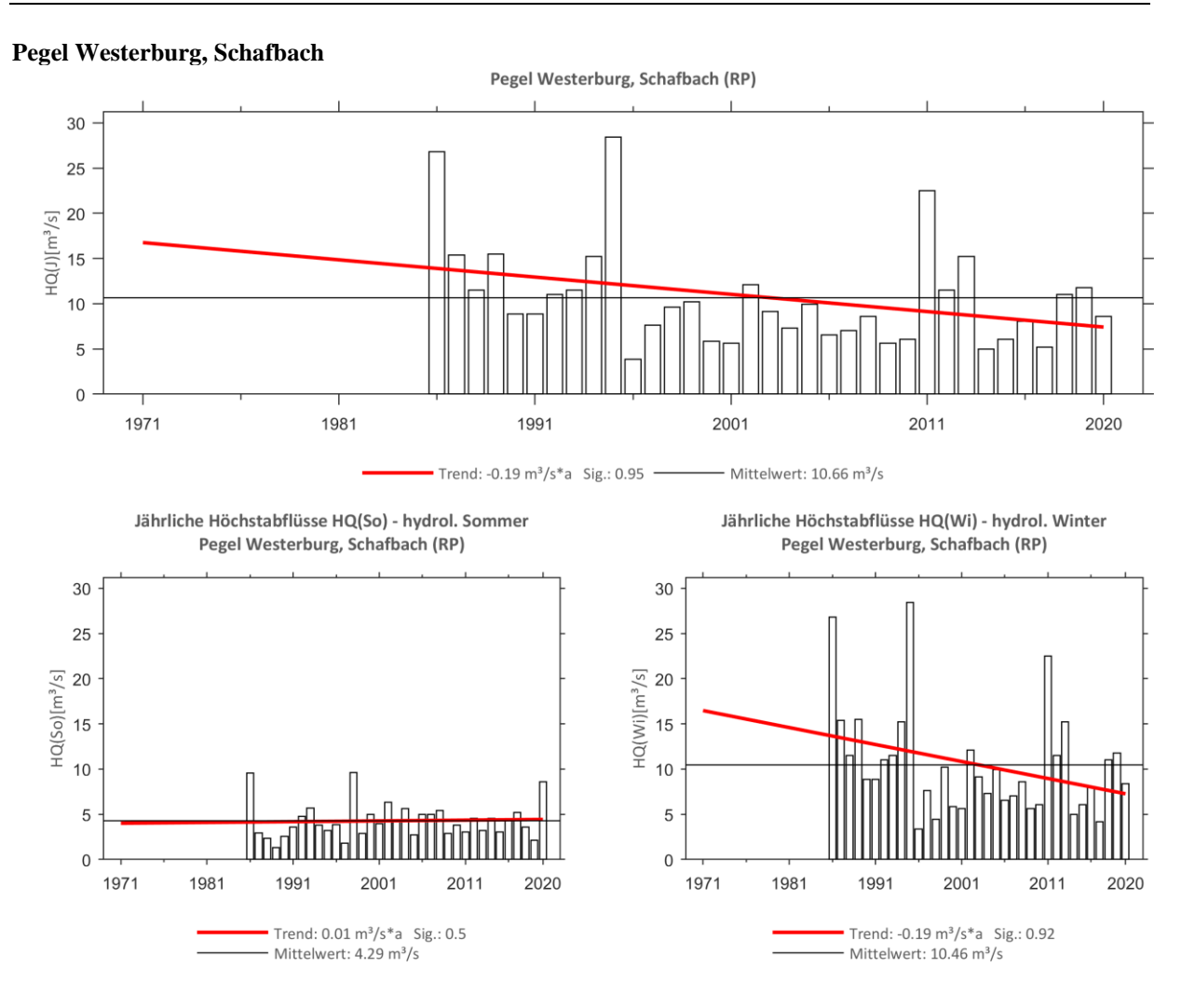


Abb. 186: Trenduntersuchungen von jährlichen Höchstabflüssen für den Zeitraum 1986 bis 2020.

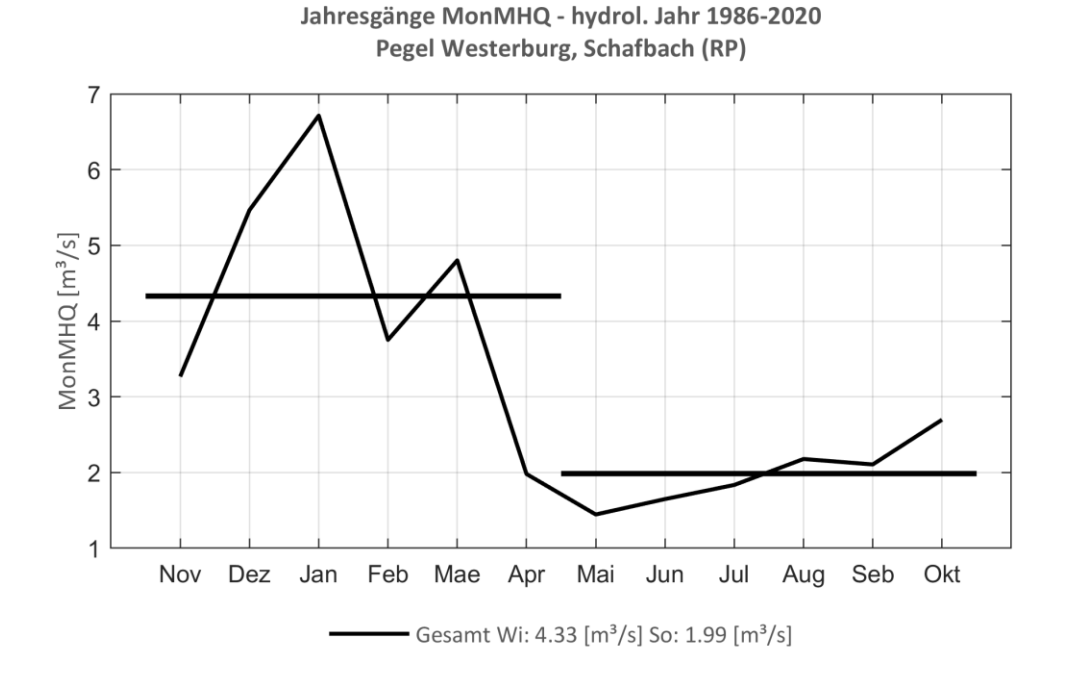


Abb. 187: Jahresgang des MonMHQ und Halbjahresmittel für 1986-2020.



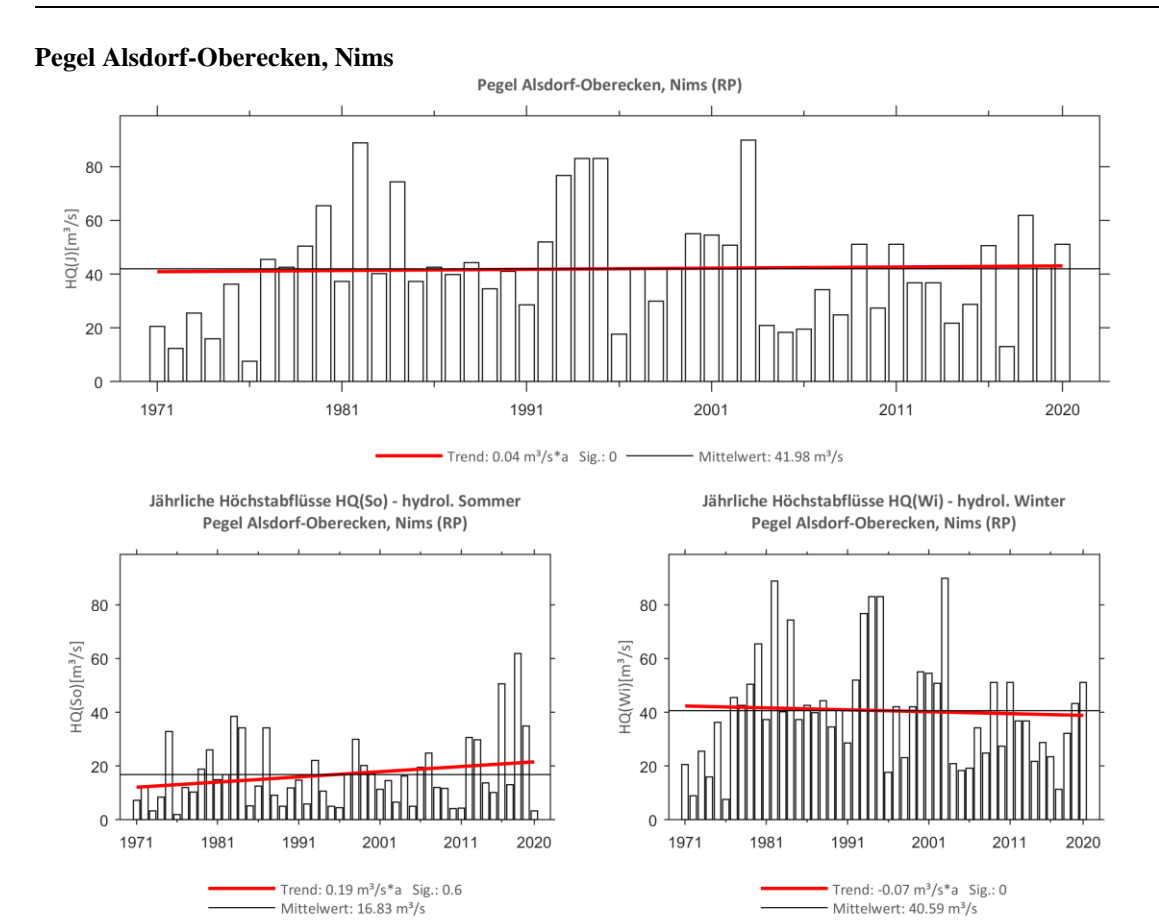


Abb. 188: Trenduntersuchungen von jährlichen Höchstabflüssen für den Zeitraum 1971 bis 2020.

Pegel Alsdorf-Oberecken, Nims (RP)

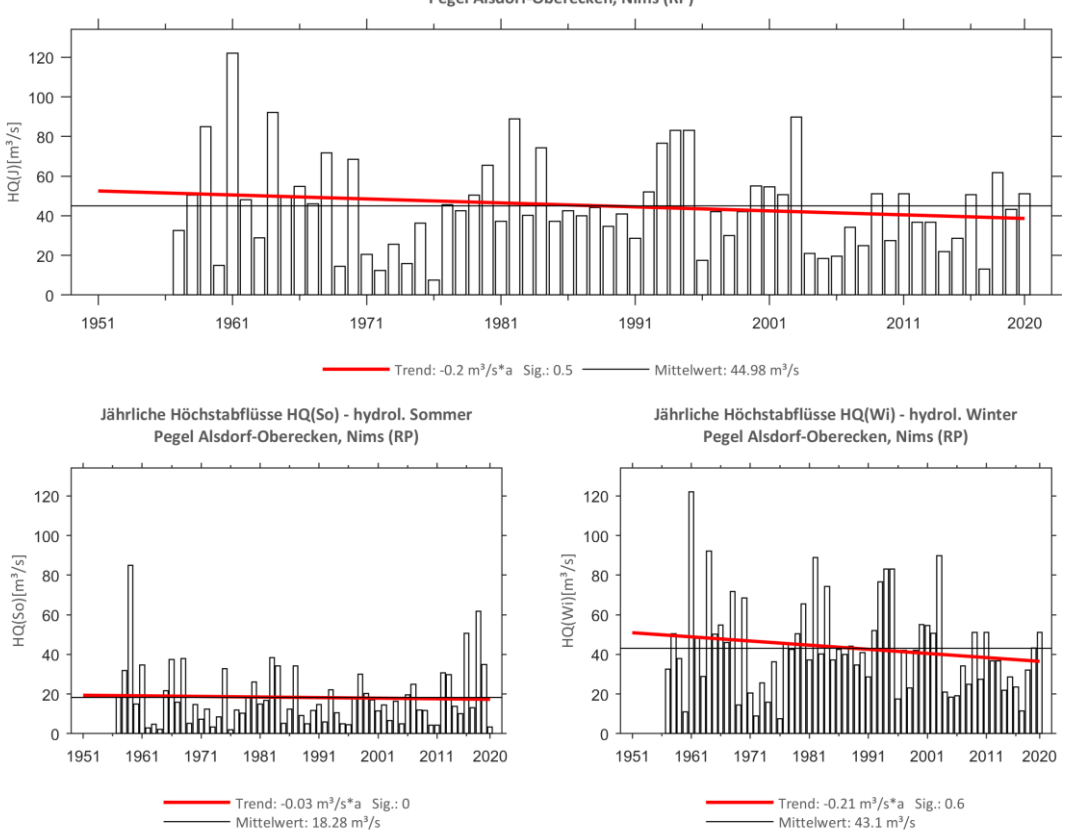


Abb. 189: Trenduntersuchungen von jährlichen Höchstabflüssen für den Zeitraum 1957 bis 2020.



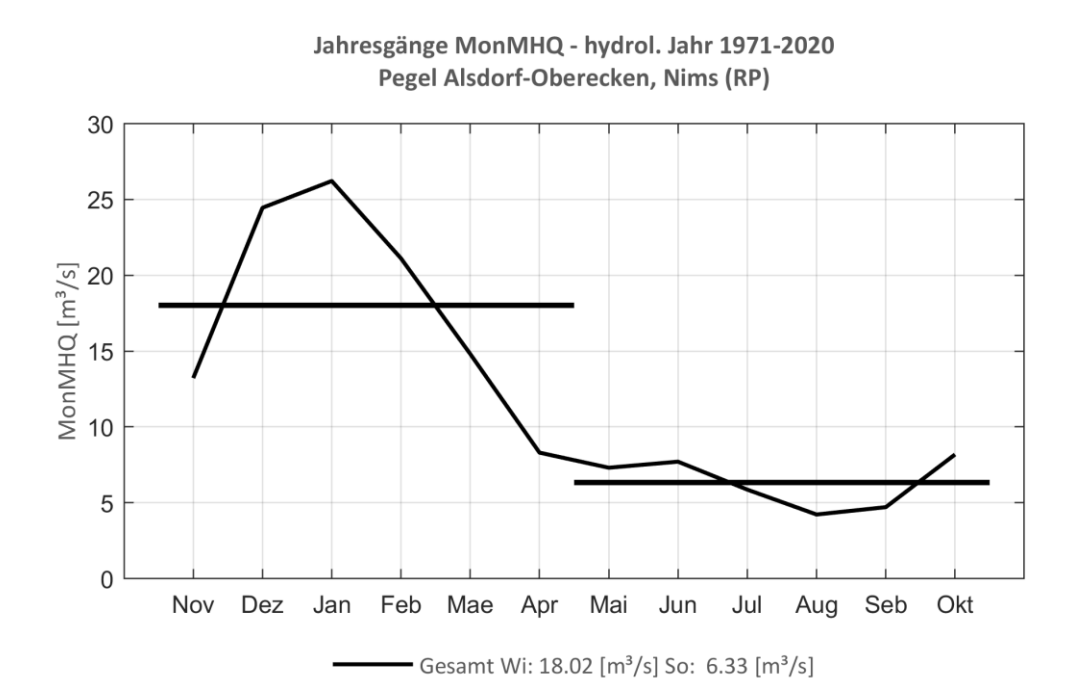


Abb. 190: Jahresgang des MonMHQ und Halbjahresmittel für 1971-2020.

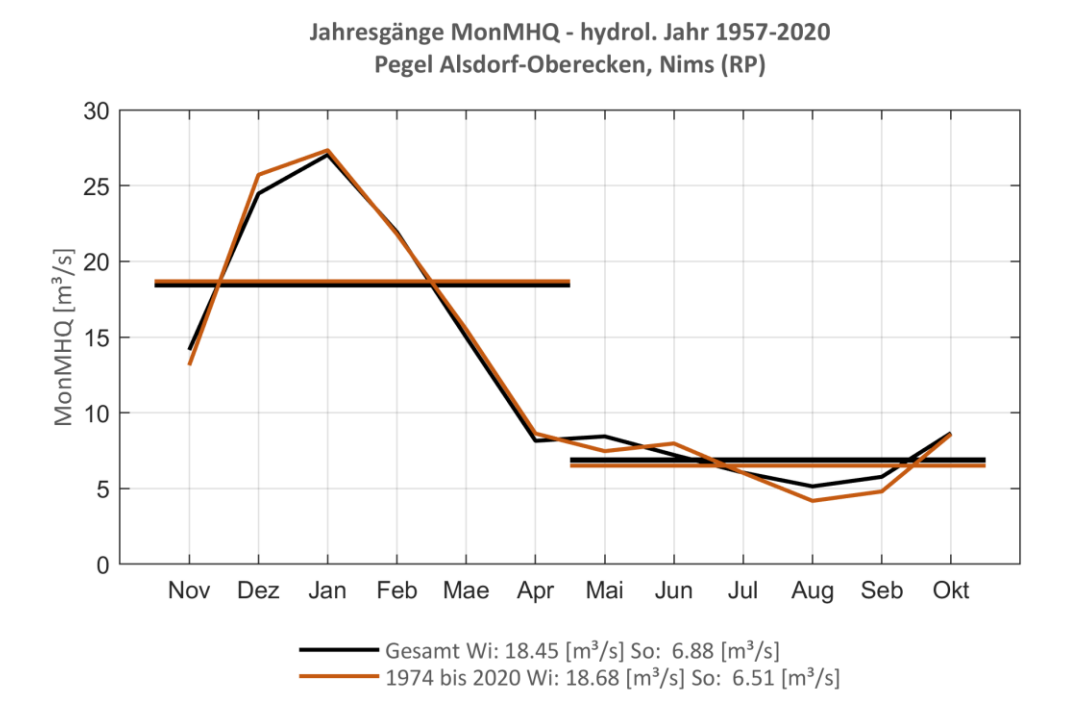


Abb. 191: Jahresgang des MonMHQ und Halbjahresmittel für 1957-2020 sowie 1974-2020.



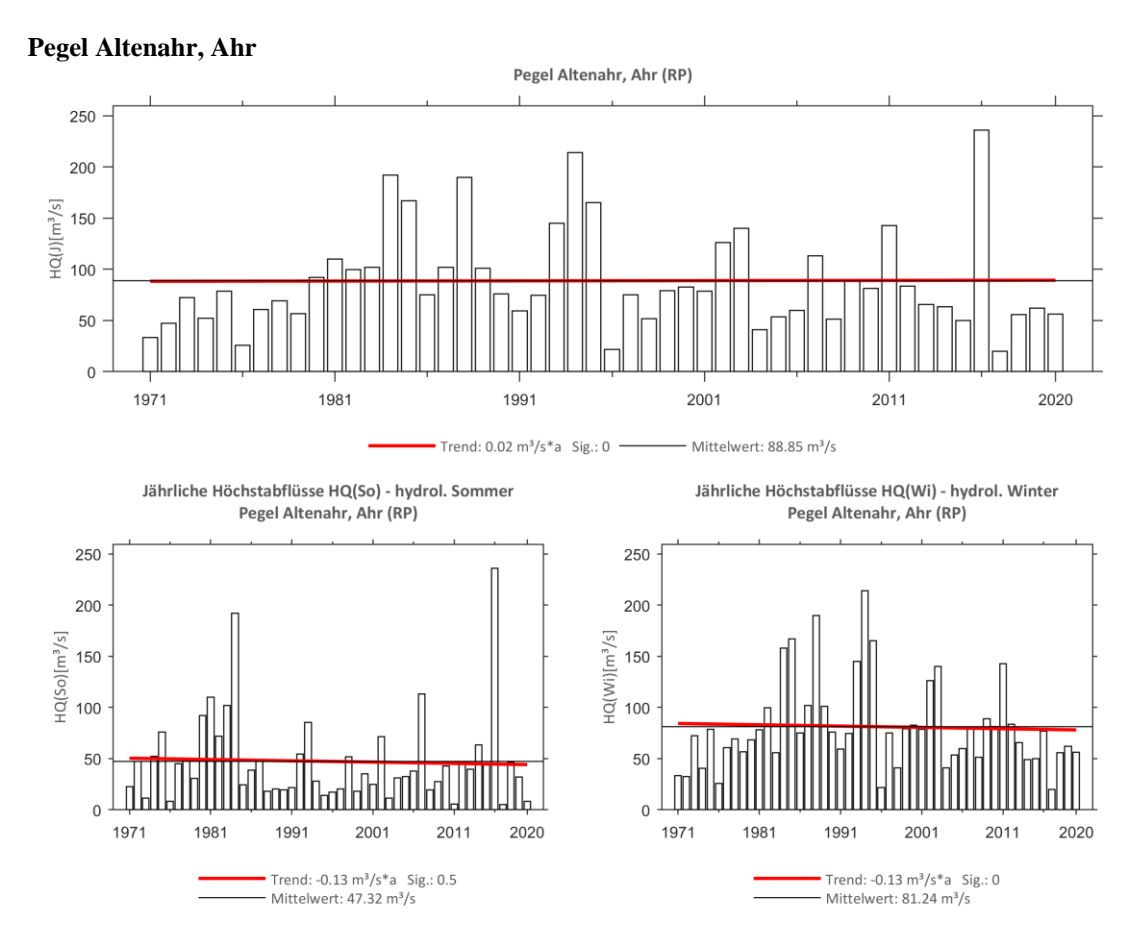


Abb. 192: Trenduntersuchungen von jährlichen Höchstabflüssen für den Zeitraum 1971 bis 2020.

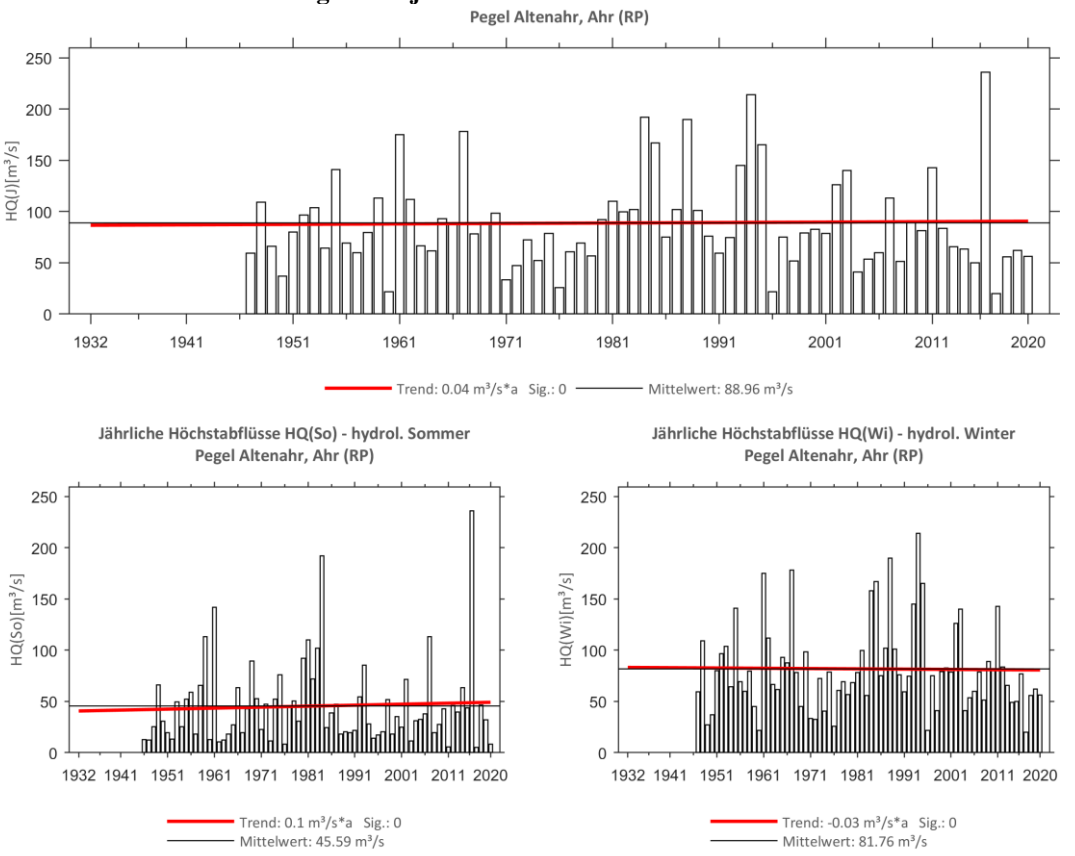


Abb. 193: Trenduntersuchungen von jährlichen Höchstabflüssen für den Zeitraum 1947 bis 2020.



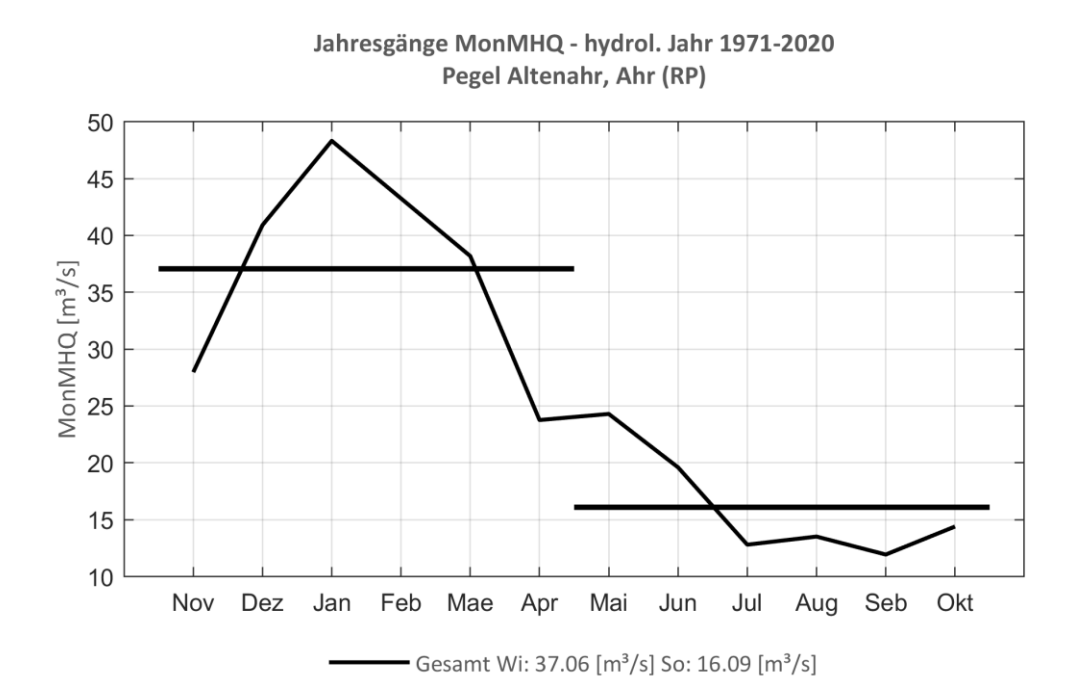


Abb. 194: Jahresgang des MonMHQ und Halbjahresmittel für 1971-2020.

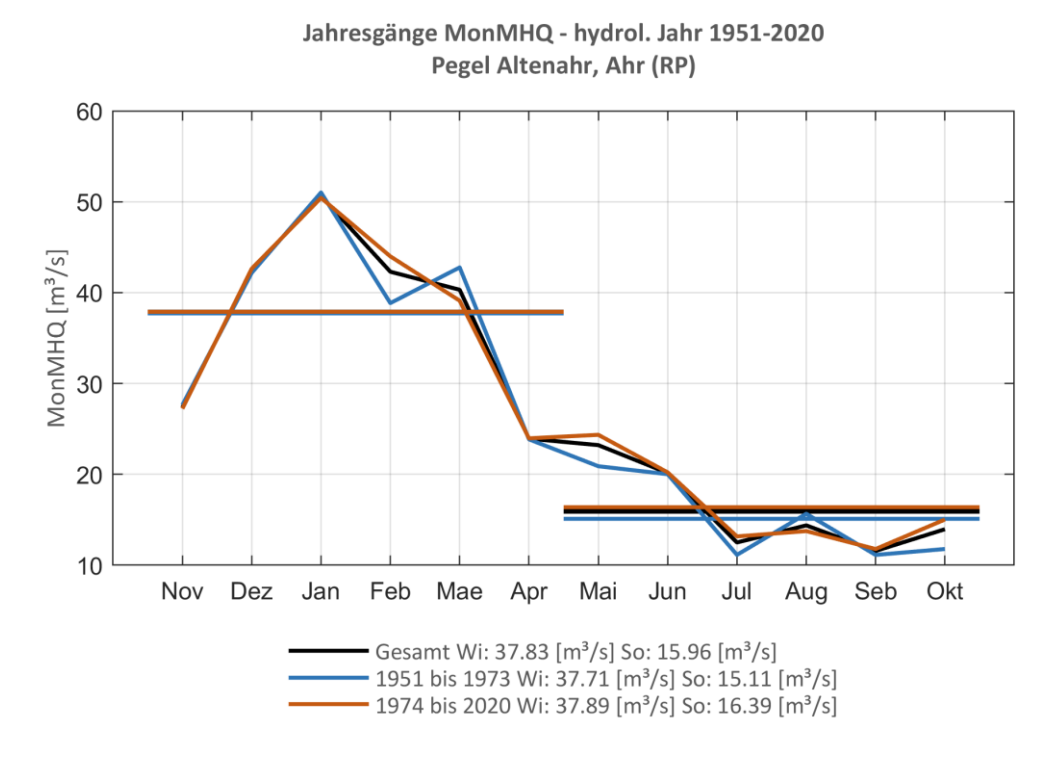


Abb. 195: Jahresgang des MonMHQ und Halbjahresmittel für 1951-2020 sowie 1951-1973 und 1974-2020.



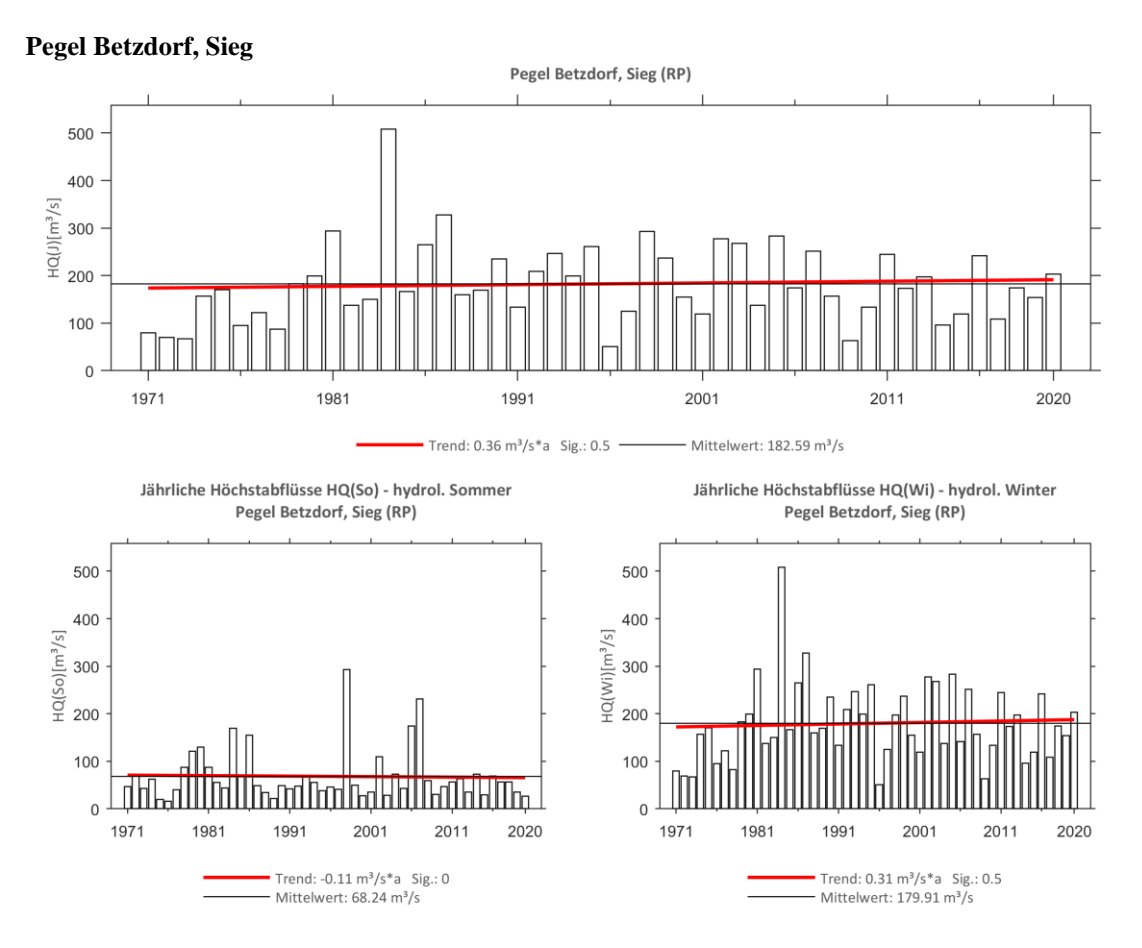


Abb. 196: Trenduntersuchungen von jährlichen Höchstabflüssen für den Zeitraum 1971 bis 2020.

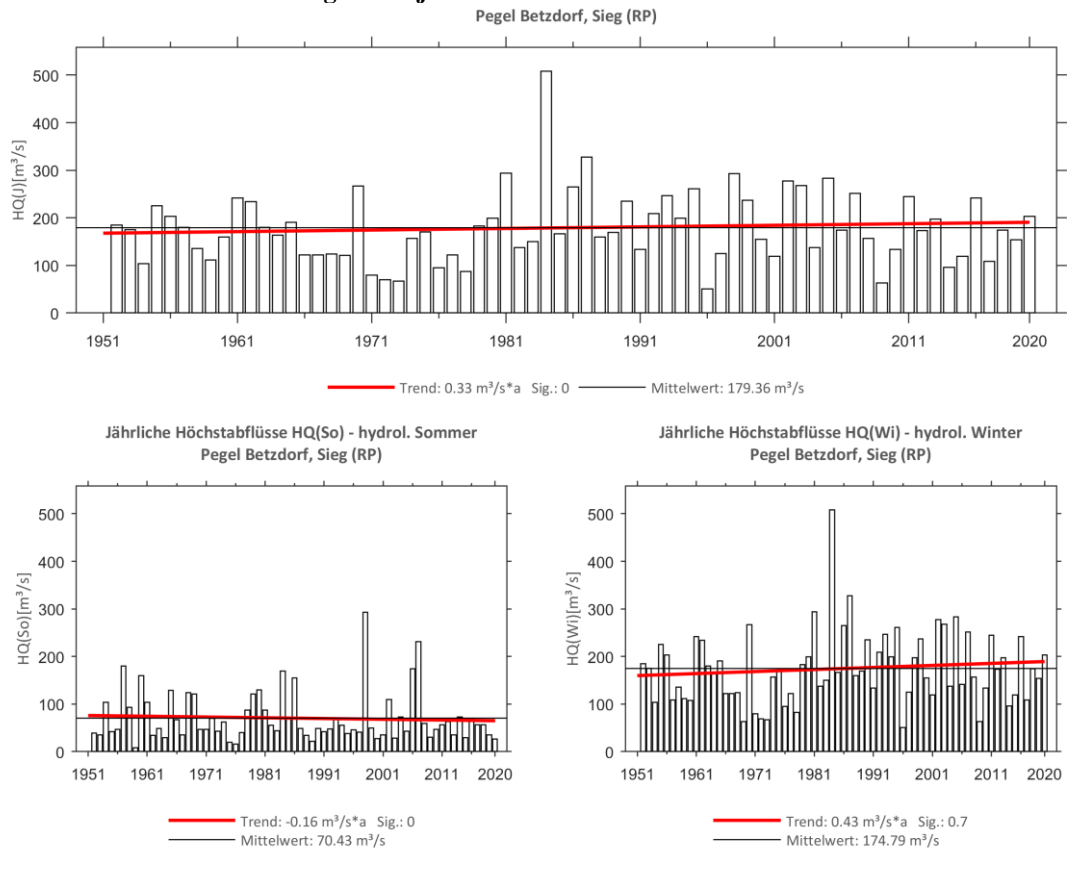


Abb. 197: Trenduntersuchungen von jährlichen Höchstabflüssen für den Zeitraum 1952 bis 2020.



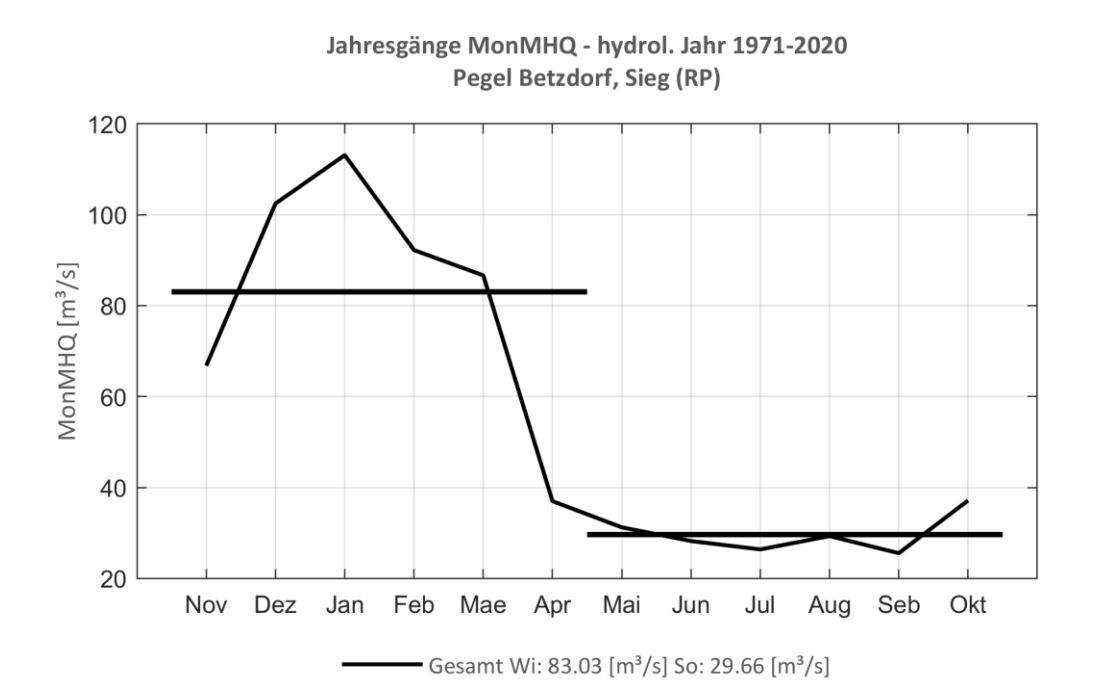


Abb. 198: Jahresgang des MonMHQ und Halbjahresmittel für 1971-2020.

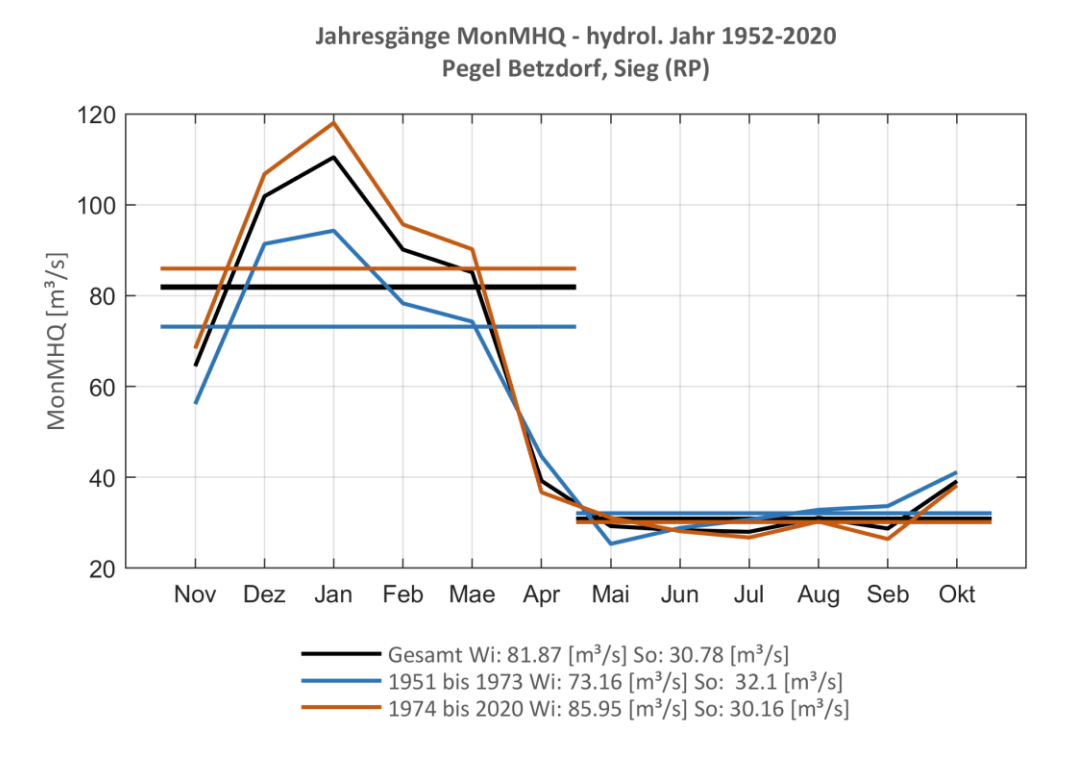


Abb. 199: Jahresgang des MonMHQ und Halbjahresmittel für 1952-2020 sowie 1952-1973 und 1974-2020.



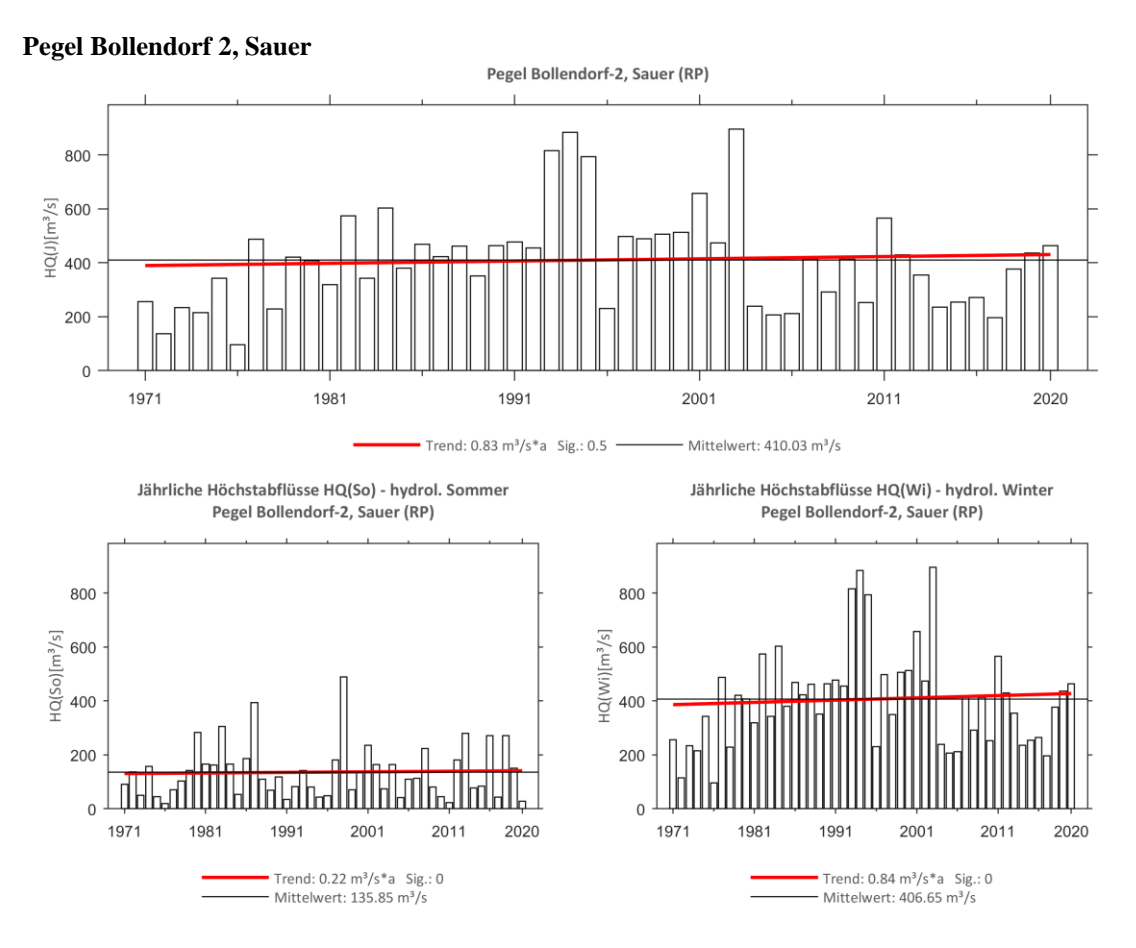


Abb. 200: Trenduntersuchungen von jährlichen Höchstabflüssen für den Zeitraum 1971 bis 2020.

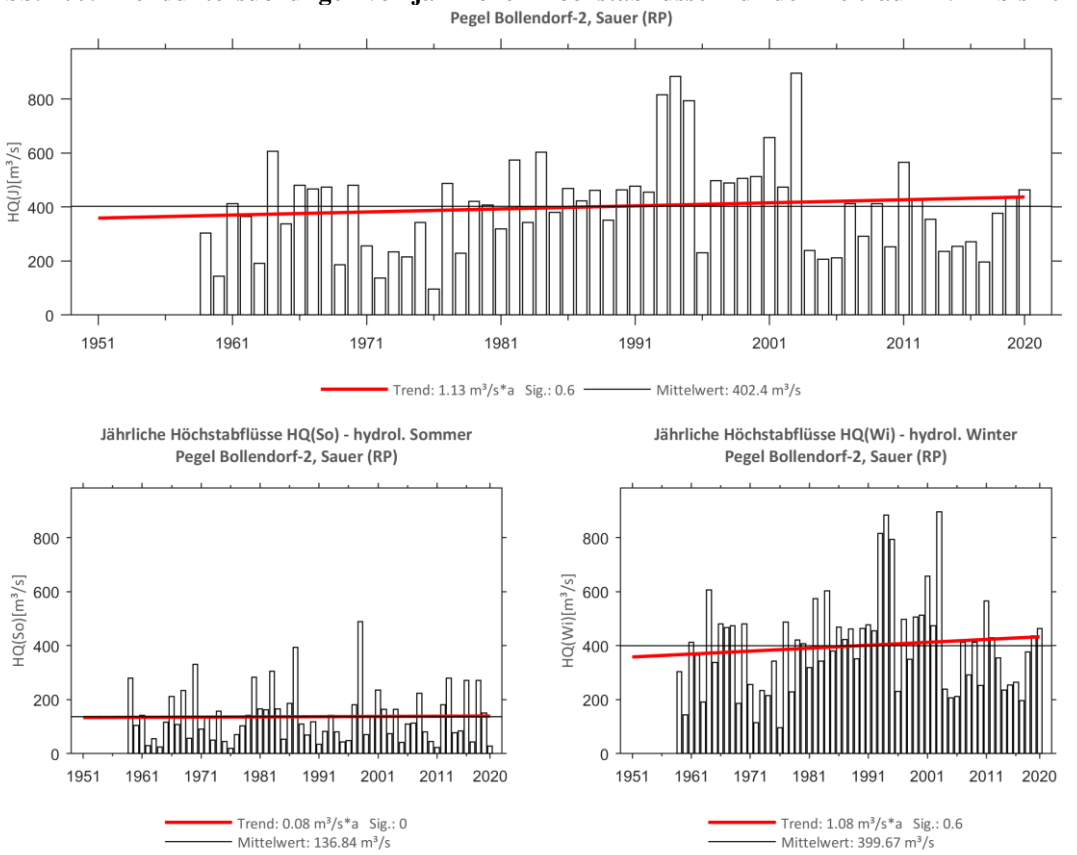


Abb. 201: Trenduntersuchungen von jährlichen Höchstabflüssen für den Zeitraum 1959 bis 2020.



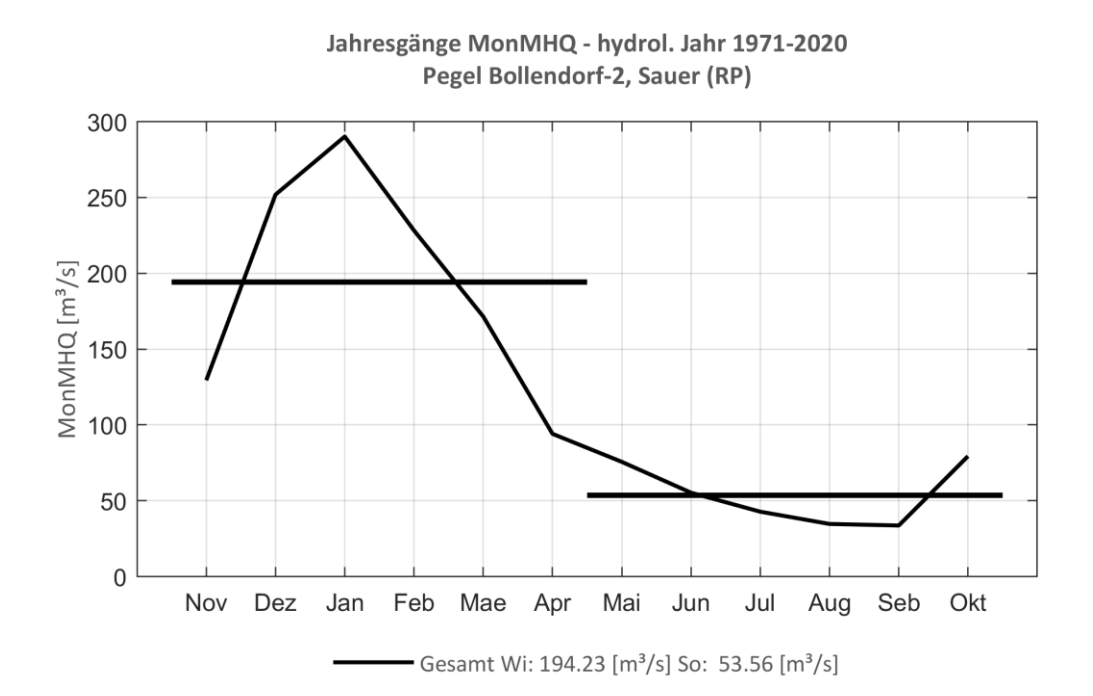


Abb. 202: Jahresgang des MonMHQ und Halbjahresmittel für 1971-2020.

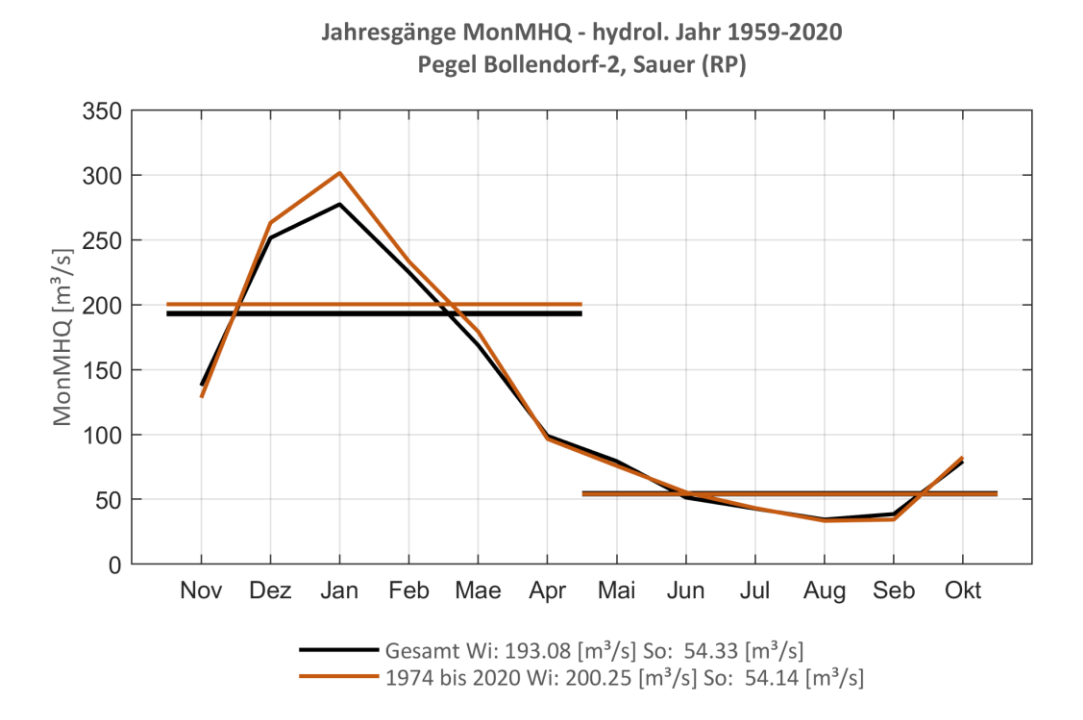


Abb. 203: Jahresgang des MonMHQ und Halbjahresmittel für 1959-2020 sowie 1974-2020.



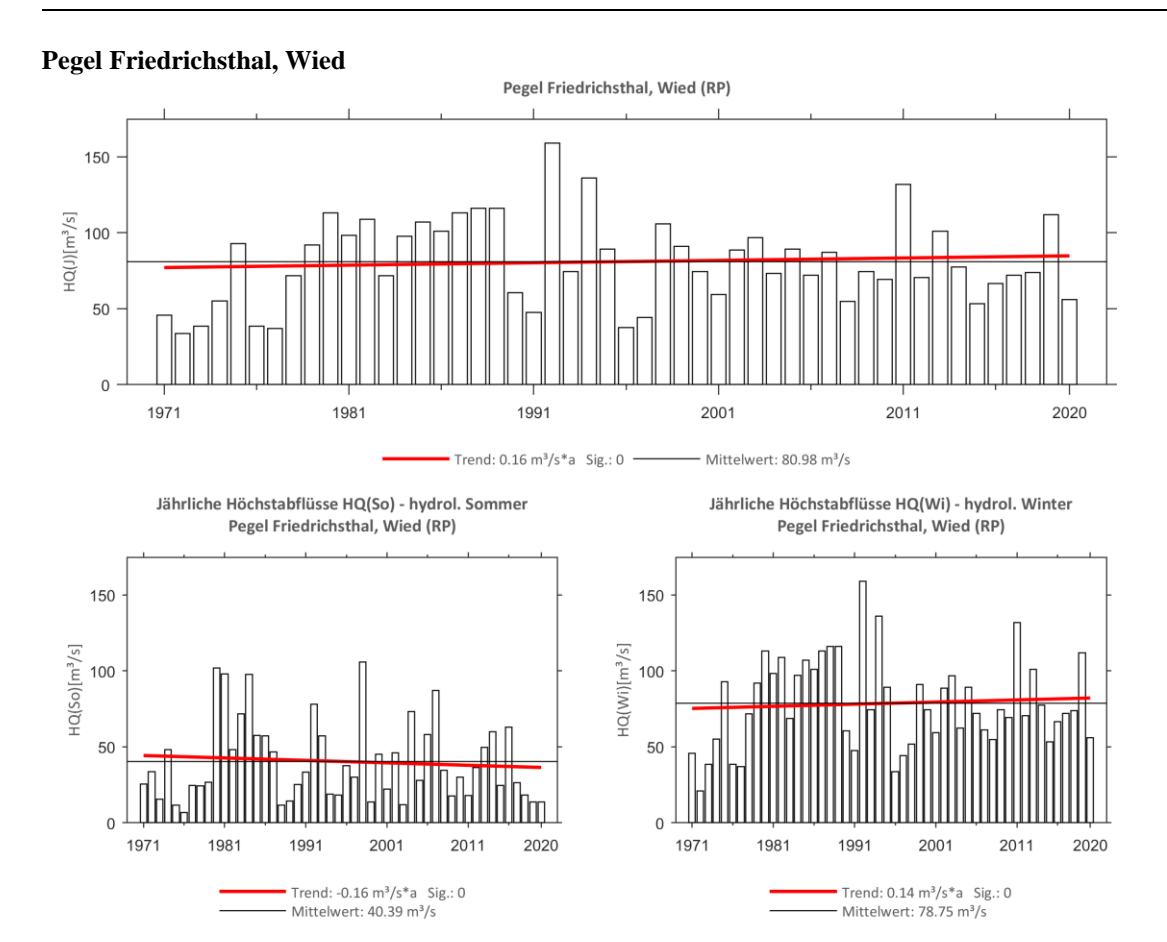


Abb. 204: Trenduntersuchungen von jährlichen Höchstabflüssen für den Zeitraum 1971 bis 2020.

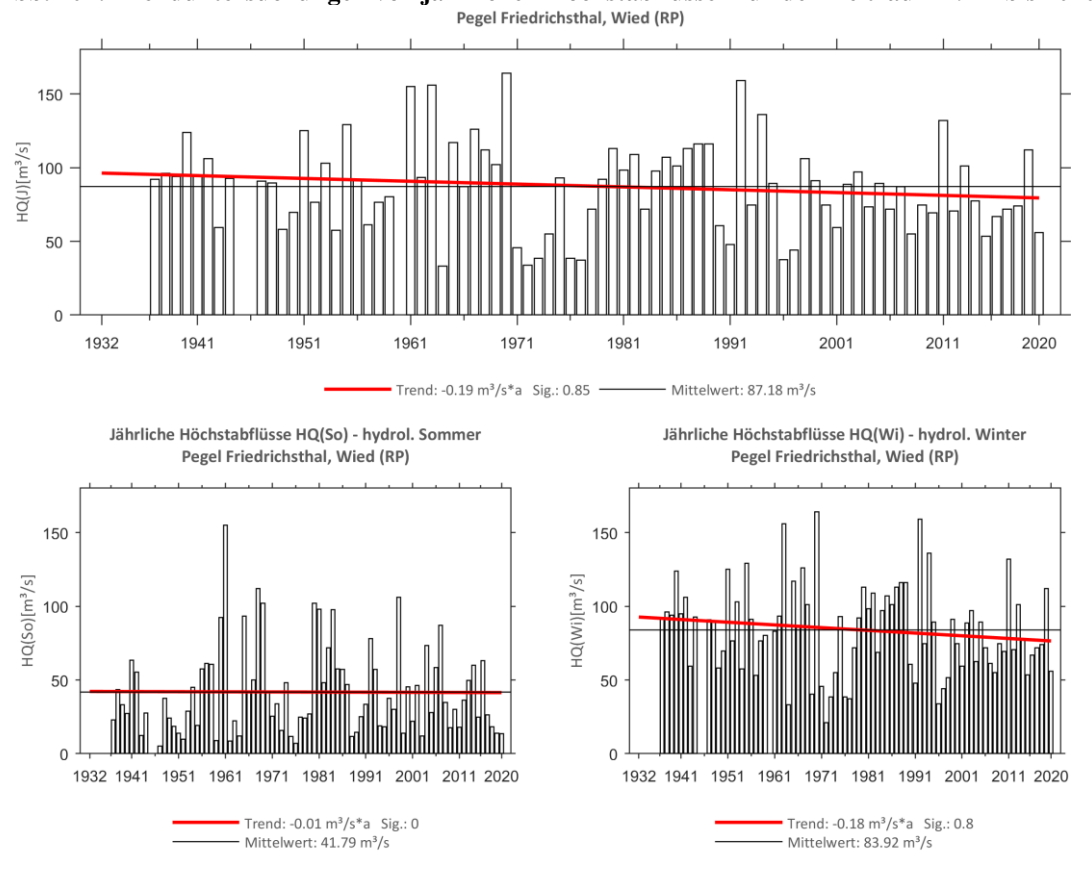


Abb. 205: Trenduntersuchungen von jährlichen Höchstabflüssen für den Zeitraum 1937 bis 2020.



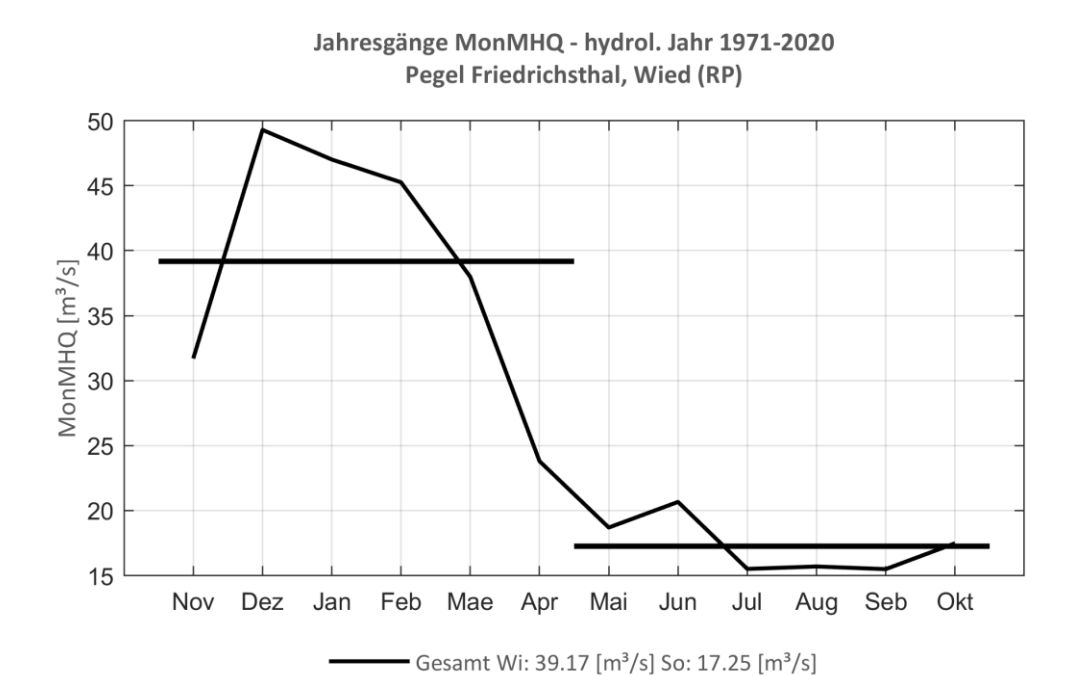


Abb. 206: Jahresgang des MonMHQ und Halbjahresmittel für 1971-2020.

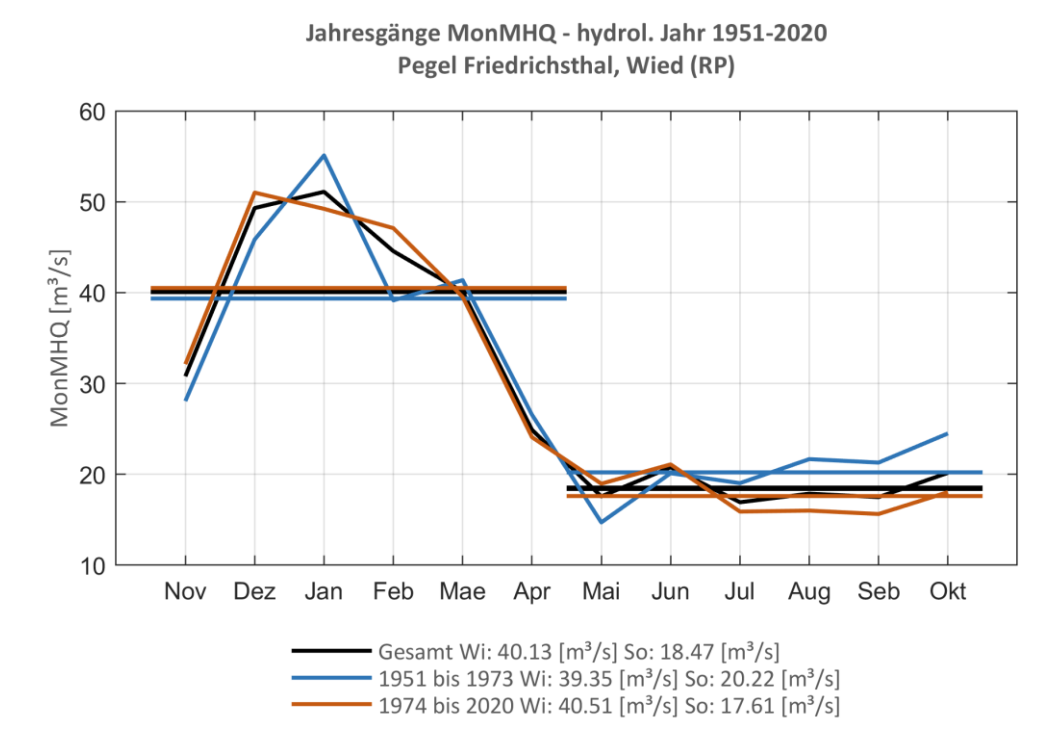


Abb. 207: Jahresgang des MonMHQ und Halbjahresmittel für 1951-2020 sowie 1951-1973 und 1974-2020.



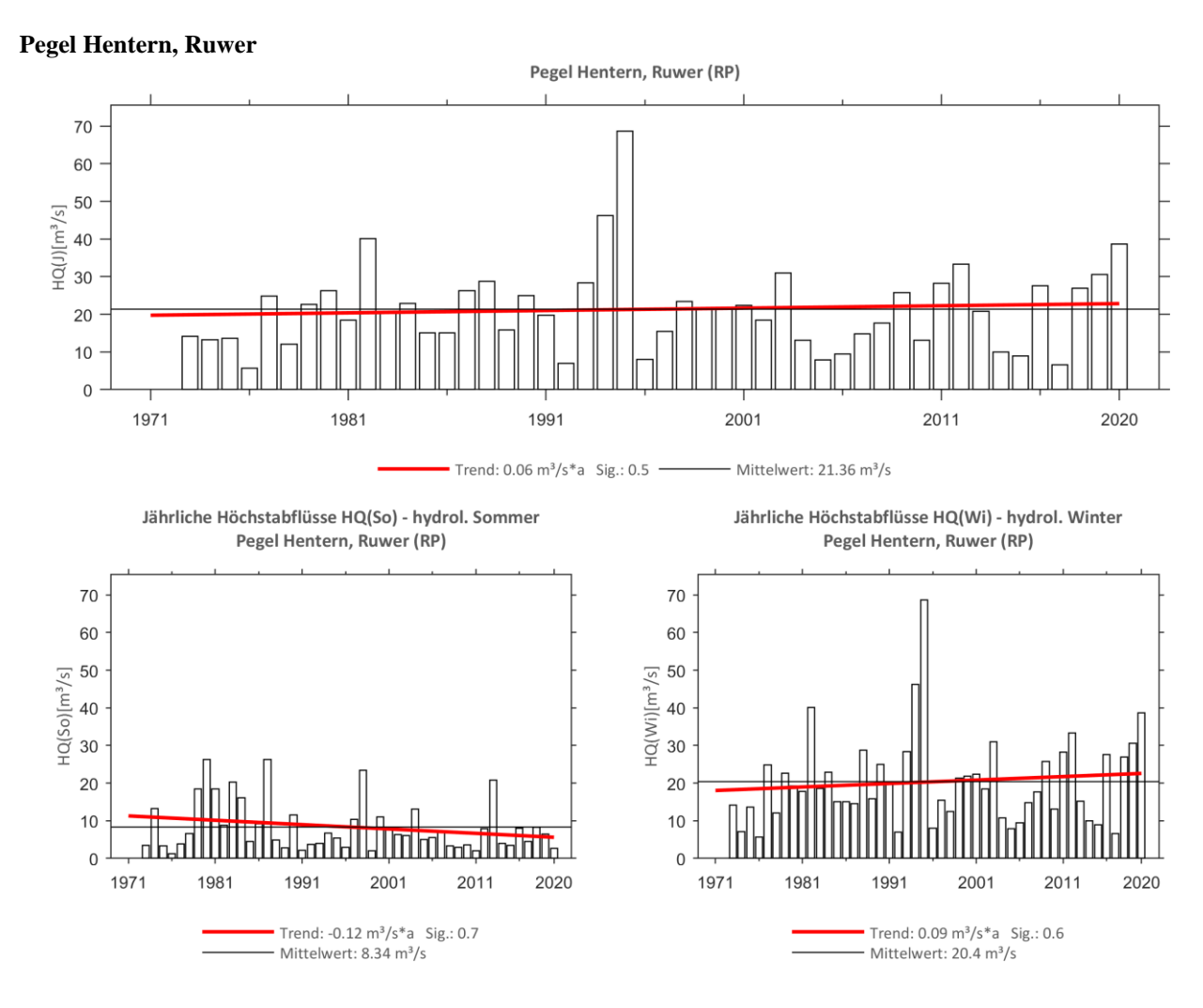


Abb. 208: Trenduntersuchungen von jährlichen Höchstabflüssen für den Zeitraum 1973 bis 2020.

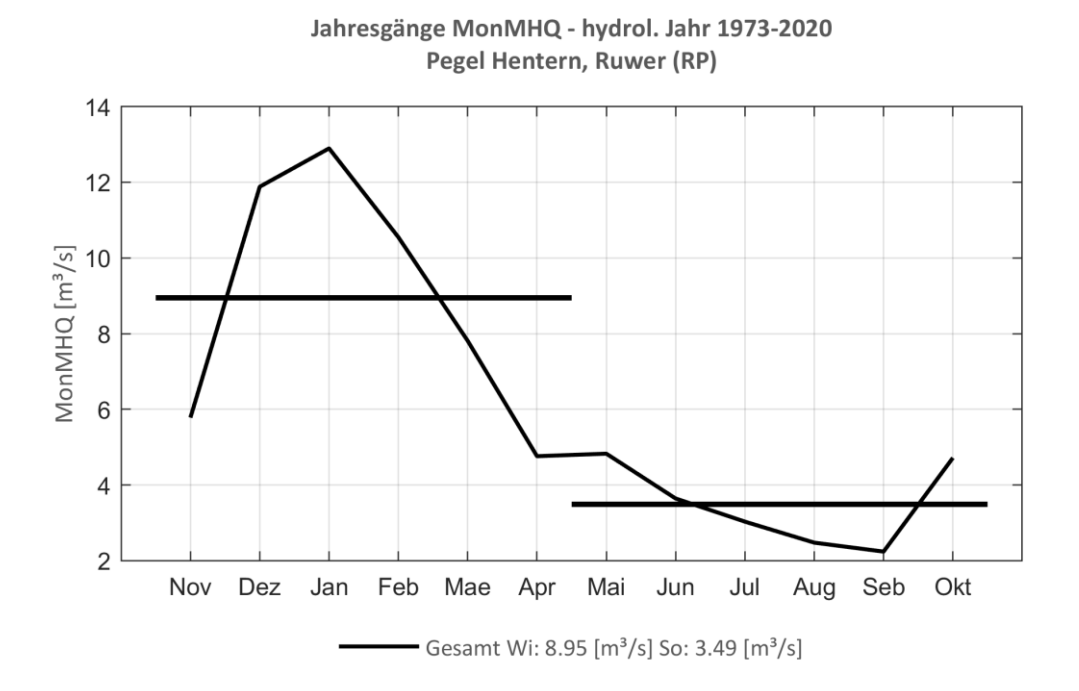
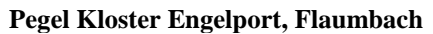


Abb. 209: Jahresgang des MonMHQ und Halbjahresmittel für 1973-2020.





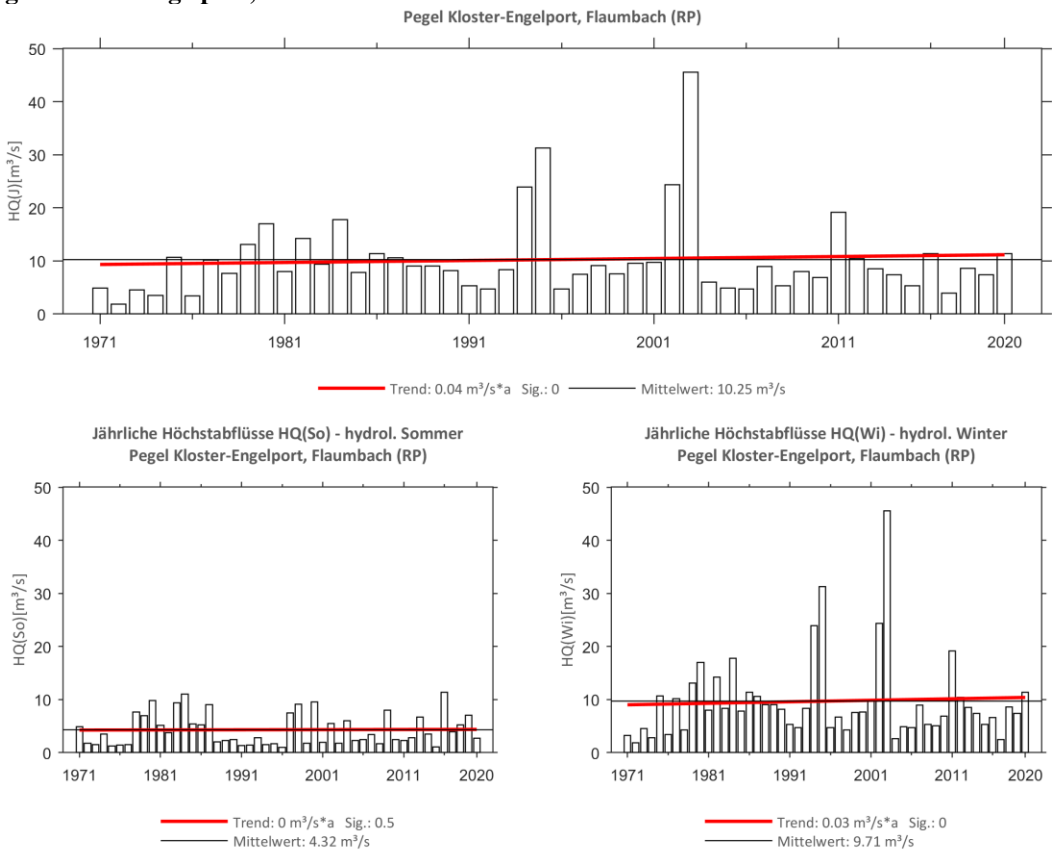


Abb. 210: Trenduntersuchungen von jährlichen Höchstabflüssen für den Zeitraum 1971 bis 2020.

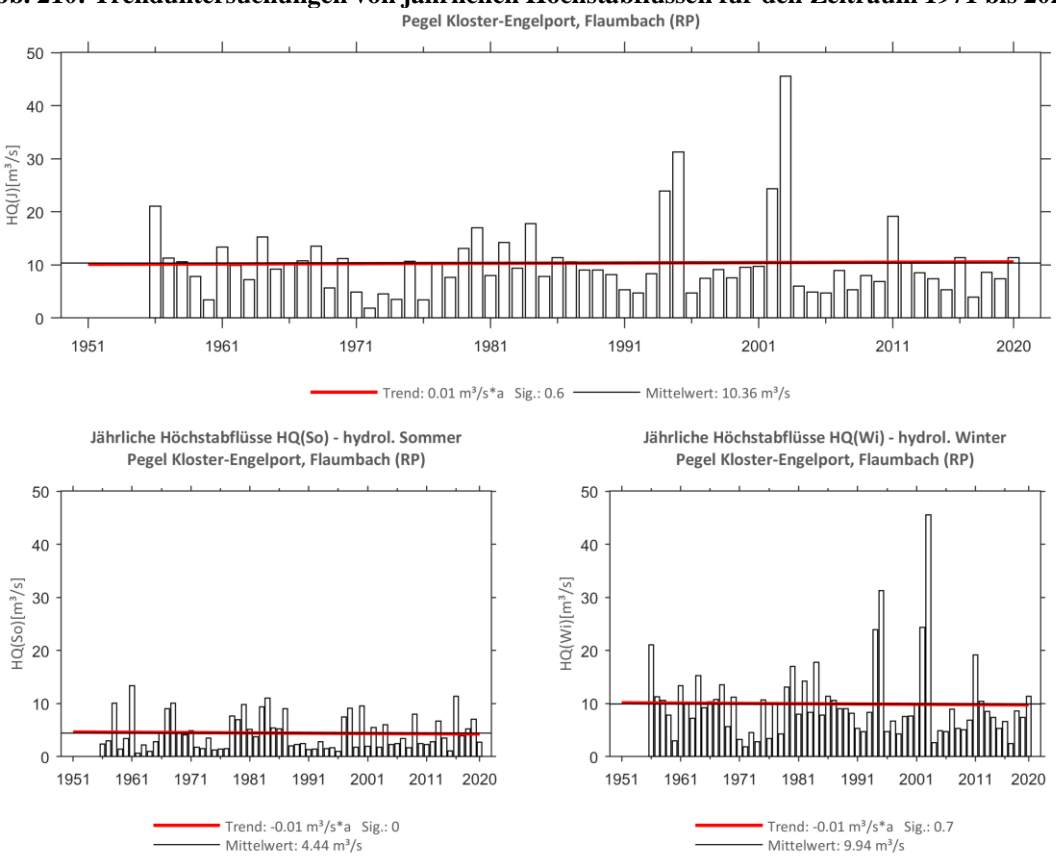
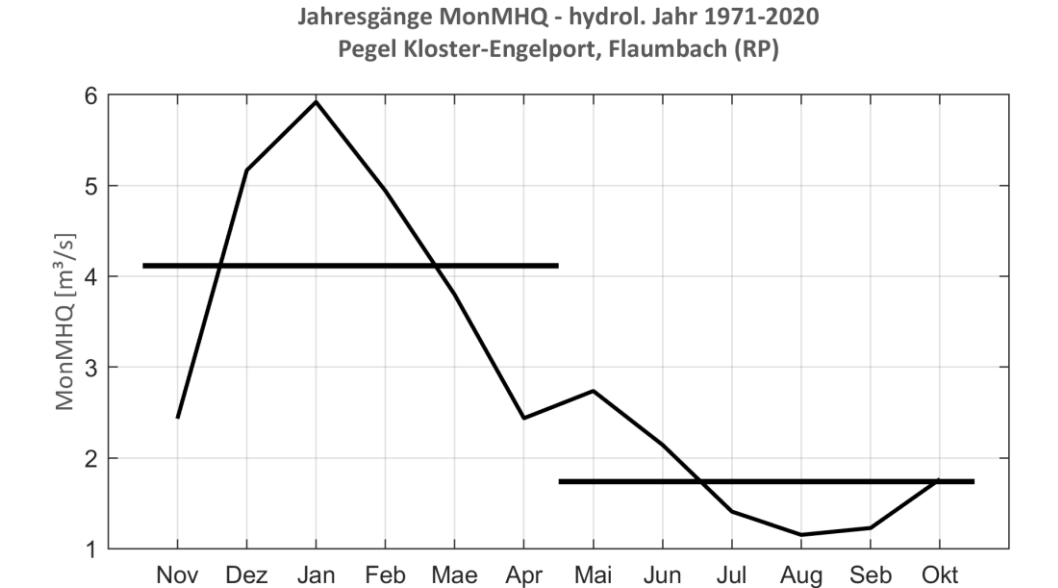


Abb. 211: Trenduntersuchungen von jährlichen Höchstabflüssen für den Zeitraum 1956 bis 2020.





Gesamt Wi: 4.11 [m³/s] So: 1.74 [m³/s]

Abb. 212: Jahresgang des MonMHQ und Halbjahresmittel für 1971-2020.

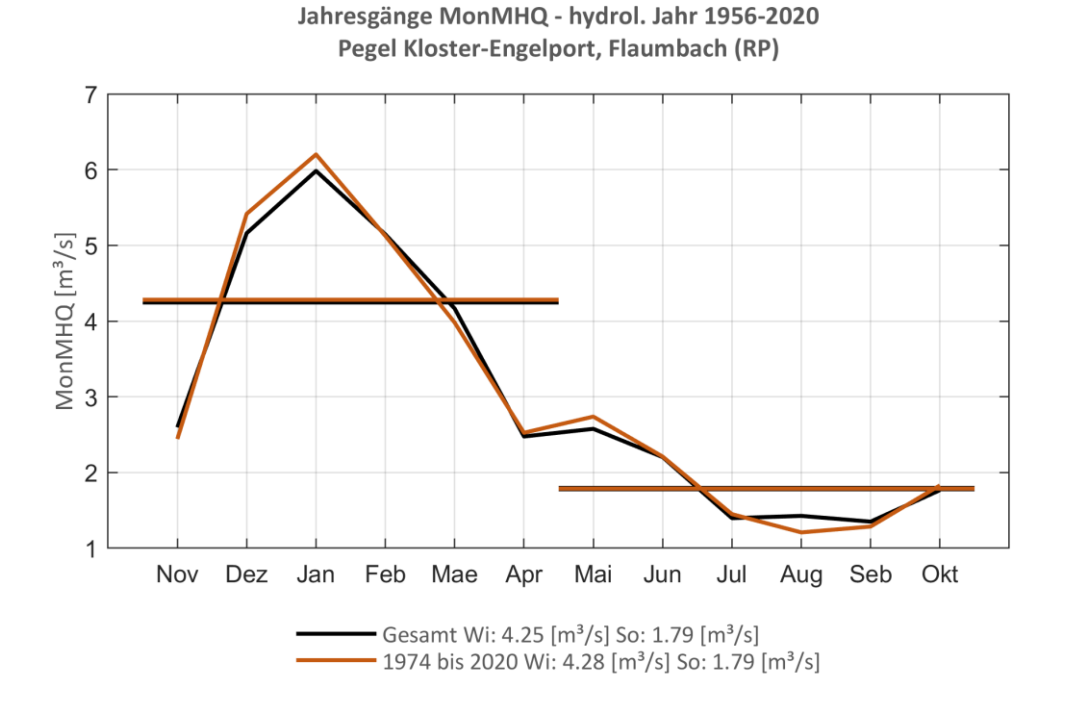


Abb. 213: Jahresgang des MonMHQ und Halbjahresmittel für 1956-2020 sowie 1974-2020.



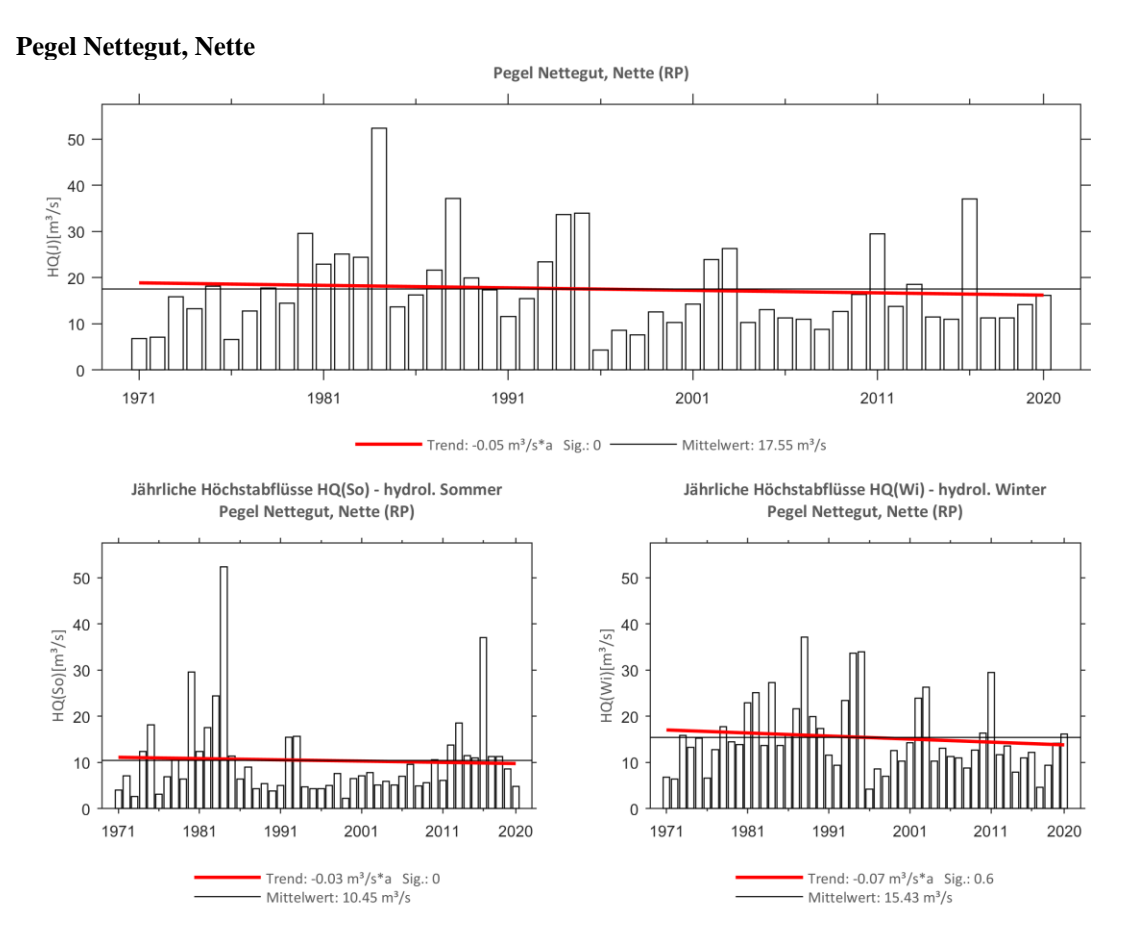


Abb. 214: Trenduntersuchungen von jährlichen Höchstabflüssen für den Zeitraum 1971 bis 2020.

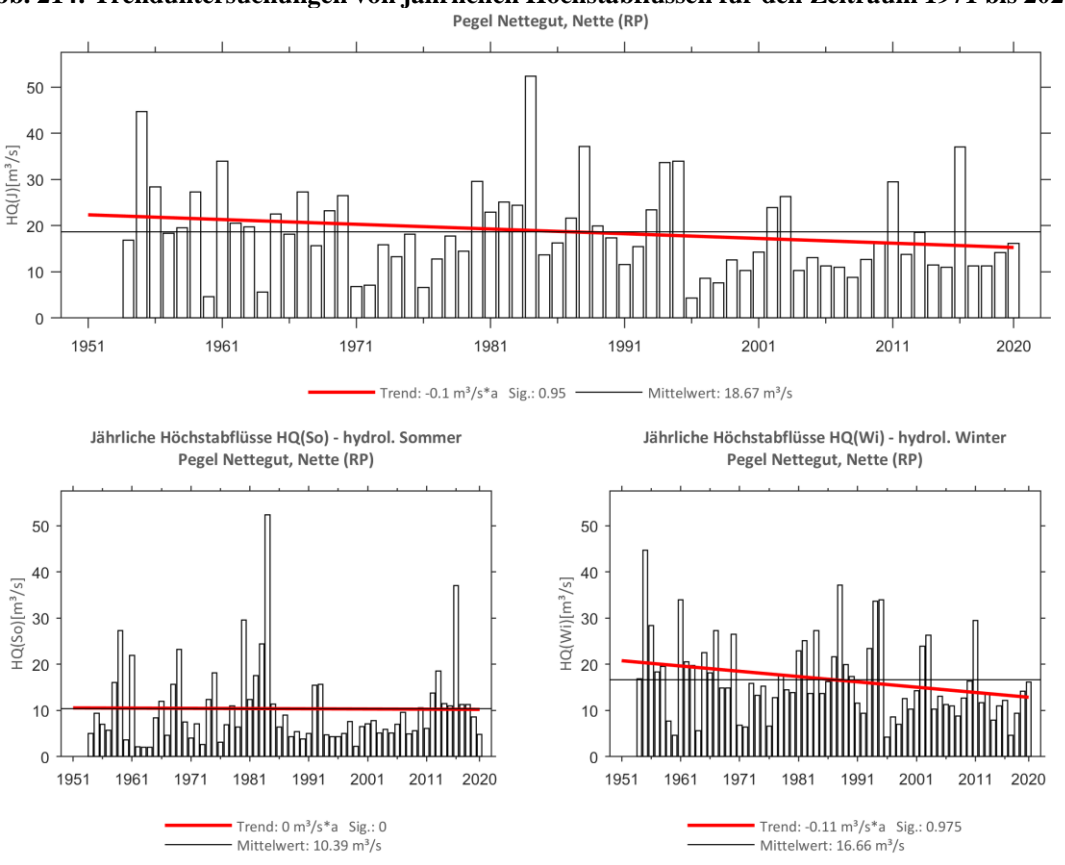


Abb. 215: Trenduntersuchungen von jährlichen Höchstabflüssen für den Zeitraum 1954 bis 2020.



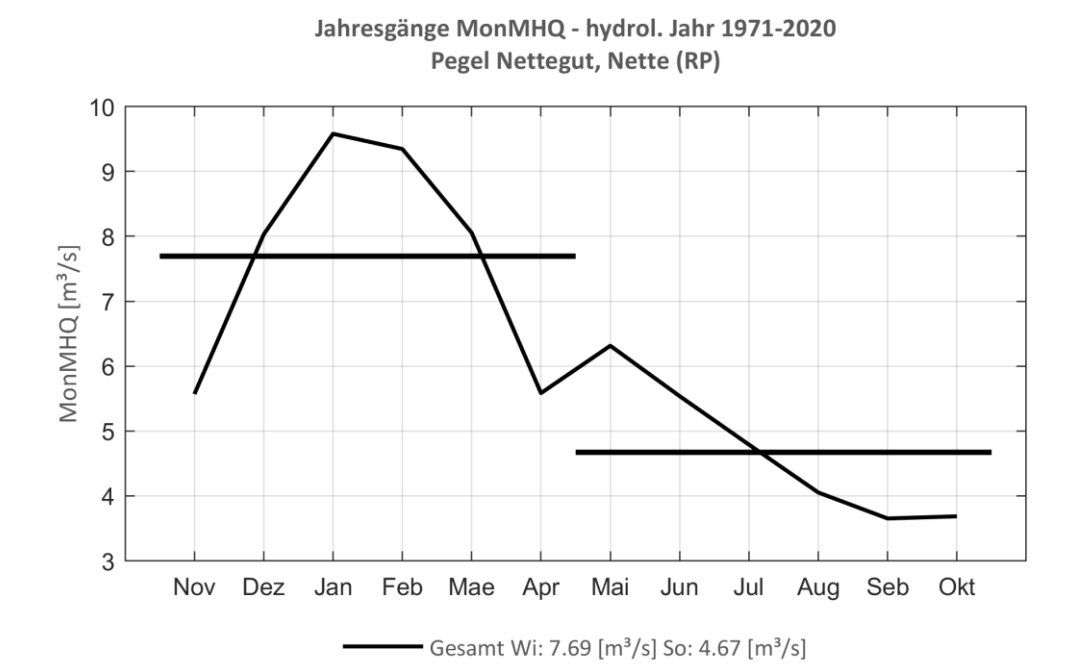


Abb. 216: Jahresgang des MonMHQ und Halbjahresmittel für 1971-2020.

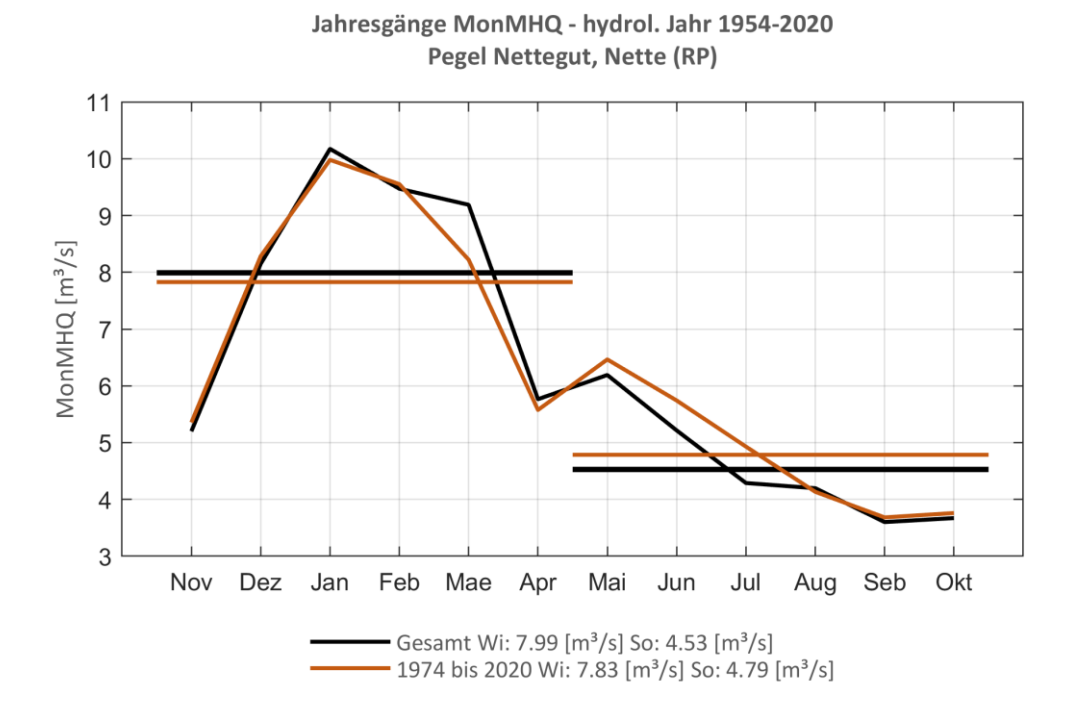


Abb. 217: Jahresgang des MonMHQ und Halbjahresmittel für 1954-2020 sowie 1974-2020.



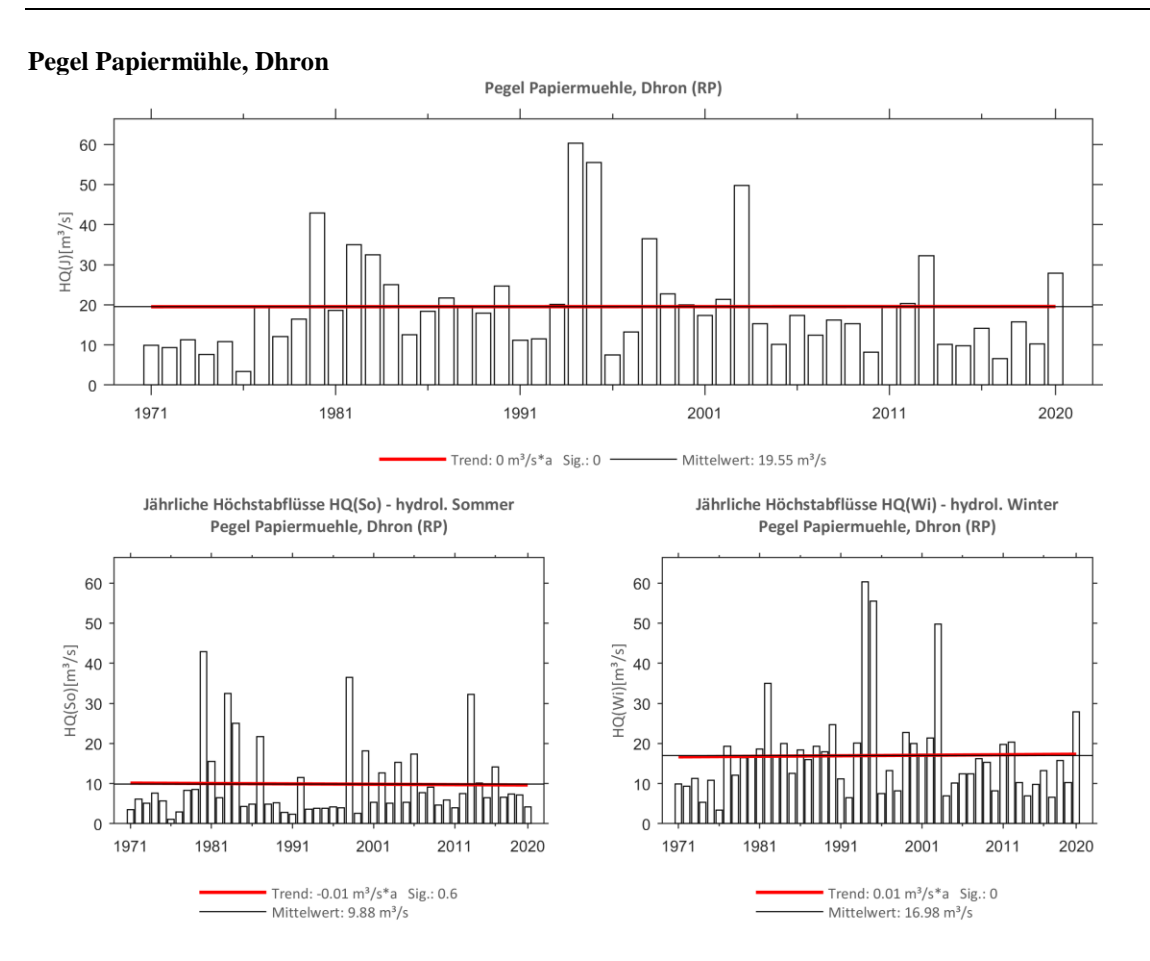


Abb. 218: Trenduntersuchungen von jährlichen Höchstabflüssen für den Zeitraum 1971 bis 2020.

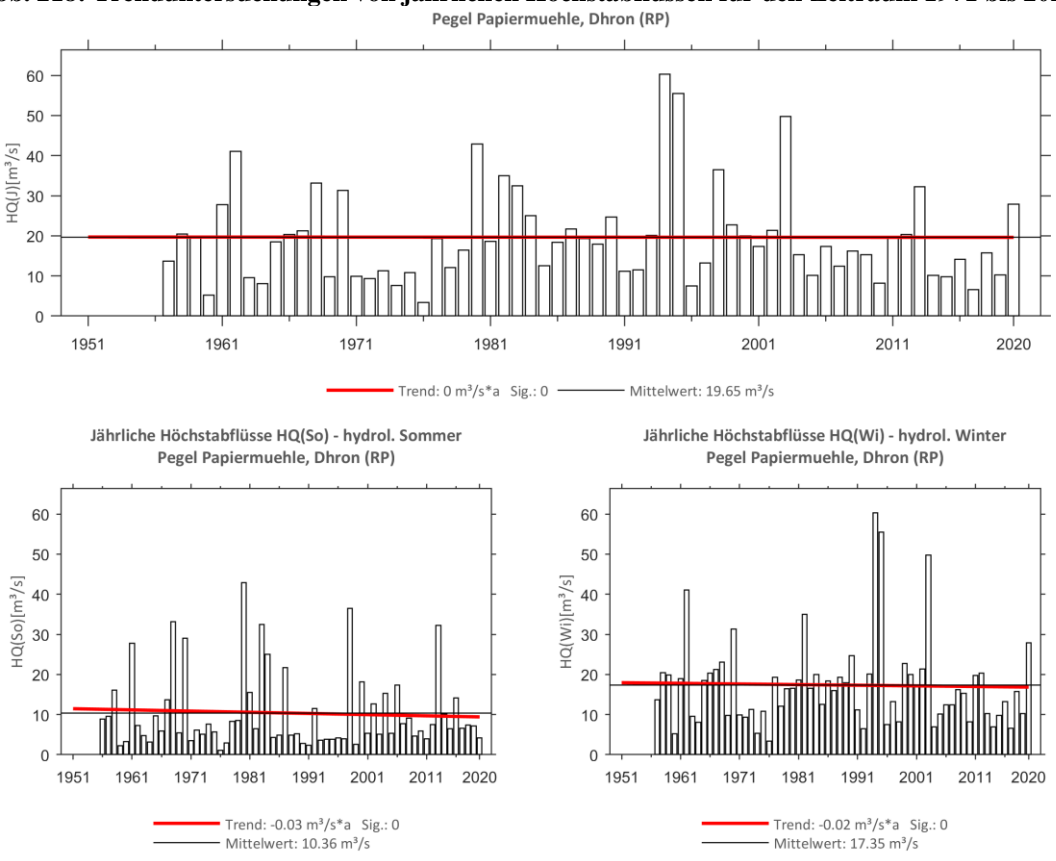


Abb. 219: Trenduntersuchungen von jährlichen Höchstabflüssen für den Zeitraum 1957 bis 2020.



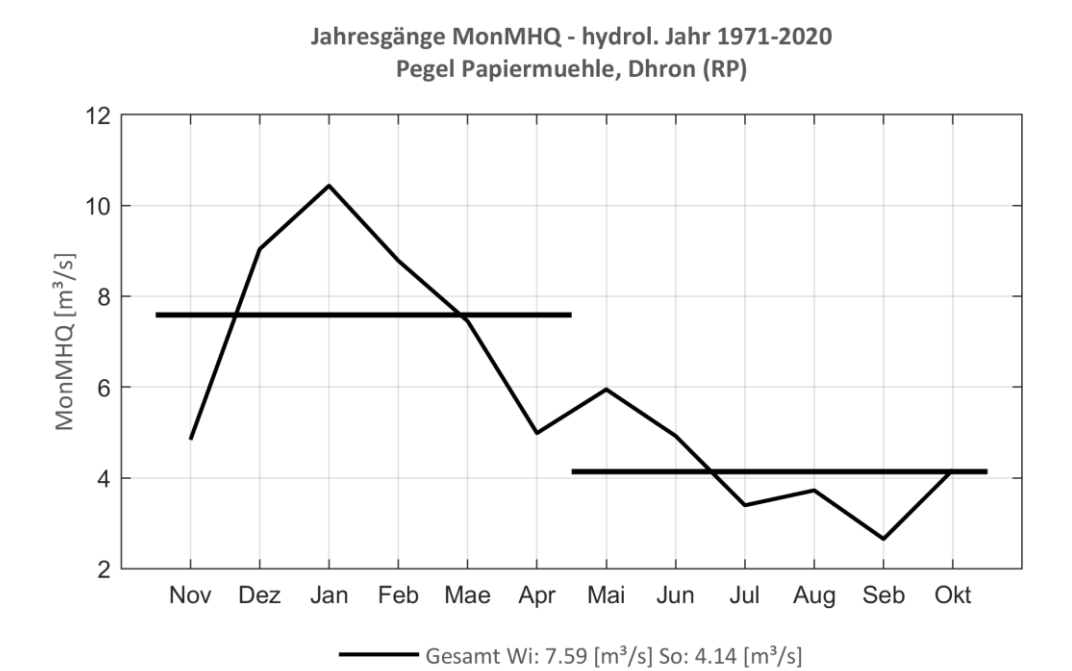


Abb. 220: Jahresgang des MonMHQ und Halbjahresmittel für 1971-2020.

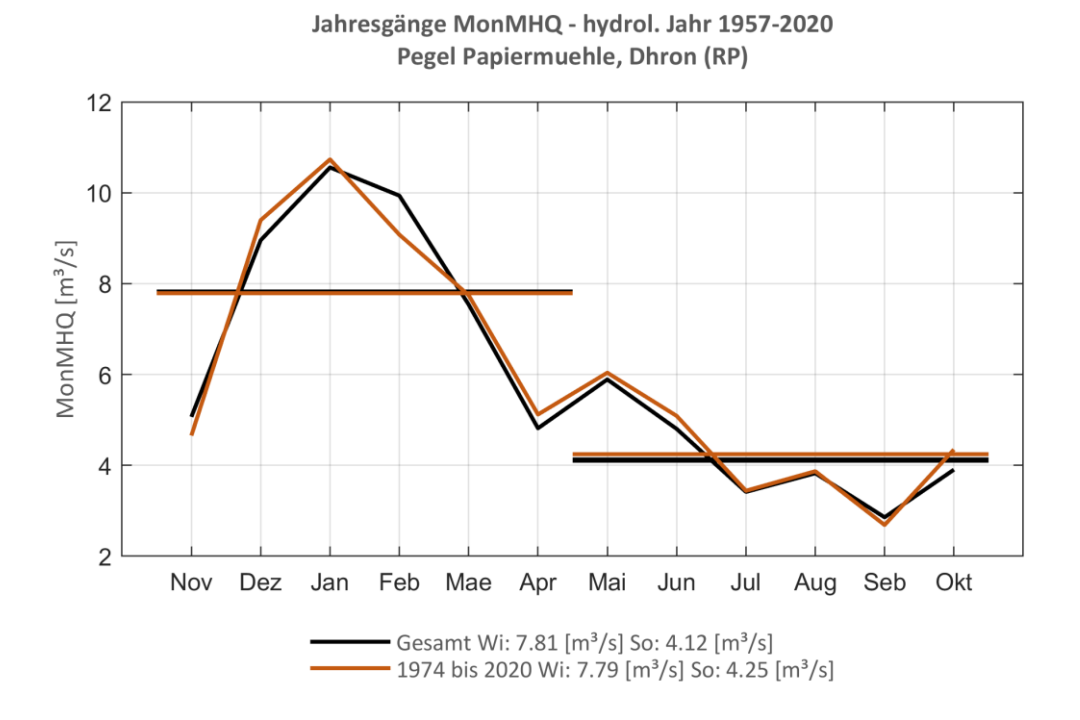


Abb. 221: Jahresgang des MonMHQ und Halbjahresmittel für 1957-2020 sowie 1974-2020.



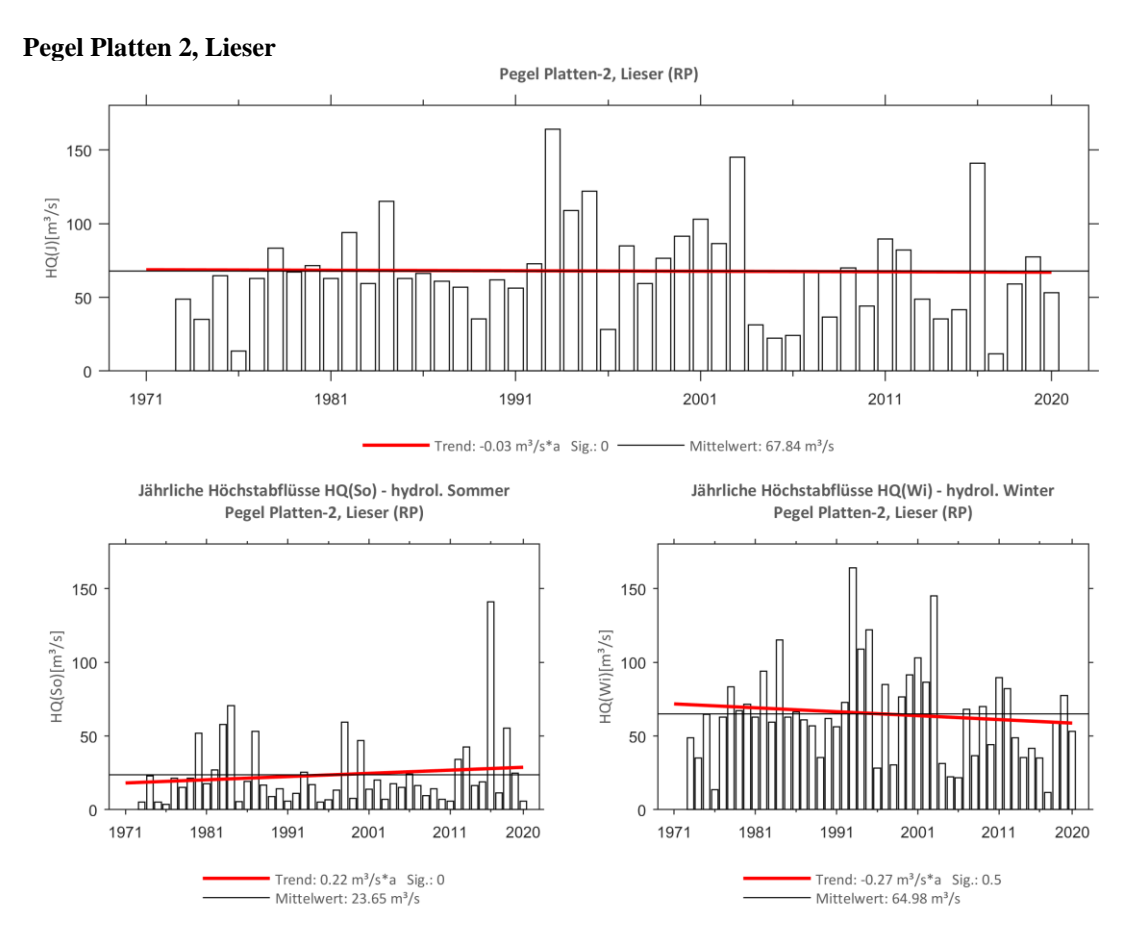


Abb. 222: Trenduntersuchungen von jährlichen Höchstabflüssen für den Zeitraum 1973 bis 2020.

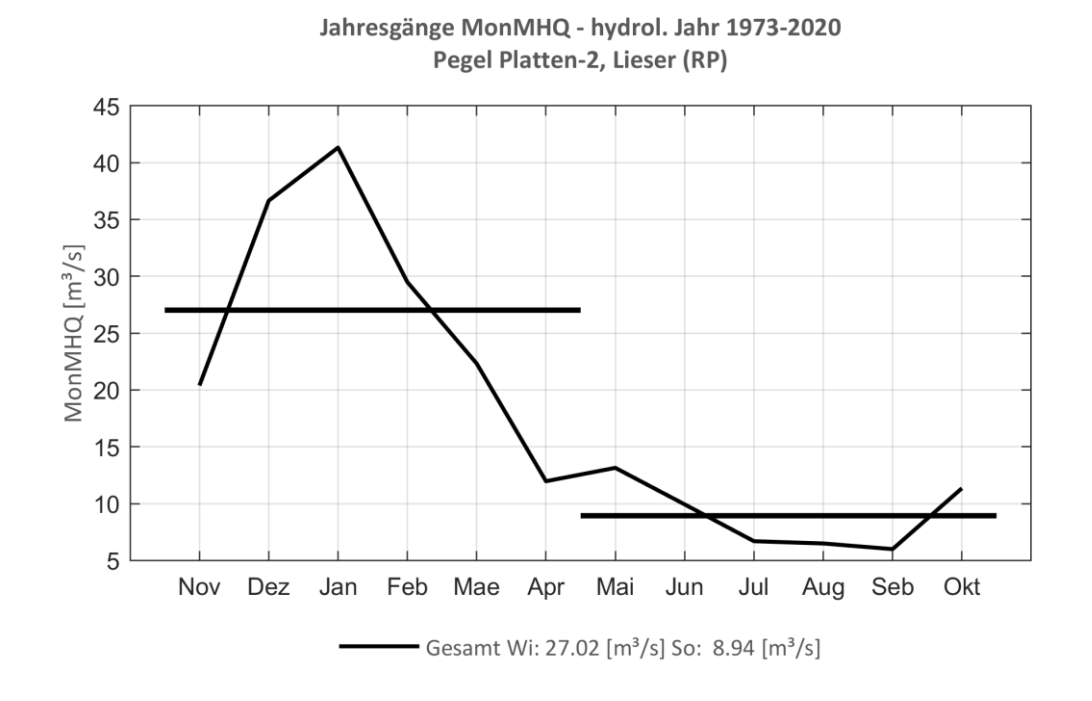


Abb. 223: Jahresgang des MonMHQ und Halbjahresmittel für 1973-2020.



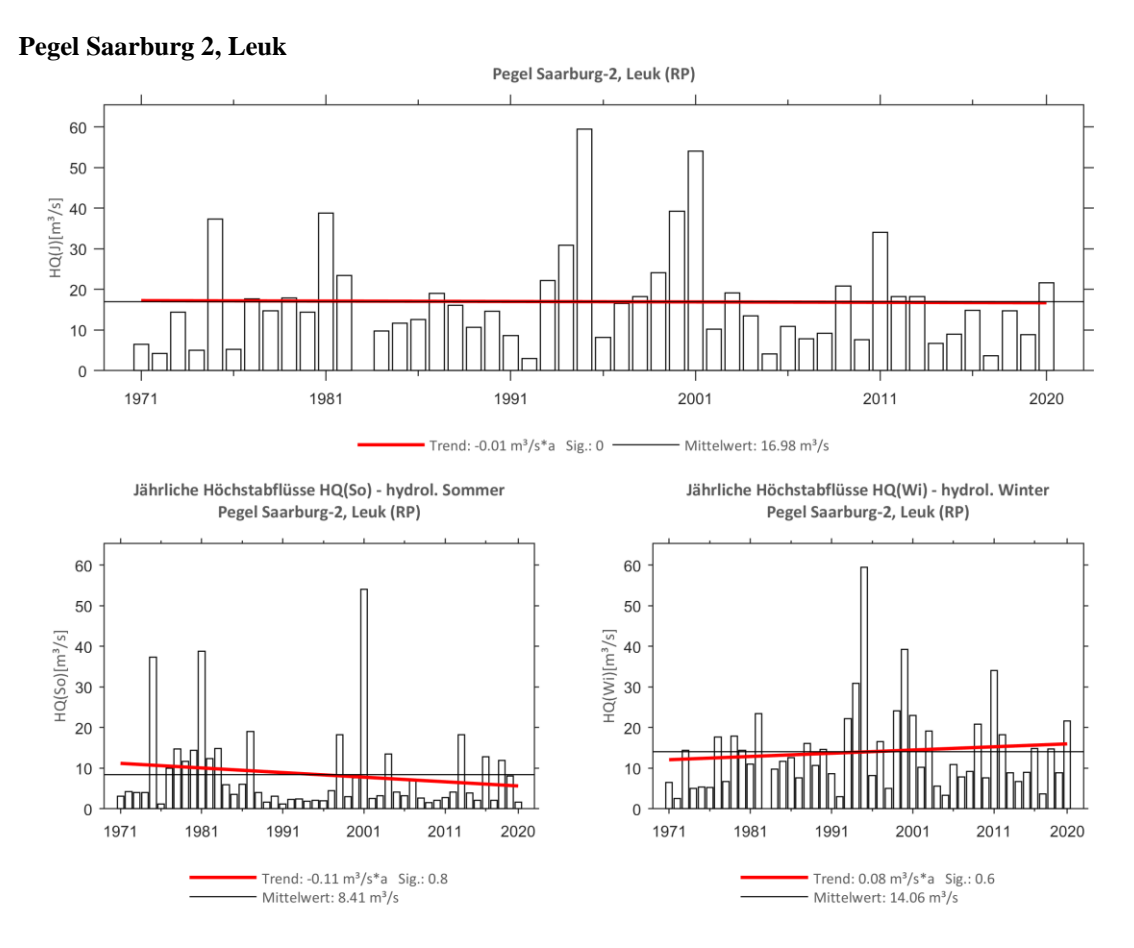


Abb. 224: Trenduntersuchungen von jährlichen Höchstabflüssen für den Zeitraum 1971 bis 2020.

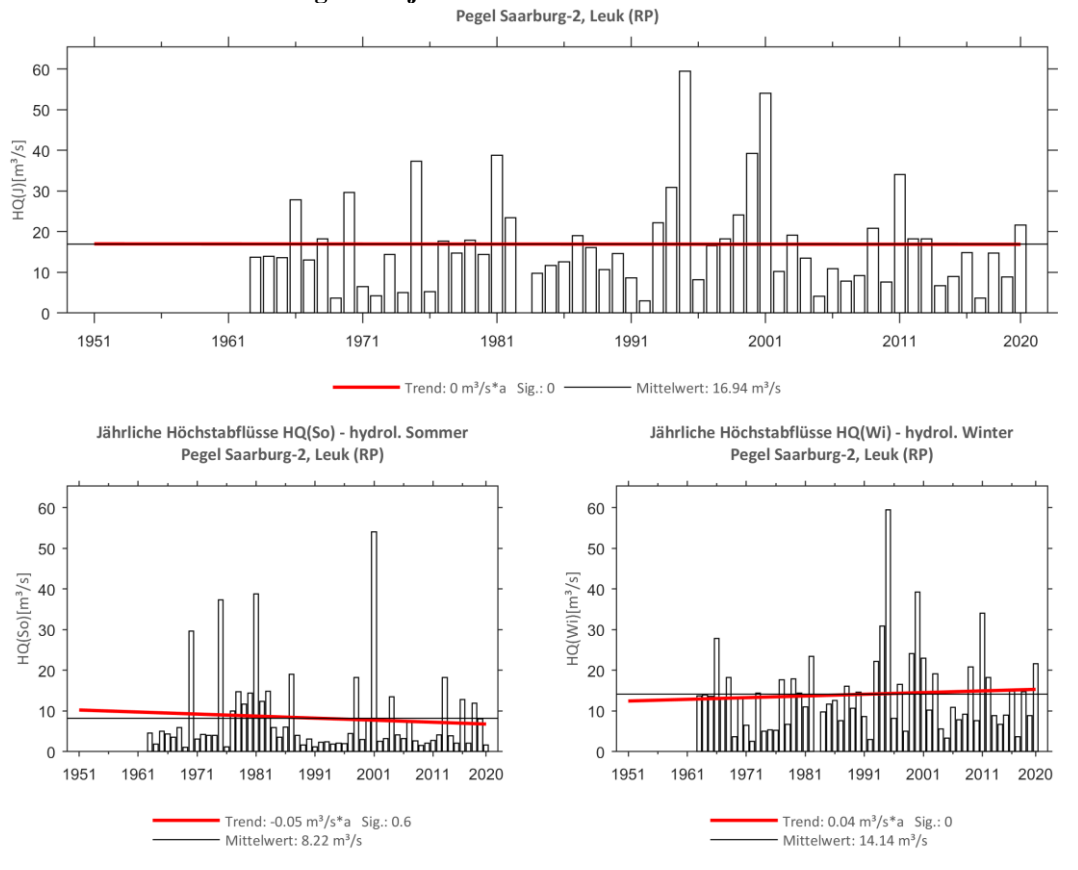


Abb. 225: Trenduntersuchungen von jährlichen Höchstabflüssen für den Zeitraum 1963 bis 2020.



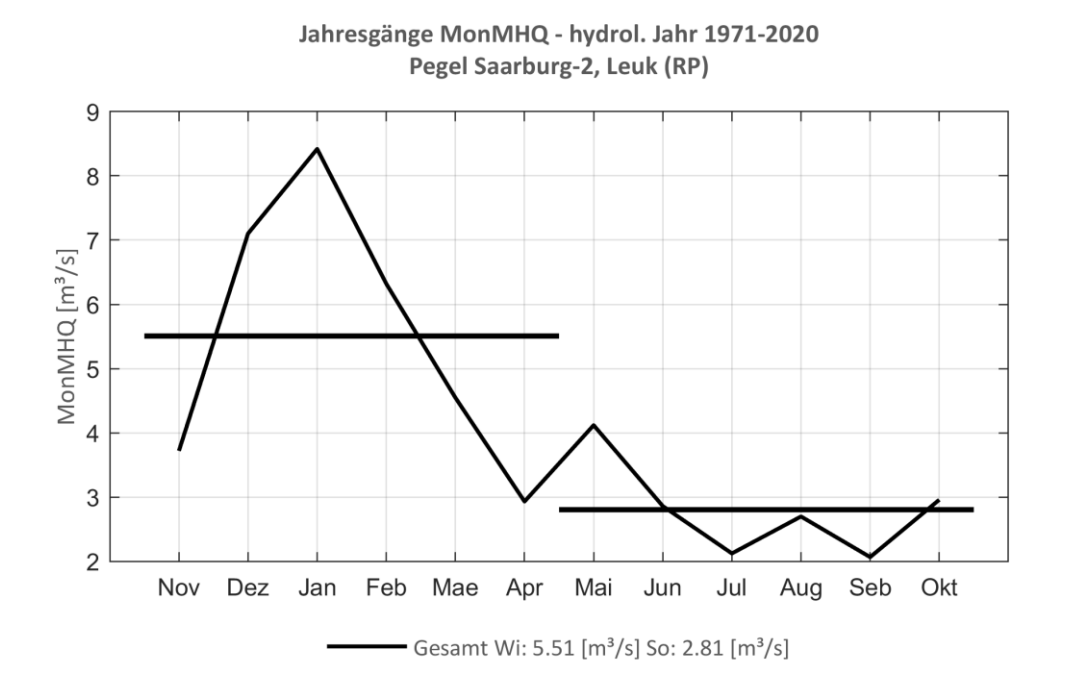


Abb. 226: Jahresgang des MonMHQ und Halbjahresmittel für 1971-2020.

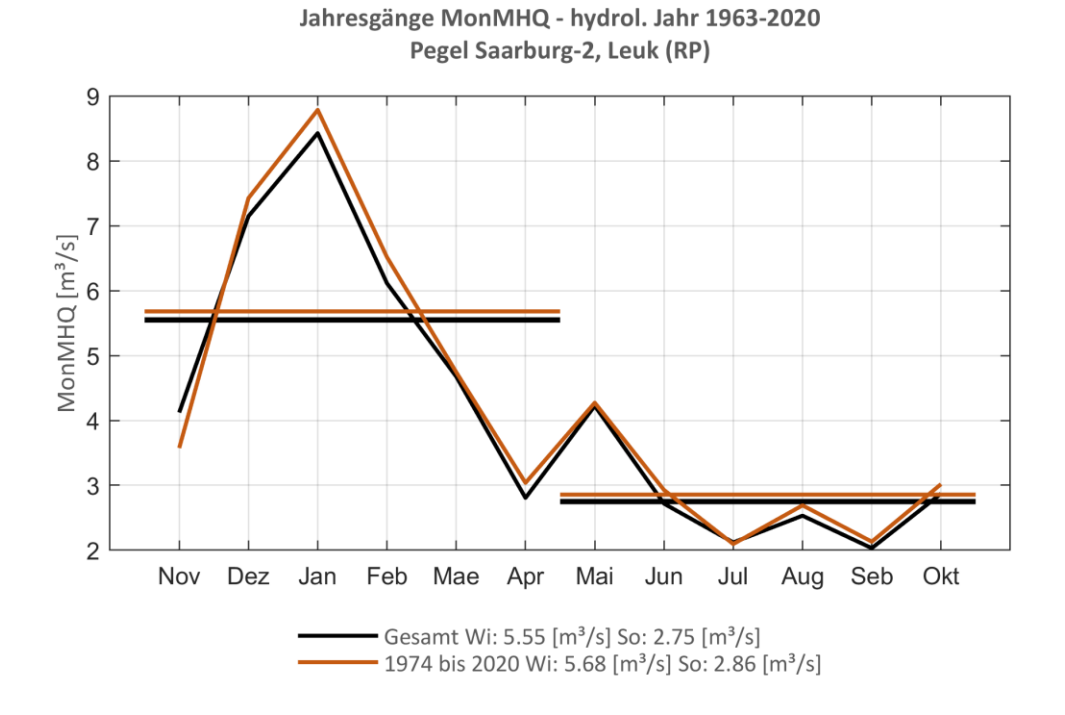


Abb. 227: Jahresgang des MonMHQ und Halbjahresmittel für 1963-2020 sowie 1974-2020.



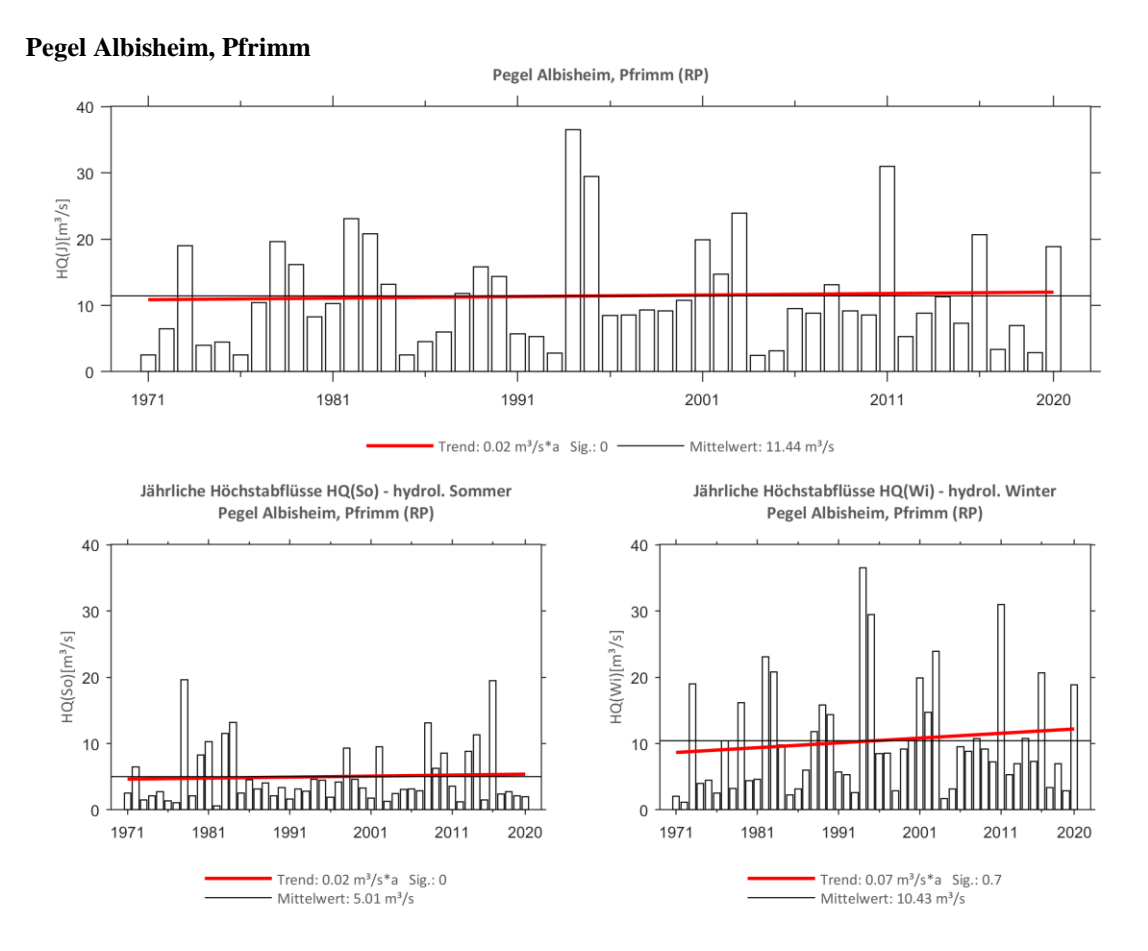


Abb. 228: Trenduntersuchungen von jährlichen Höchstabflüssen für den Zeitraum 1971 bis 2020.

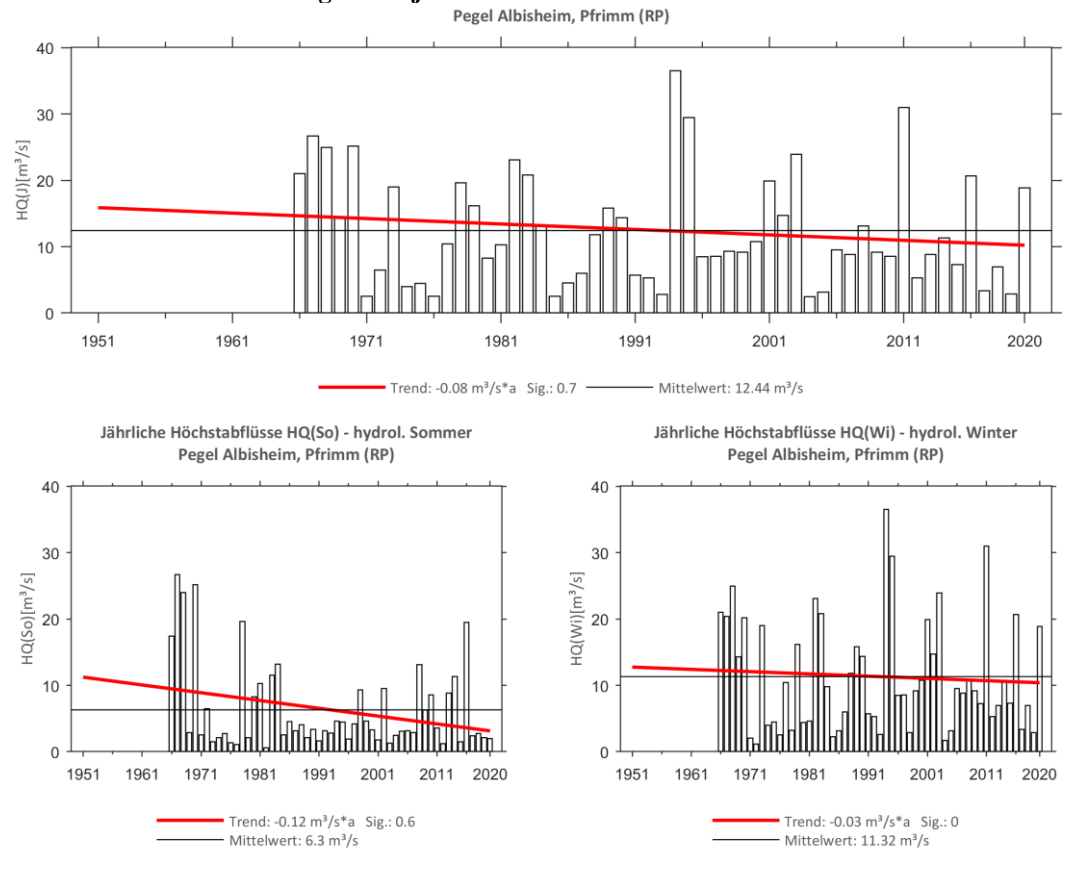


Abb. 229: Trenduntersuchungen von jährlichen Höchstabflüssen für den Zeitraum 1966 bis 2020.



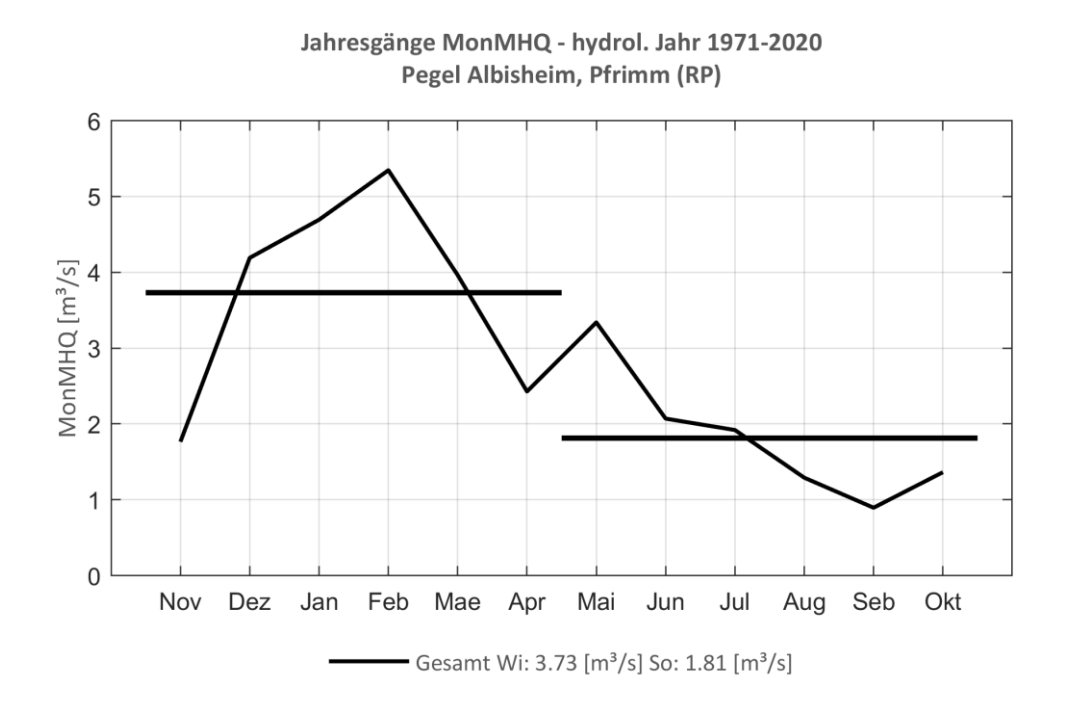


Abb. 230: Jahresgang des MonMHQ und Halbjahresmittel für 1971-2020.

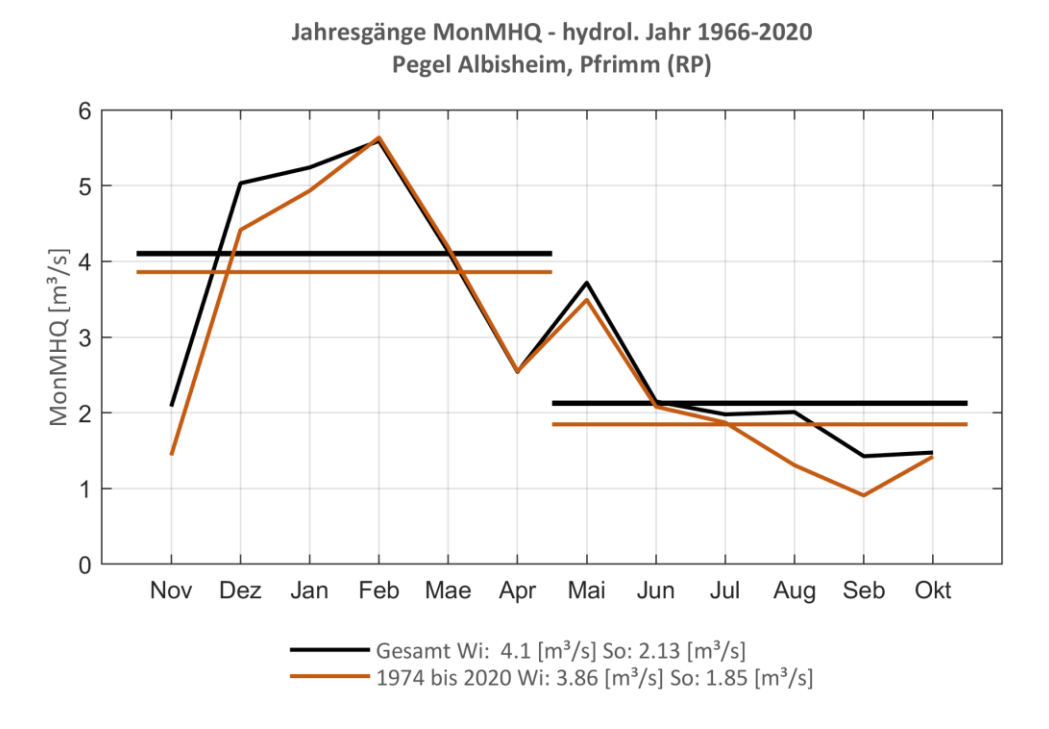


Abb. 231: Jahresgang des MonMHQ und Halbjahresmittel für 1966-2020 sowie 1974-2020.



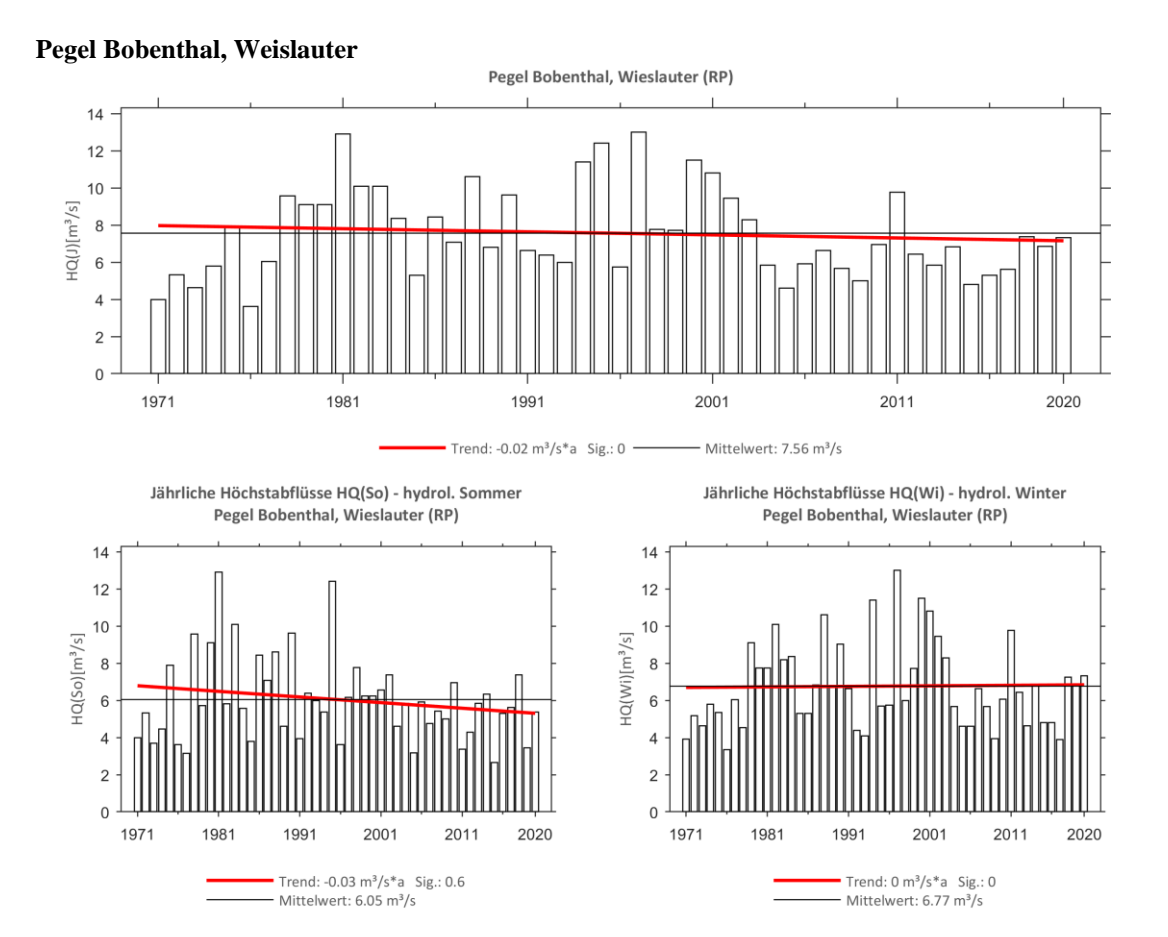


Abb. 232: Trenduntersuchungen von jährlichen Höchstabflüssen für den Zeitraum 1971 bis 2020.

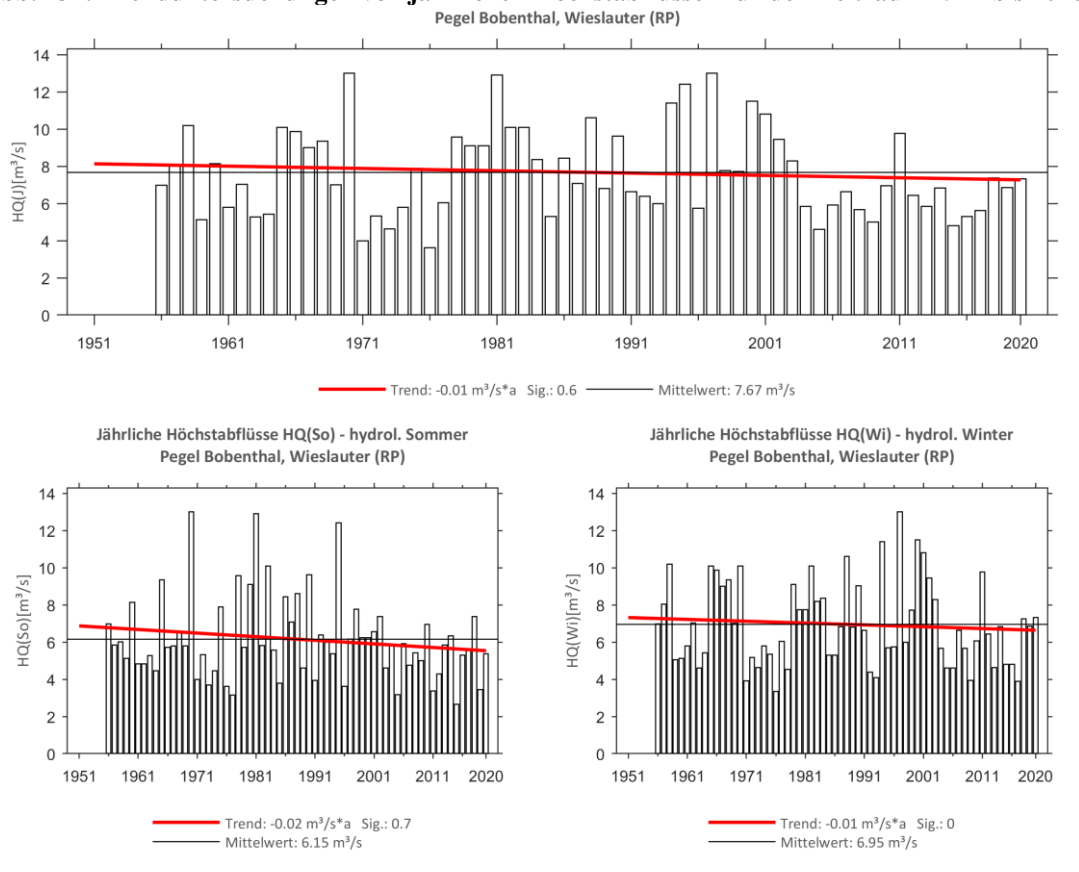


Abb. 233: Trenduntersuchungen von jährlichen Höchstabflüssen für den Zeitraum 1956 bis 2020.



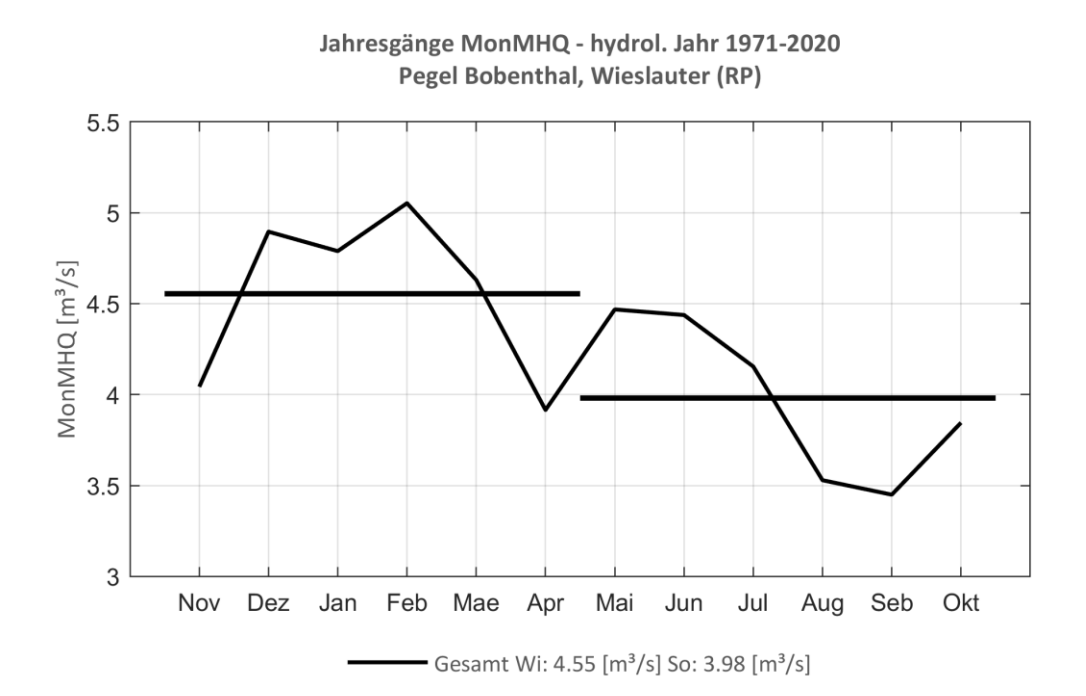


Abb. 234: Jahresgang des MonMHQ und Halbjahresmittel für 1971-2020.

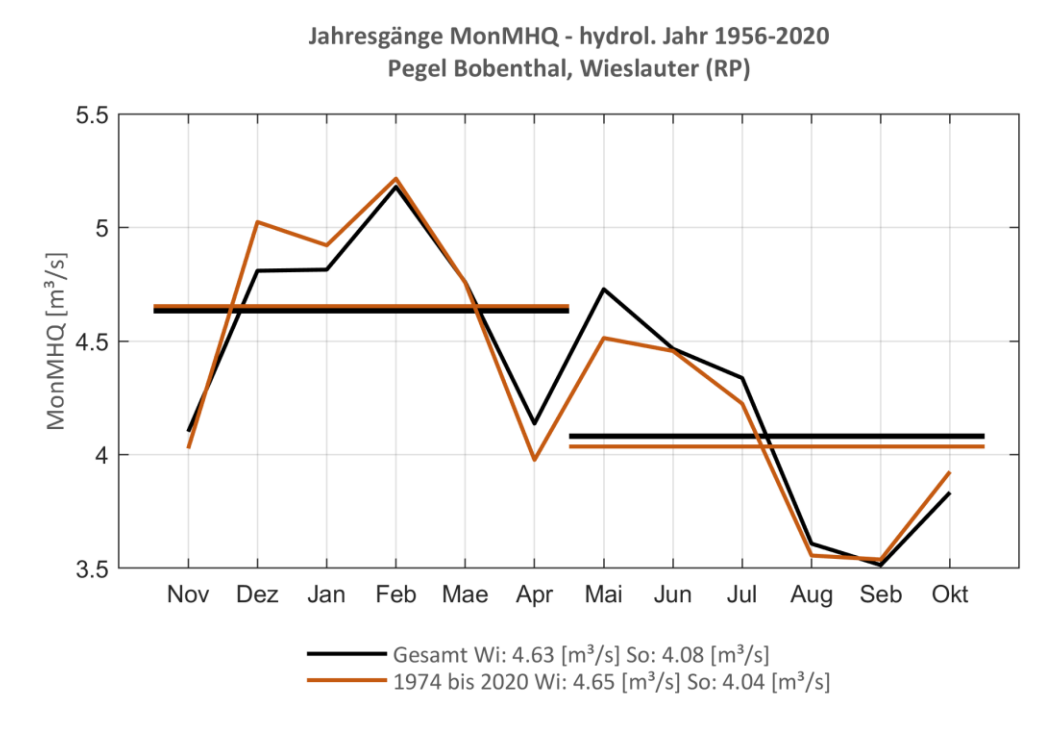


Abb. 235: Jahresgang des MonMHQ und Halbjahresmittel für 1956-2020 sowie 1974-2020.



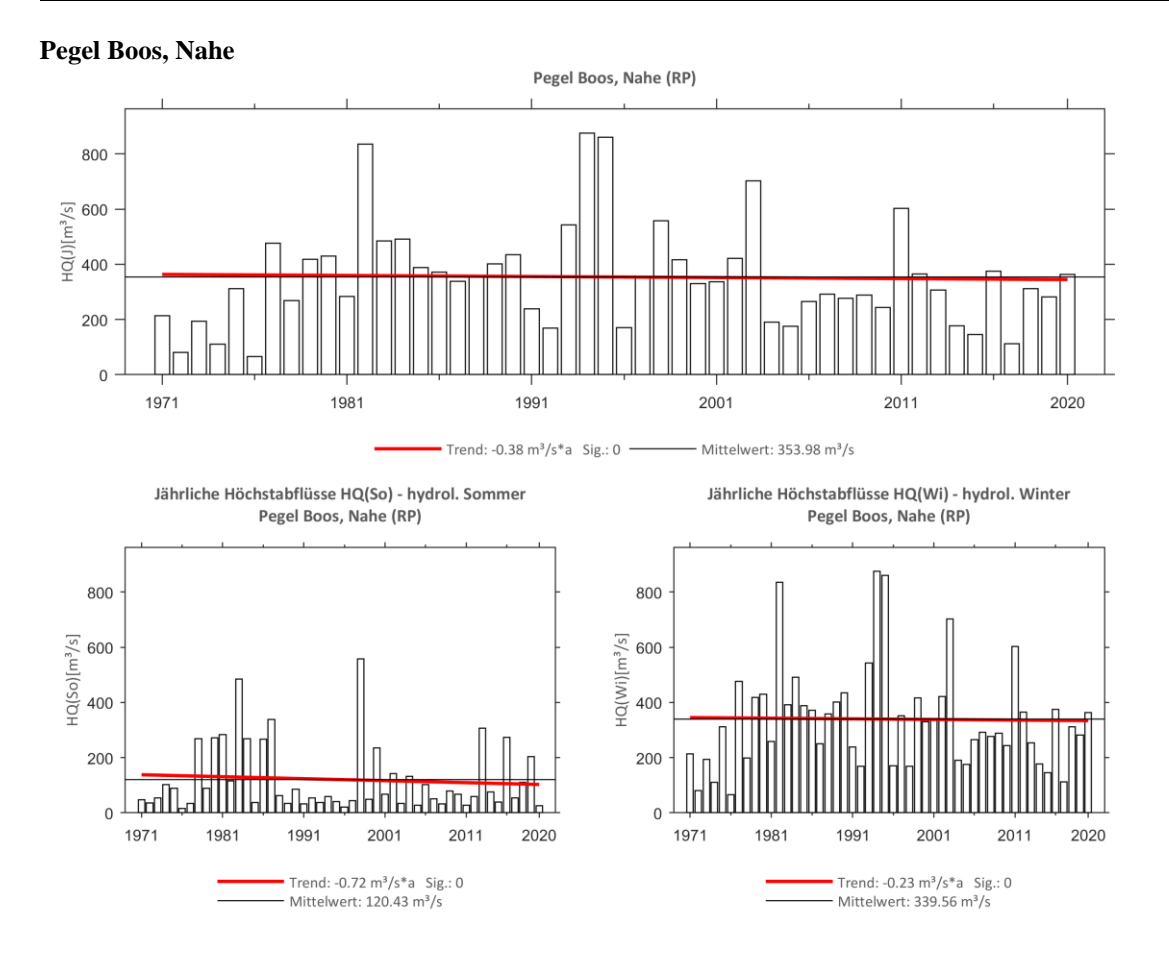


Abb. 236: Trenduntersuchungen von jährlichen Höchstabflüssen für den Zeitraum 1971 bis 2020.

Pegel Boos, Nahe (RP)

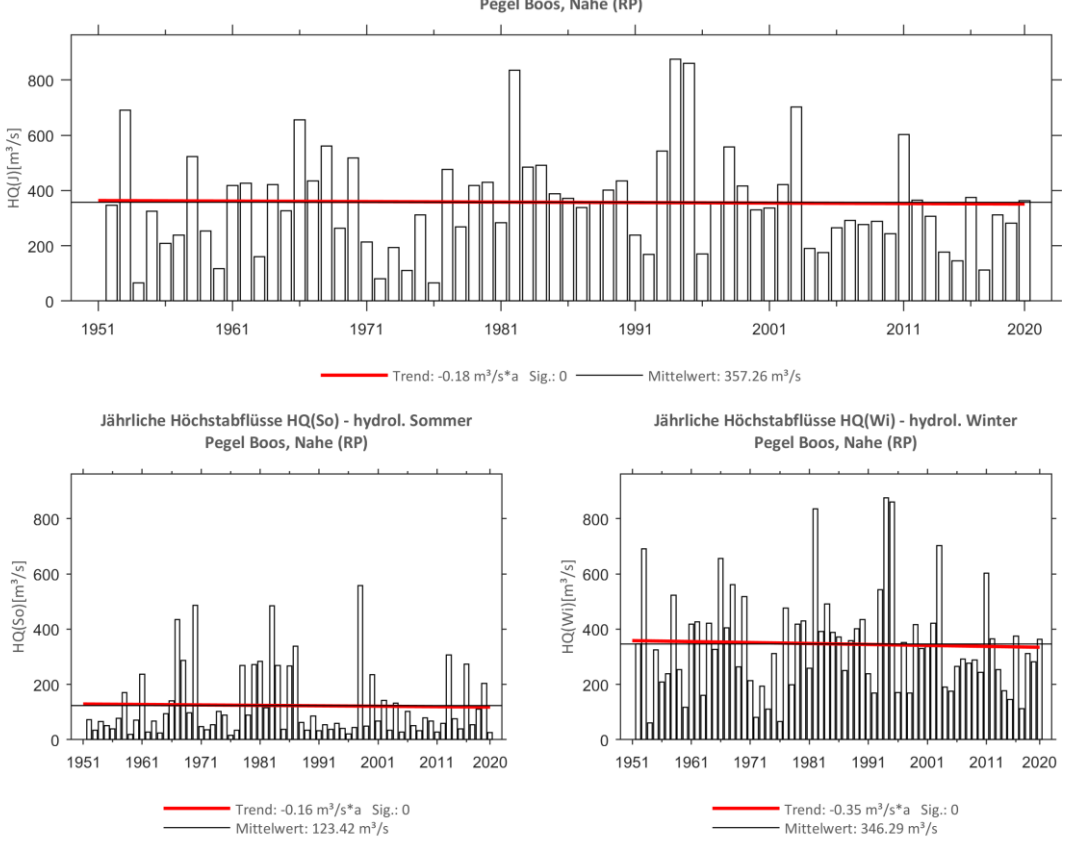


Abb. 237: Trenduntersuchungen von jährlichen Höchstabflüssen für den Zeitraum 1952 bis 2020.



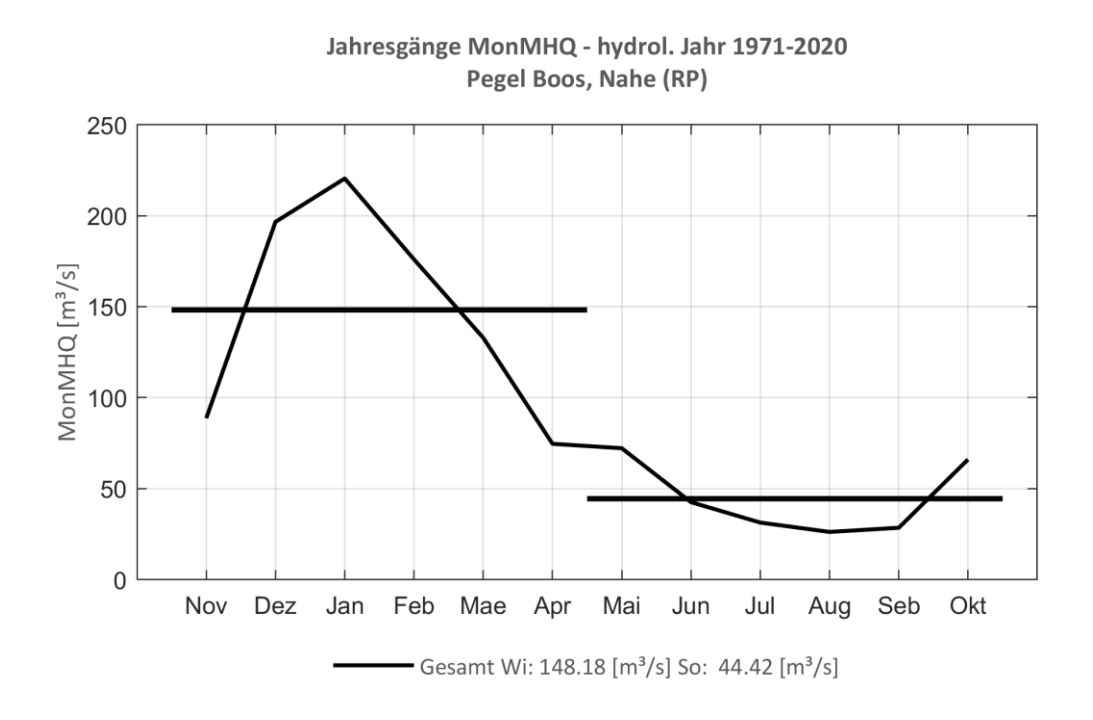


Abb. 238: Jahresgang des MonMHQ und Halbjahresmittel für 1971-2020.

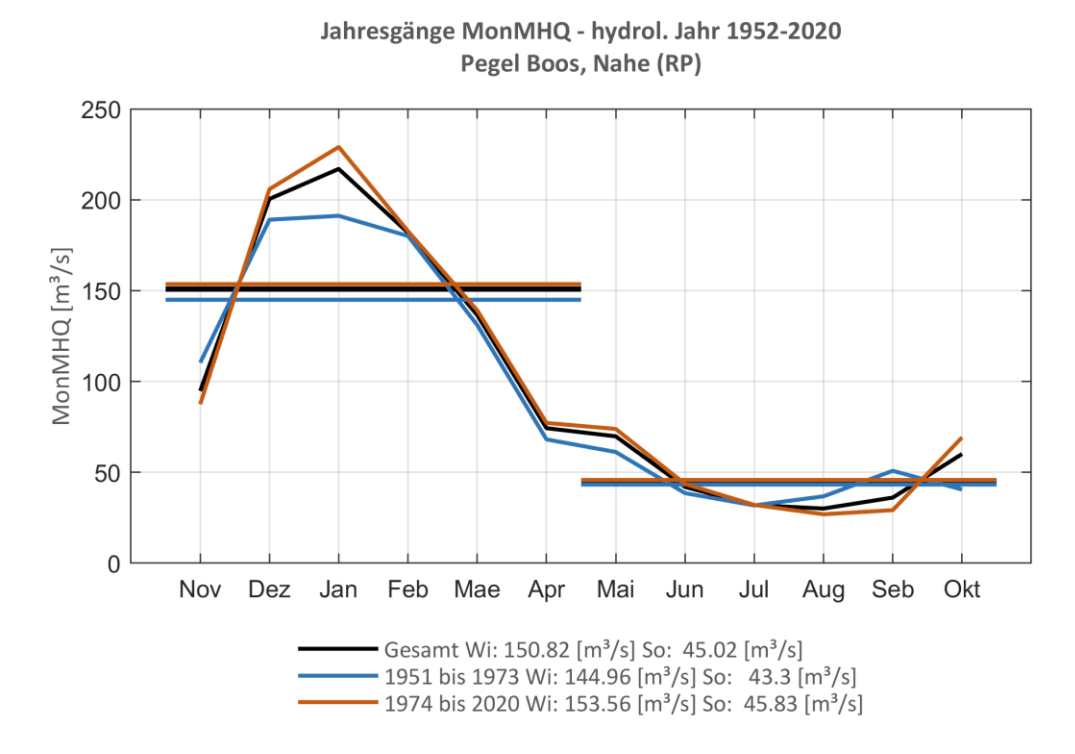


Abb. 239: Jahresgang des MonMHQ und Halbjahresmittel für 1952-2020 sowie 1952-1973 und 1974-2020.



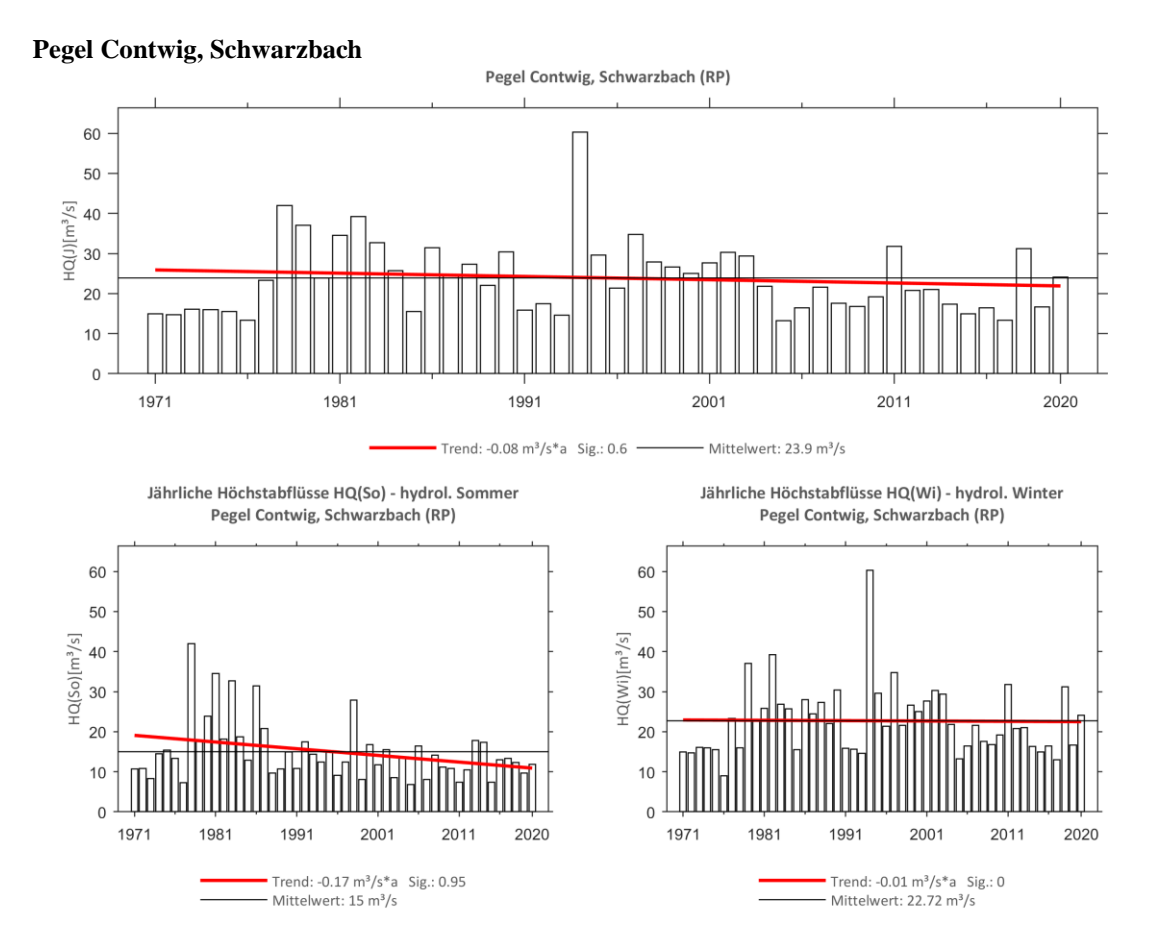


Abb. 240: Trenduntersuchungen von jährlichen Höchstabflüssen für den Zeitraum 1971 bis 2020.

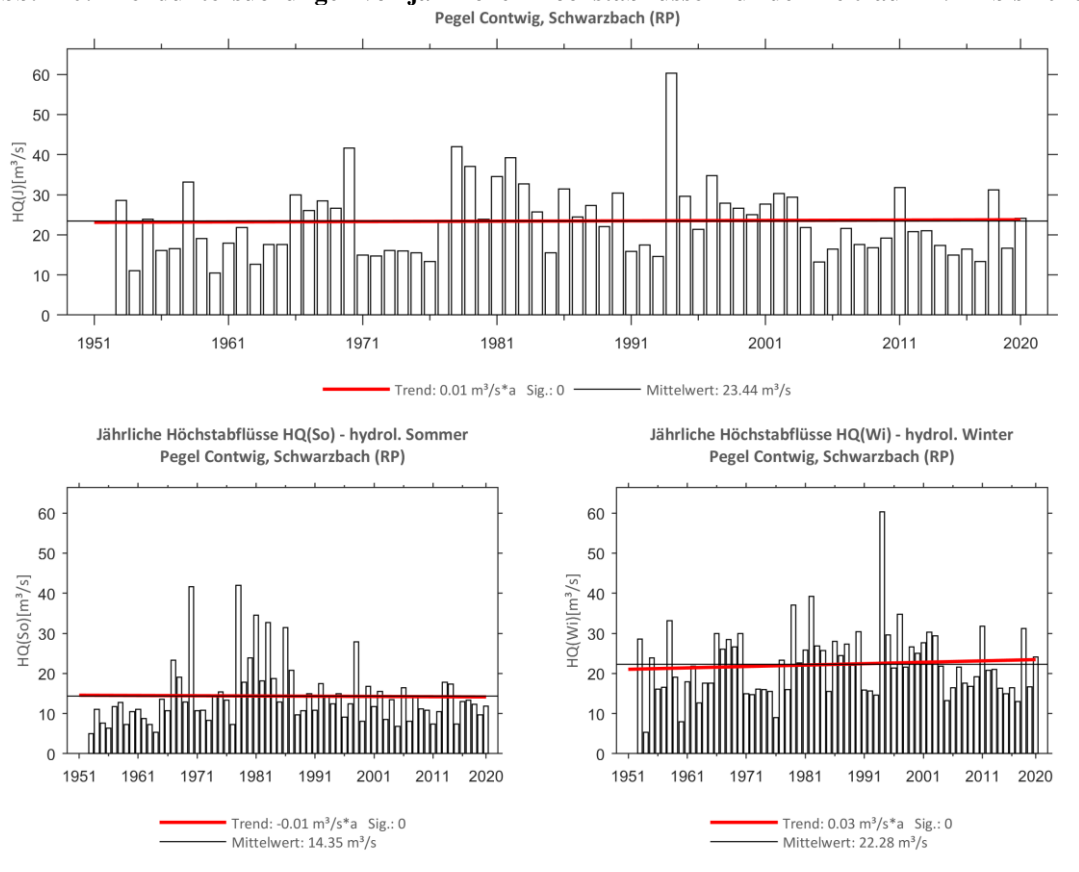


Abb. 241: Trenduntersuchungen von jährlichen Höchstabflüssen für den Zeitraum 1953 bis 2020.



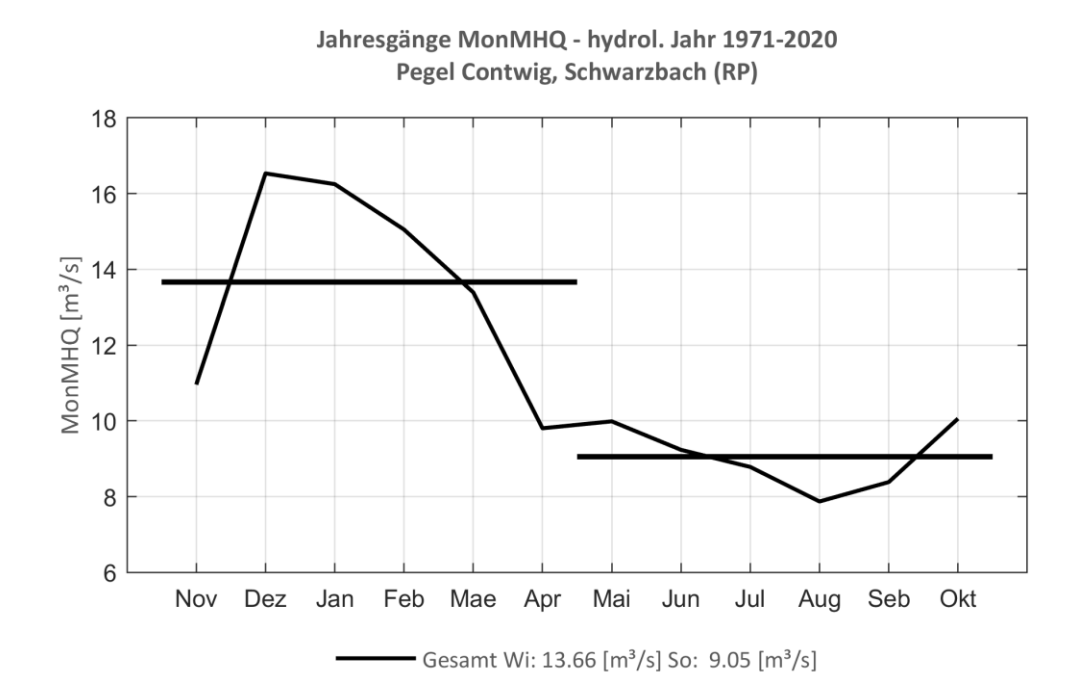


Abb. 242: Jahresgang des MonMHQ und Halbjahresmittel für 1971-2020.

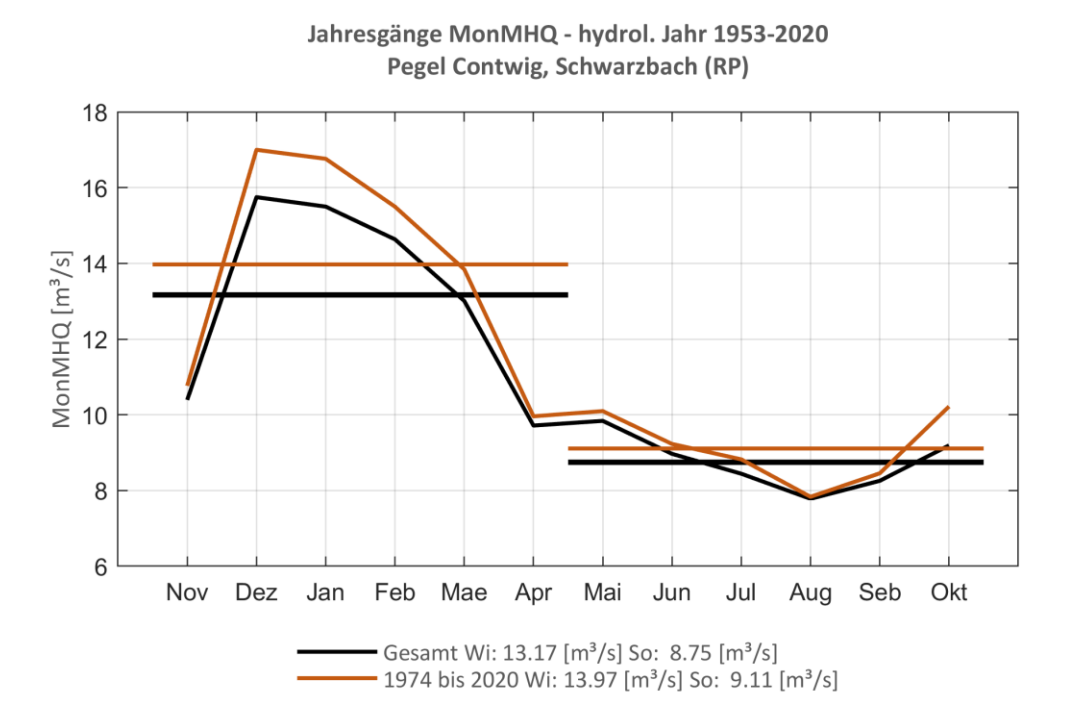


Abb. 243: Jahresgang des MonMHQ und Halbjahresmittel für 1953-2020 sowie 1974-2020.



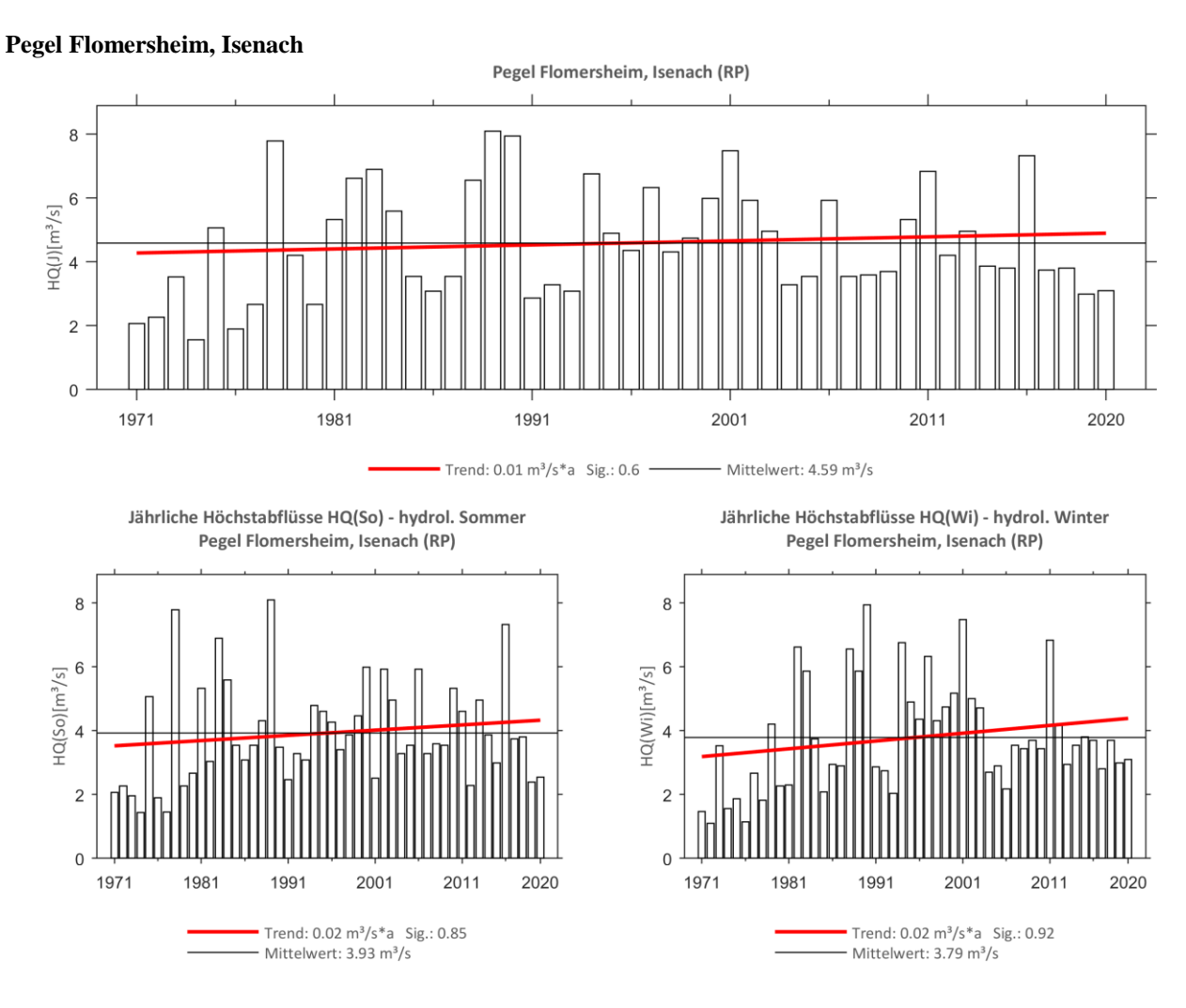


Abb. 244: Trenduntersuchungen von jährlichen Höchstabflüssen für den Zeitraum 1971 bis 2020.

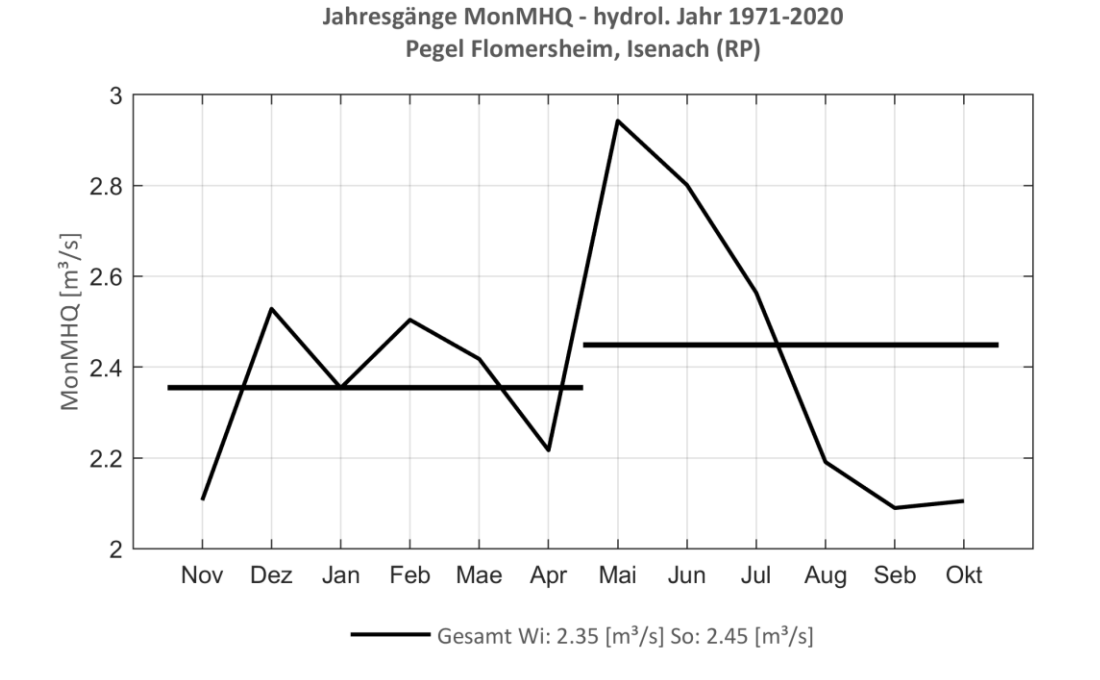


Abb. 245: Jahresgang des MonMHQ und Halbjahresmittel für 1971-2020.



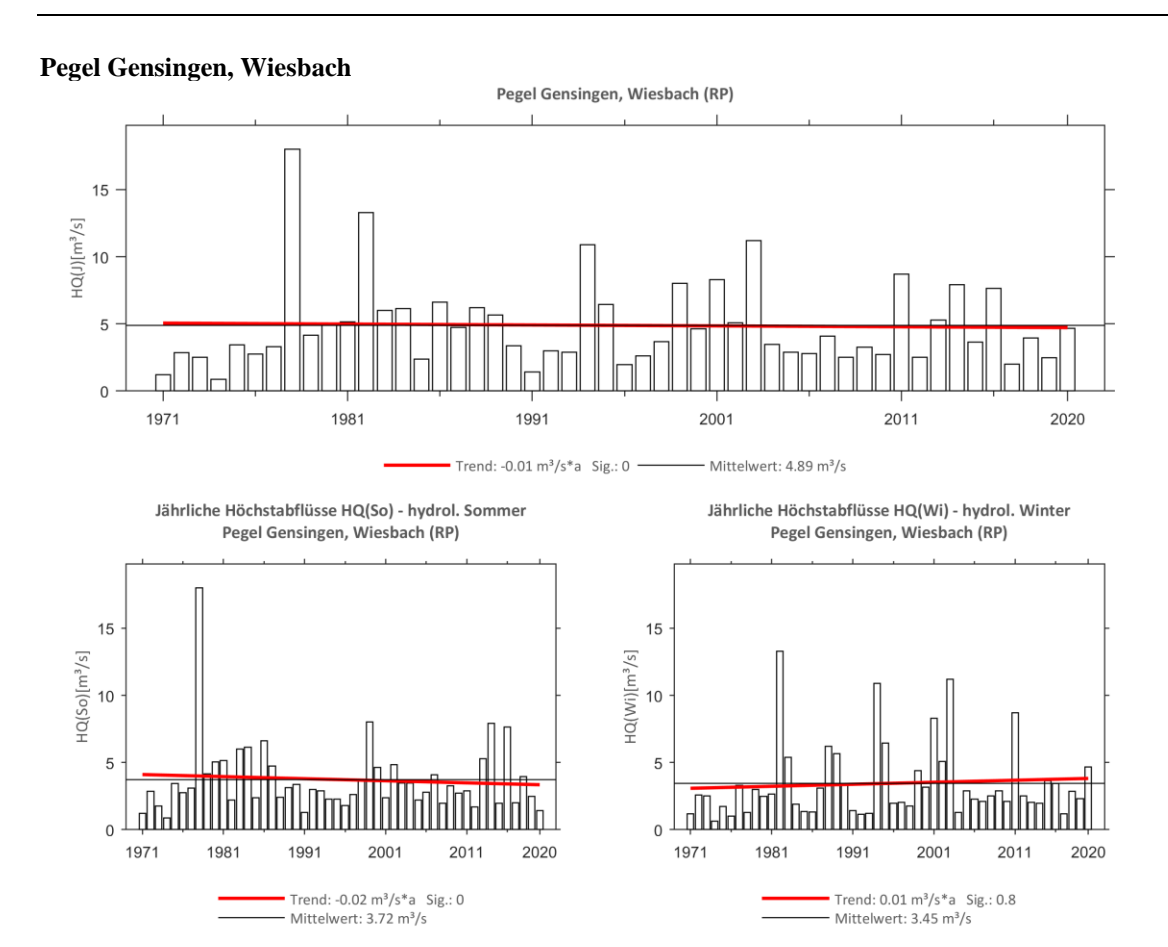


Abb. 246: Trenduntersuchungen von jährlichen Höchstabflüssen für den Zeitraum 1971 bis 2020.

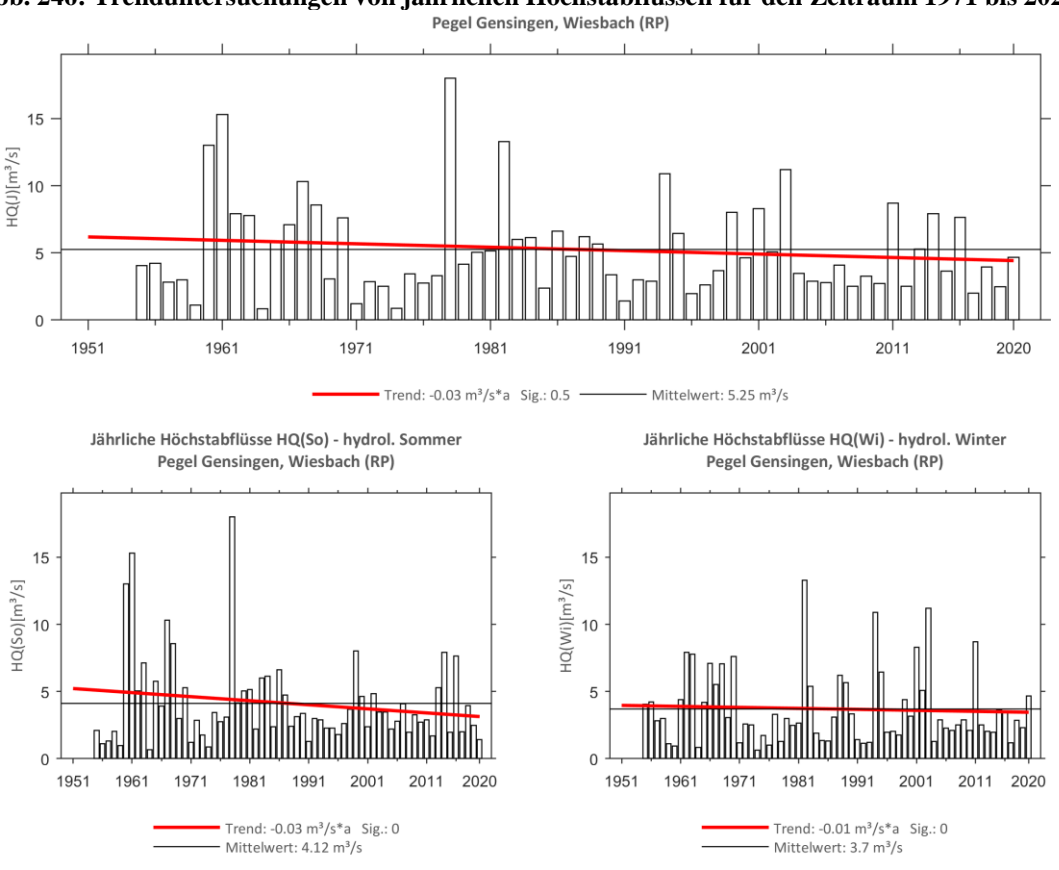


Abb. 247: Trenduntersuchungen von jährlichen Höchstabflüssen für den Zeitraum 1955 bis 2020.



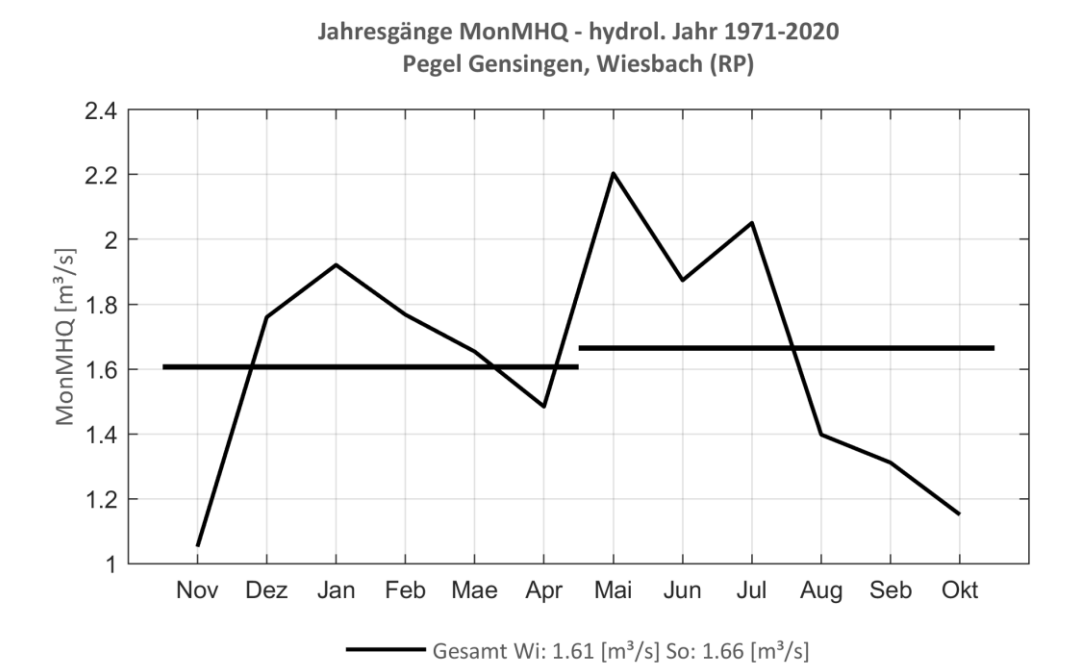


Abb. 248: Jahresgang des MonMHQ und Halbjahresmittel für 1971-2020.

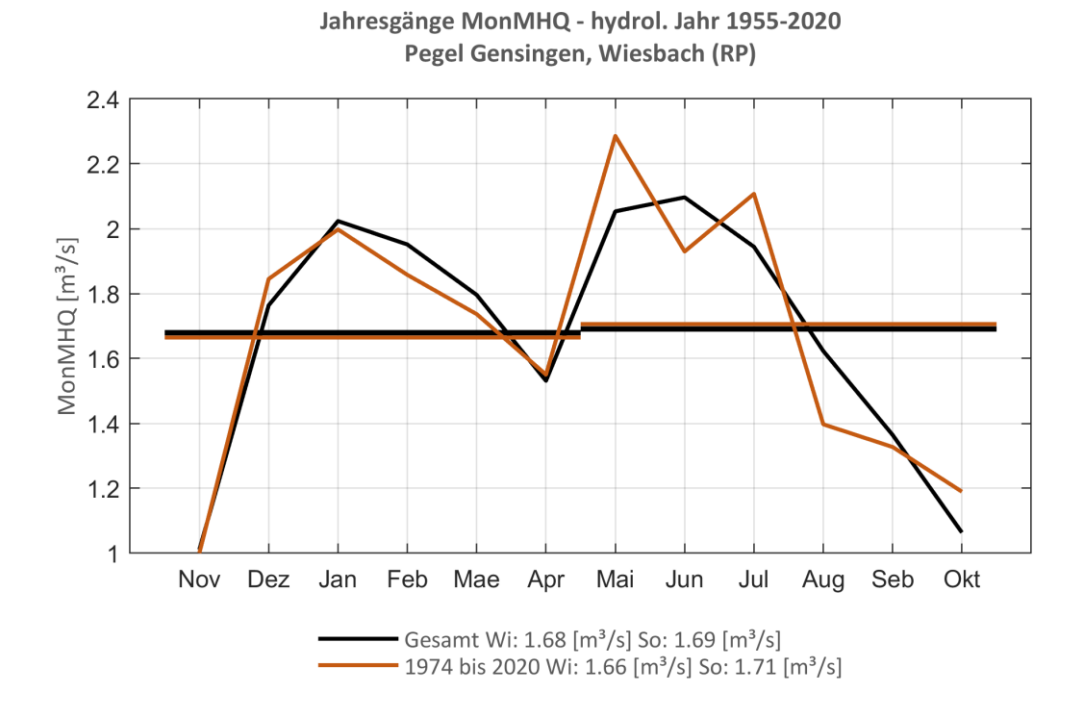
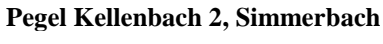


Abb. 249: Jahresgang des MonMHQ und Halbjahresmittel für 1955-2020 sowie 1974-2020.





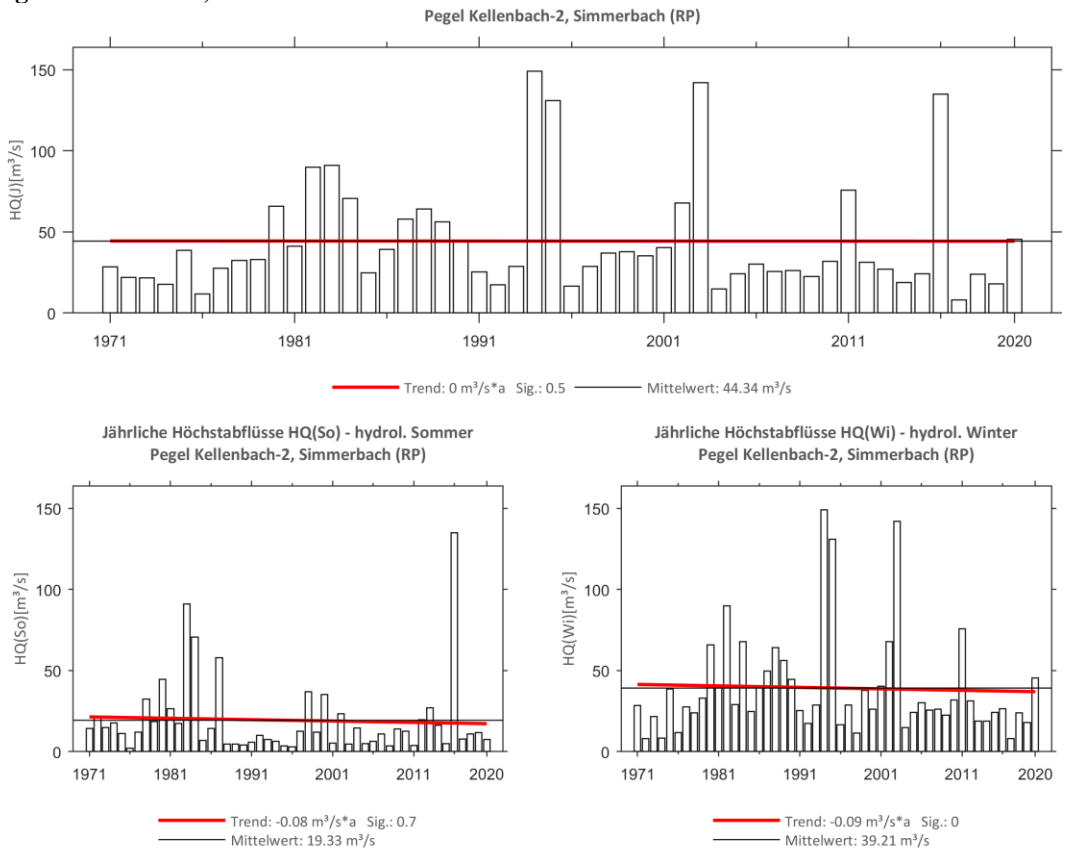


Abb. 250: Trenduntersuchungen von jährlichen Höchstabflüssen für den Zeitraum 1971 bis 2020.

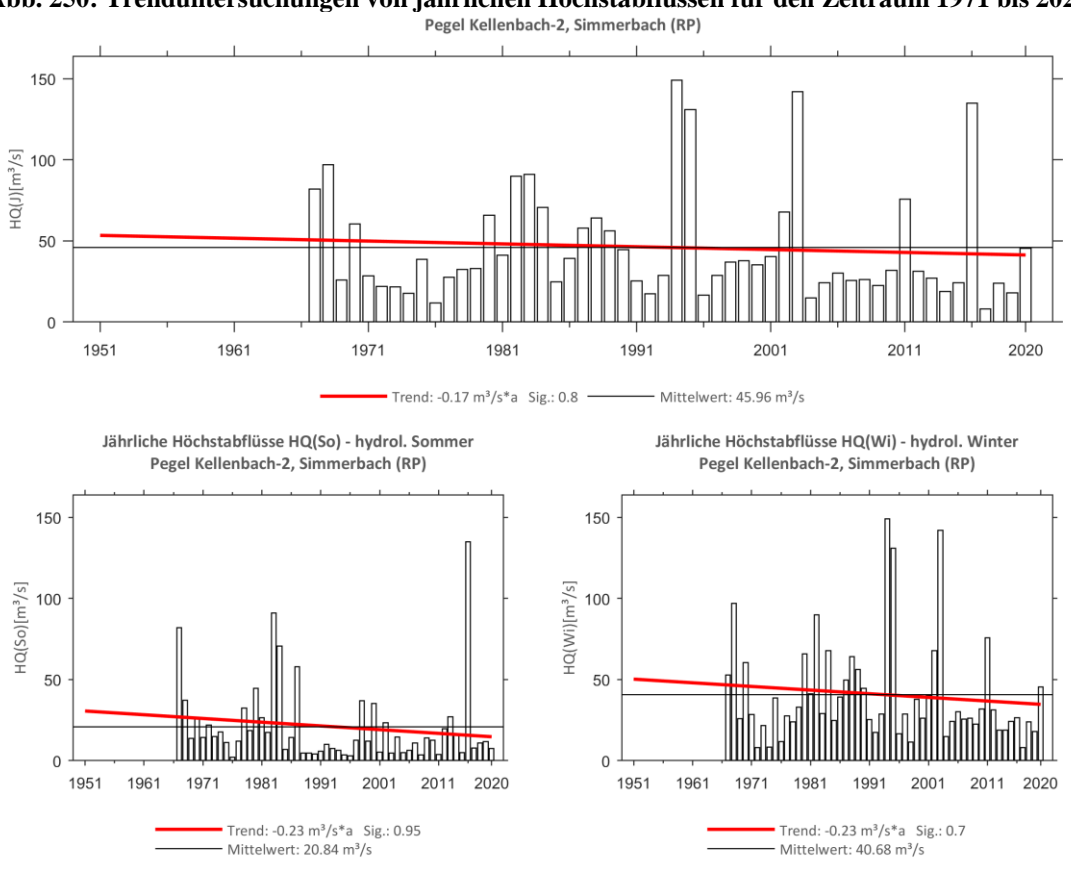


Abb. 251: Trenduntersuchungen von jährlichen Höchstabflüssen für den Zeitraum 1967 bis 2020.



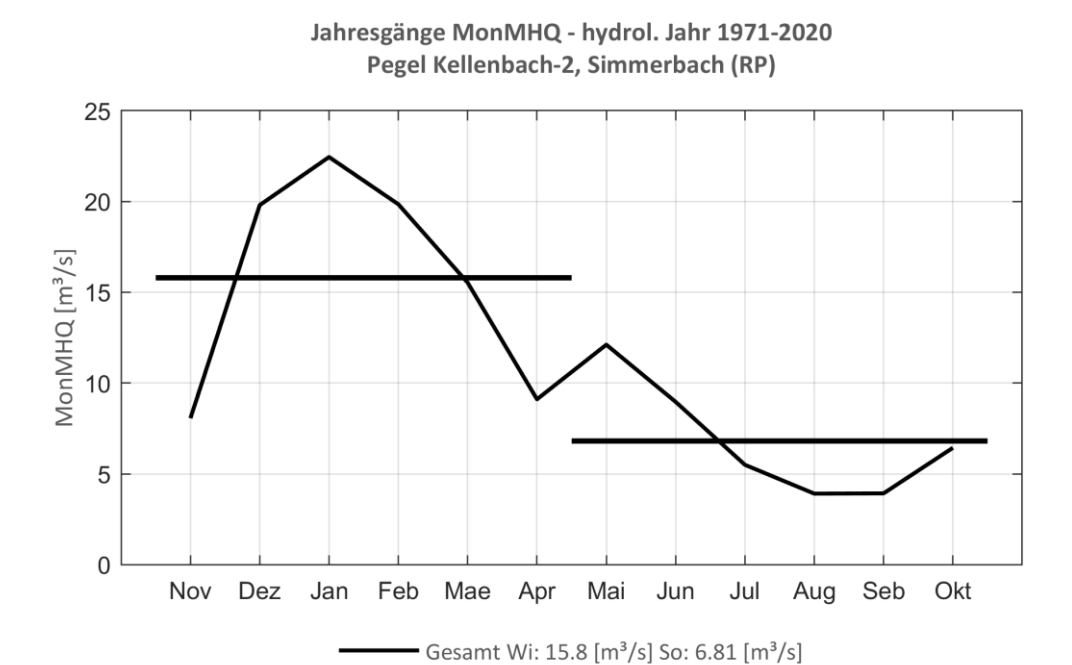


Abb. 252: Jahresgang des MonMHQ und Halbjahresmittel für 1971-2020.

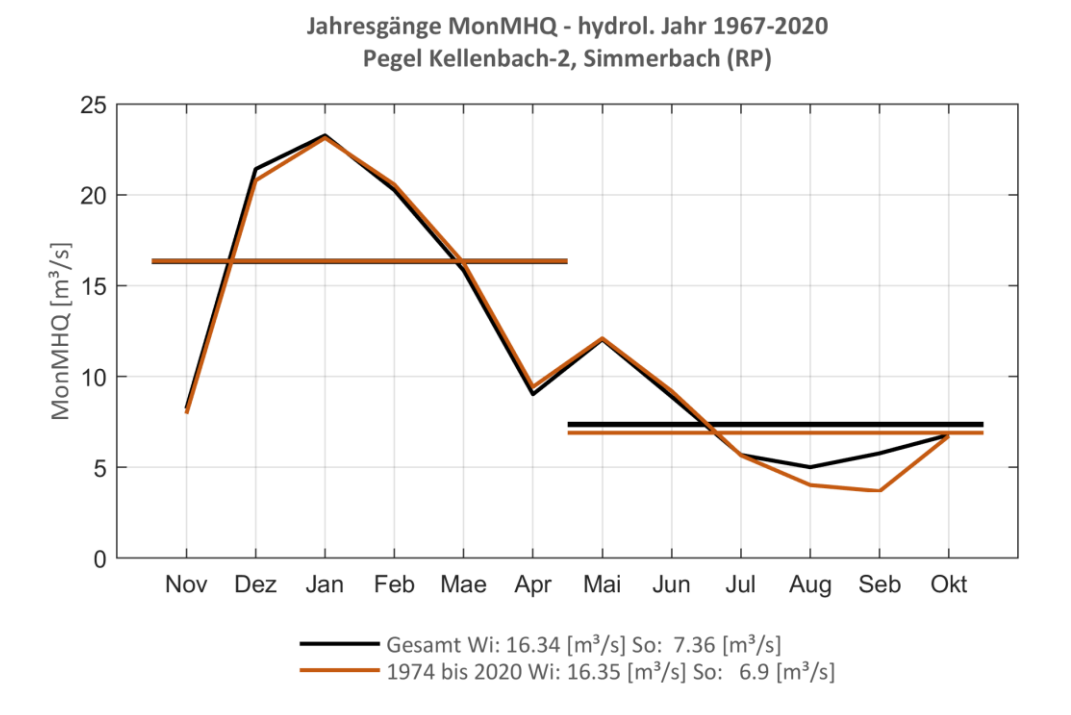


Abb. 253: Jahresgang des MonMHQ und Halbjahresmittel für 1967-2020 sowie 1974-2020.



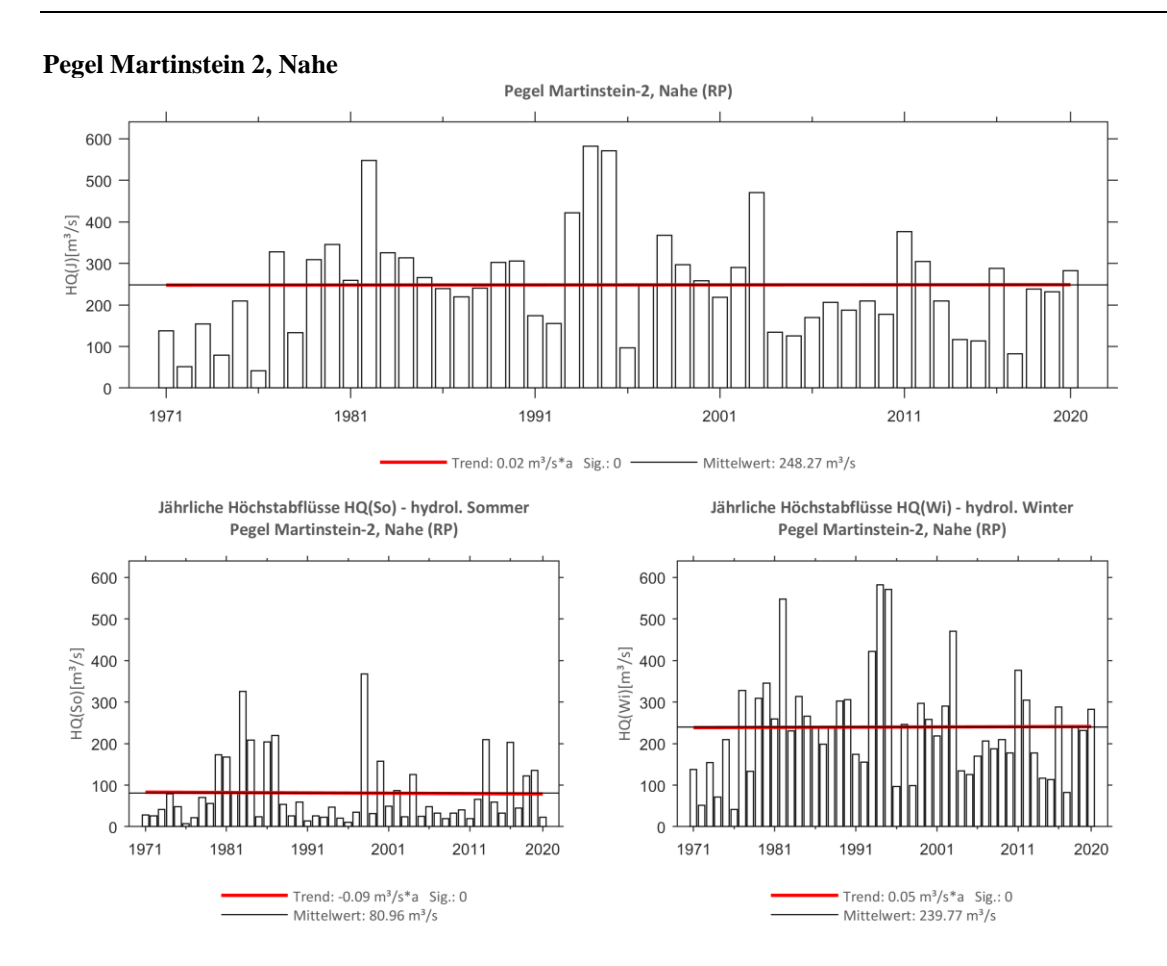


Abb. 254: Trenduntersuchungen von jährlichen Höchstabflüssen für den Zeitraum 1971 bis 2020.

Pegel Martinstein-2, Nahe (RP)

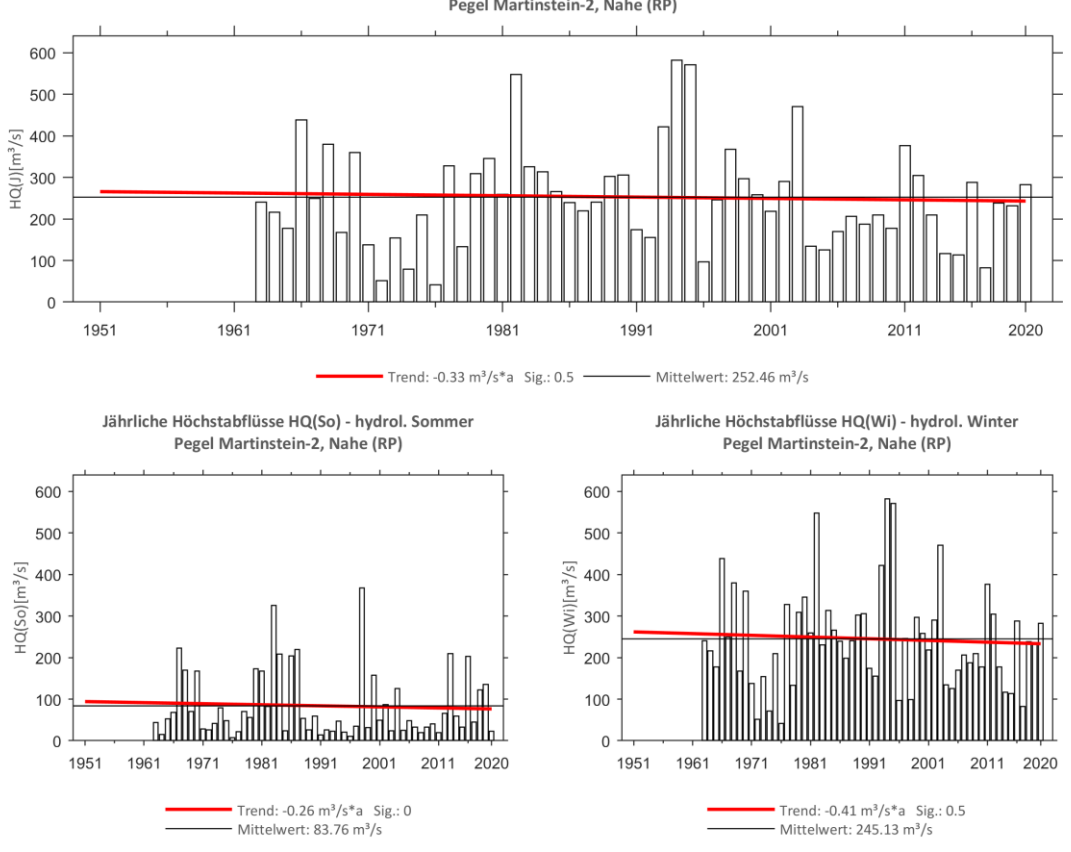


Abb. 255: Trenduntersuchungen von jährlichen Höchstabflüssen für den Zeitraum 1963 bis 2020.



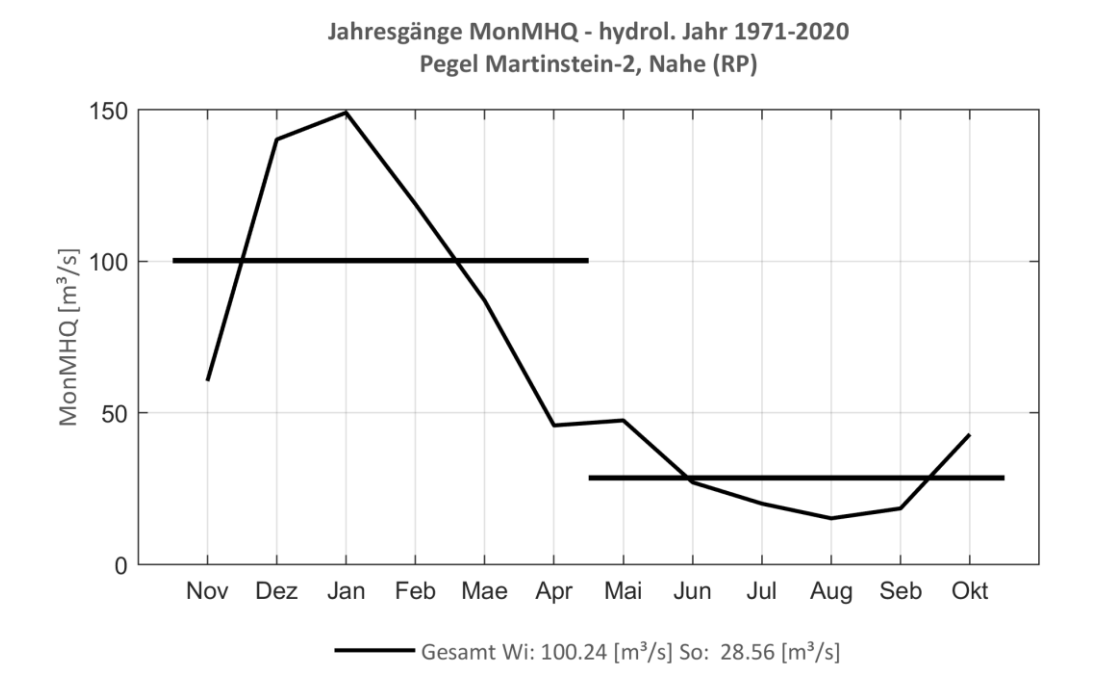


Abb. 256: Jahresgang des MonMHQ und Halbjahresmittel für 1971-2020.

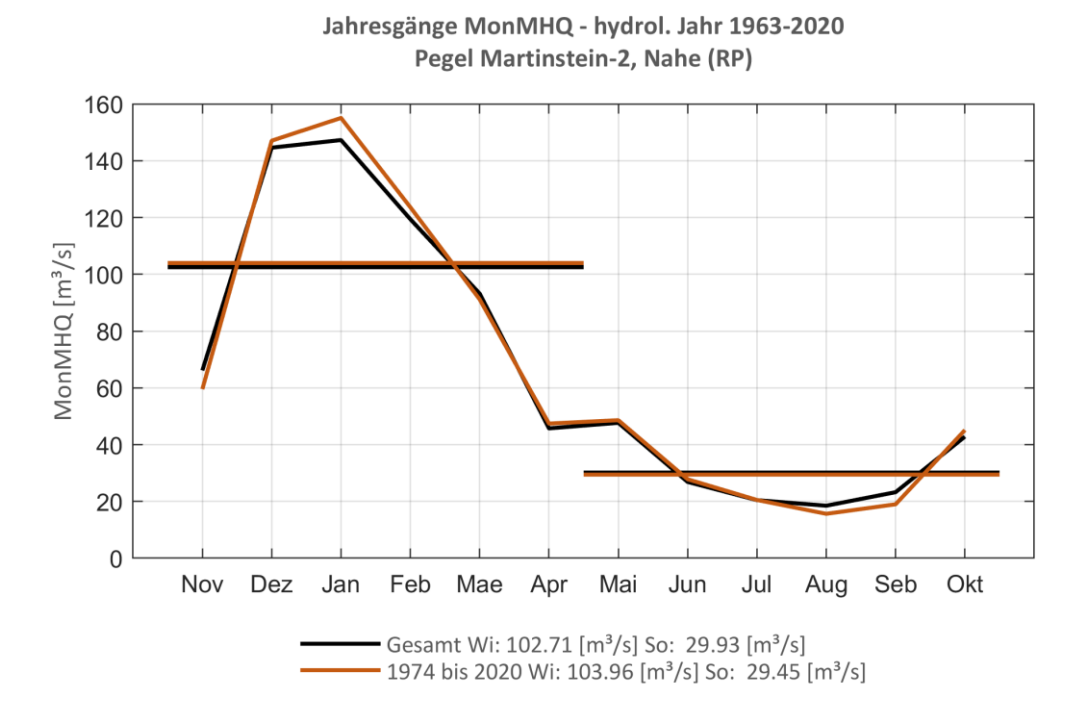


Abb. 257: Jahresgang des MonMHQ und Halbjahresmittel für 1963-2020 sowie 1974-2020.





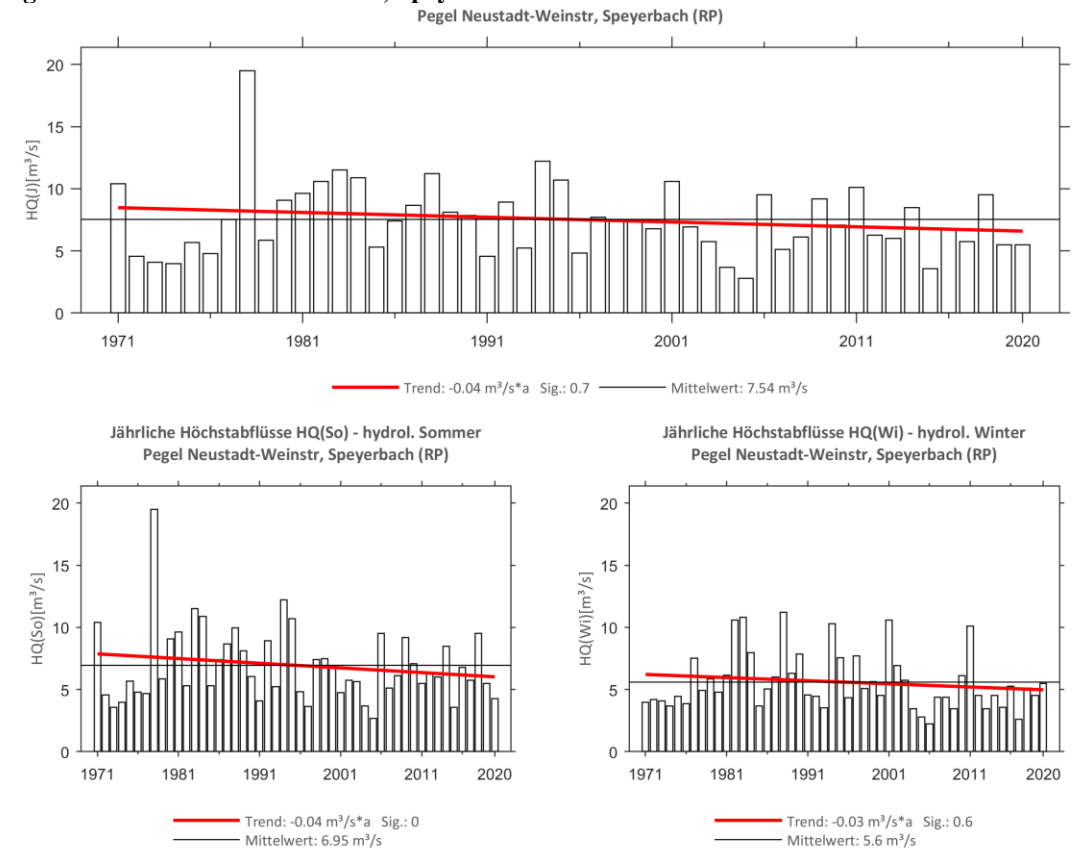


Abb. 258: Trenduntersuchungen von jährlichen Höchstabflüssen für den Zeitraum 1971 bis 2020.

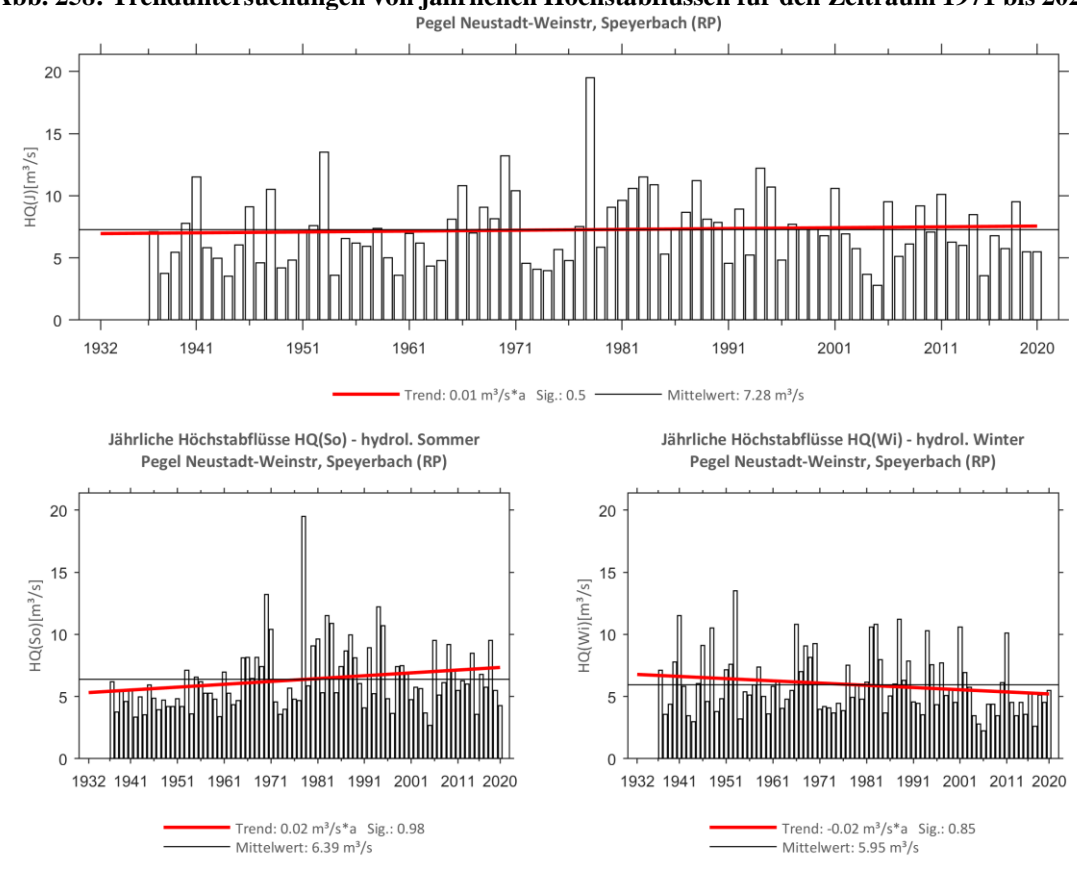


Abb. 259: Trenduntersuchungen von jährlichen Höchstabflüssen für den Zeitraum 1937 bis 2020.



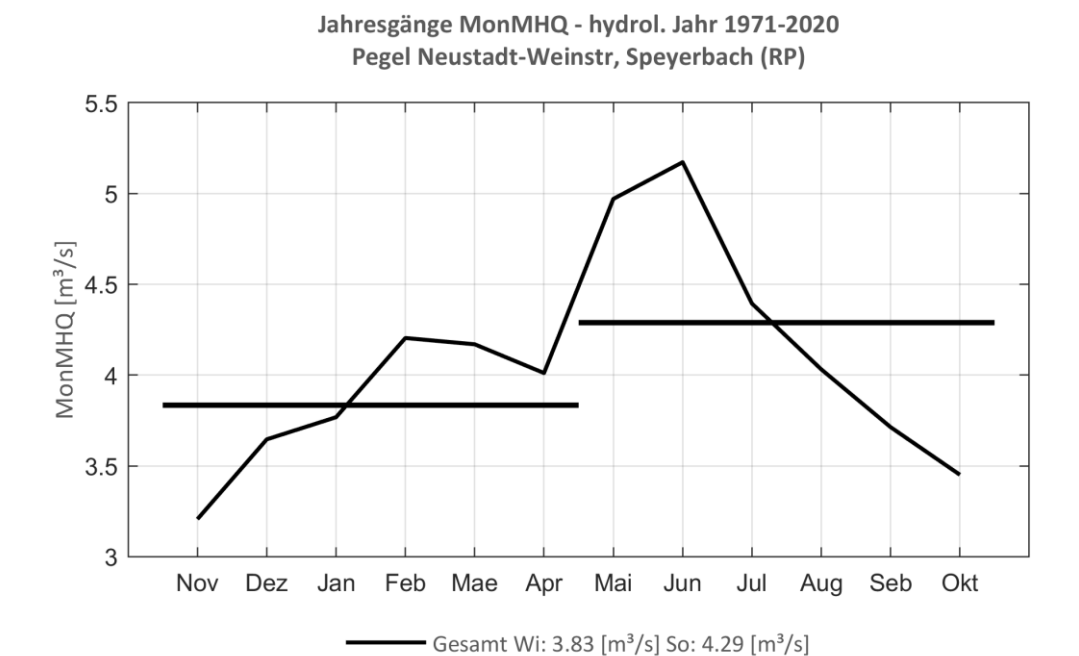


Abb. 260: Jahresgang des MonMHQ und Halbjahresmittel für 1971-2020.

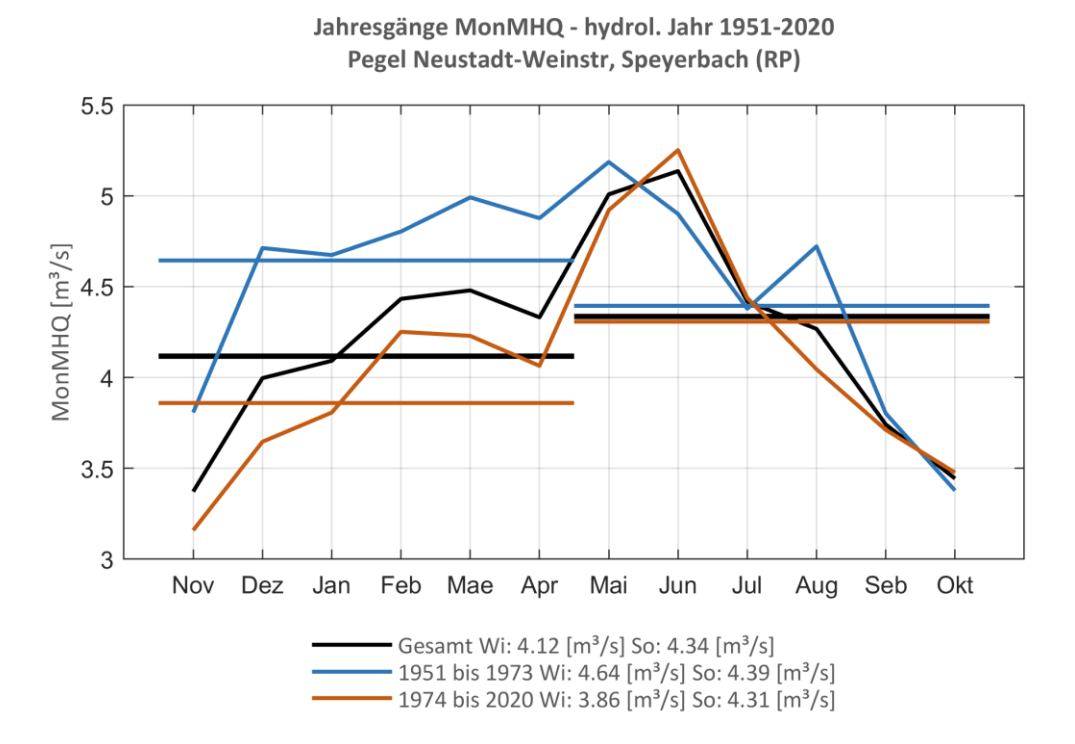


Abb. 261: Jahresgang des MonMHQ und Halbjahresmittel für 1951-2020 sowie 1974-2020.



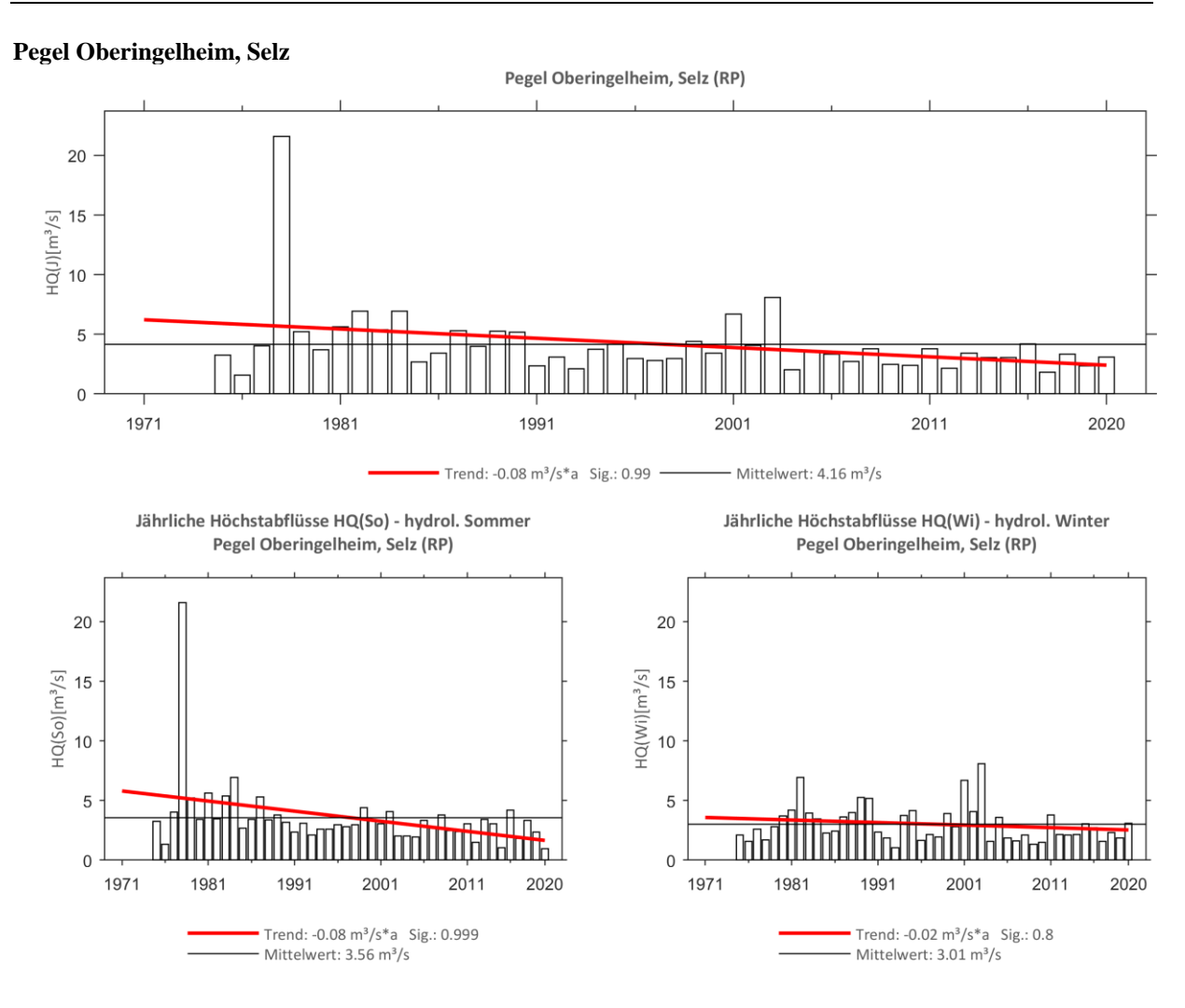


Abb. 262: Trenduntersuchungen von jährlichen Höchstabflüssen für den Zeitraum 1975 bis 2020.

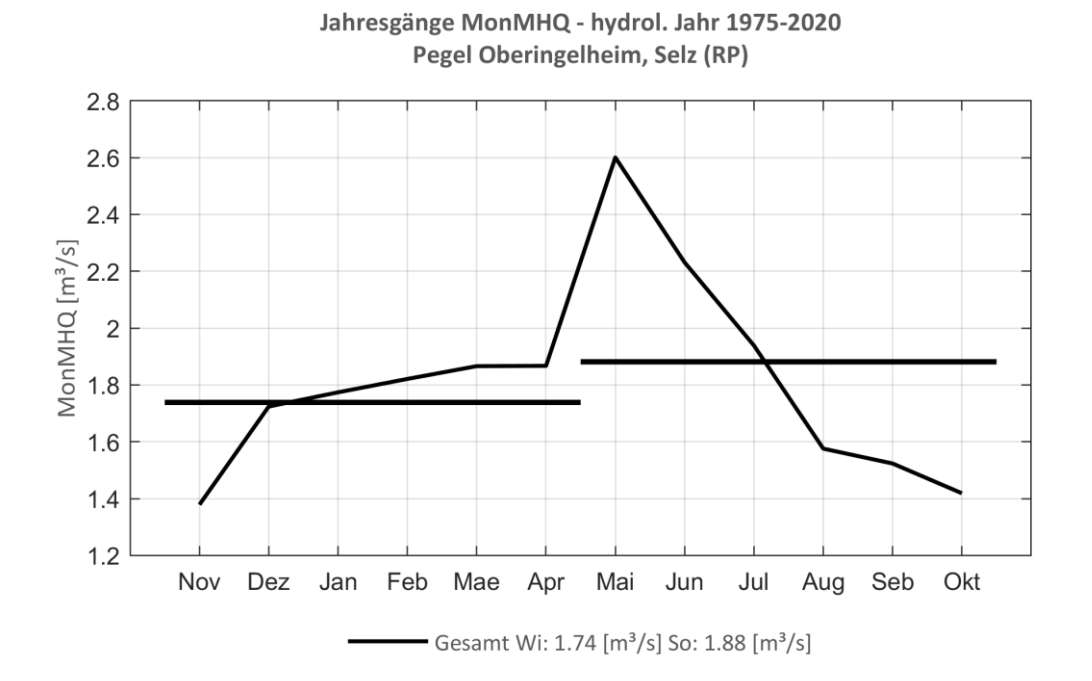


Abb. 263: Jahresgang des MonMHQ und Halbjahresmittel für 1975-2020.



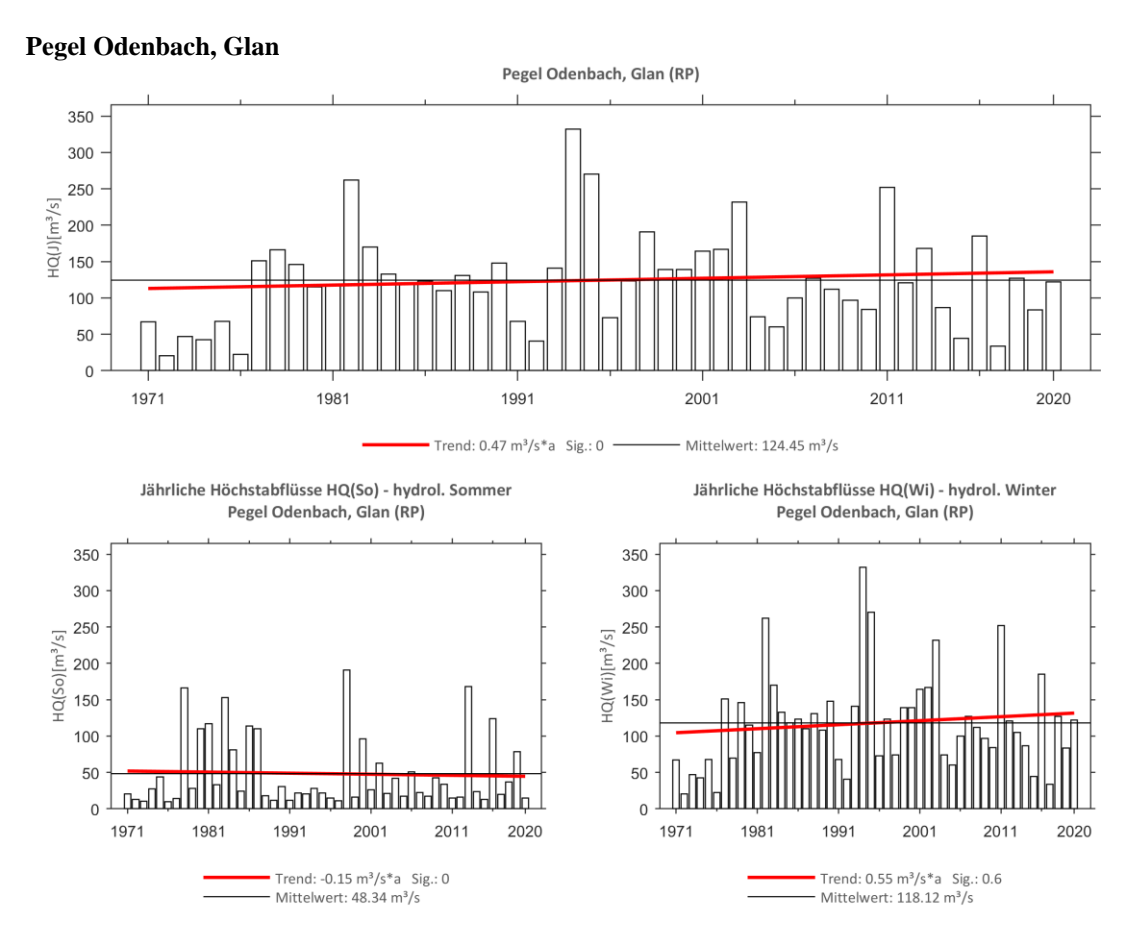


Abb. 264: Trenduntersuchungen von jährlichen Höchstabflüssen für den Zeitraum 1971 bis 2020.

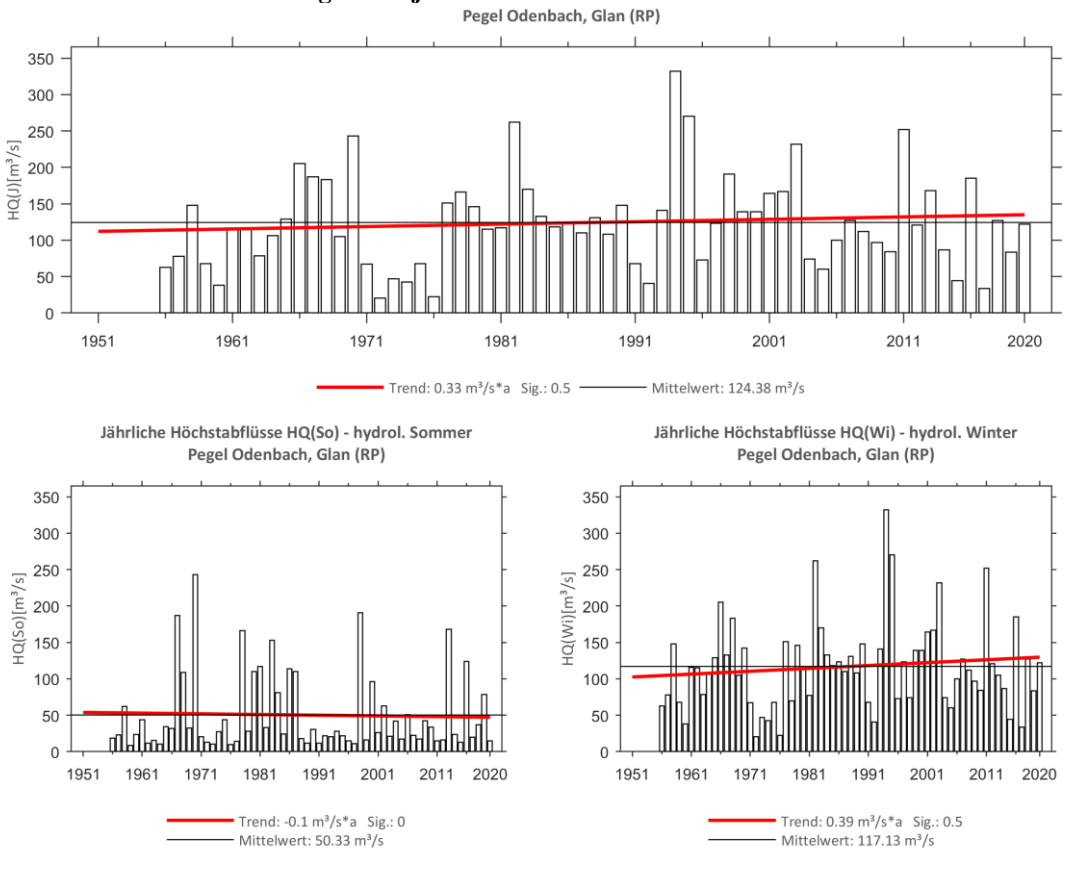


Abb. 265: Trenduntersuchungen von jährlichen Höchstabflüssen für den Zeitraum 1956 bis 2020.



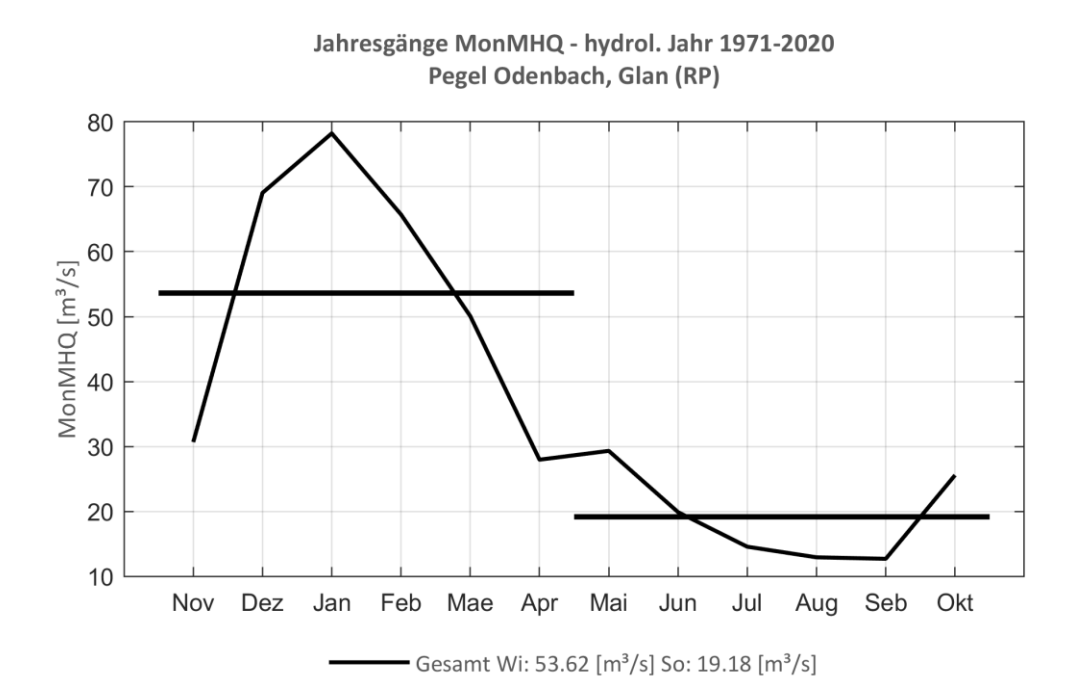


Abb. 266: Jahresgang des MonMHQ und Halbjahresmittel für 1971-2020.

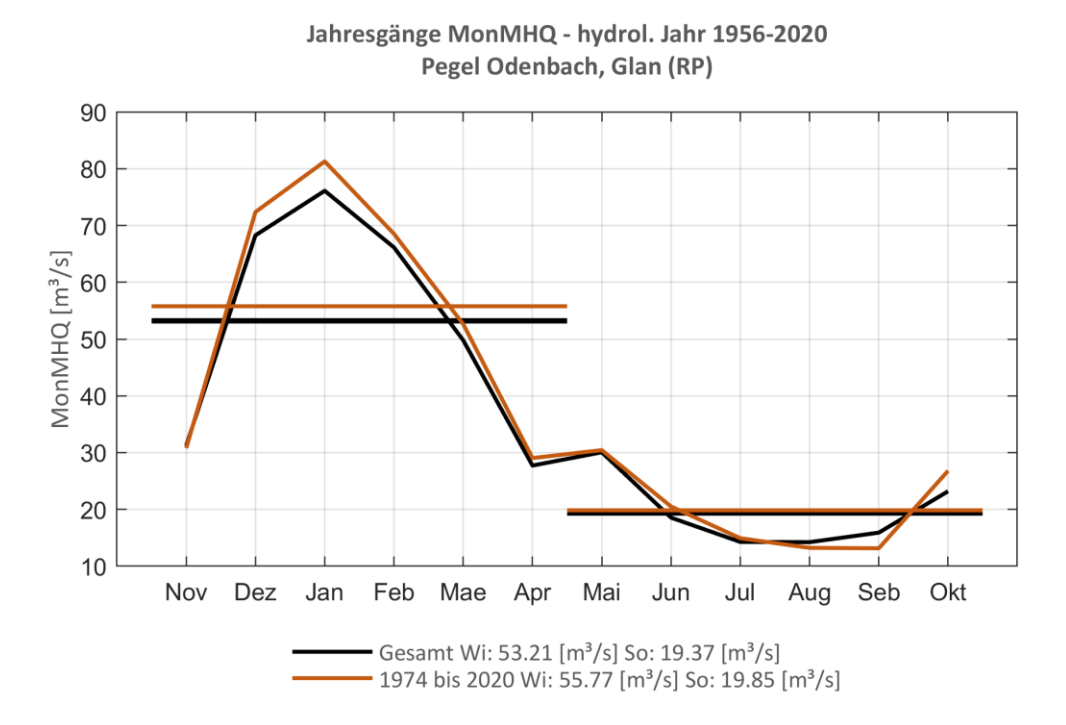


Abb. 267: Jahresgang des MonMHQ und Halbjahresmittel für 1956-2020 sowie 1974-2020.



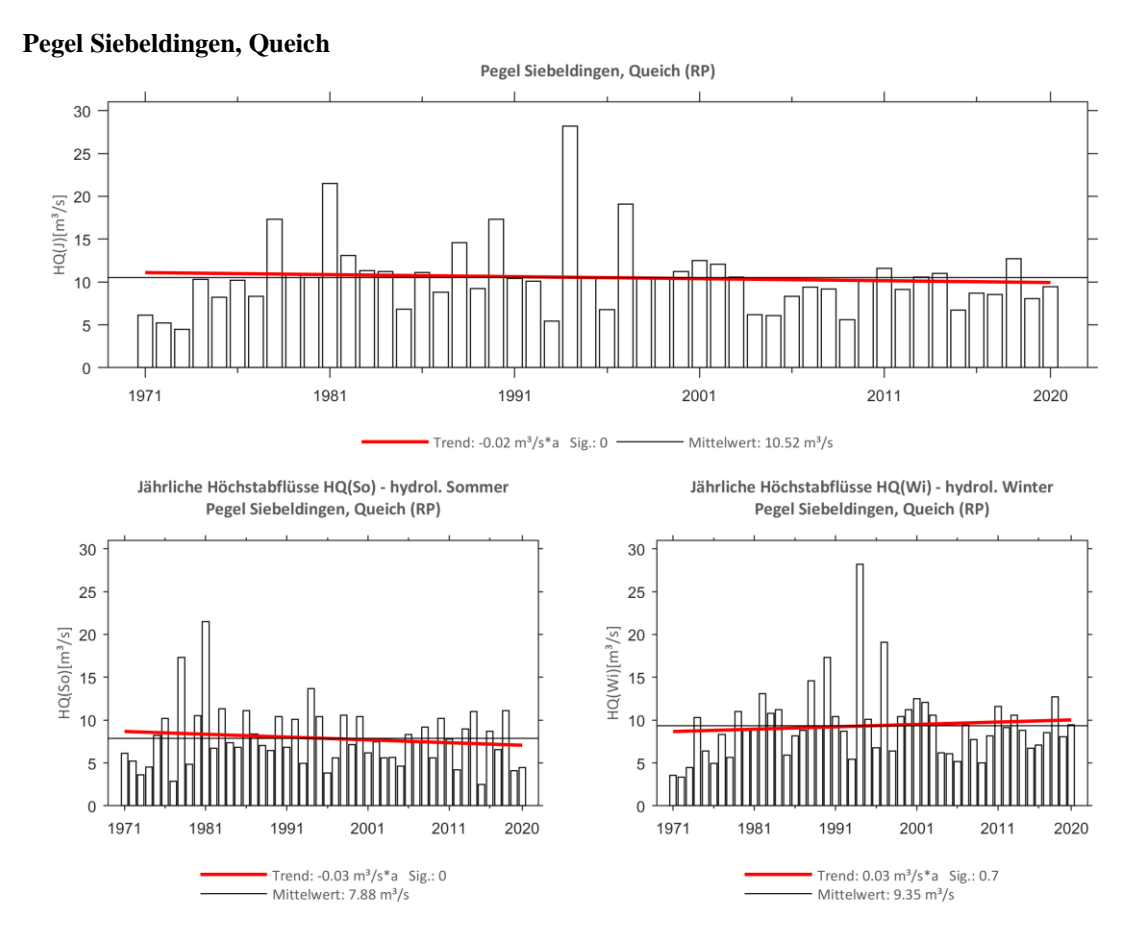


Abb. 268: Trenduntersuchungen von jährlichen Höchstabflüssen für den Zeitraum 1971 bis 2020.

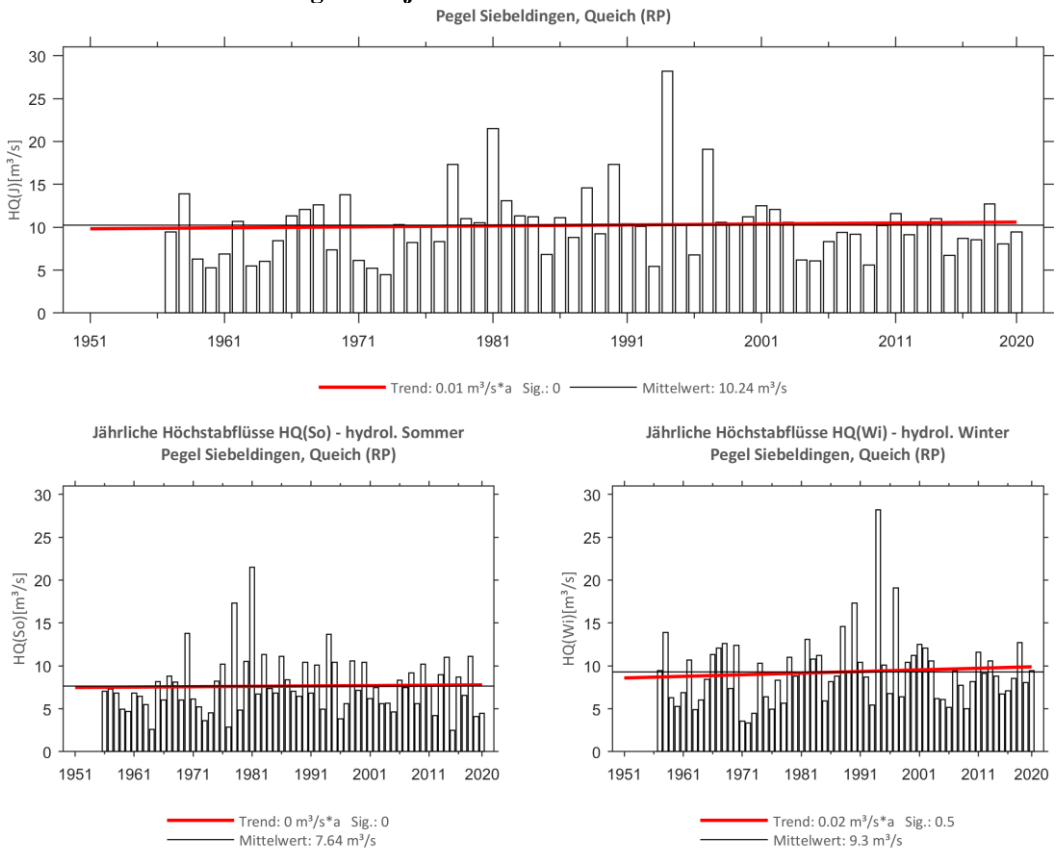


Abb. 269: Trenduntersuchungen von jährlichen Höchstabflüssen für den Zeitraum 1957 bis 2020.



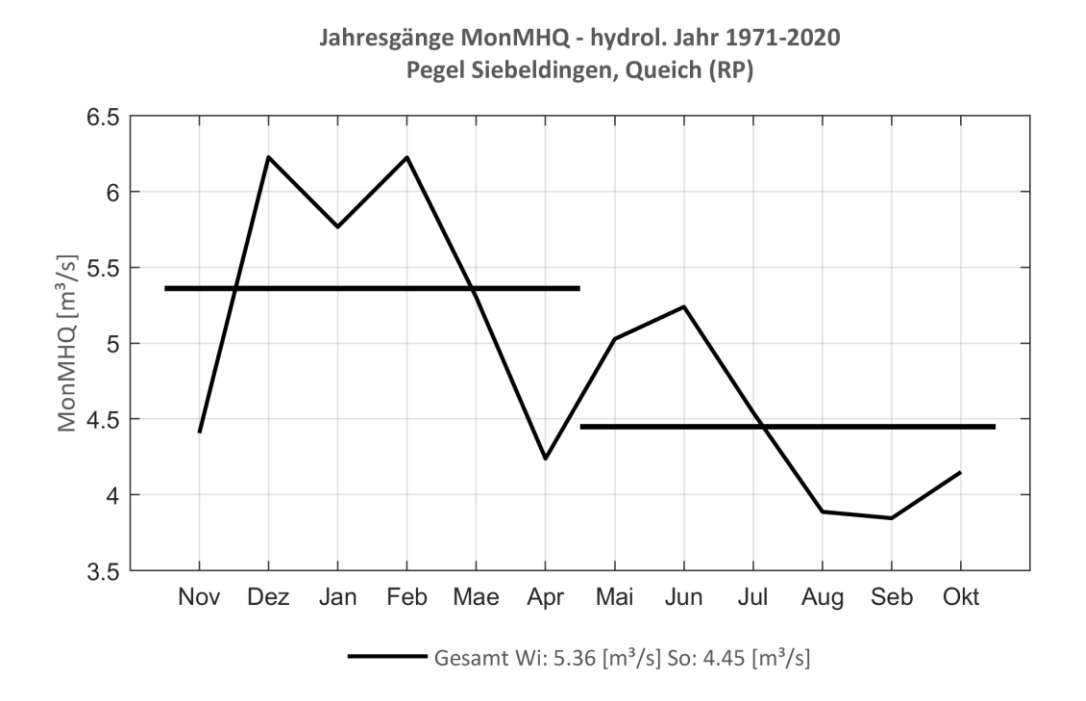


Abb. 270: Jahresgang des MonMHQ und Halbjahresmittel für 1971-2020.

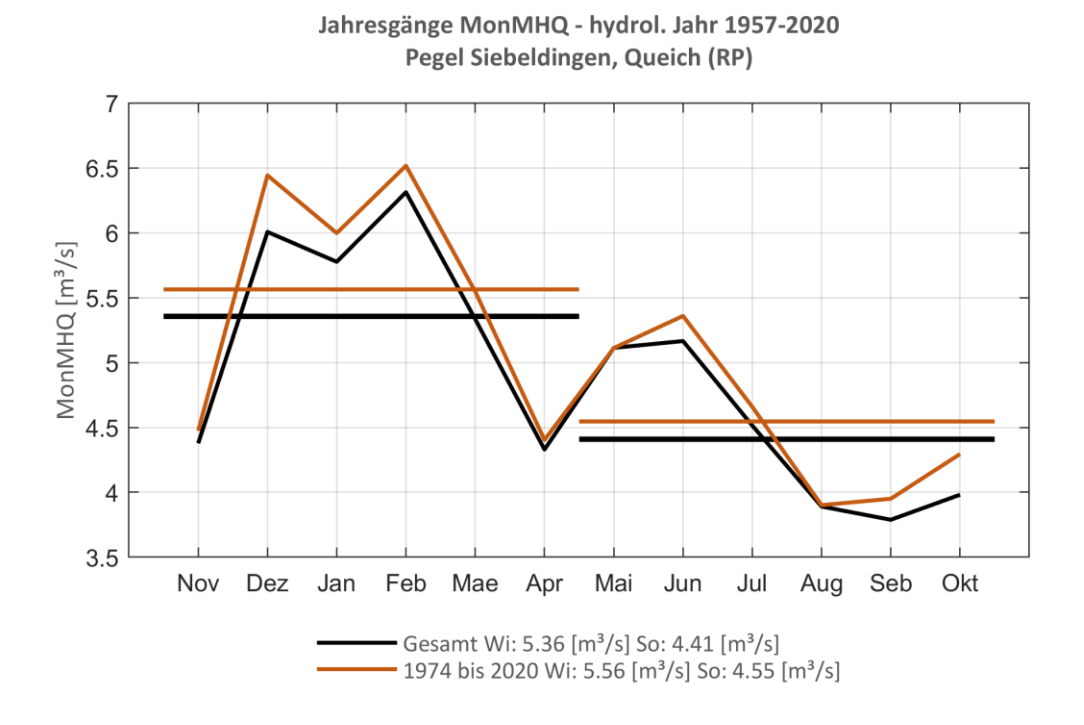


Abb. 271: Jahresgang des MonMHQ und Halbjahresmittel für 1957-2020 sowie 1974-2020.



3 Literaturverzeichnis

KLIWA 2008: Monitoringbericht 2008: Klimawandel in Süddeutschland, Veränderung der

Kenngrößen Lufttemperatur, Niederschlag und Hochwasserabfluss – Klimamonitoring im Rahmen des Kooperationsvorhabens KLIWA, 24 S.,

2008 veröffentlicht auf der Internetseite www.kliwa.de

KLIWA 2011: Monitoringbericht 2011: Klimawandel in Süddeutschland, Veränderung der

Kenngrößen Lufttemperatur, Niederschlag und Hochwasserabfluss – Klimamonitoring im Rahmen des Kooperationsvorhabens KLIWA, 40 S.,

2011 veröffentlicht auf der Internetseite www.kliwa.de

KLIWA 2016: Monitoringbericht 2016: Klimawandel in Süddeutschland, Veränderung der

Kenngrößen Lufttemperatur, Niederschlag und Hochwasserabfluss – Klimamonitoring im Rahmen des Kooperationsvorhabens KLIWA, 60 S.,

2016 veröffentlicht auf der Internetseite www.kliwa.de

KLIWA 2021: Monitoringbericht 2021: Klimawandel in Süddeutschland, Veränderung der

Kenngrößen Lufttemperatur, Niederschlag und Hochwasserabfluss – Klimamonitoring im Rahmen des Kooperationsvorhabens KLIWA, 78 S.,

2021 veröffentlicht auf der Internetseite www.kliwa.de

Herausgeber:

Arbeitskreis KLIWA

- Deutscher Wetterdienst:
- LUBW Landesanstalt f
 ür Umwelt Baden-W
 ürttemberg;
- Landesamt für Umwelt Rheinland-Pfalz;
- Bayerisches Landesamt für Umwelt

Weitere aktuelle Informationen zu diesem Monitoringbericht, weiteren Heften und anderen Projektergebnissen finden Sie auf unserer Internetseite: